

به نام خدا



مقاله نامه

سچن فریدیان

چهاردهمین کنفرانس

فیزیک ذرات و میدان ها

دانشگاه شیراز

۱۴۰۲ و ۲۶ بهمن ماه

Proceeding of

The 14th Conference on Particle physics and Fields

Shiraz university

February 14th,15th 2024

کد اختصاصی کنفرانس در پایگاه استنادی علوم جهان اسلام:

۰۲۲۳۱-۱۵۸۸۷

چهاردهمین کنفرانس فیزیک ذرات و میدانها

دانشگاه شیراز

۱۶ و ۱۵ بهمن



کنفرانس ذرات و میدان،



دانشکده فیزیک



ثبت نام و ارسال مقاله:

www.psi.ir/f/particles14

آخرین مهلت ثبت نام:

۱۴۰۲ ۱ بهمن

آخرین مهلت ارسال مقاله:

۱۴۰۲ ۱۰ آذر



کمیته علمی:

کاظم بی تقصیر فدافت (دبیر علمی)
دانشگاه صنعتی شاھراه

عادل رضایی اقدم
دانشگاه شهید مدنی آذربایجان

مریم زینلی
دانشگاه صنعتی شریف

پاسمن فرزان
پژوهشگاه دانش های بنیادی

محمد رضا محمدی مظفر
دانشگاه گیلان

ابوالفضل میرجلیلی
دانشگاه پرند

مجید هاشمی
دانشگاه شیراز

کمیته اجرایی:

منصور حقیقت
 Paxaxsrooy (دبیر اجرایی)

سید محمد زبرجد

۰۷۱۳۶۱۳۷۰۲۱

نیسانه کمیته اجرایی: شیراز، بلوار جمهوری اسلامی، ساختمان مدیریت دانشگاه شیراز.

۰۹۱۸۸۲۲۵۶۹۳

۰۲۱۶۶۹۰۵۲۴۷

نیسانه کمیته علمی: تهران، خیابان کارگر شمالی، خیابان ۱۹، دانشکده فیزیک دانشگاه تهران، ساختمان خیام، آتاق G02، دفتر انجمن فیزیک ایران.

فهرست

سخنرانی ها

ردیف	عنوان سخنرانی	سخنران	صفحه
۱	مروری بر آخرین تحقیقات سرن و آزمایش سی ام اس	شیرین چنارانی	۱
۲	سهم کوارک افسون در پروتون: یک محاسبه تحلیلی	علیرضا علمایی	۲
۳	کاوش بخش تاریک عالم	سروش شاکری	۳
۴	تحول زمانی در همتینیدگی در نظریه میدان های کوانتومی از دیدگاه کاربردی	علی ملاباشی	۴
۵	مدلهای سیگما پواسون لی-T دوگان با هندسه های تورستون اقليدسی	علی اقبالی	۵
۶	تغییر شکل TT در نظریه های الکترودینامیک غیرخطی	داود مهدویان یکتا	۹
۷	رهیافت ها به گرانش کوانتومی	محمد مهدی شیخ جباری	۱۰

مقالات ارائه شده

بخش ارائه های شفاهی

ردیف	عنوان مقاله	ارائه دهنده	صفحه
۸	بررسی تولید بوزون Z در برخورد هادرон-هادرон	سمیه رضایی	۱۱
۹	بررسی اثرات غیرخطی در تولید کوارک های سنگین در شتابدهنده های نسل جدید	الهام کرم پور	۱۵
۱۰	محاسبه تنش ریسمان SU2 در حد پیوستار	زهرا اصمی	۱۹
۱۱	برهمکنش در کوانتوم کرومودینامیک شبکه ای با استفاده از پیکربندی PACS-CS های	امان الله عالمی	۲۳
۱۲	مطالعه ماده تاریک دایپولار با استفاده از طیف نگاری تابش اشعه X	علی رفیعی	۲۷
۱۳	در جستجوی اجرام ناحیه ای ناشناخته ای شکاف جرمی: ستاره ای کوارکی در گرانش جرم دار	جلیل صداقت	۳۱
۱۴	بسط نموداری حد جفت شدگی قوی مدل شبکه U1 در پایه فوریه	افسانه کیانفر	۳۵
۱۵	ترمودینامیک یک گاز بوزونی نسبیتی تحت دوران	ابراهیم سیری پلنگ دره	۳۹

۴۳	بامداد یغمایی	واستگی دمایی شاعع پروتونی و نوترونی ایزوتوپ های ۱20, ۱26, ۱30Sn در مدل میدان میانگین نسبتی با پارامترهای گاف زوجیت محاسبه شده در BCS و مدل اصلاح شده گینزبرگ-لاندauو	۱۶
۴۷	روزبه روزبه	قید های LHC بر روی ماده تاریک برداری	۱۷
۵۱	برزو نظری	روش بازیهنجارش جداسازی نقاط در نظریه میدان در فضای خمیده: کاربردی موفق از Wick rotation در اثر کازیمیر	۱۸
۵۵	شیما رفیع بخش	محاسبه ثابت جفت شدگی $\Lambda sBb\Lambda g$ با استفاده از نسبت انشعابی $-K\Lambda p \rightarrow 0 \bar{s}$ واپاشی	۱۹
بخش ارائه های پوستر ها			
۵۹	سارا خطیبی حنانه سادات مدیرزاده	جستجو برای ذرات شبه اکسیونی در برخورد دهنده میونی	۲۰
۶۳	سید محمد موسوی نژاد ریحانه فراشائیان	مطالعه تولید پنتاکوارک کاملاً سنگین در فرایند نابودی زوج در پایین ترین مرتبه اختلال	۲۱
۶۷	مجید هاشمی ماریه مولانائی	تولید جفت بوزون هیگز سنگین خنثی مدل 2HDM در انرژی های CLIC مختلف	۲۲
۷۱	سعید پاک طبیعت مهدی آباد مریم رکن آبادی	مقید سازی فیزیک جدید با مطالعه تولید کوارک تاپ منفرد	۲۳
۷۵	فصل اطمینان	برهمکنش $\Lambda - c KpD + s$ در کانال جفت شده در کوانتم کرومودینامیک شبکه ای	۲۴
۷۹	سید محمد موسوی نژاد وحید اکرامی نسب	تعیین پارامتر ناجابجایی در فرایند تولید هادرون از نابودی زوج	۲۵
۸۳	سید محمد موسوی نژاد وحید اکرامی نسب آیدا آرمات	محاسبه نرخ واپاشی نیمه لپتونی باریون های سنگین با تم به چارم	۲۶
۸۷	منصور حقیقت فرشته آذری	واپاشی ذره هیگز به سه ذره بوزون	۲۷
۹۰	بهنام محمدی الناز امیرخانلو	مطالعه نسبت انشعابی واپاشی های $B0s \rightarrow \chi c1(3872)\pi^+\pi^-$ و $B0s \rightarrow \psi(2S)\pi^+\pi^-$	۲۸
۹۴	محمد مهدی حاجی مقصود حامد بخشیان سهی	بررسی نظریه میدان های مؤثر در تولید یک فوتون به همراه دو جت از طریق برهمکنش الکتروضعیف در برخورد دو پروتون در انرژی مرکز جرم ۱۳ تراکترون ولت	۲۹
۹۸	ابوالفضل میرجلیلی شاهین آتشبار تهرانی	تعیینتابع ساختار قطبیده نوکلئونی با استفاده از تبدیل لاپلاس	۳۰
۱۰۲	مرضیه یوسفی تازیک سعید محمدی محسن کوهستانی	مطالعه نظام مند ساختار لایه ای ایزوتوپ های زوج زوج اکسیزن توسط کد اکسیشن	۳۱
۱۰۷	زینب رضایی مینا مهرآین نزدیک	ساختار ستاره کوارکی در گرانش نرده ای تانسوری	۳۲

۱۱۱	سروش شاکری امیر مسعود جنت	اثر نوتربینوهای کیهانی، ابرنواختری و استریل بر معماه کایرال حیات	۳۳
۱۱۵	کاظم بی تقصیر فدافن سید علی اصغر علوی میترافرهید نیا	مطالعه پوسته ستاره های نوترونی با تمام نگاری	۳۴
۱۱۹	احمد محمد نژاد سید یاسر ایازی مجتبی حسینی	امواج گرانشی در یک مدل ماده تاریک دو مؤلفه ای	۳۵
۱۲۳	مهندی دهقانی	درجه آزادی پیمانه ای برای دستگاه دو ذره ای کارول	۳۶
۱۲۷	سارا خطیبی شیما اسلوب	بررسی ناهنجاری جرم بوزون W از طریق معرفی بخش تاریک غیرآبلی	۳۷
۱۳۱	حسین محمد زاده حسین بابایی خدیجه فرضی زاده عاقل	پتانسیل موثر در پیچیدگی معادل همه چیز برای سیاه چاله های با میدان اکسیونی	۳۸
۱۳۵	مجید مدرس زهراء بدیعیان باغ سیاهی	توابع توزیع پارتونی انتگرال گیری نشده و سطح مقطع کاهش یافته	۳۹
۱۳۹	سروش شاکری فاطمه حیدری سیچانی	چگالی بازمانده ماده تاریک نوتربینوی استریل	۴۰
۱۴۳	سیامک سادات گوشه پویک اسلامبولچی مقدم	رهیافت تازه های به عدد چرن-سایمونز اسفیلرون بر مبنای مسئله CP قوی	۴۱
۱۴۷	ابوالفضل میرجلیلی مرضیه اکبری	اثر هسته ای و تابع ساختار نوکلئونی غیریکتا در برآندگی نوتربینو- نوکلئون	۴۲
۱۵۱	سیمرا شعبی مرضیه متقی زاده فاطمه تقوقی شهری اکرم غفاریان عیدگاهی مقدم	بررسی ممان های توابع توزیع کوارک های طرفیتی پایون	۴۳
۱۵۵	علیرضا صفری شهو عبدالسلام	بررسی قیدهای مشاهدات غیرمستقیم ماده تاریک بر مدل دوتایی بی اثر	۴۴
۱۵۹	مهندی لطفی زاده بهنام محمدی سمیه خداداد	تخمین نسبت شاخه ای واپاشی $-+ \rightarrow 0 D D s s$	۴۵
۱۶۳	علیرضا چنانقلو سهراب آقایی	مطالعه نظریه تابعی چگالی نسبیتی با تأکید بر مدل جفت شدگی نقطه ای	۴۶
۱۶۷	محمد ابراهیم زمردان ریحانه صالح مقدم هانیه خاکشور	محاسبه ثابت پیوندی با استفاده از متغیر شکل رویداد	۴۷

مروری بر آخرین نتایج تحقیقات سرن و آزمایش سی ام اس

Shirin Chenarani

پژوهشگاه دانشیای پیلادلی، پژوهشکده ذرات و متابگر

چکیده

برخورد دهنده بزرگ هادرونی LHC بزرگترین و پر انرژی ترین شتابدهنده ذرات جهان است که در آن پرتوهای پروتونی با انرژی مرکز جرم بالغ بر 13 TeV تراکترون ولت بهم برخورد می‌کنند. این برخورد دهنده پس از ۳ سال تعطیلی در تاریخ ۲۲ اوریل ۲۰۲۲ راه اندازی شد و با بروزرسانی‌های انجامشده در طول عدم فعالیت و خاموشی برنامه‌ریزی شده انرژی پرتوهای پروتون از 5.5 TeV تراکترون ولت به 6.8 TeV تراکترون ولت افزایش یافت. پرتوهای پروتون فشرده تر و پر انرژی تر احتمال ایجاد ذرات سنگین تر و ناشناخته تر را افزایش می‌دهند. فیزیکدانان با تحلیل اینویه داده‌های حاصل از برخورد و به کارگیری روش‌های جدید یاگیری ماشین Machine learning به دنبال کسب اطلاعات بیشتر و اندازه گیریهای دقیق تر در مورد بوزون هیگر و دیگر ذرات کشف شده مدل استاندارد هستند. ازیگر اهداف LHC جستجوی فیزیک ماورای مثل استاندارد و بررسی نتایج غیرعادی که با نظریه مثل استاندارد مطابقت ندارد می‌باشد. ارتفاعی مهم و دریافت داده‌های بیشتر به فیزیکدانان در توضیح این ناپنهنجاریها کمک می‌کند اما اگر این ناپنهنجاریها در اثر نوسانات و برحسب اتفاق رخ داده باشند داده‌های بیشتر باعث حذف این شناخته ها خواهد شد. ما در این سخنرانی مروری مختصر بر نتایج اخیر برخورد دهنده بزرگ هادرونی و آزمایش سی ام اس خواهیم داشت و همچنین برنامه‌های بلند مدت و پیش رو را برای ارتقا و داده گیری HL_LHC مرور خواهیم کرد.

Overview of the latest research results from CERN and the CMS experiment

Shirin Chenarani

School of Particles and Accelerators, Institute for Research in Fundamental Sciences (IPM)

Abstract

The Large Hadron Collider (LHC) is the world's largest and most powerful particle accelerator where two protons collide at the center-of-mass energy of $\sim 13\text{ TeV}$. With the upgrades implemented during the planned shutdown, the energy of the LHC's proton beams increased from 6.5 TeV to 6.8 TeV , increasing the probability of creating heavier and more unknown particles. Particle physicists can obtain more information and more precise measurements of the Higgs bosons and other discovered particles of the standard model by using large amounts of data from the LHC and new machine-learning methods. Another important goal of the LHC is the search for new physics beyond the Standard Model, and study some anomalous results. The upgrade of the LHC and more data will help to explain the observed anomalies, but if these anomalies occur due to fluctuations and by chance, more data will remove their signs.

In this talk, I will give a brief overview of the recent results of the Large Hadron Collider and the CMS experiment, and I will also review the long-term plans for the development and acquisition of HL_LHC.

سهم کوارک افسون در پروتون: یک محاسبه‌ی تحلیلی

علمائی، علیرضا^۱؛ عزیزی، کاظم^۲؛ رستمی، سعیده^۲

^۱گروه فیزیک، دانشکده علوم پایه، دانشگاه جهرم، جهرم

^۲دانشکده فیزیک دانشگاه تهران، انتهاي خيابان كارگر شمالی، تهران

چکیده

به طور کلی، پروتون به عنوان یکی از اجزاء اصلی هسته، از یک کوارک پایین و دو کوارک بالا تشکیل شده است که توسط گلوئین‌ها به هم متصل شده‌اند و به وسیله‌ی کرومودینامیک کوانتومی (QCD) توصیف می‌شود. در این دیدگاه، کوارک‌های سنتگین سهمی درتابع موج اولیه پروتون ندارند. کوارک‌های سنتگین به عنوان نتیجه‌ای از واپاشی گلوئین‌ها و به صورت اختلالی در پروتون به وجود می‌آیند و احتمال آن به طور تدریجی با افزایش Q^2 افزایش می‌یابد. (کوارک‌های سنتگین خارجی). علاوه بر این، وجود غیراختلالی کوارک‌های افسون ذاتی در پروتون نیز توسط QCD پیش‌بینی شده است. در این تصویر، کوارک‌های سنتگین نیز درتابع موج پروتون وجود دارند. در واقع، تابع موج دارای یک ساختار پنج کوارکی ($|uudcc\bar{c}\rangle$) به علاوه‌ی حالت مقید سه کوارکی ($|uud\rangle$) است. تا کنون، پژوهش‌های زیادی برای تأیید یا رد این سهم اضافی انجام شده است. یکی از مطالعات اخیر توسط گروه NPDF انجام شده است. آنها وجود یک سهم کوارک افسون ذاتی را تا سطح ۳٪ انحراف معیار در پروتون از طریق اندازه‌گیری تابع ساختار تأیید کرده‌اند. بیشتر مطالعات برای محاسبه سهم کوارک افسون ذاتی تاکنون بر اساس تجزیه و تحلیل سرتاسری داده‌های تجربی انجام شده است. در این مقاله، ما برای اولین بار این سهم را به وسیله روش‌های قانون جمع QCD مستقیماً محاسبه کرده و سهم مُثُلفه ($|uudcc\bar{c}\rangle$) در پروتون را در حدود $(1.36 \pm 0.67)\%$ بدست آورده‌یم.

Charm content of proton: An analytic calculation

Olamaei, Alireza¹; Azizi, Kazem² ; Rostami, Saeedeh²

¹ Department of Physics, Jahrom University, Jahrom,

² Department of Physics, University of Tehran, Tehran

Abstract

According to general understanding, the proton as one of the main ingredients of the nucleus is composed of one down and two up quarks bound together by gluons, described by Quantum Chromodynamics (QCD). In this view, heavy quarks do not contribute to the primary wave function of the proton. Heavy quarks arise in the proton perturbatively by gluon splitting and the probability gradually increases as Q^2 increases (extrinsic heavy quarks). In addition, the existence of non-perturbative intrinsic charm quarks in the proton has also been predicted by QCD. In this picture, the heavy quarks also exist in the proton's wave function. In fact, the wave function has a five-quark structure ($|uudcc\bar{c}\rangle$) in addition to the three-quark bound state ($|uud\rangle$). So far, many studies have been done to confirm or reject this additional component. One of the recent studies has been done by the NPDF collaboration. They established the existence of an intrinsic charm component at the 3-standard-deviation level in the proton from the structure function measurements. Most of the studies performed to calculate the contribution of the intrinsic charm so far have been based on the global analyses of the experimental data. In this article, for the first time we directly calculate this contribution by using QCD sum rules. We estimate a $x_{cc}^- = (1.36 \pm 0.67)\%$ contribution for the ($|uudcc\bar{c}\rangle$) component of the proton.

کاوشِ بخش تاریک عالم

سروش شاکری

دانشکده فیزیک دانشگاه صنعتی اصفهان

چکیده

علی‌رغم تلاش‌های گسترده انجام شده در سه دهه گذشته، ماهیت حقیقی ماده تاریک که بیش از ۸۵ درصد ماده عالم را تشکیل می‌دهد، همچنان ناشناخته باقی‌مانده است. در حال حاضر کاندیدهای ذرهای متعددی برای ماده تاریک از جمله ذرات سنگین با برهمکنش ضعیف، اکسیون‌ها و نوتربینوهای استریل وجود دارد. تحقیقات برای آشکارسازی این ذرات اخیراً منجر به طراحی آزمایش‌های امیدبخشی شده است، که از آزمایش‌های بسیار دقیق رومیزی تا آشکارسازهای امواج گرانشی و کاوش‌های اخترفیزیکی را شامل می‌شوند. از یک سو آزمایش‌های زمینی به منظور یافتن نشانه‌ای از هاله ماده تاریک در اطراف زمین در حال فعالیت می‌باشند. از سوی دیگر امکان انباست مقدار قابل توجهی از ماده تاریک در اطراف اجرام اخترفیزیکی فشرده نظیر ستاره‌های نوترونی و سیاه‌چاله‌ها از طریق سناریوهای متعدد، فرصت منحصر به فردی را برای کاوش طبیعت ماده تاریک فراهم کرده است. در این سخنرانی، به مرور نتایج اخیر مان در جستجوی ماده تاریک از آزمایشگاه‌های زمینی تا محیط‌های اخترفیزیکی خواهیم پرداخت.

Probing the Dark Side of the Universe

Soroush Shakeri¹

¹ Department of Physics, Isfahan University of Technology, Isfahan

Abstract

Despite enormous efforts that have been made over the past three decades, the true nature of dark matter (DM) which makes up 85% of the matter in the universe remains unknown. Currently there are several motivated particle candidates for DM such as Weakly Interacting Massive Particles, axions, sterile neutrinos, etc. Research into the detectability of these particles has recently revealed a vast numbers of promising experimental designs ranging from high-precision table-top experiments to incorporating astronomical surveys and Gravitational Wave detectors. On one hand the terrestrial experiments have been operating during the years in order to find a direct signal of the local DM halo around the earth. On the other hand, a sizable amount of DM can be developed near compact astrophysical objects such as neutron stars and blackholes through different accumulation scenarios which can be served as a unique opportunity to indirectly probe the nature of DM. In this talk, we will review our recent results in DM searches from ground based experiments to astrophysical environments.

تحول زمانی در همتینیدگی در نظریه میدان‌های کوانتمی از دیدگاه کاربردی

علی ملاباشی

پژوهشکده فیزیک، پژوهشگاه دانش‌های بنیادی، تهران

چکیده

ابزارهای نظری جهت مطالعه‌ی ساختارهای در همتینیدگی در نظریه میدان‌های کوانتمی در دو دهه گذشته مورد مطالعه‌ی گسترده‌ای قرار گرفته است. به کمک این ابزارها که عمدها در چارچوب نظریه میدان‌های آزاد و نظریه میدان‌های منسجم (*CFT*) توسعه یافته است، رفتارهای عمومی متعددی، از جمله الگوی عمومی برای تحول زمانی در همتینیدگی کشف شده است. در گسترش این ابزارهای نظری، به صورت طبیعی، رویکرد کاربردی بسیار کمزگ بوده است. در این سخنرانی، تحول زمانی در همتینیدگی در نظریه میدان‌های منسجم آزاد و آشوبناک با عینک کاربردی مورد تحلیل قرار خواهد گرفت و یک مدار کوانتمی، با قابلیت پیاده‌سازی تجربی، برای مطالعه‌ی تحول زمانی در همتینیدگی در این خانواره از نظریه‌ها معرفی خواهد شد. به عنوان یکی از نتایج جانشی این دیدگاه، وجود در همتینیدگی محبوس در تحول زمانی سامانه‌های آشوبناک (مثل سیاه‌چالهای در حال تبخیر) مورد بحث قرار خواهد گرفت.

Time Evolution of Entanglement in QFT: An Operational Viewpoint

Ali Mollabashi

School of Physics, Institute for Research in Fundamental Sciences (IPM), Tehran

Abstract

In the last two decades, theoretical tools have been developed to study entanglement structures in quantum field theories. Most of these tools have been developed for free theories as well as conformal field theories (CFTs). Such methods have uncovered various universal behaviors, such as universalities during the time evolution of entanglement. With no surprise, such methods do not care much about operational concerns. In this talk, I will take an operational-oriented look at the time evolution of entanglement in free and chaotic CFTs. I will introduce an implementable quantum circuit that recovers the universal dynamical behaviors of entanglement measures in such theories. As a byproduct, I will address the existence of bound entanglement during the evolution of chaotic systems (such as evaporating black holes).

مدل های سیگما پواسون-لی T-دوگان با هندسه های تورستون اقلیدسی

علی اقبالی

گروه فیزیک، دانشکده علوم پایه، دانشگاه شهید مدنی آذربایجان، تبریز، ایران

چکیده

در این کار، ما هندسه های تورستون را از دیدگاه دوگانگی T -پواسون-لی بررسی می کنیم. ابتدا، زیرجبر های لی از بردارهای کلینگ مریوط به هندسه های تورستون را محاسبه می کنیم، به طوری که اثر زیرگروه های آبیزومتری مریوط به این جبرها روی خمینه های تورستون آزاد و متعادل می باشد. نشان داده می شود که زیرجبر های لی آبیزومتری سه بعدی با تعدادی از جبر های لی از نوع بایانکی یکریخت هستند. زیرگروه های آبیزومتری از متريک هندسه ها به عنوان اولین زیرگروه از دوتایی درینفلد در نظر گرفته می شوند. به منظور برآورده کردن شرط دوگان پذیری، زیرگروه دوم از دوتایی درینفلد، آبای در نظر گرفته می شود. بر این اساس، با استفاده از رهیافت دوگانگی T -پواسون-لی، ما همه دوگان های فضای هدف غیرآلی از این هندسه ها را در غیاب میدان تانسوری B به دست می آوریم، به طوری که در این راستا، همه هندسه های دوگان میدان B را دربر می گیرند.

واژه های کلیدی: مدل سیگما، دوگانگی ریسمان، هندسه تورستون، دوتایی درینفلد.

Poisson-Lie T-dual sigma models with Euclidean Thurston geometries

Eghbali, Ali

Department of Physics, Faculty of Basic Sciences, Azarbaijan Shahid Madani University, Tabriz, Iran

Abstract

In this work we proceed to investigate the Thurston geometries from the point of view of their Poisson-Lie T -dualizability. First of all, we find all sub-algebras of Killing vectors that generate group of isometries acting freely and transitively on the three-dimensional manifolds, where the Thurston metrics are defined. It is shown that three-dimensional isometry sub-algebras are isomorphic to some of the Bianchi algebras. The isometry subgroups of the metrics can be taken as one of the subgroups of the Drinfeld double. In order to satisfy the dualizability conditions the other subgroup must be chosen Abelian. Accordingly, we find the non-Abelian target space duals of these geometries via Poisson-Lie T -duality approach in the absence of B -field, in such a way that the dual geometries include B -field.

Keywords: Sigma model, String duality, Thurston geometry, Drinfeld double.

PACS No. (2,11)

جالبی با تپولوژی مشخص دارای تجزیه کانونیک به هشت خمینه با تقارن های مaksیمال ظاهر شده اند [۴]. به علاوه این هندسه ها در مدل های کیهان شناسی فضایی چهار بعدی نیز مورد استفاده قرار گرفته اند [۵]. قابل توجه است که کارهای اولیه در مورد این هندسه ها به عنوان پیکربندی های گرانشی اقلیدسی از نظریه ریسمان می آید [۶]. در تقارن دوگانگی در نظریه ریسمان به عنوان یکی از مهمترین تقارن ها در این نظریه [۷]. تبدیل دوگانگی روی فضای هدف، دو مدل سیگما را که فضاهای هدف آنها از لحاظ هندسی کاملاً متفاوت است را به هم ربط می دهد، به طوری که این دو مدل از لحاظ فیزیکی معادل می شوند. تبدیلات دوگانگی T -آلی در مدل های سیگما توسط بوشر در رساله دکتری اش مطرح شدند [۸]. بوشر در رساله خود احتمال تعیین تبدیلات دوگانگی آلی به غیرآلی را نیز پیش بینی کرده بود، تا این که دلاوسا و کویویدو [۹] تعیین به حالت غیرآلی را به شیوه مشخصی انجام دادند که در این مورد مشکل بازگشت پذیری به مدل اصلی وجود داشت. بعدها کلیمچیک و سورا [۱۰] با معرفی دوگانگی T -پواسون-لی راه حلی برای این مشکل پیدا کردند. آنها

مقدمه

در ریاضیات فرض هندسی تورستون بیان می کند که هر کدام از فضاهای تپولوژی سه بعدی یک ساختار هندسی منحصر به فرد دارد که به آن فضا نسبت داده می شود. فرض پیشنهاد شده تورستون بیان می کند که هر خمینه سه بعدی در یک روش کانونیک یکی از هشت ساختار هندسی می باشد. یک هندسه مدل سه بعدی M برای فرض هندسی تورستون مناسب بود اگر حداقل یک خمینه فشرده با یک ساختار هندسی طوری موجود باشد که روی M مدل بنده شده باشد. تورستون هشت هندسه مدل را طوری طبقه بنده کرد که شرایط ذکر شده در بالا را برآورده می کردند. این هندسه ها به صورت $SL(2,\mathbb{R})$, S^3 , H^3 , $E^3 \times S^2$, $E^1 \times H^2$, $E^1 \times S^2$, Nil نمایش داده می شوند [۳-۱]. اخیرا، هندسه های تورستون در نظریه های گرانشی مورد توجه قرار گرفته اند. نشان داده شده است که گرانش جرم دار سه بعدی حاوی جواب های خلا با هندسه های تورستون است که به صورت سه خمینه های

لی G و \tilde{G} ساختار پواسون لی دارند و جبرهای لی شان تشکیل دو جبر لی می-دهند [۱۱،۱۰]. به منظور پیدا کردن ارتباط بین گروههای لی G و \tilde{G} می‌توان از شرط انتگرال‌پذیری مشتق لی و همچنین فرمول (۵) شروع کرد. سپس نتیجه-گیری می‌شود که

$$(6) \quad f_{ab}^c \tilde{f}_{\ c}^{de} = f_{ac}^d \tilde{f}_{\ de}^e + f_{ac}^e \tilde{f}_{\ de}^b + f_{cb}^d \tilde{f}_{\ de}^a + f_{cb}^e \tilde{f}_{\ de}^b,$$

رابطه بالا که ارتباط بین ثابت‌های ساختار جبرهای لی G و \tilde{G} را مشخص می-کند اتحاد یاکوبی آیینه نامیده می‌شود. انتظار می‌رود که مدل سیگمای دوگان هم ارزی برای (۱) نیز وجود داشته باشد، چون می‌توان نقش جبرهای لی G و \tilde{G} را در رابطه (۶) عوض کرد و سپس مدل سیگمای دوگانی روی خمینه‌ی M با ماتریس پس زمینه $\mu\nu$ در نظر گرفت که گروه لی \tilde{G} روی آن به طور آزاد اثر می‌کند. در نهایت فرمول تقارن پواسون لی برای مدل سیگمای دوگان مشابه با فرمول (۵) بدست خواهد آمد [۱۱،۱۰]. در ادامه، مدل‌های سیگمای پواسون لی T -دوگان روی گروههای لی G و \tilde{G} مورد مطالعه قرار می‌گیرند. در این مورد اثر گروه لی G روی خمینه‌ی هدف علاوه بر اثر آزاد متعددی نیز خواهد بود [۱۲]. یعنی خمینه‌ی M همان گروه لی در نظر گرفته می‌شود. از عناصر مهم و ضروری در ساختن مدل‌های سیگما روی گروههای لی G و \tilde{G} دوتایی دریفلد است. دوتایی دریفلد D یک گروه لی است که جبر لی مربوطه اش، D ، به عنوان یک فضای برداری به جمع مستقیم دو تا زیر جبر لی G و \tilde{G} تجزیه می‌شود، به طوری که ضرب داخلی روی هر کدام از این زیرجبرها صفر می‌شود. توجه داشته باشید که ساختار مدل‌های سیگما روی گروههای لی در مقالات [۱۰] و [۱۱] با جزئیات کامل بحث شده است. مدل سیگمای اصلی با یک فضای هدف در گروه لی G با کنش زیر تعریف می‌شود:

$$(7) \quad S = \frac{1}{2} \sum d \sigma^+ d \sigma^- R_+^a R_-^b E_{ab}(g),$$

به طوری که R_\pm^a های تعریف شده به صورت $(\partial_\pm g^{-1})^a$ ، مولفه‌های یک‌فرم‌های ناوردای راست روی G هستند. ماتریس $E_{ab}(g)$ نیز به صورت $(E_0(e))^{-1} = (E_0^{-1}(e) + \Pi(g))$ تعریف می‌شود، که در آن $E_0(e)$ ماتریس ثابت مدل سیگما نامیده می‌شود که در همسایگی عضو واحد گروه (g) تعریف می‌شود و $\Pi(g)$ تعریف شده از طریق روابط $g^{-1} T^a g = b^{a'c} (g) T_c + (a'^{-1})^c (g) T^c$. $\Pi(g) = b(g) a^{-1}(g)$.

ساختار پواسون روی گروه لی G نامیده می‌شود.

مدل سیگمای دیگری که پواسون لی T -دوگان با مدل سیگمای (۷) می-

باشد، روی گروه لی دوگان \tilde{G} به صورت زیر داده می‌شود

$$(9) \quad \tilde{S} = \frac{1}{2} \sum d \sigma^+ d \sigma^- \tilde{R}_+^a \tilde{R}_-^b \tilde{E}^{ab}(\tilde{g}),$$

که در آن $(\partial_\pm \tilde{g}^{-1})^a$ ها، مولفه‌های یک‌فرم‌های ناوردای راست روی گروه لی \tilde{G} می‌باشند. ماتریس $\tilde{E}^{ab}(\tilde{g})$ نیز به صورت $(\tilde{E}_0(e))^{-1} = (E_0(e) + \tilde{\Pi}(\tilde{g}))$ تعریف می‌شود که در آن $\tilde{E}_0(e)$ ساختار پواسون روی \tilde{G} می‌باشد که با تعویض کمیت‌های تیلتادار با بدون تیلتا مشابه با فرمول (۸) تعریف می‌شود.

فرض کردند که برای داشتن تقارن دوگانگی لازم نیست که دیگر فضای هدف دارای تقارن ایزومنتری باشد، بلکه کافیست که جریان نوتری مربوط به اثر آزاد یک گروه لی G روی خمینه‌ها، بهویژه گروههای لی مرور مختصر دوگانگی T -پواسون لی روی خمینه‌ها، بهویژه گروههای دوگان غیر آبلی مربوط به هندسه‌های تورستون را به دست می‌آوریم.

مدل‌های سیگمای پواسون لی T -دوگان روی گروههای لی

کنش مدل سیگمای غیرخطی دو بعدی را با متریک $(x) G_{\mu\nu}$ و میدان تانسوری پادمتقارن $(x) B_{\mu\nu}$ به صورت زیر در نظر بگیرید:

$$(1) \quad S = \frac{1}{2} \sum d \sigma^+ d \sigma^- \varepsilon_{\mu\nu}(x) \partial_+ x^\mu \partial_- x^\nu \\ = \frac{1}{2} \sum d \sigma^+ d \sigma^- [G_{\mu\nu}(x) + B_{\mu\nu}(x)] \partial_+ x^\mu \partial_- x^\nu,$$

که در آن σ^\pm مختصات‌های مخروط نوری نامیده می‌شوند که بر حسب مختصات‌های جهان رویه $\sum (\tau \pm \sigma)/\sqrt{2}$ به صورت $\sigma^\pm = (\tau \pm \sigma)$ تعریف می‌شوند و $\mu, \nu, \alpha, \beta, d, \dots$ مختصات‌های خمینه M می‌باشند که جهان رویه در آن غوطه‌ور است. حال فرض کنید که یک گروه لی G به طور آزاد [۱۲] روی خمینه M اثر می‌کند. در آن صورت می‌توان به این اثر یک‌فرم‌های جریان نوتری مربوطه به جهان رویه را نسبت داد. برای بررسی تقارن پواسون لی در مدل سیگمای (۱)، تغییرات کنش را که از اثر گروه لی G روی خمینه M ناشی می‌شود، تحت تبدیل

$$(2) \quad x^\mu \rightarrow x^\mu + \epsilon^\alpha (\sigma^+, \sigma^-) V_a^\mu$$

بررسی می‌کنیم، که در آن (σ^+, σ^-) ها پارامترهای بینهایت کوچک روی جهان رویه اند و V_a^μ ، مولفه‌های میدان‌های برداری چپ ناوردا روی گروه لی G هستند که به صورت $V_a^\mu = V_a^\mu \partial/\partial x^\mu$ بیان می‌گردند. با وردش از کنش (۱) تحت تبدیل (۲) و سپس با کمی محاسبه جبری نتیجه‌گیری می‌شود که [۱۱،۱۰]

$$(3) \quad \delta S = \frac{1}{2} \int d^2 \sigma \epsilon^a L_{V_a} \varepsilon_{\mu\nu} \partial_+ x^\mu \partial_- x^\nu - \frac{1}{2} \int d \epsilon^a \wedge * J_a,$$

که در آن L_{V_a} و J_a به ترتیب مشتق لی از پس زمینه و ستاره هاج جریان نوتری را نمایش می‌دهند. سپس به شرطی که معادلات حرکت کنش (۱) برقرار باشند و یک‌فرم‌های جریان نوتری $* J_a$ به جای بسته بودن از معادله موره-کارتان زیر تبعیت کنند

$$(4) \quad d * J_a = -\frac{1}{2} \tilde{F}_{\ a}^{bc} * J_b \wedge * J_c,$$

به این ترتیب برای صفر شدن وردش از کنش (۱)، بقای جریان‌های غیر جایجایی شرط زیر را روی ماتریس پس زمینه تحمیل می‌کند

$$(5) \quad L_{V_a} \varepsilon_{\lambda\nu} = \tilde{F}_{\ a}^{bc} V_b^\mu V_c^\rho \varepsilon_{\lambda\rho} \varepsilon_{\mu\nu},$$

که در آن $\tilde{F}_{\ a}^{bc}$ ثابت ساختار مربوط به جبر لی دوگان از گروه لی \tilde{G} می‌باشد. مدل‌های سیگمایی که ماتریس پس زمینه شان در شرط (۵) صدق کند، گفته می-شود دارای تقارن پواسون لی هستند [۱۱،۱۰]. توجه داشته باشید که گروههای

$$\text{متريک مربوط به هندسه} \text{ تورستون } E^1 \times H^2 \text{ به صورت زير داده می شود [۴]} \\ ds^2 = l^2(dx^2 + dy^2 + \cosh^2 y dz^2), \quad (10)$$

که در آن l^2 مقدار ثابتی است. از حل معادله کلينگ $\mathcal{L}_{k_y} G_{\mu\nu} = 0$, می توان نشان داد که متريک بالا چهار بردار کلينگ مستقل خطی را به صورت زير می پذيرد

$$k_1 = e^{-z}(\partial_y + \tanh y \partial_z), \quad k_3 = \partial_z, \quad (11) \\ k_2 = -e^z(\partial_y - \tanh y \partial_z), \quad k_4 = \partial_x,$$

جبر لی جاروب شده به وسیله اين بردارها چيزی جز جبر لی $g/(2, ۶۸)$ نیست که با روابط جابجايی زير تعریف می شود

$$[k_1, k_2] = k_3, \quad [k_1, k_3] = k_2, \quad [k_1, k_4] = 0, \quad (12)$$

تها زير جبرهاي لی سه بعدی از جبر لی بالا، جبرهاي لی از نوع بایاناتکی $VIII$ و III هستند که پایه های آنها بر حسب ترکیب خطی از بردارهاي کلينگ

(11) به صورت زير داده می شوند

$$III : \text{Span}\{T_1 = k_2 + k_3, T_2 = k_2, T_3 = k_4\}, \quad (13)$$

$$VIII : \text{Span}\{T_1 = k_2, T_2 = k_1, T_3 = -k_3\}. \quad (14)$$

با استفاده از بحث ذکر شده در بالا برای اثر آزاد و متعددی به سادگی می توان نشان داد که تنها اثر زيرگروه لی متناظر با جبر بایاناتکی از نوع III روی خمينه هندسه $E^1 \times H^2$ آزاد و همچنین متعددی است. بر اين اساس برای پيدا کردن فضای دوگان با اين هندسه ابتدا تبدیل مختصات بين مختصات های زيرگروه III و خمينه هندسه $E^1 \times H^2$ را به دست می آوريم. ابتدا با انتخاب عضو گروه III به صورت $x^2 = g = e^{x_1 T_2} e^{x_2 T_1} e^{x_3 T_3}$ بدست آورده می شوند، سپس با استفاده از اين واقعیت که $(L_a^a)^{-1} = (L_a^a)$ می باشد، میدان های برداری چپ ناوردا روی III به صورت زير پيدا می آيد

$$V_1 = \partial_{x_1}, \quad V_2 = e^{x_1} \partial_{x_2}, \quad V_3 = \partial_{x_3}. \quad (15)$$

ميدان های برداری به عنوان بردارهاي ماماسي می توانند نقش پایه های T_a برای زير جبر III ایفا کنند. بنابراین با استفاده از (11)، (13) و (15) تبدیل بين مختصات ها به صورت زير پيدا می شوند

$$x_1 = z + \ln(\cosh y), \quad x_2 = -(e^z \cosh y + \sinh y), \quad x_3 = x. \quad (16)$$

با استفاده از تبدیل مختصات (16) می توان متريک (10) را بر حسب مختصات های گروه نوشته و در نهايیت مدل سیگما روی III که متريک هندسه $E^1 \times H^2$ را تفسیر می کند، به صورت زير درمی آيد

$$S = \frac{l^2}{2} \int d^2\sigma [(1+x_2^2)\partial_{+}x_1 \partial_{-}x_1 + \partial_{+}x_2 \partial_{-}x_2 + \partial_{+}x_3 \partial_{-}x_3 - x_2(\partial_{+}x_1 \partial_{-}x_2 + \partial_{+}x_2 \partial_{-}x_1)]. \quad (17)$$

از مقایسه کشن بالا با کشن (7)، ماتریس ثابت مدل سیگما به صورت $E_{0ab} = l^2 \delta_{ab}$ نتیجه گیری می شود. با استفاده از اين نتیجه و همچنین با کمک از رابطه (9) می توان مدل سیگماي دوگان را به دست آورد که متريک و میدان

پادمتقارن $\tilde{B}_{\mu\nu}$ متناظرش به صورت زير نتیجه می شوند

$$ds^2 = l^2(l^4 + \tilde{x}_1^2)^{-1}(dx_1^2 + d\tilde{x}_1^2) + l^{-2}d\tilde{x}_2^2, \quad (18) \\ \tilde{B} = \tilde{x}_2(l^4 + \tilde{x}_2^2)^{-1}d\tilde{x}_1 \wedge d\tilde{x}_2.$$

۲- دوگان فضای هدف مربوط به هندسه تورستون E^3

دوگان های فضای هدف غیرآبلی مربوط به هندسه های تورستون اقلیدسی

در اين بخش با استفاده از رهیافت دوگانگی T -پواسون لی که در بخش قبلی مرور شد، دوگان های فضای هدف غیرآبلی مربوط به هندسه های تورستون اقلیدسی را به دست می آوریم. قبل از هر چيز، فرایند محاسبه را به طور مختصر شرح می دهیم: ابتدا بردارهاي کلينگ متناظر با يك متريک تورستون داده شده را به عنوان تقارن ايزومتری متريک به دست می آوریم. در اين روش بايستی تعداد بردارهاي کلينک مستقل خطی از خمينه هندسه تورستون بزرگتر و يا مساوی باشد. جبر لی جاروب شده به وسیله اين بردارها چيزی جز جبر لی $g/(2, ۶۸)$ نیست که می کنيم؛ سپس همه زيرجبرهاي لی سه بعدی (هم بعد با بعد خمينه) از جبر لی ايزومتری را به دست می آوریم. اثبات آزاد و متعددی زيرگروه های لی ايزومتری سه بعدی را روی خمينه های تورستون بررسی می کنيم. تنها زيرگروه هایی که هر دو اثر آزاد و متعددی را دارند، به عنوان زيرگروه اول از دوتایی دريفلد در نظر گرفته می شوند. در رهیافت ما همیشه زيرگروه دوم آبلی در نظر گرفته می شود؛ در واقع در اين جا با يك دوتایی دريفلد نيمه آبلی سروکار خواهیم داشت. از طریق میدان های برداری روی زيرگروه های ايزومتری، تبدیل مختصات بین زيرگروه و خمينه هندسه تورستون را به دست می آوریم. در اين راستا، می توانیم مدل سیگمايی روی زيرگروه اول از دوتایی دريفلد باسازیم که متريک مدل تبدیل مختصات یافته متريک هندسه های تورستون است. با مشخص کردن ماتریس ثابت اين مدل سیگما در همسایگی عضو واحد گروه می توان مدل سیگماي دوگان متناظر با متريک هندسه های تورستون را به دست آورد.

قبل از ساختن مدل ها لازم است که شکل بی نهايیت کوچکی از اثر آزاد گروه M را روی خمينه M را تعریف کنیم. در هر نقطه از خمينه M يك بردار $T_a^a = \partial_a$ از زير جبر ايزومتری وجود دارد به طوری که اگر اثر آن بردار روی هر نقطه x از M صفر شود، آن گاه خود بردار بايستی بدار صفر باشد. در واقع با در نظر گرفتن عضو گروه به صورت $e^{\alpha^a T_a}$ ، برای شکل بی نهايیت کوچک می توان نشان داد که $0 = x^a e^{\alpha^a T_a}$ و در نهايیت نتيجه گيری می شود که $\alpha^a = 0$.

اثر متعددی گروه لی روی خمينه به اين معنی است که برای هر دو نقطه x و x' از خمينه، عضو غير بدیهی $G \in G$ چنان وجود داشته باشد که $x' = x^a T_a$. به منظور داشتن درک بهتری از این تعریف، پایه های T_a جبر لی از گروه لی G را بر حسب بردارهاي کلينگ k_a خمينه به صورت $T_a = B_a^b k_b = A_a^{\mu} \partial_{\mu}$ بسط می دهیم. استقلال خطی پایه های T_a ایجاب می کند که ماتریس A_a^{μ} معکوس پذير باشد. با در نظر گرفتن عضو بی نهايیت کوچک گروه، تنها شرط معکوس پذيری A_a^{μ} ایجاب می کند که $g \in G$ يك عضو غير بدیهی از گروه باشد؛ بنابراین معکوس پذيری A_a^{μ} شرط متعددی بودن اثر گروه روی خمينه را به ما می دهد [۱۳]. در زير دوگان فضای هدف مربوط به هندسه تورستون $E^1 \times H^2$ را به طور كامل شرح داده می شود؛ برای بقیه موارد نتایج نهايی گزارش داده می شوند.

۱- دوگان فضای هدف مربوط به هندسه تورستون $E^1 \times H^2$

ش روی خمینه‌ی Nil آزاد و متعددی می‌باشد. در این مورد پس‌زمینه‌ی مدل سیگما دوگان روی دوتایی درینفلد (II, I) به صورت زیر نتیجه می‌شود

$$d\tilde{s}^2 = \frac{4}{l^2} d\tilde{x}_1^2 + \frac{4l^2}{l^4 + 16\tilde{x}_1^2} (d\tilde{x}_2^2 + d\tilde{x}_3^2), \quad \tilde{B} = \frac{16\tilde{x}_1}{l^4 + 16\tilde{x}_1^2} d\tilde{x}_2 \wedge d\tilde{x}_3. \quad (28)$$

۵- دوگان فضای هدف مربوط به هندسه‌ی تورستون Sol

متريک هندسه‌ی تورستون Sol به صورت زير داده می‌شود [۴]

$$ds^2 = l^2 (e^{-2z} dx^2 + e^{2z} dy^2 + dz^2). \quad (29)$$

اين متريک تنها سه بردار کلينگ مستقل خطی زير را می‌پذيرد

$$k_1 = x\partial_x - y\partial_y + \partial_z, \quad k_2 = \partial_y, \quad k_3 = \partial_x, \quad (30)$$

برداری تعريف شده بهوسيله اين بردارها با جير لى VI_0 يكريخت است. با انتخاب پايه‌های VI_0 به صورت $\{T_1 = -k_2 + k_3, T_2 = k_2 + k_3, T_3 = k_1\}$ و (VII_0, I) که فضای پس‌زمینه‌ی مدل سیگما دوگان روی دوتایی درینفلد (VII_0, I) را تفسير می‌کند، به صورت زير به دست می‌آيد

$$d\tilde{s}^2 = \Gamma^{-1} [l^2 d\tilde{x}_1^2 + (l^2 + \tilde{x}_3^2 / l^2) d\tilde{x}_2^2 + (l^2 + \tilde{x}_2^2 / l^2) d\tilde{x}_3^2 + \frac{2}{l^2} \tilde{x}_2 \tilde{x}_3 d\tilde{x}_2 d\tilde{x}_3], \quad (31)$$

$$\tilde{B} = \Gamma^{-1} [\tilde{x}_2 d\tilde{x}_1 \wedge d\tilde{x}_2 - \tilde{x}_3 d\tilde{x}_1 \wedge d\tilde{x}_3].$$

نتيجه‌گيري: با محاسبه زيرجبرهای لى ايزومتری سه‌بعدی از متريک‌های هندسه‌های تورستون و با بكارگيري رهافت دوگانگی T -پواسون-لى توانستيم پس‌زمینه‌های دوگان غيرآبلی متناظر را به دست آوردیم. زيرگروههای ايزومتری مربوط به هندسه‌های S^3 و $E^1 \times S^2$ هر دو اثر آزاد و متعددی را همزمان روی خمینه‌ی هندسه نداشتند.

مرجع ها

- [۱] W. P. Thurston, Three-dimensional manifolds, Kleinian groups and hyperbolic geometry, *Bull. American Math. Soc., New Series*, **6** (1982) 357.
- [۲] W. P. Thurston, *Three-dimensional geometry and topology*, Vol. 1 (Princeton University Press, Princeton NJ, 1997).
- [۳] P. Scott, The geometries of 3-manifolds, *Bull. London Math. Soc.* **15** (1983) 401.
- [۴] D. Flores-Alfonso, C. S. Lopez-Monsalvo, M. Maceira, Thurston geometries in three-dimensional new massive gravity, *Phys. Rev. Lett.* **127** (2021) 061102.
- [۵] A. H. Taub, Empty space-times admitting a three parameter group of motions, *Annals Math.* **53** (1951) 472.
- [۶] J. Gegenberg, S. Vaidya, J. F. Vazquez-Poritz, Thurston geometries from eleven dimensions, *Class. Quant. Grav.*, **19** (2002) L199.
- [۷] N. Sakai and I. Senda, Vacuum energies of string compactified on torus, *Prog. Theor. Phys.* **75**, (1986) 692–705.
- [۸] T. H. Buscher, A symmetry of the string background field equations, *Phys. Lett. B*, **194**, (1987) 59–62; Path-integral derivation of quantum duality in nonlinear sigma-models, *Phys. Lett. B*, **201** (1988) 466.
- [۹] X. C. de la Ossa and F. Quevedo, Duality symmetries from non-abelian isometries in string theory, *Nucl. Phys. B*, **403** (1993) 377.
- [۱۰] C. Klimcik and P. Severa, Dual non-Abelian duality and the Drinfeld double, *Phys. Lett. B*, **351** (1995) 455.
- [۱۱] C. Klimcik, Poisson-Lie T-duality, *Nucl. Phys. B (Proc. Suppl.)* **46** (1996) 116,
- [۱۲] M. Nakahara, *Geometry, Topology and Physics*, 2nd edition, IOP, Bristol and Philadelphia (2003).
- [۱۳] A. Eghbali, R. Naderi, A. Rezaei-Aghdam, Non-Abelian T-duality of $AdSd \leq 3$ families by Poisson-Lie T-duality, *Eur. Phys. J. C*, **82** (2022) 580.

متريک هندسه‌ی تورستون E^3 به صورت زير داده می‌شود [۴]

$$ds^2 = dx^2 + dy^2 + dz^2. \quad (19)$$

اين متريک شش بردار کلينگ مستقل خطی به صورت زير دارد

$$k_1 = y\partial_x - x\partial_y, \quad k_2 = z\partial_x - x\partial_z, \quad k_3 = \partial_x, \\ k_4 = z\partial_y - y\partial_z, \quad k_5 = \partial_y, \quad k_6 = \partial_z. \quad (20)$$

تنها زيرجبرهای لى سه‌بعدی از جير لى تعريف شده بهوسيله بردارهای کلينگ بالا، جبرهای لى از نوع بايانکي IX و VII_0 می‌باشند که تنها اثر زيرگروه لى متناظر با بايانکي VII_0 روی خمینه‌ی هندسه E^3 آزاد و متعددی می‌باشد. جير لى سه‌بعدی از جيرهای کلينگ بالا به صورت زير در نظر گرفته می‌شود

$$VII_0 : \text{Span}\{T_1 = -\alpha_0 k_6, T_2 = \alpha_0 k_5, T_3 = k_3 + k_4\}, \quad (21)$$

که در آن α_0 مقدار ثابتی است. با استفاده از رهافت دوگانگی ذکر شده در بخش قبلی، پس‌زمینه‌ی مدل سیگما دوگان روی دوتایی درینفلد (VII_0, I) که فضای دوگان هندسه‌ی E^3 را تفسير می‌کند، به صورت زير به دست می‌آيد

$$d\tilde{s}^2 = \alpha_0^2 \Delta^{-1} [(\alpha_0^2 + \tilde{x}_1^2) d\tilde{x}_1^2 + (\alpha_0^2 + \tilde{x}_2^2) d\tilde{x}_2^2 + \alpha_0^4 d\tilde{x}_3^2 + 2\tilde{x}_1 \tilde{x}_2 d\tilde{x}_1 d\tilde{x}_2], \quad (22)$$

$$\tilde{B} = \Delta^{-1} [\tilde{x}_1 d\tilde{x}_1 \wedge d\tilde{x}_2 + \tilde{x}_2 d\tilde{x}_2 \wedge d\tilde{x}_3].$$

$$\Delta = \alpha_0^2 + \tilde{x}_1^2 + \tilde{x}_2^2.$$

۴- دوگان فضای هدف مربوط به هندسه‌ی تورستون H^3

متريک هندسه‌ی تورستون H^3 به صورت زير داده می‌شود [۴]

$$ds^2 = l^2 z^{-2} (dx^2 + dy^2 + dz^2). \quad (23)$$

اين متريک نيز شش بردار کلينگ مستقل خطی به صورت زير می‌پذيرد

$$k_1 = \frac{1}{2} (x^2 - y^2 - z^2) \partial_x + xy \partial_y + xz \partial_z, \quad k_2 = x \partial_x + y \partial_y + z \partial_z, \quad k_3 = \partial_x, \quad (24)$$

$$k_4 = \frac{-1}{2} (x^2 - y^2 + z^2) \partial_y + xy \partial_x + yz \partial_z, \quad k_5 = y \partial_x - x \partial_y, \quad k_6 = \partial_y.$$

زيرجبرهای لى سه‌بعدی برای جير لى تعريف شده با کلينگ‌های بالا، جبرهای

بايانکي از نوع V و $VIII$ و VII_a و VII_b می‌باشند که تنها اثر زيرگروههای V و VII_a روی H^3 آزاد و متعددی است. با انتخاب پايه‌های V به صورت زير می‌آيد

$$V : \text{Span}\{T_1 = -k_3, T_2 = k_5, T_3 = k_6\}, \quad (25)$$

$$d\tilde{s}^2 = \Gamma^{-1} [l^2 d\tilde{x}_1^2 + (l^2 + \tilde{x}_3^2 / l^2) d\tilde{x}_2^2 + (l^2 + \tilde{x}_2^2 / l^2) d\tilde{x}_3^2 - \frac{2}{l^2} \tilde{x}_2 \tilde{x}_3 d\tilde{x}_2 d\tilde{x}_3],$$

$$\tilde{B} = \Gamma^{-1} [\tilde{x}_2 d\tilde{x}_1 \wedge d\tilde{x}_2 + \tilde{x}_3 d\tilde{x}_1 \wedge d\tilde{x}_3].$$

$$\Gamma = l^4 + \tilde{x}_2^2 + \tilde{x}_3^2.$$

۵- دوگان فضای هدف مربوط به هندسه‌ی تورستون Nil

متريک هندسه‌ی تورستون Nil به صورت زير تعريف می‌شود [۴]

$$ds^2 = \frac{l^2}{4} (dx^2 + dy^2 + (xdy - zdz)^2). \quad (26)$$

تقارنهای اين متريک چهار بردار کلينگ زير داده می‌شود

$$k_1 = y\partial_x - x\partial_y - \frac{1}{2} (x^2 - y^2) \partial_z, \quad k_2 = \partial_x + y\partial_z, \quad k_3 = -\partial_y, \quad k_4 = \partial_z. \quad (27)$$

تنها زيرجبرهای لى سه‌بعدی از جير لى ايزومتری متريک Nil ، جير لى از نوع بايانکي II می‌باشد که اثر زيرگروههای II متناظر

تغییر شکل TT در نظریه های الکترو دینامیک غیر خطی

داود مهدویان یکتا

گروه فیزیک، دانشگاه حکیم سبزواری، سبزوار

چکیده

در این سخنرانی ابتدا معرفی مختصری در مورد پیشنهاده عملگر TT در نظریه های میدان کوانتومی ۲ بعدی و ویژگی های نظریه تغییر یافته تحت تاثیر این عملگر ارایه می دهیم. مهمترین ویژگی نظریه تغییر شکل یافته این است که معادله آن حل پذیر است و طیف انرژی محدودی برای نظریه بدست می آید. به عنوان مثالی از این عملگر در ابعاد بالاتر، نظریه های الکترو دینامیک غیر خطی تحت تاثیر عملگر غیروابسته TT -گونه را مطالعه می کنیم. به طور خاص، یک کلاس همدیس از این نظریه ها که به نظریه مادماکس مشهور است را بررسی می کنیم و نشان می دهیم که نظریه تغییر یافته یک نظریه الکترو دینامیک بورن-اینفلد تعمیم یافته می باشد. سپس یک عملگر جدید بی تفاوت معرفی می کنیم که با عملگر غیروابسته جابجا می شود و نظریه های مادماکس و بورن-اینفلد تعمیم یافته را به ترتیب از نظریه های معمول مادماکس و بورن-اینفلد در الکترو دینامیک تولید می کند. در انتهای ساختارهای تاواردی خود دوگان که یکی از تقارن های مهم در نظریه های الکترو دینامیک می باشد را در مورد نظریه های تغییر یافته مورد بحث قرار می دهیم.

TT-deformation in Non-linear Electrodynamic Theories

Davood Mahdavian Yekta

Department of Physics, Hakim Sabzevari University, Sabzevar

Abstract

In this talk we first give a brief review on the proposal of TT operator in two-dimensional quantum field theories and the properties of the deformed theories under applying this operator. The most important property of a deformed theory is that its flow equation under this operator is solvable and one can obtain a finite spectrum for the theory. As an example in higher dimensions, we study the non-linear electrodynamic theories deformed by such an irrelevant TT-like operator. Particularly, we study a conformal class of these theories known as ModMax theory and it is shown that the deformed theory is the generalized non-linear Born-Infeld electrodynamics. Then, we introduce a marginal nonlinear TT operator which commutes with irrelevant operator and generates ModMax and generalized Born-Infeld theories from the usual Maxwell and Born-Infeld electrodynamics, respectively. Finally, we discuss about the self-dual invariant structures of these deformed theories which is one of important symmetries in non-linear electrodynamics.

رهیافت‌ها به گرانش کوانتمی

محمدمهدی شیخ جباری

پژوهشکده فیزیک پژوهشگاه دانش‌های بنیادی، خ فرمانیه، تهران

چکیده

گرانش تنها برهمنکننی است که بین هر دو موجود فیزیکی وجود دارد و در فیزیک فعلی ما با نسبیت عام اینشتین فرمول بنای می‌شود. گرچه جنبه‌های بسیار جالب نظری و همچنانی خوبی با تمامی مشاهدات و رصدۀای فعلی دارد، نسبیت عام کاستی‌های نظری دارد. تصور معمول آن است که این کاستی‌ها در یک نظریه گرانش کوانتمی قابل رفع و فهم است. علی‌رغم تلاش‌های بسیار و آزمودن رهیافت‌های گوناگون، هنوز یک نظریه سازگار و دقیق از گرانش کوانتمی در دسترس نیست. در این سخنرانی بعد از مروری گذران بر کاستی‌های نسبیت عام، سه مکتب فکری که برای فرمول بنای گرانش کوانتمی تکوین یافته را طرح و بحث می‌کنیم که هر یک از این مکاتب چگونه با کین کاستی‌ها برخورد می‌کنند و چه تصویر عمومی از یک نظریه گرانش کوانتمی به دست می‌دهند.

Approaches To Quantum Gravity

M.M. Sheikh-Jabbari

School of Physics, Institute for Research in Fundamental Sciences (IPM), Tehran, Iran

Abstract

Gravity is the only interaction which appears among all existing objects and in our current physics it is formulated through Einstein theory of General Relativity (GR). Although it has many theoretical appealing features and successes with the current experiments and observations, GR suffers from theoretical shortcomings. It is thought that these shortcomings can be addressed within a theory of quantum gravity (QGr). Despite of many efforts and trying various approaches, a consistently quantized gravity (or quantum GR) has remained elusive. In this talk after reviewing these shortcomings, discuss three different schools of thought on the issue of QGr and briefly mention different approaches within these schools of thought to GR theoretical shortcomings and/or formulation of QGr.

بررسی تولید بوزون Z در برخورد هادرون-هادرون

رضایی، سمهیه^۱؛ مدرس، مجید^۱

^۱دانشکده فیزیک دانشگاه تهران، انتهای خیابان کارگر شمالی، تهران

چکیده

در این مقاله، تولید بوزون Z را از طریق برخوردهای پروتون-پروتون در چارچوب‌های فاکتورگیری تکانه عرضی و فاکتورگیری تکانه عرضی وابسته به پارامتر ζ به ترتیب با استفاده از توابع توزیع پارتونی انتگرال‌گیری نشده و توابع توزیع پارتونی انتگرال‌گیری نشده دوگانه مارتین-ریسکین-وات بررسی می‌کنیم. محاسبات را در چارچوب فاکتورگیری تکانه عرضی توسط مولد مرتبه پارتونی کی، تی و در چارچوب فاکتورگیری تکانه عرضی وابسته به پارامتر ζ به صورت مستقیم انجام می‌دهیم. نتایج خود را با داده‌های 13TeV آزمایش ال. اچ. سی. بی مقایسه می‌کنیم. محاسبات نشان می‌دهد که چارچوب‌های گفته شده رفتار نسبتاً مشابهی را در مناطق تنداشی متوجه دارند. در حالی که در مناطق با تنداشی بزرگ چارچوب فاکتورگیری تکانه عرضی وابسته به پارامتر ζ نسبت به چارچوب فاکتورگیری تکانه عرضی نتایج را نزدیک‌تر به داده‌های تجربی پیش‌بینی می‌کند.

واژه‌های کلیدی: توابع توزیع پارتونی انتگرال‌گیری نشده، توابع توزیع پارتونی انتگرال‌گیری نشده دوگانه، کی، تی، تنداشی.

Investigation of the Z boson production by hadron-hadron collision Rezaie, Somayeh; Modarres, Majid

Department of Physics, University of Tehran, Tehran

Abstract

In this work, we investigate the Z boson production through p - p collisions in the k_t and (z, k_t) -factorization frameworks, respectively, using unintegrated parton distribution functions (UPDFs) and double unintegrated parton distribution functions (DUPDFs) Martin-Ryskin-Watt (MRW). We compute the calculations in the k_t -factorization by *KaTie* parton level event generator and in the (z, k_t) -factorization we do it directly. Also we compare the results with data from the 13TeV LHCb experiment incomparable. The Calculations show that the aforementioned frameworks have a relatively similar behavior in the medium rapidity regions. While in the large rapidity regions, the (z, k_t) -factorization framework predicts the results closer to the experimental data than the k_t -factorization framework.

Keywords: UPDFs, DUPDFs, *KaTie*, rapidity.

PACS No

مقطع پروتون را مانند سطح مقطع ذرات بنیادی به سادگی محاسبه کرد.
خوشبختانه نظریه فاکتورگیری به ما اجازه می‌دهد که سطح مقطع پیچیده هادرونی را بر حسب سطح مقطع پارتونی اولیه که با توابع توزیع پارتونی درآمیخته شده محاسبه کنیم. در نوشتار علمی، چارچوب‌های فاکتورگیری مختلفی برای محاسبه سطح مقطع

مقدمه

پیش‌بینی دقیق داده‌های آزمایشگاهی برخورد پروتون-پروتون با انرژی بالا بسیار مهم است. به دلیل ماهیت پیچیده پروتون که در آن پارتون‌ها توسط نیروی گلئونی قوی داخل پروتون مقید می‌شوند، محاسبات سطح مقطع کار آسانی نیست. از این رو نمی‌توان سطح

در فرمول بالا a می تواند کوارک یا گلئون باشد و $\alpha_s(k_t^2)$ ضریب برهمکنش قوی است. مفهوم این فرمول بدین صورت است کهتابع توزیع هم راستا b^{LO} (leading order PDF) در مقیاس k_t نشری حقیقی با احتمال $\frac{\alpha_s(k_t^2)}{2\pi} P_{ab}^{LO}$ (leading order splitting) دارد. در انتهای بدون نشر حقیقی از مقیاس k_t تا مقیاس μ تحول می یابد که باز جمیع این نشرهای غیر حقیقی توسطتابع

شکل سوداکو $T_a(k_t, \mu)$ صورت می گیرد [2]:

$$T_a(k_t, \mu) = \exp \left(- \int_{k_t^2}^{\mu^2} \frac{d\kappa_t^2}{\kappa_t^2} \frac{\alpha_s(\kappa_t^2)}{2\pi} \int_0^1 \xi P_{ba}^{LO}(\xi) \Theta(z_{Max} - \xi) d\xi \right) \quad : (3)$$

در روابط بالا توابع پلهای $(z_{Max} - z)$ و $\Theta(z_{Max} - z)$ برای جلوگیری از واگرایی نشر گلئون نرم قرار داده شده اند که مانع واگرایی در $z \rightarrow 1$ می شود. مقادیر z_{Max} و ξ_{Max} به صورت زیر می باشند [2]:

$$z_{max} = \frac{\mu}{(k_t + \mu)} \quad : (4)$$

$$\xi_{max} = \frac{\mu}{(k_t + \mu)} \quad : (5)$$

این نظم زاویه ای به علت همبستگی رنگ (color coherence) [3] می دهد و سبب می شود زاویه ای گلئون های نشری در طول تحول در نرdban پارتونی بزرگتر شود.

برای محاسبات سطح مقطع در این چارچوب از مولد رویداد مونت کارلو مرتبه پارتونی کی. تی (KaTie) [4] استفاده کردیم. برای استفاده از این مولد توابع توزیع انتگرال گیری نشده پارتونی برای گلئون و طعم های مختلف کوارکی را در فایل های شبکه بندی با فرمت $ln(x), ln(k_t^2), ln(\mu^2), f(x, k_t^2, \mu^2)$ قرار دهیم. در انتهای با فراخوانی فایل های مربوط به توابع توزیع

انتگرال گیری نشده، اقدام به محاسبه سطح مقطع تولید بوزون Z با استفاده از این مولد برای زیر فرایندهای $\bar{q} + q \rightarrow Z \rightarrow l^+ + l^-$ ، $q + g \rightarrow , g + g \rightarrow Z + \bar{q} + q$ ، $q + g \rightarrow Z + q \rightarrow l^+ + l^- + q$ و همچنین $Z + g + q \rightarrow Z + g + g$ می کنیم.

سطح مقطع در چارچوب فاکتورگیری تکانه عرضی وابسته به پارامتر Z

می توان یافت که عمدتاً بر اساس فرضیات رفتار پارتون در داخل پروتون متفاوت از یکدیگر هستند، مانند: چارچوب های فاکتورگیری هم راستا، فاکتورگیری تکانه عرضی و فاکتورگیری تکانه عرضی وابسته به پارامتر Z . در این کار [1] ما قصد داریم تولید بوزون Z را در برخورد پروتون-پروتون در چارچوب های فاکتورگیری تکانه عرضی و فاکتورگیری تکانه عرضی وابسته به پارامتر Z بررسی کنیم.

سطح مقطع در چارچوب فاکتورگیری تکانه عرضی

در چارچوب فاکتورگیری تکانه عرضی می توان سطح مقطع برخورد پروتون-پروتون را به صورت سطح مقطع پارتونی در توابع توزیع پارتونی انتگرال گیری نشده نوشت. برخلاف چارچوب فاکتورگیری هم راستا که فرض می شود تکانه عرضی پارتون نقش قابل چشم پوشی در فرآیند فوق دارد، در چارچوب فاکتورگیری تکانه عرضی، تکانه عرضی پارتون سهم مهمی دارد. بنابراین، می توان فرمول سطح مقطع در رهیافت فاکتورگیری هم راستا را تعیین داد و فرمول سطح مقطع برخورد پروتون-پروتون را در رهیافت فاکتورگیری تکانه عرضی به صورت زیر نوشت:

$$\sigma = \sum_{a,b=q,g} \int \frac{dx_1}{x_1} \frac{dx_2}{x_2} \frac{dk_{1t}^2}{k_{1t}^2} \frac{dk_{2t}^2}{k_{2t}^2} f_a(x_1, k_{1t}^2, \mu^2) f_b(x_2, k_{2t}^2, \mu^2) \times \hat{\sigma}_{ab}^*, \quad : (1)$$

در رابطه بالا $f_{a(b)}(x_{1(2)}, k_{1(2)t}^2, \mu^2)$ توابع توزیع انتگرال گیری نشده پارتونی گفته می شود و ab سطح مقطع پارتونی می باشد. در این چارچوب پارتون ورودی به برهمکنش سخت تکانه $k = xP + k_t$ دارد که در اینجا P تکانه پروتون است و $k^2 = -k_t^2$ می شود. این در حالی است که در چارچوب هم راستا $k^2 = 0$ می شود.

در انجام محاسبات از توابع توزیع انتگرال گیری نشده پارتونی ام آر. دبلیو [2] استفاده می کنیم که بر اساس معادله تحول دیگلپ هستند. این توابع توزیع به صورت زیر می باشند:

$$f_a(x, k_t^2, \mu^2) = T_a(k_t, \mu) \frac{\alpha_s(k_t^2)}{2\pi} \sum_{b=q,g} \int_x^1 \left[P_{ab}^{LO}(z) \frac{x}{z} b^{LO} \left(\frac{x}{z}, k_t^2 \right) \Theta(z_{Max} - z) \right] dz, \quad : (2)$$

چارچوب را برای دو زیرفرآیند $l^+ + l^- \rightarrow q + g \rightarrow Z \rightarrow l^+ + l^- + q \rightarrow Z + q \rightarrow l^+ + l^- + q$ به صورت مستقیم و برای سه زیرفرآیند $g + q \rightarrow Z + g + g \rightarrow Z + g + q \rightarrow Z + \bar{q} + q$ به روش نسبت انشعاب انجام داده ایم. انتگرال های چندگانه در محاسباتمان را با استفاده از روش انتگرال گیری مونت کارلو و گاس محاسبه کردیم که در قسمت بعد نتایج محاسبات را می آوریم.

نتایج محاسبات و بررسی آنها

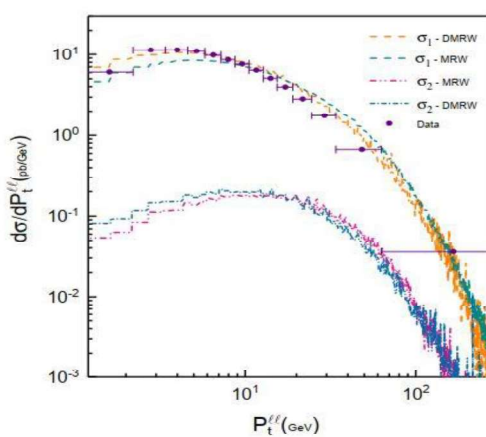
در این قسمت پیش‌بینی‌های دو چارچوب فاکتورگیری تکانه عرضی و چارچوب فاکتورگیری تکانه عرضی وابسته به پارامتر Z را با داده‌های آزمایش ال. اچ. سی. بی [8] مقایسه می‌کنیم. داده‌های آزمایشگاهی متعلق به فرآیند $Z \rightarrow \mu^+ \mu^-$ است، که در آن هر یک از میون‌ها در بازه شبه تندایی $\eta < 2.0$ هستند و دارای تکانه عرضی $P_T > 20 \text{ GeV}$ می‌باشند. علاوه بر این، جرم ناورداری چفت میون تولید شده باید $M_{\mu\mu} < 120 \text{ GeV}$ باشد.

در شکل ۱ مشاهده می‌شود که دی. ام. آر. دبلیو توصیف بسیار بهتری از داده‌ها نسبت به ام. آر. دبلیو در محدوده تکانه‌های عرضی کوچک تا متوسط ارائه می‌دهد. علاوه بر این، با مقایسه پیش‌بینی کی. ام. آر مرجع [9] محاسبه شده با روش نسبت انشعاب، (با روش ام. آر. دبلیو که با مولد رویداد کی. تمی محاسبه می‌شود) می‌توان متوجه شد که دو روش، یعنی کی. ام. آر و ام. آر. دبلیو، فقط در محدوده میانی تکانه‌های عرضی شبیه یکدیگر هستند و در تکانه‌های عرضی کوچک و بزرگ با یکدیگر متفاوت می‌شوند. یکی از دلایل اصلی این تفاوت‌ها بین نتایج کی. ام. آر و ام. آر. دبلیو می‌تواند به این دلیل باشد که در این دو روش برش‌های نظم زاویه‌ای به صورت متفاوتی اعمال شده است. همانطور که از شکل ۲ می‌توان یافت، نقش زیرفرآیندهای مرتبه بالاتر، یعنی σ_2 به طرز چشمگیری نسبت به زیرفرآیندهای مرتبه پایین یعنی σ_1 کمتر است. بنابراین می‌توانیم سهم آنها را در محاسباتمان نادیده بگیریم. در شکل ۳ دیده می‌شود نتایج در ناحیه تندایی $y_Z < 4$ به یکدیگر نزدیک هستند، در حالی که در ناحیه $y_Z > 4$ از یکدیگر جدا می‌شوند، که در آن ام. آر. دبلیو در چارچوب فاکتورگیری تکانه عرضی نمی‌تواند داده‌ها را در آن منطقه به خوبی توصیف کند. در

برخلاف رهیافت فاکتورگیری تکانه عرضی، که در آن سینماتیک کامل پارتون سخت در نظر گرفته نمی‌شود، در روش فاکتورگیری تکانه عرضی وابسته به پارامتر Z سینماتیک کامل در نظر گرفته می‌شود. از این رو باید فرمول مربوط به سطح مقطع هادرونی را، در مقایسه با چارچوب فاکتورگیری تکانه عرضی اصلاح کرد. بنابراین، با تعمیم چارچوب فاکتورگیری تکانه عرضی، می‌توان فرمول کلی سطح مقطع پروتون-پروتون را در چارچوب فاکتورگیری تکانه عرضی وابسته به پارامتر Z به صورت زیر نوشت:

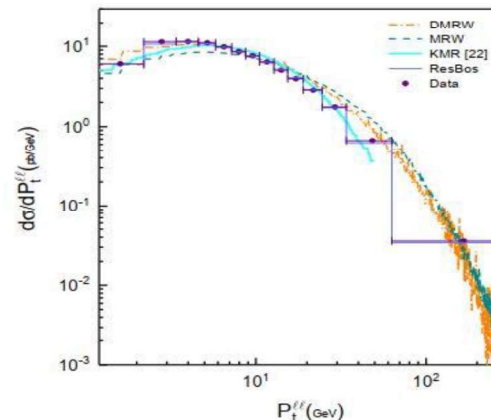
$$\sigma = \sum_{a,b=q,g} \int \frac{dz_1}{z_1} \frac{dz_2}{z_2} \frac{dx_1}{x_1} \frac{dx_2}{x_2} \frac{dk_{1t}^2}{k_{1t}^2} \frac{dk_{2t}^2}{k_{2t}^2} f_a(x_1, z_1, k_{1t}^2, \mu^2) f_b(x_2, z_2, k_{2t}^2, \mu^2) \hat{\sigma}_{ab}^*, \quad (6)$$

برای محاسبه سطح مقطع پارتونی به دلیل انتگرال گیری نکردن از نسبت تکانه Z می‌توان به اطلاعات پارتون نشری پله‌ی آخر دست یافت، که Z کسر تکانه‌ای است که پارتون سخت نسبت به پارتون مادر دارد. به عبارت دیگر پارتون نشری پله‌ی آخر به دلیل اینکه از پارتونی در چارچوب هم راستا می‌آید، بنابراین انتظار داریم تکانه عرضی‌ای برابر و در خلاف جهت پارتون ورودی به برهمنکش سخت داشته باشد در آن ab سطح مقطع پارتونی $(x_{1(2)}, z_{1(2)}, k_{1(2)t}^2, \mu^2)$ توابع توزیع انتگرال گیری نشده دوگانه پارتونی نامیده می‌شوند. توابع توزیع انتگرال گیری نشده دوگانه پارتونی برای اولین بار با هدف تعیین توابع توزیع انتگرال گیری نشده پارتونی را در دست آوردند این توابع ریسکین و وات [5] معرفی شدند. برای به دست آوردن این توابع توزیع انتگرال گیری نشده دوگانه پارتونی، باید به سادگی انتگرال گیری روی پارامتر Z توابع توزیع انتگرال گیری نشده پارتونی رهیافت ام. آر. دبلیو را نادیده گرفت. در نتیجه، می‌توانیم توابع توزیع انتگرال گیری نشده دوگانه پارتونی را مشابه رویکرد ام. آر. دبلیو، یعنی رهیافت دی. ام. آر. دبلیو [6]، برای کوارک (پادکوارک) و گلثون به دست آوریم. در چارچوب فاکتورگیری تکانه عرضی وابسته به پارامتر Z پارتون نشری پله‌ی آخر نقش مهمی در محاسبه سطح مقطع ایفا می‌کند [7]. همچنین در این چارچوب برخلاف چارچوب فاکتورگیری تکانه عرضی که $-k_t^2 = -k^2$ است، در این جا $k^2 = -k_t^2/(1-z)$ می‌شود. محاسبات سطح مقطع در این

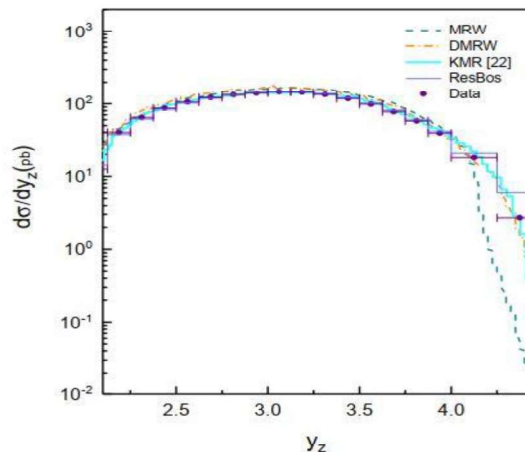


شکل ۱ سهم نسبی سه زیرفرایند مرتبه بالاتر نشان داده شده با σ_2 و دو Zیرفرایند مرتبه پاییتر نشان داده شده با σ_1 برای مدل های DMRW و MRW.

واقع پارتون نشری پله آخر می تواند نقش مهمی در نواحی مربوط به تندایی بزرگ ایفا کند، از این رو انتظار می رود که نتایج ام. آر. دبليو بخوبی دی. ام. آر. دبليو نباشد.



شکل ۲ مقایسه نتایج مدل های DMRW و MRW با داده های KMR [9] و ResBos [8] نسبت به P_t^f آزمایشگاهی [8] LHCb و [8]



شکل ۳ مقایسه نتایج مدل های DMRW و MRW [9] kMR [22] و ResBos [8] نسبت به y_Z آزمایشگاهی [8] LHCb و [8]

مرجع ها

- [1] S. Rezaie, M. Modarres, Eur. Phys. J. C 83, 678 (2023).
- [2] A. D. Martin, M. G. Ryskin, and G. Watt, Eur. Phys. J. C, **66**, 163 (2010).
- [3] S. Chekanov et al. [ZEUS Collaboration], Phys. Lett. B **547**, 164 (2002).
- [4] A. van Hameren, Comput. Phys. Commun. **224**, 371 (2018).
- [5] G. Watt, A.D. Martin, and M.G. Ryskin, Eur. Phys. J. C **31**, 73 (2003).
- [6] M.A. Kimber, A.D. Martin, and M.G. Ryskin, Phys. Rev. D **63**, 114027 (2001).
- [7] G. Watt, A.D. Martin, M.G. Ryskin, Phys. Rev. D **70**, 014012 (2004).
- [8] R. Aaij et al., (LHCb), JHEP **07**, 026 (2022).
- [9] M. Modarres, M. Masouminia, R. Aminzadeh Nik, H. Hosseinkhani, N. Olanj, Phys. Lett. B **772**, 534 (2017).

بررسی اثرات غیرخطی در تولید کوارک های سنگین در شتابدهنده های نسل جدید

کرم پور، الهام؛ بروون، غلامرضا

گروه فیزیک، دانشگاه رازی، کرمانشاه

چکیده

در این مقاله، ایده اصلی پیش بینی رفتار خطی و غیرخطی سطح مقطع تولید جفت کوارک های سنگین در پراکنده‌گی تاکشسان ژرف تولید، لپتوznی در برخورد دهنده های الکترون-پروتونی آینده یعنی برخورد دهنده الکترون-هادرونی بزرگ ($LHeC$) و برخورد دهنده الکترون-هادرونی دایره ای آینده ($FCC-eh$) در تقریب های LO و NLO در کرومودینامیک اختلالی در x های کوچک می باشد. با در نظر گرفتن تصویحات غیرخطی به تابع توزیع گلکترونی در چارچوب معادله تحول غیرخطی- GLR - $MQ-ZRS$ ، بر اساس روش پارامتر بنایی تابع ساختار (Q^2 و x) و F_2 و مشتقات آن، ما تحول خطی و غیرخطی سطح مقطع تولید، توابع ساختار (Q^2 و x) و F_2 و F_L و $F_L(x, Q^2)$ و نسبت های آنها را برای کوارک های سنگین افسون، ته و سر را تعیین می کنیم. نتایج محاسبه با داده های تجربی $HERA$ و نتایج گروههای $NNPDF4.0$ و $CT18$ مقایسه شده اند.

Study of nonlinear effects in the production of heavy quarks in new generation accelerators

Karampur, Elham; Boroun,G.R.

Physics department, Razi University, Kermanshah.

Abstract

In this paper, the main idea is the prediction of the linear and nonlinear behavior of the heavy quarks pair production cross section at the deep inelastic scattering leptoproduction at the future electron-proton colliders i.e. the Large Hadron-electron Collider ($LHeC$) and the Future Circular Collider electron-hadron ($FCC-eh$) at the Leading Order (LO) and the the Next-to-Leading Order (NLO) approximations in perturbative quantum chromodynamics ($pQCD$) at small x . By considering the nonlinear corrections to the gluon distribution function in the framework of the nonlinear $GLR-MQ-ZRS$ evolution equation, based on the parametrization method of structure function $F_2(x, Q^2)$ and its derivatives, we determine the linear and nonlinear evolutions of production cross section, structure functions $F_2(x, Q^2)$ and $F_L(x, Q^2)$ and their ratios for heavy quarks of charm, bottom and top. The computed results are compared wit experimental data from $HERA$ and the results of $NNPDF4.0$ and $CT18$ Collaborations.

مقدمه

دانش توابع توزیع کوارک های سنگین در پروتون اطلاعات پدیده
می کند. برخورد دهنده الکترون-هادرونی بزرگ ($LHeC$) و
برخورد دهنده الکترون-هادرونی دایره ای آینده ($FCC-eh$) دو
نسل از برخورد دهنده های در دست طراحی هستند. در بازه $LHeC$
کینماتیکی برای جریان خنثی (NC) در ناحیه اختلالی به بالاتر
از $Q = 1TeV$ و $x \approx 10^{-6}$ می رسد. در واقع، پروژه $LHeC$

دانش توابع توزیع کوارک های سنگین در پروتون اطلاعات پدیده
شناسی و تجربی مهمی را در مورد ساختار نوکلئون ارائه می دهد. از
آنچه ای که بسیاری از فرایندهای سخت در مدل استاندارد و فراتر از
آن، به محظوی کوارک سنگین نوکلئون حساس هستند، تابع توزیع
کوارک سنگین نقش مهمی در برنامه فیزیک برخورددهنده ها ایفا

گسترش می یابد و انرژی مرکز جرم تا $\sqrt{s} = 7 \text{ TeV}$ افزایش می یابد [۲]. اندازه گیری های پراکندگی ناکشسان ژرف در پروژه FCC-eh و LHeC اجازه تعیین توابع توزیع پارتونی در X های خیلی کوچک و همچنین تحقیقات برخورد های الکترون-پروتون مرتبط با فیزیک اختزدراط نوتربینو انرژی بسیار بالا (UHE) را می دهد.

یک جستجو برای امکان برخورد یک پرتو الکترونی از یک شتاب دهنده جدید با پروتون LHC موجود با انرژی مرکز جرم الکترون-پروتون بالاتر از 1 TeV است. انرژی مرکز جرم در این برخورد دهنده می تواند به $\sqrt{s} = 1.3 \text{ TeV}$ برسد که چهار برابر بازه انرژی مرکز جرم برخورد های الکترون-پروتون در HERA است [۱]. در برنامه FCC-eh بازه کینماتیکی به بالاتر از $10^{-7} \text{ } x \cong$

تئوری

$$F_k^{Q\bar{Q}}(x, \mu^2) = C_{k,g}(x, \mu^2, m_Q^2) \otimes f_g(x, \mu^2) \quad (2)$$

در اینجا $L = 2$ و $k = g$ توابع ضریب [۳] و μ مقیاس فاکتوریندی جرم است. با توجه به روابط بالا نسبت توابع ساختار به صورت زیر است:

$$R^{Q\bar{Q}}(x, Q^2) = \frac{C_{L,g}(x, \mu^2, m_Q^2) \otimes f_g(x, \mu^2)}{C_{2,g}(x, \mu^2, m_Q^2) \otimes f_g(x, \mu^2)} \quad (3)$$

در کرومودینامیک کوانتومی اختلالی در مقادیر متوسط x معادله تحول DGLAP وابستگی Q^2 توابع توزیع پارتونی را با موفقیت پیش بینی می کند. این معادله تحول یک رشد شدید از تابع توزیع گلئونی را در x های پایین پیش بینی می کند و این سبب تخطی از قید فروسارت-مارتین و شرط یکانی بودن سطح مقطع می شود و بنابراین این رشد سریع باید با اثرات سایه ای تنزل یابد. در x های پایین اثرات سایه ای، فرآیند بازترکیب و برهمن کنش بین گلئونها، رشد گلئونها را کاهش می دهد و این منجر به اضافه شدن عبارات غیر خطی در غالب معادله تحول GLR-MQ-ZRS به معادله GLR-MQ-ZRS [۵] در تقریب DGLAP می شود. معادله تحول GLR-MQ-ZRS به صورت زیر در نظر گرفته می شود:

$$\begin{aligned} \frac{df_g(x, \mu^2)}{d \ln \mu^2} &= \frac{df_g(x, \mu^2)}{d \ln \mu^2} + \frac{9}{2\pi} \frac{\alpha_s^2}{R^2 \mu^2} \frac{N_c^2}{N_c^2 - 1} \int_x^{\frac{1}{2}} dz \frac{f_g^2(x, \mu^2)}{z} \\ &- \frac{9}{\pi} \frac{\alpha_s^2}{R^2 \mu^2} \frac{N_c^2}{N_c^2 - 1} \int_x^{\frac{1}{2}} dz \frac{f_g^2(x, \mu^2)}{z} \end{aligned} \quad (4)$$

در کرومودینامیک اختلالی (pQCD) سهم کوارک های سنگین در تولید لپتونی در برخورد های الکترون-پروتون در مقادیر کوچک بیورکن X غالبا از طریق هم جوشی-گلئون-فوتون (PGF) فرآیند $Q\bar{Q} \rightarrow \gamma^* g \rightarrow Q\bar{Q}$ اتفاق می افتد، که در آن یک فوتون مجازی با یک گلئون از نوکلئون هدف برخورد می کند. کوارک های سنگین در بسیاری فرآیندهای انرژی بالا شرکت می کنند. تابع ساختار کوارک سنگین در برخورد دهنده های الکترون-پروتون (یعنی LHeC و FCC-eh) از اندازه گیری های غیر انحصاری سطح مقطع کوارک های سنگین، که یک آزمایش مهم کرومودینامیک کوانتومی هستند بدست می آیند. سطح مقطع کاهش یافته کوارک های برحسب توابع ساختار بصورت زیر است:

$$\sigma_{red}^{Q\bar{Q}} = \frac{d^2 \sigma^{Q\bar{Q}}}{dx dQ^2} \frac{x Q^4}{2\pi \alpha_s^2(Q^2)(1+(1-y)^2)} = F_2^{Q\bar{Q}}(x, Q^2) \left[1 - f(y) \frac{F_L^{Q\bar{Q}}(x, Q^2)}{F_2^{Q\bar{Q}}(x, Q^2)} \right] \quad (1)$$

در اینجا $y = \frac{Q^2}{s\mu^2}$ و $f(y) = \frac{y^2}{1+(1+y)^2}$ ناکشسانی با انرژی مرکز FCC-eh و LHeC و GLR-MQ-ZRS را به یک ناحیه با x کوچکتر و Q^2 بزرگتر گسترش می دهد. در عمل برخورد دهنده های الکترون-پروتون آینده، محیط های ایده آل برای بازحل این نسبت هستند. سهم کوارک های سنگین در تابع ساختار پروتونی در x های کوچک (جایی که فقط سهم گلئونها مهم است). به صورت زیر است:

اثرات از بین می رود. نتایج داده های تجربی H1 و ZEUS به [۶] و CT18 همراه خطاهای کل و همچنین نتایج مدل های پارامتریندی [۷] و NPDF4.0 [۸] در این شکل ها برای کواک های افسون و ته بکار گرفته ایم. در شکل های ۳ و ۴ سطح مقطع خطی و غیر خطی بر حسب Q^2 برای $W=230\text{GeV}$ تقریب های LO و NLO برای کوارک های ته و سر [۹] نشان داده شده است. در شکل های ۵ و ۶ وابستگی Q^2 نسبت تابع ساختار طولی ($F_L(x, Q^2)$) به تابع ساختار ($F_2(x, Q^2)$ برای کوارک های افسون و سر نشان داده شده است. همانطور که مشاهده می کنیم این نسبت مستقل از نوع تابع توزیع گلثونی خطی و غیر خطی است.

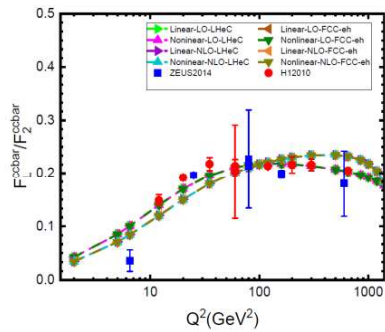
نتیجه گیری

در این مقاله پیش بینی های پدیده شناسی تحقیق شده برای تولید جفت کوارک های سنگین در انرژی های مرکز جرم $\sqrt{s} = 1.3\text{TeV}$ و $LHeC$ و $FCC\text{-eh}$ در تقریب های LO و NLO نشان داده شده است. پوشش ناحیه x های خیلی کوچک در $Q^2 \geq 1\text{GeV}^2$ در این دو شتاب دهنده، پایه ها برای توسعه نظری فیزیک تحول غیرخطی را برقرار می کند. ما در این کار با حل معادله GLR-MQ-ZRS و استفاده از روش پارامتریندی تابع ساختار پروتون سطح مقطع، تابع ساختار و نسبت های آنها رادر حالت خطی و غیر خطی بررسی کردیم. همانطور که مشاهده کردیم اثرات غیرخطی در Q^2 های کوچک قابل ملاحظه است و در Q^2 های بالا از بین می رود. نتایج محاسبات ما قابل قیاس با داده های تجربی H1 و ZEUS و همچنین گروههای پارامتریندی CT18 و NPDF4.0 است.

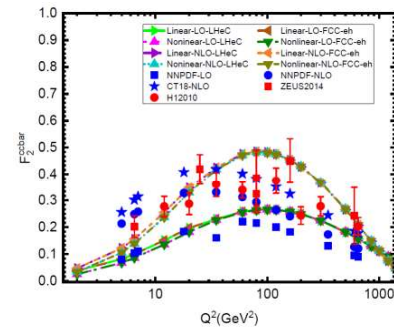
که R شعاع موثر برهمکنش بین گلثونها ($R = 2\text{GeV}^{-1}$) و N_c عدد بار رنگ است. اولین جمله در طرف راست معادله بالا معادله DGLAP خطی و جملات دوم و سوم اثرات سایه ای و غیر سایه ای را در بازترکیب گلثونها که رشد سریع گلثونها را در x های کوچک کنترل می کنند را نشان می دهد.

نتایج عددی

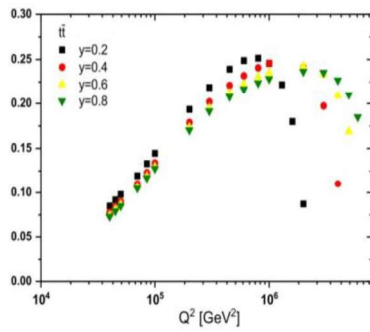
در این بخش با استفاده از تصحیحات غیر خطی روی معادله DGLAP در غالب معادله GLR-MQ-ZRS به بررسی نتایج این اثرات روی سطح مقطع تولید کوارک های سنگین، توابع ساختار و نسبت های آنها در محدوده کینماتیکی دو برخورد دهنده و $LHeC$ در تقریب های LO و NLO می پردازیم. ما در اینجا از پارامتریندی تابع ساختار پروتون ($f_{gg, n_f}(x, Q^2)$) و $F_2(x, Q^2)$ به توسط نویسندها مرجع (۴) پیشنهاد شده است استفاده کردیم. این پارامتریندی از برآش داده های HERA روی توابع ساختار پروتون برای $0.1 < x < 0.1$ در یک بازه گسترده از Q^2 بدست آمده است. در انجام محاسبات گروه داده های ذرات (PDG) پارامتر قطع Λ کرومودینامیک را برای کوارک های سنگین افسون، ته و سر در نظر گرفته ایم. در شکل های ۱ و ۲ نتایج برای تصحیحات غیر خطی به وابستگی Q^2 برای تابع ساختار ($F_2(x, Q^2)$) کوارک های سنگین در مقادیر ثابت جرم ناوردا $W=230\text{GeV}$ (یعنی $\mu^2 = W^2 = 3.5\text{TeV}^2 + 4m_Q^2$ در انرژی های $\sqrt{s} = 1.3\text{TeV}$ و $LHeC$ و $FCC\text{-eh}$ نشان داده شده است. همانطور که مشاهده می کنیم تصحیحات غیر خطی به پارامتریندی تابع ساختار پروتون در Q^2 های پایین قابل مشاهده است و با افزایش Q^2 این



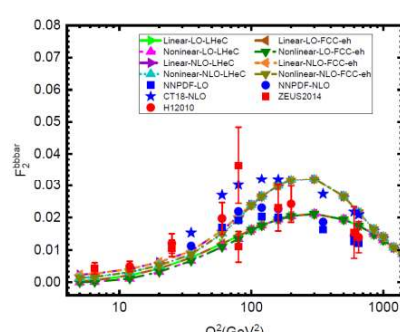
شکل ۵: نسبت توابع ساختار کوارک افسون



شکل ۶: تابع ساختار کوارک افسون



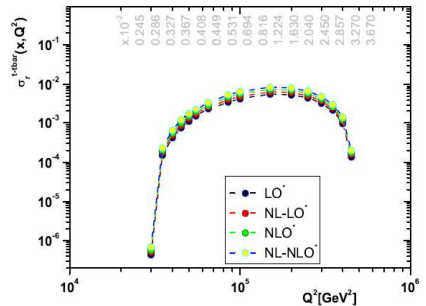
شکل ۷: نسبت توابع ساختار کوارک سر



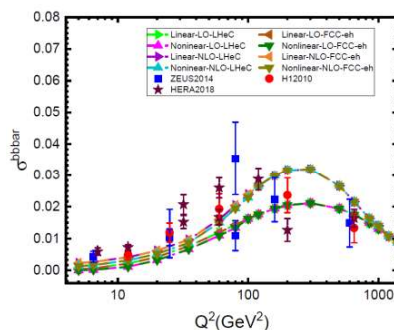
شکل ۸: تابع ساختار کوارک ته

مراجع

- [1] J. Abelleira Fernandez et al., [LHeC Collaboration], J. Phys. G 39, 075001(2012); P. Agostina et al., [LHeC Collaboration], J.Phys.G 48 (2021).
- [2] A. Abada et al., [FCC Collaboration], Eur. Phys. J.C 79, 474 (2019).
- [3] A.V.Kotikov, A.V.Lipatov and P.Zhang, Phys.Rev.D 104, 05404042 (2021).
- [4] Martin M.Block and L.Durand, hep-ph/0902.0372 (2009); M.M.Block, L.Durand and P.Ha, Phys.Rev.D 89,no. 9, 094027 (2014).
- [5] W.Zhu, Nucl.Phys.B 551 245 (1999).
- [6] H.Abramowicz et.al.[H1 Collaboration], JHEP 1409, 127 (2014); F.D.Aaron et.al.[H1 Collaboration], Eur.Phys.J.C 65, 89 (2010); H.Abramowicz et.al.[H1 and ZEUS Collaborations], Eur.Phys.J.C 78,no.6, 473 (2018).
- [7] Tie-Jiun Hou et al., Phys.Rev.D 103, 014013 (2021).
- [8] R.D.Ball et.al.,[NNPDF Collaboration], Eur.Phys.J.C 82 (2022)5,428.
- [9] G.R.Boroun, Eur.Phys.J.Plus 252, 138 (2023).



شکل ۹: سطح مقطع تولید کوارک سر



شکل ۱۰: سطح مقطع تولید کوارک ته

محاسبه تنش ریسمان $SU(2)$ در حد پیوستار

دلدار ، صدیقه^۱؛ اصمی، زهرا^۲؛ کیاماری، مطهره^۳

^{۱,۲}دانشکده فیزیک دانشگاه تهران ، انتهاي خيابان کارگر شمالی ، تهران

^۳پژوهشگاه دانش‌های بنیادی، پژوهشکده ذرات و ستایبگرها، تهران

چکیده

با الهام از نتایج شبیه‌سازی شبکه که قانون کاش سطح را برای متوسط حلقه ویلسون می‌دهد و همچنین با استفاده از یک تئوری مؤثر از ورتکس‌های مرکزی، این قانون و در نتیجه پتانسیل خطی بین یک جفت کوارک و آنتی کوارک را برای حد پیوستار بدست آورده، تنش ریسمان گروه $Pieman$ ای $SU(2)$ را در سه بعد اقلیدسی فضا-زمان بر حسب ویژگی‌های ذاتی ورتکس‌ها و پارامتر توصیف کننده برهمکنش بین ورتکس‌ها محاسبه می‌کنیم.

واژه‌های کلیدی: متوسط حلقه ویلسون، ورتکس‌های مرکزی، تابع پارش، تنش ریسمان.

Calculation of $SU(2)$ string tension in the continuum limit

Deldar, Sedigheh¹; Asmaee, Zahra²; Kiamari, Motahareh³

^{1,2} Department of Physics, University of Tehran, Tehran

³ School of particles and Accelerators, IPM, Tehran

Abstract

Inspired by lattice results which confirmed the area law fall-off for the Wilson loop average and using an effective theory for the center vortex ensemble, we obtain the area law fall-off for the continuum limit. As a result, the linear potential and the string tension for $SU(2)$ gauge group in three-dimensional Euclidean space are computed in terms of intrinsic properties of the vortices and a parameter which describes the interaction between the vortices.

Keywords: The Wilson loop average, Center vortices, Partition function, String tension.

PACS No. 10, 12, 13

تبديل پیمانه مرکزی و تصویرگری مرکزی است.

با مرور ورتکس‌ها و همچنین ارائه تابع پارش مؤثر برای هنگردی از آنها، قانون سطح را برای متوسط حلقه ویلسون پیدا می‌کنیم. سپس، تنش ریسمان را برای گروه $Pieman$ ای (2) $SU(2)$ در سه بعد اقلیدسی فضا-زمان بدست می‌آوریم. همچنین رفتار پارامترهای ذاتی ورتکس‌ها را نسبت به یکدیگر و تابعیت دمایی قدرت پتانسیل دافعه بین ورتکس‌ها را نیز بررسی می‌کنیم.

ورتكس‌های نازک در حد پیوستار

تحت یک تبدیل پیمانه ای مرکزی $N(x)$ ، میدان ورتکس نازک $(x)_{\mu}^l A^l$ بصورت زیر تعریف می‌شود [2]:

مقدمه

مسئله حبس‌شدگی کوارک‌ها به عنوان یکی از مسائل حل نشده فیزیک ذرات بنیادی، همواره مورد توجه بوده است. تلاش برای فهمیدن پدیده حبس‌شدگی، منجر به این شد که خلاء QCD دارای ساختار غیربدیهی است که مسئول حبس شدن کوارک‌ها است. یکی از پیشنهاداتی که برای این ساختار غیرآبلی مطرح شده، مدل ورتکس‌های مرکزی است که در غیاب میدان‌های مادی، سناریویی امیدوار کننده برای درک حبس‌شدگی می‌باشد. ایده این است که خلاء QCD با ورتکس‌های مرکزی که می‌توانند چگالش پیدا کنند، پر شده است. تصویر چگالش ورتکس‌ها ممکن است

متوسط حلقه ویلسون بر حسب میدان $J_\mu^C(x)$ بصورت زیر بیان می شود [3].

$$\langle W(C) \rangle = e^{i \sum_{l=0}^n \int_0^{L_l} ds_i u_\mu(s_i) J_\mu^C(x(s_i))} \quad (6)$$

L_l طول جهان خطهای ورتکسی، s_i پارامتر طول کمان حلقه های ورتکسی و $\frac{dx_\mu(s_i)}{ds} u_\mu(s_i) = \frac{dx_\mu(s_i)}{ds} u_\mu$ بردار شب است.

متوسط حلقه ویلسون-قانون سطح
از ارتباط بین متوسط حلقه ویلسون و تابع پارش مؤثر هنگردی از ورتکسها، قانون سطح و تنش ریسمان را بدست می آوریم.

برای محاسبه تابع پارش مؤثر می توان از ترفند فیزیکدانان پلیمر بهره گرفت. ایده این است که چگالش ریسمان های بسته جهتدار می توانند بر روی یک میدان اسکالر مختلط نگاشت شوند [4]. از این روش استفاده و در نهایت تابع پارش مؤثر هنگردی از ورتکسها بصورت زیر بیان می شود [3].

$$Z[J_\mu^C] = \int DV \bar{D}V e^{-i \int d^3x \left(\frac{1}{3\kappa} D_\mu V D_\mu V + \mu \bar{V}V + \frac{1}{2\zeta} (\bar{V}V)^2 \right)} \quad (7)$$

که پارامترهای μ و ζ به ترتیب بیانگر تنش و سفت شدگی ورتکسهاست و ζ قدرت پتانسیل دافعه بین ورتکسها است. با استفاده از تابع پارش مؤثر رابطه (7) لگرانژی بصورت زیر است:

$$\mathcal{L} = \frac{1}{3\kappa} \overline{D_\mu V} D_\mu V + \mu \bar{V}V + \frac{1}{2\zeta} (\bar{V}V)^2 \quad (8)$$

$$\overline{V(\bar{V},V)}$$

با کمینه کردن پتانسیل $V(\bar{V},V)$ مقدار چشمداشتی خلاء v بصورت زیر می باشد:

$$v^2 = -\mu\zeta > 0, \mu < 0, \zeta > 0. \quad (9)$$

میدان اسکالر مختلط بر حسب مقدار چشمداشتی خلاء v تعریف می شود.

$$V = v e^{i\gamma(x)} \quad (10)$$

که $\gamma(x)$ میدان اسکالر است. اگر پتانسیل $V(\bar{V},V)$ را بر حسب v بازنویسی کنیم، تابع پارش مؤثر رابطه (7) بصورت زیر می شود.

$$Z[J_\mu^C] = \int DV \bar{D}V e^{-i \int d^3x \left(\frac{1}{3\kappa} D_\mu V D_\mu V + \frac{1}{2\zeta} (\bar{V}V - v^2)^2 \right)} \quad (11)$$

رابطه بین متوسط حلقه ویلسون و تابع پارش مؤثر بصورت زیر است.

$$\langle W(C) \rangle = \frac{Z[J_\mu^C]}{Z[J_\mu^C = 0]} = \frac{Z[J_\mu^C]}{Z[0]} \quad (12)$$

$Z[0]$ توصیف کننده حالتی است که هیچ برهمکنشی بین سطح ویلسون و ورتکسها

$$A_\mu^l(x) = \frac{i}{g} N(x) \partial_\mu N^{-1}(x), \quad \text{in } x \notin \Sigma \quad (1)$$

که g ثابت جفت شدگی و Σ ابر سطح ورتکس مرکزی است که سهم ورتکس های ایده آل روی آن تعریف می شوند. در محاسبات شبکه، وقتی حلقه ویلسون با ورتکس لینک می شود یک سهم غیر بدبیهی دریافت می کند. تبدیل پیمانه ای مرکزی باید به گونه ای انتخاب شود که شرط دریافت سهم غیر بدبیهی را برآورده نماید. در گروه پیمانه ای $SU(2)$ ، یک انتخاب برای تبدیل پیمانه ای مرکزی بصورت $N(x) = e^{i\varphi T^3}$ می باشد که φ زاویه سمتی و T^3 مولد گروه تقارنی $SU(2)$ است که برابر نصف ماتریس سوم پائولی می باشد. بنابراین، با این انتخاب برای تبدیل پیمانه ای مرکزی و با استفاده از رابطه (1) سهم میدان های ورتکس نازک بصورت $A_\mu^l(x) = \frac{1}{g} \partial_\mu \varphi T^3$ می باشد [2].

ما علاقه مند به محاسبه متوسط حلقه ویلسون در حضور هنگردی از ورتکسها هستیم. متوسط حلقه ویلسون بصورت زیر بیان می شود:

$$\langle W(C) \rangle = e^{i \oint_C dx_\mu A_\mu^l(x)} \quad (2)$$

در محاسبات شبکه، عدد لینک شدگی $L(C,l)$ بین حلقه ویلسون C و حلقه ورتکس l معادل با عدد برخورد $I(S,l)$ بین سطح ویلسون S و حلقه ویلسون l است. عدد برخورد $I(S,l)$ بصورت زیر بیان می شود:

$$I(S,l) = \frac{1}{4\pi} \oint_l dx_\mu \int_S d^2\sigma_\mu \delta^{(3)}(x - \bar{x}(\sigma)) \quad (3)$$

$d^2\sigma_\mu$ عنصر سطح است و بصورت زیر پارامتر بندی می شود.

$$d^2\sigma_\mu = \epsilon_{\mu\nu\rho} \frac{\partial \bar{\sigma}_\nu}{\partial \sigma_1} \frac{\partial \bar{\sigma}_\mu}{\partial \sigma_2} d\sigma_1 d\sigma_2 \quad (4)$$

در اثر تلاقي n ورتکس با سطح ویلسون، میدان برداری $(J_\mu^C(x))$ روی سطح ویلسون بصورتی تعریف می شود که حامل شار مغناطیسی n ورتکس باشد [3].

$$J_\mu^C(x) = \frac{v}{2} \int_S d^2\sigma_\mu \delta^{(3)}(x - \bar{x}(\sigma)) \quad (5)$$

که v تابع وزن است. می توان نشان داد که میدان ورتکس نازک و میدان برداری معادل بوده و با یک پیمانه به یکدیگر تبدیل می شوند. بنابراین

$$I_1 = \prod_{n=-\infty}^{\infty} \prod_{\vec{p}} e^{\frac{v^2 V}{3\kappa} (w_n^2 + \vec{p}^2) |\gamma_n(\vec{p})|^2} \quad (20)$$

دومین تابع نمایی رابطه (19) از روابط (5) و (10) برابر است با:

$$I_2 \equiv e^{\frac{1}{3\kappa} \int d^3x J_\mu^C \bar{V} J_\mu^C V} = e^{-\frac{v^2 v^2}{12\kappa} \delta(\bar{y}) \times S} \quad (21)$$

برای محاسبه رابطه (21) از این واقعیت که سطوح ویلسون به عنوان مرز حلقه ویلسون یکتا نیستند و میتوانند با یک تبدیل پیمانه ای به یکدیگر تبدیل شوند، استفاده میکنیم. برای سادگی، سطح ویلسون را بصورت یک مستطیل در صفحه $t - x$ در نظر میگیریم. $\delta(\bar{y})$ نشان دهنده مکانی از صفحه است که ورتكسها با سطح ویلسون برخورد دارند و S هم مساحت میباشد.

سومین تابع نمایی رابطه (19) از روابط (5) و (10) برابر است با:

$$I_3 \equiv e^{\frac{i}{3\kappa} \int d^3x (\partial_\mu \bar{V}) J_\mu^C V} = e^{\frac{v^2 v^2}{6\kappa} \int_S d^2\sigma_\mu \partial_\mu \gamma(\bar{x}(\sigma))} \quad (22)$$

با استفاده از رابطه (4) و انتخاب $\bar{x}_0 = \bar{t}, \bar{x}_1 = \bar{x}, \bar{x}_2 = \bar{y}; \sigma_1 = \bar{t}, \sigma_2 = \bar{x}$ (23) خواهیم داشت:

$$I_3 = \prod_{\vec{p}} e^{i \frac{v v^2}{6\kappa} t l_x p_y \gamma_0(\vec{p})}, \gamma_0(\vec{p}) = \gamma_0(0, p_y) \quad (24)$$

چهارمین تابع نمایی رابطه (19) از روابط (5) و (10) برابر است با:

$$I_4 \equiv e^{\frac{i}{3\kappa} \int d^3x J_\mu^C \bar{V} (\partial_\mu V)} = e^{\frac{v^2 v^2}{6\kappa} \int_S d^2\sigma_\mu \partial_\mu \gamma(\bar{x}(\sigma))} \quad (25)$$

از مقایسه روابط (22) و (25) میتوان نتیجه گرفت که $I_3 = I_4$ است.

بنابراین با جایگذاری روابط (20)، (21) و (24) در رابطه (19) و محاسبه انتگرال، $Z[J_\mu^C]$ برابر خواهد بود با:

$$Z[J_\mu^C] = N' v^2 e^{-\frac{v^2 v^2}{12\kappa} \delta(\bar{y}) \times S} \times e^{-\frac{v^2 v^2 \tau^2 l_x^2}{12\kappa} V} \quad (26)$$

$$\times \left\{ \prod_{n=0}^{\infty} \prod_{\substack{\vec{p} \\ p_x \neq 0}} \left(\frac{3\kappa\pi}{v^2 V} \right)^{\frac{1}{2}} (w_n^2 + \vec{p}^2)^{-\frac{1}{2}} \right\} \times \left\{ \prod_{\substack{\vec{p} \\ p_x=0}} \left(\frac{3\kappa\pi}{v^2 V} \right)^{\frac{1}{2}} \frac{1}{p_y} \right\}$$

از جایگذاری روابط (18) و (26) در رابطه (13)، متوسط حلقه ویلسون برابر خواهد بود با:

$$\langle W(C) \rangle = e^{-\frac{v^2 v^2}{12\kappa} \delta(\bar{y}) \times S} \times e^{-\frac{v^2 v^2 \tau^2 l_x^2}{12\kappa} V} \quad (27)$$

در حد $\infty \rightarrow V$ ، تابع نمایی دوم در رابطه (27) برابر با 1 است. در

وجود ندارد. با استفاده از تعریف مشتق هموردا $D_\mu = \partial_\mu - i J_\mu^C$ و روابط (10) تا (12) داریم:

$$\langle W(C) \rangle = \frac{Z[J_\mu^C]}{Z[0]} = \frac{\int DV \bar{D}V e^{-i \int d^3x \frac{1}{3\kappa} D_\mu V D_\mu V}}{\int DV \bar{D}V e^{-i \int d^3x \frac{1}{3\kappa} \partial_\mu \bar{V} \partial_\mu V}} \quad (13)$$

تابع پارش $Z[0]$ در مخرج رابطه (13) با استفاده از رابطه (10) بصورت زیر خواهد بود.

$$Z[0] = N' v^2 \int D\gamma(x) e^{-\frac{v^2}{3\kappa} \int d^3x (\partial_\mu \gamma(x))^2} \quad (14)$$

که N' ضریب بهنجارش است. نمای تابع نمایی رابطه (14) در سه بعد اقلیدسی فضا-زمان بصورت زیر است:

$$S_0 = -\frac{v^2}{3\kappa} \int_0^\beta dt \int d^2x \gamma(x) \left(\frac{\partial^2}{\partial t^2} - \nabla^2 \right) \gamma(x) \quad (15)$$

از بسط فوریه تابع اسکالر $\gamma(x)$

$$\gamma(x) = \gamma(t, \vec{x}) = \sum_{n=-\infty}^{\infty} \sum_{\vec{p}} e^{i(w_n t + \vec{p} \cdot \vec{x})} \gamma_n(\vec{p}) \quad (16)$$

رابطه (15) بصورت زیر خواهد بود:

$$S_0 = -\frac{v^2 V}{3\kappa} \sum_{n=-\infty}^{\infty} \sum_{\vec{p}} (w_n^2 + \vec{p}^2) |\gamma_n(\vec{p})|^2 \quad (17)$$

$V = \beta L^2$ نشان دهنده حجم است که طول فضایی و β زمان است. همچنین $w_n = 2\pi n T$ است که T دما را نشان میدهد. با جایگذاری رابطه (17) در (14)، تابع پارش $Z[0]$ بصورت زیر میشود.

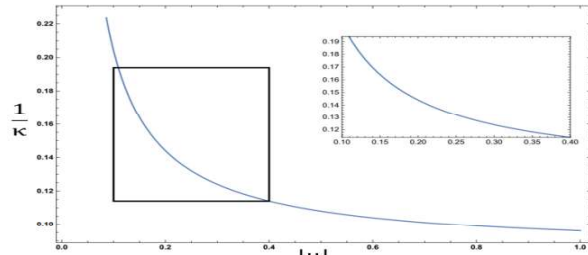
$$Z[0] = N' v^2 \left\{ \prod_{n=0}^{\infty} \prod_{\substack{\vec{p} \\ p_x \neq 0}} \left(\frac{3\kappa\pi}{v^2 V} \right)^{\frac{1}{2}} (w_n^2 + \vec{p}^2)^{-\frac{1}{2}} \right\} \times \left\{ \prod_{\substack{\vec{p} \\ p_x=0}} \left(\frac{3\kappa\pi}{v^2 V} \right)^{\frac{1}{2}} \frac{1}{p_y} \right\} \quad (18)$$

تابع پارش $Z[J_\mu^C]$ در صورت مشتق هموردا بصورت زیر است.

$$Z[J_\mu^C] = \int DV \bar{D}V e^{-\frac{1}{3\kappa} \int d^3x \partial_\mu \bar{V} \partial_\mu V} e^{-\frac{1}{3\kappa} \int d^3x J_\mu^C \bar{V} J_\mu^C V} \times e^{\frac{i}{3\kappa} \int d^3x (\partial_\mu \bar{V}) J_\mu^C V} e^{-\frac{i}{3\kappa} \int d^3x J_\mu^C \bar{V} (\partial_\mu V)} \quad (19)$$

اولین تابع نمایی رابطه (19) با استفاده از رابطه (17) برابر است با:

با استفاده از $\frac{48\sigma}{T\zeta} = 0.012$ می‌توانیم تابعیت دمایی قدرت پتانسیل دافعه بین ورتكسها را بررسی کنیم و در می‌یابیم که با افزایش دما، دافعه بین ورتكسها افزایش می‌یابد که در واقع نزدیک به فاز واحبس‌شدگی می‌شویم که با شبیه‌سازی شبکه در توافق است [6].



شکل ۱: نمودار سفت‌شدگی $\frac{1}{\kappa}$ بر حسب تنش $|\mu|$ که هر دو پارامتر با دما مقیاس‌بندی شده‌اند. در سمت راست یک بزرگنمایی در محدوده داده‌های [5] انجام شده است.

نتیجه‌گیری

بعد از مشخص کردن ورتكسها در حد پیوستار و با استفاده از تابع پارش مؤثر و رابطه بین متوسط حلقة ویلسون و تنش پارش، قانون سطح را نشان دادیم و تنش ریسمان را برای گروه $SU(2)$ محاسبه کردیم. با بررسی رفتار $\frac{1}{\kappa}$ نسبت به $|\mu|$ ورتكسها دریافتیم که افزایش $|\mu|$ با کاهش $\frac{1}{\kappa}$ همراه است و همچنین با بررسی تابعیت دمایی قدرت پتانسیل دافعه بین ورتكسها دریافتیم که با افزایش دما، دافعه بین ورتكسها افزایش می‌یابد که هر دو نتیجه با نتایج شبیه‌سازی شبکه در توافق است.

مراجع

- [1] M. Engelhardt, H. Reinhardt, Nucl. Phys. B567, 249 (2000).
- [2] Z. Asmaee, S. Deldar, and M. Kiamari, Phys. Rev. D105, 096020 (2022).
- [3] L. E. Oxman and H. Reinhardt, Eur. Phys. J. C 78, 3 (2018).
- [4] M. Stone and P. R. Thomas, Phys. Rev. Lett. 41, 351 (1978).
- [5] M. Engelhardt, H. Reinhardt, Nucl. Phys. B585, 591 (2000).
- [6] M. Engelhardt, K. Langfeld, H. Reinhardt and O. Tennert, Phys. Lett. B431, 141 (1998).

نتیجه، متوسط حلقة ویلسون برابر است با:

$$\langle W(C) \rangle = e^{-\frac{v^2 \nu^2}{12\kappa} \delta(\bar{y}) \times S} = e^{-\sigma S} \quad (28)$$

که نشان‌دهنده قانون سطح است و معادل با پتانسیل خطي بین یک کوارک و پادکوارک ایستا است. وقتی حلقة ویلسون و حلقة ورتكسی با یکدیگر لینک می‌شوند، حلقة ویلسون سطح ورتكسی را سوراخ می‌کند و یک تکینگی را احساس می‌کند و این تکینگی منجر به اختلاف فاز می‌شود. از طرفی عدد لینکشگی نسبت به تعویض حلقة ویلسون و حلقة ورتكسی متغرن است، لذا می‌توان گفت که حلقة ورتكسی، سطح ویلسون را سوراخ می‌کند بنابراین در سطح ویلسون باید تکینگی وجود داشته باشد که این تکینگی بصورت $\delta(\bar{y})$ در رابطه (28) نشان داده شده است. به لحاظ ابعادی، تنش ریسمان σ و مساحت S به ترتیب دارای ابعاد L^{-2} و L^2 هستند که L نشان‌دهنده طول است. همچنین تابع دلتا $\delta(\bar{y})$ دارای بعد L^{-1} است که با استفاده از دما می‌توانیم آن را بدون بعد کنیم و در نتیجه تنش ریسمان بصورت زیر بدست می‌آید:

$$\sigma = \frac{|\mu| \zeta T}{48\kappa} \quad (29)$$

که در آن علامت μ اعمال شده است. همان‌طور که مشهود است تنش ریسمان بر حسب ویژگی‌های ذاتی ورتكسها و قدرت پتانسیل دافعه بین ورتكسها بدست آمده است. پارامترهای μ , ζ , T و κ همگی بعد L^{-1} دارند، بنابراین تنش ریسمان دارای بعد L^{-2} است. با استفاده از رابطه (29) رابطه بین $|\mu|$ و $\frac{1}{\kappa}$ بصورت $\frac{1}{\kappa} = \frac{48\sigma}{T\zeta} |\mu|$ است. اگر $|\mu|$ افزایش یابد، $\frac{1}{\kappa}$ کاهش می‌یابد، یعنی انعطاف پذیری ورتكسها افزایش می‌یابد. این رفتار با نتایج کیفی [5] تطابق قابل قبولی دارد. برای رسم نمودار $\frac{1}{\kappa}$ بر حسب $|\mu|$ ، ما بهترین تابع را به داده‌های [5] برآش کردیم و $\frac{48\sigma}{T\zeta} = 0.012$ را بدست آوردیم (شکل ۱ را ببینید).

برهمکنش $\Lambda\Lambda - N\Xi$ در کوانتوم کرومودینامیک شبکه‌ای با استفاده از پیکربندی‌های پیمانه- PACS-CS ای

عالی‌الله^۱؛ اطمینان، فیصل^۱

گروه فیزیک، دانشگاه بیرجند، بیرجند

چکیده

برهمکنش $\Lambda\Lambda - N\Xi$ در کanal S_0^{11} با استفاده از روش کanal جفت شده هل. کیو. سی. دی. (*HALQCD*) در کوانتوم کرومودینامیک شبکه‌ای با ابعاد $32^3 \times 64$ و استفاده از پیکربندی‌های پیمانه‌ای *PACS-CS* با $(2+1)$ -طعم متناظر با جرم‌های $m_\pi = 700, 570, 410\text{ MeV}$ مطالعه می‌شود. و در نهایت، ماتریس پتانسیلی برهمکنش $\Lambda\Lambda - N\Xi$ محاسبه شده است. برهمکنش $\Lambda\Lambda$ در انرژی پایین یک جاذبه نشان میدهد که یک حالت مقید یا حالت ریزونانسی فراهم نمی‌کند. برهمکنش $N\Xi$ در کanal S_0^{11} جاذبه قوی تری نسبت به $\Lambda\Lambda$ نشان میدهد که نزدیک به حالت مقید و ریزونانسی است.

The $\Lambda\Lambda - N\Xi$ interactions in Lattice QCD by using PACS-CS Gauge Configurations

Aalimi, Amanullah¹; Etminan, Faisal¹

¹ Department of Physics, University of Birjand, Birjand,

Abstract

The $\Lambda\Lambda - N\Xi$ interactions in ${}^{11}S_0$ channel are studied on the basis of the $(2+1)$ flavor lattice QCD simulations by using PACS-CS Gauge Configurations at $m_\pi = 700, 570, 410\text{ MeV}$. Finally, the matrix potential of $\Lambda\Lambda - N\Xi$ is extracted. The $\Lambda\Lambda$ interaction at low energies shows a weak interaction, which does not provide a bound or resonant state. The $N\Xi$ interaction in the spin-singlet channel is attractive than $\Lambda\Lambda$, and is near to the bound or resonant state.

PACS No. (11 Times New Roman, italic)

فراوانی هایپرونی در مرکز ستاره‌های نوترونی رابطه تنگاتنگی با
برهمکنش هایپرون-هایپرون در کanal $S=-2$ دارد^[۴]. مدل‌هایی
متفاوت با پارامترهای پدیده شناختی تاہنوز برای برهمکنش های
هایپرون پیشنهاد شده، امادر حال حاضر مهم است که برهمکنش در
 $S=-2$ را از اصول اولیه شبیه سازی‌های کوانتوم کرومودینامیک
شبکه‌ای^۲ (*LQCD*) بدست آوریم^[۵] یک چارچوب مناسب برای
برهمکنش های *BB* از اصول اولیه در *LQCD* توسط لوشیر پیشنهاد

مقدمه

یک از اهداف مهم و نهایی فیزیک هسته‌ای توصیف هسته‌های
هایپرونی و رفتار ماده‌هادرone در چگالی‌های بالا که به عنوان مثال
در درون ستارگان نوترونی رخ می‌دهد، می‌باشد. از این‌رو مطالعه
برهمکنش‌های باریون-باریون (*BB*) با عدد شگفتی $S=-2$ (دارای
دو کوارک با طعم شگفت) یک گام مهم برای دانستن هسته‌های
هایپرونی مانند دوتایی لامدا و زای^(Ξ)^۱ است[۳-۱]. علاوه بر آن

² Lattice Quantum Chromodynamics

^۱ ذرهی کهکشانی

دهد. می توان نشان داد که این توابع موج در فاصله های دور $r \rightarrow \infty$ در یک معادله شرودینگر-مانند

$$\left(\frac{(k_i^c)^2}{2\mu_c} + \frac{\Delta^2}{2\mu_c} \right) \psi_{w_i}^c(\hat{r}) = 0 \quad (3)$$

صدق می کند. که تکانه تقریبی متناظر k_j^c در چارچوب مرکز جرم در رابطه ای $W_i = \sqrt{m_{c_1}^2 + (k_i^c)^2} + \sqrt{m_{c_2}^2 + (k_i^c)^2}$ تعریف می شود از اینجا پتانسیل غیرجایگزیده و مستقل از انرژی را مانند زیر تعریف می کنیم

$$K^c(\hat{r}, W_i) = \sum_{c=a,b} \int d^3 r' U_{c'}(\hat{r}, \hat{r}') \psi_{w_i}^{c'}(\hat{r}') \quad (4)$$

این یک تمیم از تعریف $HAL QCD$ برای پتانسیل به کanal جفت شده است. در مرتبه غالب بسط بر حسب سرعت خواهیم داشت،

$$K^c(\hat{r}, W_i) = \left[\frac{(k_i^c)^2}{2\mu_c} - H_0 \right] \psi_{w_i}^c = \sum_{c'} V_{c'}^c(\hat{r}) \psi_{w_i}^{c'}(\hat{r}, W_i) \quad (5)$$

می شود برای دو کanal های مستقل a و b کanal جفت شده را به شکل زیرنوشت

$$\begin{pmatrix} V_{aa} & V_{ab} \\ V_{ba} & V_{bb} \end{pmatrix} = \begin{pmatrix} K^c(\hat{r}) & K^c(\hat{r}) \\ K^{c'}(\hat{r}) & K^{c'} \end{pmatrix} \begin{pmatrix} \psi_a^a(\hat{r}) & \psi_b^a(\hat{r}) \\ \psi_b^b(\hat{r}) & \psi_b^b(\hat{r}) \end{pmatrix}^{-1} \quad (6)$$

زمانیکه ما پتانسیل های جایگزیده کanal جفت شده را بدست بیاوریم ما معادله شرودینگر کanal جفت شده را در حجم نامتناهی با بعضی شرایط مرزی حل می کنیم. بعنوان یک کاربرد روش فوق ما پتانسیل های $\Lambda\Lambda-N\Xi$ در کanal $S=-2$ و $I=0$ را در نظر می

گیریم.

توابع NBS در $LQCD$

در $LQCD$ تابع موج NBS از تابع کوریلیشن⁴ چهار نقطه ای باریون استخراج می شود [۱۳] و اینگونه داده می شود

$$R_{I_d}^c(\hat{r}, t) \equiv \frac{\sum_{\hat{x}} \langle 0 | B_{c_1}(\hat{x} + \hat{r}, t) B_{c_2}(\hat{x}, t) \bar{I}_d(t_0=0) | 0 \rangle}{\sqrt{Z_{c_1}} \sqrt{Z_{c_2}} e^{[-(m_{c_1} + m_{c_2})t]}} = \sum_n \psi_{W_n}^c(\hat{r}) e^{-\Delta W^c t} A_d^{W_n} + \dots \quad (7)$$

شد [۶]. برای دو هادرон در یک جمعه متناهی با ابعاد $L^3 \times T$ تحت شرایط متناوب مرزی، یک رابطه دقیق بین طیف انرژی در جعبه و جابجایی فاز بحسب می آید. یک روش مرتبط و نزدیک برهمکنش های هادرон از $LQCD$ در مرجع [۹-۷] پیشنهاد شده و توسط گروه $HAL QCD$ توسعه داده شده است. نقطه شروع آن تابع موج NBS ^۳ است، در این روش کرنل های انتگرالی "پتانسیلها" از $LQCD$ استخراج می شوند و مشاهده پذیرهای فیزیکی مانند جابجایی های فاز و انرژی های بستگی با استفاده از معادله شرودینگر با پتانسیل های بدست آمده از شبکه در حجم نامحدود محاسبه می شود. مهم ترین نکته این است که پتانسیل های در تابع NBS تعریف می شود طوریکه اطلاعات جابجایی فازها در رفتارهای مجانبی آن رمزنگاری می شود [۱۰]. از طرفی یک تعیین از روش $HAL QCD$ در انرژی های بالاتر از آستانه کشسان برای برهمکنش های BB با کanal های جفت شده پیشنهاد شده است [۱۱]. ما از نمادگاری $R_{I,S}^{2I+1,2s+1}$ که I, S و J بترتیب اسپین کل ایزواسپین کل و تکانه زاویه ای کل را نشان می دهد استفاده می کنیم. هدف این مقاله مطالعه برهمکنش های $\Lambda\Lambda-N\Xi$ در کanal $S=0$ با استفاده از روش کanal جفت شده $HAL QCD$ است.

کanal جفت شده $HAL QCD$

در اینجا روش کanal های جفت شده به صورت اجمالی توضیح داده می شود برای جزئیات بیشتر مراجع [۱۲, ۱۱] با تابع موج Hm - z مان NBS در چارچوب مرکز جرم شروع می کنیم

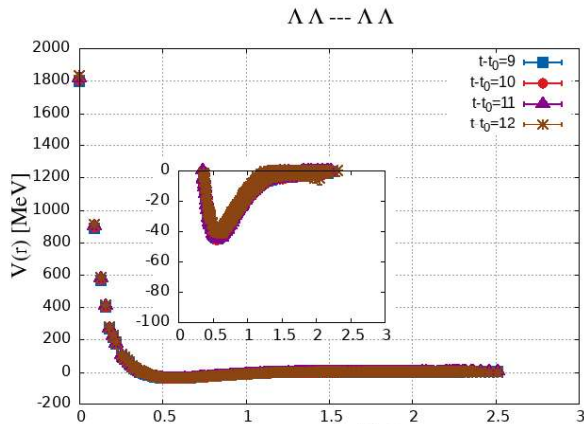
$$\psi_{w_j}^a(r) e^{-w_j t} = \frac{1}{\sqrt{Z_{a_1}} \sqrt{Z_{a_2}}} \sum_{\hat{x}} \langle 0 | B_{a_1}(\hat{x} + \hat{r}, t) B_{a_2}(\hat{x}, t) | B=2, W_j \rangle \quad (1)$$

$$\psi_{w_j}^b(\hat{r}) e^{-w_j t} = \frac{1}{\sqrt{Z_{b_1}} \sqrt{Z_{b_2}}} \sum_{\hat{x}} \langle 0 | B_{b_1}(\hat{x} + \hat{r}, t) B_{b_2}(\hat{x}, t) | B=2, W_j \rangle \quad (2)$$

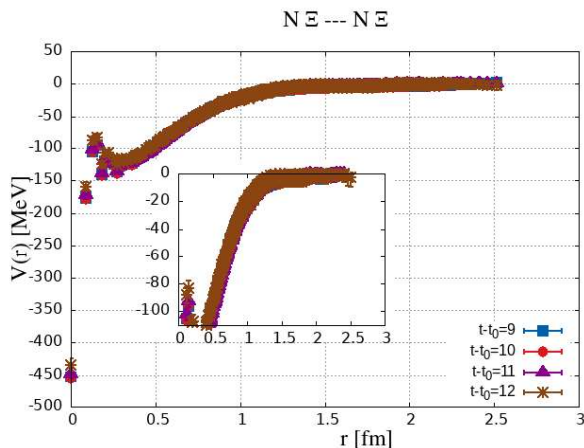
که در اینجا $B_{c_j}(\hat{x}, t)$ با $j=1,2$ و $c=a, b$ یک عملگر مرکب جایگزیده برای باریون B_{c_j} را با ضریب بهنجارش $\sqrt{Z_{c_j}}$ نشان می-

⁴ Correlation-function

³ Nambu-Bethe-Salpeter



شکل ۱. پتانسیل قطری $V^{\Lambda\Lambda}$ در کanal ${}^{11}S_0$ در زمان های $t-t_0=9,10,11,12$ نشان می دهد.



شکل ۲. پتانسیل $V^{N\Xi}$ را در کanal ${}^{11}S_0$ را در زمان های $t-t_0=9,10,11,12$ نشان می دهد. وابستگی زمانی دیده نمی شود.

در شکل ۱ پتانسیل قطری $V^{\Lambda\Lambda}$ در کوتاه برد دارای یک دافعه قوی و در برد متوسط دارای یک پتانسیل جاذبه می باشد و از طرفی دیگر این پتانسیل به اندازه نیست که حالت ریزونانسی ایجاد کند. پتانسیل $V^{N\Xi}$ هم یک دافعه قوی در برد کوتاه و یک جاذبه در برد متوسط نشان می دهد اما جاذبه آن نسبت به $V^{\Lambda\Lambda}$ عمیق تر است.

برای اینکه وابستگی جرم پتانسیل را مشاهده کنیم پتانسیل را برای هر سه آنسامبل رسم می کنیم. شکل های ۳ و ۴ پتانسیل های $V^{\Lambda\Lambda}$ و $V^{N\Xi}$ را برای هر سه آنسامبل با جرم های پیون به ترتیب $m_\pi=700,570,410\text{MeV}$ نشان می دهد.

که در اینجا $B_{ij}(\hat{x},t)$ یک عملگر انترپولیتینگ^۵ برای هشت تایی باریون و $\bar{I}_d(0)$ عملگر چشمی هستند. یک پتانسیل جفت شده را می شود با استفاده از کوریلیتور از معادله شرو دینگر-مانند وابسته به زمان بدست آورد مانند

$$\left(\frac{k_i^c}{2\mu^c} - H_0^c \right) R_{I_d}^c(\hat{r},t) = \int d^3r' U^c(\hat{r},\hat{r}') \Delta^c R_{I_d}^c(\hat{r}',t) \quad (8)$$

برای هر عنصر از پتانسیل ماتریسی کانال جفت شده ما بسط مشتق را در نظر می گیریم تا بتوانیم غیرجایگزینه گی پتانسیل را بکار بگیریم.

مشخصات شبکه

به منظور شبیه سازی های عددی، ما پیکربندی های کامل (2+1)-طعم که توسط همکاران PACS-CS [۱۴] تولید شده با گروه بهنجار شده و توسعه یافته کنش گلوئنی ایوساکی را در $L^3 \times T = 32^3 \times 64$ اعمال می کنیم. $\beta = \frac{6}{g^2} = 1.90$ روی شبکه به ابعاد طول شبکه $a=0.0907\text{fm}$ و اندازه فیزیکی شبکه $La=2.902\text{fm}$ است. برای اینکه وابستگی جرم پتانسیل ها را مشاهده کنیم ما سه آنسامبل با سه جرم متفاوت برای پیون یون محاسبه می کنیم.

نتایج عددی

پتانسیل های بدست آمده از شبکه را در کanal ${}^{11}S_0$ در زمان های مختلف رسم می کنیم. شکل های ۱ و ۲ پتانسیل های قطری $V^{\Lambda\Lambda}$ و $V^{N\Xi}$ را در کanal ${}^{11}S_0$ را نشان می دهد

⁵ Interpolating Operator

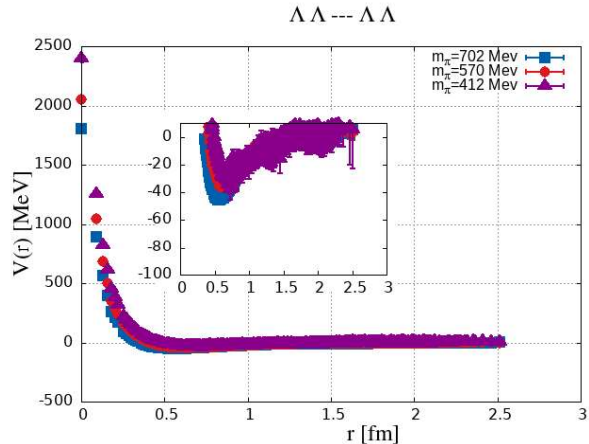
یا ریزونانسی کافی نیست. از طرفی دیگر ما پیدا کردیم که $N\Xi$ یک جاذبه قوی تری نسبت به $\Lambda\Lambda$ دارد. تا هنوز چندین مسله هستند که حل شوند. اولاً شبیه سازی ها برای جرم های فیزیکی اعمال شود. از طرفی دیگر مهم است که برهمکنش $\Lambda\Lambda - N\Xi$ در کanal $S=-2$ مطالعه شود. و در آخر جفت شده کامل با $\Sigma\Sigma$ در کanal $S=-2$ مطالعه شود. و در آخر مهم ترین موضوع که باید انجام شود پیدا کردن جابجایی فاز با استفاده از حل معادله شرودینگر با پتانسیل های غیرجاگردیده که از شبکه بدست آورده ایم.

پیاسکزاری

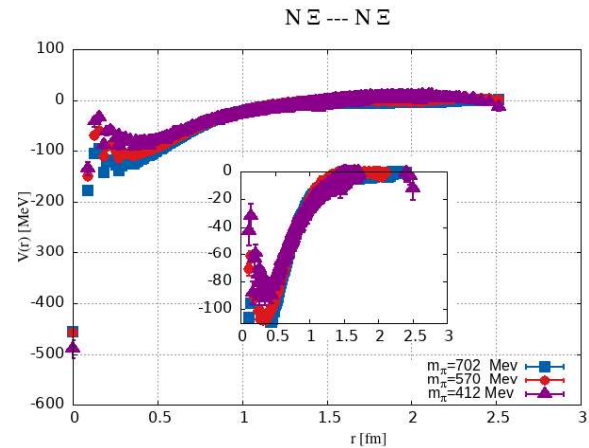
از گروه *HAL QCD* برای در اختیار قرار دادن پیکربندی های پیمانه ای *PACS-CS* صمیمانه تشکر می کنیم.

مرجع ها

- [۱] Dover, C.B. and A. Gal, *Hypermucles*. Annals of Physics, 1983. **146**(2): p. 309-348.
- [۲] Gibson, B.F. and E. Hungerford III, *A survey of hypernuclear physics*. Physics Reports, 1995. **257**(6): p. 349-388.
- [۳] Hiyama, E. and T. Yamada, *Structure of light hypernuclei*. Progress in Particle and Nuclear Physics, 2009. **63**(2): p. 339-395.
- [۴] Takatsuka, T., et al., *Occurrence of hyperon superfluidity in neutron star cores*. Progress of theoretical physics, 2006. **115**(2): p. 355-379.
- [۵] Sasaki, K., et al., *$\Lambda\Lambda$ and $N\Xi$ interactions from Lattice QCD near the physical point*. Nuclear Physics A, 2020. **998**: p. 121737.
- [۶] Lüscher, M., *Two-particle states on a torus and their relation to the scattering matrix*. Nuclear Physics B, 1991. **354**(2-3): p. 531-578.
- [۷] Ishii, N., S. Aoki ,and T. Hatsuda, *Nuclear force from lattice QCD*. Physical review letters, 2007. **99**(2): p. 022001.
- [۸] Aoki, S., T. Hatsuda, and N. Ishii, *The nuclear force from Monte Carlo simulations of lattice quantum chromodynamics*. Computational Science & Discovery, 2 :(*) 0.015009.
- [۹] Aoki, S., T. Hatsuda, and N. Ishii, *Theoretical foundation of the nuclear force in QCD and its applications to central and tensor forces in quenched lattice QCD simulations*. Progress of theoretical physics, 2010. **123**(1): p. 89-128.
- [۱۰] Aoki, S. and T. Doi, *Lattice QCD and baryon-baryon interactions: HAL QCD method*. Frontiers in Physics, 2020. **8**: p. 307.
- [۱۱] Aoki, S., et al., *Extraction of hadron interactions above inelastic threshold in lattice QCD*. Proceedings of the Japan Academy, Series B, 2011. **87**(8): p. 509-517.
- [۱۲] Etminan, F., K. Sasaki, and T. Inoue, *Coupled-channel $\$[\Lambda\Lambda - \{c\} K^{\pm} + pD_{-}\{s\}]\$$ Interaction in Flavor $\$[textrm{SU}(3)\times\textrm{SU}(2)]\$$ Limit of Lattice QCD*. arXiv preprint arXiv:2311.02569, 2023.
- [۱۳] Miyamoto, T .,et al., *AcN interaction from lattice QCD and its application to Ac hypernuclei*. Nuclear Physics A, 2018. **971**: p. 113-129.
- [۱۴] Aoki, S., et al., *2+ 1 flavor lattice QCD toward the physical point*. Physical review D, 2009. **79**(3): p. 034503.



شکل ۳. پتانسیل $V^{\Lambda\Lambda}$ برای هرسه آنسامبل رسم شده. دیده می شود که به جرم وابسته است.



شکل ۴. پتانسیل $V^{N\Xi}$ برای هر سه آنسامبل با جرم های مختلف پایتون رسم شده.

همانطوریکه در شکل های ۳ و ۴ دیده می شود عمق پتانسیل با کاهش جرم پیون و نزدیک شدن به جرم پیون واقعی ($m_\pi=139\text{ MeV}$) ، کاهش می یابد. یک رابطه بین جرم و ابعاد شبکه وجود دارد و می شود ابعاد شبکه را بزرگ نمایم تا به جرم فیزیکی نزدیک ترشودیم.

نتیجه گیری

ما برهمکنش های BB شگفتی $S=-2$ با تمرکز بر پتانسیل های $\Lambda\Lambda$ و $N\Xi$ را با استفاده از پیکربندی های پیمانه ای *PACS-SC* مطالعه کردیم. ما پیدا کردیم که $\Lambda\Lambda$ در انرژی های پایین دارای یک جاذبه است، البته این مقدار جاذبه برای هایپرون-دوتای مقید

مطالعه ماده تاریک دایپولار با استفاده از طیف‌نگاری تابش اشعه X

حقیقت، منصور^۱؛ محمودی، سمیه^۱؛ رفیعی، علی^۱

^۱بخش فیزیک، دانشکده علوم، دانشگاه شیراز، شیراز

چکیده

در این مقاله ضمن درنظرگیری ذرات ماده تاریک به عنوان فرمیون‌های دیراک که دارای ممان دوقطبی مغناطیسی دائمی هستند به بررسی اثرات برهم‌کنشی آنها بر روی ترازهای انرژی اتم‌های هیدروژن گونه پرداخته و در ادامه با استفاده از داده‌های تجربی گسلی پرتوی X بر روی ممان دوقطبی مغناطیسی قید می‌گذاریم

واژه‌های کلیدی: ماده تاریک دوقطبی، تابش پرتوی X.

Constraining from X ray emission on dipolar dark matter

Haghighat, Mansour¹; Mahmoudi, Somayeh¹; Rafiei, Ali¹

¹ Physics Department, College of Sciences, Shiraz University 71454, Shiraz,

Abstract

In this paper, we consider a Dirac fermion with a permanent magnetic dipole moment as a dark matter particle to explore its effects on the energy levels of the hydrogen-like atoms. Consequently, we find some constrains on the magnetic dipole moment by using the experimental data of the atomic X-ray emissions.

Keywords: Dipolar dark matter, X-ray emission.

PACS No. ۱۰

نامیدند. در سال‌های اخیر نظریه‌هایی در مورد امکان برهم‌کنش الکترومغناطیسی این ذرات مطرح شده است. یکی از ساده‌ترین بسطهای مدل استاندارد بر مبنای این فرض استوار است که ذرات ماده تاریک اسپینور هستند و از طریق ممان دوقطبی مغناطیسی و یا الکترومغناطیسی این ذرات با فوتون برهم‌کنش انجام می‌دهند [۶]. این مدل به مدل ماده تاریک دایپولار مشهور است. اگر امکان این جفت‌شدنگی وجود داشته باشد، مطالعه اثرات ناشی از این برهم‌کنش، منع مهمی جهت بررسی طبیعت ماده تاریک است. در این مقاله ضمن در نظرگیری ماده تاریک دایپولار به عنوان فرمیون‌های دیراک به بررسی اثرات ناشی از این برهم‌کنش بر روی ترازهای انرژی اتم‌های هیدروژن گونه پرداخته و با استفاده از طیف‌نگاری اتمی سعی در مقید کردن این مدل بر اساس دقت‌های آزمایشگاهی موجود خواهیم داشت.

مقدمه

یکی از سوالات اساسی کیهان‌شناسی و فیزیک ذرات بنیادی که تاکنون بدون پاسخ باقی مانده است مسئله ماهیت ماده تاریک و چگونگی برهم‌کنش‌های آن می‌باشد. علیرغم شواهد کیهان‌شناسی زیادی که در مورد ماده تاریک وجود دارد خصوصیات ذرات بنیادی آن همچنان به عنوان یک راز باقی مانده است. از جمله رهیافت‌هایی که در باب این مسئله وجود دارد، مطالعه پدیده‌شناسی ماده تاریک است [۱-۶]. یکی از جنبه‌های این پدیده‌شناسی بررسی اثرات الکترومغناطیسی مربوط به ماده تاریک می‌باشد.

فرض اولیه بر این بوده که ذراتی وجود دارند که بدون بار الکترومغناطیسی هستند و بنابراین امکان جفت‌شدن با فوتون و انجام برهم‌کنش الکترومغناطیسی را ندارند. از این رو آن‌ها را تاریک

$$\text{که در آن } x_f = \frac{m_\chi}{T_f} \text{ و اندیس } f \text{ بیانگر شرایط در زمان}$$

واجفتیدگی است و می توان آن را بصورت رابطه زیر تقریب زد:

(v)

$$x_f = \ln \left[0.038(n'+1)(g_{*_s}/g_*^{1/2})M_{Pl}m_\chi\sigma_0 \right] - \left(n'+\frac{1}{2} \right) \ln \left[\ln \left[0.038(n'+1)(g_{*_s}/g_*^{1/2})M_{Pl}m_\chi\sigma_0 \right] \right]$$

که در رابطه بالا، M_{Pl} ، g_* و g_{*_s} به ترتیب جرم پلانک، درجات آزادی نسبیتی موثر در زمان واجفتیدگی و در چگالی آنتروپی می باشند.

با استفاده از داده های WMAP، چگالی ماده تاریک سرد برابر است با

$$\Omega_\chi h^2 = 0.1099 \pm 0.0062 \quad (8)$$

با استفاده از این مقدار و رابطه (6) چنانچه بخواهیم مقدار قابل قبولی از ماده تاریک داشته باشیم بدین نتیجه خواهیم رسید که برای ذرات ماده تاریک از مرتبه جرمی 1GeV :

$$M \approx 10^{-16} e\text{ cm} \quad (9)$$

بنابراین اگر بخواهیم چگالی ماده تاریک دایپولار با چگالی ماندگاری تجربی در توافق باشد حد فوق بر روی ممان دوقطبی مغناطیسی ماده تاریک قرار خواهد گرفت.

تصحیح انرژی اتم های هیدروژن گونه

لاغرانژی معادله (1) می تواند انتشارگر فوتونی را بصورت شکل ۱ تصحیح کند. سهم این نمودار در قطبش خلاء فوتونی بصورت زیر است [۶]:

$$\Pi^{\mu\nu}(q^2) \approx \beta q^2 (q^2 g^{\mu\nu} - q^\mu q^\nu) \quad (10)$$

که در آن

$$\beta = \frac{M^2}{8\pi^2} \left(1 - \frac{1}{3} \ln \frac{m_\chi^2}{\mu^2} \right) \quad (11)$$

و m_χ و μ به ترتیب جرم ماده تاریک دایپولار و مقیاس بازبینه گارش می باشد. رابطه (10) پتانسیل کولن را بصورت زیر تصحیح می کند:

مدل ماده تاریک دایپولار

بر اساس این مدل چنانچه ذرات ماده تاریک اسپینور باشند از طریق ممان دوقطبی مغناطیسی (M) می توانند با فوتون جفت شده و برهمکنش الکترومغناطیسی انجام دهنند. لاغرانژی موثر این تئوری بصورت زیر بیان می شود [۶]

$$\mathcal{L} = -\frac{iM}{2} \bar{\chi} \sigma_{\mu\nu} \chi F^{\mu\nu} \quad (1)$$

که بر واحد M بر واحد $F^{\mu\nu}, e\text{ cm}$ تأسیر میدان الکترومغناطیسی و $\sigma_{\mu\nu} = \frac{i}{2} [\gamma^\mu, \gamma^\nu]$ می باشد.

فراوانی ماده تاریک دایپولار

چگالی ماندگاری ماده تاریک دایپولار از طریق محاسبه سطح مقطع برهمکنش نابودی ذرات و پادذرات ماده تاریک (که فرض می کنیم از گروه ویپها می باشند) به ذرات مدل استاندارد قابل تعیین است. سطح مقطع نابودی ماده تاریک دایپولار به ذرات فرمیونی سبکتر، چنانچه برهمکنش ماده تاریک با فوتون از نوع دوقطبی

مغناطیسی باشد، از طریق رابطه زیر بدست می آید [۶]:

$$\sigma v_{rel} = \frac{e^2 M^2}{4\pi} \left(1 - \frac{v_{rel}^2}{6} \right) \approx \frac{e^2 M^2}{4\pi} \quad (2)$$

که در آن

$$v_{rel} = 2 \sqrt{1 - \frac{4m_\chi^2}{s'}} \quad (3)$$

سرعت نسبی ذرات ماده تاریک نسبت به هم و s' مربع انرژی مرکز جرم می باشد. سطح مقطع میانگین گرمایی، می تواند بر حسب دمای T بصورت زیر پارامتریزه شود:

$$\langle \sigma v_{rel} \rangle \equiv \sigma_0 \left(\frac{T}{m_\chi} \right)^{n'} \quad (4)$$

که در آن

$$\sigma_0 = \frac{e^2 M^2}{4\pi} \quad n' = 0 \quad (5)$$

چگالی جرمی ذرات ماده تاریک دایپولار، توسط سطح مقطع نابودی زوج به همه ذرات سبکتر توسط رابطه زیر بدست می آید

$$\Omega_\chi h^2 = 0.34 \left(\frac{(n'+1)x_f^{n'+1}}{g_{*_s}/g_*^{1/2}} \right) \frac{10^{-37} \text{cm}^2}{\sigma_0} \quad (6)$$

برای اینکه بتوانیم داده های تئوری و تجربی پرتوی X را در رابطه (۱۴) اعمال کنیم، حالتی را در نظر می گیریم که اتم بصورت هیدروژن گونه باشد، بدین معنی که دارای هسته و یک الکترون در نزدیکترین تراز انرژی ($n=1$) می باشد. بنابراین در گسیل پرتوی X خطوط $K\alpha$ را درنظر می گیریم که الکترون از تراز انرژی $n=2$ یا L به تراز انرژی $n=1$ یا K گذار انجام می دهد.

رابطه (۱۴) با استفاده از خطوط گسیل $K\alpha$ پرتوی X اتم ها بصورت زیر نوشته می شود:

$$M = 3.4 \times 10^{-5} (Hz)^{-1/2} \sqrt{\frac{\mu_B^2 m_e^3 (\Delta E_{20 \rightarrow 10})}{Z^4 m_r^3}} \quad (15)$$

که $\Delta E_{20 \rightarrow 10} = \delta E_{1,0} - \delta E_{2,0}$ می باشد. با استفاده از اختلاف مقدار انرژی خطوط K پرتوی X که در تئوری پیش بینی شده با داده های تجربی در عناصر مختلف [۷] می توان بر روی M قید گذاشت (جدول ۱).

جدول ۱: قید بر روی گشتاور دوقطبی مغناطیسی ناشی از اختلاف انرژی تجربی و تئوری خطوط گسیل سری $K\alpha_2$ پرتوی X

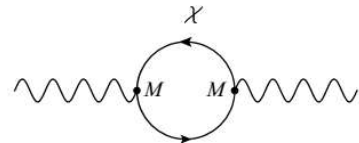
$M (e cm)$	اختلاف انرژی (eV)	انرژی تجربی (eV)	انرژی تئوری (eV)	Z	اتم
$\leq 1.67 \times 10^{-11}$	۰,۰۲	۴۰۸۵,۹۵	۴۰۸۵,۴۳	۲۱	Sc
$\leq 1.69 \times 10^{-11}$	۱,۶	۷۹۱۵,۰۴	۷۹۱۴,۰۸	۲۷	Co
$\leq 1.0 \times 10^{-12}$	۰,۰۲	۱۴۰۹۸,۰۳	۱۴۰۹۸,۰۱	۳۸	Sr
$\leq 1.41 \times 10^{-12}$	۰,۲	۳۳۰۳۴,۳۸	۳۳۰۳۴,۲	۵۷	La
$\leq 1.11 \times 10^{-12}$	۰,۳	۵۲۹۶۵,۰۷	۵۲۹۶۵,۳	۷۱	Lu
$\leq 1.43 \times 10^{-12}$	۰,۸	۶۸۸۹۵,۱	۶۸۸۹۴,۳	۸۰	Hg
$\leq 7.97 \times 10^{-13}$	۰,۴	۸۹۹۵۷,۰۴	۸۹۹۵۶,۶	۹۰	Th

نتیجه گیری

ماهه تاریک از اینرو تاریک گفته می شود که ذرات آن با فوتون برهمکنش نمی کنند یا برهمکنش ضعیفی دارند. در این مقاله ما مدلی را درنظر گرفتیم که در آن فرض شده ذرات ماده تاریک دارای گشتاور دوقطبی مغناطیسی دائمی می باشند و از این طریق با فوتون برهمکنش می کنند. در ادامه با استفاده از لاگرانژی موثر برای این جفت شدگی و تصحیح آن بر روی قطبش خلاء فوتونی،

$$V(r) = -\frac{Ze^2}{4\pi r} - \frac{Ze^2}{12\pi^2} M \delta^3(r) \quad (12)$$

که Z عدد اتمی را نمایش می دهد.



شکل ۱: تصحیح تک حلقه در انتشارگر فوتونی

با اعمال رابطه (۱۲) در هامیلتونی غیرنسیتی اتم هیدروژن گونه به عنوان اختلال، جابجایی در تراز انرژی S به صورت زیر بدست می آید:

$$\delta E_{n,l} = -\frac{Z\alpha}{3\pi} M^2 \delta_{l,0} |\chi_{n,l}(0)|^2 \quad (13)$$

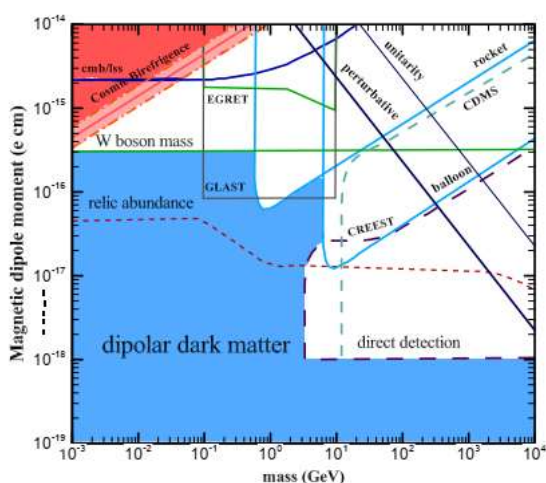
که $\alpha = e^2 / 4\pi$ ثابت ساختار ریز و n عدد کوانتومی اصلی است. با استفاده از مقدار تابع موج کولنی در مبدا $\chi_{n,l}(0) = (\pi n^3 a_0^3)^{-1/2}$ و شعاع بوهر حالت پایه $a_0 = (m_r Z \alpha)^{-1}$ (که m_r جرم کاهیده اتم می باشد)، رابطه (۱۳) بصورت زیر نوشته می شود:

$$\begin{aligned} \delta E_{n,l} &= -\frac{Z^4 m_e \alpha^5}{3\pi n^3} \frac{M^2}{\mu_B^2} \left(\frac{m_r}{m_e}\right)^3 \delta_{l,0} \\ &= -(1.68 \times 10^9 Hz) \frac{Z^4}{n^3} \frac{M^2}{\mu_B^2} \left(\frac{m_r}{m_e}\right)^3 \delta_{l,0} \end{aligned} \quad (14)$$

که $\mu_B = 1.93 \times 10^{-11} e cm$ مگنتون بوهر است. رابطه (۱۴) نشان می دهد در یک گذار معین، جفت شدگی ماده تاریک دایپولار-فوتون با افزایش عدد اتمی و جرم کاهیده، کاهش می یابد. در پخش بعد از گسیل پرتوی X در اتم های هیدروژن گونه استفاده می کنیم و بر روی گشتاور دوقطبی مغناطیسی قید می گذاریم.

پرتو X

پرتوی X یک تابش الکترومغناطیسی است که فرکانسی در محدوده $10^{16} Hz$ تا $10^{20} Hz$ دارد و زمانی ساطع می شود که الکترون بین ترازهای انرژی نزدیک به هسته در اتم گذار انجام دهد.

شکل ۲: فضای پارامتری $M\text{-}m$ برای ذرات ماده تاریک دایپولار [۱۶ و ۱۷]

مرجع ها

- [۱] L. Roszkowski, E. M. Sessolo and S. Trojanowski, “*WIMP dark matter candidates and searches- current status and future prospects*”, Rept. Prog. Phys. **81**, no.6, 066201 (2018).
- [۲] A. Boyarsky, M. Drewes, T. Lasserre, S. Mertens and O. Ruchayskiy, “*Sterile neutrino Dark Matter*”, Prog. Part. Nucl. Phys. **104**, 1-45 (2019).
- [۳] S. S. Xue, “*Hierarchy spectrum of SM fermions: from top quark to electron neutrino*”, JHEP **11**, 072 (2016).
- [۴] M. Bastero-Gil, J. Santiago, L. Ubaldi and R. Vega-Morales, “*Vector dark matter production at the end of inflation*”, JCAP **04**, 015 (2019).
- [۵] K. N. Abazajian, et al., “*Light Sterile Neutrinos: A White Paper*”, [arXiv:1204.5379 [hep-ph]].
- [۶] K. Sigurdson, M. Doran, A. Kurylov, R. R. Caldwell and M. Kamionkowski, “*Dark-matter electric and magnetic dipole moments*”, Phys. Rev. D **70**, 083501 (2004) [erratum: Phys. Rev. D **73**, 089903 (2006)].
- [۷] <https://www.nist.gov/pml/x-ray-transition-energies-database>.
- [۸] C. Dvorkin, K. Blum and M. Kamionkowski, “*Constraining Dark Matter-Baryon Scattering with Linear Cosmology*”, Phys. Rev. D **89**, no.2, 023519 (2014).
- [۹] X. Chu, J. Pradler and L. Semmelrock, “*Light dark states with electromagnetic form factors*”, Phys. Rev. D **99**, no.1, 015040 (2019).
- [۱۰] J. F. Fortin and T. M. P. Tait, “*Collider Constraints on Dipole-Interacting Dark Matter*”, Phys. Rev. D **85**, 063506 (2012).
- [۱۱] J. Khodagholidzadeh, S. Mahmoudi, R. Mohammadi and M. Sadegh, “*Cosmic birefringence as a probe of the nature of dark matter: Sterile neutrino and dipolar dark matter*”, Phys. Rev. D **108**, no.2, 023023 (2023).

پتانسیل کولنی را بدست آوردیم. با اعمال پتانسیل کولنی به عنوان اختلال در تراز انرژی های اتم های هیدروژن گونه تصحیح تغییر انرژی ترازها را نیز بدست آوردیم. سپس با استفاده از دقت آزمایشگاهی گسیل پرتوی X بر روی گشتاور دوقطبی مغناطیسی قید گذاشتم که در جدول ۱ آورده شده است.

در اینجا ارزشمند است که مقایسه ای بین قیود بدست آمده ناشی از تابش پرتوی X بر روی گشتاور دوقطبی مغناطیسی ماده تاریک دایپولار و سایر قیدهای قرار گرفته بر روی M انجام گیرد.

مقالات متعددی وجود دارد که با استفاده از پدیده های فیزیکی و داده های تجربی مختلف بر روی M حد می گذارند. به عنوان مثال در مقاله [۶] با استفاده از تست های دقت مدل استاندارد، CMB پرتو گامای کیهانی قیدهای متفاوتی بدست آمده که در شکل ۲ نشان داده شده است. در مقاله [۸] از طریق برهمکنش باریون-ماده تاریک حد $10^{-12} e\text{ cm}$ قرار داده اند. همچنین نویسنده ای مقاله [۹] از داده های آزمایش های پراکندگی الکترون در XENON1T و XENON10 استفاده کرده و قید $10^{-18} e\text{ cm}$ را برای بازه جرمی $1 MeV < m_\chi < 1 GeV$ ذکر است که داده های LHC برای ازای $10^{-13} e\text{ cm}$ قید $10^{-15} e\text{ cm}$ را بر روی جرم $m_\chi < 100 GeV$ قرار می دهند [۱۰].

مقایسه داده ها نشان می دهد که پیشرفت در دقت اندازه گیری می تواند آزمایش های دقت مدل استاندارد که در سطح انرژی های پایین انجام می پذیرد را به عنوان یک جایگزین بسیار امیدوار کننده برای تحقیقات شتاب دهنده انرژی بالا برای کشف ماهیت ماده تاریک معرفی کند.

سپاسگزاری

از دانشگاه شیراز بابت فراهم آوردن زمینه تحقیق و پژوهش صمیمانه تشکر می کنیم.

در جستجوی اجرام ناحیه‌ی ناشناخته‌ی شکاف جرمی: ستاره‌های کوارکی در گرانش جرمدار

صادقت، جلیل^۱; اسلام پناه، بهزاد^۲; زبرجد، محمد^۱; بردار، غلامحسین^۱

^۱دانشکده فیزیک دانشگاه شیراز، میدان ارم، شیراز

^۲دانشکده فیزیک، دانشگاه مازندران، بابلسر

چکیده

در این پژوهش خواص ساختاری ستاره‌ی کوارکی شگفت را در یک نظریه‌ی اصلاح شده‌ی NJL در تقریب میدان میانگین در گرانش جرمدار بررسی کرده‌ایم. برای به دست آوردن معادله حالت ماده کوارکی شگفت، از یک نسخه‌ی اصلاح شده‌ی مدل NJL استفاده کردند. این نسخه شامل ترکیبی از مدل مرسوم NJL و تبدیل $Fierz$ است. نشان می‌دهیم که با انتخاب مناسب معادله‌ی حالت که از درجات آزادی ذرات سیستم و پرهم کنش بین آنها به دست می‌آید و همچنین با انتخاب گرانش اصلاح شده می‌توان ستاره‌های کوارکی شگفتی را به دست آورد که نه تنها قیدهایی به دست آمده از امواج گرانشی مانند جرم و شعاع مربوطه و تغییر شکل پذیری جزر و مدی را برآورده می‌کنند، بلکه در ناحیه‌ی ناشناخته شکاف جرمی ($M_0 = 2.5 - 5$) نیز قرار می‌گیرند.

واژه‌های کلیدی: ستاره‌های فشرده-معادله‌ی حالت-ماده کوارکی شگفت-گرانش جرمدار-تغییر شکل پذیری جزر و مدی

In search of objects in the unknown mass gap region: quark stars in massive gravity

Sedaghat, Jalil¹; Eslam Panah, Behzad²; Zebarjad, Mohammad¹; Bordbar, Gholam Hossien¹

¹ Department of Physics, University of Shiraz, Shiraz,

² Department of Physics, University of Mazandaran, Babolsar

Abstract

In this research, we have investigated the structural properties of the strange quark star in a modified NJL theory and also in a modified gravity called massive gravity. To obtain the equation of state of the strange quark matter, we have used a modified version of the NJL model. This version contains a combination of the conventional NJL model and its $Fierz$ transformation. We show that by the appropriate choice of the equation of state which is obtained from the degrees of the freedom of the particles and the interaction between them, as well as the choice of a modified gravity, it is possible to obtain strange quark stars that not only satisfy the constraints obtained from gravitational waves such as the mass and corresponding radius and tidal deformability, but also fall in the unknown mass gap region ($2.5 - 5 M_\odot$).

Keywords: compact stars - equation of state – strange quark matter – massive gravity – tidal deformability

شکاف جرمی ($2.5-5M_\odot$) قرار می‌گیرند [۸-۱۰]. سیستم‌های اخیر

مشاهده شده در این بازه، شکاف نسبی را به جای شکاف مطلق نشان می‌دهند [۱۱]. محدودیت‌های نظری در مورد حداکثر جرم ستاره‌های نوترونی و همچنین محدودیت‌های تجربی مشاهده شده برای کمیت تغییر شکل پذیری جزر و مدی بدون بعد (Δ) اجازه‌ی وجود ستاره‌های نوترونی با چنین جرم‌های بزرگی را نمی‌دهد [۱۲-۱۳]. در این پژوهش نشان می‌دهیم که با انتخاب مناسب معادله‌ی حالت و همچنین انتخاب یک گرانش اصلاح شده می‌توان ستاره‌های کوارکی شگفتی را به دست آورد که نه تنها در ناحیه‌ی ناشناخته‌ی

مقدمه

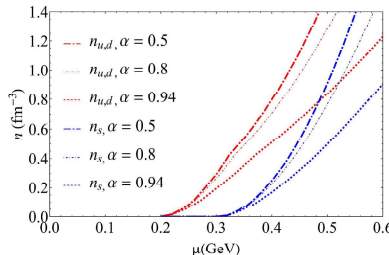
رویدادهای امواج گرانشی بینش جدیدی از ستاره‌های فشرده ارائه می‌دهند. ادغام دوتایی $GW170817$ [۱] و همتای الکترو-مغناطیسی آن [۲] منجر به محدودیت‌های جدیدی در حداکثر جرم ستاره‌های نوترونی شده است. بر اساس مشاهدات $GW170817$ حداکثر جرم ستاره‌های نوترونی حدود $2.4 M_\odot$ می‌باشد. با این حال، مشاهدات دیگری از تپ اخترها و ادغام دوتایی با جرم‌های بزرگتر از این مقدار (مانند PSR J0952-0607 [۳])، جزء ثانویه‌ی $GW190814$ [۴] و بقایای $GW170817$ [۵] و $GW190425$ [۶] وجود دارند که در ناحیه‌ی ناشناخته‌ی

$$+ (1 - \alpha) G \sum_{i=0}^8 \left[(\bar{\psi} \lambda_i \psi)^2 + (\bar{\psi} i \gamma^5 \lambda_i \psi)^2 \right] \\ - \frac{\alpha G}{2} [(\bar{\psi} \gamma^\mu \lambda_0^C \psi)^2 - (\bar{\psi} \gamma^\mu \gamma^5 \lambda_0^C \psi)^2] \\ - K (\det[\bar{\psi} (1 + \gamma^5) \psi] + \det[\bar{\psi} (1 - \gamma^5) \psi]),$$

اکنون معادله‌ی حالت را در تقریب میدان میانگین به دست می‌آوریم. در تقریب میدان میانگین جرم دینامیکی کوارک از معادله‌ی گاف به صورت زیر به دست می‌آید

$$M_i = m_i - 4G \langle \bar{\psi} \psi \rangle_i + 2K \langle \bar{\psi} \psi \rangle_j \langle \bar{\psi} \psi \rangle_k,$$

که در آن m_i و M_i به ترتیب جرم سکون و چگالش کوارک با طعم i می‌باشند. با حل معادله‌ی گاف در دمای صفر و پتانسیل شیمیابی معین، چگالی عدد کوارک به صورت تابعی از پتانسیل شیمیابی بدست می‌آید [۱۹].



شکل ۱: چگالی تعداد کوارک‌های بالا، پایین و شگفت را در α های مختلف.

شکل ۱، چگالی تعداد کوارک‌های بالا، پایین و شگفت را در α های مختلف نشان می‌دهد. این شکل نشان می‌دهد که چگالی تعداد کوارک در مقادیر پتانسیل شیمیابی یکسان با افزایش α کاهش می‌یابد. در نتیجه، چنین رفتاری برای چگالی عدد باریونی نیز رخ می‌دهد. با داشتن چگالی تعداد کوارک‌ها، می‌توان فشار و چگالی انرژی را از روابط زیر محاسبه کرد

$$P = -B + \int_0^{\mu_j} d\mu'_j n_j(\mu'_j), \quad (j = u, d, s, e), \\ \epsilon = -P + \mu_j n_j(\mu_j),$$

و در نتیجه معادله‌ی حالت را به دست آورد. در اینجا B یک ثابت انتگرال‌گیری معادل با فشار خلا است. برای B دو مقدار شامل انرژی $B^{1/4} = 130 MeV$ و $B^{1/4} = 117 MeV$ در نظر می‌گیریم. برای این مقادیر، کوارکی به ازای هر باریون برای ماده کوارکی سه طعمی کمتر از ماده کوارکی دو طعمی کمتر است. این شرط برای اینکه ماده کوارکی

شکاف جرمی قرار می‌گیرند بلکه قیدهای به دست آمده از مشاهدات رصدی را نیز برآورده می‌کنند.

نظریه‌ی نسبیت عام نمی‌تواند انساط شتابدار کیهان را توصیف کند در حالی که نظریه‌ی گرانش جرمدار (به عنوان نظریه‌ی گرانشی تعیم یافته گرانش اینشتین) می‌تواند این انساط شتابدار را بدون در نظر گرفتن انرژی تاریک توصیف نماید [۱۴]. در این نظریه، گراویتون دارای جرم است و در غیاب جرم گراویتون، به نظریه‌ی نسبیت عام تبدیل می‌شود. از سوی دیگر نشان داده شده است که جرم گراویتون در محیط‌های گرانشی قوی مانند سیاه‌چاله‌ها و اجرام فشرده (مانند ستاره‌های نوترونی) بسیار بزرگتر از محیط‌های گرانشی ضعیف است [۱۵]. همچنین مشاهدات رصدی توسط گروه تحقیقاتی لیگو-وریگو، محدوده‌ی جرمی بر روی گراویتون ایجاد کرده است [۱۶]. در سال‌های اخیر با در نظر گرفتن گرانش جرمدار، مطالعه‌ی ویژگی‌های اجرام فشرده مانند ستاره‌های نوترونی و کوتوله‌های سفید مورد توجه قرار گرفته است اما تاکنون هیچ مطالعه‌ای در مورد ستاره‌های کوارکی و تاثیر جرم گراویتون روی آن‌ها انجام نشده است. برای این منظور در این مقاله قصد داریم به مطالعه‌ی اثرات جرم گراویتون و پارامترهای نظریه‌ی گرانش جرمدار روی خصوصیات ساختاری ستاره‌های کوارکی بپردازیم. لازم به ذکر است که در این مقاله از گرانش جرمداری که وق (Vegh) معرفی کرد، استفاده می‌کنیم [۱۷] که در سال ۲۰۱۳ میلادی مطرح شد. لازم به ذکر است که مقدار Λ را در گرانش جرمدار با استفاده از روش محاسبه‌ی آن در گرانش اینشتین بدست آورдیم [۱۸].

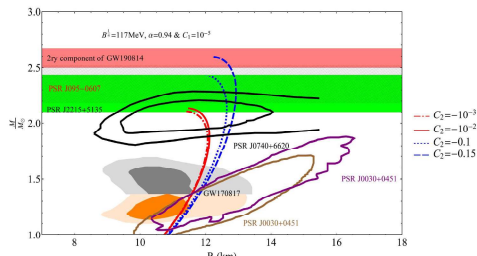
رهیافت NJL تعیم یافته برای به دست آوردن معادله‌ی حالت: ما در این کار، برای به دست آوردن معادله‌ی حالت ماده کوارکی شگفت، از لاگرانژی اصلاح شده‌ی NJL استفاده کرده‌ایم. این لاگرانژی ترکیبی از لاگرانژی مرسوم NJL سه طعمی و تبدیل Fierz [۱۴] آن با وزن‌های α و $1-\alpha$ می‌باشد که α از صفر تا یک تغییر می‌کند. این لاگرانژی برای ماده کوارک سه طعمی (کوارک‌های بالا و پایین با جرم یکسان و کوارک شگفت با جرم متفاوت) به شرح زیر است [۱۹]:

$$\mathcal{L} = (1 - \alpha) \mathcal{L}_{NJL} + \alpha \mathcal{L}_F \\ = \bar{\psi} (i \partial - m) \psi$$

از جمله محدودیت های جرم و شعاع، و همچنین محدودیت در Λ مقایسه می کنیم.

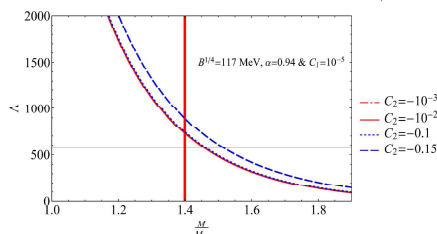
نتایج برای $\alpha = 0.94$ و مقدار ثابت کیسه $B^{1/4} = 117 \text{ MeV}$

در این قسمت به خواص ساختاری ستاره‌ی کوارکی شگفت از جمله روابط $M-R$ و $M-L$ در گرانش جرمدار می‌پردازیم. سپس نتایج را با محدودیت های به دست آمده از مشاهدات نجومی مقایسه می کنیم. علاوه بر این، شعاع شوارتزشیلد و فشردگی ستاره‌های کوارکی را در این نظریه گرانش به دست می آوریم. با انتخاب C_2 و مقادیر مختلف پارامتر a بر حسب شعاع طبق شکل ۴ به دست می آیند. لازم به ذکر است که در منبع [۲۱] نشان داده شده است که تغییر پارامتر C_1 تاثیر موثری در ویژگی های ساختاری ستاره‌ی فشرده ندارد. به همین علت ما یک مقدار ثابت برای C_1 اختیار کرده و مقادیر C_2 را تغییر می دهیم.



شکل ۴: منحنی جرم بر حسب شعاع برای $B^{1/4} = 117 \text{ MeV}$, $\alpha = 0.94$ و مقادیر مختلف C_2

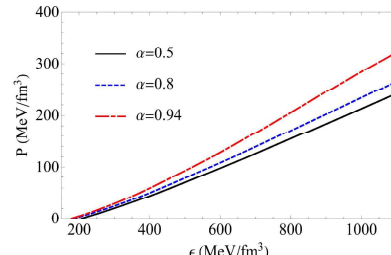
همانطور که از شکل ۴ مشاهده می کنیم با افزایش اندازه هی C_2 جرم بیشینه هی ستاره کوارکی شگفت افزایش می یابد. اما در ادامه خواهیم دید که این اجرام قید $\Lambda_{1.4M\odot} < 580$ را بر آورده نمی کنند. شکل ۵ رابطه هی بین جرم ستاره و Λ را نشان می دهد.



شکل ۵: Λ بر حسب جرم ستاره برای مقادیر C_2 و $B^{1/4} = 117 \text{ MeV}$, $\alpha = 0.94$

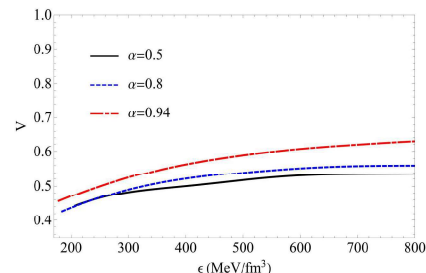
همانطور که مشاهده می کنیم هیچ کدام از نمودارها قید $\Lambda_{1.4M\odot} < 580$ را بر آورده نمی کنند. برای برقراری این قید باید معادله هی حالت را

شکفت حالت پایه برهم کنش قوی باشد، ضروری است [۲۰]. معادله های حالت ماده کوارکی شگفت در مدل اصلاح شده NJL برای مقادیر مختلف α در شکل ۲ ارائه شده است.



شکل ۲: معادله های حالت ماده کوارکی شگفت در مدل اصلاح شده NJL برای مقادیر مختلف α

شکل ۲، نشان می دهد که معادله های حالت با افزایش پارامتر α سخت تر می شوند. در نتیجه، چنین رفتاری در سرعت صوت نیز دیده می شود. برای بررسی برقراری علیت، شکل ۳ مربوط به سرعت صوت بر حسب چگالی انرژی برای مقادیر مختلف α است. همانطور که از شکل ۳ مشاهده می کنیم معادله های حالت علیت را حفظ می کنند. همچنین با افزایش مقدار α و در نتیجه سخت تر شدن معادله های حالت، سرعت صوت نیز افزایش می یابد. در نتیجه انتظار داریم که جرم بیشینه هی قابل دسترسی برای ستاره نیز افزایش یابد.



شکل ۳: سرعت صوت بر حسب چگالی انرژی برای مقادیر مختلف α

در ادامه برای بررسی ساختار ستاره هی کوارکی شگفت در گرانش جرمدار از معادله های حالت با مقدار $\alpha = 0.94$ استفاده می کنیم تا بیشترین محدوده هی جرم مجاز را در گرانش جرمدار بررسی کنیم. سپس با محاسبه هی Λ در گرانش جرمدار ویژگی های ساختاری ستاره هی کوارکی شگفت را به دست می آوریم.

ساختار ستاره هی کوارکی شگفت در گرانش جرمدار:

در این قسمت، خواص ساختاری ستاره هی کوارکی شگفت از جمله رابطه هی جرم-شعاع و Λ در گرانش جرمدار را به دست می آوریم. سپس نتایج را با محدودیت های حاصل از مشاهدات نجومی،

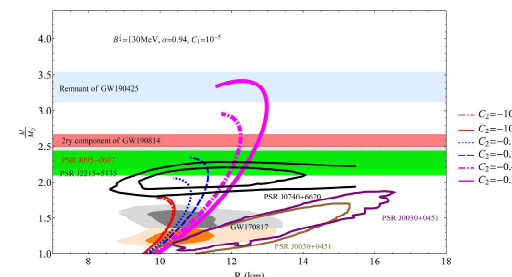
نتیجه‌گیری

برای مطالعه‌ی ساختار داخلی ستاره‌های فشرده باید با استفاده از فیزیک ذرات بینایی و هسته‌ای معادله‌ی حالت مناسب سیستم در حال بررسی را به دست آورد. با یافتن مشخصات ترمودینامیکی سیستم از جمله سرعت صوت و شاخص آدیباٹیک می‌توان معادله‌ی حالت را صحت سنجی کرد. هم چنین معادله‌ی حالت باید منجر به نتایجی از ساختار ستاره‌های فشرده شود که محدودیت‌های رصدی را برآورده کند. در این کار ما نشان دادیم که با استفاده از معادله‌ی NJL ماده کوارک شگفت (با استفاده از مدل اصلاح شده) حالت ماده کوارک گرفت (با استفاده از تقریب میدان میانگین) و همچنین تصحیح معادله TOV در تقریب جرمدار می‌توان ساخته‌ای کوارکی شگفتی به دست آورد که گرانش جرمدار می‌توان ساخته‌ای کوارکی شگفتی به دست آورد که نه تنها در ناحیه‌ی ناشناخته‌ی شکاف جرمی ($2.5\text{-}5 M_\odot$) قرار می‌گیرند، بلکه محدودیت‌های به دست آمده برای شعاع و جرم و Λ را نیز برآورده می‌کنند. هم چنین با محاسبه‌ی شعاع شوatzشیلد به دست آمده برای این اجرام در گرانش جرمدار، نشان داده شد که اجرام به دست آمده نمی‌توانند سیاه‌چاله باشند.

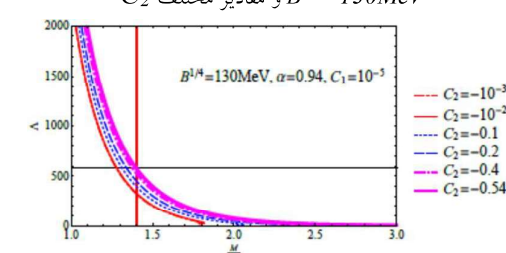
مرجع‌ها

- 1- B.P. Abbott et al., Phys. Rev. Lett. 119, 161101 (2017).
- 2- M. Soares-Santos et al., Astrophys. J. Lett. 848, L16 (2017).
- 3- R. W. Romani et al., Astrophys. J. Lett. 934, L17 (2022).
- 4- R. Abbott et al., Astrophys. J. Lett. 896, L44 (2020).
- 5- Z. Miao, J. L. Jiang, A. Li, L.W. Chen, Astrophys. J. Lett. 917, L22 (2021).
- 6- H. Gao et al., Front. Phys. 15, 24603 (2020).
- 7- J. Sedaghat et al., Phys. Lett. B 833, 137388 (2022).
- 8- C. D. Bailyn et al., Astrophys. J. 499, 367 (1998).
- 9- F. zel et al., Astrophys. J. 725, 1918 (2010).
- 10- K. Belczynski et al., Astrophys. J. 757, 91 (2012).
- 11- L. M. de S et al., Astrophys. J. 941, 130 (2022).
- 12- I. Bombaci et al., Phys. Rev. Lett. 126, 162702 (2021).
- 13- I. Tews et al., Astrophys. J. Lett. 908, L1 (2021).
- 14- K. Koyama, G. Niz, and G. Tasinato, Phys. Rev. Lett. 107, 131101 (2011).
- 15- J. Zhang, and S. -Y. Zhou, Phys. Rev. D 97, 081501(R) (2018).
- 16- B. P. Abbott et al., Phys. Rev. Lett. 116, 221101 (2016).
- 17- D. Vegh, arXiv:1301.0537.
- 18- T. Hatsuda, and T. Kunihiro, Prog. Theor. Phys. 74, 765 (1985).
- 19- C. -M. Li et al., Phys. Rev. D 101, 063023 (2020).
- 20- F. Weber, Prog. Part. Nucl. Phys. **54**, 193 (2005).
- 21- S. H. Hendi, G. H. Bordbar, B. Eslam Panah, and S. Panahiyan, JCAP **09**, 013 (2016)

نرم کنیم. به همین دلیل ثابت کیسه را به مقدار $B^{1/4}=130MeV$ افزایش می‌دهیم و نتایج را برای این مقدار جدید B بررسی می‌کنیم. ما مقدار پارامتر C_2 را تا جایی افزایش می‌دهیم که نتایج به دست آمده قید $\Delta_{1.4M_\odot} < 580$ را برآورده کنند. شکل‌های ۶ و ۷ نشان می‌دهند که نتایج به دست آمده برای مقادیر $|C_2| > 0.54$ نه تنها ناحیه‌ی مربوط به شکاف جرمی را پوشش می‌دهند بلکه محدودیت‌های مربوط به جرم و شعاع مربوطه و همچنین قید $\Delta_{1.4M_\odot} < 580$ را نیز برآورده می‌کنند.



شکل ۶: منحنی‌های رفتار جرم بر حسب شعاع برای مقادیر $\alpha=0.94$ و $B^{1/4}=130MeV$ و مقادیر مختلف C_2



شکل ۵: Δ بر حسب جرم ستاره برای مقادیر $\alpha=0.94$ و $B^{1/4}=130MeV$ و مقادیر مختلف C_2

جدول ۱ نتایج ما را برای $B^{1/4}=130MeV$ ، $\alpha=0.94$ و $MTOV$ متفاوت C_2 ارائه می‌دهد. همچنین این جدول نشان می‌دهد که با افزایش جرم، فشردگی سیستم نیز افزایش می‌یابد. مقادیر به دست آمده برای شعاع ستاره و شعاع شوatzشیلد مربوطه ثابت می‌کند که اجرام به دست آمده نمی‌توانند سیاه‌چاله باشند.

جدول ۱: ویژگی‌های ساختاری ستاره‌ای کوارکی شگفت برای

$\alpha=0.94$ و $B^{1/4}=130MeV$ و مقادیر مختلف C_2

C_2	none mass gap				mass gap			
	-10^{-3}	-10^{-2}	-0.1	-0.2	-0.3	-0.4	-0.54	-0.55
$R(km)$	9.81	9.85	10.30	10.77	11.23	11.63	12.32	12.35
$M_{TOV}(M_\odot)$	1.79	1.81	2.06	2.35	2.65	2.96	3.42	3.45
$\Delta_{1.4M_\odot}$	326.43	333.26	398.93	452.51	499.87	532.37	578.95	580.64
$\Delta_{M_{TOV}}$	32.25	32.26	15.20	6.51	2.92	1.36	0.35	0.32
$\sigma (10^{-3})$	2.70	2.72	2.96	3.23	3.49	3.77	4.11	4.13
$R_{Sch}(km)$	5.29	5.30	5.54	5.80	6.03	6.26	6.57	6.59

بسط نموداری حد جفت شدگی قوی مدل شبکه $U(1)$ در پایه فوریه

کیانفر ، افسانه^۱؛ فتح اللهی، امیرحسین^۲

^۱پژوهشگاه دانشیاری بنیادی، پژوهشکاه ذرات و شبکهای، تهران

^۲دانشکاه فیزیک دانشگاه الزهرا، دهونک، تهران

چکیده

ماتریس انتقال نظریه پیمانه‌ای شبکه با تقارن $U(1)$ را در فضای فوریه و پیمانه‌ی زمانی $A0 \equiv A0$ بررسی می‌کنیم. بردارهای پایه به عنوان جریان‌های کوانتیزه روی رابطهای شبکه تعییر می‌شوند. براساس قانون بقای جریان روی شبکه، نشان داده می‌شود که عناصر ماتریس انتقال تنها بین عناصر پایه که حداقل در جریان گردشی درون پلاکت با هم تفاوت دارند غیرصفر است. برای بسط در حد جفت شدگی قوی یک نمایش نموداری براساس وقوع جریان‌های رابط و حلقه مجازی ارائه شده است، که در آن وزن هر جریان مجازی $1/g^2$ و g بعنوان ثابت جفت شدگی است، در هر مرتبه داده شده، نمودارهای مرتب قابل تعیین هستند. نمودارها چه به لحاظ نوع تفسیرشان و چه به جهت نقششان در تعیین جملات بسط، یادآور نمودارهای فاینممن در بسط اختلالی جفت شدگی کوچک هستند. در ثابت جفت شدگی قوی طیف انرژی نظریه بحث و بررسی شد.

واژه‌های کلیدی: نظریه پیمانه‌ای شبکه - ماتریس انتقال - بسط جفت شدگی قوی

Diagrammatic strong coupling expansion of a $U(1)$ lattice model in the Fourier basis

Afsaneh, Kianfar¹; AmirHossein, Fatollahi²

¹ School of particles and accelerators, IPM, Tehran

² Department of Physics, Alzahra University, Tehran

Abstract

The transfer-matrix of the $U(1)$ lattice gauge theory is investigated in the field Fourier space, the basis of which consists of the quantized currents on lattice links. Based on a lattice version of the current conservation, the transfer-matrix elements are shown to be nonzero only between current states that differ in circulating currents inside plaquettes. In the strong coupling limit, a series expansion is developed for the elements of the transfer matrix, to which a diagrammatic representation based on the occurrence of virtual link and loop currents can be associated. With g as the coupling, the weight of each virtual current in the expansion is $1/g^2$, by which at any given order the relevant diagrams are determined. Either by interpretation or through their role in fixing the relevant terms, the diagrams are reminiscent of the Feynman ones of the perturbative small coupling expansions. In the strong coupling limit, spectrum of gauge theory are calculated.

Keywords: Lattice gauge theories; Transfer-matrix; Strong coupling expansion

PACS No. 10.1103/PhysRevD.104.094506

در دو زمان متواالی، n_t و $n_t + 1$ ، مناسب است که از متغیرهای

مقدمه

زاویه‌ای به شکل زیر استفاده کنیم :

$$\begin{aligned} \theta^{(\mathbf{r}, i)} &= a g A_{n_t}^{(\mathbf{r}, i)} \\ \theta'^{(\mathbf{r}, i)} &= a g A_{n_t+1}^{(\mathbf{r}, i)} \end{aligned} \quad (1)$$

فرمول‌بندی نظریه پیمانه‌ای شبکه $U(1)$ در پایه فوریه میدان در

[۵] ارائه شده است. به علاوه براساس ماتریس پلاکت-رابط عناصر ماتریس انتقال \hat{V} صراحتا محاسبه شده‌اند. فرمول‌بندی در پیمانه زمانی ارائه شده است که منجر به ساده‌سازی ماتریس انتقال می‌شود.

ماتریس انتقال، به عنوان دامنه گذار بین دو حالت جریان متعلق به یک بلوک، با امکان ظهور همه جریان‌های حلقه و رابط مجازی ممکن با وزن γ ، تفسیر می‌شود که هر دو حالت را به خلاصه تبدیل می‌کند. در اینجا ماتریس انتقال تقلیل یافته را به صورت زیر تعریف می‌کنیم:

$$\hat{V} = \mathcal{A} e^{-\gamma(N_L+N_P)} (2\pi)^{N_L} \underline{\hat{V}} \quad (8)$$

عناصر در فرم تقلیل یافته در پایه فوريه بصورت زیر داده می‌شود

$$\langle \mathbf{k}' | \underline{\hat{V}} | \mathbf{k} \rangle_{\mathbf{k}_*} = \frac{1}{(2\pi)^{N_L}} \int_{-\pi}^{\pi} \prod_l d\theta'_l d\theta_l e^{-i \mathbf{k}' \cdot \theta'_l} e^{i \mathbf{k} \cdot \theta_l} \langle \mathbf{\Theta}' | \underline{\hat{V}} | \mathbf{\Theta} \rangle \quad (9)$$

که در آن بردار نماینده بلوک \mathbf{k}_* است، با عناصر ماتریس در بلوک خلاصه با جایگذاری $\mathbf{k}_* = \mathbf{0}$ شروع می‌کنیم

$$\langle \mathbf{q}' \cdot \mathbf{M} | \underline{\hat{V}} | \mathbf{q} \cdot \mathbf{M} \rangle_0 = \frac{1}{(2\pi)^{N_L}} \int_{-\pi}^{\pi} \prod_l d\theta'_l d\theta_l e^{-i \mathbf{q}' \cdot \mathbf{M} \cdot \theta'_l} e^{i \mathbf{q} \cdot \mathbf{M} \cdot \theta_l} \langle \mathbf{\Theta}' | \underline{\hat{V}} | \mathbf{\Theta} \rangle \quad (10)$$

در مرتبه اول γ ، براحتی می‌توان جملات زیر را نوشت:

$$\langle \mathbf{q}' \cdot \mathbf{M} | \underline{\hat{V}} | \mathbf{q} \cdot \mathbf{M} \rangle_0 = \prod_l \delta((\mathbf{q}' \cdot \mathbf{M})_l) \delta((\mathbf{q} \cdot \mathbf{M})_l) + \frac{\gamma}{4} \prod_l \delta((\mathbf{q} \cdot \mathbf{M})_l) \sum_{p'} [\prod_{l'} \delta((\mathbf{q}' \cdot \mathbf{M})_{l'}) + M_{l'}^{p'}] + \prod_{l'} \delta((\mathbf{q}' \cdot \mathbf{M})_{l'} - M_{l'}^{p'}) + \frac{\gamma}{4} \prod_{l'} \delta((\mathbf{q}' \cdot \mathbf{M})_{l'} - M_{l'}^{p'}) \sum_p [\prod_l \delta((\mathbf{q} \cdot \mathbf{M})_l + M_l^p) + \prod_l \delta((\mathbf{q} \cdot \mathbf{M})_l - M_l^p)] + \frac{\gamma}{2} \sum_{l_1} [\prod_l \delta((\mathbf{q} \cdot \mathbf{M})_l + \delta_{l_1}) \delta((\mathbf{q}' \cdot \mathbf{M})_l + \delta_{l_1}) + \prod_l \delta((\mathbf{q} \cdot \mathbf{M})_l - \delta_{l_1}) \delta((\mathbf{q}' \cdot \mathbf{M})_l - \delta_{l_1})] + O(\gamma^2) \quad (11)$$

که در آن $(\mathbf{q} \cdot \mathbf{M})_l$ جریان روی لینک l است.

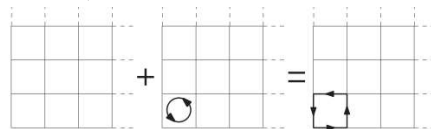
$$\langle \mathbf{0} | \underline{\hat{V}} | \mathbf{0} \rangle_0 = 1 + \gamma \sum_p \prod_l \delta(M_l^p) + O(\gamma^2) \quad (12)$$

با توجه به عناصر غیر صفر M_l^p در هر پلاکت، جمله خطی ضریب حذف می‌شود، بنابراین داریم

$$\langle \mathbf{0} | \underline{\hat{V}} | \mathbf{0} \rangle_0 = 1 + O(\gamma^2) \quad (13)$$

$$\left[\langle \mathbf{0} | \underline{\hat{V}} | \mathbf{0} \rangle_0 \right]_{\gamma^2} : \begin{cases} 0 + \text{---} \rightarrow 0 & \frac{1}{24} \frac{1}{2!} 2 N_P \\ 0 \rightarrow 0 + \text{---} & \frac{1}{24} \frac{1}{2!} 2 N_P \\ 0 + \text{---} \rightarrow 0 + \text{---} & \frac{1}{2^2} \frac{1}{2!} 2 N_L \end{cases}$$

با جایگذاری $\mathbf{q}_1 = \mathbf{q}' = \mathbf{0}$ و $\mathbf{q} = \mathbf{q}_1$ با یک واحد جریان حلقه در اولین پلاکت مشابه شکل زیر را در نظر می‌گیریم.



که هر دو مقدار در بازه $[-\pi, \pi]$ قرار می‌گیرند. در رابطه بالا a و g به ترتیب مقادیر فاصله شبکه و ثابت جفت‌شدگی هستند. عناصر ماتریس انتقال \hat{V} بر حسب کنش اقلیدسی بین دو زمان متوالی داده می‌شود:

$$\langle n_t + 1 | \hat{V} | n_t \rangle \propto e^{S_E(n_t, n_{t+1})} \quad (2)$$

با تعریف

$$\gamma = \frac{1}{g^2}$$

می‌توان عناصر ماتریس \hat{V} در پایه فوريه میدان را به شکل زیر نوشت

$$\langle \mathbf{k}' | \underline{\hat{V}} | \mathbf{k} \rangle = \mathcal{A} e^{-\gamma(N_P+N_L)} (2\pi)^{N_L} \sum_{\{n_p\}} \sum_{\{n'_{p'}\}} \prod_p I_{n_p} \left(\frac{\gamma}{2} \right) I_{n'_{p'}} \left(\frac{\gamma}{2} \right) \times \prod_l I_{m_l}(\gamma) \delta[(n_p + n'_{p'}) M_l^p + k_l - k'_l] \quad (3)$$

که در آن، $m_l = k_l + \sum_p n_p M_l^p = k'_l - \sum_p n'_{p'} M_l^p$. در عبارت بالا نشان داده می‌شود که جواب کلی دلتاهای در جمع از طریق رابطه برداری زیر داده می‌شود.

$$\mathbf{n}^0 \cdot \mathbf{M} = \mathbf{0}. \quad (4)$$

بدین ترتیب دلتاهای شرایط غیرصفر بودن عناصر ماتریس (3) در پایه فوريه را بیان می‌کنند

$$\mathbf{k}' = \mathbf{k} + \mathbf{Q} \cdot \mathbf{M} \quad (5)$$

به معنی بقای جریان بین حالت اولیه و نهایی در زمان‌های متوالی $n_t + 1$ و n_t بیان خواهد شد. همه هم‌بلوکی‌های نماینده به شکل زیر ساخته می‌شود:

$$\mathbf{k}^q = \mathbf{k}_* + \mathbf{q} \cdot \mathbf{M} \quad (6)$$

که q یک بردار با N_P مولفه صحیح است. خواهیم دید که شرط اختلاف دو هم‌بلوک به صورت بالا، نمودی از بقای جریان است و به این منجر می‌شود که عنصر ماتریسی غیرصفر داشته باشیم.

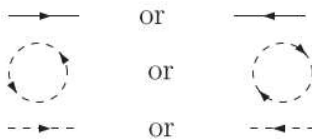
$$\langle \mathbf{k}' | \underline{\hat{V}} | \mathbf{k} \rangle_{\mathbf{k}_*} = \mathcal{A} e^{-\gamma(N_P+N_L)} (2\pi)^{N_L} \sum_{\{n_p^0\}} \sum_{\{n_p\}} \prod_p I_{q_p - n_p} \left(\frac{\gamma}{2} \right) I_{q'_{p'} - n'_{p'}} \left(\frac{\gamma}{2} \right) \prod_l I_{k_{*l} + \sum_p n_p M_l^p}(\gamma) \quad (7)$$

که در آن هیچ قیدی روی جمعها وجود ندارد، بجز آنکه n_p^0 ها از رابطه (4) تبعیت می‌کنند. از آنجا که بی‌نهایت انتخاب برای \mathbf{q} وجود دارد، در واقع هر بلوک بی‌نهایت بعدی است. یکی از ویژه‌ترین بلوک‌ها بلوکی است که حالت خلاصه $\mathbf{k}_* = \mathbf{k}_0 = \mathbf{0}$ نماینده آن است. نشان داده می‌شود که بسط جفت‌شدگی قوی به عنوان جمع روی جریان‌ها می‌تواند تلقی شود. به طور مشخص، عنصر غیرصفر

و m' برای جریان‌های حلقه نظیر به حالت داده شده و همچنین عدد ℓ برای جریان رابط برای هر دو حالت را در نظر می‌گیریم. در رابطه (9)، $m' m$ و ℓ به ترتیب در انتگرال شامل $\cos(M_l^p \theta^l)$ ها (M_l^p) و $\cos(\theta^l - \theta'^l)$ ظاهر می‌شوند. بنابراین به راحتی می‌توان ضربی عددی وابسته به عنصر ماتریسی را به شکل زیر محاسبه کرد

$$\left[\langle k' | \hat{V} | k \rangle \right]_{m, m', \ell} = \mathcal{K}_{m, m', \ell} \frac{1}{2^{2m+2m'+\ell}} \frac{1}{m! m'! \ell!} \gamma^{m+m'+\ell} \quad (18)$$

که در آن $\mathcal{K}_{m, m', \ell}$ ضربی ترکیبی است که راه‌های ممکن تبدیل حالت اولیه و نهایی به خلاء را، به کمک جریان‌های حلقه و رابط، می‌شمارد. از این نمایش‌های گرافیکی می‌توان برای تعیین و مدیریت حالت‌هایی که در گذار سهم دارند، استفاده کرد. به همین جهت، این نمایش‌های گرافیکی، مشابه نمودارهای فاینممن در نظریه میدان کوانتومی اختلالی، عمل می‌کنند. اجزاء مورد استفاده در نمودارها از جنس جریان هستند، حلقه یا رابط، که با ماهیت "واقعی" یا "مجازی‌شان" مشخص می‌شوند. حالات اولیه و نهایی که توسط خطوط پر به صورت رفت و برگشت نشان داده می‌شوند



طیف در جفت‌شدگی قوى

در حد ثابت جفت‌شدگی بسیار قوى $\gamma = 0$ ، تمام عناصر ماتریس صفر هستند، بجز $\langle \mathbf{0} | \hat{V} | \mathbf{0} \rangle$ که مساوی یک است. حد $\gamma = 0$ به عنوان حالت بدون اختلال، در نظر گرفته می‌شود. ماتریس انتقال کامل، متناظر به مقدار غیرصفر اما کوچک γ به صورت زیر است

$$\hat{V} = \hat{V}' + \bar{V} \quad (19)$$

از آنجا که حالت پایه مدل $(1 | U | 1)$ به بلوک خلاء تعلق دارد [10]. و به علاوه حالت‌های پیمانه-ناوردا در حد جفتیدگی قوى عملاً متعلق به بلوک خلاء هستند. در نتیجه، طیف مدل مورد بحث از بلوک خلاء به دست می‌آید. تا مرتبه γ^2 برای ویژه مقدار انرژی داریم

$$v_0 = 1 + \bar{V}_{00} + 2N_p \bar{V}_{0,\pm 1}^2 \quad (20)$$

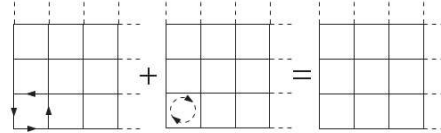
با استفاده از رابطه (12) گذار بین خلاء و $\langle \mathbf{1} | = |\mathbf{k}_0; \mathbf{l} \rangle$ با رابطه زیر داده می‌شود

$$\langle \mathbf{1} | \hat{V} | \mathbf{0} \rangle_0 = \prod_l \delta(M_l^1) + \frac{\gamma}{2} \sum_p, \prod_l \delta(M_l^{p'}) \prod_l \delta(M_l^1) + \frac{\gamma}{4} \sum_p, [\prod_l \delta(M_l^1) + M_l^{p'}]) + \prod_l \delta(M_l^1 - M_l^{p'})] + O(\gamma^2) \quad (14)$$

بدلیل عناصر غیر صفر M_l^1 یا $M_l^{p'}$ جمله اول و دوم سهمی ندارند. و سهم جمله سوم برای $p' = p$ در جمله $\delta(M_l^1 - M_l^{p'})$ متوجه می‌شود به

$$\langle \mathbf{1} | \hat{V} | \mathbf{0} \rangle_0 = \frac{\gamma}{4} + O(\gamma^2) \quad (15)$$

بعنوان نمایش گرافیکی نظیر برای حذف جریان‌های-رابط جریان-حلقه مجازی می‌توان شکل زیر را برای گذار $\mathbf{0} \rightarrow \mathbf{1}$ در نظر گرفت :



حال سهم مرتبه γ^2 در گذار $\mathbf{1} \rightarrow \mathbf{1}$ را بررسی می‌کنیم، که تنها جمله باقی مانده بصورت زیر است

$$[\langle \mathbf{1} | \hat{V} | \mathbf{1} \rangle_0]_{\gamma^2} = \frac{\gamma^2}{16} \sum_{p,p'} [\prod_l \delta(M_l^1 - M_l^{p'}) \delta(M_l^1 - M_l^{p'})] \quad (16)$$

برای هر پلاکت چهار رابط M_l^p و $M_l^{p'}$ از طریق M_l^1 به شرطی که در جمع، $p = p' = 1$ باشد، حذف می‌شود. بنابراین داریم

$$\langle \mathbf{1} | \hat{V} | \mathbf{1} \rangle_0 = \frac{\gamma^2}{16} + O(\gamma^3) \quad (17)$$

نقش اساسی خلاء، همانطور که در گذار $\mathbf{1} \rightarrow \mathbf{1}$ دیده شد، به دلیل ماهیت انتگرال‌های فوریه است و برای همه گذارهای دیگر و حتی آنهایی که در بلوک‌های غیر از خلاء هستند، صادق است.

قواعد بسط جریان در جفت‌شدگی قوى

در اینجا مجموعه قوانینی آورده می‌شود که به موجب آنها در هر مرتبه از γ می‌توان عناصر ماتریس انتقال را بین دو حالت داده شده نوشت. این قوانین براساس راه‌های ممکن گذار حالت‌های اولیه و نهایی به خلاء، از طریق ضربی عددی و ترکیبی وابسته به هر گذار، تعیین می‌شوند. هر گذار را می‌توان با مجموعه‌ای از نمودارها نشان داد که در آنها یک ترکیب مناسب از جریان-حلقه و جریان-رابط مجازی شرایط مورد نیاز را برای گذار به خلاء ایجاد می‌کند. برای دو حالت داده شده $\langle \mathbf{k} |$ و $\langle \mathbf{k}' |$ در یک بلوک، به ترتیب اعداد

نتیجه گیری

فرمول بندی ماتریس انتقال مدل شبکه (1) U در پایه فوریه میدان مورد مطالعه قرار گرفت. نشان داده شد که عنصر غیرصفر بین دو حالت، به عنوان یک نتیجه از نسخه کوانتیدهای بقای جریان موضعی در شبکه، وقتی ممکن است که این دو حالت در جریان حلقه‌ای که در داخل پلاکت‌ها قرار می‌گیرد، تفاوت داشته باشند. این ویژگی‌ها، ما را برای ایجاد بسط ثابت جفت‌شدگی قوی و نمایش نموداری آن برای عناصر ماتریس انتقال در پایه فوریه، مجهز کردند. دیده شد که در واقع هر جمله بسط می‌تواند نتیجه‌ی وقوع جریان‌های مجازی حلقه و رابط که حالت‌های اولیه و نهایی را به حالت خلاء تبدیل می‌کنند تعبیر شود. روشنی که نمودارها نتیجه‌ی فاینمن در بسط اختلالی جفت‌شدگی کوچک است. حالت‌های پیمانه‌ناوردا که در پایه‌ی میدان با توابع موج بر حسب حلقه‌ی ویلسون داده می‌شوند در پایه فوریه به دست آمدند. نشان داده شد که در پایه فوریه این حالت‌های پیمانه‌ناوردا حالات جریانی هستند که از جریان در حلقه بسته ساخته می‌شوند. در حد ثابت جفت‌شدگی قوی طیف به طور موثر با حالت‌های پیمانه‌ناوردا از بلوک خلا ساخته می‌شود. با کمک نتایج به دست آمده برای عناصر ماتریس انتقال، طیف نظریه در حد ثابت جفت‌شدگی قوی مورد بررسی قرار گرفت.

مرجع‌ها

- [1] H.J. Rothe, "Lattice Gauge Theory", Heidelberg University , Third Edition(2005).
- [2] K. Huang, "Quarks, leptons and Gauge Fields", World Scientific Press, 2nd edition (1992).
- [3] J. Smit, "Introduction to Quantum Fields on a Lattice", Cambridge University, 2nd edition (2003).
- [4] A. Wipf, "Statistical Approach to Quantum Field Theory: An Introduction", Springer Press.
- [5] N. Vadood and A.H. Fatollahi, "On U(1) Gauge Theory Transfer-Matrix in Fourier Basis", Commun. Theor. Phys. **71** (2019) 921-926, 1807.03150 [hep-lat].
- [6] A. Kianfar and A.H. Fatollahi, "Diagrammatic strong coupling expansion of a U(1) lattice model in the Fourier basis", Phys. Review D. **104** (2021), 094506 [hep-lat].
- [7] N. Vadood and A.H. Fatollahi, "Lost in Normalization", Europhys. Lett. **131** (2020) 41003, 1803.05497 [hep-lat].
- [8] M.E. Peskin and D.V. Schroeder, "An Introduction to Quantum Field Theory", CRC Press (2018), ch. 4.
- [9] K. Huang, "Statistical Mechanics", Wiley 2nd edition (1987).

$$= 1 + \frac{1}{4}(N_P + N_L)\gamma^2 + O(\gamma^4) \quad (21)$$

بعلاوه، ویژه بردار حالت پایه را پیدا می‌کنیم

$$\vec{v}_0 = (1, 0, 0, \dots, 0) + \sum_{|q|=1} \bar{V}_{0,q} \vec{q} \quad (22)$$

$$= (1, \underbrace{\frac{\gamma}{4}, \frac{\gamma}{4}, \dots, \frac{\gamma}{4}}_{2N_P}) + O(\gamma^2) \quad (23)$$

نکته حائز اهمیت این است که، با کمک بسط عناصر ماتریس انتقال در پایه فوریه می‌توانیم بسط انرژی و ویژه بردار حالت پایه را بدست آوریم. در حد ثابت جفت‌شدگی بسیار بزرگ $\gamma = 0$ ، حالت پایه بسادگی همان خلاء است. برای حالت غیرصفر اما کوچک γ ، حالت پایه با ترکیبی از حالت خلاء و $2N_P$ حالت با $1 \pm$ واحد جریان حلقه در همه پلاکت‌ها نشان داده می‌شود. همچنین ویژه مقدار بعدی در بلوک خلاء، که از مرتبه γ^4 است، قابل محاسبه است

$$v_1 = 0 \times \gamma^2 + O(\gamma^4) \quad (24)$$

بنابراین اولین حالت برانگیخته از این مرتبه است. البته همانطور که خواهیم دید، بلوک‌هایی با ویژه‌مقداری از مرتبه γ وجود دارند، که در واقع مقادیر ویژه نزدیک‌تری هستند، ولی چون در بلوک خلاء نیستند و ویژه‌توابع نظریشان پیمانه‌ناوردا نیستند به عنوان انرژی نمی‌توان در نظر گرفت.

بستگی انرژی به اندازه‌ی شبکه

همه عناصر مستقل از N_P خواهند بود اگر $\langle \mathbf{0} | \widehat{V} | \mathbf{0} \rangle$ از ماتریس انتقال بیرون آورده شود. در این بخش، با استفاده از رابطه $v_i = \exp(-\alpha \epsilon_i)$ ، مقدار بلوک خلاء را، $v_0 = \exp[-\alpha(\epsilon_0 - \epsilon_1)] v_1 / v_0$ بررسی کنیم. اگر نسبت ذکر شده مستقل از N_P باشد، بنابراین اختلاف انرژی مربوطه هم، مستقل از N_P خواهد بود. به عنوان مثال برای ویژه

مقدادر محاسبه شده در بلوک \mathbf{k}_{11} و \mathbf{k}_{12} داریم:

$$\frac{v_0^{\mathbf{k}_1}}{v_0} = \frac{\gamma}{2} \left(1 - \frac{\gamma^2}{8} + \frac{7\gamma^4}{192} + \dots \right) \quad (25)$$

$$\frac{v_0^{\mathbf{k}_2}}{v_0} = \frac{\gamma^2}{8} \left(1 - \frac{\gamma^2}{6} + \frac{23\gamma^4}{384} + \dots \right) \quad (26)$$

$$\frac{v_0^{\mathbf{k}_{11'}}}{v_0} = \frac{\gamma^2}{4} \left(1 - \frac{\gamma^2}{4} + \frac{7\gamma^4}{96} + \dots \right) \quad (27)$$

$$\frac{v_0^{\mathbf{k}_3}}{v_0} = \frac{\gamma^3}{48} \left(1 - \frac{3\gamma^2}{16} + \frac{51\gamma^4}{640} + \dots \right) \quad (28)$$

که همانطور که مشخص است نسبت ویژه مقدادر، به ویژه مقدار بلوک خلاء، مستقل از N_P می‌باشد.

ترمو دینامیک یک گاز بوزونی نسبیتی تحت دوران

سیری پلنگ دره، ابراهیم؛ صدوqi، ندا^۱

^۱دانشگاه فیزیک، دانشگاه صنعتی شریف، خیابان آزادی، تهران

چکیده

اخیراً مطالعه اثرات دوران در سیستم‌های فرمیونی و بوزونی از اهمیت به سزاپی برخوردار شده است. در این پژوهش سیستمی از گاز بوزونی نسبیتی را تحت چرخش یکنواخت در نظر گرفته و رفتار کمیت‌های ترمودینامیکی آن را در دمای متناهی بررسی می‌کنیم. در ابتدا متریک دوران و سپس روش زمان ویژه فوک-شوینگر تعمیم‌یافته را برای یافتن انتشارگر سیستم بوزونی معرفی می‌کنیم. در ادامه جواب‌های معادله کالاین-گوردون را در دستگاه مختصات استوانه‌ای تعیین و با بهره‌گیری از روش باد شده انتشارگر سیستم بوزونی در حال چرخش را محاسبه می‌کنیم. سپس با استفاده از صورت بنایی زمان موهومی در دمای متناهی، پتانسیل ترمودینامیکی سیستم را تا مرتبه یک اختلال تعیین و با استفاده از آن کمیت‌های ترمودینامیکی نظری فشار، چگالی آسترودپی، چگالی تکانه زاویه‌ای را محاسبه می‌کنیم. نتایج حاکی از آن است که لختی دورانی در سطح اختلال منفی می‌شود. این نتیجه با نتایج اخیر برای لختی دورانی پاسماشی گلنوئی مشابه است. **واژه‌های کلیدی:** نظریه میدان دمای متناهی، گاز بوزونی، پتانسیل ترمودینامیکی، روش زمان ویژه فوک-شوینگر تعمیم‌یافته، لختی دورانی

Thermodynamics of a relativistic Bose gas under rotation

Siri Palang-Darreh, Ebrahim¹; Sadooghi, Neda¹

¹ Department of Physics, Sharif University of Technology, Tehran

Abstract

The investigation of the impact of rotation on fermionic and bosonic systems has recently become a significant area of research. In this work, we focus on a system of relativistic Bose gas subjected to uniform rotation and analyze the behavior of its thermodynamic properties at finite temperature. First, we introduce the rotation metric and then the generalized Fock-Schwinger proper-time method to find the propagator of the bosonic system. Additionally, we derive the solutions of the Klein-Gordon equation in cylindrical coordinates and calculate the propagator of a rotating bosonic system using the above-mentioned method. Using the imaginary time formalism at finite temperature, we compute the thermodynamic potential of the system up to the first order of perturbative expansion. Utilizing this potential, we calculate thermodynamic quantities, such as pressure, entropy density, and angular momentum density. The obtained results show that the moment of inertia is negative at the perturbative level. This is similar to the recent findings for the moment of inertia of a gluonic plasma.

Keywords: Finite temperature field theory, Bose gas, thermodynamics potential, generalized Fock-Schwinger proper-time method, moment of inertia

اثرات دوران در سیستم‌های فرمیونی، فوکوشیما و همکارانش متوجه شدند که در حضور میدان مغناطیسی، دوران می‌تواند اثری نظری پتانسیل شیمیابی در نابودی چگاله کاپرال ایفا کند [۴]. در ادامه، به منظور مشاهده اثری مشابه در گاز بوزونی نسبیتی به

مقدمه

در نظریه میدان دمای متناهی، پتانسیل ترمودینامیکی یک سیستم بوزونی در غیاب و حضور پتانسیل شیمیابی [۱و۲] و همچنین تنها در حضور دوران [۳] مورد مطالعه قرار گرفته است. در مطالعه

محاسبه کمیت های ترمودینامیکی این سیستم و بررسی اثر دوران بر روی آن می پردازیم.

متريک چرخان

برای شروع، یک سیستم بوزونی را در نظر می گیریم که دارای چرخش یکنواخت با سرعت زاویه ای ثابت Ω حول محور ثابت z است. این فرض یکنواخت بودن سرعت زاویه ای، در تمام مناطق فضایی چرخش را صلب می کند. در نتیجه، در چارچوب چرخان نسبیتی، فیزیک به راحتی با استفاده از یک تansور متريک مشابه فضا زمان خمیده توصیف می شود، این تansور متريک عبارت است از

$$g_{\mu\nu} = \begin{pmatrix} 1 - (x^2 + y^2)\Omega^2 & y\Omega & -x\Omega & 0 \\ y\Omega & -1 & 0 & 0 \\ -x\Omega & 0 & -1 & 0 \\ 0 & 0 & 0 & -1 \end{pmatrix} \quad (1)$$

$$\det(g_{\mu\nu}) = -1$$

روش زمان ویژه فوک-شوینگر تعمیم یافته

فرض کنید به دنبال جواب تابع گرین برای معادله زیر هستیم

$$H(\partial_x, x)D(x, x') = \delta^4(x - x') \quad (2)$$

این در واقع ایده مکانیک کوانتمی است، که $H(\partial_x, x)$ بیانگر عملگری است که تحول زمانی سیستم را توصیف می کند. عملگر تحول زمانی به روش مشابه مکانیک کوانتمی به صورت زیر تعریف می شود [۵]

$$i\partial_t \mathcal{U}(x, x'; \tau) = H(\partial_x, x) \mathcal{U}(x, x'; \tau) \quad (3)$$

و شرایط مرزی برای این عملگر توسط معادله (۴) داده می شود

$$\lim_{\tau \rightarrow 0} \mathcal{U}(x, x'; \tau) = \delta^4(x - x') \quad (4)$$

$$\lim_{\tau \rightarrow \infty} \mathcal{U}(x, x'; \tau) = 0$$

تعريف زیر را برای انتشار گر (تابع گرین) در نظر می گیریم

$$D(x, x') = -i \int_{-\infty}^0 d\tau \mathcal{U}(x, x'; \tau) \quad (5)$$

با استفاده از مشابهت های موجود در مکانیک کوانتمی می توان نوشت

$$\mathcal{U}(x, x'; \tau) = \delta^4(x - x') e^{-ik\tau} \quad (6)$$

همچنین با در نظر گرفتن شرط کامل بودن و راست هنجار بودن پایه ها

$$\sum_{\kappa} \phi_{\kappa}(x) \phi_{\kappa}^{\dagger}(x') = \delta^4(x - x') \quad (7)$$

انتشار گر (۷) به صورت زیر داده می شود [۶]

$$D(x, x') = -i \int_{-\infty}^0 d\tau \sum_{\kappa} e^{-ik\tau} \phi_{\kappa}(x) \phi_{\kappa}^{\dagger}(x') \quad (8)$$

انتشار گر آزاد یک ذره بوزونی در محیط چرخان

ذره آزاد بوزونی از طریق لاگرانژی

$$\mathcal{L}_0 = g^{\mu\nu} \partial_{\mu} \phi^{\dagger} \partial_{\nu} \phi - m^2 \phi^{\dagger} \phi \quad (9)$$

توصیف می شود و بخش برهم کنشی لاگرانژی عبارت است از

$$\mathcal{L}_{\text{int}} = -\lambda (\phi^{\dagger} \phi)^2 \quad (10)$$

که در آن λ ثابت جفت شدگی است. در این بخش به دنبال محاسبه انتشار گر سیستم بوزونی با استفاده از معادله (۸) هستیم. برای این مقصد بایستی معادله کلاین-گوردون را در دستگاه مختصات استوانه ای و با در نظر گرفتن متريک (۱) حل کرد [۶]. معادله کلاین-گوردون در دستگاه استوانه ای (t, r, φ, z) عبارت است از

$$\left[(i\partial_t + \Omega L_z)^2 + \left(\partial_r^2 + \frac{1}{r} \partial_r + \frac{1}{r^2} \partial_{\varphi}^2 \right) + \partial_z^2 - m^2 \right] \phi(x) = 0 \quad (11)$$

که در آن L_z بیانگر تکانه زاویه ای بوده و مطابق تعریف برابر است با

$$L_z = -i(x\partial_y - y\partial_x) = -i\partial_{\varphi} \quad (12)$$

پاسخ زیر را پیشنهاد می کیم مشروط بر اینکه امکان جداسازی متغیرها بر اساس معادله (۱۱) وجود دارد.

$$\phi(x) = e^{-iEt + ik_z z + i\ell\varphi} \mathcal{R}(r) \quad (13)$$

که در آن $\mathcal{R}(r)$ بخش وابسته به شاعر و ℓ عدد کوانتمی منتبه به تکانه زاویه ای است. می توان با در نظر گرفتن جداسازی متغیرها و پاسخ (۱۳) و جایگذاری آن در معادله (۱۱)، معادله حاکم بر بخش شعاعی را به صورت زیر درآورد

$$\left[\partial_r^2 + \frac{1}{r} \partial_r - \frac{\ell^2}{r^2} + k_{\perp}^2 \right] \mathcal{R}(r) = 0 \quad (14)$$

که در آن

$$k_{\perp}^2 = \tilde{E}^2 - k_z^2 - m^2 \quad (15)$$

و

(۲۴)

$$V_{\text{eff}} = \frac{T}{2} \sum_{n=-\infty}^{\infty} \sum_{\ell=-\ell}^{\ell} \int \frac{dp_z dp_{\perp} p_{\perp}}{(2\pi)^2} \left[\ln \left(\beta^2 \left(\omega_n^2 + (\omega \pm \ell\Omega)^2 \right) \right) \right]$$

که در آن $\omega_n = 2\pi n T$ ، $\beta = 1/T$ ، $\omega = (\beta(\omega \pm \ell\Omega))_{\pm}$ می توان حاصل جمع روی فرکанс های ماتسوبارا را به صورت زیر تعیین کرد

$$\sum_{n=-\infty}^{\infty} \ln \left((2n\pi)^2 + \xi_{\pm}^2 \right) = \xi_{\pm} + 2 \ln \left(1 - e^{-\xi_{\pm}} \right) \quad (25)$$

بنابراین بخش وابسته به دمای پتانسیل ترمودینامیکی برابر است با

$$V_{\text{eff}}^{(0)T} = 2T \left(\int \frac{dp_z dp_{\perp} p_{\perp}}{(2\pi)^2} \ln \left(1 - e^{-\beta\omega} \right) + \sum_{\ell=1}^{\infty} \int \frac{dp_z dp_{\perp} p_{\perp}}{(2\pi)^2} \left[\ln \left(1 - e^{-\beta(\omega \pm \ell\Omega)} \right) \right] \right) \quad (26)$$

با در نظر گرفتن تقریب بسط دمای بالا $\beta m \ll 1$ ، $\beta\ell\Omega \ll 1$ و در نتیجه $\ell\Omega \leq m$ ، جمع روی ℓ دارای حد بالایی به بصورت خواهد شد [۶]. بنابراین در چنین تقریبی حاصل (۲۶) برابر است با

$$V_{\text{eff}}^{(0)T} = -\frac{\pi^2}{45} T^4 + \frac{m^2 T^2}{12} - \frac{m^3 T}{6\pi} + \frac{m^4}{16\pi^2} \left(\ln \left(\frac{4\pi T}{m} \right) - \gamma_E + \frac{3}{4} \right) + \sum_{\ell=1}^{\frac{m}{\Omega}} \left[-\frac{\left(3m^2 - (\ell\Omega)^2 \right)}{12\pi^2} + \frac{mT}{2\pi} - \frac{T^2}{3} \right] (\ell\Omega)^2 \quad (27)$$

در تقریب مرتبه یک اختلال پتانسیل ترمودینامیکی عبارت است از

$$V_{\text{eff}}^{(1)} = \lambda \left(T \sum_{n=-\infty}^{+\infty} \sum_{\ell=-\ell}^{\ell} \int \frac{dp_z dp_{\perp} p_{\perp}}{(2\pi)^2} D_{\ell}^{(0)}(\omega_n, \omega) \right)^2 \quad (28)$$

در بسط دمای بالا رابطه (۲۸) برابر است با

$$V_{\text{eff}}^{(1)T} = \pi^2 \alpha \left\{ \frac{T^2}{12} - \frac{mT}{4\pi} + \frac{m^2}{8\pi^2} \left(\ln \left(\frac{4\pi T}{m} \right) - \gamma_E + \frac{1}{2} \right) + \sum_{\ell=1}^{\frac{m}{\Omega}} \left[\frac{T^2}{6} - \frac{\left(2m^2 - (\ell\Omega)^2 \right)}{4\pi m} T - \frac{(\ell\Omega)^2}{4\pi^2} + \frac{m^2}{4\pi^2} \left(\ln \left(\frac{4\pi T}{m} \right) - \gamma_E + \frac{1}{2} \right) \right] \right\}^2 \quad (29)$$

$$\tilde{E}^2 = (E + \ell\Omega)^2 \quad (16)$$

با روابط فوق داده می شوند. با تغییر متغیری به صورت $\rho = rk_{\perp}$ معادله دیفرانسیل (۱۴) پاسخی به صورت توابع بسل $J_{\ell}(\rho) = J_{\ell}(k_{\perp}r)$ خواهد داشت. بنابراین پاسخ های معادله کالین-گوردون در دستگاه مختصات استوانه ای برابر است با

$$\phi_{\ell}(x) = e^{-iEt + ik_z z + i\ell\varphi} J_{\ell}(k_{\perp}r) \quad (17)$$

با استفاده از معادله (۸) و در نظر گرفتن

$$\kappa = \tilde{E}^2 - k_{\perp}^2 - k_z^2 - m^2 \quad (18)$$

با انتگرال گیری روی τ و جایگذاری معادله (۱۷) و همچنین تغییر متغیر $E \rightarrow E - \ell\Omega$ در رابطه بالا داریم [۵]

$$D(x, x') = -i \sum_{\kappa=-\infty}^0 \int d\tau e^{-i(\tilde{E}^2 - k_{\perp}^2 - k_z^2 - m^2 + i\epsilon)\tau} \phi_{\kappa}(x) \phi_{\kappa}^{\dagger}(x') \quad (18)$$

با انتگرال گیری روی τ و جایگذاری معادله (۱۷) و همچنین تغییر

در رابطه بالا داریم

$$D(x, x') = \sum_{\ell=-\infty}^{\infty} \int \frac{dEdk_z dk_{\perp} k_{\perp}}{(2\pi)^3} J_{\ell}(k_{\perp}r) J_{\ell}(k_{\perp}r') \times \frac{e^{-iE(t-t') + i\ell\Omega(t-t') + ik_z(z-z') + i\ell(\varphi-\varphi')}}{E^2 - k_{\perp}^2 - k_z^2 - m^2 + i\epsilon} \quad (19)$$

حال به دنبال این هستیم تا این انتشار گر را در فضای تکانه بدست

آوریم. با استفاده از تبدیل فوریه

$$D_{\ell, \ell'}(p, p') = \int d^4x d^4x' D(x, x') \phi_{\ell}(x) \phi_{\ell'}^{\dagger}(x') \quad (20)$$

و انتگرال گیری بر روی x و x' حاصل معادله (۲۰) برابر است با

$$D_{\ell, \ell'}(p, p') = (2\pi)^3 \hat{\delta}_{\ell, \ell'}^3(p_0, p_z, p_{\perp}; p'_0, p'_z, p'_{\perp}) \quad (21)$$

$\times D_{\ell}^{(0)}(p_0, \omega)$

که در آن $\omega^2 = p_{\perp}^2 + p_z^2 + m^2$

$$D_{\ell}^{(0)}(p_0, \omega) = \frac{1}{(p_0 + \ell\Omega)^2 - \omega^2 + i\epsilon} \quad (22)$$

است. همچنین

$$\hat{\delta}_{\ell, \ell'}^3 \equiv \frac{1}{p_{\perp}} \delta(p_0 - p'_0) \delta(p_z - p'_z) \delta(p_{\perp} - p'_{\perp}) \delta_{\ell, \ell'} \quad (23)$$

پتانسیل ترمودینامیکی در تقریب مرتبه صفر و یک اختلال

در نظریه میدان دمای متناهی، پتانسیل ترمودینامیکی در تقریب مرتبه صفر عبارت است از

وابستگی چگالی تکانه زاویه‌ای به سرعت زاویه‌ای Ω ، معادله (۳۳) برای چگالی لختی دورانی بدست آمد. رفتار لختی دورانی در شکل (۱) بر حسب α به ازای x ‌های مختلف نمایش داده شده است. با توجه به وابستگی x به دما به ازای یک جرم ثابت نقاط که در آن $\alpha \equiv \lambda / \pi^2$. همانگونه که در مقدمه اشاره شد، از معادلات (۲۶) و (۲۹) می‌توان دریافت سرعت زاویه‌ای (Ω) اثربخشی پتانسیل شیمیایی (μ) برای چنین سیستمی خواهد داشت [۲].

کمیت‌های ترمودینامیکی و چگالی لختی دورانی

در این بخش با بهره‌گیری از پتانسیل ترمودینامیکی بدست آمده و با استفاده از رابطه ترمودینامیکی

$$dP = sdT + jd\Omega \quad (۳۰)$$

می‌توان کمیت‌های ترمودینامیکی فشار (P)، چگالی آنتروپی (s) و چگالی تکانه زاویه‌ای (j) را به صورت زیر بدست آورد

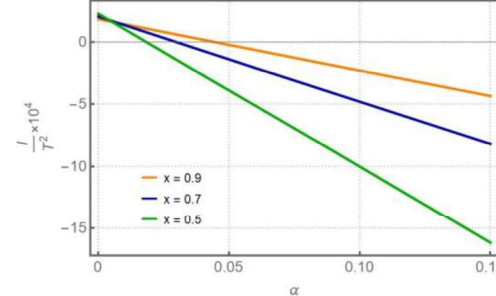
$$P = -V_{\text{eff}}^T = -(V_{\text{eff}}^{(0)T} + V_{\text{eff}}^{(1)T}) \quad (۳۱)$$

همانطور که از معادله (۲۸) برمی‌آید

$$s = \left(\frac{\partial P}{\partial T} \right)_\Omega, \quad j = \left(\frac{\partial P}{\partial \Omega} \right)_T \quad (۳۲)$$

همچنین چگالی لختی دورانی را می‌توان به صورت پاسخ خطی j تعریف کرد، یعنی [۸]

$$I \equiv \frac{j(T, \Omega)}{\Omega} \quad (۳۳)$$



شکل ۱- تغییرات لختی دورانی بر حسب ثابت جفت‌شدگی

در شکل (۱) تغییرات چگالی لختی دورانی بر حسب ثابت جفت‌شدگی α برای سه مقدار $x = m\beta$ مختلف نمایش داده شده است. مقادیر مشخصی از α که در آن $I = 0$ است، را نقاط آبرچرخی (supervortical) α_s می‌نامیم:

نتیجه‌گیری

پس از تعیین پتانسیل ترمودینامیکی تا مرتبه یک اختلال کمیت‌های ترمودینامیکی گاز بوزونی نسبیتی از جمله فشار و چگالی تکانه زاویه‌ای در حضور چرخش معرفی شدند. با فرض خطی بودن

وابستگی دمایی شعاع پروتونی و نوترونی ایزوتوپ های $^{120,126,130}\text{Sn}$ در مدل میدان میانگین نسبیتی با پارامترهای گاف زوجیت محاسبه شده در BCS و مدل اصلاح شده گینزبرگ-لاندائو

یغمائی ، بامداد^۱؛ مهمان دوست خواجه داد، علی اکبر^۱؛ دهقانی ، وحید^۱

^۱ گروه فیزیک ، دانشکده علوم ، دانشگاه سیستان و بلوچستان ، زاهدان

چکیده

پارامتر گاف زوجیت با استفاده از مدل اصلاح شده گینزبرگ-لاندائو (MGL) محاسبه شده و در مدل میدان میانگین نسبیتی به کار رفته است. نتایج به دست آمده از این روش در بررسی تغییرات دمایی شعاع های پروتونی و نوترونی ایزوتوپ های ^{120}Sn ، ^{126}Sn و ^{130}Sn ، با نتایج کاربرد پارامتر گاف زوجیت BCS در مدل میدان میانگین نسبیتی مقایسه شده است. کاربرد پارامتر گاف زوجیت MGL در مدل میدان میانگین نسبیتی به نتایج بهتر می انجامد.

واژه های کلیدی: مدل میدان میانگین نسبیتی، پارامتر گاف زوجیت، تغییرات دمایی شعاع

Temperature dependence of proton and neutron radii of $^{120,126,130}\text{Sn}$ isotopes in the relativistic mean field model with the pairing gap parameters calculated by BCS and modified Ginsberg-Landau model

Yaghmaei, Bamdad¹; Mehmandoost-Khajeh-Dad, Ali Akbar¹; Dehghani, Vahid¹

¹ Physics Department, Faculty of Science, University of Sistan and Baluchestan, Zahedan,

Abstract

The pairing gap parameter has been calculated using the modified Ginzburg-Landau model (MGL) and employed in the relativistic mean field model. The results obtained from this method have been compared with the results of the application of the BCS pairing gap parameter in the relativistic mean field model in examining the temperature changes of the proton and neutron radii of ^{120}Sn , ^{126}Sn , and ^{130}Sn isotopes. Using the MGL gap parameter in the relativistic mean field model leads to better results.

Keywords: Relativistic Mean Field Model, Pairing gap parameter, Temperature changes of radius

PACS 21.

به مجموعه NLSH [۲] هستند. اثر زوجیت که در مطالعه هسته ها

مقدمه

اهمیت فراوانی دارد به روش های گوناگونی در این مدل وارد شده است. ما پارامتر گاف زوجیت را با استفاده از مدل اصلاح شده گینزبرگ-لاندائو [۳] محاسبه کرده و در مدل میدان میانگین نسبیتی به کار برده ایم. سپس یافته هایمان را از این روش با روشی که در آن پارامتر گاف زوجیت BCS در مدل میدان میانگین نسبیتی به کار رفته مقایسه کرده ایم. بخشی از کار انجام شده بررسی تغییرات دمایی

مدل میدان میانگین نسبیتی [۱] (RMF) مدلی برای بررسی هسته ها است که اثرات نسبیتی را از همان ابتدا در محاسبات وارد می کند و می تواند با تعداد کمی پارامتر و کاربردی آسان تر نسبت به برخی از مدل های غیر نسبیتی توصیف مناسبی از ویژگی های هسته ها در تمام جدول تناوبی ارائه کند. این مدل با مجموعه پارامترهای متفاوتی به کار می رود. پارامترهای استفاده شده در این تحقیق متعلق

معادلات کلاین-گوردن منجر می شود که شکل کلی رابطه (۳) را دارند،

$$\left[-\partial_r^2 - \frac{2}{r} \partial_r + m_\chi^2 \right] \chi(r) = S_\chi \quad (3)$$

در رابطه بالا (r) χ میدان A یا میدان های مزونی σ , ω و ρ را نشان می دهد. ثابت های جفت شدگی و چگالی مربوط به هر میدان در چشم S_χ جای دارند. با در نظر گرفتن شرایطی که گفته شد به کار بردن معادله اویلر-لاگرانژ برای نوکلئون ها به معادله دیراک منجر می شود که می توان آن را به صورت دستگاه معادلات جفت شده مرتبه اول زیر نوشت،

$$\left(\frac{\partial}{\partial r} + \frac{k_i + 1}{r} \right) f_i + (M^* - V + \epsilon_i) g_i = 0 \quad (4)$$

$$\left(\frac{\partial}{\partial r} - \frac{k_i - 1}{r} \right) g_i + (M^* + V - \epsilon_i) f_i = 0 \quad (5)$$

در روابط (۴) و (۵)

$$M^* = M + g_\sigma \sigma \quad (6)$$

$$V = g_\omega \omega + g_\rho \tau_3 \rho + e \frac{1 - \tau_3}{2} A \quad (7)$$

که M^* جرم موثر و V پتانسیل برداری است. در اینجا τ_3 مولفه سوم ایزوسپین را نشان می دهد که برای پروتون -1 و برای نوترون +1 است. همچنین در دو رابطه (۴) و (۵) f_i و g_i بخش فضایی اسپینور چهار مولفه ای دیراک را مشخص می کنند که به صورت زیر نوشته می شود،

$$\Psi_i = \begin{pmatrix} f_i(r) \phi_{ijm} \\ ig_i(r) \bar{\phi}_{\bar{j}\bar{l}m} \end{pmatrix}, \quad (8)$$

در این مدل چگالی های اسکالر، باریونی، ایزوبردار و بار وجود دارند که همه آنها برای حل کامل خودسازگار معادلات لازم هستند و باید محاسبه شوند اما از آنجا که در اینجا هدف شرح چگونگی حل معادلات مدل نیست تنها رابطه چگالی باریونی که به این تحقیق ارتباط مستقیم دارد در رابطه (۹) آورده می شود

$$\rho_v = (4\pi)^{-1} \sum_i (2j_i + 1) n_i (|f_i|^2 + |g_i|^2) \quad (9)$$

در رابطه بالا j_i و n_i به ترتیب اسپین و عدد اشغال هر حالت را مشخص می کنند و با جمع بندی روی تعداد هر نوکلئون چگالی آن نوکلئون به دست می آید. اثر زوجیت به وسیله پارامتر گاف زوجیت که در محاسبه اعداد اشغال وجود دارد وارد می شود. از چگالی

شعاع های پرتو نوی و نوترونی برای ایزوتوپ های برخی هسته های کروی از جمله ایزوتوپ های زوج-زوج $^{110-130}\text{Sn}$ بوده است. در اینجا نتایج بررسی تغییرات دمایی این شعاع ها برای ایزوتوپ های ^{120}Sn , ^{126}Sn و ^{130}Sn آورده شده است.

مدل

مدل میدان میانگین نسبیتی یک مدل تبادل مزونی [۴] است که در آن فوتون و مزون های σ , ω و ρ عهده دار برهم کنش ها هستند. این مدل و محاسبات آن [۵] در بسیاری از مقالات آمده و در اینجا تنها به اندازه های که برای آشنایی و درک این تحقیق لازم بوده به آن پرداخته شده است. لاگرانژی در این مدل به صورت زیر نوشته می شود [۱]،

$$\mathcal{L} = \bar{\Psi} \left(i \gamma_\mu \partial^\mu - M \right) \Psi + \frac{1}{2} \left(\partial_\mu \sigma \partial^\mu \sigma - m_\sigma^2 \sigma^2 \right) - \frac{1}{4} \Omega_{\mu\nu} \Omega^{\mu\nu} + \frac{1}{2} m_\omega^2 \omega_\mu \omega^\mu - \frac{1}{4} \vec{R}_{\mu\nu} \vec{R}^{\mu\nu} + \frac{1}{2} m_\rho^2 \vec{\rho}_\mu \vec{\rho}^\mu - \frac{1}{4} F_{\mu\nu} F^{\mu\nu} - \frac{1}{3} g_2 \sigma^3 - \frac{1}{4} g_3 \sigma^4 - g_\sigma \bar{\Psi} \sigma \Psi - g_\omega \bar{\Psi} \gamma_\mu \omega^\mu \Psi - g_\rho \bar{\Psi} \gamma_\mu \vec{\tau} \vec{\rho}^\mu \Psi - e \bar{\Psi} \gamma_\mu A^\mu \Psi \quad (1)$$

در رابطه (۱) m_σ , m_ω و m_ρ جرم های مزون ها را نشان می دهند و M جرم نوکلئون است. جفت شدگی مزون ها و فوتون با نوکلئون ها با g_σ , g_ω , g_ρ و e داده می شود. جمله های شامل σ^3 و σ^4 برای توصیف بهتر اثرات سطحی و تراکم ناپذیری به لاگرانژی اضافه شده اند و g_2 و g_3 خود جفت شدگی های میدان σ هستند. تانسور های میدان های مزونی و فوتون را در حالت کلی می توان به صورت زیر نوشت،

$$\Upsilon^{\mu\nu} = \partial^\mu \Upsilon^\nu - \partial^\nu \Upsilon^\mu \quad (2)$$

برای هسته های بررسی شده در این تحقیق تعداد پروتون ها و نوترون ها ثابت فرض می شوند در نتیجه تنها مولفه سوم ایزوبردار میدان مزونی $\bar{\rho}$ باقی می ماند. به علاوه این هسته ها زوج-زوج و دارای تقارن کروی هستند. برای چنین هسته هایی تحت تبدیل واگونی زمان، ناوردایی برقرار است و جریان ها نیز وجود ندارند. بنابراین همه مولفه های فضایی میدان های مزونی صفر می شوند. با این شرایط کاربرد معادله اویلر-لاگرانژ برای مزون ها و فوتون به

به کار برده ایم [۷]. در این روش Δ_{MGL} با استفاده از رابطه زیر به دست می آید [۳]،

$$\langle|\Psi|\rangle_{MGL} = \frac{\pi^2 T_c \int_0^\infty d\eta \eta^{\frac{1}{2}} e^{-\left(\pi\sqrt{\frac{b}{t\delta}}\eta + \frac{\pi(1-t)}{2\sqrt{t\delta b}}\right)^2}}{\sqrt{\frac{8\pi}{b}} t^{\frac{1}{2}} \left(1 \pm \operatorname{erf}\left(\left|t^{-\frac{1}{2}} \Delta t\right|\right)\right)} \quad (15)$$

در رابطه بالا $\langle|\Psi|\rangle_{MGL}$ میانگین پارامتر نظم و T_c دمای بحرانی به دست آمده از BCS است. erf تابع خطرا نشان می دهد. بقیه اجزای رابطه (۱۵) در (۱۶) و (۱۷) آورده شده اند.

$$t = \frac{T}{T_c}, \bar{\delta} = \frac{\delta}{kT_c}, \bar{b} = 0.526, \bar{\Delta t} = \frac{1}{2} \pi (t-1) (\bar{\delta} \bar{b})^{-\frac{1}{2}} \quad (16)$$

$$\eta^{\frac{1}{2}} = \frac{|\Psi|}{T_c \pi} \quad (17)$$

از آنجا که پارامتر گاف زوجیت پارامتر نظمی است که میزان زوجیت سیستم را مشخص می کند و تفاوت میان فازهای زوج شده و زوج نشده را نشان می دهد، از رابطه (۱۵) برای محاسبه مقدار میانگین آن در هر دمایی استفاده کردہ ایم (در اینجا $\langle|\Psi|\rangle_{MGL}$) و Δ_{MGL} یکی هستند) سپس همه جا Δ_{MGL} را به جای Δ_{BCS} به کار برده ایم و پس از حل خودسازگار معادلات RMF کمیت های مورد نظر از جمله شعاعها را محاسبه نموده ایم.

نتایج

پیش از بیان نتایج اشاره به این نکته ضروریست که عدد اتمی قلع عدد جادویی $Z=50$ است و بنابراین تنها دمای بحرانی نوترونی اهمیت دارد که آن را با T_c نشان داده ایم به علاوه برای پایان محاسبات خودسازگار در هر دمایی باید شعاعها، انرژی ها، پارامتر گاف و پتانسیل شیمیایی تا چهار رقم اعشار و چگالی ها تا شش رقم اعشار نسبت به محاسبات دور قبل یکسان باشند. شکل ۱ نمودار تغییرات شعاعهای نوترونی و پروتونی را با دما، در مدل RMF نشان می دهد. نمودارها برای پارامتر گاف زوجیت BCS و MGL آورده شده اند. شکل ها نشان می دهند که وقتی Δ_{BCS} در RMF استفاده می شود، شعاع نوترونی در دمای های بسیار پایین با افزایش دما تغییر چندانی نمی کند اما از حدود $T \sim 0.25 \text{ MeV}$ با افزایش دما شعاع نوترونی به سرعت کاهش می یابد. این روند کاهشی تا دمای بحرانی

محاسبه شده در رابطه (۹) برای محاسبه شعاعهای پروتونی و نوترونی با رابطه زیر استفاده می شود،

$$r_{\text{nucleon}}^2(T) = \frac{1}{N_{\text{nucleon}}} \int d^3r \rho_{\text{nucleon}}(r, T) r^2 \quad (10)$$

در رابطه (۱۰) $\rho_{\text{nucleon}}(r, T)$ چگالی محاسبه شده در رابطه (۹) در مکان r و دمای T برای پروتونها یا نوترونها است و N_{nucleon} برای پروتونها عدد اتمی و برای نوترونها عدد نوترونی است. از روابط (۹) و (۱۰) و توضیحات داده شده مشخص است که پارامتر گاف زوجیت بر چگونگی تغییر شعاع با دما تاثیر دارد. از این رو در این تحقیق کابرد دو پارامتر گاف زوجیت متفاوت در محاسبه شعاع در دمای های مختلف بررسی شده است.

پارامتر گاف زوجیت

در مدل BCS پارامتر گاف از معادله زیر که به معادله گاف [۶] مشهور است به دست می آید،

$$\Delta_{BCS} \sum_i \frac{(2j_i + 1)}{2E_i} \tanh\left(\frac{1}{2} \beta E_i\right) = \frac{2}{G} \Delta_{BCS} \quad (11)$$

در این معادله Δ_{BCS} پارامتر گاف زوجیت BCS است. G قدرت زوجیت نامیده می شود و به گونه ای تنظیم می شود که پارامتر گاف تجربی را که از تفاوت جرم هسته های زوج - فرد مجاور در دمای صفر به دست می آید باز تولید کند. β عکس دمای ترمودینامیکی است و E_i از رابطه زیر به دست می آید،

$$E_i = \sqrt{(\varepsilon_i - \lambda)^2 + \Delta_{BCS}^2} \quad (12)$$

اعداد اشغال به صورت زیر محاسبه می شوند،

$$n_i = \frac{1}{2} \left[1 - \frac{\varepsilon_i - \lambda}{E_i} \tanh\left(\frac{1}{2} \beta E_i\right) \right] \quad (13)$$

در روابط (۱۲) و (۱۳) λ پتانسیل شیمیایی نامیده می شود و از شرط

$$\sum_i (2j_i + 1) n_i = N_{\text{nucleon}} \quad (14)$$

به دست می آید. بسیاری از نویسندها Δ_{BCS} را در محاسبات میدان میانگین استفاده کرده اند. ما برای نخستین بار با استفاده از میانگین پارامتر نظم در مدل اصلاح شده گینتربرگ - لانداؤ، پارامتر گاف زوجیت میانگین به دست آمده از آن (Δ_{MGL}) را در مدل

فیزیکی مناسبی به نظر نمی رسد در حالی که با کاربرد Δ_{MGL} در مدل RMF نمودارهای تغییرات هر دو شعاع با دما هموار هستند. مقایسه بیشتر نمودارهای دو روش نشان می دهد که شعاع های نوترونی به دست آمده با Δ_{MGL} تا قبل از دمای بحرانی کوچک تر هستند کمی بالاتر از دمای بحرانی، این شعاع ها بزرگ تر هستند و از حدود $T \sim 1\text{MeV}$ شعاع های نوترونی به دست آمده از دو روش تقریباً مقداری یکسانی دارند. در مورد شعاع های پروتونی مشاهده می شود که تا قبل از دمای بحرانی شعاع های به دست آمده با Δ_{MGL} بزرگ تر هستند و بالاتر از دمای بحرانی شعاع های پروتونی دو روش Δ_{MGL} برابر هستند. همچنین دیده می شود که هر چه عدد نوترونی در $N=82$ نزدیک تر می شود، شعاع های پروتونی و نوترونی به دست آمده از دو روش در دماهای پایین تر از دمای بحرانی هم به یکدیگر نزدیک می شوند طوری که در ^{130}Sn با $N=80$ شعاع های پروتونی دو روش در تمام دماها تقریباً یکسان هستند.

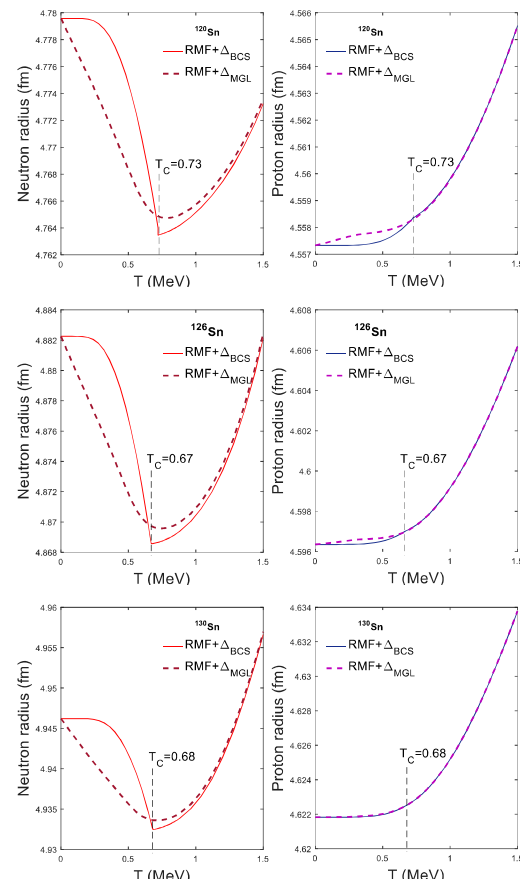
نتیجه گیری

در این تحقیق پارامترهای گاف زوجیت BCS و MGL در مدل RMF استفاده شده اند. تغییرات دمایی شعاع های پروتونی و نوترونی که از دو روش، برای ایزوتوب های ^{126}Sn , ^{120}Sn و ^{130}Sn به دست آمده اند در دماهایی کمتر از دمای بحرانی نوترونی مدل BCS آمده اند در دماهایی کمتر از دمای بحرانی نوترونی مدل MGL متفاوت و در دماهایی بیش از آن یکسان هستند. به علاوه نتایج به دست آمده با پارامتر گاف MGL از نظر فیزیکی واقعی تر به نظر می رسند.

مرجع ها

- [۱] P. Ring; *Prog. Part. Nucl. Phys.* **37** (1996) 193.
- [۲] M. Sharma, M. Nagarajan, P. Ring, *Phys. Lett. B*, **312** (1993) 377.
- [۳] P. Mohammadi, V. Dehghani, A. Mehmoodost-Khajeh-Dad, *Phys. Rev. C*, **90** (2014) 054304.
- [۴] Y. Gambhir, P. Ring, A. Thimet, *Ann. Phys. (NY)*, **198** (1990) 132.
- [۵] P.-G. Reinhard, *Rep. Prog. Phys.*, **52** (1989) 439.
- [۶] P. Ring, P. Schuck, *The nuclear many-body problem*, Springer Science & Business Media 2004.
- [۷] B. Yaghmaei, A. A. Mehmoodost-Khajeh-Dad, V. Dehghani, *Nuclear Physics A*, **1017** (2022) 122353.

ادامه می یابد بالاتر از دمای بحرانی با افزایش دما شعاع نوترونی نیز افزایش پیدا می کند. برای شعاع پروتونی می توان دید که همانند شعاع نوترونی، وقتی دما بسیار پایین است با افزایش دما تغییر زیادی در شعاع پروتونی ایجاد نمی شود اما تقریباً از دما $T \sim 0.5\text{MeV}$ به Δ_{MGL} با افزایش دما شعاع پروتونی افزایش می یابد. با کاربرد Δ_{MGL} در مدل RMF مشاهده می کنیم که شعاع نوترونی از همان ابتدا و تا قبل از دمای بحرانی با افزایش دما کاهش می یابد اما با زیاد شدن دما در دماهای بالاتر از دمای بحرانی، شعاع نوترونی هم بیشتر می شود. شعاع پروتونی از همان ابتدا با بالا رفتن دما افزایش می یابد.



شکل ۱: نمودار تغییرات شعاع های پروتونی (سمت راست) و نوترونی (سمت چپ) با دما برای ^{120}Sn (ردیف بالا)، ^{126}Sn (ردیف وسط) و ^{130}Sn (ردیف پایین). خط پر نتایج را برای کاربرد Δ_{BCS} در RMF و خط چین نتایج را برای کاربرد Δ_{MGL} در RMF نشان می دهد.

می توان دید وقتی Δ_{BCS} در RMF استفاده می شود در نمودار شعاع نوترونی و در دمای بحرانی یک نقطه زاویه دار وجود دارد که نتیجه

قیدهای LHC بر روی ماده تاریک برداری

روزبه‌ی، روزبه^۱; ایازی، سید یاسر^۱; حسینی، مجتبی^۱; پاکطینت مهدی آبادی، سعید^۲

^۱دانشکده فیزیک دانشگاه سمنان

^۲دانشکده فیزیک دانشگاه یزد

چکیده

در این مقاله ما با بهره‌گیری از یک تقارن آبلی ($U(1)$) جدید در بخش تاریک، جستجوهای LHC را برای یافتن تعمیمی از مدل استاندارد (SM) بررسی می‌کنیم. در این مدل یک اسکالر تاریک که بخش تاریک و مدل استاندارد را به هم مرتبط می‌کند تحت این تقارن پیمانه‌ای بردار می‌شود. همچنین یک کاندیدای ماده تاریک برداری که می‌تواند چگالی باقی‌مانده مشاهده شده و محدودیت‌های جستجوی مستقیم ماده تاریک را برآورده کند در مدل معرفی می‌شود. آزمایش‌های ATLAS و CMS یک جستجوی گسترده برای کاندیدای ماده تاریک انجام داده‌اند، که می‌توان به مواردی مانند جستجوهای تشخیصی برای واسطه‌ای که ذرات ماده تاریک را به ذرات ماده تاریک جفت می‌کند، میزان تکانه عرضی گمراه تولید شده در کنار کوارک‌های سپک و سنتگین، فوتون‌ها، بوزون‌های Z و H و همچنین جستجوهای مربوط به ماده‌ای نامرئی واپاشی بوزون هیگر اشاره کرد. در این مقاله، ما با استفاده از انتازه‌گیری‌هایی که LHC و آزمایش‌های دیگر انجام داده‌اند یک تحلیل گسترده برای مقید کردن مدل ماده تاریک پیشنهادی ارائه می‌دهیم.

واژه‌های کلیدی: ماده تاریک، حد بالای برخورد دهنده هادرونی بزرگ، چگالی باقی‌مانده

The LHC Constraints on Vector Dark Matter Model

Rouzbehi, Rouzbeh¹; Ayazi, Seyed Yaser¹; Hosseini, Mojtaba¹; Paktnat Mehdiabadi, Saeid²

¹ Department of Physics, Semnan University, Semnan

² Department of Physics, Yazd University, Yazd

Abstract

We revisit LHC searches for an extension of the Standard Model (SM) by exploiting an additional Abelian $U(1)$ gauge symmetry and a complex scalar Higgs portal. As the scalar is charged under this gauge factor, a vector dark matter candidate can satisfy the observed relic abundance and limits from direct dark matter searches. The ATLAS and CMS experiments have developed a broad search program for DM candidates, including resonance searches for the mediator which would couple DM to the SM, searches with large missing transverse momentum produced in association with light and heavy quarks, photons, Z and H bosons, and searches where the Higgs boson provides a portal to DM, leading to invisible Higgs boson decays. In this paper, we perform an extensive analysis to constrain the model by using the LHC measurement.

Keywords: Dark Matter, LHC upper bounds, Relic density

PACS No. 13

است. اما در این مقاله ما موردی را بررسی می‌کنیم که یک تقارن Z_2 مانع از ترکیب فوتون بخش تاریک و بوزون Z شده و یک کاندیدای ماده تاریک پایدار را فراهم می‌کند. راههای جستجو برای ماده تاریک شامل سه قسمت کشف مستقیم، کشف غیرمستقیم و آزمایش‌های برخورد دهنده ذرات می‌باشد که هر کدام از این آزمایش‌ها می‌تواند فضای پارامتر مدل‌های در نظر گرفته شده برای توصیف ماده تاریک را مقید کند. در این مقاله ما بخش تاریک با تقارن $U(1)$ را در نظر می‌گیریم که یک کاندیدای ماده تاریک برداری و یک اسکالر تاریک برای ما فراهم می‌کند که بخش تاریک و بخش مدل استاندارد به واسطه برهمنکش دو اسکالرها (اسکالر تاریک و هیگر) به هم مرتبط می‌شوند. با مقید کردن فضای پارامتر مدل با آزمایش‌های مختلف مشخص می‌شود که برای

مقدمه

وجود ماده تاریک با توجه به طیف متنوعی از آزمایش‌های اخترفیزیکی و کیهانی پیشنهاد شده است. اگرچه این مشاهدات غیرمستقیم شان می‌دهند که در حدود 27% از چگالی انرژی کل جهان را ذرات ماده تاریک تشکیل می‌دهند، اما ماهیت دقیق ذرات ماده تاریک هنوز ناشناخته است [1]. این اندازه‌گیری‌ها، انگیزه را برای پیشنهاد و بررسی مدل‌های ورای مدل استاندارد ذرات بینایی (BSM) افزایش داده است. یک دسته از این مدل‌ها، تعمیم یک گروه $U(1)$ بخش تاریک به گروه تقارنی مدل استاندارد است. نتیجه این گروه تقارنی جدید ممکن است به اختلاط یک فوتون تاریک و بوزون Z مدل استاندارد بینجامد که در [2] بررسی شده

شرط کافی برای مینیموم موضعی به شکل زیر است:

$$(5)$$

$$\begin{aligned}\nabla V_{tree} &= 0 \\ \det \mathcal{H} &> 0 \\ \mathcal{H}_{11} &> 0\end{aligned}$$

که در آن \mathcal{H} ماتریس جرمی (Hessian Matrix) می باشد. با جای گذاری $h_2 \rightarrow h_2 + v_2$ و $h_1 \rightarrow h_1 + v_1$ میدان های h_1 و h_2 با یکدیگر مخلوط شده و می توان آنها را بر حسب ویژه حالات جرمی H_1 و H_2 بازنویسی کرد:

$$\begin{pmatrix} h_1 \\ h_2 \end{pmatrix} = \begin{pmatrix} \cos\alpha & \sin\alpha \\ -\sin\alpha & \cos\alpha \end{pmatrix} \begin{pmatrix} H_1 \\ H_2 \end{pmatrix} \quad (6)$$

که در آن α زاویه اختلاط بین اسکالر تاریک (H_2) و هیگز مدل استاندارد (H_1) می باشد. بعد از شکست تقارن روابط زیر را داریم:

$$\begin{aligned}v_2 &= \frac{M_V}{g_v}, \quad \sin\alpha = \frac{v_1}{\sqrt{v_1^2 + v_2^2}} \\ \lambda_H &= \frac{\cos^2 \alpha M_{H_1}^2 + \sin^2 \alpha M_{H_2}^2}{2v_1^2} \\ \lambda_S &= \frac{\sin^2 \alpha M_{H_1}^2 + \cos^2 \alpha M_{H_2}^2}{2v_2^2} \\ \lambda_{SH} &= \frac{(M_{H_2}^2 - M_{H_1}^2)\sin\alpha \cos\alpha}{v_1 v_2}\end{aligned} \quad (7)$$

که در آن $M_{H_1} = 125 \text{ GeV}$ و $v_1 = 246 \text{ GeV}$ پارامتر آزاد مدل می باشد که بر حسب g_v نوشته خواهد شد. همچنین از روابط (7) معلوم می شود که مدل مانهای سه پارامتر مستقل (M_V جرم ماده تاریک)، (g_v جفت شدگی بخش تاریک) و (M_{H_2} جرم اسکالر تاریک) دارد و در ادامه فضای پارامتر مدل با توجه به این کمیت ها بررسی خواهد شد.

قیدهای پدیده شناسی

• چگالی باقیمانده

تحول چگالی ذرات ماده تاریک با زمان توسط معادله بولتزمن بررسی می شود:

$$\dot{n} + 3Hn_X = -\langle \sigma_{ann} v_{rel} \rangle [n_X^2 - (n_X^{eq})^2] \quad (8)$$

چگالی باقیمانده برای مدل ماده تاریک برداری به صورت عددی و با استفاده از نرم افزار micrOMEGAs محاسبه شده است [3]. همچنین با توجه به آزمایش پلانک میزان چگالی باقیمانده ماده تاریک برابر است با [4]:

$$\Omega_{DM} = 0.120 \pm 0.001 \quad (9)$$

شکل 1 نشان دهنده فضای پارامتری مجاز که در تناسب با مقدار عددی گزارش شده گروه پلانک است.

باذه بسیار گسترده ای از جرم ماده تاریک (از 20 GeV تا 2 TeV) مدل در نظر گرفته شده عملی خواهد بود. در ادامه مدل مورد بررسی معرفی خواهد شد. سپس قیدهای پدیده شناسی تحمیل شده و فضای پارامتر مدل بررسی شده و در ادامه نتیجه گیری اورده شده است.

مدل

در مدل ما، دو میدان جدید به مدل استاندارد تعیین داده شده است. یک میدان اسکالر S که تحت تقارن پیمانه ای $U(1)$ تاریک با واحد دارد و یک میدان برداری V_μ تحت عنوان فوتون تاریک. یک تقارن Z_2 گستته در مدل وجود دارد که V_μ و S تحت آن فرد $(V_\mu, S \rightarrow -V_\mu, S^*)$ و تمام میدان های دیگر تحت آن زوج هستند. وجود این تقارن هر گونه اختلاطی بین V_μ و بوزون پیمانه ای B_μ را منع می کند. بنابراین V_μ پایدار است و می تواند به عنوان کاندیدای ماده تاریک در نظر گرفته شود. لاگرانژی مدل به صورت زیر است:

$$\mathcal{L} = \mathcal{L}_{SM} + (D'_\mu S)^* (D'^\mu S) - V(H, S) - \frac{1}{4} V_{\mu\nu} V^{\mu\nu} \quad (1)$$

که لاگرانژی مدل استاندارد بدون پتانسیل هیگز می باشد و

$$\begin{aligned}D'_\mu S &= (\partial_\mu + ig_v V_\mu) S \\ V_{\mu\nu} &= \partial_\mu V_\nu - \partial_\nu V_\mu\end{aligned}$$

$$\begin{aligned}V(H, S) &= -\mu_H^2 H^\dagger H - \mu_S^2 S^* S + \lambda_H (H^\dagger H)^2 + \\ &\quad \lambda_S (S^* S)^2 + \lambda_{SH} (S^* S)(H^\dagger H)\end{aligned} \quad (2)$$

برهمکنش $(S^* S)(H^\dagger H)$ تنها ارتباط بین بخش تاریک و مدل استاندارد می باشد. هر دو میدان هیگز و اسکالر تاریک مقادیر چشم داشتی خلا (VEV) بدست خواهند آورد که به ترتیب تقارن الکتروضعیف و تقارن $U(1)$ تاریک را خواهند شکست. در پیمانه یکانی، مؤلفه موهومنی S می تواند به عنوان مؤلفه طولی (بوزون گلدرسون) V_μ جذب شده و با شکست خود بخودی تقارن $U(1)$ تاریک جرم خود را بدست آورد. در پیمانه یکانی داریم:

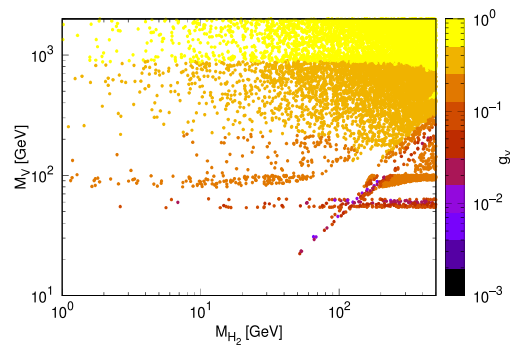
$$S = \frac{1}{\sqrt{2}} (h_2), \quad H = \frac{1}{\sqrt{2}} \begin{pmatrix} 0 \\ h_1 \end{pmatrix} \quad (3)$$

پتانسیل مدل در سطح درختی (tree level) در پیمانه یکانی به شکل زیر نوشته می شود:

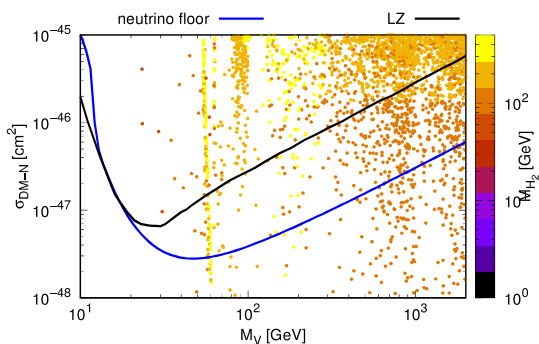
$$\begin{aligned}V_{tree}(h_1, h_2) &= -\frac{1}{2} \mu_H^2 h_1^2 - \frac{1}{2} \mu_S^2 h_S^2 + \frac{1}{4} \lambda_H h_1^4 \\ &\quad + \frac{1}{4} \lambda_S h_S^4 + \frac{1}{4} \lambda_{SH} h_1^2 h_S^2\end{aligned} \quad (4)$$

• آزمایش های کشف مستقیم ماده تاریک

در مدل ما در سطح درختی (tree-level) ماده تاریک برداری H_2 می تواند به صورت کشسان با یک هسته از طریق مبادله H_1 یا H_2 برهم کش کند [6]. در حال حاضر XENON1T [7] بالاترین قید ممکن را بر روی سطح مقطع پراکندگی مستقل از اسپین ویمپ-هسته گذاشته است. ما از این آزمایش برای بررسی فضای پارامتر مدل استفاده می کنیم. همچنین از آخرین قیدهای آزمایش های LZ که به تازگی منتشر شده است برای مقید کردن مدل استفاده شده است که در شکل 3 قابل مشاهده است [8].



شکل 1 : فضای پارامتری مجاز در توافق با چگالی ماده تاریک.



شکل 3 : فضای پارامتری مجاز با در نظر گرفتن چگالی ماده تاریک و آزمایش های آشکارسازی مستقیم.

• جستجوها و قیدهای LHC بر ماده تاریک

با وجود جستجوهای فراوانی که LHC برای فیزیکی ورای مدل استاندارد انجام داده است اما تاکنون، هیچ نشانه ای از فیزیک جدید یا انحراف قابل توجهی از پیشنبینی های مدل استاندارد گزارش نشده است. این فقدان شواهد تجربی برای فیزیک جدید را می توان برای مقید کردن هر گونه تعمیمی برای مدل استاندارد، به عنوان مثال، مدل ماده تاریک پیشنهادی، استفاده کرد. برای تولید نتایج این بخش، بازدهی رویدادها و عدم قطعیت های گزارش شده توسط آزمایش های LHC برای یافتن حد بالایی بر روی سطح مقطع تولید رویدادها و رای مدل استاندارد با درصد اطمینان 95% و 65% استفاده می شود. این فرآیند آماری با استفاده از ابزار نرم افزار تحلیلی ROOT [9] انجام می شود. به این صورت که حداقل رویدادها ممکن ورای مدل استاندارد از مقایسه تعداد رویدادها مورد انتظار مدل استاندارد و رویدادها دیده شده به دست می آید. بدیهی است که عدم قطعیت های آماری و سیستماتیک پیشنبینی های مدل استاندارد و ماده تاریک می تواند نقش مهمی در این روش ایفا کند. برای یافتن حدود بالا، 20% عدم قطعیت کل در سیگنال های ماده تاریک فرض می شود. حداقل رویدادها و رای مدل استاندارد بر حجم داده متناظر تقسیم می شود تا حد بالایی

• واپاشی نامرئی هیگر

در مدل ما فرض بر این است که هیگر مدل استاندارد اگر از نظر سینماتیکی مجاز باشد به جفت ذرات ماده تاریک و چفت ذرات اسکالار تاریک واپاشی می کند. نسبت انشعابی برای چنین واپاشی به صورت زیر می باشد:

$$Br(H_1 \rightarrow Invisible) = \frac{\Gamma(H_1 \rightarrow 2VDM) + \Gamma(H_1 \rightarrow 2H_2)}{\Gamma(h)_{SM} + \Gamma(H_1 \rightarrow 2VDM) + \Gamma(H_1 \rightarrow 2H_2)} \quad (14)$$

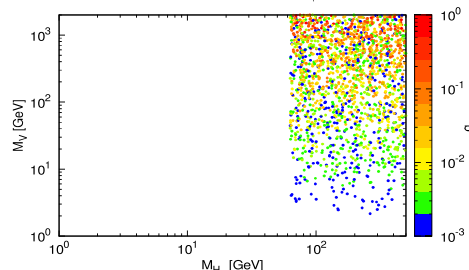
که

$$\Gamma(H_1 \rightarrow 2VDM) = \left(\frac{g_v^4 v^2 \sin^2 \alpha}{8\pi M_{H_1}} \right) \sqrt{1 - \frac{4M_V^2}{M_{H_1}^2}} \quad (15)$$

$$\Gamma(H_1 \rightarrow 2H_2) = \left(\frac{a^2}{8\pi M_{H_1}} \right) \sqrt{1 - \frac{4M_{H_2}^2}{M_{H_1}^2}} \quad (16)$$

$$\Gamma(h)_{SM} = 4.15 MeV \quad (17)$$

که رابطه (17) بیانگر نسبت انشعابی اندازه گیری شده برای هیگر مدل استاندارد است. ما حد بالای آزمایش CMS [5] را برای مدهای واپاشی نامرئی هیگر در نظر خواهیم گرفت. در شکل 2 فضای پارامتری مجاز برای واپاشی نامرئی هیگر با توجه به حد بالای آزمایش CMS رسم شده است.



شکل 2 : فضای پارامتری مجاز برای واپاشی نامرئی هیگر.

نتیجه گیری

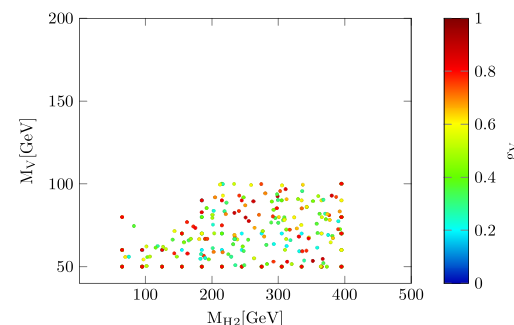
در این مقاله ما مدلی را در چارچوب ورای مدل استاندارد برای ماده تاریک پیشنهاد کردیم. مدل ما شامل یک تعیین $(1)U$ در بخش تاریک به مدل استاندارد ذرات است که یک کاندیدای ماده تاریک برداری و یک اسکالر تکتایی را پیشنهاد می‌کند. در این مدل هیچ گونه اختلاطی بین ماده تاریک برداری و ذرات مدل استاندارد وجود ندارد و تنها ارتباط بین بخش تاریک و بخش مدل استاندارد از طریق مبادله اسکالر تکتایی صورت می‌گیرد. ما همچنین قیدهای مختلفی مانند چگالی باقیمانده ماده تاریک، مدهای واپاشی نامرئی همگز، آزمایش کشف مستقیم ماده تاریک و همچنین تولید ماده تاریک در LHC را در فضای پارامتر مدل در نظر گرفتیم. نتیجه نهایی پس از اعمال همه این قید ها منجر به کار گذاشتن بخشی از فضای پارامتری مدل شد که نتایج حد بالای CMS را برای تولید بوزون Z در چارچوب رویدادهای ورای مدل استاندارد نقض می‌کنند. نتایج بیشتری برای تولید ذرات دیگر از جمله کوارک t ، بوزون W انجام شده است که با توجه یه محدودیت های مقاله ارایه نشده است و در مقاله اصلی گنجانده می شود.

مرجع ها

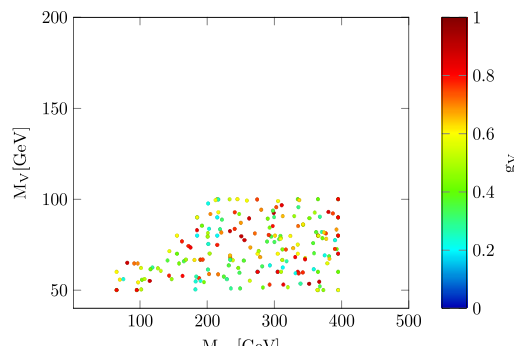
- [1] G. Bertone and D. Hooper, History of dark matter, Rev. Mod. Phys. 90(2018)045002.
- [2] K.-Y. Zhang and W.-Z. Feng, Explaining W boson mass anomaly and dark matter with a $U(1)$ dark sector, 2204.08067.
- [3] G. B'elanger, F. Boudjema, A. Pukhov and A. Semenov, micrOMEGAs4.1: two dark matter candidates, Comput. Phys. Commun. 192 (2015) 322.
- [4] Planck collaboration, Planck 2018 results. VI. Cosmological parameters, Astron. Astrophys. 641 (2020) A6 [1807.06209].
- [5] CMS collaboration, Search for invisible decays of the Higgs boson produced via vector boson fusion in proton-proton collisions at $\sqrt{s} = 13$ TeV, 2201.11585.
- [6] S. Yaser Ayazi and A. Mohamadnejad, Conformal vector dark matter and strongly first-order electroweak phase transition, JHEP 03 (2019) 181.
- [7] XENON collaboration, Dark Matter Search Results from a One Ton-Year Exposure of XENON1T, Phys. Rev. Lett. 121 (2018) 111302.
- [8] Aalbers, J. and D. S. Akerib and, et al. First dark matter search results from the LUXZEPIN (LZ) experiment. Physical Review Letters,
- [9] R. Brun and F. Rademakers, ROOT: An object-oriented data analysis framework, Nucl Instrum. Meth. A 389 (1997). oriented data analysis framework, Nucl 81.
- [10] Alwall, J., Frederix, R., et al. computation of tree-level and next to leading order differential cross sections, and their matching to parton shower simulations. JHEP, 07:079, 2014.
- [11] Sirunyan, Albert M et al. Search for dark matter produced in association with a leptonically decaying Z boson in proton-proton collisions at $\sqrt{s}=13$ TeV. Eur. Phys. J. C, 81(1):13, 2021. [Erratum: Eur.Phys.J.C 81, 333 (2021)].

برای سطح مقطع مورد نظر پیدا شود. در این مرحله با بهره گیری از بسته نرمافزاری $MadGraphapv3.4.2$ [10] به شبیه‌سازی رویدادهای مورد نظر می‌پردازیم. برای هر نقطه نمودار، پارامترهای ورودی تنظیم می‌شوند و 10000 رویداد برای اندازه‌گیری سطح مقطع تولید ایجاد می‌شود. آزمایش‌های LHC چندین تحلیل را در مورد جستجوی تولید ماده تاریک با تولید بوزون Z گزارش کرده‌اند. در این مقاله تنها آخرین تحلیل‌ها در نظر گرفته شده است. آزمایش CMS از داده‌هایی با مشخصات در خشنده‌گی $137fb^{-1}$ و انرژی مرکز جرم

$\sqrt{s} = 13 TeV$ برای این جستجو استفاده کرده است [11]. نقاطی که در آن سطح مقطع‌های محاسبه شده به ازای پارامترهای آزاد مدل حد بالای سطح مقطع را نقض کرده‌اند به ازای درصد اطمینان 95% و 68% در شکل‌های 4 و 5 برای تولید بوزون Z گزارش شده است.



شکل 4 : پراکنده‌گی نقاط نقض کننده حد بالای CMS با 95% سطح اطمینان برای تولید بوزون Z در فضای پارامتری مدل ماده تاریک برداری.



شکل 5 : پراکنده‌گی نقاط نقض کننده حد بالای CMS با 68% سطح اطمینان برای تولید بوزون Z در فضای پارامتری مدل ماده تاریک برداری.

روش بازبینجارش جداسازی نقاط در نظریه میدان در فضای خمیده: کاربردی موفق از Wick rotation در اثر کازیمیر

نظری، بروزو

دانشکده فنی دانشگاه تهران ، خیابان کارگر شمالی، تهران

چکیده

یکی از تفاوت های بسیار مهم بازبینجارش در نظریه میدان های کوتنتومی در فضای تخت با مشابه آن در فضازمان خمیده ظهور واگرایی های جدیدی است که ناشی از هندسه ای مورد مطالعه است. در این نوع از واگرایی ها نشان داده شده است که جفت شدگی با نیروی گرانش اهمیت خاصی دارد. در این مقاله به بررسی یک نمونه از طریق اثر کازیمیر می پردازیم و ساختار صریح این نوع از واگرایی ها را گوشزد می کنیم. در این راه از **Wick rotation** برای محاسبه ای واگرایی ها استفاده زیادی خواهیم کرد.

کلیات و اثره ها : بازبینجارش، روش جداسازی نقاط، اثر کازیمیر، نیروی جاذبه

Point splitting method of regularization and quantum field theory in curved spacetime: An example of Wick rotation technique

Nazari, Borzoo

College of Engineering, University of Tehran, Tehran

Abstract

One of the main differences between the regularization of a quantum field in curved spacetime and its counterpart in flat spacetime is the appearance of new divergences due to the corresponding background geometry. For this type of divergences, it has been shown that the coupling between the quantum field to the gravity is of essential importance. Here, we analyze an explicit structure of phenomena through the Casimir effect Effect. To this end, we massively take advantage of the Wick rotation for calculating the divergent integrals.

Keywords: regularization, Point-splitting method, Casimir energy, gravity

چنین امیدی وجود نداشت و به قول ریچارد فاینمن "همگی نامید

مقدمه

شده بودیم تا اینکه آن مقاله ای سه صفحه ای بته همهی ما را نجات داد" [۱]. امروزه روش های مبتنی بر افزودن جملات اضافی به هامیلتونی و منظم سازی با استفاده از ابعاد ناصحیح در نظریه میدان مرسوم اند و در کتابهای درسی مورد استفاده قرار می گیرند.

چندین روش برای رهایی از واگرایی های ظاهر شده در هنگام محاسبه کمیت های فیزیکی در نظریه میدان های کوتنتومی وجود دارد که به کمک آنها می توان بدون از دست دادن اطلاعات فیزیکی، کمیت های متناهی را پیدا کرد. تا قبل از کار هانس بته

انرژی-تکانه اهمیت جیاتی دارد. تعمیم رابطه (۵) به فضازمان خمیده برای یک میدان اسکالر در ۴ بعد و به ازای لاغرانژی

$$\mathcal{L} = \frac{1}{2}\sqrt{-g}(g^{\mu\nu}\phi_{,\mu}\phi_{,\nu} - [m^2 + \xi R]\phi^2) \quad (2-6)$$

به صورت زیر خواهد بود:

$$\begin{aligned} \langle T_{\mu\nu} \rangle &= \lim_{x' \rightarrow x} \left[\frac{(1-2\xi)}{4} (G^{(1)}_{;\mu\nu} + G^{(1)}_{;\nu\mu}) + \left(\xi - \frac{1}{4}\right) g_{\mu\nu} G^{(1)}_{;\sigma}{}^{\sigma} \right. \\ &\quad \left. - \frac{\xi}{2} (G^{(1)}_{;\mu\nu} + G^{(1)}_{;\nu\mu}) + \frac{\xi}{8} g_{\mu\nu} (G^{(1)}_{;\sigma}{}^{\sigma} + G^{(1)}_{;\sigma'}{}^{\sigma'}) + \frac{\xi}{2} G_{\mu\nu} G^{(1)} \right. \\ &\quad \left. + \frac{3}{4} \xi^2 R g_{\mu\nu} G^{(1)} + \frac{3\xi - 1}{4} m^2 g_{\mu\nu} G^{(1)} \right]. \end{aligned} \quad (1-6)$$

برای شرح بیشتر به مرجع [۳] مراجعه شود. اکنون تانسور بالا را برای مساله اثیر کازیمیر شامل دو صفحه موزای رسانا بررسی می کنیم. برای توضیحات کافی در اثر کازیمیر در فضای تخت مراجعه کنید به [۴] و مراجع ذکر شده در آن. با محاسبه تابع موج از معادله کلاین گوردون مربوط و قرار دادن آن در رابطه اول (۵) و سپس استفاده از رابطه ای

$$G^{(1)}(x, x') = \langle [\phi(x), \phi(x')]_+ \rangle = 2 \operatorname{Im} G_F, \quad (V)$$

که در آن G_F تابع فاینمن است می توان نشان داد که [۵]

$$\langle T_{00} \rangle = \dots \quad (A)$$

$$\begin{aligned} &\frac{1}{6} \operatorname{Im} \int \frac{d\omega dk_{\perp}}{(2\pi)^3} [2(2\omega^2)U - g_{00}\{g^{00}\omega^2 U + g^{11}(k_{\perp}^2 U + \partial_z \partial_{z'} U)\} \\ &- (-2\omega^2 U - \lambda_0(\partial_z + \partial_{z'}))U] \\ &+ \frac{1}{4} g_{00}(-2g^{00}\omega^2 U - 2k_{\perp}^2 g^{11}U - \lambda(\partial_z + \partial_{z'}))U + g^{11}(\partial_z^2 + \partial_{z'}^2)U)] \\ &+ (\xi - \frac{1}{6}) \operatorname{Im} \int \frac{d\omega dk_{\perp}}{(2\pi)^3} [-2\omega^2 U + 2g_{00}\{g^{00}\omega^2 U + g^{11}(k_{\perp}^2 U \\ &+ \partial_z \partial_{z'} U)\} \\ &- (-2\omega^2 U - \lambda_0(\partial_z + \partial_{z'}))U] \\ &+ \frac{1}{4} g_{00}(-2g^{00}\omega^2 U - 2k_{\perp}^2 g^{11}U - \lambda(\partial_z + \partial_{z'}))U + g^{11}(\partial_z^2 + \partial_{z'}^2)U)]. \end{aligned}$$

در رابطه بالا U تبدیل فوریه ای تابع موج حاصل از حل معادله کلاین-گوردون در ناحیه درون صفحات و در حضور میدان گرانشی است و $g^{00} = 1 - 2\gamma_0 - 2\lambda_0 z$ و $g^{11} = \lambda_0 + \lambda_1$. انتگرال گیری هم بر روی مقادیر کوچک و $\lambda = \lambda_0 + \lambda_1$ اند که معرف فضازمان استاتیک گرانشی ای می باشند که دو صفحه رسانای کازیمیر در آن قرار داده شده اند. ضرایب γ_i و λ_i مقادیر کوچک و $k_{\perp} = \sqrt{k_x^2 + k_y^2}$ و فرکانس های ω مربوط به مدهای گسسته ای درون ناحیه میان صفحات انجام می گیرد. با جایگذاری U می توان بر روی $\langle T_{00} \rangle$ جمع زده و انرژی کل را یافت. برای حالت فضای تخت به رابطه زیر می رسیم:

با ورود ابعاد بالاتر به فیزیک نظری روشهای بهتری هم کشف شدند. روش جداسازی نقاط امروزه به نظر می رسد از بقیه روشها به صرفه تر و قابل اعتمادتر و البته زیباتر است [۲]. برای شروع می توان ایدهی آن را به طور ساده ای توضیح داد. فرض کنید بخواهیم مقدار انتظاری تانسور انرژی-تکانه

$$T_{\mu\nu} = \partial_{\mu}\phi\partial_{\nu}\phi \quad (1)$$

را بدست آوریم. پس از جایگزینی توابع پایه ای حاصل از یافتن

تابع موج به انتگرال های شبیه

$$\int \frac{dk}{k^2 - m^2} \quad (2)$$

می رسیم که واگرا می باشد. برای جراحی این واگرایی مرسوم است که آن را به کمک انتگرال مختلط و با اضافه کردن عامل $i\varepsilon$ به مخرج کسر محاسبه کرده و در انتهای محاسبه از حد $0 \rightarrow \varepsilon$ استفاده کنیم. می توان در ابتدای محاسبه کمیتی چون

$$\langle T_{xx} \rangle = \langle \partial_x\phi(\vec{r})\partial_x\phi(\vec{r}') \rangle \quad (3)$$

به ترتیب زیر عمل کرد و به جای آن از

$$\langle T_{xx} \rangle = \frac{1}{2} \lim_{x \rightarrow x'} \partial_x \partial_{x'} \{ \langle \phi(\vec{r})\phi(\vec{r}') \rangle + \langle \phi(\vec{r}')\phi(\vec{r}) \rangle \} \quad (4)$$

استفاده کرد و مساله را به محاسبه تابع هادامارد

$$G^1 = \langle [\phi(\vec{r}), \phi(\vec{r}')]_+ \rangle, \quad (5)$$

$$\langle T_{xx} \rangle = \frac{1}{2} \lim_{x \rightarrow x'} \partial_x \partial_{x'} G^1$$

و سپس مشتقگیری از آن کاهش داد. در واقع این رابطه همان انتشارگر مزون است به همراه ترتیب زمانی. می توان نشان داد که واگرایی ناشی از روش بالا در بیشتر موارد خوب شفاف تر از محاسبه ای مستقیم است.

تانسور انرژی-تکانه در فضای خمیده

مطالعه تانسور انرژی-تکانه در فضای خمیده در واقع تنها کاری است که از دست یک فیزیکدان بر می آید زیرا در فضازمان خمیده برخلاف فضازمان تخت، همه کمیت ها تابع نقطه و بنابراین محلی می باشند و تقارن سرتاسری به ندرت و تنها در برخی فضازمانها یافت می شود. از این رو انرژی و خود مفهوم ذره هم دچار نوعی ابهام در تعریف هستند و کمیت های هموردا مانند تانسور انرژی-تکانه بسیار غنیمت اند. از این رو محاسبه تانسور

مرتبه‌ی دوم هم ظاهر می‌شود که در دست بررسی است و در آینده‌ی نزدیک منتشر می‌شود.

در اینجا صرفاً به حد فضای تخت و برخی نتایج فضای خمیده اشاره می‌کنیم. مقدار بدست آمده برای انرژی به صورت زیر خواهد بود:

$$\langle T_{00} \rangle = \frac{E_0}{l} - \frac{1}{2\pi^2} \lim_{z \rightarrow z'} \frac{1}{(\Delta z)^4} + \frac{1}{2\pi^2} (\xi - \frac{1}{6}) A_1(\alpha) \quad (16)$$

که در آن

$$A_1(\alpha) = \frac{3}{8l^4} [\zeta(4, 1 - \frac{z}{l}) + \zeta(4, \frac{z}{l})], \quad (17)$$

و $\zeta(4, \frac{z}{l})$ تابع زتاًی ریمان تعمیم یافته است. جمله‌ی دوم در سمت راست (11) که واگرایی ایجاد می‌کند ناشی از روش جداسازی است و معمولاً در نتایج محاسبات تانسور انرژی-تکانه ظاهر می‌شود. جمله‌ی $A_1(\alpha)$ هم شامل دو واگرایی بر روی سطوح است زیرا صفحات کازیمیر را در $z = 0$ و $z = l$ قرار داده‌ایم. نکته‌ی مهم آنست که ξ که ضریب جفت‌شدگی با گرانش است در انرژی در فضای تخت ظاهر می‌شود. این موضوع عجیب نیست زیرا تانسور تکانه-انرژی اولیه در (6) هم به ازای متر گفته شده در (10) به صورت

$$T_{00} = (1 - 2\xi)\phi_{,0}\phi_{,0} + (2\xi - \frac{1}{2})\phi_{,\lambda}\phi_{,\lambda} - 2\xi\phi_{,00}\phi \quad (18)$$

است که در درون آن ضریب جفت‌شدگی وجود دارد. این به این دلیل است که باید تانسور انرژی-تکانه همورداً بماند. بدیهی است مقدار $\xi = 0$ منجر به تانسوری می‌شود که در کتب درسی دیده می‌شود.

محاسبات نشان می‌دهد که در حالت فضای خمیده و برای یک میدان گرانشی استاتیک جملاتی مانند

$$\langle T_{00} \rangle = \dots + \xi\lambda_1 A_1(\alpha) + \dots \quad (19)$$

ظاهر می‌شود. این نوع از جملات نشان می‌دهند که نوعی جفت‌شدگی میان گرانش و واگرایی‌ها وجود دارد. مهمتر از آن اینکه در حد میدان ضعیف که با ضریب کوچک λ_1 توصیف می‌شود جفت‌شدگی با گرانش از میان می‌رود.

$$\langle T_{00} \rangle = \quad (9)$$

$$\begin{aligned} & \frac{1}{6} Im \int \frac{d\omega dk_\perp}{(2\pi)^3} [2(2\omega^2)U - \{\omega^2 U - (k_\perp^2 U + \partial_z \partial_{z'} U)\} + 2\omega^2 U \\ & + \frac{1}{4} (-2\omega^2 U + 2k_\perp^2 U - (\partial_z^2 + \partial_{z'}^2)U)] \\ & + (\xi - \frac{1}{6}) Im \int \frac{d\omega dk_\perp}{(2\pi)^3} [-2\omega^2 U + 2\{\omega^2 U - (k_\perp^2 U + \partial_z \partial_{z'} U)\} + 2\omega^2 U \\ & + \frac{1}{4} (-2\omega^2 U + 2k_\perp^2 U - (\partial_z^2 + \partial_{z'}^2)U)] \end{aligned}$$

که در آن از متر

$$ds^2 = dt^2 - dx^2 - dy^2 - dz^2 \quad (10)$$

استفاده کردایم. در هنگام محاسبه‌ی رابطه‌ی (9) انتگرال‌هایی مانند نمونه زیر بوجود می‌آیند

$$Y = \int \frac{d\omega d^2 k_\perp}{(2\pi)^3} \frac{\text{acos}(\sqrt{b}l)}{\sqrt{b} \sin(\sqrt{b}l)}, \quad (11)$$

که در آن

$$a = -2B\omega^2, \quad b = (1 - 2A)\omega^2 - k_\perp^2 \quad (12)$$

و مقادیر

$$A = \gamma_0 - \gamma_1, \quad B = \lambda_0 - \lambda_1 \quad (13)$$

هم پارامترهای کوچکی هستند که میدان گرانشی را توصیف می‌کنند. برای یافتن مقدار انتگرال (11) از Wick rotation به صورت زیر است:

$$\omega \rightarrow i\kappa \cos\theta, \quad k_\perp \rightarrow \kappa \sin\theta \quad (14)$$

حاصل انتگرال (11) با در نظر گرفتن دوران (14) به صورت زیر قابل نوشتند:

$$\begin{aligned} Y &= \frac{-Bi}{3\pi^2} \int \frac{\kappa^3 \cosh(\kappa l)}{\sinh(\kappa l)} d\kappa \\ &= \frac{-Bi}{3\pi^2} \lim_{z \rightarrow z'} \int_0^\infty \frac{\kappa^3 \cosh(\kappa\beta)}{\sinh\kappa l} d\kappa \end{aligned} \quad (15)$$

که در آن $l = z - z' + \beta = z - z' + \beta$ و β فاصله‌ی بین صفحات کازیمیر است. محاسبه‌ی انتگرال آخر کار سختی نیست و با مراجعه به جداول قابل انجام است. نویسنده بالغ بر ۲۸ نوع از انتگرال‌های شبیه (11) را که در محاسبات اختلالی مربوط به (9) ظاهر می‌شوند محاسبه کرده است تا به نتیجه‌ی نهایی برای انرژی برسد. در Wick rotation ذکر این نکته ضروری است که نوعی

سازگاری نتیجه‌ی (۱۱) از این جهت که در حالت جفت‌شدگی همدیس $\frac{1}{6} = \xi$ واگرایی‌های روی سطوح از میان می‌روند آشکار است زیرا از فرمالیسم کلی نظریه میدان در حضور مرز می‌دانیم که باید چنین باشد $\boxed{\text{۷}}$.

نتیجه گیری

در این مقاله به موضوع ظهور انتگرال‌های پیچیده و واگرا در بازبینی‌جارش و منظم‌سازی تانسور انرژی-تکانه برای یک فضازمان خمیده پرداخته شد و از روش جداسازی نقاط نشان داده شد که اغلب واگرایی‌ها را می‌توان با روش Wick rotation درمان کرد. برخی از آنها را مثال زدیم و نوع واگرایی‌ها را هم مورد اشاره قرار دادیم.

سپاسگزاری

مولف از معاونت پژوهشی دانشگاه تهران به خاطر حمایت از این مقاله تشکر می‌کند.

مرجع‌ها

- [۱] H. A. Bethe, Phys. Rev. 72, 339 (1947).
- [۲] N.D. Birrell, P.C.W. Davies, Quntum fields in curved spacetime, Cambridge University press, 1994.
- [۳] S.M. Christensen, Phys. Rev. D 14, 2490 (1976); Phys. Rev. D 17,946 (1978).
- [۴] K. A. Milton, M. Bordag, Quantum field theory under the influence of external conditions (QFEXT09): Proceedings of the Ninth Conference, World Scientific Publishing Co. Pte. Ltd., (2011); Kimball A. Milton, Phys. Rev. D 68, 065020 (2003); M. Bordag, G.L. Klimchitskaya, U. Mohideen , V.M. Mostepanenko, Advances in the Casimir Effect, Oxford university press, 2009.
- [۵] Borzoo Nazari, Energy-momentum tensor for Casimir plates in a general static gravitational field, In preparation.
- [۶] D. Deutsch, P. Candelas, Phys. Rev. D 20, 3063 (1979).

محاسبه ثابت جفت شدگی $g_{\Lambda_b B_s \Lambda}$ با استفاده از نسبت انشعابی واپاشی $\bar{B}_s^0 \rightarrow p \bar{\Lambda} K^-$

رفعی بخش، شیما؛ مهربان، حسین

دانشکده فیزیک دانشگاه سمنان، رویبروی پارک سوکان، سمنان، کد پستی ۳۵۱۳۱-۱۹۱۱۱

چکیده

واپاشی سه جسمی باریونی $\bar{B}_s^0 \rightarrow p \bar{\Lambda} K^-$ را در چارچوب مدل قطب با استفاده از قطب باریونی Λ_b مطالعه مورد مطالعه قرار می‌دهیم. در مسیر انجام محاسبات، به ثابت جفت قوی $g_{\Lambda_b B_s \Lambda}$ نیاز داریم و بررسی می‌کنیم که آگر مقادیر این ثابت برابر با $1.57 = 10.49 \pm 1.57$ اتخاذ شود، نسبت انشعابی حاصل با نتیجه تجربی گزارش شده توسط $LHCb$ برابر با $(5.5 \pm 1.0) \times 10^{-6}$ مطابقت خواهد داشت. مقادیر این ثابت جفت شدگی باید با در نظر گرفتن اثرات شکست تقارن طعم $SU(3)$ با ثابت جفت شدگی $g_{\Lambda_b BN} = 12.67 \pm 3.76$ از یک مرتبه باشد که این تطابق در نتیجه حاصل این مقاله مشهود است.

واژه‌های کلیدی: واپاشی سه جسمی باریونی مزون B . مدل قطب، ثابت جفت شدگی

Coupling Constant $g_{\Lambda_b B_s \Lambda}$ using the Baryonic $\bar{B}_s^0 \rightarrow p \bar{\Lambda} K^-$ Decay

Rafibakhsh, Shima; Mehraban, Hossein

Physics Department, Semnan University, P.O.Box 35195-363, Semnan, Iran

Abstract

We study the three-body baryonic B decay $\bar{B}_s^0 \rightarrow p \bar{\Lambda} K^-$ within the framework of the pole model via the baryonic Λ_b pole. In our calculation, we require the strong coupling constant $g_{\Lambda_b B_s \Lambda}$ and investigate if $g_{\Lambda_b B_s \Lambda} = 10.49 \pm 1.57$ is adopted, the branching ratio agrees with the experimental result $(5.5 \pm 1.0) \times 10^{-6}$, reported by the $LHCb$ collaboration. The value of $g_{\Lambda_b B_s \Lambda}$ must be of the same order with $g_{\Lambda_b BN} = 12.67 \pm 3.76$, considering the $SU(3)$ flavor symmetry breaking effects, which is obvious in the obtained result.

Keywords: Three-Body Baryonic B Decay, Pole Model, Coupling Constant

PACS No. (13)

از آنجا که محاسبات دقیق QCD دشوار است، مدل‌های نظری متفاوتی برای محاسبه نرخ واپاشی مورد استفاده قرار گرفته شد که از آن جمله می‌توان به مدل قطب [۴، ۵]، مدل دی‌کوارک [۶] و قوانین جمع QCD [۷-۹] نام برد. در مدل قطب که ابتدا توسط دشپنده [۴] و جرفی [۵] به کار شد و سپس توسط چنگ و یانگ [۱۰، ۱۱] توسعه یافت، یک حالت هادرونی میانی با طعم b در نظر گرفته شده که سپس به هادرونهای حالت نهایی واپاشیده می‌شود. این مدل در محاسبه واپاشی‌هایی

مقدمه

از اوخر دهه ۱۹۸۰، زمانی که اولین مدهای واپاشی سه و چهار جسمی باریونی $p \bar{p} \pi^\pm$ و $p \bar{p} \pi^+ \pi^-$ توسط ARGUS [۱] مشاهده شد، مطالعات غنی و گسترشده ای در این زمینه با محاسبه نسبتی‌های انشعابی، عدم تقارن زاویه ای و عدم تقارن CP آغاز گردید [۲]. اگرچه اولین ادعای ARGUS خیلی زود توسط CLEO رد شد [۳]، اما این موضوع جرقه ای شد برای مشاهدات باریونی دیگر و سبب رونق مطالعات نظری واپاشی‌های باریونی مزون B در دهه‌های گذشته شد، که همچنان یک زمینه فعال در پدیدارشناسی محسوب می‌گردد.

محاسبه نسبت انشعابی

دامنه این واپاشی با در نظر گرفتن سهم درختی نمودار شکل ۱-الف) به صورت زیر نوشته می شود

$$\begin{aligned} \mathcal{M} = & \frac{G_F}{\sqrt{2}} V_{ub} V_{us}^* a_1 \langle \bar{\Lambda} p | (\bar{u} b)_{V-A} | \bar{B}_s^0 \rangle \\ & \times \langle K^- | (\bar{s} u)_{V-A} | 0 \rangle \end{aligned} \quad (1)$$

که در آن المان ماتریس مزونی را به صورت زیر می باشد [۱۵]

$$\langle K^- | (\bar{s} u)_{V-A} | 0 \rangle = i f_K p_\mu \quad (2)$$

و برای نوشتن المان ماتریسی باریونی، قطب باریونی Λ_b^0 را در نظر گیریم که منجر به یک واپاشی قوی به صورت $\bar{B}_s^0 \rightarrow \bar{\Lambda} \Lambda_b$ و یک واپاشی ضعیف به صورت $p \rightarrow K^- \Lambda_b$ می شود. بدین منظور از عامل شکل باریونی سنگین-سبک به صورت زیر استفاده می کنیم [۱۲]

$$\begin{aligned} & \langle p(p_p) | (\bar{u} b)_{V-A} | \Lambda_b(p_{\Lambda_b}) \rangle \\ & = \bar{u}_p \{ f_1^{\Lambda_b p}(p_k^2) \gamma_\mu + i \frac{f_2^{\Lambda_b p}(p_k^2)}{m_{\Lambda_b} + m_p} \sigma_{\mu\nu} p_k^\nu \\ & \quad + \frac{f_3^{\Lambda_b p}(p_k^2)}{m_{\Lambda_b} + m_p} \] g_1^{\Lambda_b p}(p_k^2) \gamma_\mu + i \frac{g_2^{\Lambda_b p}(p_k^2)}{m_{\Lambda_b} + m_p} \sigma_{\mu\nu} p_k^\nu \\ & \quad + \frac{g_3^{\Lambda_b p}(p_k^2)}{m_{\Lambda_b} + m_p} p_{k\mu} \} \gamma_5 \} u_{\Lambda_b} \end{aligned} \quad (3)$$

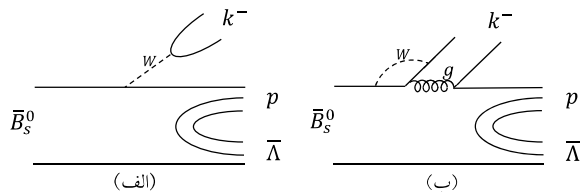
که در آن $p_p = p_{\Lambda_b} - p_b$ و $p_k = p_{\Lambda_b} - p$ عامل های شکل باریونی هستند که از مدل کوراک غیر نسبیتی به دست می آیند [۱۶، ۱۷]

نظیر $\Sigma_c^0 \bar{p} \rightarrow \Lambda_c^+ \bar{p}, B^- \rightarrow \Lambda_c^+ \bar{p}, B^- \rightarrow p \bar{n} \pi^-$ و $\bar{B}_s^0 \rightarrow p \bar{\Lambda} k^-$ موفق عمل نموده است.

در این مقاله به مطالعه واپاشی $\bar{B}_s^0 \rightarrow p \bar{\Lambda} k^-$ با استفاده از مدل قطب می پردازیم. این واپاشی اولین واپاشی مزون B_s است که در سال ۲۰۱۷ توسط LHCb مشاهده شد [۱۴] و نسبت انشعابی آن، اندک زمانی پیش از مشاهده، توسط گنج و سیائو با دقت بسیار خوبی پیش بینی شده بود [۱۳]. گنج و سیائو در محاسبات خود از جدیدترین مدل محاسبه نسبت انشعابی (که خود مبدع آن بوده اند) استفاده کردند و چالش های آن را به خوبی حل و فصل نمودند. اما مزیت مدل قطب نسبت به روش آنها این است که چون محاسبات آن به ثوابت جفت شدگی و روتکس های قطب وابسته است، می توان این مدل را روشی برای حدس این ثوابت محسوب نمود.

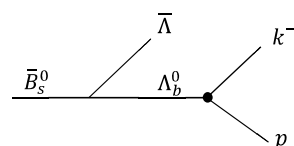
نمودارهای فاینمن

نمودارهای فاینمن این واپاشی دارای دو نمودار گذار مزون B شامل یک سهم درختی انتشار W خارجی و یک سهم پنگوئنی است که در شکل (۱) رسم شده اند.



شکل ۱: نمودارهای فاینمن واپاشی $\bar{B}_s^0 \rightarrow p \bar{\Lambda} k^-$

سهم نمودار پنگوئنی در دامنه بسیار کوچک است و از آن در مقابل سهم نمودار درختی صرفنظر می کنیم. نمودار قطبی متناظر با نمودار درختی شکل (۱)-الف) در شکل ۲ رسم شده است



شکل ۲: نمودار قطبی متناظر با شکل (۱)-الف) برای واپاشی $\bar{B}_s^0 \rightarrow p \bar{\Lambda} k^-$ علامت • نشان دهنده رأس ضعیف است.

حال دامنه را به شکل زیر می نویسیم

$$s_{min} = (m_\Lambda + m_p)^2, \quad s_{max} = (m_{B_s} - m_k)^2$$

$$t_{max}^{min} = m_\Lambda^2 + m_p^2$$

$$-\frac{1}{s}[(s - m_{B_s}^2 + m_K^2)(s + m_\Lambda^2 - m_p^2)]$$

$$\mp \sqrt{\lambda(s, m_{B_s}^2, m_K^2)} \sqrt{\lambda(s, m_\Lambda^2, m_p^2)}. \quad (\forall)$$

به طوری که

در نهایت نسبت انشعابی از رابطه زیر محاسبه می شود

$$BR = \frac{\Gamma(\bar{B}_s^0 \rightarrow p\bar{\Lambda}k^-)}{\Gamma_{tot}}$$

و

نتایج عددی

مقادیر به کار رفته برای کمیت های مختلف مورد نیاز به صورت زیر در نظر گرفته شده اند [۱۷، ۱۲]

$$V_{ub} = (3.48 \pm 0.4 \pm 0.07) \times 10^{-3},$$

$$V_{us} = 0.2245 \pm 0.0008$$

$$m_{B_s^0} = 5366.92 \pm 0.10 Mev,$$

$$m_\Lambda = 1115.683 \pm 0.006 Mev$$

$$m_p = 938.272 \pm 0.00000029 Mev,$$

$$m_{k^-} = 493.677 \pm 0.016 Mev$$

$$m_{\Lambda_b} = 5619.60 \pm 0.17 Mev$$

$$f_k = 156.2 \pm 0.7 Mev$$

$$f_1^{\Lambda_b p}(p_k^2) = g_1^{\Lambda_b p}(p_k^2) = 0.86 \quad (\wedge)$$

علاوه بر این پارامتر a_1 به شدت می تواند تحت تاثیر اثرات غیرقابل عامل بندی قرار گیرد. بنابراین، معمولاً یک پارامتر آزاد در نظر گرفته می شود و مقدار آن از تجربه با استفاده از مدل های مختلف

$$\begin{aligned} \mathcal{M} = & \frac{G_F}{\sqrt{2}} \alpha \beta \bar{u}_p [(A + B\gamma_5)p / K \\ & + (C\gamma_5 + D)] v_{\bar{\Lambda}} \end{aligned} \quad (\zeta)$$

$$\alpha = 1/(p_p + p_K)^2 - m_{\Lambda_b}^2,$$

$$\beta = V_{ub} V_{us}^* a_1 f_k g_{\Lambda_b \rightarrow B_s \Lambda}$$

$$A = f_1^{\Lambda_b p}(m_k^2) g_1^{\Lambda_b p}(m_k^2) (m_{\Lambda_b} + m_p)$$

$$B = -f_1^{\Lambda_b p}(m_k^2) (m_{\Lambda_b} - m_p)$$

$$C = -f_1^{\Lambda_b p}(m_k^2) (s - m_p^2 - m_K^2)$$

$$D = -f_1^{\Lambda_b p}(m_k^2) g_1^{\Lambda_b p}(m_k^2) (s - m_p^2 - m_K^2) \quad (\delta)$$

و s و t ناوردهای طرح دالیتز^۱ به صورت زیر تعریف می شوند

$$s = (p_\Lambda + p_K)^2 = (p_{B_s} - p_p)^2,$$

$$t = (p_\Lambda + p_p)^2 = (p_{B_s} - p_k)^2. \quad (\gamma)$$

اکنون می توان عرض و پاشی را از رابطه زیر به دست آورد

$$\Gamma = \frac{1}{(2\pi)^3} \frac{1}{32m_{B_s}^3} \int_{s,t} \left(\sum |\mathcal{M}|^2 \right) ds dt$$

که حدود انتگرال به صورت زیر تعریف می شوند

تحقیق درستی این مقدار، آن را با ثابت جفت شدگی $g_{\Lambda_b BN} = 12.67 \pm 3.76$ مقایسه می نماییم. با در نظر گرفتن اثرات شکست تقارن طعم (SU(3)، این دو ثابت جفت شدگی قوی باید هم مرتبه باشند. بنابراین مقدار $g_{\Lambda_b B_s \Lambda}$ به دست آمده در این مقاله، با تقریب خوبی با انتظارات سازگاری دارد.

سپاسگزاری

از جناب آفای دکتر کاظم عزیزی عضو هیات علمی دانشکده فیزیک دانشگاه تهران، برای کمکهای شایان ایشان در زمینه مقایسه ثابت‌های جفت شدگی کمال تشکر و قدردانی را داریم.

مراجع ها

- [1] H. Albrecht et al. [ARGUS], “Observation of the Charmless B Meson Decays,” *Phys. Lett. B* **209**, 119 (1988)
- [2] X. Huang, Y. K. Hsiao, J. Wang and L. Sun, “Baryonic B Meson Decays,” *Adv. High Energy Phys.* 2022, 4343824
- [3] D. Bortoletto et al. [CLEO], *Phys. Rev. Lett.* **62**, 2436 (1989)
- [4] N. G. Deshpande, J. Trampetic and A. Soni, *Mod. Phys. Lett. A* **3**, 749 (1988)
- [5] M. Jarfi, O. Lazrak, A. Le Yaouanc, L. Oliver, O. Pene and J. C. Raynal, “Decays of b mesons into baryon - anti-baryon,” *Phys. Rev. D* **43**, 1599-1632 (1991)
- [6] P. Ball and H. G. Dosch, “Branching ratios of exclusive decays of bottom mesons into baryon - anti-baryon pairs,” *Z. Phys. C* **51**, 445-454 (1991)
- [7] L. J. Reinders, H. Rubinstein and S. Yazaki, “Hadron Properties from QCD Sum Rules,” *Phys. Rept.* **127**, 1 (1985)
- [8] V. L. Chernyak and I. R. Zhitnitsky, “B meson exclusive decays into baryons,” *Nucl. Phys. B* **345**, 137-172 (1990)
- [9] T. D. Cohen, R. J. Furnstahl, D. K. Griegel and X. m. Jin, “QCD sum rules and applications to nuclear physics,” *Prog. Part. Nucl. Phys.* **35**, 221-298 (1995)
- [10] H. Y. Cheng and K. C. Yang, “Hadronic B decays to charmed baryons,” *Phys. Rev. D* **67**, 034008 (2003)
- [11] H. Y. Cheng and K. C. Yang, “Charmful baryonic B decays anti-B0 → Lambda(c) anti-p and anti-B → Lambda(c) anti-p pi (rho),” *Phys. Rev. D* **65**, 054028 (2002) [erratum: *Phys. Rev. D* **65**, 099901 (2002)]
- [12] H. Y. Cheng and K. C. Yang, “Charmless exclusive baryonic B decays,” *Phys. Rev. D* **66**, 014020 (2002)
- [13] C. Q. Geng, Y. K. Hsiao and E. Rodrigues, “Three-body charmless baryonic B 0 s decays,” *Phys. Lett. B* **767**, 205-208 (2017)
- [14] R. L. Workman et al. [Particle Data Group], “Review of Particle Physics,” *PTEP* 2022, 083C01 (2022)
- [15] Y. H. Chen, H. Y. Cheng, B. Tseng and K. C. Yang, “Charmless hadronic two-body decays of B(u) and B(d) mesons,” *Phys. Rev. D* **60**, 094014 (1999)
- [16] H. Y. Cheng, “Nonleptonic weak decays of bottom baryons,” *Phys. Rev. D* **56**, 2799-2811 (1997) [erratum: *Phys. Rev. D* 99, no.7, 079901 (2019)]
- [17] H. Y. Cheng and B. Tseng, “1/M corrections to baryonic form-factors in the quark model,” *Phys. Rev. D* **53**, 1457 (1996) [erratum: *Phys. Rev. D* 55, 1697 (1997)]
- [18] A. Wuthrich, “Dalitz plots and hadron spectroscopy,”
- [19] H. Y. Cheng, “Implications of recent anti-B0 → D*0 X0 measurements,” *Phys. Rev. D* **65**, 094012 (2002)
- [20] H. Y. Cheng and K. C. Yang, “Updated analysis of a(1) and a(2) in hadronic two-body decays of B mesons,” *Phys. Rev. D* **59**, 092004 (1999)
- [21] K. Azizi, Y. Sarac and H. Sundu, “Strong ΛbNB and ΛcND vertices,” *Phys. Rev. D* **90**, no.11, 114011 (2014)

عامل شکل به دست می آید. مقادیر متفاوت a_1 در [۲۰، ۲۹] داده شده اند. ما به عنوان مثال $a_1 = 0.8$ را برای دستیابی به بهترین نتیجه در کار خود در نظر می گیریم. در نهایت، نسبت انشعابی را به صورت عددی به صورت تابعی از ثابت جفت شدگی به دست می آوریم:

$$BR(\bar{B}_s^0 \rightarrow p \bar{\Lambda} k^-) = 4.998 \times 10^{-8} g_{\Lambda_b B_s \Lambda}^2 \quad (9)$$

با مقایسه این مقدار با مقدار تجربی $BR_{EXP}(\bar{B}_s^0 \rightarrow p \bar{\Lambda} k^-) = (5.5 \pm 1.0) \times 10^{-6}$ ، در می‌باییم که اگر مقدار عددی ثابت جفت شدگی برابر با $g_{\Lambda_b B_s \Lambda} = 10.49 \pm 1.57$ در نظر گرفته شود، مقدار نسبت انشعابی نظری به مقدار تجربی بسیار نزدیک می شود. ثابت جفت شدگی این ورتكس در دسترس نیست. بنابراین به عنوان معیاری برای مقایسه، از مقاله [۲۱] استفاده می کنیم. در این مقاله مقدار ثابت QCD جفت شدگی ورتكس $\Lambda_b BN$ با استفاده از مدل قوانین جمع محاسبه شده و مقدار آن برابر با $g_{\Lambda_b BN} = 12.67 \pm 3.76$ به دست آمده است. با لحاظ نمودن اثرات شکست تقارن طعم (SU(3)، مقادیر این دو ثابت جفت شدگی قوی باید از یک مرتبه باشند. بنابراین مقدار عددی که برای ثابت جفت شدگی رأس $\Lambda_b B_s \Lambda$ با استفاده از مدل قطب به دست آورده شد، مقداری منطقی و سازگار با انتظارات است.

نتیجه گیری

واپاشی سه جسمی باریونی $p \bar{\Lambda} K^- \rightarrow \bar{B}_s^0 \rightarrow p \bar{\Lambda} K^-$ را با استفاده از مدل قطب مطالعه کرده‌ایم. باریون Λ_b را به عنوان حالت میانی در نظر گرفته ایم که منجر به یک واپاشی قوی $\bar{B}_s^0 \rightarrow \bar{\Lambda} \Lambda_b$ و یک واپاشی ضعیف $\Lambda_b \rightarrow K^- p$ می شود. در فرآیند محاسبه نسبت انشعابی، به ثابت جفت شدگی قوی $g_{\Lambda_b B_s \Lambda}$ نیاز داریم و در می‌باییم که اگر ثابت جفت شدگی با مقدار $g_{\Lambda_b B_s \Lambda} = 10.49 \pm 1.57$ استفاده کنیم، نسبت انشعابی با مقدار تجربی گزارش شده توسط LHCb برابر با $(5.5 \pm 1.0) \times 10^{-6}$ همخوانی خواهد داشت. برای

جستجو برای ذرات شبه اکسیونی در برخورد دهنده میونی

مدیرزاده طهرانی، حنانه سادات؛ ۱۲ خطیبی، سارا؛^۱

^۱دانشکده فیزیک، دانشگاه تهران، انتهای خیابان کارگر شمالی، تهران
^۲دانشکده فیزیک، دانشگاه صنعتی شریف، خیابان آزادی، تهران

چکیده

امروزه جستجوی ذرات شبه اکسیونی در برخورد دهنده ها به منظور بررسی فضای پارامتری این ذرات بسیار مورد توجه قرار گرفته است. در این تحقیق، ما فرآیند تولید ذره شبه اکسیونی با جرم 1 MeV در برخورد دهنده میونی همراه با یک میون و پادمیون را برای پیدا کردن حد بالا بر روی ثابت جفت شدگی ذرات شبه اکسیونی و فوتون در نظر می گیریم و همچنین یک زنجیره کامل شبیه سازی شامل در نظر گرفتن فرآیند پس زمینه مرتبط و شبیه سازی واقعی آشکارساز در نظر گرفته می شود.

واژه های کلیدی: اکسیون، ذرات شبه اکسیونی، ثابت جفت شدگی ذرات شبه اکسیونی و فوتون.

Search for Axion-Like Particles (ALPs) at Muon Collider

Modirzadeh Tehrani, Hananeh Sadat^{1,2}; Khatibi, ; Sara¹

¹ Department of Physics, University of Tehran, North Kargar Ave., Tehran

² Department of Physics, Sharif University of Technology, Azadi Ave., Tehran

Abstract

Nowadays, searching for Axion-Like Particles (ALPs) in colliders in order to probe the parameter space of these particles is great of interest. In this research, We consider the ALP production process with mass 1 MeV in associated with muon and anti-muon at Muon Collider to find the upper limit on the ALPs-Photon coupling constant. A full simulation chain includes relevant background, and realistic detector simulations are taken into account.

Keywords: Axion, Axion-Like Particles, ALP-Photon Coupling Constant.

PACS No. 12, 13.

زیادی فراتر از مدل استاندارد (BSM) برای توضیح این نقص ها راهه شده است.

اگرچه تاکنون تلاش های زیادی برای کشف ردپای این BSM ها در LHC و دیگر برخورد دهنده ها انجام شده، اما هنوز هیچ نشانه قابل توجهی از فیزیک جدید در انرژی های بالا کشف نشده است. در نتیجه، این روزها درجات آزادی سبک جدید و یا ذرات جدیدی که برهمکنش ضعیف با ذرات SM داشته باشند، مورد توجه قرار گرفته اند.

بسیاری از مدل ها، یک یا چند ذره شبه اسکالر سبک جدید را پیش‌بینی می کنند که ما را قادر می سازد بخشی از کاستی های مدل استاندارد را توضیح دهیم. به عنوان مثال، به منظور حل

مقدمه

مدل استاندارد ذرات بنیادی مدلی بسیار موفق در توصیف ذرات بنیادی و برهم کنش های بین آن ها است. اما مشاهدات تجربی و مشکلات نظری زیادی وجود دارند که نشان می دهند این مدل، مدل نهایی برای توصیف ذرات بنیادی و برهم کنش های آن ها نیست و ما نیاز به مدلی و رای مدل استاندارد داریم. وجود ماده تاریک (DM)، جرم نوتريون و عدم تقارن باریونی نمونه هایی از مشکلات رصدی هستند و مشکل سلسله مرائبی و مشکل نقص CP در برهمکنش قوی نیز از جمله مشکلات نظری هستند که در مدل استاندارد پاسخ مناسبی برای آن ها وجود ندارد. تاکنون نظریه های

راحتی تا انرژی مرکز جرم بالاتری پیش رفت. پیش بینی شده است که این برخورد دهنده در انرژی مرکز جرم 3×10 TeV کار کند.

چارچوب نظری

در اینجا ما از لاغرانژی موثر (مستقل از مدل) برای جستجوی ALP در برخورد دهنده میونی استفاده می کنیم. لاغرانژی موثر خطی ذرات شبیه اکسیونی به صورت زیر نوشته می شود،

$$\begin{aligned} \mathcal{L}_{eff}^{D \leq 5} = & \mathcal{L}^{SM} + \frac{1}{2} \partial_\mu a \partial^\mu a - \frac{1}{2} m_a^2 a^2 \\ & + c_{a\Phi} \frac{\partial_\mu a}{f_a} (i\Phi^\dagger \tilde{D}_\mu \Phi) + \frac{\partial_\mu a}{f_a} \sum_F \bar{\Psi}_F \gamma_\mu C_F \Psi_F \quad (1) \\ & - c_{GG} \frac{a}{f_a} G_{\mu\nu}^a \tilde{G}^{\mu\nu a} - c_{WW} \frac{a}{f_a} W_{\mu\nu}^a \tilde{W}^{\mu\nu a} - c_{BB} \frac{a}{f_a} B_{\mu\nu}^a \tilde{B}^{\mu\nu a}. \end{aligned}$$

که در آن f_a ثابت واپاشی اکسیون است. در جمله فرمیونی، جمع بر روی همه فرمیون ها C_F و $F = Q_L, L_L, d_R, u_R, e_R$ ماتریس 3×3 در فضای طعم است. دو تایی هیگز با Φ و میدان ذره شبیه اکسیونی با a نشان داده شده است و همچنین $G^{\mu\nu}, W^{\mu\nu}, B^{\mu\nu}$ هستند. میدان $\tilde{X}^{\mu\nu}$ نیز به صورت زیر تعریف می شود،

$$\tilde{X}^{\mu\nu} = \frac{1}{2} \epsilon^{\mu\nu\alpha\beta} X_{\alpha\beta}, \quad (2)$$

که $\epsilon^{\mu\nu\alpha\beta}$ نماد لو بیچی و بتا است.

همان طور که از این لاغرانژی مشخص است، ذرات شبیه اکسیونی می توانند با فرمیون ها و بوزون های مدل استاندارد برهمکنش داشته باشند.

پس از شکست تقارن الکترووضعیف می توان برهمکنش ذرات ALP با فوتون ها را به صورت زیر نوشت،

$$\mathcal{L}_{a\gamma\gamma} = g_{a\gamma\gamma} \frac{\alpha}{4\pi} \frac{a}{f_a} F^{\mu\nu} \tilde{F}_{\mu\nu}, \quad (3)$$

که در آن،

$$g_{a\gamma\gamma} = \frac{4}{f_a} (c_{BB} \cos^2 \theta_w + c_{WW} \sin^2 \theta_w), \quad (4)$$

ثبت جفت شدگی ذرات شبیه اکسیونی و فوتون ها است و همچنین $F_{\mu\nu} = \partial_\mu A_\nu - \partial_\nu A_\mu$ تانسور شدت میدان الکترومغناطیس است و از رابطه (2) نیز استفاده شده است.

مطالعات متعددی برای محدود کردن جرم ALP و جفت شدگی آن با فوتون ها از آزمایش های کم انرژی تا برخورد دهنده های انرژی بالا و مشاهدات کیهانی وجود دارد [2].

مشکل نقص CP در برهمکنش قوی، پیچی و کوین مکائیزی می باشد تقارن سراسری کایرال و ناینهنجار (1) U_{PQ} پیشنهاد کردند [1] که به طور خود به خودی شکسته می شود و یک شبیه بوزون گلدستون به نام اکسیون QCD را پیش بینی می کند. علاوه بر این، ذرات شبیه اسکالر می توانند در مدل های دیگری مانند مدل های DM نیز ظاهر شوند.

به طور کلی، هر مدلی با تقارن سراسری (1) U که به طور خود به خود شکسته شود، شبیه بوزون های گلدستونی را پیش بینی می کند. که جرم و ثابت جفت شدگی آن ها پارامتر های مستقلی هستند. شبیه بوزون های گلدستون در چنین مدل هایی ذرات شبیه اکسیونی شوند. قدرت جفت شدگی های ALPs به ذرات مدل استاندارد U(1) مناسب با معکوس مقیاس شکست خود به خودی تقارن (Axion – Like Particles) است که بسیار بزرگ تر از مقیاس شکست تقارن الکترووضعیف در مدل استاندارد است.

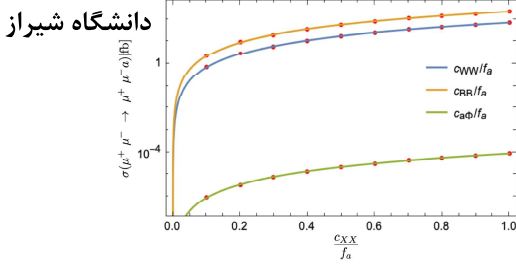
بخش قابل توجهی از فضای پارامتر مدل ALP قبل از تقریباً مشاهدات کیهانی و آزمایش های کم انرژی مورد بررسی قرار گرفته است. همچنین، داده های LEP و LHC برای محدود کردن فضای پارامتری ALP به کار گرفته شده اند. اگر یک ALP در برخورد دهنده ها تولید شود، رفتار های مختلفی دارد که می توان آن را به سه دسته طبقه بندی کرد.

- ALP می تواند در مقایسه با مقیاس آشکارساز عمر طولانی داشته باشد، بنابراین می تواند از آشکارساز فرار کند که منجر به انرژی گم شده در آشکارسازها می شود. توجه داریم که ALP ها به دلیل محدودیت های بسیار سخت در برهم کنش آنها با فرمیون ها، برهمکنش ناچیزی با مواد سازنده آشکارساز دارند.

- ALP می تواند به دو بوزون پیمانه ای بدون جرم مثل فوتون یا گلوئون در داخل آشکارساز تجزیه شود و آشکارساز می تواند این دو بوزون را متمایز کند. اثر این واپاشی شامل دو جت یا دو فوتون است که تقریباً پشت به هم هستند. این اثر در صورتی انتظار می رود که ALP سنگین باشد.

- ALP می تواند به یک بوزون پیمانه ای Z و یک فوتون و یا دو بوزون پیمانه ای جرم دار WW و ZZ در داخل آشکارساز تجزیه شود و آشکارساز می تواند این دو بوزون را متمایز کند.

ما در این تحقیق به تولید ذره شبیه اکسیونی در برخورد دهنده میونی نسل آینده می پردازیم. برخورد دهنده میونی در مرحله طراحی و شبیه سازی است. این برخورد دهنده لپتونی مزیت های بسیاری نسبت به برخورد دهنده های هادرونی دارد که به عنوان مثال می توان به محیط تمیزتر اشاره کرد. علاوه بر این، نسبت به برخورد دهنده الکترون-پوزیترون نیز کارآمدتر است زیرا جرم میون حدود ۲۰۰ برابر الکترون است و چون تابش سنکروترون ذرات با توان چهارم جرم نسبت عکس دارد، هر چه جرم بیشتر باشد انرژی از دست رفته ذرات کمتر می شود، پس می توان به

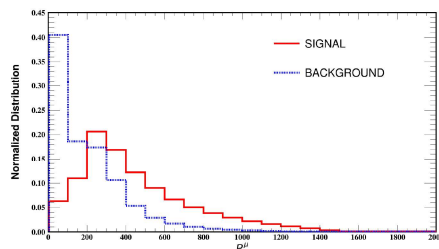


شکل ۲ : نمودار سطح مقطع پراکندگی بر حسب ثابت های جفت شدگی مختلف.

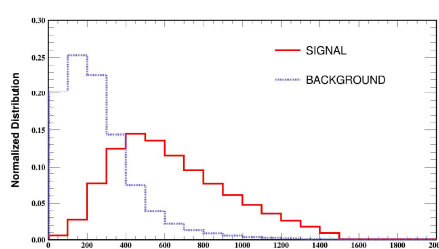
برای شبیه سازی داده های سیگنال، لاگرانژی (۱) در نرم افزار Feynrule اجرا شده و یک مدل خروجی جهان شمول بدست آمده است [۴,۵,۶]. سپس مدل UFO – linear – ALP – linear از نرم افزار MadGraph استفاده شده است [۷]. همچنین برای شبیه سازی آبشار ذرات و آشکارساز به ترتیب از نرم افزار های Delephes و Pythia استفاده شده است [۹,۸]. رویداد های سیگنال در انرژی مرکز جرم ۳ TeV تولید شده اند. محدوده جرمی ۱ MeV تا حدود ۱۰ GeV مورد علاقه است زیرا با تولید رویداد در جرم های مختلف ALP مشاهده شد که سطح مقطع پراکندگی فرآیند (۷) در این محدوده جرمی تقریباً ثابت است، پس برای نمونه، جرم ذره شبه اکسیونی برای تولید رویداد را ۱ MeV در نظر می گیریم.

نکته قابل توجه این است که در هر بار تولید رویداد، یکی از ضرایب C_{WW} و $C_{aΦ}$ روشن بوده است. نمودار سطح مقطع پراکندگی بر حسب ثابت های جفت شدگی در شکل ۲ رسم شده است. برای جدا کردن فرآیندهای سیگنال و پس زمینه برش های اولیه زیر بر روی رویدادها اعمال شده است:

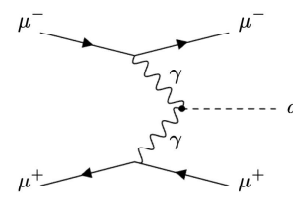
$$\begin{aligned} \text{Cut1} &\rightarrow P_T^\mu > 20 \text{ GeV}, \\ \text{Cut2} &\rightarrow \eta^\mu < 2.5, \\ \text{Cut3} &\rightarrow E_T^{\text{miss}} > 30 \text{ GeV}. \end{aligned} \quad (9)$$



شکل ۳: توزیع تکانه عرضی ذرات میون فرآیندهای سیگنال و پس زمینه پس از برش های اولیه.



شکل ۴: توزیع انرژی گمشده فرآیندهای سیگنال و پس زمینه پس از برش های اولیه.



شکل ۱ : یکی از نمودار های فایتمن $\mu^- \mu^- \rightarrow \mu^+ \mu^-$. (3)

با توجه به جمله (۳) در لاگرانژی، نرخ واپاشی یک ALP به دو فوتون را می توان به صورت زیر نوشت:

$$\Gamma_{a \rightarrow \gamma\gamma} = \left(\frac{g_{\gamma\gamma}}{f_a} \right)^2 \frac{m_a^3}{4\pi}. \quad (5)$$

و سپس طول واپاشی ALP ها به صورت زیر محاسبه می شود [۳]

$$L_a = \frac{\sqrt{\gamma^2 - 1}}{\Gamma_a}, \quad (6)$$

که در آن γ و Γ_a به ترتیب عامل لورنتس در هر رویداد و نرخ واپاشی کل است.

احتمال واپاشی ALP در آشکارساز با e^{-L_{det}/L_a} متناسب است، که در آن L_{det} فاصله نقطه برخورد میون ها با یکدیگر تا محل برخورد ALP به آشکارساز است. در این تحقیق، به علت جرم کم ALP ها، واپاشی شان در آشکارساز در نظر گرفته نشده است.

به طور کلی ذرات ALP می توانند در برخورد دهنده ها به صورت انتشارگر رد و بدل شده و به سطح مقطع پراکندگی فرآیند های مدل استاندارد سهم بدهنند و یا در حالت نهایی تولید شده و به عنوان انرژی گمشده در نظر گرفته شوند که ما در اینجا حالت دوم را در نظر می گیریم.

چارچوب شبیه سازی

در این بخش می خواهیم به معروفی فرآیند سیگنال و پس زمینه بپردازیم. همان طور که قبلاً گفته شد، ما علاقه مند به فرآیند تولید ذره شبه اکسیونی در برخورد دهنده میونی هستیم، پس فرآیند

$$\mu^+ \mu^- \rightarrow \mu^+ \mu^- a, \quad (7)$$

را به عنوان فرآیند سیگنال در نظر می گیریم که از ۳۶ نمودار فایتمن مختلف قابل انجام است و یکی از مهمترین نمودار های فایتمن آن در شکل ۱ مشاهده می شود.

با توجه به فرآیند سیگنال، مهم ترین فرآیند پس زمینه در چارچوب مدل استاندارد فرآیند زیر است،

$$\mu^+ \mu^- \rightarrow \mu^+ \mu^- \bar{\nu}_l \nu_l. \quad (8)$$

جدول ۱ : حد بالای c_{WW} و c_{BB} برای ۹۵٪ CL در برخورد دهنده میونی با انرژی مرکز جرم 3 TeV و در خشندگی کل 1 ab^{-1} و 10 ab^{-1} .

Coupling Constant	Muon – Collider 1 ab ⁻¹	Muon – Collider 10 ab ⁻¹
c_{BB}	0.0072	0.0037
c_{WW}	0.012	0.0062

$$\begin{aligned} g_{a\gamma\gamma} &\leq 0.0331 \text{ TeV}^{-1} @ 1 \text{ ab}^{-1}, \\ g_{a\gamma\gamma} &\leq 0.0171 \text{ TeV}^{-1} @ 10 \text{ ab}^{-1}. \end{aligned} \quad (14)$$

برای مقایسه با کران های بدست آمده در دیگر آزمایش ها می توان به [10] اشاره کرد که در آزمایش ee – ee با انرژی مرکز جرم 365 GeV در محدوده جرمی $2 \text{ GeV} \text{--} 8 \text{ GeV}$ برابر ALP ، حد بالای $g_{a\gamma\gamma}$ کمتر از $0.06 \text{ TeV}^{-1} @ 1 \text{ ab}^{-1}$ است و همچنین در آزمایش CLIC با انرژی مرکز جرم 240 GeV در محدوده جرمی $2 \text{ GeV} \text{--} 8 \text{ GeV}$ برابر ALP که حد بالای $g_{a\gamma\gamma}$ کمتر از $0.05 \text{ TeV}^{-1} @ 5 \text{ ab}^{-1}$ است. مشاهده می شود که حد بالای بدست آمده از فرآیند این تحقیق قوی تر است. که نشان از دقت آنالیز دارد.

نتیجه گیری

در این مقاله با در نظر گرفتن فرآیند $\mu^+ \mu^- a \rightarrow \mu^+ \mu^- a$ در برخورد دهنده میونی، به جستجوی ذرات شبه اکسیونی در محدوده جرمی $1 \text{ MeV} \text{--} 10 \text{ GeV}$ پرداختیم. یک آنالیز کامل برای فرآیند سیگنال و فرآیند پس زمینه مربوطه انجام دادیم و در نهایت حد بالا با ۹۵٪ CL بدست آمد. میونی که حد بالای ذرات شبه اکسیونی و فوتون قرار دادیم، که خلاصه این حد را در جدول ۱ و رابطه (14) آمده است.

مرجع ها

- [1] Peccei, R.D.; Quinn, H.R. (1977). *Physical Review Letters*. 38 (25)
- [2] Martin BauerMathias Heiles, Matthias Neubert, Andrea Thamm 'Axion-Like Particles at Future Colliders' arXiv :arXiv:1808.10323
- [3] Daniel Aloni, Yotam Soreq, and Mike Williams. Coupling QCD-scale axionlike particles to gluons. *Physical Review Letters*, 123(3), jul 2019
- [4] A. Alloul, N.D. Christensen, C. Degrande, C. Duhr, B. Fuks, FeynRules 2.0.185 (2014) 2250–2300, arXiv :1310.1921
- [5] Céline Degrande, Claude Duhr, Benjamin Fuks, David Grellscheid, Olivier Mattelaer, and Thomas Reiter. UFO – the universal FeynRules output. *Computer Physics Communications*.
- [6] http://feynrules.irmp.ucl.ac.be/attachment/wiki/ALPsEFT/ALP_linear_UFO.tar.gz
- [7] J. Alwall, R. Frederix, S. Frixione, V. Hirschi, F. Maltoni, O. Mattelaer, arXiv :1405.0301
- [8] P. Skands, S. Carrazza, J. Rojo, Tuning PYTHIA 8.1: the Monash 2013 tune, *Eur. Phys. J. C* 74(8) (2014) 3024, arXiv :1404 .5630.
- [9] DELPHES 3 Collaboration, J. de Favereau, DELPHES 3, 02 (2014) 057, arXiv :1307 .6346
- [10] arXiv: 2103.05218

همچنین برای جدایی بیشتر رویدادهای سیگنال از رویدادهای پس زمینه، به توزیع های جنبشی مختلف رویدادهای سیگنال و پس زمینه نگاه کردیم، که نمونه از آن ها در شکل ۳ و ۴ آمده است. در این نمودارها توزیع بهنجار شده رویدادها بر حسب تکانه عرضی میون و انرژی گمشده برای فرآیند سیگنال و پس زمینه رسم شده است.

با توجه به شکل توزیع ها برای سیگنال و پس زمینه ها، برش ثانویه زیر را انتخاب کردیم،

$$\begin{aligned} \text{Cut4} &\rightarrow P_T^\mu > 200 \text{ GeV}, \\ \text{Cut5} &\rightarrow E_T^{\text{miss}} > 400 \text{ GeV}. \end{aligned} \quad (10)$$

نتایج عددی

در این بخش می خواهیم با استفاده از رفتار فرآیند سیگنال و پس زمینه پس از اعمال برش ثانویه، حد بالا بر روی ثابت جفت شدگی ذرات شبه اکسیونی و فوتون را بدست آوریم. پس از اعمال برش ثانویه، بهره وری فرآیندهای سیگنال و پس زمینه به صورت زیر محاسبه می شود.

$$\begin{aligned} c_{BB} &: \epsilon_S = 0.4667, & \epsilon_B = 0.0303. \\ c_{WW} &: \epsilon_S = 0.4579, & \epsilon_B = 0.0303. \end{aligned} \quad (11)$$

برای تخمین زدن حد بالا بر روی ثابت جفت شدگی ذرات شبه اکسیونی و فوتون از رهیافت بیزین استفاده می کنیم. فرض می کنیم که احتمال تعداد مشاهده شده رویدادها توزیع پواسونی داشته باشد،

$$L(n_{\text{obs}}, n_S, n_B) = \frac{(n_S + n_B)^{n_{\text{obs}}}}{n_{\text{obs}}!} e^{-(n_S + n_B)}, \quad (12)$$

که در این معادله n_S و n_B به ترتیب تعداد رویدادهای سیگنال و پس زمینه هستند. آنگاه حد بالای ۹۵٪ CL بر روی تعداد رویدادهای سیگنال از رابطه زیر بدست می آید:

$$\frac{95}{100} = \frac{\int_0^{n_{\text{limit}}} L(n_{\text{obs}}, n_S, n_B) dn_S}{\int_0^{\infty} L(n_{\text{obs}}, n_S, n_B) dn_S}. \quad (13)$$

حدهای بالای ۹۵٪ CL بر روی c_{WW} و c_{BB} در برخورد دهنده میونی با انرژی مرکز جرم 3 TeV و در خشندگی کل 1 ab^{-1} و 10 ab^{-1} در جدول ۱ آمده است. نکته قابل توجه این است که در هر بار یکی از ضرایب در زمان تولید رویدادها روشن بوده است.

پس از این، با استفاده از رابطه (3) می توانیم حد بالا بر روی ثابت جفت شدگی ذرات شبه اکسیونی و فوتون به صورت رابطه (14) قابل محاسبه است،

مطالعه تولید پتاکوارک کاملاً سنگین در فرایند نابودی زوج در پایین ترین مرتبه اختلال

فراشائیان، ریحانه؛ موسوی نژاد، سید محمد

دانشگاه فیزیک، دانشگاه یزد، یزد

چکیده

درک مکانیسم تولید هادرون های عجیب و غریب با ساختارهای فراتر از مدل کوارک ساده می تواند برای کشف ساختار درونی آنها و تست نظریه QCD مفید باشد. فرایند ترکش، مکانیسم غالب برای تولید هادرون های سنگین معمولی با تکانه عرضی زیاد است که می توان این مکانیسم را به تولید پتاکوارک های سنگین نیز تعمیم داد. در این مقاله، ابتدا تولید ترکشی پتاکوارک کاملاً سنگین حالت پایه $(1/2)^{-}$ را در مدل سوزوکی مطالعه کرده، سپس سطح مقطع تولید آنها را از طریق فرایند نابودی زوج الکترون-پوزیترون در پایین ترین مرتبه اختلال در نظریه QCD تخمین می نماییم.

Study of fully heavy pentaquark production in pair annihilation at lowest-order perturbation theory

Reyhaneh Farashaeian, S. Mohammad Moosavi Nejad

Department of Physics, Yazd University, Yazd

Abstract

Understanding the production mechanism of exotic hadrons with configurations beyond the naive quark model could be helpful to find out their inner structure and to test the theory of QCD. It is well-known that the dominant mechanism to produce conventional heavy hadrons with large transverse momentum is fragmentation so as this mechanism could also be extended to heavy pentaquarks production. In the present work, we first study the fragmentation production of S-wave fully heavy pentaquarks ($j^P = (1/2)^-$), and then we will estimate their production cross section through electron-positron annihilation process at lowest order of perturbative QCD.

مدعی کشف پتاکوارک های $P_c^+(4380)$ و $P_c^+(4450)$ شد [۱].

همچنین در سال ۲۰۲۲ این گروه، مشاهده پتاکوارک $P_{\psi S}^\Lambda(4338)$ در واپاشی $B^- \rightarrow J/\Psi \Lambda p$ را نیز گزارش کرد [۲]. در مرجع [۳] مروری مفصل بر تاریخچه، نتایج آزمایشگاهی و مشخصات ترا و پتاکوارک های سنگین شده است. همچنین در مراجع [۶-۸] به داده های تجربی و فرایند های مربوطه اشاره شده است.

از دیدگاه نظری، مدل های مختلفی برای مطالعه ساختار این پتاکوارک ها ارائه شده است. به عنوان مثال، جفی و ویلچک این ساختارها را به صورت مدل دی کوارک-دی کوارک-آنتی کوارک تفسیر کردند که در آن هر جفت دی کوارک و مشابه آن آنتی کوارک نماینده گروه طعم $SU(3)_c$ با اسپین صفر است [۷]. مدلی دیگر، مدل مولکولی است که در آن یک باریون و یک مزون به حالت مقید درآمدند [۸]. در مدل قابل توجه دیگر، فرض می شود که پتاکوارک حالت مقید پنج کوارک است که با نیروی قوی رنگ به

مقدمه

در سال های اخیر، پیشرفت های زیادی در مطالعه خواص و ساختار حالت های چند کوارکی متشکل از کوارک های سنگین صورت گرفته است. ویژگی مهم و خاص چنین حالت های سنگین متمایز شدن آنها از سایر حالت ها در آزمایشگاه است. در بین همه، حالت های کاملاً سنگین تراکوارک و پتاکوارک (سیستم های چهار و پنج کوارکی شامل کوارک های سنگین) توجه گسترده ای را به خود جلب کرده اند. اولین پتاکوارک در سال ۲۰۰۳ در LEPS آزمایشگاه در ژاپن کشف شد. این ذره را Θ^+ نامیدند و ساختار کوارکی $uudd\bar{s}$ برای آن در نظر گرفتند. به دلیل کمبود داده ها و ضعف آماری، وجود پتاکوارک های دیگر تأیید نشد تا اینکه در ۱۳ جولای سال ۲۰۱۵ گروه همکاری LHCb در سرن در مطالعه فرایند واپاشی باریون $\Lambda_b^0(\Lambda_b^0 \rightarrow J/\Psi(\rightarrow \mu^-\mu^+)pK^-)$ به

چاربردار پتاکوارک خروجی عبارت است از: $\bar{P}^\mu = [\bar{P}_z, \vec{\bar{P}}_L]$. تابع ترکش $\bar{P}_L = r_L + t_L + s_L + t'_L + p'_L$ در مدل سوزوکی به صورت زیر تعریف می شود [۱۰]:

$$D_Q^x(z, \mu_0) = \frac{1}{1+2s_Q} \sum \int |T_x|^2 \delta^3(\sum_f \vec{p}_f - p_i) \prod_i d^3 \vec{p}_f \quad (2)$$

که Q اسپین کوارک والد می باشد و جمع روی اسپین و رنگ ذرات نهایی گرفته می شود. پارامتر ترکش را با درنظر گرفتن دستگاه تکانه بینهایت به صورت $T_x = \bar{P}/p = z$ تعریف می کنیم که بیان کننده کسری از انرژی کوارک اولیه است که توسط پتاکوارک خروجی حمل می شود. در معادله (۲)، T_x دامنه احتمال تولید پتاکوارک خروجی است که در حد تکانه بزرگ انتقالی، بر حسب دامنه پراکندگی سخت T_H و تابع موج حالت مقید بیان می شود:

$$T_x(p, \bar{P}, r', s') = \prod_{i=1}^5 dx_i \delta(1 - \sum_{i=1}^5 x_i) T_H(\bar{P}, x_i) \Phi_B(x_i, w^2) \quad (3)$$

در اینجا، x_i ها کسر تکانه حمل شده توسط کوارک های سازنده پتاکوارک می باشند و $\Phi_B(x_i, w^2)$ تابع موج حالت مقید در مبدأ به ازای انرژی w است که معرف دامنه احتمال پیدا کردن کوارک ها در حالت مقید هادرونی است. با توجه به اینکه حرکت نسبی کوارک های سنگین به طور موثر غیرنسبیتی است، بنابراین حرکت فرمی اجزای پتاکوارک را نادیده می گیریم. این به ما امکان می دهد تابع موج غیرنسبیتی پتاکوارک سنگین را به صورت تابع دلتای دیراک تخمین بزنیم [۱۱]. بنابراین دامنه توزیع پتاکوارک سنگین حالت پایه به صورت زیر درنظر گرفته می شود [۱۲, ۱۳]:

$$\Phi_B \approx f_B \delta(x_i - \frac{m_i}{m_X}) \quad (4)$$

که $f_B = 0.25 GeV$ ثابت واپاشی است [۱۴]. با درنظر گرفتن

رابطه فوق، کسرهای تکانه x_i به صورت زیر بیان می شوند:

$$x_1 = x_2 = x_3 = x_4 = x_5 = \frac{m_Q}{m_X} \quad (5)$$

که در آن m_X جرم پتاکوارک کاملاً سنگین است. با درنظر گرفتن پارامتر ترکش می توان انرژی کوارک های سازنده را برابر حسب انرژی کوارک اولیه بیان کرد:

$$s_o = x_1 z p_0, \quad t'_o = x_2 z p_0, \quad t_o = x_3 z p_0, \quad p'_0 = x_4 z p_0 \quad (6)$$

$$r_o = x_5 z p_0, \quad r'_o = s'_o = (1-z) p_0 / 2$$

همچنین فرض می کنیم تکانه عرضی کوارک سنگین اولیه به طور مساوی بین دو کوارک خروجی تقسیم می شود:

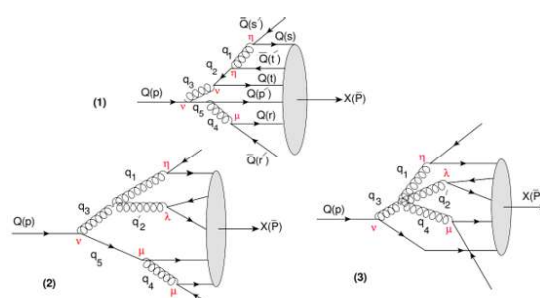
هم مقید هستند (مدل چند کوارکی کاملاً فشرده). در این پژوهش، از این مدل برای مطالعه فرایند تولید پتاکوارک ها استفاده می کنیم. رهیافتی که عموماً در تولید هادرон ها مورد توجه قرار می گیرد فرایند ترکش است. تابع ترکش به بخش کم انرژی فرایند های تولید هادرونی مربوط می شوند و بخش های غیراختلالی فرایند های QCD را تشکیل می دهند. این تابع برای تولید هادرون سنگین به کمک نظریه QCD اختلالی شامل پارامتر های پدیده شناسی محدود به صورت تحلیلی قابل محاسبه هستند [۹ و ۱۰].

تابع ترکش پتاکوارک های کاملاً سنگین

در این بخش به کمک رهیافت نظری بر پایه مدل سوزوکی [۱۰] تابع ترکش پتاکوارک های سنگین حالت پایه با اسپین-پاریتی $-^3S^1 = (1/2)^- z$ را محاسبه می نماییم. یک مزیت عالی مدل سوزوکی این است که ویژگی های سینماتیکی و دینامیکی فرایند تولید هادرон را در خود جای داده است. در این رهیافت، به کمک نظریه QCD اختلالی ابتدا با محاسبه مریع دامنه پراکندگی پرداخته و سپس با انتگرال گیری روی فضای فاز ذرات خروجی به محاسبه تابع ترکش می پردازیم. برای فرایند ترکش کوارک سنگین $X|QQQQ\bar{Q}\rangle$ به پتاکوارک کاملاً سنگین حالت پایه $|QQQQ\bar{Q}\rangle$ گراف های فاینمن نشان داده شده در شکل ۱ در اولین مرتبه اختلال را درنظر می گیریم. هر نمودار فاینمن دیگر مربوط به اصلاحات تابشی مرتبه بالاتر اختلال است. با توجه به شکل ۱ و با درنظر گرفتن محور Z به عنوان محور ترکش (راستای خروج هادرон)، برای چاربردارهای تکانه ذرات می توان نوشت:

$$p^\mu = [p_o, \bar{p}_T, p_T], \quad r^\mu = [r_o, \bar{r}_T, r_T], \quad t^\mu = [t_o, \bar{t}_T, t_T], \quad t'^\mu = [t'_o, \bar{t}'_T, t'_T] \quad (1)$$

$$s^\mu = [s_o, \bar{s}_T, s_T], \quad p'^\mu = [p'_o, \bar{p}'_T, p'_T], \quad r'^\mu = [r'_o, \bar{r}'_T, r'_T], \quad s'^\mu = [s'_o, \bar{s}'_T, s'_T] \quad (2)$$



شکل ۱: نمودار فاینمن در تولید پتاکوارک سنگین X در پایین ترین مرتبه اختلال

که $\langle P_T^2 \rangle$ مقدار متوسط مربع تکانه عرضی کوارک سنگین اولیه است. اکنون انتگرال های فضای فاز در رابطه (۱۱) را محاسبه می-

کنیم:

$$\int \frac{\bar{P} d^3 \bar{P} \delta^3(\bar{P} + \vec{s}' + \vec{r}' - \vec{p})}{\bar{P}_\circ^2 p_\circ (\bar{P}_\circ + s'_\circ + r'_\circ - p_\circ)^2} = \frac{z}{g^2(z)} \quad (13)$$

در رابطه فوق، $m_X^2 - 5m_Q^2 + 4p_s s' = m_Q^2 g(z)$. مطابق رهیافت سوزوکی، در محاسبه انتگرال های باقی مانده به جای انتگرال گیری بر روی تکانه عرضی، متغیر انتگرال گیری را با متوسط آن جایگزین می کنیم:

$$\int \frac{d^3 s'}{s'_\circ} g(z, s'_\circ) = m_Q^2 g(z, \langle p_T^2 \rangle / 4) \quad (14)$$

$$\int \frac{d^3 r'}{r'_\circ} h(z, r'_\circ) = m_Q^2 h(z, \langle p_T^2 \rangle / 4)$$

در ساده سازی رابطه فوق از فرض اشاره شده در رابطه (۷) کمک گرفتیم. در نهایت،تابع ترکش کوارک سنگین به پنتاکوارک کاملاً سنگین حالت پایه در مقیاس اولیه انرژی عبارت است از:

$$D_Q^x(z, \mu_\circ) = N \frac{\sum_{spin} |\Gamma|^2}{g^2(z)} \quad (15)$$

که در آن $N = (16\pi^3 f_B \alpha_s^3 (\mu^2) m_X m_Q^5 C_F)^2$ (ثابت بهنجارش)

ولی مقدار آن به کمک شرط $\int dz D(z, \mu_\circ) = 1$ تعیین می شود [۱۵].

در رابطه (۱۵)، مربع دامنه پراکندگی کل با توجه به رابطه (۹)

محاسبه می شود. به طور مثال، برای یکی از روابط داریم:

$$|\Gamma_1|^2 = G_1^2 \text{Tr} \left[(\gamma + m_Q) \gamma^\mu (\gamma' - m_Q) \gamma^\kappa \right] \times \text{Tr} \left[(\gamma + m_Q) \gamma_\rho (\gamma' - m_Q) \gamma_\eta \right] \times \quad (16)$$

$$\text{Tr} \left[(\not{p} + m_Q) \gamma_\mu (\not{q}_5 + m_Q) \gamma_\nu (\not{p} + m_Q) \gamma_\sigma (\not{q}_5 + m_Q) \gamma_\kappa \right] \times$$

$$\text{Tr} \left[(\not{f} + m_Q) \gamma^\nu (\not{q}_2 + m_Q) \gamma^\eta (\not{f} - m_Q) \gamma^\rho (\not{q}_2 + m_Q) \gamma^\sigma \right]$$

با داشتن تابع ترکش در مقیاس اولیه انرژی (μ_\circ) می توان به کمک

دسته معادلات تحول آلتارلی-پاریزی تابع ترکش را در مقیاس های

انرژی بالاتر تعیین نمود [۱۶].

تحلیل عددی نتایج

اکنون با درنظر گرفتن رابطه (۱۵) و به کمک مقادیر زیر برای پارامترهای ورودی [۱۷]، به تحلیل عددی نتایج می پردازیم:

$$1.27 \leq m_c \leq 1.67 GeV, \quad 4.18 \leq m_b \leq 4.78 GeV \quad (17)$$

$$f_B = 0.25 GeV, \quad \alpha_s(2m_c) = 0.26, \quad \alpha_s(2m_b) = 0.18$$

در شکل های ۲ و ۳ رفتار توابع ترکش کوارک چارم و باتم به پنتاکوارک های کاملاً سنگین $X|bbbbb\bar{b}\rangle$ و $X|cccc\bar{c}\rangle$ در مقیاس اولیه

$\mu_0 = m_X$ نشان داده شده است. با توجه به عدم قطعیت ناشی از

$$\langle s'_T \rangle = \langle r'_T \rangle = \langle P_T \rangle / 2 \quad (17)$$

با درنظر گرفتن چگالی جریان ها در هر رأس (به طور مثال:

$$J_s^\mu \propto g_s(m_Q^2) \bar{u}(r) \gamma^\mu v(r') \exp[-i(p + p').x]$$

پراکندگی سخت فرایند $X \rightarrow Q$ را در تئوری اختلال به صورت زیر

نوشت:

$$T_H = \frac{g_s^6(m_Q^2)m_X m_Q^3 C_F}{2\sqrt{2}p_\circ \bar{P}_\circ r'_\circ s'_\circ} \frac{\Gamma}{(\bar{P}_\circ + r'_\circ + s'_\circ - p_\circ)} \quad (18)$$

که $4\pi\alpha_s g_s^2 = 4\pi\alpha_s$ شامل انتشار گرهای کوارکی، گلوئونی و

بغخش های اسپینوری دامنه بوده و C_F فاکتور رنگ است.

با توجه به نمودارهای فایمن شکل ۱، دامنه کل گذار فرایند از سه

$$\Gamma^{total} = \Gamma_1 + \Gamma_2 + \Gamma_3, \quad \text{که در آن}$$

$$\Gamma_1 \text{ مربوط به گراف شکل ۱-۱}, \quad \Gamma_2 \text{ مربوط به گراف شکل ۲-۱}$$

$$\text{و } \Gamma_3 \text{ مربوط به گراف شکل ۳-۱ می باشد:}$$

$$\Gamma_1 = G_1 \left[\bar{u}(r) \gamma^\mu v(r') \right] \left[\bar{u}(p') \gamma_\mu (\not{q}_5 + m_Q) \gamma^\nu u(p) \right] \\ \left[\bar{u}(t) \gamma_\nu (\not{q}_2 + m_Q) \gamma^\mu v(t') \right] \left[\bar{u}(s) \gamma_\mu v(s') \right] \quad (19)$$

$$\Gamma_2 = iG_2 \left[\bar{u}(r) \gamma^\mu v(r') \right] \left[\bar{u}(p') \gamma_\mu (\not{q}_5 + m_Q) \gamma^\nu u(p) \right]$$

$$\left[\bar{u}(s) \gamma^\eta f^{\alpha\beta\gamma} V_{\lambda\eta\nu} v(s') \right] \left[\bar{u}(t) \gamma^\lambda v(t') \right]$$

$$\Gamma_3 = G_3 \left[\bar{u}(p') \gamma^\nu u(p) \right] \left[\bar{u}(s) \gamma^\eta F^{\alpha\beta\gamma} V_{\lambda\mu\eta} v(s') \right]$$

$$\left[\bar{u}(t) \gamma^\lambda v(t') \right] \left[\bar{u}(r) \gamma^\mu v(r') \right]$$

که G_1, G_2 و G_3 شامل مخرج انتشار گرهای کوارکی و گلوئونی است:

$$G_1^{-1} = q_1^2 (q_2^2 - m_Q^2) q_3^2 q_4^2 (q_5^2 - m_Q^2) = \\ 128 (m_Q^2 + r.r')^4 (3m_Q^2 - 2p.r + 2r.r' - p.r')$$

$$G_2^{-1} = q_1^2 q_2^2 q_3^2 q_4^2 (q_5^2 - m_Q^2) = 128 m_Q^2 (5m_Q^2 + 3r.r') (m_Q^2 + r.r')^3$$

$$G_3^{-1} = q_1^2 q_2^2 q_3^2 q_4^2 = 16 m_Q^2 (m_Q^2 + r.r')^2 (3m_Q^2 - 2p.r + 2r.r' - p.r')$$

با کمک روابط (۱۰)-(۲)، برای تابع ترکش داریم:

$$D_Q^x(z, \mu_\circ) = (16\pi^2 f_B \alpha_s^3 (m_Q^2) m_X m_Q^3 C_F)^2 \\ \int \frac{d^3 \bar{P} d^3 \bar{s} d^3 \bar{r}'}{\bar{P}_\circ s'_\circ r'_\circ p_\circ} \sum \left| I \right|^2 \delta^3(\bar{P} + \bar{s}' + \bar{r}' - \bar{p})$$

برای تعیین مربع دامنه پراکندگی، به ضرب چاره دارهای تکانه نیاز داریم. برخی از ضربه های مورد نیاز عبارتند از:

$$s.t' = s.t = s.p' = r.t = s.r = t.t' = t.p' = p'.t' = m_Q^2,$$

$$s'.t' = s'.p' = s.s' = r.r' = \frac{zm_Q}{m_X(1-z)} (m_Q^2 + \frac{\langle p_T^2 \rangle}{4}) + \frac{m_Q m_X (1-z)}{4z},$$

$$p.r' = p.s' = \frac{1-z}{4} (m_Q^2 + \langle p_T^2 \rangle) + \frac{1}{1-z} (m_Q^2 + \frac{\langle p_T^2 \rangle}{4}) - \frac{\langle p_T^2 \rangle}{2}.$$

$$\sigma^{L_0}(e^+e^- \rightarrow X|QQQQ\bar{Q}\rangle + jets) \approx \frac{8\pi\alpha^2}{s} e_\varrho^2 B_\varrho(\mu), \quad (19)$$

$(e_b = -1/3, e_c = +2/3)$

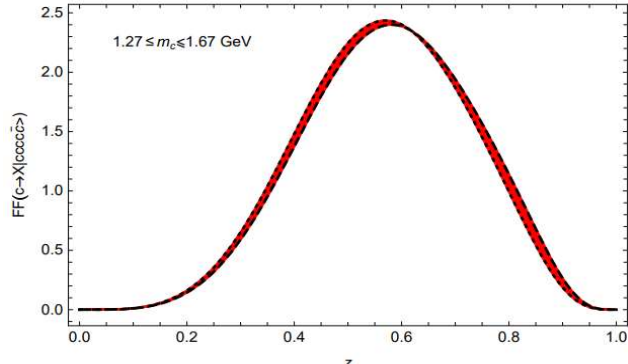
که در آن $B_\varrho(\mu) = \int_0^1 D_\varrho^X(z, \mu) dz$ معرف کسر انشعاب کوارک Q بوده

که برای گذار $b \rightarrow X_{bbbb\bar{b}}$ و $c \rightarrow X_{cccc\bar{c}}$ برابر است با:

$$B_c(\mu_c) = (18-20) \times 10^{-5} \quad (m_c = 1.27-1.67 \text{ GeV}), \quad (20)$$

$$B_b(\mu_b) = (2.53-2.55) \times 10^{-6} \quad (m_b = 4.18-4.78 \text{ GeV})$$

جرم کوارک، باند عدم قطعیت نیز رسم شده است. از آنجاییکه کوارک باتم سنگین تر از کوارک چارم است، قله تابع ترکش آن به سمت مقادیر بالاتر Z شیفت پیدا می کند.



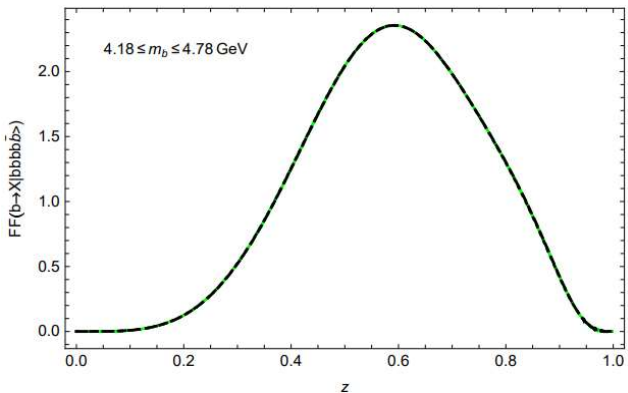
شکل ۲: رفتار تابع ترکش کوارک چارم به پتاکواک کاملاً سنگین در پایین ترین مرتبه اختلال QCD به ازای جرم‌های متفاوت کوارک چارم.

نتیجه گیری

در این مقاله، تابع ترکش کوارک سنگین به پتاکوارک سنگین در حالت کوانتمی $j^p = (1/2)^-$ را در مرتبه اول اختلال در نظریه QCD محاسبه و به ازای مقادیر متفاوت جرم کوارک چارم و باتم رفتار تابع ترکش $b \rightarrow X_{bbbb\bar{b}}$ و $c \rightarrow X_{cccc\bar{c}}$ را در مقیاس اولیه انرژی $\mu_0 = m_X$ تعیین کردیم. سپس سطح مقطع تولید آنها در فرایند نابودی زوج را تخمین زدیم. از نتایج این کار می‌توان در شتاب دهنده‌های نسل آینده استفاده نمود.

مرجع‌ها

- [۱] R. Aaij et al. [LHCb], Phys. Rev. Lett. **115** (2015), 072001.
- [۲] R. Aaij et al. [LHCb], [arXiv:2210.10346 [hep-ex]].
- [۳] A. Ali et al. Prog. Part. Nucl. Phys. **97** (2017) 123-198
- [۴] R. Aaij et al., [LHCb Collaboration], Phys. Rev. Lett. **122** (2019) 222001.
- [۵] R. Aaij et al., [LHCb Collaboration], Phys. Rev. Lett. **117** (2016) 082002.
- [۶] S. L. Olsen, T. Skwarnicki and D. Zieminska, Rev. Mod. Phys. **90** (2018) no.1, 015003.
- [۷] R. Jaff, F. Wilczek, Phys. Rev. Lett. **9**, 232003 (2003).
- [۸] A. P. Martynenko and V. A. Saleev, Phys. Rev. D **53**, 6666 (1996).
- [۹] E. Bratten, K. m Cheung, S. Fleming, and T C Yuan, Phys. Rev. D **51**, 4819 (1995).
- [۱۰] M. Suzuki. Phys. Rev. D **33**, 676 (1986).
- [۱۱] S. M. Moosavi Nejad and A. Armat, Eur. Phys. J. Plus **128** (2013), 121
- [۱۲] M. A. Gomshian, R. Sepahvand, Nucl. Phys. B. **34**, 741 (2006).
- [۱۳] S. M. Moosavi Nejad, Eur. Phys. J. A **52** (2016) no.5, 127.
- [۱۴] C. Patrignani et al. (Particle Data Group), Chin. Phys. C **40**, 100001 (2016).
- [۱۵] F. Amiri and C. R. Ji, Phys. Lett. B **195** (1987), 593-598.
- [۱۶] V.N. Gribov, L.N. Lipatov, Sov. J. Nucl. Phys. **15**, 438 (1972) [Yad. Fiz. **15**, 781 (1972)]
- [۱۷] P. A. Zyla et al. [Particle Data Group], Prog. Theor. Exp. Phys. **2020** (2020) 083C01 and 2021 update.
- [۱۸] S.M. Moosavi Nejad and R. Farashahian, Phys. Scripta **98** (2023) 11, 115304



شکل ۳: رفتار تابع ترکش کوارک باتم به پتاکواک کاملاً سنگین در پایین ترین مرتبه اختلال در نظریه QCD به ازای جرم‌های متفاوت کوارک باتم.

با داشتن تابع ترکش می‌توان سطح مقطع تولید پتاکوارک سنگین با نابودی زوج را از رابطه زیر به دست آورد [۱۸]:

$$\sigma^{L_0}(e^+e^- \rightarrow X|QQQQ\bar{Q}\rangle + jets) = \frac{8\pi\alpha^2}{s} \sum_a e_a^2 \int_0^1 dz D_a^X(z, \mu), \quad (18)$$

$$a = g, u/\bar{u}, \dots, b/\bar{b}$$

از آنجاییکه سهم تبدیل گلوئون و کوارک‌های سبک به پتاکوارک-های سنگین بسیار کوچک و مربوط به نمودارهای فاینمن بسیار پیچیده است که در مرتبه بالاتر اختلال رخ می‌دهند لذا سهم آنها نادیده گرفته می‌شود. بنابراین برای سطح مقطع نابودی زوج در پایین ترین مرتبه اختلال داریم:

تولید جفت بوزون هیگز سنگین خنثی مدل 2HDM در انرژی های مختلف CLIC

هاشمی، مجید^۱؛ مولانائی، ماریه^۱

^۱بخش فیزیک دانشکده علوم، دانشگاه شیراز، شیراز

چکیده

در این کار، تولید جفت بوزون هیگز خنثی در برخوردهای مرکز جرم 1400 GeV (CLIC) در انرژی های مرحله ۲ و 3000 GeV (مرحله ۳) بررسی شده است. بوزون های هیگز اسکالار H و شبے-اسکالار A در چارچوب مدل دو دوتایی هیگز (2HDM) با پایستگی CP در محدوده جرمی $300\text{ to }1050\text{ GeV}$ مورد بررسی قرار گرفته و قابلیت مشاهده پذیری سیگنال با در نظر گرفتن فرآیندهای پس زمینه اصلی مدل استاندارد مانند ZZ و $t\bar{t}$ و hZ برای مجموعه ای از پارامترهای مدل و جرم های بوزون هیگز از نظر توزیع سیگنال بر روی پس زمینه ارائه شده اند. نشان داده شده است که ناحیه جرم سنگین در CLIC در هر یک از انواع سوم و چهارم مدل 2HDM در مناطقی که تاکنون توسط LHC حذف نشده اند، به خوبی قابل مشاهده است.

واژه های کلیدی: 2HDM، سطح مقطع، نرخ واپاشی، هیگز های سنگین خنثی.

Beyond Heavy neutral 2HDM Higgs Boson Pair Production at Different CLIC Energies

Hashemi, Majid¹; Molanaei, Marieh¹

¹Physics Department, College of Sciences, Shiraz University, Shiraz

Abstract

In this work, the neutral Higgs boson pair production in Compact Linear Collider (CLIC) is investigated at center of mass energies 1400 (stage 2) and 3000 (stage 3) GeV . The Higgs bosons scalar H and pseudoscalar A are investigated within the framework of two Higgs doublet model (2HDM) with CP -conservation in the mass range 300 to 1050 GeV , and the signal observability is evaluated taking into account the main SM background processes like ZZ , $t\bar{t}$ and hZ . Results are presented for a set of model parameters and Higgs boson masses in terms of signal distributions over the background. It is shown that the heavy mass region is well observable at CLIC in types 3 and 4 in the regions not excluded by LHC.

Keywords: 2HDM, Cross section, Decay rate, Heavy neutral Higgs.

مسئله سلسله مراتبی [۲]، ناهنجاری گشتاور مغناطیسی میؤسون [۳]،

مقدمه

منشأ ماده تاریک [۴] و جرم نوترینوها [۵] مفید می باشد. یکی از بزرگترین دستاوردهای برخوردهای بزرگ هادرone (LHC) مشاهده بوزون هیگز از طریق مکانیسم هیگز [۶] با همکاری دو مجموعه ATLAS و CMS [۷-۸] بود. خواص ذره مشاهده شده در مطالعات و بررسی های مختلف توسط CMS [۹] و ATLAS [۱۰] تأیید شده است. با توجه به مسائل حل نشده مدل استاندارد،

در طول چند دهه گذشته، مدل استاندارد (SM) فیزیک ذرات بنیادی معقول ترین نظریه برهمکنش های زیراتومی بین ذرات بنیادی بوده است. علیرغم توافق کلی اندازه گیری ها با پیش بینی های مدل استاندارد، امکان وجود نظریه های فراتر از مدل استاندارد (BSM) با هیگز های اضافه نفی نشده است. از طرفی این نظریه ها برای توضیح بعضی از مسائل باز، از جمله عدم تقارن ماده-پادماده [۱]،

فرمیون با فرمیون‌ها از شکل معمول برای بوزون‌های هیگر اسکالار H و h پیروی می‌کند در حالی که برای بوزون هیگر شبه-اسکالار A ، جمله $i\vec{A} \cdot \vec{\nabla}$ اضافی در راس می‌گیرد:

$$\mathcal{L}_\Phi = \frac{m_f}{v} \sum_{f=u,d,l} \bar{f} f (h + \rho_H^f H - i \rho_A^f \gamma^5 A) \quad (4)$$

جدول ۱: جفت‌شدگی‌های هیگر-فرمیون در انواع مختلف 2HDM

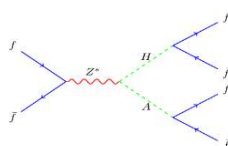
نوع ۴	نوع ۳	نوع ۲	نوع ۱	جفت‌شدگی
$\cot\beta$	$\cot\beta$	$\cot\beta$	$\cot\beta$	ρ^u
$\cot\beta$	$-\tan\beta$	$-\tan\beta$	$\cot\beta$	ρ^d
$-\tan\beta$	$\cot\beta$	$-\tan\beta$	$\cot\beta$	ρ^l

تولید سیگنال و پس‌زمینه

رویدادهای اصلی پس‌زمینه تولید جفت بوزون الکترووضعیف ZZ و تولید جفت کوارک $t\bar{t}$ هستند. تولید بوزون تکتایی نیز حاوی جت‌های کمتری برای بازسازی کامل رویدادهای مورد نیاز است و ناچیز است. برای ذخیره سازی اطلاعات رویدادها، تحلیل داده‌ها و رسم نمودارها از بسته ROOT استفاده کردیم. هر دو فرآیندهای سیگنال و پس‌زمینه با شروع از WHIZARD تولید می‌شوند که فایل‌های LHEF حاوی پراکنده‌گی سخت را تولید می‌کند [۱۵]. این فایل‌ها توسط PYTHIA 8.3.09 [۱۶] که از طریق DELPHES CLICdet.Stage3 [۱۷] برای شبیه سازی آشکارساز فراخوانی می‌شود، استفاده می‌شوند. فایل‌های حاوی پارامتر Stage2 CLICdet. با افزایش $m_A = m_H + 50$ GeV از ۱۰۰ GeV تا ۳۰۰ GeV تا ۶۵۰ GeV برای عملکرد برخوردهنده در $\sqrt{s} = 1400$ GeV و $\sqrt{s} = 3000$ GeV در ۱۰۵۰ GeV انتخاب می‌شوند.

محاسبه سطح مقطع و آهنگ واپاشی

فرآیند سیگنال مورد مطالعه $e^-e^+ \rightarrow Z^* \rightarrow HA$ در حالت نهائی چهار فرمیونی است که در شکل ۱ نشان داده شده است.



شکل ۱: نمودار فاینمن تولید جفت بوزون هیگر در حالت نهائی چهار فرمیونی. سطح مقطع سیگنال به شکل زیر است:

نیاز داریم که فیزیکی فراتر از مدل استاندارد داشته باشیم که در این مدت تلاش‌های زیادی صورت گرفته و برخی از آن‌ها بر اساس توسعه بخش هیگر است. یکی از ساده‌ترین مدل‌های توسعه یافته مدل استاندارد و سازکار با ناوردايی پیمانه‌ای، مدل 2HDM است. برای اولین بار 2HDM به عنوان مدلی برای نقض CP و پایستگی طعم خشی معرفی شد [۱۱]. با توجه به درجات آزادی بیشتری که در مدل 2HDM وجود دارد، این مدل مشاهده پذیری فیزیک طعم [۱۲] و اندازه‌گیری‌های دقیق الکترووضعیف [۱۳] را بهتر از مدل استاندارد ذرات بنیادی توصیف می‌کند.

چارچوب تئوری

از جمله اجزای سازنده بخش هیگر در مدل 2HDM شامل دو دوتایی اسکالار مختلط Φ_1 و Φ_2 با مقادیر چشمداشتی خلا متناظر آن‌ها، یعنی v_1 و v_2 با مقدار 246 GeV مورد نیاز است. این در حقیقت توسعه بخش هیگر مدل استاندارد به دو هیگر دوتایی است. یکی از پیامدهای مستقیم داشتن دو دوتایی مختلط، تعداد بوزون‌های هیگر است: دو هیگر اسکالار h و H . یک هیگر شبه اسکالار A و بوزون‌های هیگر باردار H^\pm . در 2HDM دوتایی اسکالار مختلط به این صورت تعریف می‌شود:

$$\Phi_i = \begin{pmatrix} \varphi_i^+ \\ (v_i + \rho_i + i\eta_i)/\sqrt{2} \end{pmatrix} \quad (1)$$

با $i=1, 2$. لاغرانژین این مدل نیز به صورت زیر است:

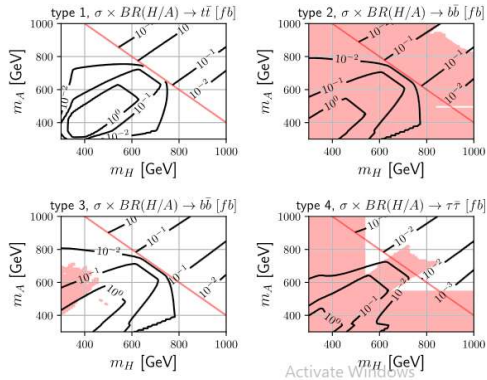
$$\mathcal{L}_{\Phi}^{2HDM} = \sum_{i=1,2} (D_\mu \Phi_i)^\dagger (D^\mu \Phi_i) - \mathcal{V}^{2HDM} \quad (2)$$

پتانسیل متقارن شامل جملات جرمی و خود-برهمکنش هیگر:

$$\begin{aligned} \mathcal{V}^{2HDM} = & m_{11}^2 (\Phi_1^\dagger \Phi_1) + m_{22}^2 (\Phi_2^\dagger \Phi_2) - m_{12}^2 (\Phi_1^\dagger \Phi_2 + \Phi_2^\dagger \Phi_1) \\ & + \frac{1}{2} \lambda_1 (\Phi_1^\dagger \Phi_1)^2 + \frac{1}{2} \lambda_2 (\Phi_2^\dagger \Phi_2)^2 + \lambda_3 (\Phi_1^\dagger \Phi_1)(\Phi_2^\dagger \Phi_2) \\ & + \lambda_4 (\Phi_1^\dagger \Phi_2)(\Phi_2^\dagger \Phi_1) + \frac{1}{2} \lambda_5 [(\Phi_1^\dagger \Phi_2)^2 + (\Phi_2^\dagger \Phi_1)^2] \end{aligned} \quad (3)$$

پارامترهای $\lambda_1, \lambda_2, \lambda_3, \lambda_4, \lambda_5, m_{11}, m_{12}$ و m_{22} حقیقی هستند، λ_6, λ_7 و λ_8 نیز پارامترهای مختلط هستند. λ_6 را مثبت درنظر می‌گیریم به این دلیل که سیستم باید انتهای انرژی داشته باشد، λ_7 را نیز منفی درنظر گرفتیم چون می‌خواهیم نقطه کمینه پتانسیل تبهگی داشته باشد. جملات با توان فرد نیز چون تقارن پاریته را نقض می‌کنند کنار گذاشته می‌شوند. دو جمله λ_6 و λ_7 را نیز صفر درنظر می‌گیریم. لاغرانژی یوکاوا بر همکنش هیگر-

نوع نشان می دهد. خط قرمز رسم شده در شکل ۲ مرز دو ستاریوی عملیات برخوردهنده را در 1400 GeV و 3000 GeV نشان می دهد.



شکل ۲: $\sigma \times BR$ برای انواع مدل 2HDM در $\tan\beta = 10$

نواحی متفاوت شده در فضای پارامتر نوع سوم با پیش‌بینی‌های گزارش شده توسط LHC که در کanal $H \rightarrow ZH \rightarrow A$ و واپاشی $H \rightarrow b\bar{b}$ صورت گرفته مطابقت دارد [۱۹]. نتایج قسمت عمده نوع دوم را متفاوت اعلام کرده‌اند [۱۹ و ۲۰]. مناطق حذف شده در نوع چهارم نیز به کanal $H \rightarrow ZA \rightarrow A$ و واپاشی $A \rightarrow \tau\tau$ ارائه شده در LHC اشاره دارد [۲۱]. این نتایج نشان می‌دهند که مناطق باز فعلی فضای پارامتر، انتخاب‌های مناسبی برای مطالعات CLIC هستند.

آنالیز نوع دوم

در نوع دوم از مدل 2HDM بر اساس جدول ۱، در مقادیر $\tan\beta$ بالا با توجه به معیار تحلیل مورد نظر ما جفت‌شدگی ذره هیگز با کوارک‌های نوع پایین و لپتون‌ها وجود دارد. از طرفی با توجه به اینکه جرم کوارک‌های پایین از سنگین‌ترین لپتون (τ) بیشتر است بنابراین کanal $H/A \rightarrow b\bar{b}$ غالب است. توپولوژی سیگنال و سینماتیک حالت نهایی هیچ تفاوتی بین انواع دوم و سوم با کanal‌های واپاشی ایجاد نمی‌کند.

آنالیز نوع سوم

در نوع سوم از مدل 2HDM بر اساس جدول ۱، در مقادیر $\tan\beta$ بالا جفت‌شدگی ذره هیگز با کوارک‌های نوع پایین وجود دارد و کanal $H/A \rightarrow b\bar{b}$ غالب است. رویدادهای نوع سوم در حالت نهایی چهار-جت با استفاده از الگوریتم برچسب گزاری- b -بهینه

$$\sigma = \frac{\pi \alpha^2 (g_V^2 + g_A^2) [(s - (m_A + m_H)^2)(s - (m_A - m_H)^2)]^3}{48 s^2 \sin^4 \theta_W \cos^4 \theta_W [(s - m_Z^2)^2 + m_Z^2 \Gamma_Z^2]} \quad (5)$$

واپاشی بوزون هیگز به جفت فرمیون را نیز می‌توان با استفاده از مربع عنصر ماتریس با حفظ جرم فرمیون‌ها محاسبه کرد. بنابراین نرخ واپاشی بوزون هیگز اسکالر H و شبه اسکالر A به ذرات $f\bar{f}$ را محاسبه نمودیم [۱۴]:

$$\begin{aligned} \Gamma(A \rightarrow f\bar{f}) &= \frac{3\sqrt{2}G_f m_{H/A} m_f^2 (\rho^f)^2}{8\pi} \left(1 - \frac{4m_f^2}{m_H^2}\right)^{1/2} \\ \Gamma(H \rightarrow f\bar{f}) &= \frac{3\sqrt{2}G_f m_{H/A} m_f^2 (\rho^f)^2}{8\pi} \left(1 - \frac{4m_f^2}{m_H^2}\right)^{3/2} \end{aligned} \quad (6)$$

عامل اضافی $\{4m_f^2/m_H^2\}^{1/2}$ در واپاشی هیگز اسکالر H با توجه به واپاشی هیگز شبه-اسکالر A وجود دارد که در نوع چهارم منجر به سرکوب $A \rightarrow \tau\tau$ در مقایسه با $H \rightarrow \tau\tau$ می‌شود. مقادیر عددی سطح مقطع برای سیگنال و پس‌زمینه در جداول ۲ و ۳ نشان داده شده است.

جدول ۲: سطح مقطع سیگنال برای فرآیند $e^-e^+ \rightarrow HA$ در $\sqrt{s} = 1400\text{ GeV}$ و $\sqrt{s} = 3000\text{ GeV}$

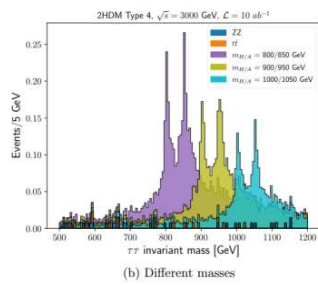
فرآیند سیگنال	BP ₄	BP ₃	BP ₂	BP ₁	$m_A = m_H + 50\text{ [GeV]}$
$\sigma\text{ [fb]}$	۶۰۰-۶۵۰	۵۰۰-۵۵۰	۴۰۰-۴۵۰	۳۰۰-۳۵۰	$m_A = m_H + 50\text{ [GeV]}$
	۰.۲۲	۱.۱	۲.۴	۴.۳	$\sigma\text{ [fb]}$
فرآیند سیگنال	BP ₄	BP ₃	BP ₂	BP ₁	$m_A = m_H + 50\text{ [GeV]}$
$\sigma\text{ [fb]}$	۱۰۰۰-۱۰۵۰	۹۰۰-۹۵۰	۸۰۰-۸۵۰	۷۰۰-۷۵۰	$m_A = m_H + 50\text{ [GeV]}$
	۰.۳۱	۰.۴۴	۰.۶	۰.۷۹	$\sigma\text{ [fb]}$

جدول ۳: سطح مقطع پس‌زمینه در $\sqrt{s} = 1400\text{ GeV}$ و $\sqrt{s} = 3000\text{ GeV}$

فرآیند پس زمینه	hZ	t <bar>t</bar>	ZZ	$\sigma\text{ [fb]}(\sqrt{s} = 1400\text{ GeV})$
	۱۳.۵	۱۴۵	۱۴۲	$\sigma\text{ [fb]}(\sqrt{s} = 1400\text{ GeV})$
	۴.۷	۵۳	۵۸	$\sigma\text{ [fb]}(\sqrt{s} = 3000\text{ GeV})$

کanal‌های واپاشی بوزون‌های هیگز H و A

از آنجایی که مقادیر پایین $\tan\beta$ در اکثر مدل‌ها متفاوت می‌شوند، بنابراین ما در تحلیل خود این مناطق را در نظر نمی‌گیریم و با توجه به معیار تحلیل مورد نظر مقدار $\tan\beta = 10$ را انتخاب می‌کنیم تا نواحی باز را برای آنالیز به دست آوریم. نواحی متفاوت شده با استفاده از HiggsTools-1 [۱۸] به دست می‌آیند. شکل ۲ نواحی متفاوت شده حاصل را برای $\tan\beta = 10$ همراه با سطح مقطع سیگنال ضربدر نسبت شاخه‌ای از واپاشی به حالت نهایی مربوطه در هر



شکل ۴: توزیع جرم ناوردای جفت جت- $\tau\tau$ در رویدادهای سیگنال و پس زمینه.

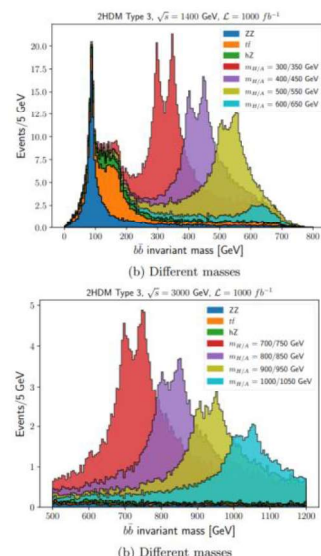
نتایج

در این کار حساسیت برخوردهای خطی CLIC برای تولید جفت بوزون هیگر خشی سیگنال 2HDM در محدوده جرمی ۳۰۰ GeV تا ۱۰۵۰ در دو مرحله عملیاتی CLIC مورد مطالعه قرار گرفت. فرآیند تولیدی که مورد بررسی قرار دادیم عبارت‌اند از: e^-e^+ , در حالت‌های نهایی b و c. نتایج کلی نشان می‌دهد که مشاهده سیگنال در درخشندگی‌های زیر (fb^{-1}) ۱۰۰۰ در نوع سوم و $(ab)^{10}$ در نوع چهارم در محدوده جرم‌های مورد مطالعه امکان‌پذیر است.

مرجع‌ها

- [۱] M. Dine and A. Kusenko; Rev. Mod. Phys. **76** (2003) 1.
- [۲] F. Jegerlehner; High Energy Physics. **13** (2013) 093.
- [۳] I. B. Logashenko and S. I. Eidelman; Physics-Uspekhi **61** (2018) 480.
- [۴] S. A. Malik and et al.; Phys. Dark Univ. **51** (2015) 1409.
- [۵] Degee, A., (2009). Higgs mechanism in the general THDM.
- [۶] F. Englert and R. Brout; Phys. Rev. Lett. **13** (1964) 321.
- [۷] G. Aad et al.; (ATLAS), Phys. Lett. B **716** (2012) 1207.
- [۸] S. Chatrchyan et al.; (CMS), Phys. Lett. B **716** (2012) 1207.
- [۹] A. M. Sirunyan et al.; (CMS), Phys. Rev. Lett. **125** (2020) 061801.
- [۱۰] G. Aad et al.; (ATLAS), Phys. Rev. D **101** (2020) 012002.
- [۱۱] T. D. Lee; Phys. Rev. D **8** (1973) 1226.
- [۱۲] M. Misiak et al.; Phys. Rev. Lett. **114** (2015) 221801.
- [۱۳] T. Aaltonen et al.; (CDF), Science **376** (2022) 170.
- [۱۴] M. Hashemi, M. Molanaei; Phys. Rev. D **108** (2023) 035012.
- [۱۵] J. Alwall et al.; Comput. Phys. Commun. **176** (2007) 300-304.
- [۱۶] T. Sjostrand, S. Mrenna, and P. Z. Skands; Comput. Phys. Commun. **178** (2008) 852-867.
- [۱۷] M. Selvaggi; J. Phys. Conf. Ser. **523** (2014) 012033.
- [۱۸] H. Bahl; Comput. Phys. Commun. **291**, 108803 (2023), 2210.09332.
- [۱۹] M. Aaboud et al., Phys. Lett. B **783**, 392 (2018), 1804.01126.
- [۲۰] G. Aad et al., Phys. Rev. Lett. **125**, 051801 (2020), 2002.12223.
- [۲۱] V. Khachatryan et al., Phys. Lett. B **759**, 369 (2016), 1603.02991.
- [۲۲] N. Alipour Tehrani, P. Roloff; CLICdp-Note-2014-002 (2014).

سازی شده برای محیط آشکارساز CLIC آنالیز می‌شوند [۲۲]. در مرحله بعد، یک تصحیح سینماتیکی با اعمال بقای انرژی و تکانه بر رویدادها با چهار جت- b -بارسازی شده اعمال می‌شود. می‌توان گفت جتی که دارای انرژی بیشتری است با جتی که کمترین انرژی را دارد از یک ذره مادر متولد می‌شوند. سبیس براساس خواص سینماتیکی نسبیتی این رویدادها، پرانرژی‌ترین و کم‌انرژی‌ترین جت را انتخاب کرده و توزیع جرم ناوردای آن‌ها را در شکل ۳ برای برابر نوع سوم با $\sqrt{s}=3000$ GeV و $\sqrt{s}=1400$ GeV رسم می‌کنیم.



شکل ۳: توزیع جرم ناوردای جفت جت- b در رویدادهای سیگنال و پس زمینه.

آنالیز نوع چهارم

در نوع چهارم در مقادیر بالای $\tan\beta$ جملات شامل $\cot\beta$ حذف می‌شوند و طبق جدول ۱، واپاشی ذره هیگز به لپتون‌ها را داریم. کانال $\tau\tau \rightarrow H/A \rightarrow H/A$ تا زمانی که مقادیر بالای $\tan\beta$ در نظر گرفته شود غالب است. همانطور که در شکل ۲ مشاهده می‌شود، جرم‌های بوزون هیگز زیر 800 GeV از قبل در نوع چهارم در $\tan\beta=10$ GeV حذف شده‌اند، بنابراین سه سناریوی $m_A=m_{H^+}+50=850, 950, 1050$ می‌شوند. در این مورد پس زمینه کوچکی در ناحیه سیگنال باقی مانده است و سیگنال روی یک منطقه تقریباً آزاد پس زمینه قرار دارد که در شکل ۴ برای $\sqrt{s}=3000$ GeV برای توزیع سیگنال واضح‌تر از حالت نهایی چهار جت- b در نوع سوم است.

مقید سازی فیزیک جدید با مطالعه تولید کوارک تاپ منفرد

رکن آبادی، مریم؛ پاک طینت مهدی آبادی، سعید

دانشگاه فیزیک، دانشگاه یزد، یزد

چکیده

مدل استاندارد ذرات بنیادی پاسخگوی تمام سوالات این حوزه نیست و شواهد فراوانی برای فیزیک جدید وجود دارد. یکی از نامدهای فیزیک جدید افزودن یک ذره ای اسکالر باردار به مدل استاندارد است. در این مقاله قیود جفت شدگی های این ذره با سایر فرمیون های مدل استاندارد، در سایه نتایج تجربی مطالعه تولید ذره تاپ منفرد در کانال های s و t بررسی می شود.

Constraining New Physics by Studying Single Top Quark Production

Roknabady, Maryam; Paktinat Mehdiabadi, Saeid

Department of Physics, Yazd University, P.O. Box 89195-741, Yazd, Iran

Abstract

Standard Model of elementary particles (SM) can not answer all questions of the field and there are strong evidences for new physics. One of its candidates is adding a charged scalar particle to SM. In this paper, constraints on coupling of this particle to other SM fermions are investigated under the experimental results on single top quark production in both s and t channel.

PACS No. 10 , 12

باردار اسکالار در کنار مدل استاندارد بررسی می شود و ویژگی ها و

مقدمه

محدودیت های مدل مشخص می شوند.

از آنجا که مدل استاندارد ذرات بنیادی سوالاتی مانند جرم

برای این منظور جهت نشان دادن برهم کش های ذره جدید H_c با کوارک های نوع بالا و کوارک های نوع پایین و نیز لپتون ها رابطه لگرانژی زیر پیشنهاد می شود:

نوتروینو، ماده و انرژی تاریک و سلسله مراتب جرم ذرات را بی

$$\mathcal{L}_{H_c} = H_c \alpha (V_{ud} \bar{u} m_u P_L d + V_{ud} \bar{u} m_d P_R d + m_l \bar{v}_L l_R) + H.c. \quad (1)$$

پاسخ می گذارد، انگیزه زیادی برای پیشنهاد و جستجوی فیزیک

ورای مدل استاندارد وجود دارد. از بین این پیشنهادها بسیاری دارای ویژگی مشترک تعمیم بخش هیگر هستند و وجود بوزون

هیگر باردار را معادل با افزودن یک دوتایی هیگر دوم به مدل

استاندارد دانسته اند. این مطالعات در مورد فرآیندهای مختلف تولید بوزون هیگر باردار و محدودیت های مدل مد نظر با توجه به

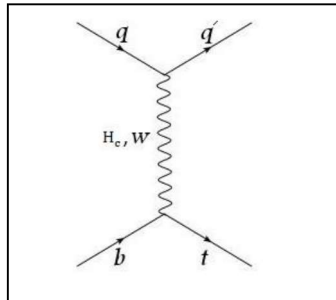
به اندازه گیری های تجربی و محدودیت های نظری بحث کرده اند.

در این تحقیق در بستر تولید کوارک تاپ منفرد وجود یک ذره

عملگرهای تصویر راست دست و چپ دست هستند.

به همین ترتیب تولید کوارک تاپ منفرد در کانال t نمودار زیر را دارد.

$$qb \rightarrow t q'$$



شکل 2: نمودار فاینمن تولید کوارک تاپ منفرد در کانال t .

همانگونه که از شکل لاغرانژی توقع می‌رود، H_c می‌تواند جانشین W شود و سطح مقطع تولید را تحت تاثیر قرار دهد. در این مطالعه با توجه به مقادیر اندازه گیری شده سطح مقطع تولید کوارک تاپ، فضای فاز مجاز مدل معرفی شده نمایش داده می‌شود.

روش محاسباتی

برای محاسبه سطح مقطع تولید کوارک تاپ منفرد در کانال‌های S و t از نرم افزار [۲] `MadGraph_2_6_3` استفاده می‌شود. برای اضافه کردن مدل جدید به این نرم افزار از نرم افزار [۳] `2HDMC_1_8_0` استفاده شده است. این نرم افزار با گرفتن پارامترهای مدل 2HDM جفت شدگی‌ها و پهنه‌ی ذرات این مدل را محاسبه می‌کند تا در `MadGraph` استفاده شوند.

برای محاسبه سطح مقطع، تعداد 10 هزار رویداد در سطح درختی در انرژی مرکز جرم $\sqrt{s} = 13 TeV$ تولید شده‌اند. مقادیر سطح مقطع محاسبه شده توسط نرم افزار با نسبت سطح مقطع مراتب بالاتر به سطح مقطع درختی مدل استاندارد مقایس می‌شوند تا اثر تصحیحات مراتب بالاتر در نظر گرفته شود. تاثیر همه متغیرهای مختلف 2HDMC روی سطح مقطع‌ها بررسی شدند و فقط پارامترهای جرم ذره اسکالر باردار m_{H_c} و m_t ، که به α در مدل جدید مربوط است، در مقدار سطح مقطع موثر شناخته شدند. در ادامه فقط این دو پارامتر تغییر داده می‌شوند و بقیه پارامترهای 2HDM ثابت فرض شده‌اند بطوریکه

V_{ud} عنصر ماتریس CKM است و α ضریب جفت شدگی در مدل مورد نظر است.

برای حفظ کلیت مدل و آزادی عمل بیشتر این ذره در قالب 2HDM معرفی نمی‌شود ولی می‌توان از ابزار موجود برای 2HDM استفاده نمود. رابطه لاغرانژی برای ذره هیگز باردار در مدل‌های 2HDM به صورت زیر است [۱].

$$\mathcal{L}_{H^\pm} = -H^+ \left(\frac{\sqrt{2}V_{ud}}{v} \bar{u}(m_u X P_L + m_d Y P_R) d + \frac{\sqrt{2}m_t}{v} Z \bar{v}_L l_R \right) + H.c. \quad (2)$$

که v مقدار چشم‌داشتی خلاء است و مقادیر X و Y برای انواع مختلف 2HDM متفاوت است و برای نوع اول آن معادل است با:

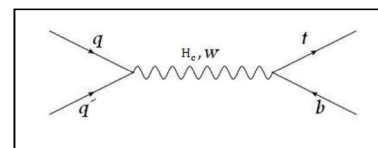
$$X = Y = Z = \cot\beta \quad (3)$$

که با مقایسه دو معادله لاغرانژی برای ضریب α رابطه زیر به دست می‌آید.

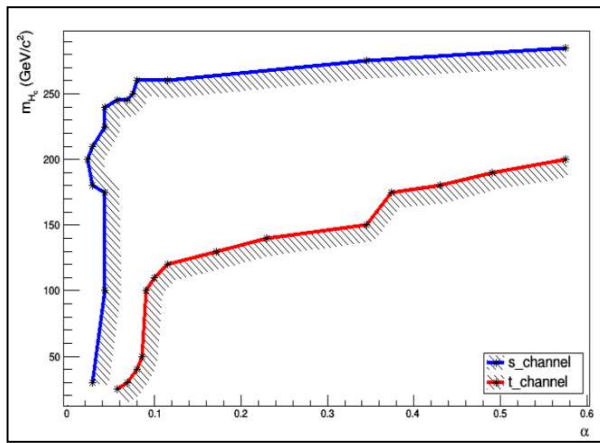
$$\alpha = (\sqrt{2}/v)\cot\beta \quad (4)$$

کوارک تاپ یکی از ذرات منحصر بفرد مدل استاندارد است. جرم زیاد و محصولات ویژه حاصل از واپاشی این ذره آن را به یک آزمایشگاه کوچک ذرات بنیادی تبدیل کرده است. اندازه گیری‌های تجربی تولید کوارک تاپ منفرد، که از طریق برهمکنش‌های الکترو-ضعیف اتفاق می‌افتد، هنوز به دقت لازم نرسیده‌اند. افزایش دقت این اندازه گیری‌ها قبود محکم تری روی فیزیک ورای مدل استاندارد ایجاد می‌کند. در این مطالعه اندازه گیری سطح مقطع تولید کوارک تاپ منفرد برای این مقید سازی استفاده شده است. با اضافه شدن H_c ، تولید کوارک تاپ منفرد و پاد ذره آن در کانال S از طریق فرآیندهای زیر اتفاق می‌افتد.

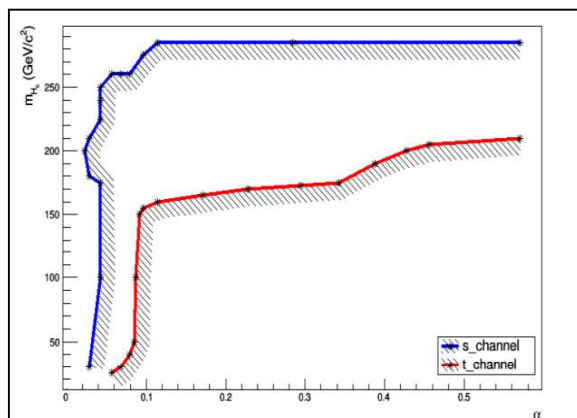
$$qq' \rightarrow \sim bt$$



شکل 1: نمودار فاینمن تولید (آنتی) کوارک تاپ منفرد در کانال S .



شکل 3: ناحیه های مجاز و غیر مجاز بر اساس سازگاری با اندازه گیری تجربی، برای کanal S و t.



شکل 4: ناحیه های مجاز و غیر مجاز بر اساس سازگاری دقیق با پیش بینی مدل استاندارد، برای کanal S و کanal t.

همانگونه که انتظار می رود و در شکل ها مشخص است، ضریب جفت شدگی های زیاد و جرم های کم غیر مجاز هستند. در ناحیه های مورد بررسی، محدوده مجاز در هر دو روش برای کanal t بیشتر است و در واقع قدرت محدود سازی کanal S بیشتر از کanal t است و به عبارت دیگر ناحیه های غیر مجاز کanal t زیر مجموعه ناحیه های غیر مجاز کanal S قرار می گیرند.

$$\sin(\beta - \alpha) = 0, \quad m_{12}^2 = 0, \quad m_h = 125,$$

$$m_H = 400 \quad \text{و} \quad m_A = 400$$

پارامترهای نرم افزار MadGraph که در اینجا ذکر نشده اند مقادیر پیش فرض برنامه را دارند.

برای محدود سازی سطح مقطع های محاسبه شده به دو روش بازه های مجاز برای سطح مقطع تولید کوارک تاپ منفرد تعریف شده اند.

بازه مجاز اول بر اساس آخرین و دقیق ترین اندازه گیری تجربی سطح مقطع تولید کوارک تاپ منفرد در کanal S تعیین می شود. آزمایش ATLAS در سال 2023 این اندازه گیری را به صورت $\sigma_{s\text{ channel}} = 8.2^{+3.5}_{-2.9} (\text{pb})$ گزارش کرده است [4].

واضح است که این عدد دقت کمی دارد و در آینده با افزایش حجم داده ها بهبود خواهد یافت. برای پیش بینی اثر اندازه گیری دقیق تر، بازه مجاز دوم تعریف شده است. در این قسمت فرض می شود که مقدار سطح مقطع اندازه گیری شده، برابر پیش بینی مدل استاندارد باشد و دقت اندازه گیری در حد 10% این مقدار، یعنی:

$$0.9 \sigma_{SM} < \sigma < 1.1 \sigma_{SM} \quad (5)$$

برای کanal t نیز بازه مجاز دوم مانند کanal S در نظر گرفته می شود و برای بازه مجاز اول از اندازه گیری تجربی سطح مقطع کوارک تاپ منفرد در کanal t که توسط آشکارساز CMS در سال 2017 با مقدار $\sigma_{t\text{ channel}} = 238 \pm 31.78 (\text{pb})$ بدست آمده است استفاده می شود [5].

در شکل های 3 و 4 مرز نواحی مجاز و غیر مجاز مدل معرفی شده طبق نتایج کanal t و S در صفحه α و m_{H_2} رسم شده اند. نقطه مجاز به صورت نقطه ای که سطح مقطع در آن نقطه در بازه مجاز قرار بگیرد تعریف می شود.

نتیجه گیری و گام های بعدی

به عنوان یک نامزد فیزیک ورای مدل استاندارد مدلی معرفی شد که یک ذره اسکالر باردار را به مدل استاندارد اضافه می کند. با در

نظر گرفتن اندازه‌گیری‌های تجربی تولید کوارک تاپ منفرد محدودیت‌هایی برای پارامترهای این مدل به دست می‌آید که در این مطالعه گزارش شده‌اند.

در ادامه برای بررسی سازگاری مدل جدید با شرایط و معیارهای فیزیک طعم از برنامه‌ی SuperIso [۶] استفاده می‌شود. این برنامه با بررسی عوامل مختلف از جمله نسبت انشعاب می‌تواند برای محدود کردن مدل معرفی شده استفاده شود.

همچنین برای بررسی سازگاری این مدل با جستجوها و اندازه‌گیری‌های آزمایش‌های LEP و Tevatron و LHC از برنامه‌ی HiggsTools [۷] استفاده خواهد شد. این نرم افزار که شامل نتایج جستجوها و اندازه‌گیری‌های قسمت هیگز است، جهت مطالعه مدل‌های ورای مدل استاندارد که شامل بوزون(های) هیگز خشی و یا باردار دلخواه می‌باشد استفاده می‌شود.

مرجع‌ها

- [1] Barger, V., Hewett, J. L., & Phillips, R. J. N. (1990). *New constraints on the charged Higgs sector in two-Higgs-doublet models*. Physical Review D, 41(11), 3421.
- [2] Alwall, J., Herquet, M., Maltoni, F., Mattelaer, O., & Stelzer, T. (2011). *MadGraph 5: going beyond*. Journal of High Energy Physics, 2011(6), 1-40.
- [3] Eriksson, D., Rathsman, J., & Stål, O. (2010). *2HDMC–two-Higgs-doublet model calculator*. Computer Physics Communications, 181(1), 189-205.
- [4] Topolnicki, K. (2023). *Measurement of single top-quark production in the s-channel in proton–proton collisions at $\sqrt{s} = 13 \text{ TeV}$ with the ATLAS detector*. The Journal of High Energy Physics, 2023(6).
- [5] Sirunyan, A. M., Tumasyan, A., Adam, W., Asilar, E., Bergauer, T., Brandstetter, J., ... & Bernardes, C. A. (2017). *Cross section measurement of t-channel single top quark production in pp collisions at $s=13\text{TeV}$* . Physics Letters B, 772, 752-776.
- [6] Mahmoudi, F. (2008). *SuperIso program and flavor data constraints*. arXiv preprint arXiv:0812.2902. PoS CHARGED2008:020, 2008.
- [7] Bahl, H., Biekoetter, T., Heinemeyer, S., Li, C., Paasch, S., Weiglein, G., & Wittbrodt, J. (2022). *HiggsTools: BSM scalar phenomenology with new versions of HiggsBounds and HiggsSignals*. arXiv preprint arXiv:2210.09332

برهمکنش $\Lambda_c K^+ - pD_s$ در کانال جفت شده در کوانتوم کرومودینامیک شبکه ای

اطمینان، فیصل^۱

^۲ گروه فیزیک، دانشگاه بیرجند، بیرجند.

چکیده

برهمکنش $\Lambda_c K^+ - pD_s$ در موج- S بر اساس روش کانال جفت شده هل. کیو. سی. دی. مورد مطالعه قرار گرفته است. پتانسیل هایی که در چهار چوب S -ماتریس کوانتوم کرومودینامیک در زیر انرژی آستانه pD^* برقرارند از تابعهای موج نامبو-بسه-سالپیتر بر روی شبکه با تقارنی طعم $SU(3)$ استخراج شده‌اند. در شبیه‌سازی پیکربندی‌های پیمانه‌ای کوانتوم کرومودینامیک با سه طعم بر روی یک حجم $(1.93\text{ fm})^3$ با $m_\pi = 872\text{ MeV}$ بکار گرفته شده‌اند. با محاسبه‌ی پارامترهای پراکنده مشاهده شد که جفت شدگی بین $\Lambda_c K^+$ و pD_s ضعیف است و همچنین در انرژی‌های پایین برهمکنش $\Lambda_c K^+$ از نوع جاذبه‌ای و قوی‌تر از برهمکنش pD_s است. واژه‌های کلیدی: کوانتوم کرومودینامیک شبکه‌ای، روش کانال‌های جفت شده هل. QCD ، برهمکنش $\Lambda_c K^+ - pD_s$.

Coupled Channel $\Lambda_c K^+ - pD_s$ Interaction in Lattice QCD

Faisal, Etminan^۱

^۱ Physics Group, University of Birjand, Birjand

Abstract

We study S – wave interactions in the $\Lambda_c K^+ - pD_s$ system by using the coupled-channel HAL QCD method. The potentials which are faithful to QCD S-matrix below the pD^* threshold are extracted from Nambu-Bethe-Salpeter wave functions on the lattice in Flavor $SU(3)$ Limit. For the simulation, we employ 3-flavor full QCD gauge configurations on a $(1.93\text{ fm})^3$ volume at $m_\pi=872\text{ MeV}$. The obtained scattering observables shows that the coupling between $\Lambda_c K^+$ and pD_s channels is weak. In addition the $\Lambda_c K^+$ interaction is attractive at low energy and stronger than the pD_s interaction.

Keywords: Lattice QCD, HAL QCD method, $\Lambda_c K^+ - pD_s$ interaction

PACS No. 12

دادن اثری معروف به اثر کندو می‌شود [۳ و ۲]. اثر کندو باعث تغییر در خواص ترمودینامیکی ماده کوارکی بوسیله‌ی تبدیل برهمکنش ضعیف در مقیاس انرژی‌های بالا به برهمکنش قوی در مقیاس انرژی پایین درون ماده می‌شود. به بیان دقیق‌تر، اثر کندو ناشی از حضور باریونهای $(\Sigma^*, \bar{\Sigma}^*)$ و مزونهای (D_s, \bar{D}) به عنوان ناخالصی‌های سنگین در ماده‌ی هسته‌ای محاسبه شده است [۴] که در آنجا مبادله‌ی اسپینی و یا ایزو اسپینی برهمکنش غیرآبلی مرتبط با اثر کندو را فراهم می‌کرده است. بنابراین در نظر گرفتن حالت‌های همیوگ بار

مقدمه

برهمکنش بین یک مزون افسون و یک نوکلئون، زمینه‌ی پژوهشی فعال برای مطالعه‌ی خاصیت‌های ماده‌ی هادرونی افسون می‌باشد. برهمکنش بین مزون و باریون از طریق نیروی باقیمانده برهمکنش قوی (نیروی هسته‌ای) منجر به به تشکیل حالت‌های مولکولی مقید و تشیدیدی معروف به حالت‌های جدید XYZ می‌شود [۱]. حضور هادرون‌های سنگین (شامل کوارک افسون و ته) به صورت ناخالصی درون ماده‌ی هسته‌ای و یا کوارکی منجر به رخداد

از طریق انرژی کل $W = \sqrt{k_c^2 + m_{c_1}^2} + \sqrt{k_c^2 + m_{c_2}^2}$ تعریف می‌شود. طبق تعریف، پتانسیل غیرموضعی $U(\vec{r}, \vec{r}')$ در δ -ماتریس کوانتوم کرومودینامیک صدق می‌کند مگر اینکه کانال جدیدی باز باشد. چون پتانسیل‌ها غیرموضعی هستند برای بکار بردن آن‌ها بسط مشتقی زیر معرفی می‌گردد،

$$U(\vec{r}, \vec{r}') = (V_{LO}(\vec{r}) + V_{NLO}(\vec{r}) + \dots) \delta(\vec{r}, \vec{r}'), \quad (3)$$

که جمله‌ی $N^n LO$ در آن $\mathcal{O}(\vec{\nabla}^n)$ است. ماتریس پتانسیلی پیش‌تاز با استفاده از توابع موج NBS به صورت زیر بدست آورده می‌شود،

$$\begin{pmatrix} V_{\Lambda_c K^+}^{w_1} & V_{\Lambda_c K^+}^{pD_s} \\ V_{pD_s}^{w_1} & V_{pD_s}^{pD_s} \end{pmatrix} = \begin{pmatrix} K_{\Lambda_c K^+}^{w_1} & K_{\Lambda_c K^+}^{w_2} \\ K_{pD_s}^{w_1} & K_{pD_s}^{w_2} \end{pmatrix} \begin{pmatrix} \Psi_{\Lambda_c K^+}^{w_1} & \Psi_{\Lambda_c K^+}^{w_2} \\ \Psi_{pD_s}^{w_1} & \Psi_{pD_s}^{w_2} \end{pmatrix}^{-1}, \quad (4)$$

که در آن $K_c^w(\vec{r}) = [E_c - (H_0)_c] \Psi_c^{(w)}(\vec{r})$ است. در کوانتوم کرومودینامیک شبکه‌ای، توابع موج NBS از تابع کرلتور چهار نقطه‌ای باریون-مزون^۳ بصورت زیر، استخراج می‌شود،

$$\begin{aligned} G_c^{c'}(\vec{r}, t-t_0) &= \sum_x \left\langle 0 | B_{c_1}(\vec{r}+\vec{x}, t) \phi_{c_2}(\vec{x}, t) \bar{J}^{c'}(t_0) | 0 \right\rangle \\ &= \sum_n \sqrt{Z_{c_1}} \sqrt{Z_{c_2}} \Psi_c^{(w_n)}(\vec{r}) e^{-w_n(t-t_0)} A_n^{c'} + \dots, \end{aligned} \quad (5)$$

که در آن $A_n^{c'} = \left\langle W_n | \bar{J}^{c'}(t_0) | 0 \right\rangle$ ثابت است و $(t_0) \bar{J}^{c'}(t_0)$ نشان‌دهنده‌ی عملکر چشممه مربوط به c' است، که حالت‌های باریونی-مزونی خلق می‌کند. علامت سه نقطه سهم‌های غیرکشسان که از کانال‌های بالاتر از C و C' ناشی می‌شود را نشان می‌دهد. در حقیقت در زمان‌های نسبتاً بزرگ، تابع کرلتور چهار نقطه‌ای توسط توابع موج NBS مربوط به حالت‌های پایه چیره می‌شود.

استخراج حالت‌های پایه سختی‌ها و پیچیدگی‌هایی دارد که در مرجع [۷] معرفی شده و روش غلبه بر این مشکل توضیح داده شده است. تابع کرلتور چهار نقطه‌ای بهنجارش باریون-مزون زیر را در نظر بگیرید،

$$R_c^{c'}(\vec{r}, t-t_0) \equiv G_c^{c'}(\vec{r}, t-t_0) / \exp[-(m_{c_1} + m_{c_2})(t-t_0)], \quad (6)$$

این ذرات یعنی مزون‌های D_s و D نیز لازم است، بدین منظور نیاز است که یک کانال اضافی جدید $D_s N \rightarrow K \Lambda_c$ در نظر گرفت [۲]. بنابرین ما برهمکنش این ذرات در این کانال با استفاده از اصل اول برهمکنش کوانتوم کرومودینامیکی بررسی خواهیم کرد [۵] (در اصل اینکار خلاصه‌ای از مرجع [۵] است که برای این کنفرانس آماده شده بود).

در اینجا ناحیه غیرکشسان برای پراکندگی pD با استفاده از روش کانال جفت‌شده هل. کیو. سی. دی. ($HALQCD$) در نظر گرفته شده است. مشاهده‌پذیرهای پراکندگی مانند جابجایی فاز $\Lambda_c K^+ - pD_s$ و $\Lambda_c K$ با تمرکز بر موج $-\delta$ برهمکنش از $\Lambda_c K^+ - pD_s$ پتانسیل‌های استخراج شده در حجم بی‌نهایت محاسبه شده‌اند.

روش کانال جفت‌شده هل. کیو. سی. دی.

در این قسمت روش کانال جفت‌شده $HALQCD$ به اختصار بیان خواهد شد، برای جزئیات بیشتر به مراجعهای [۵ و ۶] مراجعه کنید. کمیت اصلی در این روش تابع موج نامبو-سسه-مالپیتر (NBS) می‌باشد کا اطلاعات دامنه‌ی پراکندگی در رفتار مجانبی آن نهفته شده است. تابع موج NBS برهمکنش باریون-مزون در زمان اقلیدسی t با انرژی کل W به صورت زیر تعریف می‌شود،

$$\Psi_c^{(w)}(\vec{r}) e^{-Wt} = \frac{1}{\sqrt{Z_{c_1}} \sqrt{Z_{c_2}}} \sum_x \left\langle 0 | B_{c_1}(\vec{r}+\vec{x}, t) \phi_{c_2}(\vec{x}, t) | W \right\rangle, \quad (1)$$

اندیس c نشان‌دهنده‌ی کانال ($C=\Lambda_c K^+, pD_s$) و (ϕ_c) عملکر ایترپلاتر موضعی^۱ برای باریون (مزون) C_i با ضریب بهنجارش مربوطه Z_{C_i} است. $\langle W |$ توصیف کننده‌ی حالت ورودی مجانبی^۲ کوانتوم کرومودینامیک با انرژی کل W است. از تابع موج NBS پتانسیل‌های غیرموضعی مستقل با استفاده از معادلات شرودینگر جفت‌شده به صورت زیر، تعریف می‌شود،

$$[E_c - (H_0)_c] \Psi_c^{(w)}(\vec{r}) = \sum_{c'} \int d^3 \vec{r}' U_c^{c'}(\vec{r}, \vec{r}') \Psi_{c'}^{(w)}(\vec{r}'), \quad (2)$$

که در آن $(H_0)_c = -\nabla^2 / 2\mu_c$ با جرم کاهش‌یافته $E_c = k_c^2 / 2\mu_c$ و $\mu_c = m_{c_1} m_{c_2} / (m_{c_1} + m_{c_2})$ است. تکانه نسبی

^۳ baryon-meson four-point correlation function

^۱ local interpolating operator

^۲ asymptotic in-state

$q = u, d, s, c$ به ترتیب نشان‌دهنده عملکردهای کوارکی برای کوارک‌های بالا، پایین، شکفت و افسون است. ساختار طعم ذرات عبارتند از: $K^+ = u\bar{s}$ ، $\Lambda_c^+ = \frac{1}{\sqrt{6}}([cd]u + [uc]d - 2[du]c)$ ، $p = [ud]u$ و

$$D_s^+ = c\bar{s}$$

نتایج عددی

ماتریس پتانسیل کanal جفت شده $\Lambda_c K^+ - p D_s$ در موج- δ -در شکل ۱ نشان داده شده است.

جدول ۱-جرمهای مؤثر محاسبه شده هادرون‌ها در واحد MeV . عدد درون پرانتر، نشان‌دهنده خطای آماری می‌باشد.

همارون	برد برازش	جرم
π	6-10	872(3)
K	5-10	910(1)
p	7-12	1810(3)
D_s	7-11	1825(1)
Λ_c	8-12	2583(9)

طبق این شکل عناصر قطری ماتریس پتانسیل $V_{\Lambda_c K^+}^{p D_s}$ و $V_{p D_s}^{\Lambda_c K^+}$ در تمامی فاصله‌ها رفتار جاذبه‌ای بدون مغز دافعه دارند. بویژه رفتار جاذبه‌ای عنصر $V_{p D_s}^{\Lambda_c K^+}$ از عنصر $V_{\Lambda_c K^+}^{p D_s}$ در فاصله‌های کوتاه ($r < 1 fm$) بیشتر است. تمامی این پتانسیل‌ها در فاصله‌ی $r > 1 fm$ از بین می‌روند. به علاوه در شکل ۲ عناصر غیرقطری ماتریس پتانسیل تقریباً اختلاف زیادی دارند که این نشان می‌دهد خاصیت هرمیتی برهمکنش تا حدود زیادی نقض شده است.

مشاهده‌پذیرهای فیزیکی مانند جابجایی فاز با حل معادله جفت شده شرودینگر با استفاده از پتانسیل ماتریسی برازش شده بدست آمده، می‌توان حساب کرد و ماتریس- δ مربوطه از رفتار مجانبی توابع موج استخراج کرد. ما از تعریف قراردادی جابجایی فاز کanal‌های جفت شده در مرجع [۸] استفاده کرده‌ایم،

$$\begin{pmatrix} S_{\Lambda_c K^+}^{\Lambda_c K^+} & S_{\Lambda_c K^+}^{p D_s} \\ S_{p D_s}^{\Lambda_c K^+} & S_{p D_s}^{p D_s} \end{pmatrix} = \begin{pmatrix} e^{i\bar{\delta}_{\Lambda_c K^+}} & 0 \\ 0 & e^{i\bar{\delta}_{p D_s}} \end{pmatrix} \begin{pmatrix} \cos 2\bar{\epsilon} & i \sin 2\bar{\epsilon} \\ i \sin 2\bar{\epsilon} & \cos 2\bar{\epsilon} \end{pmatrix} \begin{pmatrix} e^{i\bar{\delta}_{\Lambda_c K^+}} & 0 \\ 0 & e^{i\bar{\delta}_{p D_s}} \end{pmatrix}, \quad (10)$$

در زمان‌های نسبتاً بزرگ $t - t_0$ جایی که سهم‌های غیرکشسان از کanal‌هایی غیر از $\Lambda_c K^+$ و $p D_s$ قابل چشم‌پوشی است، رابطه قبل در رابطه‌ی زیر صدق می‌کند،

$$\left[\left(\frac{1+3\delta_C^2}{8\mu_C} \right) \frac{\partial^2}{\partial t^2} - \frac{\partial}{\partial t} - (H_0)_C \right] R_C^{C'}(\vec{r}, t-t_0) = \sum_{C''} \int d^3 r' \Delta_C^{C''} U_C^{C''}(\vec{r}, \vec{r}') R_{C''}^{C'}(\vec{r}', t-t_0). \quad (V)$$

$$\delta_C = \left(m_{C_1} - m_{C_1} \right) / \left(m_{C_1} + m_{C_1} \right), \quad (\text{A})$$

$$\Delta_C^{C''} = \sqrt{\left(Z_{C_1} Z_{C_2} \right) \left(Z_{C_1} Z_{C_2} \right)} \exp \left[- \left(m_{C_1''} + m_{C_2''} - m_{C_1} - m_{C_2} \right) (t-t_0) \right].$$

سرانجام ماتریس پتانسیل تا مرتبه‌ی اول در بسط مشتقی، به صورت زیر خواهد بود،

$$\begin{pmatrix} \tilde{V}_{\Lambda_c K^+}^{\Lambda_c K^+}(\vec{r}) & \tilde{V}_{\Lambda_c K^+}^{p D_s}(\vec{r}) \\ \tilde{V}_{p D_s}^{\Lambda_c K^+}(\vec{r}) & \tilde{V}_{p D_s}^{p D_s}(\vec{r}) \end{pmatrix} = \begin{pmatrix} \mathcal{K}_{\Lambda_c K^+}^{\Lambda_c K^+}(\vec{r}, t-t_0) & \mathcal{K}_{\Lambda_c K^+}^{p D_s}(\vec{r}, t-t_0) \\ \mathcal{K}_{p D_s}^{\Lambda_c K^+}(\vec{r}, t-t_0) & \mathcal{K}_{p D_s}^{p D_s}(\vec{r}, t-t_0) \end{pmatrix} \begin{pmatrix} R_{\Lambda_c K^+}^{\Lambda_c K^+}(\vec{r}, t-t_0) & R_{\Lambda_c K^+}^{p D_s}(\vec{r}, t-t_0) \\ R_{p D_s}^{\Lambda_c K^+}(\vec{r}, t-t_0) & R_{p D_s}^{p D_s}(\vec{r}, t-t_0) \end{pmatrix}^{-1}, \quad (9)$$

که $(\mathcal{K}_C^{C'}(\vec{r}, t-t_0)) \tilde{V}_C^{C'}(\vec{r}) = \Delta_C^{C'} V_C^{C'}(\vec{r})$ معادل با سمت راست رابطه‌ی (V) است.

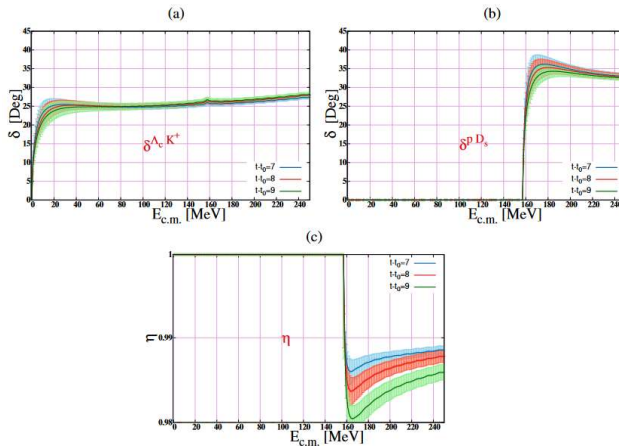
مشخصات شبکه

در شبیه‌سازی از پیکربندی‌های پیمانه‌ای QCD کامل با سه-طعم که توسط گروه $CP-PACS$ و $JLQCD$ [۸] بهمراه کنش کوارکی $\beta = 6/g^2 = 1.83$ در $\mathcal{O}(a)$ در $a=0.1209$ تولید شده، استفاده شده است. β متناظر با طول شبکه $L^3 \times T = 16^3 \times 32$ می‌باشد. هاپینگ پارامترهای $\kappa_{u,d} = \kappa_s = 0.13710$ مربوطه با تقارنی $SU(3)$ طعم عبارتند از $\kappa_{u,d} = 0.12240$ برای کوارک افسون و $\kappa_s = 0.12240$ برای کوارک افسون.

عملکردهای کرنلور موضعی برای باریون‌های p و Λ_c بصورت $B_\alpha(x) = \varepsilon_{ijk} [q_i'(x) C \gamma_5 q_j(x)] q_{k,\alpha}(x)$ و برای مزون به صورت $x = (\vec{x}, t)$ در نظر گرفته شده است. در اینجا $\phi(x) = \bar{q}(x) \gamma_5 q(x)$ ، و i, j, k اندیس‌های رنگ هستند. C ماتریس همیوغ بار است، و

⁴ hopping parameters

حساب کرد. اختلاف جرم حدود 150 MeV بین این دو کانال می‌تواند این اثر مستقل بودن را تا حدودی توجیح کند. بنظر نتیجه‌گیری قطعی تر باشد در آینده همین محاسبات با در جرم فیزیکی مزون پی انجام شود و همچنین سهم کانال‌های بالاتر مثل pD_s^* را نیز در نظر گرفت.

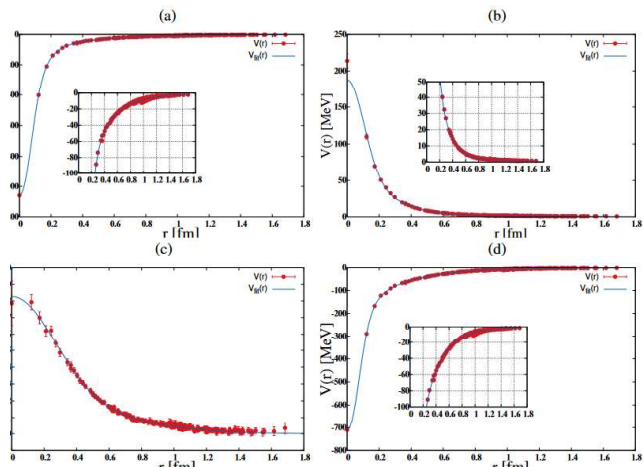


شکل ۲- جابجایی فاز برای $\Lambda_c K^+$ در پنل (a) و برای pD_s در پنل (b) و همچنین ضریب اینالاستیستی در پنل (c) نشان داده شده است. در شکل سایه‌ها نشان‌دهندهٔ خطاهای آماری هستند.

مرجع‌ها

- [۱] N. Brambilla et al., "The XYZ states: Experimental and theoretical status and perspectives", *Phys. Rep.* **873**, 1 (2020).
- [۲] S. Yasui and K. Sudoh, "Heavy-quark dynamics for charm and bottom flavor on the fermi surface at zero temperature", *Phys. Rev. C* **88**, 015201 (2013).
- [۳] D. Suenaga et al., "Heavy-quark spin polarization induced by the kondo effect in a magnetic field", *Phys. Rev. D* **105**, 074028 (2022).
- [۴] Y. Yamaguchi, S. Yasui, and A. Hosaka, "Open charm and bottom meson-nucleon potentials'la the nuclear force", *Phys. Rev. D* **106**, 094001 (2022).
- [۵] F. Etminan et al., "Interaction in Flavor SU(3) Limit of Lattice QCD", [arXiv-2311.02569](https://arxiv.org/abs/2311.02569) (2023).
- [۶] S. Aoki et al. "Construction of energy-independent potentials above inelastic thresholds in quantum field theories", *Phys. Rev. D* **87**, 034512 (2013).
- [۷] N. Ishii et al., "Hadron-hadron interactions from imaginary-time Nambu-Bethe-Salpeter wave function on the lattice", *Phys. Lett. B* **712**, 437 (2012).
- [۸] CP-PACS/JLQCD Collaborations, Available at <https://www.jdg.org/jdg-data/CP-PACS+JLQCDconfig.html>.
- [۹] H. P. Stapp, T. J. Ypsilantis, and N. Metropolis, "Phase-Shift Analysis of 310-Mev Proton-Proton Scattering Experiments", *Phys. Rev.* **105**, 302 (1957).

که $\bar{\epsilon}$ جابجایی فاز متوسط و $\bar{\epsilon}$ زاویهٔ ترکیب نامیده می‌شود.



شکل ۱- عناصر ماتریس پتانسیل. شکل (a,b,c) و (d) به ترتیب پتانسیلهای $pD_s \rightarrow pD_s$ و $\Lambda_c K^+ \rightarrow \Lambda_c K^+$ ، $\Lambda_c K^+ \rightarrow pD_s$ ، $pD_s \rightarrow \Lambda_c K^+$ نشان دهندهٔ خط پیوسته حاصل تابع برآورش شده است.

در شکل ۲ جابجایی فاز موج- S مربوط به (a)، $\Lambda_c K^+$ و در پنل (c) اینالاستیستی^۵ پراکندگی که طبق pD_s تعريف می‌شود بر حسب انرژی آستانه $\eta = |S_{\Lambda_c K^+}| = |\cos 2\bar{\epsilon}|$ در زمان $t=t_0=7$ (آبی)، 8 (قرمز) و 9 (سبز) نشان داده شده است.

نتیجه‌گیری

از شکل ۱ دیده می‌شود که خاصیت هرمیتی تا حدود زیادی نقض شده است چرا که عناصرهای غیرقطري ماتریس پتانسیل $\left(\Lambda_c K^+ \rightarrow pD_s, pD_s \rightarrow \Lambda_c K^+\right)$ با هم خیلی متفاوتند. طبق شکل ۲ جابجایی فاز برای هر دو عنصر قطري برهمکنش از نوع جاذبه است ولی آنقدر قوی نیست که حالت مقید یا تشدیدی تشکیل شود. همچنین از پنل (c) در همین شکل ۲ دیده می‌شود که اینالاستیستی تقریباً ناچیز است این بدان معنی است که احتمال گذار بین $\Lambda_c K^+$ و pD_s کوچک است و می‌توان با تقریب خوبی این دو کانال را به صورت مستقل در نظر گرفت، یا به عبارت دیگر کمیت‌های پراکندگی را برای هر کانال به طور مستقل می‌توان

⁵ Inelasticity

تعیین پارامتر ناجابجایی در فرایند تولید هادرتون از نابودی زوج

اکرامی نسب، وحید؛ موسوی نژاد، سید محمد

دانشکده فیزیک دانشگاه یزد، یزد

چکیده

تاکنون فرایندهای متفاوتی در مدل استاندارد ناجابجایی مطالعه شده و حدود مختلفی برای پارامتر ناجابجایی تعیین شده است. در این مقاله، برای اولین بار، به بررسی فرایند تولید هادرتون از نابودی زوج در مدل استاندارد ناجابجایی تا مرتبه چهارم پارامتر ناجابجایی ($\Theta^{\mu\nu}$) خواهیم پرداخت و با داشتن داده‌های آزمایشگاهی حد پایینی برای مقیاس ناجابجایی (Λ_{NC}) تعیین خواهیم کرد.

Determination of noncommutative parameter through pair annihilation process

Ekrami Nasab, Vahid ;Moosavi Nejad, S. Mohammad

Faculty of physics, Yazd University, Yazd

Abstract

Different processes have been yet studied in the noncommutative standard model (NCSM) and various limits on the scale of noncommutative parameter has been determined. In the present work we, for the first time, investigate the hadron production process through pair annihilation in the NCSM to the second-order of noncommutative parameter ($\Theta^{\mu\nu}$) and depend on the experimental data we determine a low limit for the NC scale.

$$[x^\mu, x^\nu] = i\Theta^{\mu\nu} \quad (1)$$

بیان می‌شود که در آن $\Theta^{\mu\nu}$ تانسوری حقیقی و پادتقارن بوده و دارای بعد مربع طول است و عموماً به صورت $\Theta^{\mu\nu} = \frac{c^{\mu\nu}}{\Lambda_{NC}}$ بیان می‌شود. در اینجا پارامتر Λ_{NC} مشخصه مقیاس انرژی ناجابجایی بوده و تانسور $C^{\mu\nu}$ همان خواص تانسور $\Theta^{\mu\nu}$ را دارد. با در نظر گرفتن مطالعات تئوری و تجربی تاکنون محدوده‌هایی برای پارامتر Λ_{NC} تعیین شده است. در این کار قصد داریم برای اولین بار با در نظر گرفتن داده‌های آزمایشگاهی مربوط به سطح مقطع پراکندگی الکترون-پوزیترون در تولید هادرتون حدی برای این پارامتر در پایین‌ترین مرتبه اختلال تعیین نماییم.

فضای ناجابجایی

به طور مرسوم، در نظریه میدان‌های کوانتومی برای رفتن از فضای معمول به فضای ناجابجایی همه میدان‌های معمولی را با میدان‌های ناجابجایی و همچنین ضربهای معمول میدان را با ضرب ستاره‌ای * (ضرب مویال-ویل) جایگزین می‌کنیم [۱]. بازنویسی

مقدمه

با وجود موقیت‌های چشم‌گیر مدل استاندارد، هنوز مسائل زیادی مانند منشاء ماده و انرژی تاریک، تقارن ماده-پادماده و غیره وجود دارد که این مدل جواب قانع کننده‌ای برای آنها ندارد و لذا مدل استاندارد مدل کامل یا به عبارتی مدل همه چیز نیست. در دهه‌های گذشته ایده‌ها و نظریه‌های متفاوتی برای حل این نارسانی‌ها معرفی شده‌اند که شامل ارائه مدل‌های جدید و یا اصلاح نظریه‌های موجود بوده است. در میان ایده‌های متفاوت، ایده ناجابجایی فضا-زمان مورد توجه زیادی قرار گرفته است که در این پژوهش به آن خواهیم پرداخت.

یکی از اصول بنیادی در مکانیک کوانتمی معمول آن است که مختصات فضا-زمان با یکدیگر جابجا می‌شوند ($[x^\mu, x^\nu] = 0$) اما ایده‌ی امکان عدم جابجایی مختصات فضا-زمان اولین بار توسط هایزنبرگ مطرح شد و در ادامه، نظریه‌ی فضا-زمان ناجابجایی وارد عرصه فیزیک شد. مطابق با این نظریه، رابطه‌ی جابجایی بین مختصات فضا-زمان بصورت:

آزمایشگاهی هادرتونها هستند. از آنجایی که در حال حاضر قادر به توصیف رژیم غیراختلالی نظریه QCD نیستیم لذا جهت استفاده از QCD در برهم کنش‌های هادرتونی به یک روش کلی جهت جداسازی بخش اختلالی و غیراختلالی فرآیند هادرتونی نیاز داریم. این جداسازی توسط قضیه جداسازی امکان‌پذیر است [۵]. از آنجاییکه هدف ما مطالعه فرایند نابودی زوج جهت تولید هادرتون است به مطالعه جزئیات فرایند:

$$e^- e^+ \rightarrow q\bar{q} \rightarrow M + Jets \quad (4)$$

خواهیم پرداخت که در آن M هادرتون خروجی مشاهده شده است. فرایند (4) شامل دو بخش اختلالی و غیراختلالی است. بخش اختلالی آن شامل تولید زوج کوارک-پادکوارک از نابودی الکترون-پوزیترون است که سطح مقطع مربوطه (ضرایب ویلسون) بطور تحلیلی در نظریه الکتروضعیف اختلالی قابل محاسبه است. امروزه این نتایج تا مرتبه سوم اختلال محاسبه شده‌اند [۶]. اما بخش دوم فرآیند که شامل تولید هادرتون از کوارک (یا پادکوارک) است، بخش غیراختلالی فرآیند می‌باشد. مطابق با قضیه جداسازی برای سطح مقطع دیفرانسیلی فرایند (4) داریم:

$$\frac{d\sigma_M}{dz} = \sum_i \int_{z}^1 \frac{dy}{y} \frac{d\sigma^{e^- e^+ \rightarrow q\bar{q}}}{dy}(y, \mu_R, \mu_F) D_i^M(\frac{z}{y}, \mu_f) \quad (5)$$

که در آن $i = g, u, \bar{u}, \dots, b, \bar{b}$ بیانگر پارتون‌های فعال در فرایند هستند که تعداد آنها به انرژی برخورد وابسته است. همچنین در دستگاه مرکز جرم، متغیرهای $\sqrt{s} = 2E_M$ و $y = 2E_i/\sqrt{s}$ ، به ترتیب، بیانگر کسری از انرژی برخورد (\sqrt{s}) هستند که توسط هادرتون M و پارتون i حمل می‌شوند ($0 \leq z \leq 1$). در رابطه (5)، پارامترهای μ_R و μ_F مقیاس‌های بازبینجارش و جداسازی هستند و توابع $D_i^M(x, \mu_f)$ بیانگر توابع ترکش غیراختلالی هستند که حاوی اطلاعاتی در مورد چگالی احتمال تولید هادرتون M از پارتون اولیه i هستند. همچنین $x = z/y$ به کسری از انرژی پارتون اولیه اشاره دارد که توسط هادرتون نهایی حمل می‌شود ($x = E_M/E_i$). در رابطه (5)، ضرایب ویلسون $d\hat{\sigma}/dy$ بیانگر سطح مقطع دیفرانسیلی فرایند (4) در سطح پارتونی هستند. از آن جایی که محاسبات خود را به پایین‌ترین مرتبه اختلال محدود می‌کنیم، برای فرایند:

نظریه‌ی میدان در فضا-زمان ناجابجایی ویژگی‌های جدیدی از جمله حضور فرایندهایی که در مدل استاندارد معمولی غیرمجاز هستند و همچنین تصحیح راس‌های موجود در مدل استاندارد را به دنبال دارد. به عنوان یک مثال کاربردی در کارمان، عامل راس فاینمن در نظریه QED برای راس $f(p_{in}) - f(p_{out}) - \gamma(k) - O(\Theta^*)$ تا مرتبه $O(\Theta^*)$ به صورت زیر اصلاح می‌شود [۲]:

$$ie\gamma_\mu \rightarrow ie\{\gamma_\mu + V_\mu^{(0)}(p_{in}, k, p_{out}) + V_\mu^{(r)}(p_{in}, k, p_{out}) + O(\Theta^*)\} \quad (2)$$

که در آن:

$$V_\mu^{(0)} = \frac{i}{2} \{(k\Theta)_\mu p_{in} - (p_{in}\Theta)_\mu k - (k \cdot \Theta \cdot p_{in})\gamma_\mu\} \quad (3)$$

$$V_\mu^{(r)} = \frac{1}{\lambda} (k \cdot \Theta \cdot p_{in}) \{(k\Theta)_\mu p_{in} - (p_{in}\Theta)_\mu k - (k \cdot \Theta \cdot p_{in})\gamma_\mu\}$$

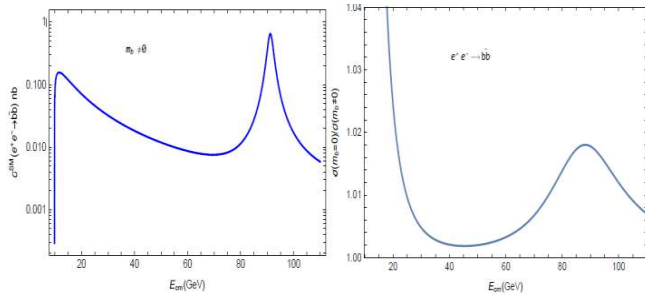
در اینجا p_{in} و p_{out} تکانه‌های ورودی و خروجی فرمیون‌ها هستند که در قانون پایستگی $p_{in} + k = p_{out}$ صدق می‌کنند. همچنین عامل راس فاینمن در برهمکنش‌های ضعیف $-f(p_{in})$ با جایگزینی $\frac{-g_W}{2\cos\theta_W} e \rightarrow \gamma_\mu(g_V - Z(k))$ در رابطه فوق به دست می‌آیند که در اینجا $g_A = -\frac{1}{2}$ ، $\sin^2\theta_W = 0.23122 \pm 0.00015$. ضمناً، عامل جفت شدگی ضعیف با ثابت فرمی بصورت $\gamma_W = 4\sqrt{m_W} G_F$ مرتبط است [۳]. همچنین از تعاریف $A \cdot \Theta_\mu = A^\nu \cdot \Theta_{\nu\mu}$ و $A \cdot \Theta \cdot B = A_\mu \cdot \Theta^{\mu\nu} \cdot B_\nu = -B \cdot \Theta \cdot A$ در رابطه (3) استفاده کردہایم.

در ادامه، به مطالعه فرایند نابودی زوج در مدل استاندارد ناجابجایی به کمک رهیافت سایبرگ-سویتن [۴] می‌پردازیم.

تولید هادرتون از نابودی زوج در مدل استاندارد

یکی از مباحث مهم در پدیده‌شناسی فیزیک ذرات شناسایی روش‌هایی است که در آن پارتون‌ها در برهمکنش‌های اصلی به صورت هادرتون نهایی قابل مشاهده در می‌آیند. این پدیده در نظریه دینامیک کواتسومی رنگ (QCD) به فرایند هادرتونی شدن^۱ معروف است. نظریه QCD بر حسب کوارک‌ها و گلوئون‌ها فرمولیندی شده است در حالی که مشاهده‌پذیرهای

¹ Hadronization process



شکل ۲: نمودار چپ: $e^-e^+ \rightarrow b\bar{b}$ به ازای $m_b = 0$ در مقیاس لگاریتمی،
نمودار راست: نسبت $\frac{\sigma_{SM}^{SM}(m_b=0)}{\sigma_{SM}^{SM}(m_b \neq 0)}$

تصحیحات ناجابجایی

جهت اعمال تصحیحات ناشی از جبر ناجابجایی، با در نظر گرفتن راس فرمیونی اصلاح شده (۲) سطح مقطع تولید هادرتون (در واحد GeV^{-2}) به صورت زیر به دست می آید:

$$\sigma_0^{NCSM}(e^-e^{+TM} q\bar{q}) = \frac{N_c e_q^2}{3} \sqrt{1 - \frac{4m_q^2}{s}} \frac{\alpha^2 G_F^2 m_q^4}{(s - m_z^2)^2 + m_z^2 \Gamma_z^2} \\ (1 + \frac{s^4}{5120 \Lambda^8}) \left(1 + \frac{s^4}{9216 \Lambda^8} \right) \times \frac{(g_A^2 + g_V^2)^2}{2\pi\alpha^2} [3m_q^2 \left(\frac{g_V^2 - g_A^2}{g_A^2 + g_V^2} \right) \\ + s - m_q^2] + (1 + \frac{2m_q^2}{s}) \left[\frac{4\pi}{sG_F^2 m_Z^4} \left((s - m_z^2)^2 + m_z^2 \Gamma_z^2 \right) - \frac{2\sqrt{2}g_V^2}{\alpha G_F} (1 - \frac{s}{m_z^2}) \right]$$

معادله تحلیلی فوق برای اولین بار محاسبه شده است و اگر $m_q = 0$ در نظر گرفته شود، خواهیم داشت:

$$\sigma^{NCSM}(e^-e^{+TM} q\bar{q}) = \frac{N_c e_q^2 \alpha^2}{\gamma} \frac{G_F^2 m_z^4}{(s - m_z^2)^2 + m_z^2 \Gamma_z^2} (1 + \frac{s^4}{5120 \Lambda^8}) \left(1 + \frac{s^4}{9216 \Lambda^8} \right) \times \\ \left\{ \frac{(g_A^2 + g_V^2)^2 s}{2\pi\alpha^2} + \left[\frac{4\pi}{sG_F^2 m_Z^4} \left((s - m_z^2)^2 + m_z^2 \Gamma_z^2 \right) - \frac{2\sqrt{2}g_V^2}{\alpha G_F} (1 - \frac{s}{m_z^2}) \right] \right\}$$

که نتیجه فوق در تطبیق کامل با سطح مقطع محاسبه شده در مدل استاندارد ناجابجایی در مرجع [۳] برای پراکندگی $e^-e^{+TM} \mu^- \mu^+$ است اگر $N_c = 1$ و $e_q^2 = 1$ در نظر گرفته شود. با داشتن معادله (۹) می توانیم سطح مقطع دیفرانسیلی در پایین ترین مرتبه را به صورت زیر بنویسیم:

$$\frac{d}{dy} \sigma^{NCSM}(e^-e^{+TM} q\bar{q}) = \sigma_0^{NCSM} \delta(1-y) \quad (11)$$

با جایگذاری رابطه فوق در رابطه (۵) به معادله زیر می رسیم:

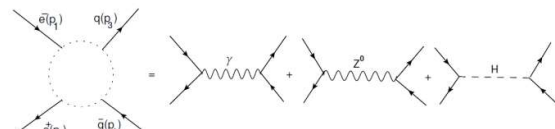
$$\frac{d\sigma_M}{dz}(e^-e^{+TM} q\bar{q} \rightarrow M + jets) = 2\sigma_0^{NCSM} \sum_q e_q^r D_q^M(z, \mu_f) \quad (12)$$

که فرض $D_q^M(z, \mu_f) = D_{\bar{q}}^{\bar{M}}(z, \mu_f)$ در نظر گرفته شده است.

محصولات ابتدایی فرایند هادرتونی شدن کوارک های باتم، مزون-های $B_s^0 B^+$ و همیوغ بارهایشان هستند که از ترکیب

$$e^-(p_1)e^+(p_2) \rightarrow q(p_3)\bar{q}(p_4) \quad (6)$$

نمودارهای فاینمن مربوطه در شکل ۱ نشان داده شده اند.



شکل ۱: نمودار فاینمن نابودی زوج در پایین ترین مرتبه اختلال

سطح مقطع دیفرانسیلی فرایند (۶) عبارت است از:

$$d\sigma^{LO} = \frac{|M|^2}{64\pi^2 s} \frac{p_3}{p_1} d\Omega \Rightarrow \\ \sigma_0^{SM} \equiv \sigma^{LO} = \frac{\sqrt{1 - \frac{4m_q^2}{s}}}{64\pi^2 s} \int_0^{2\pi} d\phi \int_{-1}^1 |M|^2 d\cos\theta \quad (7)$$

که θ و ϕ زوایای پراکندگی هستند و دامنه بصورت $M = M_\gamma + M_Z + M_H$ (شکل ۱) نوشته می شود. به سادگی می توان نشان داد که نسبت $\frac{M_Z}{M_H}$ از مرتبه $\frac{m_e m_q (s - M_Z^2)}{m_Z^2 (s - m_H^2)}$ است. اگر انرژی برخورد را در محدوده $\sqrt{s} \leq m_Z$ در نظر بگیریم می توان از سهم نمودار هیگز صرف نظر کرد، لذا سطح مقطع کل برابر است با:

$$\sigma_0^{SM}(e^-e^{+TM} q\bar{q}) = \frac{16\pi N_c e_q^2}{3} \sqrt{1 - \frac{4m_q^2}{s}} \left(\frac{\alpha^2}{4s} \right) \left\{ 1 + \frac{4m_q^2}{s} + \frac{(g_A^2 + g_V^2)^2}{8\pi^2\alpha^2} \right. \\ \times \frac{s^2 G_F^2 m_z^4}{(s - m_z^2)^2 + m_z^2 \Gamma_z^2} \left. \times \left[1 - \frac{4m_q^2}{s} \left(\frac{g_A^2 - g_V^2}{g_A^2 + g_V^2} \right) \right] + \frac{g_V^2}{\sqrt{\pi}\alpha} \frac{G_F s m_z^2 (s - m_z^2)}{(s - m_z^2)^2 + m_z^2 \Gamma_z^2} \left[1 + \frac{4m_q^2}{s} \right] \right\} \quad (8)$$

که در رابطه فوق $N_c = 3$ تعداد رنگ کوارکها و α ثابت ساختار ریز است. در بسیاری از محاسبات برای سادگی از جرم فرمیون ها صرف نظر می شود. در شکل ۲ سطح مقطع $e^-e^{+TM} b\bar{b}$ را به ازای $m_b = 4.9 GeV$ رسم کرده ایم. جهت مقایسه، هم چنین نسبت

$$\frac{\sigma^{SM}(m_b = 0)}{\sigma^{SM}(m_b \neq 0)} \quad \text{نیز رسم شده است. همان طور که دیده می شود در نواحی } \sqrt{s} = m_Z \text{ سطح مقطع به اندازه ۱.۸ درصد اصلاح می شود. لذا جهت محاسبات دقیق تر، در این کار از جرم کوارک } b \text{ صرف نظر نخواهیم کرد.}$$

در ادامه، به محاسبه دامنه گذار در نظریه ناجابجایی خواهیم پرداخت.

نتیجه گیری

در سالیان اخیر، این ایده که در محدوده انرژی های بالا (از مرتبه تراکترون ولت) مختصات فضای زمان جایجا نمی شوند توجه زیادی را به خود جلب کرده است. برای تائید این مدعای لازم است که کلیه فرایند های ممکن که قابلیت راستی آزمایی در شتاب دهنده های کنونی و نسل آینده را دارند مورد مطالعه و بررسی قرار گیرند. به همین جهت در این کار در چارچوب مدل استاندارد ناجابجایی به مطالعه فرایند $q\bar{q} \rightarrow (Z, \gamma) \rightarrow e^-e^+$ در مرتبه اول اختلال پرداختیم و با در نظر گرفتنتابع ترکش $D_b^B(z, \mu_f)$ در چارچوب مدل استاندارد ناجابجایی سطح مقطع تولید مزون از نابودی زوج را محاسبه کردیم. با مقایسه نتیجه تئوری با داده های گروه های Belle و OPAL، مقدار کمینه $\Lambda_{NC} > 1.10 \text{ TeV}$ را برای پارامتر ناجابجایی بدست آوردیم که همخوانی خوبی با نتایج حاصله از سایر محاسبات که فرایند های متفاوتی را بررسی کرده اند، دارد.

مراجع

- [۱] M.R. Douglas and N. Nekrasov, Rev. Mod. Phys. ۷۳, ۹۷۷ (۲۰۰۱).
- [۲] A. Alboteanu et al., Phys. Rev. D ۷۶, ۱۰۰۱۸ (۲۰۰۷).
- [۳] A. Prakash, A. Mitra and P. K. Das, $e^-e^+ \rightarrow \mu^-\mu^+$ scattering in the noncommutative standard model, Phys. Rev. D ۸۲ (۲۰۱۰), ۰۵۰۲۰.
- [۴] N. Seiberg and E. Witten, J. High Energy Phys. ۰۹ (۱۹۹۹) ۰۳۲.
- [۵] J.C. Collins, Phys. Rev. D ۵۸, ۰۹۴۰۰۲ (۱۹۹۸).
- [۶] A. Mitov and S. Moch, Nucl. Phys. B ۷۵۱, ۱۸ (۲۰۰۶).
- [۷] S. M. Moosavi Nejad and E. Tajik, Heavy quark fragmentation function in the noncommutative Standard Model, Eur. Phys. J. A ۵۴ (۲۰۱۸) no. ۱۰, ۱۷۴.
- [۸] G. Abbiendi et al. [OPAL], Inclusive analysis of the b quark fragmentation function in Z decays at LEP, Eur. Phys. J.C ۲۹ (۲۰۰۳), ۴۶۳-۴۷۸
- [۹] R. Mizuk et al. [Belle], Measurement of the energy dependence of the $e^-e^+, B\bar{B}, B\bar{B}^*, B^*\bar{B}^*$ exclusive cross sections, JHEP ۰۶ (۲۰۲۱), ۱۳۷
- [۱۰] K. G. Chetyrkin, A. L. Kataev and F. V. Tkachov, Higher Order Corrections to Sigma-t ($e^+e^- \rightarrow$ Hadrons) in Quantum Chromodynamics, Phys. Lett. B ۸۵ (۱۹۷۹), ۲۷۷-۲۷۹

کوارک b یا \bar{b} با یکی از کوارک های سبک بوجود می آیند. از آن جایی که بیشترین احتمال تولید یک هادرон خاص از ترکش کوارک سازنده آن ناشی می شود لذا در فرایند $e^-e^+ \rightarrow BX$ سهم اصلی ناشی از گذار $B \rightarrow b$ است، پس رابطه (12) برای فرایند $e^-e^+ \rightarrow q\bar{q} \rightarrow B + Jets$ به شکل:

$$\frac{d\sigma_B}{dz}(e^-e^{+\text{TM}} B + X) \approx 2\sigma_0^{\text{NCSM}} e_b^* D_b^B(z, \mu_f) \quad (13)$$

تقریب زده می شود که $e_b = -\frac{1}{\pi}$ است. برای سطح مقطع کل $e^-e^+ \rightarrow BX$ داریم:

$$\sigma_B(e^-e^{+\text{TM}} BX) \approx \frac{2}{9}\sigma_0^{\text{NCSM}} Br(b \rightarrow B) \quad (14)$$

که عبارت $Br(b \rightarrow B) = \int_0^1 dz D_b^B(z, \mu_f)$ معرف کسر انشعاب کوارک باتم است. در مرجع [۷] تابع ترکش $B \rightarrow B$ در مرتبه اول در مدل استاندارد و هم چنین مدل استاندارد ناجابجایی محاسبه شده است. با استفاده از داده های تجربی سطح مقطع تولید مزون-های B در نابودی زوج که توسط گروه های Belle و OPAL ارائه شده است [۸-۹]، می توانیم مقدار پارامتر ناجابجایی Λ_{NC} را که به عنوان پارامتری آزاد در معادله (۹) ظاهر شده است، برآورد کنیم. برای اندازه گیری این پارامتر سطح مقطع مقطع تولید هادرон در دو مقیاس انرژی $E_{com} = m_z$ و $E_{com} = 10.52 \text{ GeV}$ را در نظر می گیریم که به ازای این مقادیر سطح مقاطع بیشینه است (شکل ۲). در محدوده $E_{com} = 10.52 \text{ GeV}$ سطح مقطع 3.27 nb گزارش شده است که با در نظر گرفتن معادله (۱۴) و هم چنین تبدیل $\Lambda_{NC} = 10 / 389379 \times 10^{-6} \text{ nb}$ برای پارامتر ناجابجایی مقدار $E_{com} = 74.6 \text{ GeV}$ را بدست می آوریم. به ازای انرژی برخوردهای m_z که برای آن سطح مقطع 41.7 nb گزارش شده است، $\Lambda_{NC} = 10.72 \text{ GeV}$ بدست می آید. چون سطح مقطع هادرونی در تقریب های مراتب بالاتر به صورت زیر برآورد می شود

:[۱۰]

$$\frac{\sigma_{tot}}{\sigma_0}(e^-e^{+\text{TM}} q\bar{q}) \approx 1 + \frac{\alpha_s}{\pi} + 1.41\alpha_s^2 + \dots \quad (15)$$

پس با در نظر گرفتن سهم های تابشی مراتب بالاتر اختلال به حد $\Lambda_{NC} > 1.10 \text{ TeV}$ برای پارامتر ناجابجایی می رسمیم.

محاسبه نرخ واپاشی نیمه‌لپتونی باریون‌های سنگین با تم به چارم

اکرامی نسب، وحید؛ موسوی نژاد، سید محمد؛ آرمات، آیدا

دانشگاه فیزیک، دانشگاه یزد، یزد

چکیده

واپاشی نیمه‌لپتونی باریون‌های سنگین از جمله موضوعاتی است که به کمک آن می‌توان ساختار داخلی هادرон‌های سنگین را مطالعه نمود. برای مطالعه واپاشی نیمه‌لپتونی باریون‌های سنگین از مدل کوارک-دی کوارک که رهیافت مناسبی برای مطالعه سیستم‌های بیش از دو جسم است، استفاده می‌کنیم. در این مدل، ساختار باریون‌ها به جای سه کوارک معمول به صورت زوج کوارک-دی کوارک در نظر گرفته می‌شود. به کمک این مدل ابتدا تابع موج و ویژه مقular انرژی حالت پایه را از طریق معادله پله-سالپیتر تعیین می‌کنیم و سپس واپاشی نیمه‌لپتونی باریون‌های سنگین را مطالعه می‌کنیم. نتایج را با نتایج سایر گروه‌های معتبر مقایسه خواهیم کرد.

Calculation of semileptonic decay rate of bottom to charmed heavy baryons

Ekraminasab, Vahid; Moosavi Nejad, S. Mohammad; Armat, Aida

Faculty of Physics, Yazd University, Yazd

Abstract

The semi-leptonic decay of heavy baryons is one of the subjects that can be used to study the internal structure of hadrons containing a heavy quark. To study the semileptonic decay, we use the quark-diquark model suitable for systems including more than two objects. Through this model, we consider a pair of quark-diquark in the structure of baryons instead of three constituent quarks. Using this model, we first determine the wave function and eigenvalues of bound states through the Bethe-Salpeter equation and then study the semileptonic decay of heavy baryons. Our results will be compared with the ones from other groups.

PACS No.13

کوارک تعیین شده و می‌شوند [۱]. بررسی خواص و ویژگی‌های هادرون‌های حاوی کوارک‌های سنگین برای درک دینامیک QCD در مقیاس هادرونیک بسیار جالب است. برخی از این ویژگی‌ها عبارتند از انرژی، جرم، نرخ واپاشی و گشتاور مغناطیسی. به عنوان مثال در مرجع [۲] جرم حالات برانگیخته باریون‌ها در سیستم کوارک-دی کوارک مطالعه شده است و در مرجع [۳] گشتاور مغناطیسی باریون‌ها در مدل کوارکی با در نظر گرفتن سیستم سه جسمی به دست آمده است. ما در این کار، به مطالعه واپاشی نیمه‌لپتونی باریون‌های سنگین پرداخته و نرخ واپاشی را تعیین می‌کنیم. در سال‌های اخیر پیشرفت‌های تجربی قابل توجهی در مطالعه واپاشی ضعیف باریون‌های سنگین رخ داده است. در این شرایط، واپاشی نیمه‌لپتونی باریون‌ها دارای یک عامل شکل بندی^۱

مقدمه

مطالعه باریون‌ها به عنوان هادرونهایی با ساختار سه طعم کوارک بسیار پیچیده‌تر از مزون‌ها است. تاکنون پیشرفت‌های تجربی قابل توجهی در مطالعه طیف سنجی باریون‌ها صورت گرفته است [۱]. تا سال ۲۰۰۴، تعداد باریون‌های چارم و باتم مشاهده شده تقریباً دو برابر شد و اکنون تقریباً تعداد مزون‌ها و باریون‌های چارم و باتم شناخته شده برابر است. مشاهدات باریون‌های چارم عمدها در آشکارسازهایی همچون LHCb انجام شد، در حالی که باریون‌های چارم و باتم به دلیل ترکیب کوارک‌های سبک و سنگین یک آزمایشگاه منحصر به فرد برای مطالعه برهم کنشهای قوی شناخته می‌شوند. بیشتر حالت‌های برانگیخته باریون‌های سنگین به طور تجربی شناخته نشده‌اند و معمولاً براساس پیش‌بینی‌های مدل

Form factor ^۱

برای محاسبه نرخ واپاشی نیمه لپتونی نیاز داریم که تابع موج باریونها را داشته باشیم. برای اینکار از معادله دیفرانسیلی نیمه نسبیتی بشه-سالپیتر استفاده می‌کنیم. این معادله موج، در مختصات کروی به صورت زیر بیان می‌شود [۷]:

$$\begin{aligned} \psi''(r) + \frac{2}{r}\psi'(r) + \left\{ -\frac{\ell(1+\ell)}{r^2} - 2\mu V(r) + 2\mu E_{n,\ell} \right. \\ \left. + \frac{\mu [E_{n,\ell} - V(r)]^2 (m_1 m_2 - 3\mu^2)(m_1 + m_2)}{m_1^2 m_2^2} \right\} \psi(r) = 0. \quad (4) \end{aligned}$$

که در آن $E_{n,\ell}$ ویژه مقدار انرژی، $\psi(r)$ تابع موج و m_1 و m_2 جرم کوارک و دی کوارک موجود در باریون می‌باشند (دی کوراک، سیستم دو کوارکی رنگی است). همچنین $V(r)$ پتانسیل برهمن-یوکاوا در نظر می‌گیریم [۸]:

$$V(r) = -\zeta \frac{e^{-wr}}{r} \quad (5)$$

که در آن: $w = 10^{-3} \text{ fm}^{-1}$ و $\zeta = 0.7 \text{ MeV.fm}$

برای حل معادله دیفرانسیل (۴)، تابع موج را به صورت $\psi(r) = \chi_{nl}(r)/r$ بازتعریف می‌کنیم و از تقریب خوب $1/r^2 \approx 4w^2 e^{-2wr} (1-e^{-2wr})^{-2}$ استفاده می‌کنیم. با صرفنظر از جزئیات، داریم:

$$\begin{aligned} \chi_{nl}''(r) + \left[-\frac{4l(l+1)w^2 e^{-2wr}}{(1-e^{-2wr})^2} + \left(\frac{E}{\alpha} + \mu \right) \frac{4\zeta w \eta e^{-2wr}}{1-e^{-2wr}} \right. \\ \left. + \frac{\zeta^2}{\alpha} \frac{4w^2 e^{-4wr}}{(1-e^{-2wr})^2} + 2\mu E + \frac{E^2}{\alpha} \right] \chi_{nl}(r) = 0 \quad (6) \end{aligned}$$

برای حل معادله فوق، از تغییر متغیر $y = (1-e^{-2wr})^{-1}$ استفاده می‌کنیم. اکنون داریم:

$$\begin{aligned} \chi_{nl}''(y) + \frac{(1-2y)}{(1-y)y} \chi_{nl}'(y) + \frac{1}{(1-y)^2 y^2} \\ \times \left[-\left(l(l+1) - \frac{\zeta^2}{\alpha} \right) y^2 + \left(l(l+1) - \frac{2\zeta^2}{\alpha} + \left(\frac{E}{\alpha} + \mu \right) \frac{\zeta}{\eta} \right) y \right. \\ \left. - \left(\frac{E}{\alpha} + \mu \right) \frac{\zeta}{\eta} - \frac{\zeta^2}{\alpha} - \frac{1}{4\eta^2} (2\mu E + \frac{E^2}{\alpha}) \right] \chi_{nl}(y) = 0 \quad (7) \end{aligned}$$

شکل معادله بالا به گونه‌ای است که می‌توان از روش تحلیلی NU برای حل آن استفاده کرد. روش NU به تفصیل در مرجع [۹]

است که به تابع Isgur-Wise معروف است [۴]. محاسبه IWF به طور کلی، اطلاعاتی در مورد کسر انشعاب، پهنای واپاشی و عناصر ماتریس CKM در اختیار ما قرار می‌دهد [۵].

برای محاسبه نرخ واپاشی نیمه لپتونی باریونها نیاز به داشتن تابع موج آنها می‌باشد. برای بدست آوردن تابع موج باریونها، آنها را به صورت ساختار کوارک-دیکوارک در نظر می‌گیریم و از معادله بشه-سالپیتر در حضور پتانسیل یوکاوا استفاده می‌کنیم. نتایج به دست آمده را با مراجع معتبر دیگر مقایسه خواهیم کرد.

نتایج تحلیلی

کanal واپاشی نیمه لپتونی باریون‌های باتم به چارم، به عنوان منبع مهمی از اطلاعات در مورد ساختار داخلی هادرон‌های حاوی یک کوارک سنگین شناخته می‌شود. برای محاسبه نرخ واپاشی نیمه لپتونی باریون باتم به چارم (مثلاً گذار $m_{\Xi_b} \rightarrow m_{\Xi_c}$) از رابطه زیراستفاده می‌شود [۶]:

$$\Gamma = \frac{2}{3} m_{\Xi_c}^4 m_{\Xi_b} \frac{G_F^2}{(2\pi)^3} |V_{cb}|^2 \text{Br}(\Xi_c^+ \rightarrow ab) \times \int_{\omega_{\min}}^{\omega_{\max}} \xi^2(\omega) \sqrt{\omega^2 - 1} \left(3\omega \left(\frac{m_{\Xi_b}}{m_{\Xi_c}} + \frac{m_{\Xi_c}}{m_{\Xi_b}} \right) - 2 - 4\omega^2 \right) d\omega \quad (1)$$

که $\omega' = v \cdot v'$ سرعت انتقالی و v و v' چاربردار سرعت حالت اولیه و نهایی باریون‌ها می‌باشند. سایر کمیت‌ها عبارتند از: $\omega_{\min} = 1$ ، $|V_{cb}| = 0.041$ ، $G_F = 1.16639 \times 10^{-5} \text{ GeV}^{-2}$ و $\omega_{\max} = (m_{\Xi_b}^2 + m_{\Xi_c}^2 - m_\pi^2) / 2m_{\Xi_b} m_{\Xi_c}$. همچنین کمیت $\text{Br}(\Xi_c^+ \rightarrow ab)$ معرف کسر انشعاب برای واپاشی Ξ_c^+ است. در رابطه (۱) کمیت (ω) عامل شکل یا تابع Isgur-Wise است که

به صورت زیر بیان می‌باشد [۴]:

$$\xi(\omega) = 1 - \rho^2(\omega - 1) + c(\omega - 1)^2 + \dots \quad (2)$$

در اینجا ρ^2 میزان انحراف از تابع Isgur-Wise است که c است و

c به صورت زیر تعریف می‌شوند [۶]:

$$\rho^2 = 4\pi \mu^2 \int_0^\infty r^4 |\psi(r)|^2 dr, \quad (3a)$$

$$c = \frac{2}{3} \pi \mu^4 \int_0^\infty r^6 |\psi(r)|^2 dr \quad (3b)$$

در رابطه فوق، μ جرم کاهش یافته سیستم است.

باریون‌های سنگین با تم و چارم را در حالت پایه محاسبه کرد. نتایج در جدول ۱ گزارش شده است. با در نظر گرفتن جرم آزمایشگاهی باریونها [۱۰] مقدار خطای انرژی را در جدول ۱ گزارش کردند.

جدول ۱: انرژی باریون‌ها در حالت پایه (برحسب GeV)

Bottom Baryon	$E_{\ell=0}$	Bottom Baryon	$E_{\ell=0}$
$\Lambda_b^0([bu]d)$	1.00375 ± 0.028	$\Lambda_c^+([cu]d)$	1.0178 ± 0.032
$\Sigma_b^+([bd]d)$	1.00370 ± 0.027	$\Xi_c^+([cu]s)$	1.1472 ± 0.0602
$\Xi_b^0([bs]u)$	1.05299 ± 0.048	$\Sigma_c^{++}([cd]d)$	0.3131 ± 0.0167
$\Omega_b^-([bs]s)$	1.0520 ± 0.047	$\Omega_c^0([cs]s)$	1.1389 ± 0.0780

با داشتن تابع موج (۸) و به کمک روابط (۳a) و (۳b) می‌توان کمیات ρ^2 و C را محاسبه کرد. نتایج تحلیلی در پیوست داده شده است. همچنین نتایج عددی این کمیات در جدول ۲ گزارش شده‌اند و با نتایج مراجع [۱۱-۱۳] مقایسه شده‌اند.

جدول ۲: ضرایب ρ و C در تابع IWF (برحسب GeV)

Baryon	ρ^2	ρ^2 [Others]	C
$\Lambda_b^0(bud)$	1.56	1.6 [11]	0.49
$\Lambda_c^+ (cud)$	1.39	0.31
$\Xi_b^0(bsu)$	1.67	1.5 ^{±7} [12]	0.72
$\Xi_c^+ (cus)$	1.62	0.65
$\Sigma_b^+ (bdd)$	2.43	1.37
$\Sigma_c^{++} (cdd)$	2.20	0.91
$\Omega_b^- (bss)$	2.51	2.56 [13]	1.21
$\Omega_c^0 (css)$	2.26	1.12

اکنون با داشتن ویژه مقادیر انرژی و تابع موج به دست آمده معادله (۸)، نرخ واپاشی نیمه لپتونی باریون‌ها را با توجه به رابطه (۱) محاسبه می‌کنیم. در جدول ۳ نتایج مربوط به واپاشی نیمه لپتونی باریون‌های سنگین ارائه شده است. نتایج تئوری با نتایج

توضیح داده شده است. با صرفنظر از جزئیات، اکنون تابع موج به صورت زیر به دست می‌آید:

$$\chi_{n\ell}(y) = y^{v_3} (1-y)^{-v_3-v_4} P_n^{(v_1-1, v_2-v_1-1)}(1-2y) \quad (8)$$

که در آن P چند جمله‌ای ژاکوبی بوده و اندیس‌های v_i ($i=1, 2$) عبارتند از:

$$v_1 = 1 + 2\sqrt{\left(\frac{E}{\alpha} + \mu\right)\frac{\xi}{w} - \frac{\xi^2}{\alpha} - \frac{1}{4w^2}(2\mu E + \frac{E^2}{\alpha})} \quad (9)$$

$$v_2 = 2\sqrt{2\ell(\ell+1) - \frac{4\xi^2}{\alpha} + 2\left(\frac{E}{\alpha} + \mu\right)\frac{\xi}{w} - \frac{1}{4w^2}(2\mu E + \frac{E^2}{\alpha})} + v_1 - 1 \quad (10)$$

و v_i ($i=3, 4$) برابر است با:

$$v_3 = \frac{v_1 - 1}{2}, \quad v_4 = -\frac{v_2}{2}. \quad (11)$$

ویژه مقدار موجود در رابطه‌های (۹) و (۱۰) با استفاده از معادله انرژی که از روش NU به دست می‌آید، محاسبه می‌شود. پس از حل تحلیلی، معادله انرژی بصورت زیر به دست می‌آید:

$$\begin{aligned} n^2 + \ell(\ell+1) - \frac{4\xi^2}{\alpha} + \left(\frac{E_{n,\ell}}{\alpha} + \mu\right)\frac{3\xi}{w} - \frac{1}{2w^2}(2\mu E + \frac{E_{n,\ell}^2}{\alpha}) \\ + (2n+1)\sqrt{2\ell(\ell+1)+\omega} + 2\sqrt{\left(\frac{E_{n,\ell}}{\alpha} + \mu\right)\frac{\xi}{w} - \frac{\xi^2}{\alpha} - \frac{1}{4w^2}(2\mu E_{n,\ell} + \frac{E_{n,\ell}^2}{\alpha})} \\ \times \sqrt{2\ell(\ell+1)+\omega} = 0 \end{aligned} \quad (12)$$

که در آن n عدد کوانتومی تراز انرژی و ℓ شمارنده اوریتال‌ها بوده و

$$\omega = -\frac{4\xi^2}{\alpha} + 2\left(\frac{E}{\alpha} + \mu\right)\frac{\xi}{w} - \frac{1}{4w^2}(2\mu E + \frac{E^2}{\alpha}) \quad (13)$$

اکنون با استفاده از معادله (۱۲) می‌توانیم ویژه مقدار انرژی باریون‌ها را تعیین کنیم. جهت محاسبات عددی، برای باریون‌های حالت پایه مقادیر $n=1$ و $\ell=0$ را در نظر می‌گیریم. همچنین پیرو مرجع [۱۰] جرم موثر کوارک‌های سبک و سنگین را به صورت $m_u = 0.220\text{GeV}$, $m_d = 0.250\text{GeV}$, $m_s = 0.454\text{GeV}$ و $m_c = 5.139\text{GeV}$ در نظر می‌گیریم. با این مقادیر، جرم دی‌کوارک‌ها عبارتند از: $M_{[bu]} = 5.4217\text{GeV}$, $M_{[bs]} = 5.6270\text{GeV}$, $M_{[bd]} = 5.4879\text{GeV}$, $M_{[cd]} = 2.1989\text{GeV}$, $M_{[cs]} = 2.528\text{GeV}$, $M_{[cu]} = 2.1631\text{GeV}$ با توجه به جرم دی‌کوارک‌ها و معادله (۱۲) اکنون می‌توان انرژی

واپاشی نیمه لپتونی باریون‌های سنگین در مدل کوارک-دی کوارک پرداختیم که برای محاسبه نرخ واپاشی از رابطه (۱) استفاده کردیم. برای محاسبه‌ی تابع موج باریون‌ها از معادله دیفرانسیلی بشه-سالپیتر در حضور پتانسیل یوکاوا استفاده کردیم و ویژه مقادیر و توابع موج سیستم باریونی را محاسبه کردیم. نتایج عددی انرژی باریون‌ها در جدول ۱ لیست شده و نتایج مربوط به نرخ واپاشی نیمه لپتونی باریون‌های سنگین در جدول ۳ آورده شده است. این نتایج با نتایج مراجع دیگر مقایسه شده است که توافق خوبی بین نتایج دیده می‌شود. در همه موارد خطای محاسبات نیز گزارش شده است.

مرجع‌ها

- [۱] E. Klempert and J. M. Richard, "Baryon spectroscopy" Rev. Mod. Phys. 82 (2010) 1095-1153.
- [۲] D. Ebert, R.N. Faustova, V.O. Galkin. "Masses of heavy tetraquarks in the relativistic quark model" Phys. Lett. B659 (2008) 612.
- [۳] K. Thakkar, B. Patel, A. Majethiya and P. C. Vinodkumari, Pramana, "Magnetic Moments of Baryons containing all heavy quarks in Quark-Diquark Model ", EPJ C.77 (2011) 1053.
- [۴] N. Isgur, M.B. Wise, "Weak transition form factors between heavy mesons" Phys. Lett. B237 (1990) 527.
- [۵] D. Ebert, R. N. Faustov, and V. O. Galkin, "New analysis of semileptonic B decays in the relativistic quark model" Phys. Rev. D75 (2007) 074008.
- [۶] X.-H. Guo, T. Muta, "Isgur-Wise function for $Lb\tilde{L}c$ in the BS approach" Phys. Rev. D54 7 (1996) 4629- 4634.
- [۷] Y. Chargui, Eur. Phys. "On an approximation of the two-body spinless Salpeter equation" E.P.J. Plus 133 (2018) 543.
- [۸] H. Yukawa, "On the Interaction of Elementary Particles" Proc. Phys. Math. Soc. Japan. 17 (1935) 48.
- [۹] S. M. Moosavi Nejad and A. Armat, "Relativistic excited state binding energies and RMS radii of A-hypernuclei" Mod. Phys. Lett. A33 (2018) 1850022.
- [۱۰] M. Tanabashi, et al., "Review of Particle Physics " (Particle Data Group), Phys. Rev. D98 (2018) 030001.
- [۱۱] X.-H. Guo, T. Muta. "Isgur-Wise Function for Λ_b to Λ_c in BS Approach" Phys. Rev. D54 (1996) 4629.
- [۱۲] K. C. Bowler, et al. "Masses and magnetic moments of heavy flavour baryons" Phys. Rev. D57 (1998) 6948.
- [۱۳] K. Thakkar, Z. Shah, A. KumarRai, P.C. Vinodkumar "Excited state mass spectra and Regge trajectories of bottom" Nuclear Physics A 965 (2017) 57-73.
- [۱۴] A. Faessler, T. Gutsche, M.A. Ivanov, J.G. Körner, V.E. Lyubovitskij, "Semileptonic decays of double heavy baryons," Phys. Lett. B 518, 55–62 (2001).
- [۱۵] F.S. Yu, H.Y. Jiang, R.H. Li, C.D. Lü, W. Wang, Z.X. Zhao "Discovery potentials of doubly charmed baryons ", Chin. Phys. C 42, 051001 (2018).

ارائه شده در مراجع [۱۴] و [۱۵] مقایسه شده‌اند. همچنین با داشتن خطای انرژی قیدی میران خطای نرخ واپاشی نیز در جدول ۳ گزارش شده است. لازم به ذکر است که در مراجع [۱۴] و [۱۵] ساختار باریون‌ها به صورت سه جسمی در نظر گرفته شده و سپس با استفاده از پتانسیل تانسوری و روش عددی محاسبات انجام شده است. مقایسه نتایج نشان می‌دهد رهیافت کوارک-دی کوارک مورد استفاده ما تا چه حد به نتایج خوبی منجر می‌شود.

جدول ۳: نتایج نظری نرخ واپاشی نیمه‌لپتونی باریون‌های سنگین (10^{10} s^{-1})

Process	Γ Ours	Γ Others
$\Lambda_b^0 \rightarrow \Lambda_c^+ e^- \bar{\nu}_e$	5.21 ± 0.31 [14]	5.39
$\Xi_b^0 \rightarrow \Xi_c^+ e^- \bar{\nu}_e$	7.53 ± 0.39 [15]	7.2
$\Sigma_b^+ \rightarrow \Sigma_c^{++} e^- \bar{\nu}_e$	4.17 ± 0.30 [15]	4.3
$\Omega_b^- \rightarrow \Omega_c^0 e^- \bar{\nu}_e$	1.75 ± 0.12 [14]	1.87

پیوست

با قرار دادن تابع موج (۸) در روابط (۳a) و (۳b) پارامترهای عامل شکل بندی عبارتند از:

$$\rho^2 = ((-1)^{-2(v_3+v_4)} (-2v_1v_2((10^{8-2v_3-2v_4+2v_3} \\ 2\text{Fl}[2v_3+2v_4, -8+2v_3+2v_4-2v_3, -7+2v_3+2v_4-2v_3, \frac{1}{10}] / \\ ((8-2v_3-2v_4+2v_3)\Gamma[1-2v_3-2v_4]) \\ + \frac{\Gamma[2(-4+v_3+v_4-v_3)]}{\Gamma[-7-2v_3]}) + \dots) \quad (14)$$

همچنین داریم:

$$c = v_2^2 ((-10^{9-2v_3-2v_4+2v_3} \\ 2\text{Fl}[2(v_3+v_4), -9+2v_3+2v_4-2v_3, 2(-4+v_3+v_4-v_3), \frac{1}{10}] / \\ ((-9+2v_3+2v_4-2v_3)\Gamma[1-2v_3-2v_4] + \frac{\Gamma[-9+2v_3+2v_4-2v_3]}{\Gamma[-2(4+v_3)]}) \\ + \frac{v_1^2\Gamma[7+2v_3]}{\Gamma[-2(-4+v_3+v_4-v_3)]} + \frac{v_2^2\Gamma[9+2v_3]}{\Gamma[-2(-5+v_3+v_4-v_3)])} + \dots) \quad (15)$$

نتیجه‌گیری

پهناهی واپاشی نیمه لپتونی باریون‌ها از موضوعات مورد توجه در فیزیک ذرات بنیادی است چرا که اطلاعات خوبی در مورد ساختار کوارکی باریون‌های سنگین به ما می‌دهد. در این کار ما به بررسی

و اپاشی ذره هیگز به سه ذره بوزون

حقیقت، منصور^۱؛ آذری، فرشته^۲

^۱دانشکده فیزیک دانشگاه شیراز، شیراز

^۲دانشکده فیزیک دانشگاه شیراز، شیراز

چکیده

در این مقاله ما یک مدل ورای استاندارد را مطالعه می‌کنیم که در آن یک ذره اسکالر و یکتایی تحت تقارن $SU(2)$ به مدل استاندارد اضافه می‌شود. از آنجایی که می‌خواهیم و اپاشی ذره هیگز به سه ذره اسکالر جدید را مطالعه کنیم پس در نظر می‌گیریم جرم این ذره کمتر از 40 GeV باشد. از طریق مطالعه و اپاشی $\varphi \rightarrow 3\varphi$ حد مناسبی را روی پارامتر جرم ذره جدید m_φ به دست می‌آوریم.

واژه های کلیدی: مدل ورای استاندارد، ذره هیگز، ذره اسکالر

Higgs Decay to Three Real Scalar Bosons

Haghighat, Mansour¹; Azari, Fereshteh²

¹ Department of Physics, Shiraz University, Shiraz

² Department of Physics, Shiraz University, Shiraz

Abstract

In this paper we study the standard model of particle physics with an extra siglet scalar particle. We assume that the mass of this new particle is less than 40 GeV in order to examine the decay of the Higgs to three real scalar bosons. Consequently, we find some bounds on the mass of the scalar particle.

Keywords: Beyond standard model, Higgs Particle, Scalar Particle

مقدمه

مدل استاندارد به عنوان یکی از موفق ترین نظریه های فیزیک، قادر به توضیح برخی پدیده های فیزیکی مثل ماده تاریک نمی باشد. از این رو پژوهشگران علاقه مند به بررسی مدل های ورای استاندارد هستند. یکی از ساده ترین مدل هایی که اخیراً مورد توجه قرار گرفته افزودن یک ذره اسکالر یکتا به مدل استاندارد ذرات بنیادی است [1,2,3]. در این مقاله با در نظر گرفتن این مدل برای جرم های نسبتاً سبک به و اپاشی سه ذره ای هیگز می پردازیم. برای این منظور با توجه به اینکه ذره اسکالر جدید دارای مقدار انتظاری خلا غیرصفر می باشد می توان آن را از طریق کانال هیگز با جمله $H^2\phi^2$ وارد مدل استاندارد کرد و بر همکنش های آن را با ذرات مدل استاندارد مورد مطالعه قرار داد.

چهارچوب نظری

در این بخش ما مدل استاندارد را با یک ذره اسکالر یکتایی جدید φ در نظر می گیریم. پتانسیل بخش اسکالار این مدل به شکل معادله (1) نوشته می شود:

$$V_{h\phi} = \lambda_3 H^\dagger H \phi^2 \quad (1)$$

در نتیجه لاگرانژی بخش اسکالارها به صورت زیر می باشد:

$$V(\phi, H) = -\frac{1}{2}\mu_h^2 H^2 + \frac{1}{4}\lambda_h H^4 - \frac{1}{2}\mu_\varphi^2 \phi^2 + \frac{1}{4}\lambda_\varphi \phi^4 + \frac{1}{4}\lambda_3 H^2 \phi^2 \quad (2)$$

که در آن μ_h و μ_φ پارامترهای با بعد جرم، λ_h ، λ_φ و λ_3 پارامترهای بدون بعد می باشند، همچنین H و ϕ دارای مقادیر انتظاری خلا زیر می باشند:

$$v_h^2 = \frac{4\lambda_\varphi \mu_h^2 - 2\lambda_3 \mu_\varphi^2}{\lambda_3^2 - 4\lambda_h \lambda_\varphi} \quad (3)$$

$$v_\varphi^2 = \frac{4\lambda_h \mu_\varphi^2 - 2\lambda_3 \mu_h^2}{\lambda_3^2 - 4\lambda_h \lambda_\varphi} \quad (4)$$

که به ماتریس جرم غیر قطبی زیر منجر می شود:

$$\frac{9m_h}{64\pi^3} \left[\frac{9(\lambda_3 - 2\lambda_\varphi)^2}{12} (\sin \theta)^2 I^2(m_\varphi) \right] \ll 3.2 \text{ MeV} \quad (13)$$

که برای $\sin \theta = 0.07$ بدست می آید:

$$(\lambda_3 - 2\lambda_\varphi) \ll 1.23 [I(m_\varphi)]^{-\frac{1}{2}} = C(m_\varphi) \quad (14)$$

با توجه به نمودار شکل 1 مشخص است که مقدار $C(m_\varphi)$ همواره در بازه جرم مورد نظر ثابت است. در ادامه از روابط زیر که از مباحث نظری قابل استخراج اند استفاده می کنیم:

$$\lambda_h = \frac{m_h^2}{2v_h^2} \cos^2 \theta - \frac{m_\varphi^2}{2v_h^2} \sin^2 \theta \quad (15)$$

$$\lambda_\varphi = \frac{m_h^2}{2v_\varphi^2} \sin^2 \theta - \frac{m_\varphi^2}{2v_\varphi^2} \cos^2 \theta \quad (16)$$

$$\lambda_3 = \frac{m_\varphi^2 - m_h^2}{2v_h v_\varphi} \sin 2\theta \quad (17)$$

که منجر به نامعادله درجه 2 زیر می شود:

$$A(m_\varphi) \lambda_3^2 + \lambda_3 - C(m_\varphi) \ll 0 \quad (18)$$

که در آن داریم:

$$A(m_\varphi) = -\frac{(m_h^2 \sin^2 \theta - m_\varphi^2)v_h^2}{(m_\varphi^2 - m_h^2)^2 \sin^2 \theta} \quad (19)$$

و ریشه های نامعادله بالا به صورت زیر به دست می آیند:

$$\lambda_3 = \frac{-1 \pm (1 + 4AC(m_\varphi))}{2A} \quad (20)$$

در ادامه سه حالت مختلف برای حل نامعادله داریم که به ترتیب به آن می پردازیم. حالت اول این است که $A = 0$ باشد که در این صورت به دلیل منفی بودن λ_3 و مثبت بودن $C(m_\varphi)$ معادله (18) همواره صحیح است. در حالت دوم $A > 0$ جایی که $m_\varphi = m_h \sin \theta > 8.75 \text{ GeV}$ ریشه متفاوت حقیقی داریم که یکی از آنها مثبت λ_3^+ و دیگری منفی λ_3^- می باشد. برای اینکه نامعادله (18) صحیح باشد باید مقداری بین دو ریشه داشته باشد و از آنجا که λ_3 منفی است پس $0 < \lambda_3^- < \lambda_3^+ < A$. در حالت سوم $A < 0$ جایی که $m_\varphi = m_h \sin \theta < 8.75 \text{ GeV}$ دو ناحیه باید در نظر گرفته شود. ناحیه اول $0 < 1 + 4AC(m_\varphi) < 1$ یا

$$M_{h,\varphi}^2 = \begin{pmatrix} \frac{\partial^2 V(H, \phi)}{\partial H^2} & \frac{\partial^2 V(H, \phi)}{\partial H \partial \phi} \\ \frac{\partial^2 V(H, \phi)}{\partial \phi \partial H} & \frac{\partial^2 V(H, \phi)}{\partial \phi^2} \end{pmatrix} = \begin{pmatrix} 2\lambda_h v_h^2 & \lambda_3 v_h v_\varphi \\ \lambda_3 v_h v_\varphi & 2\lambda_\varphi v_\varphi^2 \end{pmatrix} \quad (5)$$

که برای قطری کردن آن می توانیم از ماتریس زیر استفاده کنیم:

$$\begin{pmatrix} H \\ \phi \end{pmatrix} = \begin{pmatrix} \cos \theta & -\sin \theta \\ \sin \theta & \cos \theta \end{pmatrix} \begin{pmatrix} h \\ \varphi \end{pmatrix} \quad (6)$$

که در آن θ همان زاویه اختلاط است، همچنین h را همان ذره هیگز مدل استاندارد با جرم 125 GeV و φ را ذره اسکالار یکتایی جدید با جرم m_φ در نظر می گیریم. مقادیر ویژه و حالت های ویژه ماتریس قطری شده به صورت زیر به دست می آید:

$$m_{h,\varphi}^2 = \lambda_h v_h^2 + \lambda_\varphi v_\varphi^2 \mp \frac{\lambda_\varphi v_\varphi^2 - \lambda_h v_h^2}{\cos 2\theta} \quad (7)$$

$$H = h \cos \theta - \varphi \sin \theta \quad (8)$$

$$\phi = h \sin \theta + \varphi \cos \theta \quad (9)$$

واپاشی سه ذره ای

در این قسمت فرض می کنیم ذره هیگز مدل استاندارد به سه ذره اسکالار جدید واپاشی می کند. با توجه به راس ϕ به صورت زیر

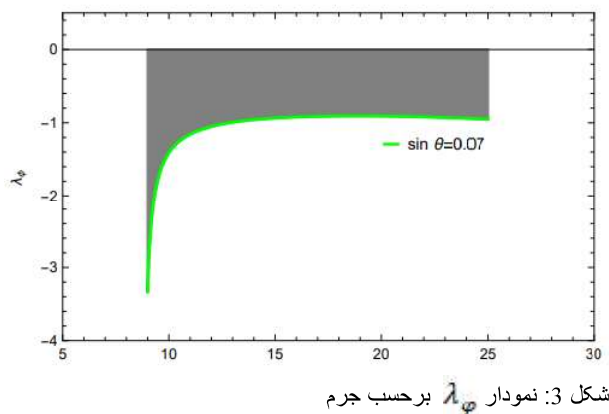
$$-6i\lambda_h \sin^3 \theta \cos \theta + 6i\lambda_\varphi \cos^3 \theta \sin \theta + 3i\lambda_3 \sin^3 \theta \cos \theta - 3i\lambda_3 \cos^3 \theta \sin \theta \quad (10)$$

$$\Gamma_{h \rightarrow 3\varphi} = \frac{9m_h}{64\pi^3} \left[\frac{9(\lambda_3 - 2\lambda_\varphi)^2}{12} (\sin \theta)^2 I^2(m_\varphi) \right] \quad (11)$$

که در آن :

$$I(m_\varphi) = \int ds \left[\frac{2}{3} (s^4 + \left(\frac{-6m_\varphi^2}{m_h^2} - 2 \right) s^3 + \left(\frac{9m_\varphi^4}{m_h^4} + \frac{6m_\varphi^2}{m_h^2} + 1 \right) s^2 + \left(\frac{-4m_\varphi^6}{m_h^6} + \frac{m_\varphi^4}{m_h^4} - \frac{2m_\varphi^2}{m_h^2} \right) s^{\frac{1}{2}} \right] \quad (12)$$

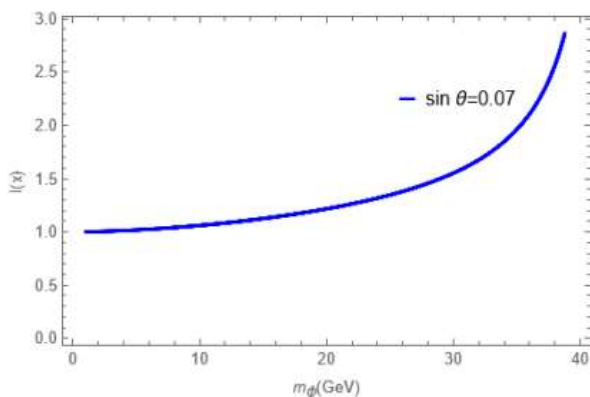
اکنون با توجه به اینکه مقدار پهنای واپاشی هیگز به سه ذره اسکالار جدید باید از مقدار خطای واپاشی کل ذره هیگز کمتر باشد [4] داریم:



۸.۵ $GeV < m_\varphi < 8.75 GeV$ می باشد که در این ناحیه $8.5 GeV < m_\varphi < 8.75 GeV$ دو ریشه مثبت دارد و در تضاد با منفی بودن λ_3 می باشد.
ناحیه دوم $0 < 1 + 4AC(m_\varphi) < 8.5 GeV$ یا $m_\varphi < 8.5 GeV$ که به این معناست نامعادله (18) نمی تواند برای $m_\varphi < 8.5 GeV$ صحیح باشد. بنابراین نامعادله (18) به ازای $8.75 GeV < m_\varphi < 40 GeV$ صحیح می باشد.
همچنین λ_φ را بر حسب λ_3 می توان به شکل زیر نوشت و نمودار آن را مطابق شکل 3 رسم کرد:

$$\lambda_\varphi = -\frac{1}{2}A\lambda_3^2 + \mathcal{O}(\sin^4\theta) \quad (21)$$

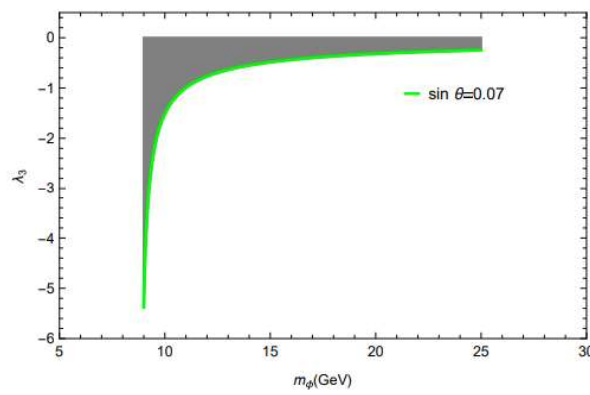
نمودارها



در این مقاله به بررسی حد مناسب روی پارامتر جرم ذره اسکالر جدید پرداختیم. با مطالعه واپاشی ذره هیگز به سه ذره اسکالر جدید و رسم نمودارهای 3 و 4 به دست اوردهیم که جرم ذره جدید باید در بازه $8.75 GeV < m_\varphi < 40 GeV$ قرار داشته باشد.

مرجع ها

- [1] G. Arcadi, A. Djouadi, M. Raidal; “Dark matter through the Higgs portal”; arXive: 1903.03616
- [2] J. de Blas, et al; “The CLIC potential for new Physics”; CERN Yellow reports, Vol.3; arXive: 1812.02093; (2018)
- [3] R. Franceschini; “Beyond the standard model physics at CLIC”; InternationalJournal of Modern Physics; A35; arXive:1902.10125; (2020)
- [4] A. J. Helmboldt, M. Linder; “Prospects for three-body Higgs boson decays into extra light scalars,”; Phys. Rev. D95(5):055008; arXive: 1609.08127



مطالعه نسبت انشعابی واپاشی های $\pi^+\pi^-$ و $B_s^0 \rightarrow \psi(2S)\pi^+\pi^-$

محمدی، بهنام^۱; امیرخانلو، الناز^۲

^۱گروه فیزیک، دانشکده علوم، دانشگاه ارومیه، ارومیه

چکیده

تجزیه هادرон های زیبایی، آزمایشگاه منحصر به فردی برای مدل استاندارد (SM) و فراتر از آن است. در این آزمایشگاهها به مطالعه خواص مزون های افسون، حالت های نهایی افسون و شبیه افسون می پردازند. بسیاری از اندازه گیری های جالب در فیزیک طعم های سنگین و هم در چارچوب SM شامل تجزیه هادرون های طعم دار سنگین به حالت های نهایی با ذرات خنثی است که تولیدشان با آشکار سازه ای برخورده دهنده دشوار یا غیر ممکن است. برای توصیف نظری بسیاری از این واپاشی ها، درک برهم کشش های حالت نهایی قوی از نظر تکنیک های تحلیل دامنه، با کنترل دقیق بر بزرگی ها و حرکات فاز امواج جزئی مختلف درگیر، الزامي است. ما در این مقاله به بررسی واپاشی های سه جسمی $\pi^+\pi^-$ و $B_s^0 \rightarrow \psi(2S)\pi^+\pi^-$ با استفاده از روش فاکتوری گیری و رزونانس میانی در سه مقیاس m_b پرداخته ایم. ما نسبت انشعابی این دو واپاشی را به ترتیب 3.47 ± 2.93 و 7.75 ± 3.73 در مقیاس m_b باست آوردهیم که با مقادیر تجربی سازگار می باشد.

واژه های کلیدی: مزون افسون، فاکتوری گیری، مزون B . نسبت انشعابی، سه جسمی.

Study the branching fractions of the $B_s^0 \rightarrow \chi_{c1}(3872)\pi^+\pi^-$ and $B_s^0 \rightarrow \psi(2S)\pi^+\pi^-$ decays

Mohammadi, Behnam¹; Amirkhanlou, Elnaz²

^{1, 2} Department of Physics, Urima University, Urima

Abstract

Beauty hadron decay is a unique laboratory for the standard model (SM) and beyond. In these laboratories, they study the properties of charmonia mesons, charmonia final states and charmonium-like states. Many interesting measurements in heavy-flavour physics, both in the SM framework, involve the decay of heavy-flavoured hadrons into final states with neutral particles that are difficult or impossible to reconstruct with collider detectors. For the theoretical description of many of these decays, an understanding of the strong final state interactions in terms of amplitude analysis techniques, with tight control over the magnitudes and phase motions of the various partial waves involved is required. In this article, we have investigated three-body decays $B_s^0 \rightarrow \chi_{c1}(3872)\pi^+\pi^-$ and $B_s^0 \rightarrow \psi(2S)\pi^+\pi^-$ using the method of factorization and intermediate resonance in three mb scales. We obtained the branching fractions of these two decays, respectively, 3.47 ± 2.93 and 7.75 ± 3.73 at $\mu = m_b$, which is consistent with the experimental values.

Keywords: Charmonia mesons, Factorization, B mesons, Branching fraction, Three-body

PACS No. 13

در مورد فازهای قوی نسبت به واپاشی دو بدن هستند و توصیف

مقدمه

نظری این واپاشی ها بسیار چالش برانگیز است [۱]. اندازه گیری ها

واپاشی های سه جسمی هادرونیک بخش بزرگی از کسر

در فیزیک طعم های سنگین، هم در چارچوب مدل استاندارد^۱

انشاء براي واپاشی های غير لپتونیک B را تشکیل می دهد. با

توجه به سینماتیک غير پیش پا افتاده، آنها حاوی اطلاعات زیادی

¹Standard Model

بدهست آورده ایم که با گروه داده ذرات^۳ (PDG) سازگاری دارد.
[۸]

$$\text{محاسبه نسبت انشعابی واپاشی های } \chi_{c1}(3872)\pi^+\pi^- \rightarrow B_s^0 \text{ و } B_s^0 \rightarrow \psi(2S)\pi^+\pi^-$$

در دهه گذشته، بررسی بخش مزون سنگین، به ویژه برای آزمایش های دقیق مدل SM و کاوش در فیزیک فراتراهمیت زیادی پیدا کرده است. برهم کنش سبکترین هادردون ها، پایون ها، با خود و همچنین با کائون ها با دقت بسیار بالای شناخته شده اند. دانش ما در مورد امواج جزئی پیشرو پایون-پایون (امواج S) با ترکیب روابط پراکندگی در قالب معادلات روی یا روی استاینر^۴، که توسط نظریه اغتشاش کایرال در کمترین انرژی ها و استفاده از داده های تجربی به عنوان ورودی محدود شده بود را افزایش داده است [۹]. حال ما در اینجا واپاشی های سه جسمی $\chi_{c1}(3872)\pi^+\pi^- \rightarrow B_s^0 \rightarrow \psi(2S)\pi^+\pi^-$ را داریم. در واپاشی $B_s^0 \rightarrow \psi(2S)$ ، $\chi_{c1}(3872)$ که در آن B_s^0 به ψ و یک جفت هادردون شبه مقیاس نور $\pi^+\pi^-$ واپاشیده است.

در این واکنش ها (B_s^0)، فرآیند پراکندگی پایون-پایون در ناحیه رزونانس ($f_0(980)$ غالب است [۱۰]. در چنین حالتی که یک جفت پایون موج S از یک جفت کوارک-آنثی کوارک ($\bar{q}q$) تولید می شود، برهمکنش های حالت نهایی توسط ضریب شکل اسکالر توصیف می شود (ایده مدل منبع اسکالر). برخلاف مدل های تولید تشدید دینامیکی، رزونانس های اسکالر به عنوان حالت های $\bar{q}q$ یا تتراکوارک در نظر گرفته می شوند [۱۱].

اگر B_s^0 بالاتر از آستانه $f_0(980)$ باشد، عرض واپاشی $B_s^0 \rightarrow \psi\pi^+\pi^-$ از طریق دامنه پراکندگی مجدد در تقریب عرض باریک^۵ (NWA) را می توان نوشت [۱۲]:

$$\Gamma(B_s^0 \rightarrow \psi\pi^+\pi^-) = \Gamma(B_s^0 \rightarrow \psi f_0) Br(f_0 \rightarrow \pi^+\pi^-), \quad (1)$$

(SM) و هم فراتر از آن، شامل تجزیه هادردون های طعم دار سنگین به حالت های نهایی با ذرات خشی است [۲].

کارخانه های B، جایی است که جفت های مزون B در آستانه بدون ذرات اضافی تولید می شوند. در چنین جایی تولید کامل یکی از مزون های B محدودیت های سینماتیکی کافی برای تولید ذرات کشف نشده دیگر در واپاشی مزون B را فراهم می کند [۳].

پیش بینی های کرومودینامیک کواترومی^۶ (QCD) در مورد تجزیه ذرات سنگین بر یک پایه نظری محکم، استوار است [۴]. در سال های اخیر بررسی نظری واپاشی های ضعیف شامل هادردون های سنگین، پیشرفت قابل توجهی داشته است. در حد بسیاری از کوارک های سنگین، نرخ واپاشی با واپاشی کوارک آزاد مربوطه منطبق است. این نوع اصلاحات منشأ غیراغتشاشی دارند و با حداقل دو توان در جرم کوارک سنگین سرکوب می شوند [۵].

اخیراً، هادردون های عجیب و غریب فراتر از مدل کوارک معمولی در آزمایش ها مشاهده شدند. در این میان هادردون $\chi_{c1}(3872)$ هست که به عنوان حالت های تتراکوارک، حالت های پتا کوارک، حالت های مولکولی هادردون، هیریدهای کوارک-گلوئون، گلوله-

های چسبنده و بسیاری دیگر تفسیر می شود [۶].

انجام عملیاتی مبنی بر فاکتوری کردن QCD با توجه به آنکه جرم کوارک c بیشتر از مقیاس هادرونی است، ارزشمند می باشد. در فاکتوری کردن واپاشی های مزون ψ شامل سه مقیاس اساسی است: مقیاس اندرکنش قوی Λ_{QCD} ، مقیاس اندرکنش ضعیف M_W و مقیاس جرم کوارک c (m_c). با به روز شدن اطلاعات و روش های مختلف تجزیه و تحلیل پیدیدار شناختی این امکان ایجاد می شود که با دقت بیشتری خواص این نوع مزون ها را در واپاشی های مختلف مزون B بررسی کنیم [۷].

در این مقاله ما قصد داریم با استفاده از روش فاکتوری کردن و دامنه پراکندگی مجدد به بررسی واپاشی های سه جسمی $m_b B_s^0 \rightarrow \psi(2S)\pi^+\pi^-$ در سه مقیاس m_b پردازیم. ما همچنین نسبت انشعابی این دو واپاشی را از طریق رزونانس میانی به ترتیب 3.47 ± 2.93 و 7.75 ± 3.73 در مقیاس

³Particle Data Group

⁴Roy or Roy-Steiner

⁵Narrow Width Approximation

²Quantum Chromodynamics

با جاگذاری موادر گفته شده مقدار دامنه را محاسبه کردیم و با قرار دادن در رابطه $\Gamma(B_s^0 \rightarrow \psi f_0) = (|\mathcal{M}|)^2 P_c / 8\pi m_{B_s^0}^2$ ، آهنگ واپاشیها $f_0(2S) \rightarrow B_s^0 \rightarrow \psi(2S)\pi^+\pi^-$ و $f_0(3872) \rightarrow B_s^0 \rightarrow \psi(2S)\pi^+\pi^-$ را تخمین زدیم. سپس با استفاده از رابطه $\Gamma(f_0 \rightarrow \psi\pi^+\pi^-)$ مقدار Γ_{tot} را بدست آوردیم. نسبت انشعابی واپاشیهای مورد نظر تحت روش فاکتورگیری محاسبه می شود از:

$$\mathcal{B}r(B_s^0 \rightarrow \psi\pi^+\pi^-) = \frac{\Gamma(B_s^0 \rightarrow \psi\pi^+\pi^-)}{\Gamma_{tot}}, \quad (V)$$

مقدار Γ_{tot} برای B_s^0 برابر با 4.33 ± 0.1 GeV است [۸].

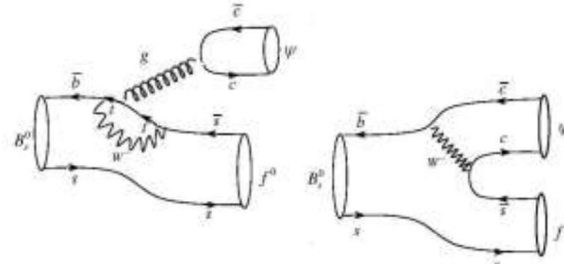
نتیجه گیری

حالتهای $\psi(2S)\pi^+\pi^-$ تفکیک جرمی خوبی را از طریق تناسب محدود امکان‌پذیر می‌کند و روشی ساده برای مقایسه ویژگی‌های تولید مزون‌های $\psi(2S)$ و $\chi_{c1}(3872)$ که از نظر جرمی تقریباً نزدیک هستند، ارائه می‌کند [۱۹].

در این مقاله با استفاده از دامنه پراکندگی مجدد در NWA و رزونانس میانی واپاشی سه‌جسمی به محاسبه نسبت انشعابی پرداختیم. مزیت چارچوب پراکنده این است که تمام محدودیت‌های تحمیل شده توسط تحلیل (به عنوان مثال، علیت) و یکپارچگی (حفظ احتمال) توسط ساخت انجام می‌شود. علاوه بر این، این یک رویکرد مستقل از مدل است، بنابراین ما مجبور نیستیم هیچ تشدید کمک کننده یا پس زمینه غیر رزونانسی قابل تصوری را مشخص کنیم. به طور خاص، نیازی به پارامتری کردن رزونانس نیست، زیرا ورودی مورد نیاز برای توصیف برهمکنش‌های حالت نهایی از جابجایی‌های فاز پراکندگی شناخته شده گرفته می‌شود [۱۱].

مقادیر مورد استفاده جرم مزون‌ها و کوارک‌ها در محاسبات در جدول ۱ آورده شده است. نتایج عددی را در سه مقیاس متفاوت در جدول ۲ آمده است که با اندازه‌گیری‌های PDG [۸] برای واپاشی $B_s^0 \rightarrow \psi(2S)\pi^+\pi^-$ در مقیاس m_b مطابقت دارند. مقدار تجربی نسبت انشعابی واپاشی $\chi_{c1}(3872)\pi^+\pi^- \rightarrow B_s^0$ هنوز اندازه‌گیری نشده اما بر اساس تجزیه و تحلیل داده‌های ترکیبی اخیر [۷]، واپاشی‌های $B_s^0 \rightarrow \psi(2S)\pi^+\pi^-$ و $B_s^0 \rightarrow \chi_{c1}(3872)\pi^+\pi^-$ تقریباً

جایی که مقدار $\Gamma(f_0 \rightarrow \pi^+\pi^-) = 34.2^{+13.90}_{-11.80} (stat)^{+8.80}_{-2.50} (syst)$ است [۱۳] و عرض $B_s^0 \rightarrow \psi f_0$ به راحتی با استفاده از روش فاکتورگیری ساده بدست می‌آید. ما نمودارهای فایمن واپاشی $f_0 \rightarrow \psi(2S)\pi^+\pi^-$ را بر اساس مدل استاندارد ترسیم کردیم (شکل ۱).



شکل ۱ : نمودارهای فایمن واپاشی $f_0 \rightarrow \psi(2S)\pi^+\pi^-$ و $f_0(3872) \rightarrow B_s^0 \rightarrow \psi(2S)\pi^+\pi^-$.

برطبق شکل ۱ دامنه واپاشی‌ها به صورت زیر بدست می‌آید:

$$\mathcal{M}(B_s^0 \rightarrow \psi f_0) = i G_F m_\psi f_\psi \epsilon_\psi \cdot p_{B_s} F_1^{B_s \rightarrow f_0}(m_\psi^2) (V_{cb} V_{cs}^* a_2 - V_{tb} V_{ts}^* (a_3 + a_9 + r_\chi^\psi (a_5 + a_7))), \quad (2)$$

جایی که [۱۲]

$$\epsilon_\psi \cdot p_{B_s} = p_c |m_\psi / m_{B_s}|, \quad (3)$$

$$p_c = \sqrt{(m_{B_s}^2 - (m_\psi + m_{f_0})^2)(m_{B_s}^2 - (m_\psi - m_{f_0})^2)} / 2m_{B_s}.$$

عامل افزایشی کایرال را می‌توان نوشت [۱۴]

$$r_\chi^\psi = (2m_\psi / m_b)(f_\psi^\perp / f_\psi). \quad (4)$$

مزون f_0 برابر است با $s\bar{s}$ ($u\bar{u} + d\bar{d}$) / $\sqrt{2} + s\bar{s}$ و در آن G_F ثابت

فرمی است. همچنین ($V_{pb} V_{ps}^*(p=c,t)$ عناصر ماتریس CKM که

برابر است با [۱۵]:

$$V_c = (40.8 \pm 1.4) \times 10^{-3}, V_t = 1.014 \pm 0.029 \quad (5)$$

$$V_s = 0.975 \pm 0.006, V_u = (41.5 \pm 0.9) \times 10^{-3}.$$

$F_1^{B_s \rightarrow f_0}(m_\psi^2) = c_{2i-1} + \frac{1}{N} c_{2i}, a_{2i} = c_{2i} + \frac{1}{N} c_{2i-1}$ ، ($i=1,2,3,4,5$) ضرایب

ویلسون در سه مقیاس m_b تعریف شده در [۱۶] و $N=3$ عدد

رنگ می‌باشد. (m_ψ^2) عامل شکل مزونی است که از رابطه

زیر بدست می‌آید [۱۴]

$$F_1(q^2) = \frac{m_{f_0} + m_{B_s}}{2\sqrt{m_{f_0} m_{B_s}}} \xi(\omega), \quad (6)$$

که در آن $\xi(\omega) = 1 - \rho^2(\omega - 1)$ ، $\rho^2 = 1.2^{+7}_{-3}$ و

$$\omega = (m_{B_s}^2 - m_\psi^2 + m_{f_0}^2) / (2m_{B_s} m_\psi) \quad (7)$$

تابع ایگر-وایز و ρ پارامتر شبی است [۱۸].

- [۱۳] T. Mori et al., Belle collaboration; “High statistics study of the $f_0(980)$ resonance in $\gamma\gamma \rightarrow \pi^+\pi^-$ production”; *Phys. Rev. D* **75**, (2007) 051101.
- [۱۴] Y. Amhis et al., Heavy Flavor Averaging Group; “Averages of b-hadron, c-hadron, and τ -lepton properties as of summer 2016”; *Eur. Phys. J. C* **77**, (2017) 895.
- [۱۵] M. Beneke, G. Buchalla, M. Neubert and C.T. Sachrajda; “QCD factorization in $B \rightarrow \pi K$, $\pi\pi$ decays and extraction of Wolfenstein parameters”; *Nucl. Phys. B* **606**, (2001) 245.
- [۱۶] R.D Kenway; “The Isgur-Wise function”; *Nucl. Phys. Proc. Suppl* **34**, (1994) 153.
- [۱۷] M. Neubert and V. Rieckert; “The Isgur-Wise function from the lattice”; *Nucl. Phys. B* **97**, (1992) 382.
- [۱۸] M. Aghasyan et al., COMPASS Collaboration; “Search for muoproduction of $X(3872)$ at COMPASS and indication of a new state $X(3872)$ ”; *Phys. Lett. B* **783**, (2018) 334.

کسرهای انشعاب مشابه ای دارند و می توان گفت با محاسبات مطابق دارد. عدم قطعیت های محاسبه شده در نسبت انشعاب ها ناشی از ماتریس های CKM، جرم مزون ها و ثابت های واپاشی است.

جدول ۱ : جرم ها و ثابت های واپاشی (بر حسب [۸]) (MeV)

$m_{B_s} = 5366.92 \pm 0.1$	$m_{\pi^\pm} = 139.57039 \pm 0.00018$	$m_{\psi(2S)} = 3686.10 \pm 0.06$
$m_b = 4180^{+30}_{-20}$	$m_{\chi_c(3872)} = 3871.65 \pm 0.06$	$m_f = 990 \pm 20$
$f_{\psi(2S)}^\perp = 255 \pm 14$	$f_{\psi(2S)} = 282 \pm 14$	$f_{\chi_c(3872)} = 234 \pm 52$

جدول ۲ : نتایج عددی حاصل از محاسبات پارامترهای مورد نظر

پارامترها	$\mathcal{Br}(B_s^0 \rightarrow \chi_{c1}(3872)\pi^+\pi^-)$	$\mathcal{Br}(B_s^0 \rightarrow \psi(2S)\pi^+\pi^-)$
$\mu = m_b / 2$	1.28 ± 0.72	2.66 ± 1.38
$\mu = m_b$	3.47 ± 2.93	7.75 ± 3.73
$\mu = 2m_b$	6.01 ± 2.30	13.67 ± 6.46
مقدار تجربی	-	6.90 ± 1.20 [۵]

مرجع ها

- [۱] S. Krämer, T. Mannel and J. Virto; “Three-body non-leptonic B decays and QCD factorization”; *Nucl. Phys. B* **899**, (2015) 247.
- [۲] A. Poluektov and A. Morris; “Oscillations of B_s^0 mesons as a probe of decays with unreconstructed particles”; *JHEP* **02**, (2020) 163.
- [۳] C. L. Hsu et al., Belle collaboration; “Search for B^0 decays to invisible final states at Belle”; *Phys. Rev. D* **86**, (2012) 032002.
- [۴] E. Bagan, P. Ball, V.M. Braun and P. Gosdzinsky; “Theoretical update of the semileptonic branching ratio of B mesons”; *Phys. Lett. B* **342**, (1995) 362.
- [۵] I. I. Bigi, N. Uraltsev and A. Vainshtein; “Non-perturbative corrections to inclusive beauty and charm decays : QCD versus phenomenological models”; *Phys. Lett. B* **293**, (1995) 430.
- [۶] G. Ganbold, T. Gutsche, M. A. Ivanov and V.E. Lyubovitskij; “On the meson mass spectrum in the covariant confined quark model”; *J. Phys. G: Nucl. Part. Phys* **42**, (2015) 075002.
- [۷] R. Aaij et al., LHCb collaboration; “Observation of the $B_s^0 \rightarrow \chi_{c1}(3872)\pi^+\pi^-$ decay”; *JHEP* **07**, (2023) 084.
- [۸] R. L. Workman et al., Particle Data Group; “Review of particle physics (2022)”; *Prog. Theor. Exp. Phys* **2022**, (2022) 083C01.
- [۹] M. Albaladejo, J. T. Daub, C. Hanhart, B. Kubis and B. Moussallam; “How to employ $\bar{B}_d^0 \rightarrow J/\psi(\pi\eta, K\bar{K})$ decays to extract information on $\pi\eta$ scattering”; *JHEP* **04**, (2017) 010.
- [۱۰] J. T. Daub, C. Hanhart and B. Kubis; “A model-independent analysis of final-state interactions in”; *JHEP* **02**, (2016) 009.
- [۱۱] W. H. Liang and E. Oset; “ B^0 and B_s^0 decays into $J/\psi f_0(980)$ and $J/\psi f_0(500)$ and the nature of the scalar resonances”; *Phys. Lett. B* **737**, (2014) 70.
- [۱۲] C. Meng and K. T. Chao; “Decays of the $X(3872)$ and $\chi_{c1}(2P)$ charmonium”; *Phys. Rev. D* **75**, (2007) 114002.

بررسی نظریه میدان های مؤثر در تولید یک فوتون به همراه دو جت از طریق برهمکنش الکتروضعیف در برخورد دو پروتون در انرژی مرکز جرم 13 TeV تراکترون ولت

بخشیان سهی، حامد؛ حاجی مقصود، محمد مهدی^۱

^۱دانشکده فیزیک دانشگاه صنعتی اصفهان، اصفهان، ایران

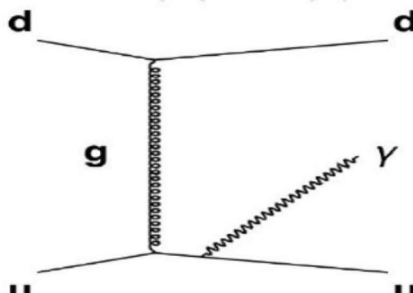
چکیده

در این مطالعه میزان حساسیت مورد انتظار حاصل از تولید یک فوتون به همراه دو جت از طریق همچوئی بوزونی در برخوردهای پروتون-پروتون را برای محصور کردن پارامترهای نظریه ای میدان های مؤثر بررسی کردیم. از شبکه های حسابی عمیق برای افزایش حساسیت بهره ایم. همچنین این مطالعه در انرژی مرکز جرم 13 TeV تراکترون ولت انجام می شود که با داده های آزمایشگاه CMS در Run-II قابل مقایسه و بررسی باشد.

Abstract

In this study, we have investigated the expected sensitivity of the production of one photon plus two jets through vector boson fusion in proton-proton collisions to the parameters of effective field theory. We have used deep neural networks to increase the sensitivity. this study is performed at the center of mass the energy at $\sqrt{s} = 13\text{ TeV}$, which can be compared and analyzed with the data of CMS in CERN in Run- II.

PACS No. 12



شکل ۱: نمودار فاینمن تولید یک فوتون به همراه دو جت در برهمکنش قوی هسته ای که پس زمینه اصلی تولید یک فوتون به همراه دو جت از طریق برهمکنش الکتروضعیف است.

لاگرانژی مرتبه برهمنکنش $WW\gamma$ که می توان با در نظر گرفتن برهمکنش های غیر عادی این سه ذره نوشت را در معادله زیر میتوانید بینند [2].

$$(1)$$

$$\begin{aligned} \mathcal{L}_{WW\gamma} = & ig_{WW\gamma} [g_1^\gamma (W_{\mu\nu}^+ W_\mu^- A_\nu - W_{\mu\nu}^- W_\mu^+ A_{\nu u}) \\ & + \kappa_\gamma W_\mu^+ W_\nu^- A_{\mu\nu} + \frac{\lambda_\gamma}{M_W^2} W_{\mu\nu}^+ W_{\nu\rho}^- A_{\rho\nu} \\ & + ig_5^\gamma W_\mu^+ W_\nu^- (\partial_\mu A_\nu + \partial_\nu A_\mu) \\ & - ig_5^\gamma \epsilon_{\mu\nu\rho\sigma} (W_\mu^+ \partial_\rho W_\nu^- - \partial_\rho W_\mu^+ W_\nu^-) A_\sigma \\ & + \kappa_\gamma W_\mu^+ W_\nu^- A_{\mu\nu} + \frac{\lambda_\gamma}{M_W^2} W_{\mu\nu}^+ W_{\nu\rho}^- A_{\rho\nu}] \end{aligned}$$

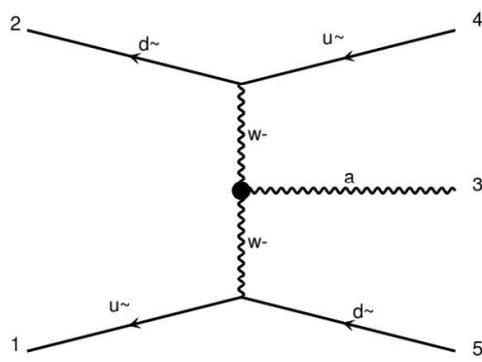
قصد داریم به بررسی قسمت های غیر از استاندارد مدل این لاگرانژی بپردازیم. ضرایب $g_{4\gamma}$ و $g_{5\gamma}$ تقارن بار و

مقدمه

فرایندی که قصد بررسی آن را داریم تولید یک فوتون به همراه دو جت از طریق برهمکنش الکتروضعیف است. این فرایند تا کنون در آزمایش های شتاب دهنده بزرگ هادرونی (LHC) مشاهده نشده است. پس زمینه ای اصلی این رویدادها را تولید یک فوتون از طریق برهمکنش های هسته ای قوی تشکیل می دهد. در شکل ۱ می توانید نمودار فاینمن پس زمینه را مشاهده کنید. این فوتون ها عمدتاً از کوارک های نهایی تابش شده اند. بررسی و شبیه سازی این پس زمینه در آزمایش های ATLAS در CERN انجام شده است [۱]. با این وجود سخت بودن شبیه سازی پس زمینه همیشه مشکل ساز بوده و چالش های زیادی بر سر راه تشخیص دقیق پس زمینه گذاشته است. چالش اصلی تقاضت بین سطح مقطع سیگنال با پس زمینه است. سطح مقطع پس زمینه بسیار بیشتر از سطح مقطع سیگنال میباشد. ممین موضوع باعث می شود تشخیص سیگنال از پس زمینه کار دشواری باشد و تا پیش از این در برخورد دهنده بزرگ هادرونی دیده نشده است. انتظار می رود در آینده نزدیک و با حل مشکلات مربوط به شناختن پس زمینه، این سیگنال به خوبی اندازه گیری گردد و بتوان از آن برای جستجو به دنبال فیزیک جدید بهره برد. برای جدا سازی این رأس مطالعه جدگانه ای صورت گرفته که در آن مطالعه قسمتی که فقط داری برهمکنش الکتروضعیف باشد از قسمتی که دارای برهمکنش قوی هسته ای می باشد جدا شده است.

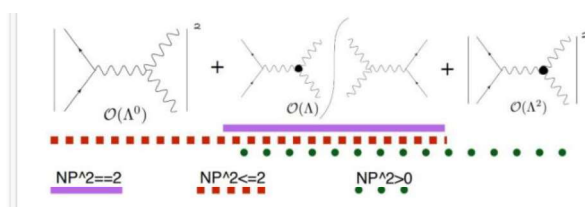
شبیه سازی

به منظور شبیه سازی برخوردهای پروتون پروتون با انرژی مرکز جرم ۱۳ ترا الکترون ولت از نرم افزار MADGRAPH5_aMC@NLO [4] استفاده شد و رویدادها با این مرکز جرم شبیه سازی شدند. در مرحله‌ی بعد از نرم افزار PYTHIA [5] برای فواره‌ای شدن ذرات و از نرم افزار Delphes [6] برای شبیه سازی آشکارساز CMS استفاده شده است. برای بررسی نظریه میدان های مؤثر از مدل MadGraph [6] در EWdim6 استفاده شد. در این مدل از عملگرهای ۶ بعدی نظریه میدان های مؤثر پایه سازی شده است.



شکل ۳: نمودار فاینمن تولید دو جت به همراه یک فوتون در برهمکنش الکتروضعیف

ابتدا با استفاده از مدل EWdim6 در نرم افزار مدگراف قسمت استاندارد مدل و قسمت نظریه میدان های مؤثر را شبیه سازی کردیم. قسمت حاصل از تداخل مدل استاندارد با نظریه میدان های مؤثر را نیز به عنوان بخشی از فرایند فراتر از مدل استاندارد شبیه سازی کرده ایم. پارامترهای NP² و NP² در این مدل امکان تولید بخش های مختلف را به نحوی که در شکل ۴ نمایش داده شده در اختیار کاربر قرار میدهد.



شکل ۴: در این شکل نحوی تولید بخش های مختلف با کنترل کردن پارامترهای NP و NP² امده است.

پاریته را نقض میکند و با حذف آن ها لاگرانژی معادله‌ی زیر به دست می‌آید [2].

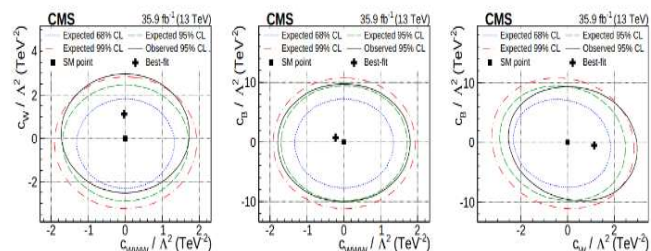
$$\mathcal{L}_{WW\gamma} = ig_{WW\gamma} [g_1^\gamma (W_{\mu\nu}^+ W_\mu^- A_\nu - W_{\mu\nu}^- W_{\mu\nu}^+ A_{\nu u}) + \kappa_\gamma W_\mu^+ W_\nu^- A_{\mu\nu} + \frac{\lambda_\gamma}{M_W^2} W_{\mu\nu}^+ W_{\nu\rho}^- A_{\rho\nu}] \quad (2)$$

قسمت اول این معادله مربوط به استاندارد مدل می‌شود و ضرایب که در دو جمله‌ی اخیر ظاهر شده است به نظریه میدان های مؤثر مربوط می‌شود. در این معادله‌ی جدید با بسط دادن ضرایب λ_γ و κ_γ طبق روابط (۳)، لاگرانژی را میتوان بر حسب پارامترهای نظریه‌ی میدانهای مؤثر نوشت. در معادله زیر آن را دیده می‌شود، متوجه می‌شویم که این لاگرانژی به پارامترهای C_{WWW}, C_W و C_B از مدل نظریه‌ی میدان های مؤثر بستگی دارد.

$$\kappa_\gamma = 1 + (C_W + C_B) \frac{m_W^2}{2\Lambda^2}, \quad (3)$$

$$\lambda_\gamma = C_{WWW} \frac{3g^2 m_W^2}{2\Lambda^2}.$$

حدی که در مورد این پارامترها وجود دارد در تحلیل های مختلفی بررسی شده است. بهترین حدی که تا کنون روی این پارامترها به دست آمده در آزمایشگاه CMS آن را در مطالعه‌ی تولید WW و WZ در کانال واپاشی دو لپتون + دو جت به دست آمده است (جدول ۱ و شکل ۲). ما در این مطالعه سعی داریم به کمک یادگیری ماشین میزان حساسیت تولید یک فوتون به همراه دو جت در برهمکنش الکتروضعیف را به پارامترهای نظریه میدان های مؤثر بسنجیم. در شکل ۳ نمودار فاینمن این برهمکنش آمده است [3].

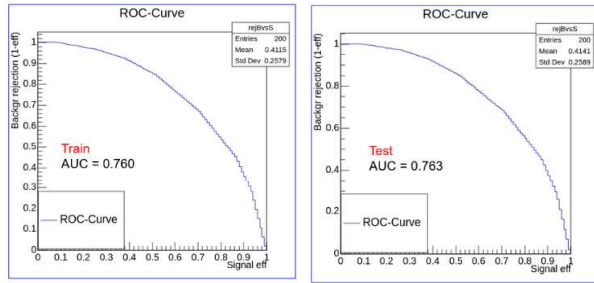


شکل ۲: حد فعلی روی پارامترهای نظریه میدان های مؤثر [3]

جدول ۱: حد روی پارامترهای نظریه میدان های مؤثر

C _{WWW}	[−1.58, 1.59]
C _B	[−8.78, 8.54]
C _W	[−2.00, 2.56]

آموزش را دید که مساحت ناحیه زیر نمودار هر کدام به ترتیب ۰.۷۶۳ و ۰.۷۶۰ می باشد.



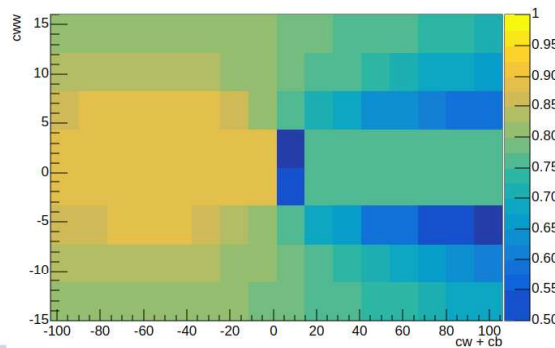
شکل ۶: خروجی ROC برای تست(راست) و آموزش (چپ) ماشین

جدا سازی استاندارد مدل از نظریه ی میدان های مؤثر

روشی که در این مرحله از کار در نظر گرفته شد آموزش دادن ماشین به وسیله‌ی یک نقطه از فضای پارامتر و تست کردن خروجی این ماشین روی نقاط دیگر فضای پارامتر است. برای ورودی های این ماشین از لیست متغیرهایی که در جدول ۲ است استفاده شده است. همچنین می‌شود مقایسه این متغیرهای را برای استاندارد مدل و نظریه میدان های مؤثر در شکل ۵ دید. نقطه‌ی که به وسیله‌ی آن شبکه عصبی را آموزش داده شد دید. نقاطی که به وسیله‌ی آن شبکه عصبی CB = 10، CW = 10، CWWW = 10 حدود ۱۰ برابر شده‌ی حد بالای حد های فعلی روی این پارامتر ها هستند.

نتیجه گیری

بعد از آموزش شبکه‌ی عصبی قدرت تفکیک این ماشین را روی نقاط دیگر فضای پارامتر ها تست شد. به وسیله‌ی رسم کردن ROC برای هر کدام از این نقاط و به دست آوردن مساحت ناحیه زیر این نمودارها که نشان دهنده‌ی قدرت تفکیک استاندارد مدل از نظریه میدان های مؤثر در این ماشین است می‌توان قدرت تفکیک را برای هر نقطه از فضای پارامتر نظریه میدان های مؤثر به دست آورد. همانطور که از معادله‌ی ۳ انتظار می‌رفت قدرت تفکیک این شبکه عصبی تابع $C_{\text{www}} + C_B + C_W$ است. در شکل ۷ می‌شود قدرت تفکیک این ماشین را روی نقاط مختلف فضای پارامتر نظریه میدان های مؤثر ملاحظه کرد. با توجه به شکل ۷ بنظر می‌رسد ماشین آموزش داده شده می‌تواند با یک نقطه ورودی همه‌ی نقاط فضای پارامتر نظریه میدان های مؤثر را به خوبی از مدل استاندارد تشخیص دهد.

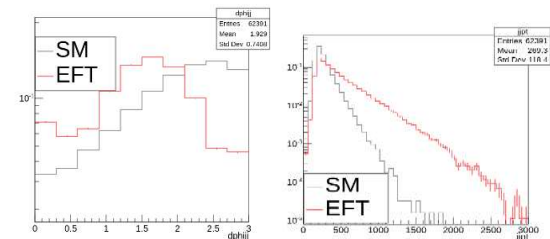


شکل ۷: قدرت تفکیک ماشین در نقاط مختلف فضای پارامتر نظریه میدان های مؤثر

در نهایت با در نظر گرفتن دو دیدگاه مختلف برای قسمت برهمکنش قوی و فیت کردن لاپکلی هود حد های مختلفی برای پارامتر های C_{www} و C_B ($C_W + C_B$) به دست آمدند که در ادامه نمودار این حد ها آمده‌اند.

جدول ۲: متغیرهای که شبکه عصبی با آنها آموزش داده شد

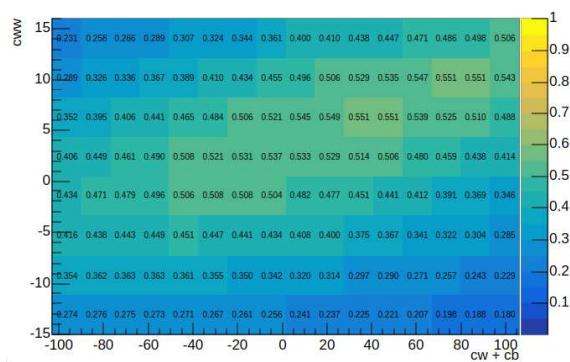
متغیر	تعریف
m_{jj}	جرم ناوردا دو جت
Y^*	زاویه فوتون منهای زاویه دو جت
$\Delta\phi_{jj}$	زاویه بین دو جت
$\text{rel. } p_t$	مجموعه تکانه‌ی دو جت تقسیم بر تکانه فوتون
$\Delta\phi_{\gamma jj}$	زاویه بین فوتون با دو جت
$\Delta\phi_{\gamma jj}$	زاویه بین فوتون با دو جت
crs	دایره‌ای بودن
$\Delta\phi_{\gamma j1}$	زاویه بین فوتون با جت دوم
$P_{t,jj}$	تکانه عرضی دو جت
$\Delta\phi_{\gamma j0}$	زاویه بین فوتون با جت اول
D	$(27q_1 * q_2 * q_3)$



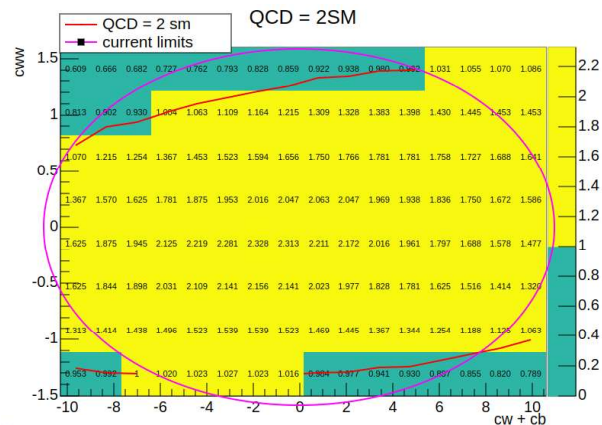
شکل ۸: مقایسه تکانه عرضی دو جت(راست) و مقایسه زاویه بین دو جت (چپ) در مدل استاندارد و نظریه میدان های مؤثر در نقطه $C_W = 7.5$, $C_B = 42.5$ و $C_{\text{www}} = 10$.

یک شبکه عصبی عمیق با ۵ لایه توسط کتابخانه keras آموزش داد شد که دقت این شبکه عصبی در تست ۷۰ درصد می‌باشد. تعداد لایه‌ها و تعداد نود در هر لایه توسط ابزار بهینه سازی که در کتابخانه keras وجود دارد انتخاب شدند. از loss SparseCategoricalCrossentropy شده و در شکل می‌شود ROC این ماشین برای تست و

- [4] J. Alwall et al., “The automated computation of differential cross tree-level and next-to-leading order sections, and their matching parton shower simulations”, *JHEP* 1407(2014) doi:10.1007/JHEP07(2014)079, arXiv:1405.0301.
- [5] DELPHES 3 Collaboration, “DELPHES 3, A modular framework for fast simulation of a generic collider experiment”, *JHEP* 02 (2014) 057, doi:10.1007/JHEP02(2014)057, arXiv:1307.6346.
- [6] Monte Carlo tools for studies of non-standard electroweak gauge boson interactions in multi-boson processes: A Snowmass White Paper, arXiv:1309.7890v1 [hep-ph] 30 Sep 2013



شکل ۸: فیت لایکلی هود برای مقادیر مختلف فضای فاز نظریه میدان های مؤثر با فرض حذف کامل قسمت برهمکنش قوی هسته ای.



شکل ۹: فیت لایکلی هود برای مقادیر مختلف فضای فاز نظریه میدان های مؤثر با فرض دو برابر بودن قسمت برهمکنش قوی هسته ای.

در هر دو دیدگاه می تواند حد های بهتری نسبت به حد های موجود بر روی پارامتر های نظریه میدان های مؤثر گذاشت. نشان دهنده ای است که کانالی که مورد بررسی قرار گرفت حساسیت خوبی به پارامتر های نظریه میدان های مؤثر دارد.

مرجع ها

- [1] ATLAS Collaboration, “Measurement of the electroweak production of dijets in association with a Z-boson and distributions sensitive to vector boson fusion in proton-proton collisions at $s = 8$ TeV using the ATLAS detector”, *JHEP* 04 (2014)
- [2] Search for the anomalous $W W \gamma$ couplings through the process $e^- e^+ \rightarrow ve\bar{v}\gamma$ at ILC with unpolarized and polarized beams arXiv:2009.05848v2 [hep-ph] 30 Jul 2021
- [3] A. M. Sirunyan et al. [CMS Collaboration], *JHEP* 12, 062 (2019) [arXiv:1907.08354 [hep-ex]]

تعیین تابع ساختار قطبیده نوکلئونی با استفاده از تبدیل لاپلاس

میرجلیلی، ابوالفضل^۱; آتشبار تهرانی، شاهین^{۲,۳}

^۱ دانشکده فیزیک دانشگاه یزد، یزد

^۲ پژوهشگاه دانش‌های بنیادی (IPM) پژوهشکده ذرات و شتابگرها، تهران

^۳ گروه فیزیک، دانشکده علوم و فناوری نانو و زیست، دانشگاه خلیج فارس، ۷۵۱۷۹، بوشهر، ایران

چکیده

با استفاده از تبدیل لاپلاس به بررسی توابع ساختار قطبیده پروتون و نوترون در تقریب مرتبه LO و NLO می‌پردازیم. برای این منظور در ابتدا لازم است با استفاده از این تبدیل معادلات تحول پارتونی را در فضای لاپلاس باست آوریم. این تبدیل در حل تحلیلی و همچنین عددی معادلات تحول پارتونی مورد استفاده قرار می‌گیرد که روش کارآمدی برای دستیابی به توابع توزیع پارتونی در مقیاس انرژی‌های بالا می‌باشد. استفاده از تبدیل لاپلاس متناسب به ظهور ممان توابع ساختار نوکلئونی می‌شود. برای رسیدن به این توابع ساختار بر حسب متغیر بیورکن از تکنیک چند جمله‌ای‌های ژاکوبی بهره‌مند می‌شویم. در ادامه مقایسه‌ای با داده‌های آزمایشگاهی قابل دسترس و همچنین تعدادی از مدل‌های پایه شناسی موجود برای تابع ساختار قطبیده نوکلئونی g_1 خواهیم داشت تا تاییدی بر صحبت محاسبات انجام شده باشد. نتایج باست آمده با داده‌ها و مدل‌های موجود در توافق خوبی می‌باشند.

واژه‌های کلیدی: تابع ساختار قطبیده، تبدیل لاپلاس، تقریب LO و NLO .

Determining the polarized structure function using Laplace transformation

Mirjalili, Abolfazl¹; Atashbar Tehrani, Shahin^{2,3}

¹Department of Physics, Yazd University, Yazd

²School of Particles and Accelerators, Institute for Research in Fundamental Sciences (IPM), Tehran

³Department of Physics, Faculty of Nano and Bio Science and Technology, Persian Gulf University, 75169, Bushehr, Iran

Abstract

Using the Laplace transformation we consider the polarized structure function of proton and neutron at LO and NLO approximations. For this purpose it is needed at first, using this transformation, to obtain the parton evolution equations in Laplace space. This transformation is used to obtain an analytical and also numerical solutions of parton evolution equations which are an efficient method to obtain parton densities at high energy scales. Using the Laplace transform lead us to moment of nucleon structure functions. To obtain the structure functions in terms of x -Bjorken variable, we employ the technique of Jacobi polynomials. In continuation we compare the g_1 as polarized nucleon structure function with the available experimental data and also some phenomenological models to confirm the validation of computations. Our results are in good agreement with the data and models.

Keywords: Polarized structure function, Laplace transform, LO and NLO approximation.

PACS No. 13

در ایجاد اسپین نوکلئونی فراهم می‌کند. این خود نشان از اهمیت

مقدمه

توابع ساختار قطبیده نوکلئونی دارد که درینجا به بررسی آنها می‌پردازیم. در این مقاله ابتدا حل معادلات تحول پارتونی با کمک تبدیل لاپلاس در دو تقریب LO و NLO بعنوان یک روش کارآمد برای حل این معادلات مورد توجه قرار می‌گیرد [1,2].

آزمایش‌های پراکندگی پرتوهای قطبیده لپتونی در انرژی‌های بالا از اهداف قطبیده پروتونی و نوترونی می‌تواند اندازه‌گیری تابع ساختارهای قطبیده نوکلئونی را فراهم سازد. توابع ساختار اندازه‌گیری شده نوکلئونی اطلاعات خوبی از سهم کوارک‌های قطبیده

این توزیعها که بصورت معادلات جفت شده هستند در فضای لaplac بصورت زیر می باشد:

$$\frac{\partial \Delta f_s}{\partial \tau}(s, \tau) = \Delta \Phi_f^{LO}(s) \Delta f_s(s, \tau) + \Delta \Theta_f^{LO}(s) \Delta g(s, \tau),$$

$$\frac{\partial \Delta g}{\partial \tau}(s, \tau) = \Delta \Phi_g^{LO}(s) \Delta g(s, \tau) + \Delta \Theta_g^{LO}(s) \Delta f_s(s, \tau). \quad (4)$$

حل این معادلات بصورت زیر خواهد بود:

$$\Delta f(s, \tau) = \Delta k_{ff}(s, \tau) \Delta f_0(s) + \Delta k_{fg}(s, \tau) \Delta g_0(s),$$

$$\Delta g(s, \tau) = \Delta k_{gg}(s, \tau) \Delta g_0(s) + \Delta k_{gf}(s, \tau) \Delta f_0(s) \quad (5)$$

در رابطه های بالا $\Delta f_0(s)$ و $\Delta g_0(s)$ توزیع های قطبیده

دریا و گلثون در مقیاس انرژی اولیه می باشد. کرنل های Δk_{ff} و Δk_{gg} در مرجع [3] آمده است.

از طرفی جواب معادله تحول برای حالت غیریکتا در مرتبه NLO همانند رابطه (3) می باشد با این تفاوت کهتابع شکاف $\Delta \Phi_{NS}(s)$ در این تقریب بصورت زیر خواهد بود

$$\Delta \Phi_{NS}(s) \equiv \Delta \Phi_{NS}^{LO}(s) + \frac{\tau_2}{\tau} \Delta \Phi_{NS}^{NLO}(s) \quad (6)$$

در این رابطه متغیر τ بصورت زیر می باشد [1]

$$\tau_2 \equiv \frac{1}{4\pi} \int_0^\tau \alpha_s(\tau') d\tau' = \frac{1}{(4\pi)^2} \int_{Q_0^2}^{Q^2} \alpha_s^2(Q'^2) d \ln Q'^2$$

پارامتر بندی توزیع های قطبیده اولیه

همانطور که مشخص است برای دست یابی به توزیع های پارتونی تحول یافته به این توزیعها در مقیاس انرژی اولیه Q_0 نیاز داریم. این توزیعها دارای شکل پارامتر بندی شده زیر می باشد:

$$x \Delta q(x, Q_0^2) = N_q \eta_q x^{a_q} (1-x)^{b_q} (1+c_q x) \quad (7)$$

که در آن ثابت بنهجارش N_q از رابطه زیر بدست می آید:

$$\frac{1}{N_q} = \left(1 + c_q \frac{a_q}{a_q + b_q + 1} \right) B(a_q, b_q + 1)$$

در رابطه (7) اندیس q یک برچسب عمومی است که شامل کوارک های طرقیت، دریا و گلثون می باشد بطوریکه $\{u_\nu, d_\nu, \bar{q}, g\}$

بر این اساس توابع توزیع قطبیده پارتونی شامل توزیع های غیریکتا، گلثونی و دریا در فضای لaplac بدست خواهد آمد [3]. با استفاده از این توابع به ممان توابع ساختار در این فضا دست خواهیم یافت. در ادامه، استفاده از چند جمله ای های ژاکوبی این امکان را فراهم خواهد ساخت که توابع ساختار نوکلئونی در فضای متغیر بیورکن x را بدست آوریم [4] و در نهایت امکان مقایسه با داده های آزمایشگاهی فراهم خواهد شد.

معادلات تحول در تقریب LO

معادله تحول DGLAP برای توزیع قطبیده غیر یکتا بصورت زیر می باشد [1]:

$$\frac{4\pi}{\alpha_s(Q^2)} \frac{\partial \Delta F_{NS}}{\partial \ln Q^2} (x, Q^2) = \Delta F_{NS} \otimes \Delta P_{qq}^0(x, Q^2) \quad (1)$$

با استفاده از تبدیل لaplac این معادله بشکل زیر در می آید:

$$\frac{\partial \Delta f_{NS}}{\partial \tau}(s, \tau) = \Delta \Phi_f^{LO}(s) \Delta f(s, \tau) \quad (2)$$

تابع شکاف در تقریب LO برای حالت قطبیده در فضای لaplac به صورت زیر می باشد:

$$\Delta \Phi_f^{LO} = 4 - \frac{8}{3} \left(\frac{1}{s+1} + \frac{1}{s+2} + 2(\psi^{(0)}(s+1) + \gamma_E) \right)$$

حل معادله تحول توزیع غیر یکتا، معادله (2)، در فضای لaplac منجر به رابطه زیر می شود:

$$\Delta f_{NS}(s, \tau) = e^{\tau \Delta \Phi_{NS}(s)} \Delta f_{NS}^0 \quad (3)$$

جائیکه متغیر τ در رابطه بالا با عبارت زیر داده می شود

$$\tau \equiv \frac{1}{4\pi} \int_{Q_0^2}^{Q^2} \alpha_s(Q'^2) d \ln Q'^2$$

در رابطه (3) معرف توزیع قطبیده غیر یکتا در مقیاس انرژی اولیه Q_0 می باشد.

معادلات تحول در تقریب NLO

در تقریب NLO علاوه بر دست یابی به تحول توزیع غیریکتا، نیاز به تحول توزیع های دریا و گلثون نیز می باشیم. معادلات تحول

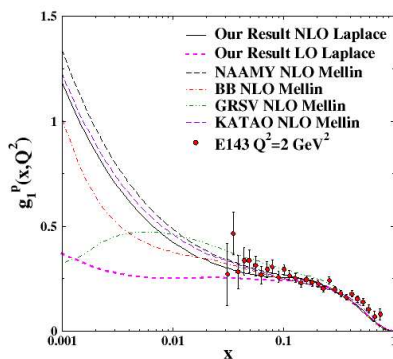
تابع ساختارهای پروتون و نوترون در فضای لابلس عملاً از یک تبدیل بددست می‌آیند. بطوريکه تابع ساختار مورد نظر را از فضای ببورکن x به فضای لابلس s می‌برند. نتیجه حاصل شده در رابطه (9) معروف ممان توابع ساختار در فضای لابلس هستند. برای رفتن از فضای ممان s به فضای ببورکن x می‌توان از چند

جمله‌ای های ژاکوبی بصورت زیر استفاده نمود [4]:

$$xg_1(x, Q^2) = x^\beta (1-x)^\alpha \sum_{n=0}^{N_{max}} \Theta_n^{\alpha, \beta}(x) \sum_{j=0}^n c_j^{(n)}(\alpha, \beta) L[xg_1, s=j+1] \quad (10)$$

تابع ساختار در فضای ببورکن

از آنجائیکه پارامتریندی توزیع های پارتونی در مقیاس انرژی Q_0 را بر حسب رابطه (7) در اختیار داریم می توانیم تابع ساختار های نوکلئونی در فضای X را در هر مقیاس انرژی دیگر به کمک رابطه (10) بددست آوریم. توجه شود که توزیع های کوارکی و گلئونی تحول یافته در فضای لابلس با کمک روابط (5) و (6) در اختیارمان می باشند. با انجام یک برآذش عمومی با کمک بسته نرم افزار MIMUIT [6] بر روی داده های آزمایشگاهی موجود از گروه های HERMES, COMPASS, EMC, SMC و JLAB که شامل داده های مربوط به تابع های ساختار پروتون، نوترون و دوتیریم می باشد می توانیم پارامترهای مجهول در توزیع های پارتونی را بدست آوریم. با جایگذاری مقادیر عددی این پارامترها در رابطه (10) توابع ساختار پروتون و نوترون در فضای ببورکن X بدست می آید. از طرفی تابع ساختار دوتیریم بر حسب تابع ساختارهای پروتون و نوترون با رابطه زیر داده می شود:



شکل ۱ تابع ساختار قطبیده پروتون با استفاده از تبدیل لابلس در دو تقریب LO و NLO و مقایسه آن با مدل های NAAMY[7] و BB[8] و GRSV[9] و KATAO[11].

این پارامترها با استفاده از قید های آزمایشگاهی که برای ممان مرتبه اول مربوط به ترکیب توزیع های یکتا وجود دارد و همچنین برآذش روی داده های موجود آزمایشگاهی برای تابع ساختارهای قطبیده نوکلئونی بددست می‌آیند. قید های معرفی شده با روابط زیر داده می شوند:

$$a_3 = \int_0^1 dx \Delta q_3 = \eta_{u_V} - \eta_{d_V} = F + D, \quad (8)$$

$$a_8 = \int_0^1 dx \Delta q_8 = \eta_{u_V} + \eta_{d_V} = 3F - D$$

بطوريکه

$$q_3 = (\Delta u + \Delta \bar{u}) - (\Delta d + \Delta \bar{d}),$$

$$q_8 = (\Delta u + \Delta \bar{u}) + (\Delta d + \Delta \bar{d}) - 2(\Delta s + \Delta \bar{s})$$

با استفاده از ثابت های به روز شده واپاشی ذره β که بصورت $D = 0.806 \pm 0.008$ و $F = 0.464 \pm 0.008$ گزارش شدند [5].

مقادیر عددی η_{u_V} و η_{d_V} در روابط (8) بددست خواهند آمد که در تحلیل عددی تعیین پارامتر های مجهول رابطه (7) مورد استفاده قرار خواهند گرفت. اکنون با در اختیار داشتن توزیع های پارتونی اولیه و بکارگیری جواب های مربوط به توابع توزیع تحول یافته قادر هستیم تابع ساختار قطبیده نوکلئونی را در فضای لابلس بدست آوریم. برای رفتن از فضای لابلس s به فضای متغیر ببورکن X نیار به استفاده از تکنیک چند جمله‌ای های ژاکوبی است.

چند جمله‌ای های ژاکوبی و تابع ساختار قطبیده نوکلئونی تابع ساختار قطبیده پروتون و نوترون در فضای لابلس با روابط زیر داده می شوند:

$$\begin{aligned} L[g_1^P, s] &= \frac{1}{2} \sum_q e_q^2 \times \left[\left(1 + \frac{\tau}{4\pi} \Delta C_q(s) \right) [\Delta q(s, Q^2) + \Delta \bar{q}(s, Q^2)] \right. \\ &\quad \left. + \frac{2}{3} \frac{\tau}{4\pi} \Delta C_g(s) \Delta g(s, Q^2) \right] \end{aligned} \quad (9)$$

$$L[g_1^n, s] = L[g_1^P, s] - \frac{1}{6} (L[u_V, s] - L[d_V, s]) \times \left(1 + \frac{\tau}{4\pi} \Delta C_q(s) \right)$$

در این روابط $\Delta C_g(s)$ و $\Delta C_q(s)$ معرف تابع های ضریب ویلسون می باشند که از مرجع [3] قابل حصول است و بقیه کمیت ها این رابطه در فضای لابلس شناخته شده می باشند.

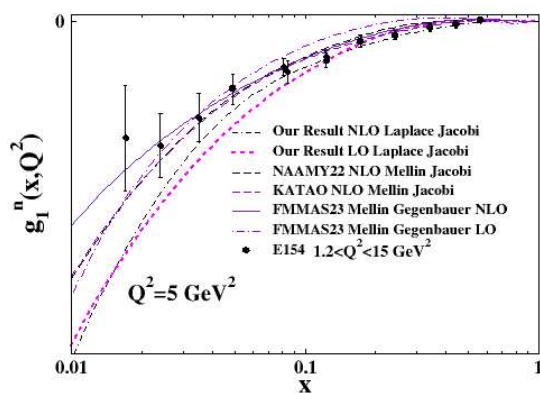
ممکن آورده شود. با این وجود برای اطلاعات بیشتر خواننده را به [3] و [7] ارجاع می دهیم.

نتیجه گیری

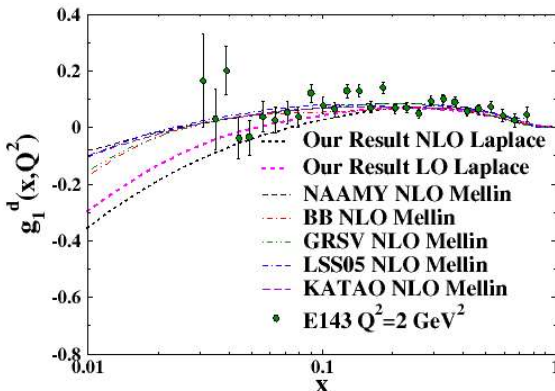
آزمایش های مربوط به پراکندگی ناکشسان ژرف قطبیده یکی از کارآمدترین روش های بررسی ساختار اسپینی پروتون و نوترون می باشد. با کمک این آزمایش ها بررسی ماهیت کوارکی نوکلئون ها بر پایه داده های آزمایشگاهی مبتنی بر عدم تقارن اسپینی امکان پذیر می باشد. نظر به اهمیت این موضوع، در این مقاله داده های اخیر برای ساختار های قطبیده نوکلئونی بکار گرفته شدند تا تحلیلی از نظریه QCD مبتنی بر مدل کوارکی بتواند انجام شود. نتایج نشان داده شده از محاسبات مان در شکل های 1, 2 و 3 تاییدی برای مدعای است. تعمیم محاسبات بطوریکه شامل تابع ساختار g_2 که به قطبش عرضی نوکلئونی مربوط می باشد و همچنین بررسی تعدادی از قاعده های جمع نظری قاعده جمع بیورکن و قاعده جمع هلیسیتی پروتون می تواند در راستای تایید بیشتر برای پیش بینی های نظریه QCD مورد توجه قرار گیرد.

مرجع ها

- [1] M. M. Block, Eur. Phys. J. C 68, 683 (2010).
- [2] M. M. Block, Eur. Phys. J. C 65, 1 (2010).
- [3] S. Atashbar Tehrani, F. Taghavi-Shahri, A. Mirjalili, and M. M. Yazdanpanah, Phys. Rev. D 87, 114012 (2013); 88,039902(E) (2013).
- [4] A. L. Kataev, G. Parente, and A. V. Sidorov, Nucl. Phys. B573, 405 (2000).
- [5] C. Amsler et al. (Particle Data Group), Phys. Lett. B 667, 1 (2008).
- [6] F. James and M. Roos, Comput. Phys. Commun. 10, 343 (1975).
- [7] H. Nematollahi, P. Abolhadi, S. Atashbar, A. Mirjalili, and M. M. Yazdanpanah, Eur. Phys. J. C 81, 18 (2021).
- [8] J. Blumlein and H. Bottcher, Nucl. Phys. B841, 205 (2010).
- [9] M. Gluck, E. Reya, M. Stratmann, and W. Vogelsang, Phys. Rev. D 63, 094005 (2001).
- [10] E. Leader, A. V. Sidorov, and D. B. Stamenov, Phys. Rev. D73, 034023 (2006).
- [11] A. N. Khorramian, S. Atashbar Tehrani, S. Taheri Monfared, F. Arbabifar, and F. I. Olness, Phys. Rev. D 83, 054017(2011).
- [12] M. Lacombe, B. Loiseau, R. Vinh Mau, J. Cote, P. Pires and R. de Tourreil, Phys. Lett. B 101, 139 (1981).



شکل 2-تابع ساختار قطبیده نوترون با استفاده از تبدیل لاپلاس در دو تقریب NLO و مقایسه آن با مدل های NAAMY[7] و BB[8] و KATAO[11] و LSS05[10] و GRSV[9]



شکل 3-تابع ساختار قطبیده دوترون با استفاده از تبدیل اپلاس در دو تقریب NLO و مقایسه آن با مدل های NAAMY[7] و BB[8] و KATAO[11] و LSS05[10] و GRSV[9]

$g_1^d(x, Q^2) = \frac{1}{2} \{g_1^p(x, Q^2) + g_1^n(x, Q^2)\} \times (1 - 1.5w_D)$ جاییکه $w_D = 0.05 \pm 0.01$ معرف احتمال پیدا کردن نوترون در تراز کوانتمی D می باشد [12]. بدیهی است تابع ساختار دوترمی بر حسب تابع ساختار های پروتون و نوترون قابل محاسبه می باشد. در شکل های 1, 2 و 3 نتایج حاصل از محاسبات مان مربوط به تابع ساختار های قطبیده g_1 برای پروتون، نوترون و دوترمی و مقایسه آنها با داده های آزمایشگاهی و همچنین مدل های پدیده شناسی گوناگون رسم شده است [11-7]. در این مقاله سعی شده جزئیات محاسبات با توجه محدودیت صفحات تا حد

مطالعه نظام مند ساختار لایه‌ای ایزوتوپ‌های زوج زوج اکسیژن توسط کد اکسیشن

یوسفی تازیک، مرضیه؛ محمدی، سعید؛ کوهستانی، محسن

گروه فیزیک، دانشگاه پیام نور، صنعتی پستی ۵-۳۷۹۷، تهران - ایران

چکیده

در این مقاله با استفاده کد اکسیشن و انتخاب پتانسیل مناسب ترازهای انرژی را مجلسیه و درستی مدل لایه‌ای را برای ایزوتوپ‌های زوج-زوج اکسیژن ($^{18}_8O, ^{22}_8O, ^{24}_8O, ^{16}_8O$)²⁶ مورد بررسی قرار گردید. این کد انرژی برآگذرنگ حالت پایه هر ایزوتوپ را مجلسیه می‌کند. همین احتمال قرارگیری نوکلئون‌ها در ترازها را نیز مشخص می‌کند. بعد از اجرای کد مقادیر انرژی‌های بدست آمده را با مقادیر تجربی مقایسه می‌کنیم و پتانسیل که نتایج آن با مقادیر تجربی مطابقت نداشته باشد انتخاب می‌شود. در این مقاله علاوه بر مقایسه ترازهای انرژی، مقایسه نسبت انرژی ترازهای مختلف و نیزه عمر گلار ایزوتوپ‌های مذکور محاسبه و مقایسه شد.

کلیدواژه‌ها: مدل لایه‌ای، فضای sd ، کد اکسیشن ایزوتوپ‌های اکسیژن

عنوان اصلاح شد

نام نویسنده اصلاح شده
بذا به صلاحیت نویسنده مسئول و همچنین فرخوات خام رحمانی
بنی بر حفظ لازم است

Systematic study of the shell model for even-even isotopes by Oxbash code

Yousefi Tazik¹, Marzieh¹, Mohammadi¹, Saeed¹, Kouhestani¹, Mohsen¹

Physics Department, Pyameenoor University, 19395-3697 Tehran, I.R. of Iran

Abstract

In this paper, by using the oxbash code and choosing the appropriate potential, the energy levels are calculated and the correctness of the shell model for the even-even isotopes of Oxygen element ($^{18}_8O, ^{22}_8O, ^{24}_8O, ^{16}_8O, ^{26}_8O$). We examined this code determines the excitation energy of the ground state of each isotope. It also determines the probability of placing nucleons in levels. After running the energy code, we compare the obtained energy with the experimental results and the potential whose results match the experimental results is selected. In this paper, in addition to comparing the energy levels, the value of the second to first excitation energy ratio, the deformation parameter and the transition half-life of the mentioned isotopes were calculated and compared.

Keyword: Shell Model, sd Space, OXBASH Code, Oxygen Isotops.

PACS No. 20

مقدمه:

تนาوبی است. این عنصر نافلزی بسیار واکنش‌پذیر است و به آسانی موجب اکسید شدن عناصر و ترکیبات شیمیایی می‌شود. عنصر اکسیژن ۱۴ ایزوتوپ دارد که فقط سه تا از آنها پایدار هستند و بقیه ناپایدارند.^[۱] در این مقاله قصد داریم ترازهای انرژی هسته‌ای زوج-زوج اکسیژن ($^{18}_8O, ^{22}_8O, ^{24}_8O, ^{16}_8O, ^{26}_8O$) را با

یکی از مدل‌های مهم در فیزیک هسته‌ای مدل لایه‌ای است. در این مدل می‌توان ویژگی‌های تعداد بسیاری از هسته‌های سبک و متوسط مانند اسپین و انرژی را پیش‌بینی کرد. یکی از موفق‌ترین کدهای کامپیوتری برای محاسبه ترازهای انرژی، کد اکسیشن است. اکسیژن یکی از عناصر شیمیایی در گروه شانزده جدول

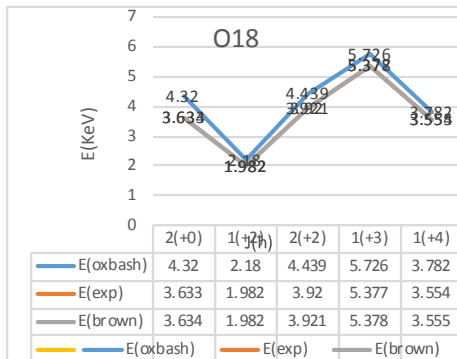
در این مقاله علاوه بر مقایسه ترازهای انرژی، مقدار نسبت انرژی برانگیختگی دوم به اول $\frac{E(4^+)}{E(2^+)}$ ، β (پارامتر تغییر شکل) و γ (نیمه عمر گذار) محاسبه شده است.

نتایج:

جدول ۱: انرژی های محاسبه شده از طریق کد OXBASH برای ۰۱۸ و مقایسه آن ها با مقادیر ثوری برآون [۳] و تجربی [۷]

J	E(Oxbash)	E(exp)	E(brown)
1(+0)	0	0	.
2(+0)	4.32	3.633	3.634
3(+0)	14.135		
1(+1)	10.823	8.817	
2(+1)	11.341		
1(+2)	2.18	1.982	1.982
2(+2)	4.439	3.92	3.921
3(+2)	9.465	8.213	
4(+2)	10.928	11.39	
5(+2)	15.693		
1(+3)	5.726	5.377	5.378
2(+3)	10.555		
1(+4)	3.782	3.554	3.555
2(+4)	8.75	7.116	

طبق جدول فقط ۶ مورد از انرژی های بدست آمده به نتایج تجربی تقریباً نزدیک است.

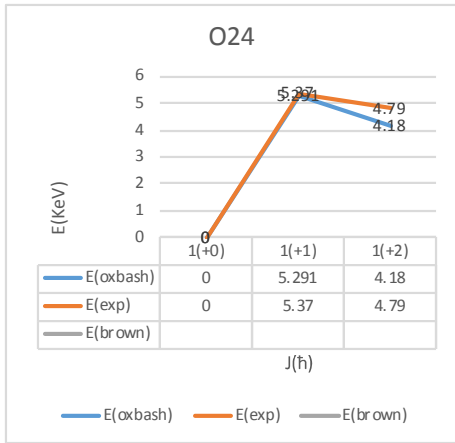
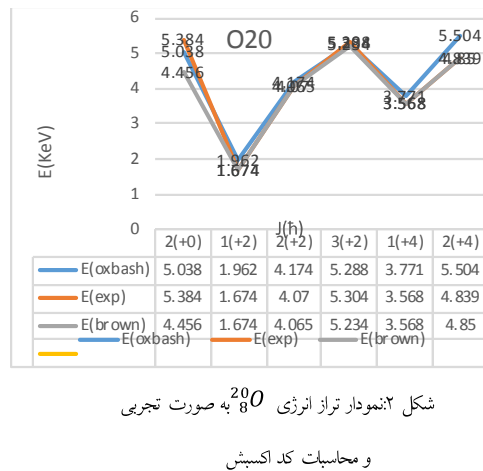


شکل ۱: نمودار تراز انرژی ^{18}O به صورت تجربی و محاسبات کد اکسپشن

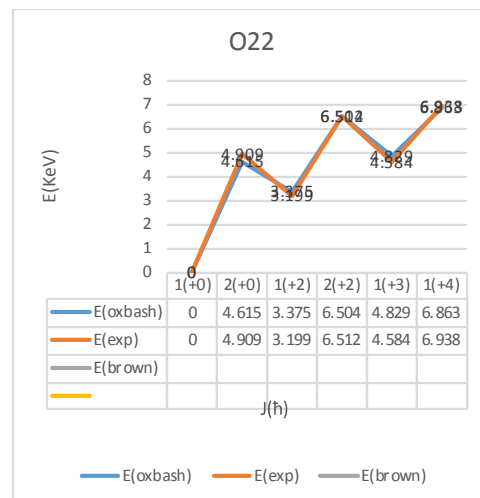
استفاده از کد اکسپشن [۲] بدست آورده و با مقایسه با داده های تجربی و محاسبات برآون [۳]، بهترین پتانسیل را معرفی می کنیم. با استفاده از این کد فضاهای مختلف مورد مطالعه قرار گرفته از جمله لایه HASP در سال ۲۰۰۱ توسط برآون [۳] و همچنین بررسی ایزوتوپ های گوگرد با هامیلتونی USD در سال ۲۰۱۵ [۴] انجام شد و نیز محاسبات مربوط به آنالیز ترازهای انرژی طیف فسفر ۳۲ که در سال ۲۰۱۷ انجام شده است [۵]. در این مقاله محاسبات با پتانسیل برهمکنشی وود-ساکسون (W) انجام شده است [۶].

روش کار:

ابندا اطلاعات حالت پایه هسته های مذکور را که برای اجرای این کد مورد نیاز است مانند عدد اتمی، ایزو اسپین، پاریته، تعداد نوکلئون های ظرفیت، عدد نوترونی را با استفاده از کتاب های فیزیک هسته ای پیدا می کنیم [۱]. در مدل لایه ای این نوکلئون های ظرفیت هستند که خواص هسته ای را شکل می دهند. برای بدست آوردن این نوکلئون ها ابتدا باید مقدار پروتون ها و نوترون ها عنصر را از لایه بسته قبلی یعنی اعداد سحرآمیز کم کیم. از آنجا که فضای مدل بیانگر اریتال های در نظر گرفته شده برای محاسبات است و با بهره گیری از لایه های اصلی در مدل لایه ای و افزودن پتانسیل اسپین-سدار حاصل می شود. با در نظر گرفتن تعداد نوکلئون های ظرفیت $^{18}O_{10}$ فضای مدل مناسب محاسبات فضای sd است. فضای مدل sd شامل اریتال های ظرفیت $1d_{3/2}$ و $1d_{5/2}$ ، $2s_{1/2}$ ، $1d_{3/2}$ است [۳]. با توجه به قرار گرفتن نوکلئون در پوشش SPS کد اکسپشن [۲]، پتانسیل مناسب با فضای sd برای ایزوتوپ های زوج-زوج اکسپشن پتانسیل W است. بعد از اجرای کد انرژی هایی برای ایزوتوپ مورد نظر بدست می آید که این انرژی ها را با مقادیر تجربی مقایسه می کنیم و نمودار آن را در سه می کنیم.

شکل ۴: نمودار تراز انرژی $^{24}_8O$ به صورت تجربیشکل ۵: نمودار تراز انرژی $^{20}_8O$ به صورت تجربی

و محاسبات کد اکسپشن

شکل ۶: نمودارتراز انرژی $^{26}_8O$ به صورت تجربی و محاسبات کد اکسپشنشکل ۷: نمودارتراز انرژی $^{22}_8O$ به صورت تجربی

و محاسبات کد اکسپشن

تجربی نزدیکتر است و تعداد بیشتری دارد بنابراین نمودار بهتری رسم شده است و تقریباً انرژی ها بر هم منطبق هستند.

منابع

- [1] کنت. ک، آشنایی با فیزیک هسته‌ای، جلد اول (چاپ چهلتم) ترجمه بوكاطمی او رهبرم، (۱۳۷۱)، (۱۳۷۱)، مرکز نشر دانشگاهی
- [2] Oxbash for Windows, B. A. Brown, A. Etchegoyen, N. S. Godwin, W. D. M. Rae, W. A. Richter, W. E. Ormand, E.K. Warburton, J. S. Winfield, L. Zhao and C. H. Zimmeaman, MSU-NSCL report number, 1289(2004).
- [3] The Nuclear Shell Model Towards the Drip Lines, B. A. Brown, Progress in Particle and Nuclear Physics 47,517 (2001).
- [4] Mohammadi, S., & Sirjani, S. American Journal of Modern Physics (2015).
- [5] Shafeqhat, H., et al, Modern Chemistry, 5,(2017), 82-85.
- [6] A.E. Stuchnery et al Phys Rev C 74,054307, (2006).
- [7] <http://www.radware.phy.ornl.gov>.

جلول ۲: نسبت انرژی برانگیختگی دوم به اول و β (پارامتر تغییر شکل) و نیمه عمر گذار (T_γ)

T_γ	β	$\frac{E(4^+)}{E(2^+)}$	$E(2^+)$	نام ایزوتوپ
8.6×10^{11}	9.35	1.79	1982.0	O18
1.23×10^{12}	11.154		70	
1.183×10^{12}	7.437	2.13	1674.0	O20
2.621×10^{12}	8.872		00	
1.388×10^{11}	4.723	1.43	3199.0	O22
1.981×10^{11}	5.635		00	
2.94×10^{10}	2.648	1.12	4790.0	O24
4.20×10^{10}	3.159		00	
6.47×10^{12}	12.031	1.56	1277.0	O26
9.24×10^{12}	14.353		00	

با توجه به مقادیر محاسبه شده در مورد انرژی برانگیختگی دوم به اول $\frac{E(4^+)}{E(2^+)}$ (پارامتر تغییر شکل) این ایزوتوپ های اکسیژن، حالت پایه کروی دارند و براساس مدل لایه‌ای ذره مستقل مطالعه می شوند. منظور از T_γ (نیمه عمر گذار) مدت زمانی است که یک هسته در اثر واپاشی به نصف تقلیل می یابد.

نتیجه گیری:

همان طور که از نمودارها مشخص است تغییرات صعودی و نزولی انرژی های بدست آمده با نتایج تجربی نتایج براون در همه این ایزوتوپ ها به یک شکل می باشد، در مورد ایزوتوپ $^{20}_8O$ و $^{18}_8O$ چون تعداد انرژی های بدست آمده با کد اکسیش به مقادیر

با سلام و احترام

با توجه به سوال داوران محترم، پاسخ ذیل برای این پرسش ارائه میشود امید است که مورد قبول داوران محترم قرار گیرد
کد اکبیشن یک کد محاسباتی مدل لایه ای است که فضاهای مختلف را می توان با آن مورد مطالعه قرار داد همانطور که آقای
برون در سال ۲۰۰۱ فضای HASP را بررسی کردند. در مقاله ما فضای sd مورد مطالعه قرار گرفته و از آنجا که هر فضایی
شامل پتانسیل های برهم کنشی مختلفی است و باید بهترین آنها را برگزید، در فضای sd با ۱۳ پتانسیل رو برو هستیم.

از آنجا که ورودی های آقای براون مشخص نیست و تنها نتایج و خروجی را در سایت ارائه نمودند لذا به نظر می آید علت
تفاوت نتایج مقاله ما با نتایج بروان در متفاوت بودن ورودی ها می باشد به عبارتی پتانسیل مورد استفاده آقای براون مشخص
نمی باشد و احتمالاً متفاوت با پتانسیل ما میباشد.

نکته دوم که جائز اهمیت می باشد این است که آقای بروان و تیم ایشان در واقع فقط کد اکبیشن را در سال ۲۰۰۴ تحت
ویندوز درآورده و ارائه نمودند.

لازم به ذکر است بنا به درخواست خانم رحمانی مبنی بر حذف نام ایشان از مقاله و بنا به صلاحیت نویسنده مسئول نام
ایشان از نویسنگان حذف شده است

با تشکر

ساختار ستاره کوارکی در گرانش نرده ای تانسوری

مهرآین نزدیک، مینا؛ رضایی، زینب

بخش فیزیک دانشگاه شیراز، شیراز

رصدخانه بیرونی دانشگاه شیراز، شیراز

چکیده

در این مقاله، به بررسی ساختار ستاره کوارکی در گرانش نرده ای تانسوری می پردازیم. برای توصیف شاره ستاره ای از مدل کیسه ای MIT بهره می بریم. با حل معادلات ساختار در گرانش نرده ای تانسوری، ویژگیهای ستاره کوارکی را محاسبه می نماییم. نشان می دهیم معادله حالت ماده کوارکی، نرده ای شدن ستاره کوارکی را تحت تاثیر قرار می دهد.

واژه های کلیدی: ماده کوارکی، گرانش نرده ای تانسوری، معادله حالت.

Quark star structure in scalar tensor gravity

Mehraeen Nazdik, Mina; Rezaei, Zeinab

Department of Physics, Shiraz University, Shiraz 71454, Iran

Biruni Observatory, Shiraz University, Shiraz 71454, Iran

Abstract

In this paper, we investigate the structure of quark star in scalar tensor gravity. In order to present the star fluid, we apply the MIT bag model. Solving the structure equations in scalar tensor gravity, we calculate the properties of quark star. We show that the quark matter equation of state affects the quark star scalarization.

Keywords: quark matter, scalar tensor gravity, equation of state.

PACS No. 14, 26, 97.

مقدمه

برای ستاره کوارکی جرمی حدی وجود دارد که نمی توان از آن تجاوز نمود. شعاع ستاره کوارکی در حدود چند ده کیلومتر و جرم آن از مرتبه جرم خورشید است [1]. بنابراین واضح است که باید چگالی بالایی داشته باشد. با توجه به فشردگی بالای ستاره کوارکی، نقش نسبیت عام در استخراج رابطه جرم - شعاع این ستاره ها بسیار مهم خواهد بود. از سوی دیگر، گرانشهای تعیین یافته از جمله گرانش نرده ای تانسوری، پدیده های متفاوتی از گرانش اینشتین را

آخرین مرحله تحولی برخی از ستارگان پر جرم، ستاره کوارکی می باشد [1]. یکی از عوامل اصلی در تعادل ستاره کوارکی پدیده ای کوانتمی موسوم به فشارتبهگنی کوارک ها است. در حقیقت در نتیجه اصل طرد پائولی، بیش از دو فرمیون نمی تواند یک تراز انرژی را اشغال نماید. با پر شدن تراز های مجاز انرژی، فرمیون ها شروع به فراهم نمودن یک فشار می کنند - فشارتبهگنی - که نهایتاً انقباض را متوقف می کند. این فشار تنها به چگالی، و نه دما، بستگی دارد.

شناسی، مدل های تورمی و در بخش ماده تاریک دارند. دسته وسیعی از این نظریه ها، با این که در محدوده میدان ضعیف قابل تشخیص از نسبیت عام نیستند، اما پدیدار شناختی کاملاً متفاوتی را برای ستارگان فشرده پیش بینی می کنند. دلیل این پدیده، اثر یک میدان قوی غیر اختلالی است که به آن نرداش خودبخودی می گوییم [5]. نرداش خود به خودی یک پدیده مهم در گرانش های نرده ای تانسوری است. این پدیده اولین بار در سال 1993 توسط دامور اسپوزیتو - فارس در ستاره نوترونی کشف شد [6]. در نظریه گرانش نرده ای تانسوری کنش به صورت زیر است [7].

$$S = [g_{\mu\nu}; \phi; \psi_m] = \frac{1}{16\pi} \int d^4x \sqrt{-g} (R - 2\nabla_\mu \phi \nabla^\mu \phi) + S_m[\psi_m; a(\phi)^2 g_{\mu\nu}] \quad (2)$$

که متریک با $g_{\mu\nu}$ و میدان نرده ای با ϕ نشان داده شده است. در رابطه فوق، $(g)g = \det(g_{\mu\nu})$ دترمینان ماتریس متریک $g_{\mu\nu}$ و R اسکالر ریچی است. $a(\phi)$ تابع جفت شدگی است که به میدان نرده ای وابسته است. S_m معرف کنش ماده و ψ_m بیانگر میدان های ماده است. در تحقیقات از دو نوع تابع جفت شدگی استفاده می شود که به صورت زیر می باشد [11-7]

$$\text{M1: } a(\phi) = [\cosh(\sqrt{3}\beta(\phi - \phi_0))]^{\frac{1}{3\beta}} \quad (3)$$

$$\text{M2: } a(\phi) = e^{\frac{1}{2}\beta(\phi - \phi_0)^2}. \quad (4)$$

مدل یک، یک تقریب تحلیلی برای تابع جفت شدگی می باشد که منشا آن یک نظریه اساسی شامل میدان نرده ای بدون جرم جفت شده با گرانش است [7]. مدل دو رایج ترین مدل در نظریه نرده ای تانسوری است که ساده ترین تابع جفت شدگی با اثر نرداش خودبخودی را ارائه می دهد [7 و 8]. در این مقاله از مدل 1 استفاده می نماییم. با استفاده از معادلات میدان و قانون بقاء تانسور انرژی تکانه، معادلات TOV به صورت زیر می باشد ($G = c = 1$) [7].

$$\frac{dm}{dr} = 4\pi r^2 a^4 \tilde{\epsilon} + \frac{r}{2}(r - 2M) \left(\frac{d\phi}{dr} \right)^2 \quad (5)$$

$$\frac{d^2\phi}{dr^2} = \frac{4\pi r a^4}{r - 2m} \left[\alpha(\tilde{\epsilon} - 3\tilde{p}) + r(\tilde{\epsilon} - \tilde{p}) \frac{d\phi}{dr} \right] - \frac{2(r-m)}{r(r-2m)} \frac{d\phi}{dr}$$

در ستاره های فشرده پیش بینی می نمایند. در این تحقیق، به بررسی ستاره کوارکی در گرانش نرده ای تانسوری می پردازیم.

معادله حالت ماده کوارکی

در ستاره کوارکی که چگالی بسیار بالاست کوارکها درون نوکلئون ها آزاد شده و یک مایع کوارکی شکل می گیرد. در حقیقت حالت پایه ماده، ماده کوارکی شگفت (متشكل از کوارکهای u و d و s) است. این ماده شباهت زیادی به گاز الکترونی در یک فلز دارد. این پدیده منجر به حالت های ابر رسانا می شود که برای کوارک ها آن را ابررسانایی رنگی می نامیم. در چگالی های بالا یعنی چگالیهای بسیار بیشتر از چگالی هسته ای، فاز ماده کوارکی غیرمحبوس قابل دستیابی است. ماده کوارکی، متشكل از کوارکهای u و d و نیز الکترون می باشد که این ذرات با هم در تعادل هستند. در فاز کوارکی خالص، ختنی بار فاز کوارکی نیز برقرار است. یکی از چالش های مطرح در اختفیزیک مشاهده ستاره های کوارکی است [2 و 3].

فشار تبهگنی کوارکها در ستاره های کوارکی منجر به تعادل آنها می گردد. برای محاسبه معادله حالت ماده کوارکی، مدل کیسه ای جرم موثر که براساس مدل کیسه ای MIT هادرون ها پایه ریزی شده است به کار می رود [4]. در این تنوری، برای توصیف فاز کوارکی کمیتی به نام ثابت کیسه B معرفی می شود. در مدل کیسه ای مذکور، فشار ماده کوارکی P_Q و چگالی انرژی ϵ_Q از رابطه زیر تبعیت می کند

$$P_Q = \frac{1}{3}(\epsilon_Q - 4B). \quad (1)$$

برای توصیف ماده کوارکی در ستاره کوارکی از معادله فوق بهره می بریم. شکل 1 معادله حالت ماده کوارکی را برای مقادیر مختلف ثابت کیسه نشان می دهد. همانگونه که این شکل نشان می دهد با افزایش ثابت کیسه معادله حالت نرم تر می شود.

گرانش نرده ای تانسوری

یکی از نظریه های گرانشی تعمیم یافته، نظریه های گرانش نرده ای تانسوری است. این نظریه ها کاربردهای زیادی در کیهان

بحث و نتایج

شکل 2 بیانگر میدان نرده ای مرکزی بر حسب چگالی مرکزی برای مقادیر مختلف ثابت کیسه می باشد. این شکل تایید می کند که برای هر سه معادله حالت در چگالی های پایین، میدان نرده ای صفر است. در چگالی هایی که میدان نرده ای صفر می باشد، جواب های گرانش نرده ای تانسوری با نسبیت عام برابر می باشد. برای هر سه معادله حالت، از یک چگالی به بعد میدان نرده ای افزایش پیدا می کند و به این ترتیب پدیده نردش خودبخودی آغاز می شود. چگالی که در آن نردش خودبخودی آغاز می شود، با افزایش ثابت کیسه افزایش می یابد. در چگالی هایی که میدان نرده ای غیر صفر است، جواب های گرانش نرده ای تانسوری با نسبیت عام متفاوت است و ستاره کوارکی نرده ای است. در بیشتر چگالی های مرکزی، با افزایش ثابت کیسه مقدار میدان نرده ای مرکزی کاهش می یابد. اما در چگالی های بالا، تاثیر ثابت کیسه بر میدان نرده ای مرکزی ناچیز است. شکل 2 تایید می نماید که تا چگالی های مرکزی بالا، ستاره کوارکی نرده ای است. این پدیده به آن معناست که حتی ستاره های کوارکی با جرم بالانیز نرده ای هستند.

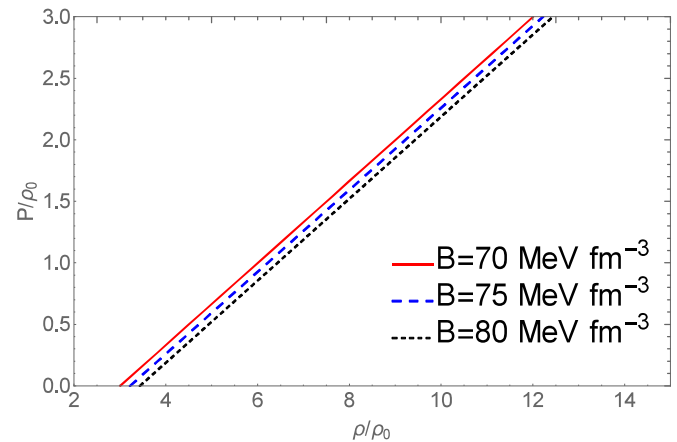
شکل 3 جرم ستاره کوارکی بر حسب چگالی مرکزی را برای مقادیر مختلف ثابت کیسه نشان می دهد. در چگالی های کمتر، نتایج گرانش نرده ای تانسوری و نسبیت عام مطابق است. اما با افزایش چگالی این دو نتیجه از هم انحراف پیدا می کنند. در حقیقت، در ستاره های نرده ای شده نتیجه گرانش نرده ای تانسوری و نسبیت عام متفاوت هستند. در ستاره های نرده ای کم جرمتر، جرم ستاره های نرده ای از ستاره های معمولی کمتر است. این در حالی است که در ستاره های نرده ای پر جرمتر، جرم آنها از ستاره های معمولی بیشتر است. در ستاره های نرده ای شده همانند ستاره های معمولی، با افزایش ثابت کیسه جرم کاهش می یابد. اما تاثیر ثابت کیسه بر جرم، در ستاره های نرده ای بیشتر است.

شکل 4 رابطه جرم-شعاع برای هر سه معادله حالت در گرانش نرده ای تانسوری و نسبیت عام را ارائه می دهد. در ستاره های کم جرم تر، رابطه جرم-شعاع در دو گرانش بر هم منطبق هستند. در واقع،

$$\frac{d\tilde{p}}{dr} = -(\tilde{\epsilon} + \tilde{p}) \left[\frac{4\pi r^2 a^4 \tilde{p}}{r-2m} + \frac{r}{2} \left(\frac{d\phi}{dr} \right)^2 + \frac{m}{r(r-2m)} + \alpha \frac{d\phi}{dr} \right] \quad (6)$$

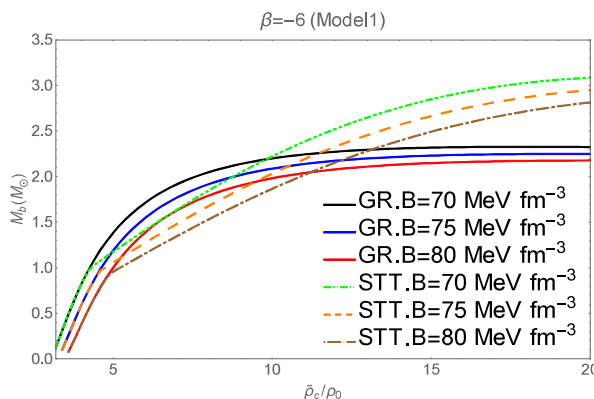
$$\frac{dm_b}{dr} = \frac{4\pi r^2 a(\phi)^3 \tilde{p}}{\sqrt{1-\frac{2m}{r}}} \quad (7)$$

در روابط فوق، m ، \tilde{p} ، $\tilde{\epsilon}$ ، ϕ ، m_b پنجتابع مجهول هستند که به ترتیب بیانگر جرم فیزیکی، چگای انرژی، فشار، میدان نرده ای و جرم باریونی می باشند. همچنین $\rho_0 = 1.66 \times 10^{14} \frac{gr}{cm^3}$ و $a(\phi) = \frac{d \ln a(\phi)}{d\phi}$ معادلات فوق به معادلات تولمن-اوپنهایمر-ولکف تعیین یافته معروف هستند. با افزودن یک معادله حالت به معادلات فوق، دستگاه پنج معادله پنج مجهول قابل حل می باشد. در این مقاله، جرم باریونی ستاره کوارکی را گزارش می نماییم.

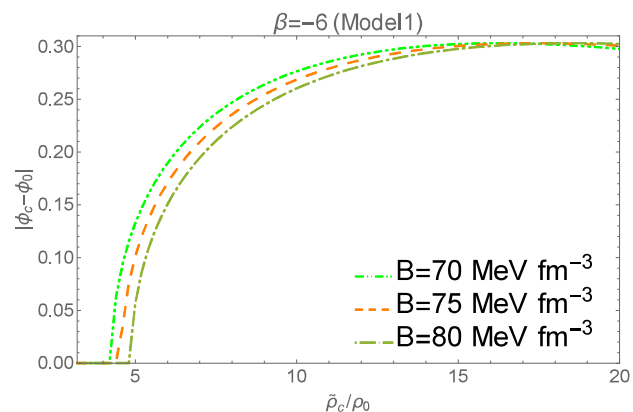


شکل 1: معادله حالت ماده کوارکی در مدل کیسه ای MIT برای مقادیر مختلف ثابت کیسه B

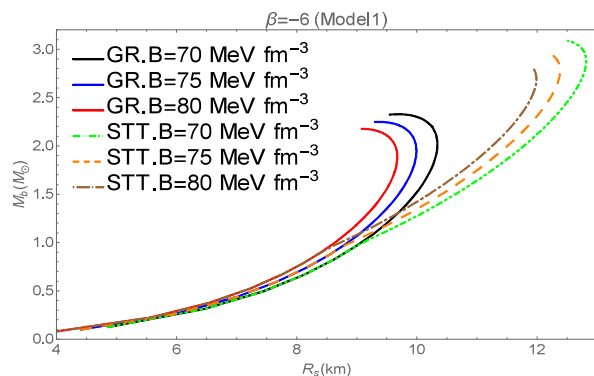
با حل معادلات تعادل هیدروستاتیکی به صورت عددی، می توان ساختار ستاره را بررسی کرد. شرایط مرزی استفاده شده بصورت $\tilde{P}(R_s) = 0$ ، $\frac{d\phi}{dr}(0) = 0$ ، $m(0) = 0$ ، $m_b(0) = 0$ می باشد. در این مقاله، معادلات ساختار ذکر شده را به همراه معادله حالت ماده کوارکی حل می نماییم.



شکل 3: جرم ستاره کوارکی نرده ای (GR) و نسبیت عامی (STT) بر حسب چگالی مرکزی در مدل کیسه ای MIT برای مقادیر مختلف ثابت کیسه B



شکل 2: میدان نرده ای مرکزی ستاره کوارکی بر حسب چگالی مرکزی در مدل کیسه ای MIT برای مقادیر مختلف ثابت کیسه B



شکل 4: رابطه جرم-شعاع مرتبه گرانش نرده ای (STT) و نسبیت عامی (GR) در مدل کیسه ای MIT برای مقادیر مختلف ثابت کیسه B

[4] K. Schertler, P.K. Sahu, C. Greiner, M.H. Thoma, "The influence of medium effects on the gross structure of hybrid stars", *Nuclear Physics A* **637**, (1998) 451.

[5] R. F. P. Mendes, N. Ortiz, "Highly compact neutron stars in scalar-tensor theories of gravity: Spontaneous scalarization versus gravitational collapse," *Physical Review D* **93**, (2016) 1.

[6] T. Damour, G. Esposito-Farèse, "Tensor-multi-scalar theories of gravitation", *Classical and Quantum Gravity* **9**, (1992) 2093.

[7] R. F. P. Mendes and N. Ortiz, "Highly compact neutron stars in scalar-tensor theories of gravity: Spontaneous scalarization versus gravitational collapse", *Physical Review D* **93**, (2016) 124035.

[8] T. Damour and G. Esposito-Farèse, "Nonperturbative strong-field effects in tensor-scalar theories of gravitation", *Physical Review Letters* **70**, (1993) 2220.

[9] T. Harada, "Neutron stars in scalar-tensor theories of gravity and catastrophe theory", *Physical Review D* **57**, (1998) 4802.

[10] J. Novak, "Neutron star transition to strong-scalar-field state in tensor scalar gravity", *Physical Review D* **58**, (1998) 064019.

[11] Z. Altaha Motahar, J. L. Blazquez-Salcedo, B. Kleihaus, and J. Kunz, "Scalarization of neutron stars with realistic equation of state", *Physical Review D* **96**, (2017) 064046.

رابطه جرم-شعاع مرتبه گرانش نرده ای تانسوری و نسبیت عام در بازه هایی که ستاره نرده ای نیست با یکدیگر برابر هستند. اما در ستاره های پر جرم تر، گرانش نرده ای تانسوری بر رابطه جرم شعاع اثر می گذارد است. در ستاره های نرده ای شده شعاع ستاره بزرگتر و جرم آنها نیز بیشتر است.

نتیجه گیری

در این تحقیق، با بهره گیری از معادله حالت ماده کوارکی در مدل کیسه ای MIT، ساختار ستاره کوارکی را در گرانش نرده ای تانسوری محاسبه نمودیم. نتایج تایید می کند که معادله حالت ماده کوارکی نرده ستاره و رابطه جرم شعاع ستاره های نرده ای را تحت تاثیر قرار می دهد.

سباسگزاری

اینکار با پشتیبانی معنوی انجمن فیزیک انجام شد.

مراجع

- [1] M. Camenzind, "Compact Object in Astrophysics", Springer (2006).
- [2] R. Xu, "Strange quark star: observation and speculations", *Journal of Physics G: Nuclear and Particle Physics* **36**, (2009) 064010.
- [3] S.-H. Yang, C.-M. Pi, X.-P. Zheng, F. Weber, "Non-Newtonian Gravity in Strange Quark Star and Constraints from the Observations of PSR J0740+6620 and GW170817", *The Astrophysics Journal* **902**, (2020) 32.

اثر نوترینوهای کیهانی، ابرنواختری و استریل بر معماهای کایرال حیات

جنت، امیرمسعود^۱; شاکری، سروش^۱

^۱دانشکده فیزیک دانشگاه صنعتی اصفهان

چکیده

یکی از معماهای موجود در طبیعت، هموکایرالیتی زیستمولکول هاست. مولکول های کایرال بصورت یک برهمنهی از دو دستیگی مختلف هستند. در موجودات زنده تنها یکی از دستیگی های ممکن از زیستمولکول های کایرال مانند آمینواسیدها و قندها مشاهده شده است. با درنظر گرفتن برهمنکنش های ذرات بنیادی و نقض پاریته در برخی از آنها مانند برهمنکنش های نوترینو-الکترون، می توان هموکایرالیتی مولکول ها را مورد بررسی قرار داد. در این پژوهش با استفاده از اختلال ناشی از برهمنکنش تضییق پاریته به بررسی اختلاف انرژی ناشی از این برهمنکنش پرداخته شده است. برهمنکنش های نوترینوهای کیهانی، ابرنواختری و استریل با الکترون های مولکول های کایرال بررسی شده و اختلاف انرژی ناشی از این برهمنکنش با این ذرات بین دو حالت دستیگه مولکول های کایرال محاسبه شده است. نتایج بدست آمده از این پژوهش نشان می دهد نوترینوهای ابرنواختری و استریل نامزد مناسبی برای ایجاد این پدیده هستند.

واژه های کلیدی: هموکایرالیتی، نقض پاریته، ماده تاریک، انانتیومر، نوترینو، هلیسیته

در این مقاله به محاسبه اختلاف انرژی برهمنکنش نقض پاریته نوترینوهای کیهانی، ابرنواختری و استریل با الکترون های مولکول های کایرال پرداخته شده است.

برهمکنش الکترون-نوترینوهای کیهانی
یکی از برهمنکنش هایی پیشنهادی به عنوان دلیل هموکایرالیتی زیستمولکولی، برهمنکنش الکترون با نوترینوهای کیهانی است. امکان حضور نوترینوهای کیهانی در همه محیط های اختوفیزیکی و از جمله محیط های پیش حیات ممکن بین ستاره های وجود دارد. برای بدست آوردن اختلاف انرژی حاصل از برهمنکنش الکترون با نوترینوهای کیهانی بین دو انانتیومر^۳، برهمنکنش زیر در نظر گرفته می شود:

$$H(V, A) = \frac{G_F}{\sqrt{2}} \bar{\psi}_e \gamma^\mu (g_V - g_A \gamma_5) \psi_e \bar{\psi}_v \quad (1)$$

$$- \gamma_5(\psi_v - \gamma_5(\psi_e))$$

در رابطه بالا ψ اسپینور نوترینو، ψ_e اسپینور الکترون، $\psi_{e(v)}$ مزدوج این اسپینورها، g_A و g_V ثابت های

مقدمه

یکی از ویژگی هایی که می توان به برخی از مولکول ها نسبت داد، دستیگی یا کایرالیتی است. یک مولکول کایرال، مولکولی است که روی تصویر آینه ای خود منطبق نمی شود. نتایج آزمایشگاهی حاکی از آن است که تولید مولکول های کایرال منجر به تشکیل هر دو دستیگی به میزان یکسان خواهد شد. این مشاهده را می توان به برهمنهی حالت های دستیگه ممکن نسبت داد [۱].

در موجودات زنده، اغلب مولکول ها به ویژه آمینواسیدها و قندها کایرال هستند و تنها دستیگی خاصی از آنها مشاهده شده است. اغلب آمینواسیدها دستیگی چپ (L) و اغلب قندها دستیگی راست (D) دارند. این پدیده، هموکایرالیتی زیستمولکولی نامیده می شود و منشأ آن نامشخص است [۲].

یکی از فرضیه های موجود برای توجیه این پدیده، برهمنکنش نقض پاریته ذرات مختلف با الکترون های زیستمولکول هاست که می تواند با ایجاد اختلال، بین دو حالت کایرال، اختلاف انرژی ایجاد کند.

Enantiomer ^۳

Levorotatory ^۱

Dectrorotatory ^۲

انرژی بدست آمده برای مولکولهای کایرال در برهم کش با نوترینوها بصورت زیر بدست می آید:

$$\Delta E \sim G_F n |\langle \gamma^5 \rangle| \sim 10^{-44} eV \quad (8)$$

این اختلاف انرژی بسیار کوچک است و می توان نتیجه گرفت که نوترینوهای کیهانی نمی توانند نامزد مناسبی برای تولید هموکایرالیتی زیست مولکولی باشند.

برهم کنش الکترون - نوترینوهای ابرنواختری

نوترینوهای ابرنواختری از انفجار یک ستاره پر جرم بوجود می آیند. در صورتی که این نوترینوها عامل هموکایرالیتی زیست مولکولی باشند، محیط پیش حیات باید در فاصله محدودی از یک انفجار ابرنواختری قرار گرفته باشد.

برهم کنش نوترینوهای ابرنواختری با الکترون را می توان مانند رابطه (۱) نوشت. تفاوت اختلاف انرژی ناشی از نوترینوهای ابرنواختری با نوترینوهای کیهانی در این است که چگالی نوترینوهای ابرنواختری بسیار بیشتر از چگالی نوترینوهای کیهانی است.

طبق کارهای انجام شده توسط بارجنو [۷] این چگالی تعداد از طریق محاسبه زیر بدست می آید:

$$n(T_\nu) = \frac{1}{(2\pi)^3} \int \frac{d^3 p}{\exp(\frac{p}{T_\nu}) + 1} = \frac{3\xi(3)}{4\pi^3} T_\nu^3 \quad (9)$$

که در آن $\xi(3) = 1.20205$ تابع زتای ریمان، p تکانه و T_ν دمای فرمی دیراک است که بین 4.8 تا 6.6 مگا الکترون ولت است. با در نظر گرفتن $T_\nu = 5 MeV$ برای چگالی تعداد نوترینوهای ابرنواختری می توان نوشت:

$$n(T_\nu) = \frac{3\xi(3)}{4\pi^3} T_\nu^3 \sim 10^{-8} GeV^3 \quad (10)$$

با استفاده از این رابطه و روابط (۲) و (۴)، اختلاف انرژی حاصل از این برهم کنش بین دو اننتیومر بصورت زیر بدست می آید:

$$\Delta E \sim 10^{-8} eV \quad (11)$$

این مقدار با محاسبه انجام شده در [۷] یکسان است اما با توجه به حد دقت آزمایشگاهی کنونی (در حدود $10^{-12} eV$) است [۵]، اما تا کنون چنین اثری آشکارسازی نشده است. با توجه به اینکه

جفت شدگی است؛ هم چنین از دستگاه یکاهای طبیعی استفاده شده است [۳].

در حد غیرنسبیتی می توان اختلاف انرژی مرتبه اول اختلالی را بصورت زیر نوشت:

$$\Delta E \sim G_F n |\langle \sigma \cdot v \rangle| \quad (2)$$

که در آن G_F ثابت فرمی، n چگالی تعداد نوترینوها و $|\langle \sigma \cdot v \rangle|$ مقدار چشم داشتی هلیسیته است.

با استفاده از ویژه حالات مشترک تکانه و تکانه زاویه ای می توان نوشت:

$$\langle \phi_L | L_z P_z | \phi_L \rangle = -\frac{4C\pi}{a} = -\langle \phi_R | L_z P_z | \phi_R \rangle \quad (3)$$

که در آن $\phi_L = c_+ |0,+\rangle + c_- |1,-\rangle + c_r |-,1\rangle$ و

$$C = |c_+|^2 = |c_-|^2 \leq \frac{1}{4} (c_+ |0,+\rangle + c_- |1,-\rangle + c_r |-,1\rangle)$$

$a = 1A^\circ$ دوره تناوب پتانسیل حالت های مولکولی است. می توان

هلیسیته را در حد غیرنسبیتی بصورت زیر تقریب زد:

$$|\langle \sigma \cdot v \rangle| \sim \frac{4C\pi}{am_e} \quad (4)$$

در کار انجام شده توسط بارجنو و همکاران [۴] اختلاف تعداد نوترینوها و پادنوترینوهای کیهانی از مرتبه $n = 1000 cm^{-3}$ در نظر گرفته شده است و نتیجه محاسبه اختلاف انرژی حاصل از این اختلال بصورت زیر خواهد بود:

$$\Delta E \sim 10^{-36} eV \quad (5)$$

این نتیجه بدست آمده با نتیجه بدست آمده در [۴] ($\sim 10^{-21} eV$) متفاوت است.

برای محاسبه هلیسیته در حد نوترینوهای بدون جرم می توان از عبارت زیر استفاده کرد:

$$|\langle \sigma \cdot v \rangle| \sim \langle \gamma^5 \rangle \quad (6)$$

طبق کارهای انجام شده توسط گال و همکاران [۵] در تقریب Hartree-Fock بهترین تخمین برای $\langle \gamma^5 \rangle$ را برای برهم کنش با مولکول کایرال CHFCIBr که یکی از مولکولهای مناسب برای آزمایش است، بصورت زیر است:

$$\langle \gamma^5 \rangle \sim 10^{-10} \quad (7)$$

این تخمین با فرض تابع چگالی متغیر B^3LYP برای این مولکول بدست آمده است [۶]. با استفاده از این تخمین اختلاف

مرکز کهکشانی چگالی جرمی ماده تاریک بصورت زیر تخمین زده شده است [۹]:

$$\rho_{DM} \sim \frac{10^{12} GeV}{cm^{-3}} \quad (16)$$

که در حدود ۱۳ مرتبه بزرگی از چگالی جرمی ماده تاریک در هاله کهکشان است.

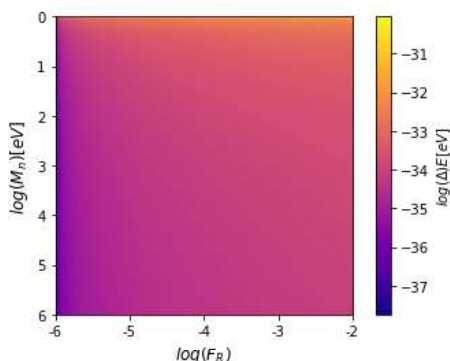
جرم نوترینوهای استریل نامشخص است ولی با توجه به اینکه در بازه جرمی $10^9 eV \leq m_{strile \nu} \leq 10^6 eV$ نشده است، انگیزه خوبی برای در نظر گرفتن جرم نوترینوی استریل در این بازه جرمی وجود دارد [۱۰]. با توجه به رابطه (۱۶) برای اختلاف انرژی حاصل از برهم‌کنش این نوع از نوترینوها با الکترون مولکول کایرال می‌توان نوشت [۱۱]:

$$\Delta E_{strile \nu} \sim |G_F \mathcal{F}_R n_{DM} (g_R - g_L) \langle \gamma^5 \rangle| \sim |G_F \mathcal{F}_R n_{DM} \langle \gamma^5 \rangle| \quad (17)$$

به منظور سازگاری این مدل با آزمون‌های دقیق مدل استاندارد \mathcal{F}_R می‌بایست کوچکتر -10^{-2} باشد [۸]. بیشترین اختلاف انرژی مدنظر است، با قرار دادن -2 و $\mathcal{F}_R \sim 10^{-2}$ و $n_{DM} \sim 10^{21} cm^{-3}$ که برای جرم $1 eV$ نوترینوهای استریل بدست می‌آید بصورت زیر است:

$$\Delta E_{strile \nu} \sim 10^{-28} eV \quad (18)$$

این اختلاف انرژی با در نظر گرفتن یک محدوده جرمی برای نوترینوهای استریل و پارامتر جفت‌شدنگی \mathcal{F}_R در شکل ۱ نمایش داده شده است.



شکل ۱: اختلاف انرژی حاصل از برهم‌کنش استریل نوترینو با الکترون مولکول کایرال بین دو اننتیomer به ازای جرم‌های مختلف استریل نوترینو و مقادیر ممکن برای \mathcal{F}_R

نوترینوهای ابرنواختری از حد فرانسیسی پیروی می‌کند محاسبه دقیق‌تر اختلاف انرژی با استفاده از رابطه (۶) بصورت زیر است:

$$\Delta E \sim G_F n \langle \gamma^5 \rangle \sim 10^{-13} eV \quad (12)$$

که این مقدار کوچک‌تر از حساسیت آزمایشگاهی کنونی است و می‌تواند به عنوان توجیهی برای آشکار نشدن این اختلاف انرژی بکار رود.

برهم‌کنش الکترون-نوترینوهای استریل

نوترینوهای استریل یکی از نامزدهای ماده تاریک هستند. این نوع از نوترینوهای در ابتدا برای توجیه جرم کم نوترینوها با استفاده از مکانیسم الکلنگی مطرح شدند. نوترینوهای استریل بر عکس نوترینوهای معمولی راست‌دست هستند. برهم‌کنش نوترینوهای استریل می‌تواند به عنوان راه حلی برای مسئله هموکایرالیتی زیست‌مولکول‌ها در نظر گرفته شود. همچنین در صورت مؤثر بودن آن‌ها در این پدیده، انگیزه خوبی برای استفاده از مولکول‌های کایرال در جهت آشکارسازی این نوع از ماده‌تاریک بوجود خواهد آمد.

به دنبال مدل ارائه شده در [۸] برهم‌کنش جریان خشی الکترون-

نوترینوی استریل با لاغرانژی زیر نمایش داده می‌شود:

$$\mathcal{L}_{eff}^{SNC} = -\sqrt{2} G_F (\bar{\psi}_e \gamma_\mu (g_L P_L + g_R P_R) \bar{\psi}_e) [\mathcal{F}_R \bar{\psi}_N \gamma^\mu P_R \psi_N] \quad (13)$$

که در آن $(1 \pm \gamma^5) \sin^2 \theta_W + 1$, $P_{R,L} = \frac{1}{2} (1 \pm \gamma^5)$, $g_R = 2 \sin^2 \theta_W$, $g_L = 2 \sin^2 \theta_W$, پارامتر جفت‌شدنگی برهم‌کنش است [۸]. با استفاده از این لاغرانژی، در نظر گرفتن جمله زمانی و اعمال تخمین‌ها، هامیلتونی زیر بدست می‌آید:

$$\hat{H} = \sqrt{2} G_F [g_L P_L + g_R P_R] \mathcal{F}_R n_{DM} \quad (14)$$

که در آن $\mathcal{F}_R n_{DM} \sim \bar{\psi} \nu \gamma_\mu \gamma_5 \psi$ چگالی تعداد ذرات ماده‌تاریک است. این کمیت بصورت زیر با چگالی جرمی ماده‌تاریک در ارتباط است:

$$n_{DM} = \frac{\rho_{DM}}{m_{strile \nu}} \quad (15)$$

چگالی جرمی ماده‌تاریک در محیط‌های اختفیزیکی مختلف متفاوت است. از آنجایی که بیشترین اختلاف انرژی حاصل از این برهم‌کنش در پیش‌بینی منشأ هموکایرالیتی زیست‌مولکولی دارای اهمیت است، در اینجا بیشترین چگالی جرمی ماده تاریک برای تخمین این اختلاف انرژی در نظر گرفته شده است. در نزدیکی

نتایج

در این مقاله تخمین هایی برای اختلاف انرژی حاصل از برهم کنش انواع مختلف نوتريون با الکترون های مولکول کایرال بدست آمد. نتایج نهایی این تخمین ها بصورت زیر است:

$$\Delta E_{Cosmic\,\nu} \sim 10^{-44} eV \quad (19)$$

$$\Delta E_{supernova\,\nu} \sim 10^{-13} eV \quad (20)$$

$$\Delta E_{strile\,\nu} \sim 10^{-28} eV \quad (21)$$

همان طور که مشاهده می شود:

$$\Delta E_{Cosmic\,\nu} < \Delta E_{strile\,\nu} < \Delta E_{supernova\,\nu} \quad (22)$$

در مورد نوتريون های ابرنواختری تخمین برآورد شده در [۷] با توجه به بزرگ تر بودن از حد آزمایشگاهی در محدوده آشکار سازی قرار می گرفت اما با توجه به تخمین جدید که در این کار بدست آمده، این اختلاف انرژی هم چنان کوچک تر از حد آزمایشگاهی است و آشکار نشدن آن در آزمایشگاه نیز بدین وسیله توجیه می شود.

با تکرار محاسبات برای نوتريون های کیهانی، نتیجه بدست آمده متفاوت از نتیجه اعلام شده در [۴] است. همچنین با اعمال تخمین جدید این مقدار بسیار کوچک تر از مقدار پیش بینی شده قبلی است. با استفاده از این مدل، اختلاف انرژی ناشی از برهم کنش نوتريون های استریل با مولکول های کایرال نیز محاسبه شد. با توجه به جرم نوتريون های استریل و پارامتر جفت شدگی برهم کنش \mathcal{F}_R در صورت کوچک تر بودن جرم نوتريون های استریل و بزرگ تر بودن \mathcal{F}_R این اختلاف انرژی افزایش خواهد داشت (شکل ۱). نتیجه مربوط به نوتريون های کیهانی نشان می دهد که احتمال اینکه این نوع از نوتريون ها عامل پدیده هموکایرالیتی زیست مولکولی باشند بسیار اندک است.

براساس نتایج بدست آمده، یکی از بهترین نامزدها برای ایجاد هموکایرالیتی زیست مولکولی می تواند نوتريون های ابرنواختری باشند که با ایجاد اختلاف انرژی $10^{-13} eV$ نزدیک ترین نمونه به حساسیت آزمایشگاهی هستند. هر چند این مقدار اختلاف انرژی نیز برای تشکیل پدیده هموکایرالیتی بسیار کوچک است و نیاز به مکانیسم هایی برای تقویت این اثر دارد. نوتريون های استریل نیز با توجه به ویژگی های خاصی که دارند و اطلاعات کمی که بدليل

آشکار نشدن آنها در دسترس است، همچنان می توانند در این پدیده مؤثر باشند.

بر اساس این مدل برای مولکول های کایرال و استفاده از حد آزمایشگاهی می توان برخی از پارامتر های نامشخص برهم کنش های نقض پاریته از جمله برهم کنش نوتريون های استریل را تخمین زد. البته با توجه به حساسیت های آزمایشگاهی کنونی این امر کمی دور از دسترس است.

مرجع ها

- [۱] Senami, M. and K. Ito, *Asymmetry of electron chirality between enantiomeric pair molecules and the origin of homochirality in nature*. Physical Review A, ۲۰۱۹. ۹۹(۱): p. ۰۱۲۵۰۹.
- [۲] Quack, M., G. Seyfang, and G. Wichmann, *Perspectives on parity violation in chiral molecules: theory, spectroscopic experiment and biomolecular homochirality*. Chemical Science, ۲۰۲۲. ۱۳(۲۶): p. ۱۰۵۹۸–۱۰۶۴۳.
- [۳] Bargueño, P. and I. Gonzalo, *Effect of cosmological neutrinos on discrimination between the two enantiomers of a chiral molecule*. Origins of Life and Evolution of Biospheres, ۲۰۰۶. ۳۶: p. ۱۷۱–۱۷۶.
- [۴] Bargueño, P., A. Dobado, and I. Gonzalo, *Could dark matter or neutrinos discriminate between the enantiomers of a chiral molecule?* Europhysics Letters, ۲۰۰۸. ۸۲(۱): p. ۱۳۰۰۲.
- [۵] Gaul, K., et al., *Chiral molecules as sensitive probes for direct detection of P-odd cosmic fields*. Physical review letters, ۲۰۲۰. 125(12): p. ۱۲۳۰۰۴.
- [۶] Gaul, K., et al., *Parity-nonconserving interactions of electrons in chiral molecules with cosmic fields*. Physical Review A, ۲۰۲۰. 102(3): p. ۰۳۲۸۱۶.
- [۷] Bargueño, P. and R. Pérez de Tudela, *The role of supernova neutrinos on molecular homochirality*. Origins of Life and Evolution of Biospheres, ۲۰۰۷. 37: p. ۲۵۳–۲۵۷.
- [۸] Shakeri, S., F. Hajkarim, and S.-S. Xue, *Shedding new light on sterile neutrinos from XENON1T experiment*. Journal of High Energy Physics, ۲۰۲۰. ۲۰۲۰(۱۲): p. ۱–۳۳.
- [۹] Merritt, D., *Evolution of the dark matter distribution at the galactic center*. Physical Review Letters, ۲۰۰۴. 92(20)
- [۱۰] Katz, U.F. and C. Spiering, *High-energy neutrino astrophysics: Status and perspectives*. Progress in Particle and Nuclear Physics, ۲۰۱۲. 67(3): p. ۶۵۱–۷۰۴.
- [۱۱] جنت، امیر مسعود؛ «تشناسی ماده تاریک بر معماهی کایرال حیات»؛ گزارش پژوهه کارشناسی، دانشکده فیزیک، دانشگاه صنعتی اصفهان؛ ۱۴۰۲.

مطالعه پوسته ستاره های نوترونی با تمام نگاری

فرهبدنیا، میترا^۱؛ بی تقصیر فدافن، کاظم^۱؛ علوی، سید علی اصغر^۲

^۱دانشگاه فیزیک دانشگاه صنعتی شهرورد، میدان هفت تیر، شهرورد

^۲گروه فیزیک، دانشگاه حکیم سبزواری، سبزوار

چکیده

تئاظر AdS/CFT (تمام نگاری) ابزار مهمی برای مطالعه فیزیک ستاره های نوترونی است. در این مقاله، با استفاده از رهیافت «بالا به پایین» و مدل وین-ساکایی سوگیموتو فاز آمیخته ای از ماده باریونی با گازی از لپتون می سازیم تا پوسته ستاره را مدل سازی کنیم. سپس پاستای هسته ای را در پوسته به شکل های مختلف یک، دو و سه بعدی در نظر می گیریم و تأثیر آن را در خصامت پوسته مطالعه می کنیم. واژه های کلیدی: مدل وین-ساکایی-سوگیموتو، مدل سازی ستاره های نوترونی، تمام نگاری.

Study of neutron star crust with holography

Farahbodnia, Mitra¹; Bitaghfir Fadafan, Kazem¹; Alavi, Seyed Ali Asghar²

¹ Department of Physics, Shahrood University Of Technology, Shahrood

² Department of Physics, Hakim Sabzevari University, Sabzevar

Abstract

The AdS/CFT correspondence is an important tool for studying the physics of neutron stars. In this paper, by using the "top-down" approach and the Witten-Sakai-Sugimoto model, we made a baryonic mixed phase with leptonic gas to model the star's crust. Then we consider the nuclear pasta in the crust in different dimensional shapes (one, two, and three) and study its effect on the thickness of the crust.

Keywords: Witten-Sakai-Sugimoto model, neutron star modeling, holography.

بود. اصولاً این دوگانی بین دو نظریه کوانتمی است که در سمت CFT یک نظریه میدان کوانتمی استاندارد است و ممکن است از طریق انTEGRAL مسیر فرموله شود اما، سمت AdS یا به عبارتی سمت گرانش کوانتمی، به شکل یک نظریه میدان کوانتمی معمولی نیست و نیاز به تعریف مستقلی دارد. حال چنانچه سیستم فیزیکی مورد مطالعه دارای ثابت جفت شدگی بزرگ باشد، یا رفتارهایی از خود نشان دهد که به سادگی با مدل های استاندارد پیشین قابل توصیف نباشد از ابزار AdS/CFT برای تحلیل و بررسی مسائل مربوط به آن استفاده می شود [۱].

مقدمه

تئاظر AdS/CFT که گاهی با نام «پیشنهاد مالدنسنا» نیز شناخته می شود بر اساس مطالعه گرانش از دید نظریه ریسمان انجام گرفت. بنابر این حدس نظریه گرانش در فضا-زمانی با هندسه ای ویژه، موسوم به AdS با نظریه میدان های کوانتمی همدیس (CFT) در مرز آن فضا-زمان متناظر است. AdS/CFT بیان می کند که گرانش کوانتمی (نظریه ریسمان) در پس زمینه AdS_{d+1} توسط یک نظریه میدان کوانتمی QFT_d غیرگرانشی با d بعد توصیف می شود. بسته به d و جزئیات مسئله یا درجات آزادی نظریه گرانش کوانتمی در انرژی های کم، دوگان QFT مربوطه متفاوت خواهد

¹top-down

که در آن:

$$N = \frac{N_c M_{KK}^2 \lambda_0^3}{6\pi^2}$$

و

$$g_1 \equiv \frac{3f h'^2}{4}, \quad g_2 \equiv \frac{3\lambda^2 h^4}{4u^4}, \quad g_3 \equiv \frac{2\lambda_0^2 h^2 a_0^2}{u^3}$$

هستند. همچنین عامل متريک f به صورت زير تعریف می شود:

$$f = 1 - \frac{u_{kk}^3}{u^3}, \quad u^3 \equiv u_{kk}^3 + u_{kk} z^2$$

که در آن u_{KK} مکان نوك سيگارشکل است و برابر است با $\frac{4}{9} u_{kk}$. کنش به مولفه‌ی گرمایی \hat{a}_0 میدان پیمانه‌ای آبلی $U(1)$ و مولفه‌ی گرمایی a_0 میدان غیر آبلی $SU(2)$ با شرایط مرزی $(\hat{a}_0(\infty) = \bar{\mu}_B)$ و $(a_0(\infty) = \bar{\mu}_I)$ وابسته است. که در آن $\bar{\mu}_B$ و $\bar{\mu}_I$ به ترتیب پتانسیل‌های شیمیایی باریونی و آیزواسپینی نامیده می‌شوند.

با استفاده از معادلات لاگرانژ-اویلر:

$$\frac{\partial L}{\partial p} - \partial_u \frac{\partial L}{\partial \dot{p}} = 0 \quad (2)$$

معادلات حرکت برای \hat{a}_0' ، a_0' و h' را می‌توان به صورت زیر نوشت:

$$\hat{a}_0' = \frac{\bar{n}_B Q}{u^{5/2} \sqrt{f}} \quad (3)$$

$$(u^{5/2} \sqrt{f} a_0')' = \frac{2\lambda_0^2 h^2 a_0}{u^{1/2} \sqrt{f}} \quad (4)$$

$$\frac{3}{2} (u^{5/2} \sqrt{f} h')' - \frac{9\lambda_0 h^2 \bar{n}_B Q}{2u^{5/2} \sqrt{f}} = \frac{\lambda_0^2 h (3h^2 - 4a_0^2)}{u^{1/2} \sqrt{f}} \quad (5)$$

که در آن $Q(u) \equiv 1 - h^3(u)/h_c^3$ و مقدار مرزی h_c برابر با $h_c \equiv h(u_{kk}) = -[4\bar{n}_B/(3\lambda_0)]^{1/3}$ در نظر گرفته شده است. این معادلات به صورت عددی و با در نظر گرفتن شرایط مرزی $\bar{\mu}_B = 0.4$ و $a_0'(u_{kk}) = 0$ و $h(\infty) = 0$ انتخاب مقادیر $h(\infty) = 0.4$ و $\bar{\mu}_I = 0.15$ در $\lambda = 10$ حل شده و در شکل ۱ رسم گردیده است [۴].

مدل ویتن-ساکایی-سوگیموتو

مدل ویتن-ساکایی-سوگیموتو که به شکل مدل D4/D8/ $\overline{D8}$

نیز شناخته می‌شود مفهومی از دوگان پیمانه-گرانش «بالا-پایین»^۱ است [۲]. در یک رویکرد «بالا-پایین»، ابتدا کل نظریه را درست در نظر می‌گیریم، سپس تلاش می‌کنیم تا زیرفضای مدل را با خواص دلخواه بسازیم. این مدل به طرز موفقیت‌آمیزی برای مزون، باریون و خواص گلوبال‌ها در خلاء کار می‌کند. نتایج نشان می‌دهد که این مدل می‌تواند مسائل غیراختلالی‌ای که حل آن‌ها سخت است را حل نماید. کاربرد این مدل در ستاره‌های نوترونی در مرجع [۳] آمده است.

روش محاسبات

با ساده‌ترین نسخه مدل ساکایی-سوگیموتو شروع می‌کنیم. در این نسخه، هندسه‌ی پس‌زمینه توسط N_c شامه‌ی D4 تعریف می‌شود. یکی از جهت‌های عرضی این شامه X_4 است که بر روی دایره‌ای با شعاع M_{KK}^{-1} فشرده شده است. افزودن جفت‌هایی از شامه‌های $D8$ - $\overline{D8}$ بر روی این پس‌زمینه ثابت متناظر است با N_f کوارک چپ‌گرد و راست‌گرد. در این بخش ما هندسه حبس شده را درنظر می‌گیریم؛ جایی که زیر فضای آن توسط مختصه‌ی تمام‌نگاری U و X_4 پوشانده شده است و نوك فضای سیگارگونه‌ی آن در $u = u_{kk}$ قرار دارد که در آن مختصه‌ی u_{KK} معادل است با $9\lambda M_{KK} l_s / 2$ و l_s به ترتیب جفت‌شدگی توفت و طول ریسمان هستند. در هندسه‌ی حبس شده و در $u = \infty$ شامه‌های طعم به طور عمده باید در فضای حجم در جایی مثل $u = u_{kk}$ به یکدیگر بپونددند که درک شکست خود به خودی مقابله دستیده^۲ در IR را محقق کنند [۳].

کنش شامه‌های طعم شامل یک بخش S_{DBI} و یک بخش S_{CS} است. آنچه پس از نوشتن مجموع این کنش‌ها یعنی $S = S_{DBI} + S_{CS}$ خواهد بود:

$$S = N N_f \frac{V}{T} \int_{u_{kk}}^{\infty} \left[\frac{u^{5/2}}{2\sqrt{f}} (g_1 - f\hat{a}_0'^2 - fa_0'^2 + g_2 - g_3) - \frac{9}{4}\lambda_0 \hat{a}_0 h^2 h' \right] du \quad (1)$$

^۱chiral symmetry

با در نظر گرفتن تعادل در فرآیندهای الکترووضعیف واپاشی بتا و جذب الکترون، قیدی بر روی پتانسیل شیمیایی ایجاد می شود؛ که به آن شرط «تعادل بتا» گفته می شود:

$$\mu_e = \mu_\mu, \quad \mu_n = \mu_p + \mu_e \quad (11)$$

همچنین با در نظر گرفتن شرط خشتش بار الکتریکی ستاره و با استفاده از رابطه‌ی:

$$\frac{\bar{n}_B - \bar{n}_I}{2} - \bar{n}_l = 0 \quad (12)$$

چگالی انرژی آزاد $\Delta\Omega = \bar{\Omega}_B + \bar{\Omega}_l - \bar{\Omega}$ را با داشتن قیود فوق می توان رسم نمود.

اضافه کردن آثار سطحی و کولنی به پوسته

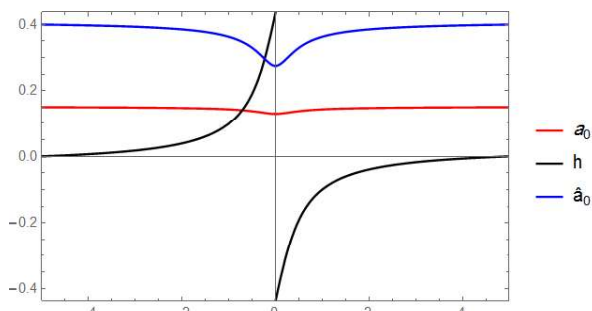
در گام بعد مدل را بهبود بخشیده و آثار سطحی و کولنی را به این مدل اضافه می کنیم. با در نظر گرفتن این آثار بخش جدیدی به چگالی انرژی آزاد اضافه خواهد شد:

$$\Delta\Omega = \frac{3}{2}(\rho_1 - \rho_2)^{2/3} \Sigma^{2/3} (1 - \chi) [d^2 f_d (1 - \chi)]^{1/3} \quad (13)$$

که در آن $\rho_1 = \frac{e \lambda_0^2 M_{kk}^3}{3\pi^2} (\frac{\bar{n}_B - \bar{n}_I}{2} - \bar{n}_l)$ چگالی بار فاز باریونی و $\rho_2 = -\frac{e \lambda_0^2 M_{kk}^3}{3\pi^2} \bar{n}_l$ چگالی بار فاز لپتونی است. کسر حجم اشغال شده توسط فاز لپتونی را با χ نشان می دهیم و برای $f_d(\chi)$ داریم:

$$f_d(\chi) = \begin{cases} \frac{(\chi-1)^2}{3\chi} & \text{for } d=1 \\ \frac{\chi-1-\ln\chi}{4} & \text{for } d=2 \\ \frac{2+\chi-3\chi^{1/3}}{5} & \text{for } d=3 \end{cases} \quad (14)$$

که d در آن معرف ابعاد فضایی در ساختار پاستای هسته‌ای ستاره نوترونی است [۵]. این ساختار به ما می‌گوید با عبور از قسمت کم چگال‌تر پوسته به ناحیه‌ی پرچگال‌تر، می‌توان تغییر مداومی در ابعاد ماده داشت؛ یعنی از صفحات ۱ بعدی (لازانیا گونه)، به هسته‌های استوانه‌ای دو بعدی (اسپاگتی شکل) و سپس به هسته‌های سه بعدی (کوفته مانند). که این سری از انتقال به پاستای هسته‌ای معروف است [۶]. شایان ذکر است که بررسی آثار سطحی و کولنی برای ابعاد فضایی ۲ و $d = 1$ در مرجع [۵] انجام نشده



شکل ۱: معادلات حرکت برای a_0' , a_0 و h بر حسب z .

با استفاده از جواب‌های معادله می‌توان پتانسیل شیمیایی باریونی و چگالی عددی آیرواسپین را به صورت زیر بدست آورد:

$$\bar{\mu}_B = \frac{u_{kk}^2 h_{(1)}}{2\sqrt{3}\lambda_0 h_c^2} + \int_{u_{kk}}^{\infty} du \frac{\bar{n}_B Q}{u^{5/2} \sqrt{f}} \quad (6)$$

$$\bar{n}_I = 2\lambda_0^2 \int_{u_{kk}}^{\infty} du \frac{h^2 a_0}{u^{1/2} \sqrt{f}} \quad (7)$$

که $h(u) = h_c + h_{(1)}\sqrt{u - u_{KK} + \dots}$ از رابطه‌ی بسط عددی با جایگذاری جواب‌ها در کنش، چگالی انرژی آزاد به صورت زیر خواهد بود:

$$\bar{\Omega}_B = \int_{u_{kk}}^{\infty} du \frac{u^{5/2}}{2\sqrt{f}} \left[g_1 + g_2 + \frac{(\bar{n}_B Q)^2}{u^5} + \frac{2\lambda_0^2 \bar{\mu}_I h^2 a_0}{u^3} \right] - \bar{\mu}_B \bar{n}_B - \bar{\mu}_I \bar{n}_I \quad (8)$$

با داشتن معادلات فوق می‌توان نمودارهای $\bar{\Omega}_B$ و $n_B - \mu_B - \mu_I - \mu_l$ و $n_I - \mu_I$ را رسم نمود؛ که این نمودارها در مرجع [۴] رسم گردیده و توسط ما نیز باز تولید شده‌اند.

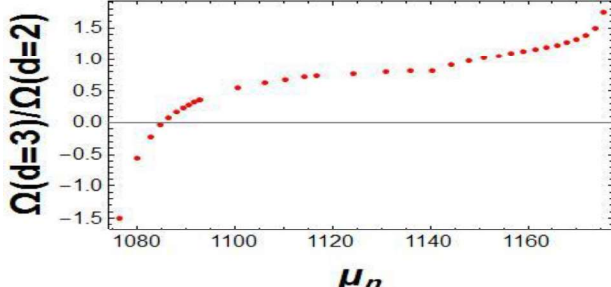
به منظور داشتن تصویری از ستاره‌ی نوترونی واقعی لازم است لپتون‌ها را به مسئله اضافه کرد. این کار سبب می‌شود سیستم مورد نظر در حالت خشی الکتریکی باقی بماند. با اضافه کردن لپتون‌ها، انرژی آزاد کل به صورت زیر نوشته خواهد شد:

$$\bar{\Omega} = \bar{\Omega}_B + \bar{\Omega}_l \quad (9)$$

چگالی انرژی آزاد غیربرهمکنشی الکترون‌ها و میوئون‌ها در فشار صفر برای یک گاز فرمی به صورت زیر است:

$$\bar{\Omega}(m, \mu) \equiv -\frac{\Theta(\mu-m)}{24\pi^2 N_f N} [(2\mu^2 - 5m^2)\sqrt{\mu^2 - m^2} + \ln \frac{\sqrt{\mu^2 - m^2} + \mu}{m}] \quad (10)$$

همچنین نسبت چگالی انرژی آزاد $d = 3$ به $d = 2$ را در شکل ۳ رسم نموده‌ایم که در آن نسبت چگالی‌های انرژی آزاد در بخشی از نمودار منفی و در بخشی مثبت است.



شکل ۳: نسبت چگالی‌های انرژی آزاد $d = 3$ به $d = 2$ به عنوان تابعی از پتانسیل شیمیایی آیزواسپینی در $\lambda = 10$.

نتیجه گیری

با به کار گیری مدل تمام‌نگاری ویتن-ساکائی-سوگیموتو می‌توان فاز آمیخته‌ای از ماده باریونی تمام‌نگاری با گازی از لپتون ساخت که پوسته ستاره را مدل‌سازی کند. چنین رویکرد واحدی حتی فراتر از قلمرو تمام‌نگاری بسیار مطلوب است و ما قادر می‌سازد تا مکان مرز پوسته-هسته را به طور کاملاً دینامیکی تعیین کنیم.

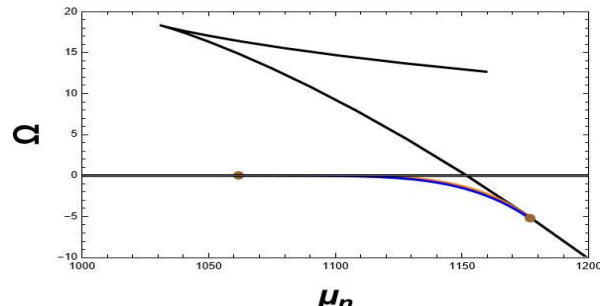
در این مدل ما توانستیم با استفاده از شکل‌های مختلف قرار گیری هادرон‌ها در کنار هم که به ابعاد فضایی d در ساختار پاستای هسته‌ای مربوط می‌شد، ضخامت متفاوت پوسته‌ی ستاره نوترونی را مشاهده کنیم.

در ادامه مناسب است که داده‌های این مدل، با جرم و شعاع ستاره‌ی نوترونی در محدوده‌ی داده‌های رصدی مقایسه گردد.

مراجع

- [۱] Matteo Baggioli, "Applied holography A practical mini-course", SpringerBriefs in Physics, (2019),1-5.
- [۲] کاظمیان ف، (۱۳۹۹)، رساله‌ی دکتری، "معادله‌ی حالت ستاره‌های فشرده با استفاده از هولوگرافی"، دانشکده‌ی فیزیک، دانشگاه صنعتی شاهرود.
- [۳] L. Bartolini, S. B. Gudanson "Neutron Stars in the Witten-Saka-Sugimoto model", JHEP (2023) 209, arXiv: 2307.11886.
- [۴] N.Kovensky, and A.Schmitt, (2021). "Isospin asymmetry in holographic baryonic matter", SciPost Phys. 11, 029 (2021).
- [۵] N.Kovensky, A.Poole and A.Schmitt, "Building a realistic neutron star from holography", Phys. Rev. D 105 , (2021).
- [۶] J.M. Lattimer and M. Prakash ,(2004), "The Physics of Neutron Stars", astro-ph/0405262v1.

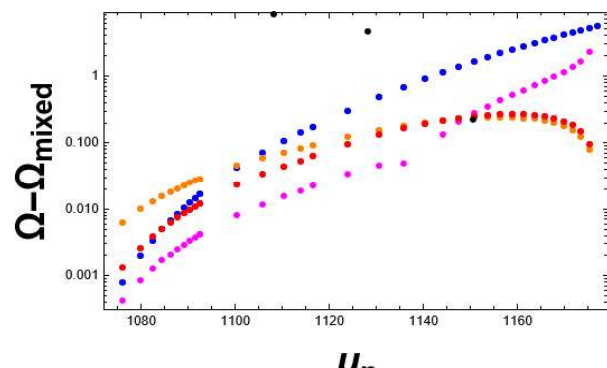
است و ما به عنوان نمونه منحنی مربوط به چگالی‌های انرژی برای ابعاد فضایی $d = 1$ را در شکل ۲ نمایش داده‌ایم.



شکل ۲: چگالی انرژی آزاد بدون بعد به عنوان تابعی از پتانسیل شیمیایی آیزواسپینی با در نظر گرفتن تعادل بتابی و افزودن آثار سطحی و کولنی برای $\lambda = 10$ در $d = 1$.

منحنی مشکی رنگ در شکل ۲ فاز هسته‌ای خالص را نشان می‌دهد. منحنی آبی رنگ مربوط به چگالی انرژی آزاد بدون در نظر گرفتن آثار سطحی و کولنی است و منحنی نارنجی رنگ این چگالی را با در نظر گرفتن آثار سطحی و کولنی نشان می‌دهد. از آنجا که منحنی مربوط به نمودار چگالی انرژی، پس از اعمال آثار سطحی و کولنی (به طور مثال منحنی نارنجی برای $d = 1$) و منحنی مربوط به چگالی انرژی، پیش از اعمال قیدهای فوق (منحنی آبی رنگ)، به سختی قابل تفکیک هستند، اختلاف بین این چگالی‌های انرژی را برای d های مختلف در شکل ۳ رسم کرده‌ایم. که در آن منحنی نارنجی چگالی انرژی پس از افزودن آثار سطحی و کولنی برای $d = 1$ ، منحنی صورتی برای $d = 2$ و قرمز رنگ برای $d = 3$ است.

در این شکل فاصله‌ی بین تلاقی هر یک از نمودارها با منحنی مشکی و آبی ضخامت پوسته‌ی ستاره را نشان می‌دهد.



شکل ۴: تفاوت ضخامت پوسته برای d های مختلف در $\lambda = 10$

امواج گرانشی در یک مدل ماده تاریک دو مؤلفه ای

حسینی، مجتبی^۱؛ آیازی، سید یاسر^۱؛ محمد نژاد، احمد^۲

^۱دانشکده فیزیک دانشگاه سمنان

^۲دانشکده فیزیک دانشگاه لرستان

چکیده

ما یک تعمیمی از مدل استاندارد (SM) را بررسی می کنیم که می تواند شامل دو کاندیدا برای ماده تاریک (DM)، یک فرمیون دیراک و یک ماده تاریک برداری (VDM) تحت گروه پیمانه ای ($U(1)$) جدید در بخش پنهان باشد. مدل ناوردا مقیاس کلاسیکی است و تقارن الکتروضعیف باللی اثرات حلقه ($Loop$) شکسته می شود. فضای پارامتر مجاز با توجه به قید های تجربی فعلی و حد های پایه شناسی بررسی می شود. فضای پارامتر مدل در بازه جرمی $5000\text{ GeV} < M_V < 5000\text{ GeV}$ و $1 < M_\psi < 5000\text{ GeV}$ می شود. تعداد زیادی نقاط در این بازه جرمی وجود دارد که در توافق با همه قید های پایه شناسی هستند. گذار فاز الکتروضعیف شرح داده شده و بعضی نقاط در فضای پارامتر وجود دارد که در توافق با قید های چگالی باقیمانده و کشف مستقیم است در حالیکه بطور همزمان می تواند منجر به گذار فاز الکتروضعیف مرتبه اول شود. امواج گرانشی تولید شده در طی این گذار فاز می تواند در تداخل سنج های فضایی آینده همانند $LISA$ و BBO جستجو شوند.

واژه های کلیدی: ماده تاریک دو مؤلفه ای، گذار فاز الکتروضعیف، امواج گرانشی

Gravitational waves in a two-component dark matter model

Hosseini, Mojtaba^۱; Ayazi, Seyed Yaser^۱; Mohamadnejad, Ahmad^۲

^۱ Department of Physics, University of Semnan, Semnan

^۲ Department of Physics, University of Lorestan, Khorramabad

Abstract

We study an extension of the Standard Model (SM) which could have two candidates for dark matter (DM) including a Dirac fermion and a Vector Dark Matter (VDM) under new $U(1)$ gauge group in the hidden sector. The model is classically scale invariant and the electroweak symmetry breaks because of the loop effects. We investigate the parameter space allowed by current experimental constraints and phenomenological bounds. We probe the parameter space of the model in the mass range $1 < M_V < 5000\text{ GeV}$ and $1 < M_\psi < 5000\text{ GeV}$. It has been shown that there are many points in this mass range that are in agreement with all phenomenological constraints. The electroweak phase transition have been discussed and shown that there is region in the parameter space of the model consistent with DM relic density and direct detection constraints, while at the same time can lead to first order electroweak phase transition. The gravitational waves produced during the phase transition may be probed by future space-based interferometers such as $LISA$ and BBO .

Keywords: two-component dark matter, electroweak phase transition, gravitational waves

PACS No. ۱۳

مدل استاندارد ذرات بنیادی علی رغم موفقیت های چشمگیر در بخش نظری و تجربی، به عنوان نظریه نهایی توصیف طبیعت تلقی

مقدمه

مدل ما شامل سه میدان جدید می باشد. یک فرمیون، یک میدان برداری و یک اسکالر تکتایی مختلط که همگی تحت گروه $U(1)$ جدید در بخش تاریک ناوردا هستند. باز میدان های جدید تحت گروه پیمانه ای (1) در جدول 1 آمده است. همه میدان ها تحت گروه های پیمانه ای مدل استاندارد تکتایی هستند. لاغرانتزی مدل به شکل زیر می باشد:

ψ_R	ψ_L	S	میدان بار
$\begin{pmatrix} -1 \\ 2 \end{pmatrix}$	$\begin{pmatrix} 1 \\ 2 \end{pmatrix}$	1	$U(1)_D$

جدول 1 : باز ذرات بخش تاریک تحت تقارن (1) U جدید

$$\mathcal{L} = \mathcal{L}_{SM} + i\bar{\psi}_L \gamma^\mu D_\mu \psi_L + i\bar{\psi}_R \gamma^\mu D_\mu \psi_R - g_s \bar{\psi}_L \psi_R S + h.c. - \frac{1}{4} V_{\mu\nu} V^{\mu\nu} + (D_\mu S)^* (D^\mu S) - V(H, S) \quad (1)$$

که در آن \mathcal{L}_{SM} لاغرانتزی مدل استاندارد بدون جمله پتانسیل هیگز می باشد. مشتق هموردا به صورت زیر تعریف می شود:

$$D_\mu = (\partial_\mu + iQg_v V_\mu) \quad (2)$$

$$V_{\mu\nu} = \partial_\mu V_\nu - \partial_\nu V_\mu$$

پتانسیل ناوردا مقیاس به شکل زیر تعریف می شود:

$$V(H, S) = \frac{1}{2} \lambda_H (H^\dagger H) + \frac{1}{2} \lambda_S (S^* S) + 2\lambda_{SH} (S^* S)(H^\dagger H) \quad (3)$$

که جمله $2\lambda_{SH} (S^* S)(H^\dagger H)$ تنها ارتباط بین بخش تاریک و مدل استاندارد می باشد. در پیمانه یکانی روابط زیر را داریم:

$$H = \frac{1}{\sqrt{2}} \begin{pmatrix} 0 \\ h_1 \end{pmatrix} \quad S = \frac{1}{\sqrt{2}} h_2 \quad (4)$$

یک تقارن Z_2 برای ψ وجود دارد که باعث پایداری آن می شود.

هم چنین اگر جرم V_μ کمتر از دو برابر جرم ψ باشد، هر دو این میدان ها کاندیداهای ماده تاریک محاسبه می شوند. در مدل

پتانسیل مرتبه درختی صفر بوده و شکست تقارن در مرتبه حلقه اتفاق می افتد که برای نمونه ای از جزئیات محاسبات آن می توان

به [۵] مراجعه نمود. در واقع یک جهت مسطح (flat direction) به [۵] مراجعه نمود. در واقع یک جهت مسطح

تعریف می شود که در آن H_2 (هیگز تاریک) بدون جرم بوده و M_{H_1} برابر با 125GeV خواهد بود که همان جرم ذره هیگز مشاهده شده می باشد. ویژه حالات جرمی H_1 و H_2 با رابطه زیر داده می

شود:

$$\begin{pmatrix} H_1 \\ H_2 \end{pmatrix} = \begin{pmatrix} \cos \alpha & -\sin \alpha \\ \sin \alpha & \cos \alpha \end{pmatrix} \begin{pmatrix} h_1 \\ h_2 \end{pmatrix} \quad (5)$$

در آن α زاویه اختلاط اسکالرها می باشد. بعد از شکست تقارن روابط زیر را داریم:

نخواهد شد. مسائلی هم چون سلسله مراتب، عدم تقارن ماده-پاد ماده و ماده تاریک نیاز به یک نظریه ورای مدل استاندارد را ضروری می سازد. شواهد قانع کننده ای وجود دارد که بیان می کند حدود ۲۷۶ درصد محتوای انرژی عالم از ماده تاریک ساخته شده است [۱]. ذرات جرم دار برهم کنش کننده ضعیف (WIMP) با مکانیزم تولید گرمایی (Freeze-out) از محبوب ترین سناریوها برای ماده تاریک در عالم اولیه می باشند. به دلیل قید های قوی بر روی آزمایش های کشف مستقیم در مدل های ماده تاریک تک مؤلفه ای، مدل های ماده تاریک چند مؤلفه ای از اهمیت زیادی برخوردار شده اند.

در مدل استاندارد، گذار فاز الکتروضعیف از مرتبه دوم بوده و نمی تواند منجر به سیگنال موج گرانشی شود در حالیکه تعیین های مدل استاندارد می تواند منجر به گذار فاز اول شده و موج گرانشی حاصل از آن را تولید نماید [۲]. کشف چنین امواجی می تواند نشانه ای از فیزیک جدید باشد. دو آشکارساز BBO و LISA می توانند در سال های آینده وجود چنین امواجی را بررسی کنند. بر خلاف امواج گرانشی مشاهده شده توسط لایکو که از مرتبه ۱۰۰ هرتز می باشند [۳]، این امواج حاصل از گذار فاز اول از مرتبه میلی هرتز الی دسی هرتز می باشند. از طرف دیگر یکی از شرایط ساختاروف [۴] که عدم تقارن ماده-پادماده را توضیح می دهد، خارج شدن از تعادل گرمایی می باشد که این امر در گذار فاز مرتبه اول اتفاق می افتد.

ما یک مدل ماده تاریک دو مؤلفه ای ناوردا مقیاس با تقارن (1) جدید در بخش تاریک را که یک تعیینی به مدل استاندارد می باشد را در نظر می گیریم. مدل شامل سه میدان جدید، یک فرمیون، یک اسکالر تکتایی مختلط و یک میدان برداری تحت تقارن (1) در بخش تاریک می باشد. ما قید های پدیده شناسی مدل شامل چگالی باقیمانده و کشف مستقیم آن را بررسی کرده و سپس به مطالعه امواج گرانشی آن می پردازیم.

در بخش بعد مدل معرفی شده، سپس قید های پدیده شناسی آن بررسی شده و به دنبال آن امواج گرانشی حاصل از آن مطالعه می شود. در آخر نتیجه مطالعات ارائه شده است.

مدل

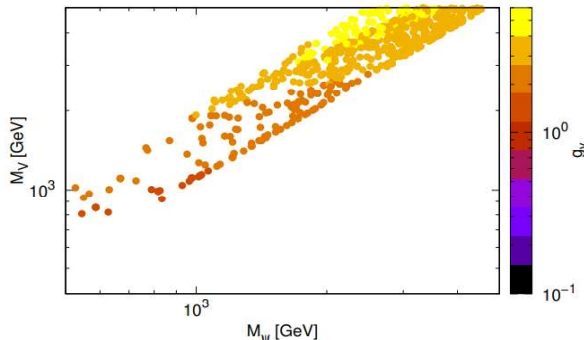
ما از بسته نرم افزاری micrOMEGAs برای حل عددی این معادلات استفاده می کنیم [۷]. با توجه به نتایج آزمایش پلانک، مقدار چگالی باقیمانده ماده تاریک با رابطه زیر داده می شود [۸]:

$$\Omega_{DM} h^2 = \Omega_V h^2 + \Omega_\psi h^2 = 0.120 \pm 0.001 \quad (12)$$

ما هم چنین کسری از چگالی باقیمانده برای هر مؤلفه ای از ماده تاریک را به صورت زیر تعریف می کنیم:

$$\xi_V = \frac{\Omega_V}{\Omega_{DM}} \quad \xi_\psi = \frac{\Omega_\psi}{\Omega_{DM}} \quad \text{و} \quad \xi_V + \xi_\psi = 1 \quad (13)$$

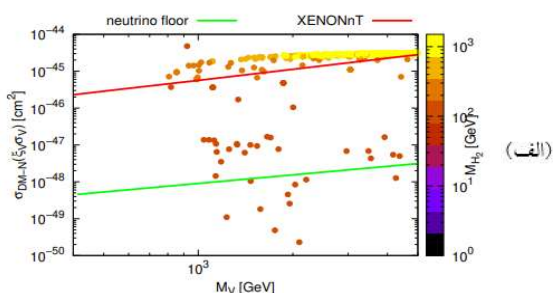
فضای پارامتر مجاز مدل در توافق با چگالی باقیمانده مشاهده در شکل ۱ رسم شده است.



شکل ۱: فضای پارامتر مجاز در توافق با چگالی باقیمانده ماده تاریک

• کشف مستقیم

در این بخش قید هایی بر روی فضای پارامتر مدل با توجه به پراکندگی ماده تاریک هسته بررسی می شود. ما از نتایج آزمایش XENONnT استفاده می کنیم [۹]. شکل ۲ (الف) سطح مقطع کاهش یافته $\sigma_V \sigma_V$ در برابر M_V و شکل ۲ (ب) سطح مقطع کاهش یافته $\sigma_\psi \sigma_\psi$ در برابر M_ψ را نشان می دهد. هم چنین حد کف نوتريونو (neutrino-floor) نیز رسم شده است که محدودیتی را بر روی آزمایشات کشف مستقیم می گذارد.



$$v_1 = \frac{M_V}{g_v} \quad \text{و} \quad \sin \alpha = \frac{v_1}{\sqrt{v_1^2 + v_2^2}} \quad \text{و} \quad M_\psi = \frac{g_s M_V}{\sqrt{2} g_v}$$

$$\lambda_H = \frac{3M_{H1}^2}{v_1^2} \cos^2 \alpha \quad \text{و} \quad \lambda_S = \frac{3M_{H1}^2}{v_2^2} \sin^2 \alpha \\ \lambda_{SH} = -\frac{M_{H1}^2}{2v_1 v_2} \sin \alpha \cos \alpha \quad (6)$$

با توجه به این روابط مدل ما تنها سه پارامتر مستقل M_V , M_ψ و g_v وجود دارد که پدیده شناسی مدل با این سه پارامتر صورت می گیرد. تصحیحات تک حلقه به پتانسیل از طریق مکانیزم Gildener-Weinberg صورت می گیرد [۶] که باعث ایجاد جرم برای هیگز تاریک می شود. در امتداد flat direction (جهت مسطح) پتانسیل مؤثر تک حلقه شکل عام زیر را دارد [۶]:

$$V_{eff}^{loop(T=0)} = a H_\tau^\epsilon + b H_\tau^\epsilon \ln \frac{H_\tau^\epsilon}{\Lambda} \quad (7)$$

$$a = \frac{1}{\gamma \pi^\epsilon v^\epsilon} \sum_{k=1}^n g_k M_k^\epsilon \ln \frac{M_k^\epsilon}{v^\epsilon} \quad \text{و} \quad b = \frac{1}{\gamma \pi^\epsilon v^\epsilon} \sum_{k=1}^n g_k M_k^\epsilon \quad (8)$$

با مینیمم کردن رابطه (۷) و بازنویسی آن رابطه زیر را داریم:

$$V_{eff}^{loop(T=0)} = b H_\tau^\epsilon (\ln \frac{H_\tau^\epsilon}{v^\epsilon} - \frac{1}{\gamma}) \quad (9)$$

و در نهایت با استفاده از رابطه بالا جرم H_τ^ϵ با رابطه زیر بدست می آید:

$$M_{H_\tau^\epsilon} = \frac{1}{\gamma \pi^\epsilon v^\epsilon} (M_{H1}^\epsilon + 6M_W^\epsilon + 3M_Z^\epsilon + 3M_V^\epsilon - 12M_t^\epsilon - 4M_\psi^\epsilon) \quad (10)$$

که در آن $v = 246 GeV$ و $v^2 = v_1^2 + v_2^2$ می باشد. رابطه (۱۰) یک قید بر روی فضای پارامتر ما قرار می دهد که در آن $M_{H2} > 0$ می باشد. در ادامه پدیده شناسی مدل بررسی می شود.

پدیده شناسی

• چگالی باقیمانده

با توجه به $M_V < 2M_\psi$ هر دو میدان های V_ψ و M_ψ عنوان ماده تاریک در نظر گرفته می شوند. تحول چگالی تعداد ذرات ماده تاریک با زمان با معادله بولتزمان داده می شود. معادلات بولتزمان برای هر دو کاندیدای ماده تاریک به شکل زیر می باشد:

$$\frac{dn_V}{dt} + 3Hn_V = - \sum_j \langle \sigma_{VV \rightarrow jj} v \rangle (n_V^2 - n_{V,eq}^2) - \langle \sigma_{VV \rightarrow \psi\psi} v \rangle (n_V^2 - n_{V,eq}^2) \frac{n_\psi^2}{n_{\psi,eq}^2} \\ \frac{dn_\psi}{dt} + 3Hn_\psi = - \sum_j \langle \sigma_{\psi\psi \rightarrow jj} v \rangle (n_\psi^2 - n_{\psi,eq}^2) - \langle \sigma_{\psi\psi \rightarrow VV} v \rangle (n_\psi^2 - n_{\psi,eq}^2) \frac{n_V^2}{n_{V,eq}^2}, \quad (11)$$

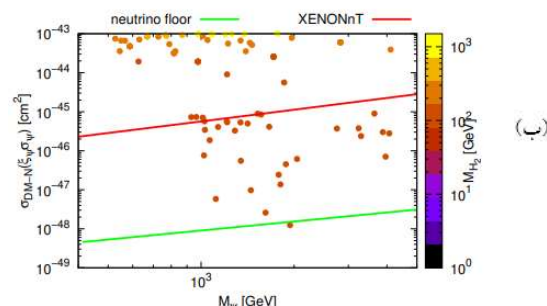
در شکل ۳ محدودیت های آزمایش های [۱۰] و LISA [۱۱] در بخش تاریک تعمیم BBO نشان داده شده است. همانطور که دیده می شود بیشینه طیف موج گرانشی برای نقاط جدول ۲ در محدوده آزمایش BBO قرار می گیرد. نکته مهمی که می توان به آن اشاره کرد این است که برای نقطه معیار ۳ در جدول ۲ که سطح مقطع پراکندگی آن با هسته پایین تر از حد کف نوتربینو قرار می گیرد، آزمایشات امواج گرانشی می تواند به عنوان یک راه خاص برای کشف آن و بررسی مدل در آن نواحی از فضای پارامتر باشد.

نتیجه گیری

ما مدل استاندارد را با یک گروه (۱) U در بخش تاریک تعمیم دادیم که شامل سه میدان جدید برداری، فرمیونی و یک اسکالر تکتایی مختلط می باشد. در مدل با توجه به شرایط جرمی دو کاندیدای برداری و فرمیونی برای ماده تاریک بدست آوردیم. ما قید های پدیده شناسی شامل چگالی باقیمانده و کشف مستقیم را بررسی کردیم و تعداد زیادی نقاط در فضای پارامتر بدست آوردیم که در توافق با این قید ها می باشد. سپس امواج گرانشی حاصل از گذار فاز مرتبه اول را برای سه نقطه معیار بررسی کردیم.

مراجع

- [۱] G. Bertone and D. Hooper, History of dark matter, Rev. Mod. Phys. ۹۰ (۲۰۱۸), ۴۰۰۰۲.
- [۲] D. J. Weir, Gravitational waves from a first order electroweak phase transition: a brief review, Phil. Trans. Roy. Soc. Lond. A ۳۷۶ (۲۰۱۸) ۲۰۱۷۰۱۲۶.
- [۳] Observation of Gravitational Waves from a Binary Black Hole Merger, Phys. Rev. Lett. ۱۱۶ (۲۰۱۶) ۰۶۱۱۰۲.
- [۴] M. E. Shaposhnikov, Baryon Asymmetry of the Universe in Standard Electroweak Theory, Nucl. Phys. B ۲۸۷ (۱۹۸۷) ۷۵۷.
- [۵] Mojtaba Hosseini, S. Yaser Ayazi and A. Mohamadnejad, Gravitational wave effects and phenomenology of a two-component dark matter model[۲۳۰۸, ۰۰۳۹۵].
- [۶] E. Gildener and S. Weinberg, Symmetry Breaking and Scalar Bosons, Phys. Rev. D ۱۳ (۱۹۷۶) ۳۲۳۲.
- [۷] D. Barducci, G. Belanger, J. Bernon, F. Boudjema, J. Da Silva, S. Kraml et al., Collider limits on new physics within micrOMEGAs ۴, Comput. Phys. Commun. ۲۲۲ (۲۰۱۸) ۳۲۷ [۱۶۰۶, ۰۳۸۳۴].
- [۸] Planck collaboration, Planck ۲۰۱۸ results. VI. Cosmological parameters, Astron. Astrophys. ۶۴۱ (۲۰۲۰) A۶ [۱۸۰۷, ۰۶۲۰۹].
- [۹] XENON collaboration, First Dark Matter Search with Nuclear Recoils from the XENONnT Experiment, ۲۲۰۳, ۴۷۲۹.
- [۱۰] LISA collaboration, Laser Interferometer Space Antenna, ۱۷۰۲, ۰۰۷۸۶.
- [۱۱] J. Crowder and N. J. Cornish, Beyond LISA: Exploring future gravitational wave missions, Phys. Rev. D ۷۷ (۲۰۰۵) ۰۸۳۰۵ [gr-qc/۰۵۰۶۱۰].



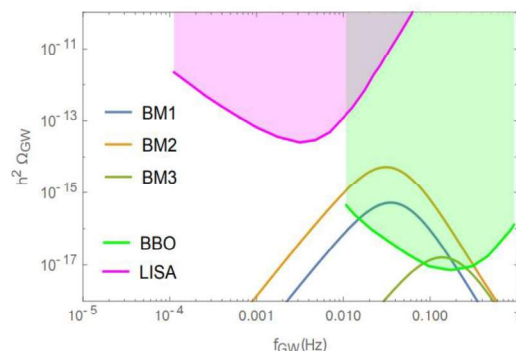
شکل ۳: فضای پارامتر مجاز مدل در توافق با چگالی باقیمانده و کشف مستقیم

امواج گرانشی

همانطور که گفته شد گذار فاز الکتروضعیف مرتبه اول می تواند منجر به ایجاد امواج گرانشی شود. برای بررسی امواج گرانشی چهار پارامتر ورودی T_c (دماهی بحرانی)، T_N (دماهی هسته زایی)، α (پارامتر قدرت) و $\frac{\beta}{H_0}$ (مدت زمان معکوس انتقال فاز) لازم است که همه این پارامتر ها از مدل مورد بررسی و انجام محاسبات مربوطه بدست می آید که جزئیات آن در [۵] آمده است. جدول ۲، سه نقطه معیار در فضای پارامتر مجاز مدل به همراه پارامترهای گذار فاز را نشان می دهد.

#	$M_V(GeV)$	$M_\psi(GeV)$	g_v	g_s	$M_{H_2}(GeV)$
۱	۱۱۲۶	۱.۰۱	۱.۶۹	۲.۱۵	۱۲۲.۳
۲	۲۲۰۷	۲.۰۰	۲.۳	۲.۰۱	۱۲۲.۴
۳	۴۰۴۷	۱۹۶۱	۲.۲۳	۲.۹۶	۱۲۴.۷
#	$\Omega_\nu h^2$	$\Omega_\psi h^2$	$\Omega_{DM} h^2$	$\xi_\nu \sigma_\nu(cm^{-3})$	$\xi_\psi \sigma_\psi(cm^{-3})$
۱	1.7×10^{-7}	1.11×10^{-1}	1.12×10^{-1}	1.42×10^{-18}	7.72×10^{-19}
۲	1.9×10^{-7}	1.19×10^{-1}	1.21×10^{-1}	1.42×10^{-18}	7.15×10^{-19}
۳	1.87×10^{-7}	1.14×10^{-1}	1.16×10^{-1}	2.3×10^{-20}	1.22×10^{-18}
#	$T_c(GeV)$	$T_N(GeV)$	α	β/H_0	$(\Omega_{GW} h^2)_{max}$
۱	۱۷۹	۱۲۷, ۱۵	۰, ۰۲	۱۲۵۲, ۲۳	5.9×10^{-17}
۲	۴۷۰	۲۵۲, ۴	۰, ۰۳	۶۲۰, ۶	5.6×10^{-19}
۳	۴۰۴	۲۵۲, ۸۰	۰, ۰۱	۲۸۵۰, ۴۵	1.11×10^{-17}

جدول ۲: سه نقطه معیار به همراه پارامتر های ماده تاریک و گذار فاز طیف موج گرانشی ایجاد شده توسط این نقاط در شکل ۳ رسم شده است (برای محاسبات مربوطه به [۵] رجوع شود).



شکل ۳: طیف موج گرانشی برای نقاط جدول ۲

درجه آزادی پیمانه ای برای دستگاه دو ذره کارول

دھقانی، مهدی

گروه فیزیک، دانشگاهی علوم پایه، دانشگاه شهرکرد، شهرکرد

چکیده

دستگاهی مرکب از دو ذره کارول که توسط یک پتانسیل داخلی به هم‌دیگر مقید هستند. را در نظر می‌گیریم. سه درجه‌ی آزادی این دستگاه به بهای یافتن دینامیک برای این دستگاه، توسط سه قید نوع اول و تثبیت آنها محروم شوند. در این صورت دستگاه به یک مدل با قیدهای نوع دوم تبدیل می‌شود. به روش غوطه‌وری هم‌تاقته و با افزودن سه متغیر وس-زومینو این سه درجه آزادی پیمانه‌ای بازیابی می‌کنیم. معادلات حاکم بر پتانسیل متغیرهای وس-زومینو را نیز به دست می‌وریم.

واژه‌های کلیدی: ذره کارول، پیمانش، همتاقته، وس-زومینو.

Gauge Degrees of Freedom for a System with Two Carroll Particles

Dehghani, Mehdi

Department of Physics, Faculty of Science, Shahrekord University, 115, Shahrekord, Iran

Abstract

A composite system of two Carroll particle in which are bound by an internal potential, is considered. For a non-trivial dynamics, three degrees of freedom fade away by three first class constraints and their fixing conditions. In this way, the system becomes a second class one. By the symplectic embedding and adding three Wess-Zumino variables, we survive three degrees of freedom as gauge degrees of freedom.

Keywords: Carroll Particle, Gauging, Symplectic, Wess-Zumino.

PACS No. 12.14.2.8

مهمترین بررسی‌ها که به خصوص در سال‌های اخیر مورد توجه

مقدمه

پژوهشگران قرار گرفته است تقارن‌های BMS و کارول برای فضازمان بوده است [۱، ۲]. این‌ها به خصوص در مورد رفتار فیزیکی ذرات و امواج ارسال شده از اجرام سنگین در دوردست این اجرام، اطلاعاتی می‌دهند. مثال بسیار آشنا امواج گرانشی ارسال شده از سیاه‌چاله‌ها و اثری مانند اثر حافظه در این امواج است [۲]. همچنین هر دوی این تقارن‌ها به نوعی به رفتار و خواص ذرات در حد فرانسیستی می‌پردازند. بنابراین دینامیک ذرات سبک مانند نوتريون، اکسیون و یا حتی گراویتون را در دوردست

قض و بسط تقارن‌های فضا زمان در قرن گذشته از موضوعات جالب توجه بوده است. موضوعاتی مانند ابرتقارن، تقارن‌های مجانبی نسبیت عام، نسبیت‌های خاص و خاص در ابعادی بیشتر و کمتر از سه بعد فضایی، نسبیت خیلی خاص، فضازمان‌های کاپامینکوفسکی، نسبیت‌های با امضای شامل بیشتر از یک مولفه‌ی زمانی، نسبیت خاص دوگانه و... از جمله‌ی مثال‌هایی در این زمینه بوده‌اند. در برخی موارد هدف مطالعه و القای ویژگی‌هایی بر خود فضا زمان بوده است و در برخی دیگر هدف، اعمال ویژگی‌هایی بر اشیا حاضر در فضا زمان، یعنی ذرات و امواج، هستند. دو تا از

کارول پیدا خواهیم کرد. هدف نهایی این است که ببینیم آیا خاصیت دیگری برای ذره، به غیر از جرم، به صورت دینامیکی از کنش چنین دستگاهی قابل استخراج هست و پتانسیلی برای تولید این خاصیت بیایم.

کنش دو ذره نسبیتی و حد کارول

کنش یک ذره آزاد نسبیتی به شکل یک کنش مرتبه اول است، که شامل یک جمله‌ی مربوط به نگاشتن سرعت ذره به تکانه‌ی آن است به همراه قید شرط پاشندگی که توسط یک ضریب نامعین لاگرانژ به نام تک-شاخ، انتگرال کنش و مشتق‌گیری زمانی مربوط به سرعت‌ها نسبت به زمان ویژه گرفته می‌شوند. حال اگر دو تا از این ذره‌ها داشته باشیم که با پتانسیلی برهم‌کش می‌کنند، این پتانسیل در پاشندگی هر کدام ظاهر خواهد شد و فضای فاز مجموعه، مجموع مستقیم فضاهای فاز هر کدام خواهد بود. پس کنش دستگاه دو ذره نسبیتی بر حسب انتگرال روی پارامتر دینامیکی زمان ویژه، خواهد شد.

$$S = \int d\tau (\bar{p}_i \dot{\bar{x}}_i - e_i \phi_i), \quad \phi_i = \bar{p}_i^2 + m^2 - V \quad (1)$$

$$\bar{x}_i := (\bar{t}_i, \bar{\mathbf{x}}_i), \quad \bar{p}_i := (\bar{E}_i, \bar{\mathbf{p}}_i)$$

حد فرانسیستی این تابعی به این صورت یافته می‌شود که متغیرهای دینامیکی و پارامترهای آن با تکانه یا انرژی ω به صورت زیر مقیاس یا بی بعد شده،

$$(\bar{e}_i, \bar{\phi}_i) \rightarrow (\omega^{-2} e_i, \omega^2 \phi_i), \quad (\bar{\mathbf{x}}_i, \bar{\mathbf{p}}_i) \rightarrow (\mathbf{x}_i, \mathbf{p}_i) \quad (2)$$

$$(\bar{t}_i, \bar{E}_i) \rightarrow (\omega^{-1} t_i, \omega E_i), \quad m \rightarrow \omega M$$

و حد مقادیر بزرگ این انرژی گرفته می‌شود. نکه جالب توجه در این حد این است که جمله‌ی جنبشی را در رابطه‌ی پاشندگی محو می‌کند. ولی اگر تقاضا کنید که تابع پتانسیل V دو ذره‌ای، تابعی از اندازه تکانه‌ی نسبی دو ذره $(\mathbf{q}) = \epsilon_{3ij} E_i \mathbf{p}_j$ باشد آن وقت جمله‌ی جنبشی از پتانسیل بین دو ذره سر بر می‌آورد. اگر چه در این روابط اندیس‌های $(i, j = 1, 2)$ شمارنده ذره‌ها هستند ولی در فرمول‌بندی این مقاله تبدیل می‌شوند به شمارنده درجه‌های آزادی که در اثر قیدهای نوع دوم حذف شده‌اند و قصد بازگرداندن آنها به صورت درجه آزادی داخلی را داریم.

چشمهدی ارسال کننده آنها می‌تواند از کنش دارای این گونه تقارن-ها استخراج شود.

معمولًا دستکاری در پارامترها و ثوابت فیزیکی حاضر در یک جبر تقارنی از روش‌های قبض و بسط آن است. مثلاً نامتناهی کردن سرعت نور در گروه تقارنی لورنتس منجر به گروه تقارنی گالیله می‌شود. برای رسیدن به تقارن کارول به نوعی اثری عکس انجام می‌گیرد. یعنی سرعت حدی در جبر گروه پوانکاره بسیار کوچک می‌شود. در چنین رژیمی تمام ذرات فرانسیستی خواهند شد. شهود اولیه نشان می‌دهد و نشان داده شده است که در چنین فضازمانی یک ذره‌ی بسیط، دینامیکی ندارد [۳]. این ذره فقط جرم خواهد داشت و حتی قادر نیست انجنای فضا زمان را اندازه بگیرد. روش برگشوف و همکاران در [۳]، این بوده است که یک پتانسیل داخلی بین دو ذره کارول در نظر بگیرند و از طریق آن به ذره دینامیک بدهند. حضور پتانسیل، شش درجه آزادی دستگاه مرکب را به سه درجه آزادی فرومی‌کاهد. از دیدگاه دستگاه‌های مقید، که در این مقاله به این مجموعه نگاه خواهیم کرد، این موضوع به این دلیل است که دوازده درجه آزادی دستگاه دو ذره‌ای کارول شامل سه قید نوع اول است و این سه با سه پیمانه ثابت می‌شود. در نهایت یک دستگاه (ذره غیربسیط) دینامیک‌دار با سه درجه آزادی در فضای سه بعدی خواهیم داشت.

پیشنهادی که به بخشی از آن خواهیم پرداخت این است که، سه درجه آزادی محو شده را از طریق پیمانه‌ای کردن این مدل دو ذره‌ای بازگردانیم. دستگاه غیربسیط دو ذره‌ای را یک جسم بسیط همراه با سه درجه آزادی پیمانه‌ای (بگویید داخلی) در نظر بگیریم و از این سه درجه آزادی پیمانه‌ای یک ویژگی آشنا، مانند اسپین، استخراج کنیم. این کار دست‌کم با توجه به این که اسپین ذرات یک پدیده‌ی نسبیتی است، قابل توجیه است. روش پیمانش افزودن متغیر وس-زمینو به مدل است. در [۴] برای یک دستگاه شامل یک رشته‌ی شامل دو قید نوع دوم فرآیند غوطه‌وری دستگاه و نوع اول سازی را ارائه دادیم. مدل حاضر پس از تثیت شامل سه رشته-ی دوتایی از قیدهای نوع دوم است که برای نوع اول ساختن آنها به همان روش گفته شده در [۴] سه تا وس-زمینو به کنش اضافه خواهیم کرد و معادلاتی برای پتانسیل پیمانه‌ای ساز کنش دو ذره

توجه کنید (سطر سوم معادله‌ی (۴)) که در این روش تکانه‌های تکشاخ‌ها و ضریب نامعین لاگرانژ e_3 را در مختصات وارد نکردیم تا سه قید (۵) به شکل اولیه ظهرور پیدا کنند. در بررسی هم‌تافته‌ی قیدها، لاگرانژی (۴) با قیدهای (۵) و گسترش مختصات بازسازی می‌شود تا دو فرمی غیر تکین به دست دهد و در نهایت نتیجه می‌دهد که دستگاه نوع دوم است و مختصات همان تعدادی است که در بالا به آن اشاره کردیم. در بخش بعد جلوی ظهرور نوع دوم‌ها را با غوطه‌وری هم‌تافته‌ی دستگاه (۴) می‌گیریم.

ورود وس-زمینوها

غوطه‌وری یعنی افزودن مختصات کمکی جدید (آنها را θ_I می‌نامیم) به فضای فاز دستگاه و تقاضا برای تبدیل قیود دستگاه غوطه‌ور شده، به قیود نوع اول است.

$$\begin{aligned} L_{\text{gauged}}^{(0)} &= L^{(0)} + X_I(\mathbf{x}_i, \mathbf{p}_i, t_i, E_i; \theta_I) \dot{\theta}_I - H_{\text{c-gauged}}, \\ H_{\text{c-gauged}} &= H_c + G(\mathbf{x}_i, \mathbf{p}_i, t_i, E_i; \theta_I), \\ Z_M^{(0)} &= Z_\mu^{(0)} \oplus \theta_I, M = 1, 2, \dots, 22. \end{aligned} \quad (6)$$

تابع G پتانسیل پیمانه‌ای (نوع اول) کننده‌ی دستگاه است و ها تکانه‌ی وس-زمینوها هستند. وقتی که سازوکار تحلیل هم‌تافته را همانند آن گونه که در (۴) و (۵) گفته‌یم برای (۶) به کار ببریم [۴]، نتیجه می‌گیریم که مناسب است تا تکانه‌های وس-زمینو را از همان قیدهای پاشندگی و پیمانه‌ی انتخاب ساعت بسازیم،

$$\begin{aligned} X_1(\mathbf{p}_i, t_i, E_i) &= \phi_1^K, \\ X_2(\mathbf{p}_i, t_i, E_i) &= \phi_2^K, \\ X_3(\mathbf{p}_i, t_i, E_i) &= \psi_3^K. \end{aligned} \quad (7)$$

که $K > 1$ واقعاً توانی برای قیدها است. این انتخاب باعث می‌شود که جواب بدیهی بازتعریف تکشاخ‌ها (ضرایب نامعین) حذف شود. با این شرط معادله برای پتانسیل پیمانه‌ای کننده $G(\mathbf{x}_i, \mathbf{p}_i, t_i, E_i; \theta_I)$ بر روی سطح قیدهای (۵)، به صورت زیر در می‌آید.

$$\begin{aligned} \{\phi_i^K, G\} + \frac{\partial G}{\partial \theta_i} &= 0, \quad \{\psi_3^K, G\} + \frac{\partial G}{\partial \theta_3} = 0, i = 1, 2, \\ \nabla_\theta = \hat{\theta}_i \frac{\partial}{\partial \theta_i} + \hat{\theta}_3 \frac{\partial}{\partial \theta_3}, A_i &= \{G, \phi_i^K\}, A_3 = \{G, \psi_3^K\} \rightarrow \\ \nabla_\theta \times \mathbf{A} &= 0 \end{aligned} \quad (8)$$

حد کارول با حدگیری $\infty \rightarrow \infty$ در (۲) و قرار دادن نتایج آن در کنش حاصل می‌شود. در این حد یک اتفاق فیزیکی دیگر نیز رخ می‌دهد که آن را در کنش وارد می‌کنیم.

از آنجا که در این حدگیری دو ذره فرانسیبیتی می‌شوند، ساعت دو ذره بیکسان می‌شود. این موضوع به زبان قیدی با ظهور یک قید اولیه دیگر، که آن را ψ_3 می‌نامیم، بیان می‌شود. اما دو قید دیگر چه هستند؟ حتی بدون گرفتن حد کارول، لاگرانژی سازنده-ی کنش (۱) می‌گوید که سرعت تکشاخ‌ها در این لاگرانژی حاضر نیست پس تکانه‌ی آنها قیدهای اولیه هستند و سازگاری این دو قید، روابط پاشندگی (ϕ_i) را می‌دهند. در نگاه معمول، هامیلتونی کانونی متناظر با کنش (۱) سه قید اولیه‌ی

$$\psi_i = \pi_i, \psi_3 = t_1 - t_2 \quad (3)$$

را دارد که پس از بررسی سازگاری منجر به سه قید ثانویه $(\phi_i, I, I = 1, 2, 3)$ می‌شود. در نتیجه دستگاه با این مجموعه شش قیدی ($\Psi_A = \phi_i \oplus \psi_j$) نوع دوم ($\det(\{\Psi_A, \Psi_B\}_{\text{PB}}) \neq 0$) می‌شود. در نگاهی دیگر ψ_3 یک تثیت پیمانه برای (۱) است [۳]. به هر حال دستگاه تثیت پیمانه شده‌ی (۱)، نوع دوم است. این دستگاه ۱۴ درجه آزادی در فضای فاز دارد، یا ۷ تا در فضای پیکربندی دارد. از این ۷ تا ۳ تا به جایگاه دستگاه مرکب می‌رسد. در عمل دو ذره کارول با یک ساعت مشترک محتوایی به اندازه یک ذره دارند. سه درجه آزادی فضایی باقیمانده را با رفع قیود نوع دوم باز می‌گردانیم. به این منظور لاگرانژی مرتبه صفر در دیدگاه تحلیل هم‌تافته را به صورت زیر در نظر می‌گیریم.

$$\begin{aligned} L^{(0)} &= A_\mu^{(0)} \dot{Z}_\mu^{(0)} - H_c, \quad \mu = 1, \dots, 19, \\ H_c &= e_i V_i + e_3 \psi_3, \quad V_1 = V_2 = V(|\mathbf{q}|) \end{aligned} \quad (4)$$

$$\begin{aligned} Z_\mu^{(0)} &:= t_1 \oplus E_i \oplus \mathbf{x}_i \oplus \mathbf{p}_i \oplus e_i \oplus e_3, \\ A_\mu^{(0)} &:= E_i \oplus o_i \oplus (-\mathbf{p}_i) \oplus \mathbf{o}_i \oplus o_i \oplus 0. \end{aligned}$$

دو فرم هم‌تافته‌ای که از پیچش تک فرم $A_\mu^{(0)}$ نسبت به مختصات $Z_\mu^{(0)}$ به دست می‌آید، بگویید $f_{\mu\nu}^{(0)} = \frac{\partial A_\mu^{(0)}}{\partial Z_\mu^{(0)}} - \frac{\partial A_\nu^{(0)}}{\partial Z_\nu^{(0)}}$ ، تکین است و سه بردار پوج دارد و از این سه بردار پوج سه قید اولیه استخراج می‌شود.

$$\begin{aligned} n_\mu^1 &= \delta_{\mu,17} \rightarrow n_\mu^1 (\partial_\mu H_c) = \phi_1, \\ n_\mu^2 &= \delta_{\mu,18} \rightarrow n_\mu^2 (\partial_\mu H_c) = \phi_2, \\ n_\mu^3 &= \delta_{\mu,19} \rightarrow n_\mu^3 (\partial_\mu H_c) = \psi_3. \end{aligned} \quad (5)$$

برای صدق دادن در (۹) و یافتن ضرایب مجهول در بخش $t_i \oplus E_i \oplus \mathbf{x}_i \oplus \mathbf{p}_i$ فضای فاز پیشنهاد می شود.

نتیجه گیری

برگشوف و همکاران با ارجائی بر همکنش بین دو ذرهی کارول به مجموعه‌ی دو تابی از آنها درجه آزادی انتقالی به صورت دینامیکی بخشدند. دو ذره آنقدر سنگین فرانسیسی هستند که موجودی هم اندازه خودشان می‌تواند آن را به حرکت وادارد. از دیدگاه ما در عمل دو ذرهی بسیط کارول، یک موجود است. برای یک چنین موجودی تلاش کردیم که سه درجه‌ی داخلی را به عنوان درجه‌ی آزادی اسپینی با کمک متغیرهای کمکی وس-زومینو احیا کنیم. به این منظور پتانسیلی وارد کردیم و معادلات حاکم بر آن را به دست آوردیم. پتانسیل تولید کننده اسپین به پتانسیل دو ذرهای کارول وابسته است.

مرجع‌ها

[1] Glenn Barnich and Cédric Troessaert; "Symmetries of Asymptotically Flat Four-Dimensional Spacetimes at Null Infinity Revisited"; Phys. Rev. Lett. **105**, 111103.

[2] C Duval, G W Gibbons, P A Horvathy and P-M Zhang; "Carroll symmetry of plane gravitational waves"; Class. Quantum Grav. **34** (2017) 175003.

[3] Eric Bergshoeff, Joaquim Gomis and Giorgio Longhi; "Dynamics of Carroll particles"; Class. Quantum Grav. **31** (2014) 205009.

[۴] دهقانی، مهدی؛ قهرمان، زهراء؛ منعم‌زاده، مجید؛ «ساخت مکانیک بر رویه‌های غوطه‌ور»؛ مقاله‌نامه هفتمین کنفرانس فیزیک ریاضی ایران، صفحه ۱۱۰ (۱۴۰۱).۱۱۳

که کروشه پواسون در بخش $\oplus E_i \oplus \mathbf{x}_i \oplus \mathbf{p}_i$ ، فضای فاز گرفته می‌شود. با انتخاب تابعیت پتانسیل به صورت $G(\phi_1, \phi_2, \psi_3; \theta_i)$ و با اشاره‌ی بالا که دستگاه مختصات سه بعدی فضای پیکربندی وس-زومینوها، به صورت یک دستگاه مستقیم‌خط متعامد است؛ مجموعه معادلات به صورت زیر در می‌آید.

$$\begin{aligned} \left\{ \frac{\partial G}{\partial \theta_1}, \phi_2^K \right\} &= \left\{ \frac{\partial G}{\partial \theta_2}, \phi_1^K \right\}, \quad \left\{ \frac{\partial G}{\partial \theta_2}, \psi_3^K \right\} = \left\{ \frac{\partial G}{\partial \theta_3}, \phi_2^K \right\}, \\ \left\{ \frac{\partial G}{\partial \theta_1}, \psi_3^K \right\} &= \left\{ \frac{\partial G}{\partial \theta_3}, \phi_1^K \right\}. \end{aligned} \quad (9)$$

مجموعه‌ی وس-زومینوها و تکانه‌هایشان موجودات کمکی هستند که در نهایت می‌توانند از هامیلتونی مدل حذف شوند. به خصوص از دیدگاه هامیلتونی آنها زوج نوع دوماند. می‌توان نشان داد که یک زوج مزدوج کانونی نوع دوم، متحدد با صفر شدن هر دویشان تشییت پیمانه به طرز سازگاری نیست. بنابراین قرار دادن مقداری ثابت برای تکانه وس-زومینو در فرمول تکانه زاویه‌ای متجز از آنها، $S_I = \varepsilon_{IJK} \theta_J \pi_K$ ، یعنی حضور ترکیب خطی وس-زومینوها در هرجایی می‌گوید شما مولفه‌های اسپین ذره را دارید. حضور ناصفرشان در هامیلتونی یعنی ظهور اسپین به شکل درجه آزادی غیر انتقالی و داخلی و یا پیمانه‌ای. اما آیا می‌توان آنها را به صورت غیر صفر در هامیلتونی نگه داشت وقتی که تکانه‌شان را غیر صفر گرفته‌ایم؟

پیشنهاد برای حل

انتخاب حل خطی $G \sim \theta$ با مجموعه معادلات (۹) ناسازگار است. انتخاب شکل همگن یا ناهمگن مربعی منجر به حلی برای G خواهد شد ولی با شرط کمینه برای پتانسیل G ، مقداری صفر برای تمامی مولفه‌های وس زومینو می‌دهد. پیشنهاد مکعبی بر حسب θ ها لزوما کمینه‌ای نمی‌دهد. در نهایت بهترین پیشنهاد، پتانسیل کلاه مکزیکی $G \sim O(\theta^2) + O(\theta^4)$ است تا در فرآیندی مثل شکست خودبه‌خود تقارن برای پتانسیل پیمانه‌ای کننده‌ی G جمله‌های اسپینی ایجاد کند. بنابراین آنساتر،

$$G = g_{IJ}^{(2)} \theta_I \theta_J + g_{IJKL}^{(4)} \theta_I \theta_J \theta_K \theta_L, \quad (10)$$

بررسی ناهنجاری جرم بوزون W از طریق معرفی بخش تاریک غیرآبلی

اسلوب، شیما^۱؛ خطیبی، سارا^۱

^۱دانشکده فیزیک دانشگاه تهران، انتهای خیابان کارگر شمالی، تهران

چکیده

یکی از راههای توضیح مسئله ماده تاریک از منظر فیزیک ذرات بنیادی، معرفی بخش تاریک است که ذرات پیشنهاد شده توسعه این بخش، از طریق آمیختگی جنبشی، با ذرات مدل استاندارد برهمکنش می‌کند. این آمیختگی همچین می‌تواند منجر به اصلاح برهمکنش ذرات بنیادی مدل استاندارد شود که اثرات آن را می‌توان از طریق پارامترهای مایل بدست آورد. در این مقاله، مدلی را معرفی می‌کنیم که این آمیختگی بوسیله‌ی یک ذره واسط با اسپین ۱ انجام می‌شود. این کار از طریق اضافه کردن تمارن پیمانه‌ای غیرآبلی به مدل استاندارد و آمیختگی آن با فoton صورت می‌گیرد. با مطرح کردن این مدل سعی بر توجیه مغایرت مشاهده شده در آزمایش تعیین جرم بوزون W با پیش‌بینی مدل استاندارد را داریم.

واژه‌های کلیدی: ماده تاریک، آمیختگی جنبشی، ناهنجاری جرم بوزون W .

Study of W Mass Anomaly through the Non-Abelian Dark Sector

Shima, Osloub¹; Sara, Khatibi¹

¹ Department of Physics, University of Tehran, Tehran,

Abstract

In order to explain the Dark Matter problem in particle physics, the dark sector is introduced by taking into account dark matter's interactions with standard model particles through kinetic mixing. This mixing can also modify interactions among SM particles which can be casted into the oblique parameters. In this paper, we introduce a model that assumes the interactions take place through a mediator particle with a spin-1 particle. This has been shown by adding a non-abelian gauge group to the standard model and mixing it with photons. By proposing this model, we attempt to explain the discrepancy observed between W mass measurement and the SM prediction.

Keywords: Dark matter, Kinetic mixing, W mass anomaly

PACS No. 12, 13.

توصیف ماده تاریک، در نظر گرفتن بخش تاریک است که شامل

مقدمه

کاندیدهای ماده تاریک و نحوه برهمکنش آنها است. از طرفی دیگر، آزمایش‌های مختلفی تاکنون برای اندازه‌گیری جرم بوزون W صورت گرفته است و مقادیر اندازه‌گیری شده با مقداری که مدل استاندارد پیش‌بینی می‌کند مقایسه شده است. مقدار پیش‌بینی مدل استاندارد برای جرم بوزون W است. این مقدار پیش‌بینی شده از اندازه‌گیری‌های تجربی پارامترهایی مانند m_H , m_t و G_F بدست می‌آید، که عدم قطعیت این پیش‌بینی نیز از خطاهاي اندازه‌گیری این پارامترها و تصحیحات مراتب بالاتر بدست می‌آید [۱-۳]. از جمله

یکی از این مسئله‌هایی که تاکنون در فیزیک ذرات بنیادی برای آن پاسخ مناسبی یافت نشده است، مسئله‌ی وجود ماده تاریک است. ذرات مدل استاندارد با ویژگی‌های ماده تاریک بدست آمده از داده‌های کیهان‌شناسی مطابقت ندارند. بنابراین مدل‌های فرای مدل استاندارد دیگری مطرح شده‌اند که کاندیدهایی را برای آن معرفی می‌کنند. طبق این نظریات، روش‌های مختلفی برای برهمکنش ماده تاریک با ذرات مدل استاندارد در نظر گرفته می‌شود تا بتوان آنها را در آزمایشگاه‌های ذرات بنیادی مشاهده کرد. یکی از راههای

$$\begin{aligned} \mathcal{L}_D = & -\frac{\epsilon}{A^2} S^\dagger \frac{\sigma^a}{2} S X^{\mu\nu a} B_{\mu\nu} - \frac{1}{4} X^{\mu\nu} X^a_{\mu\nu} - (D^\mu S)^\dagger (D_\mu S) \\ & - \mu_D^2 S^\dagger S + \lambda (S^\dagger S)^2 + \lambda_1 S^\dagger S H^\dagger H, \end{aligned} \quad (1)$$

که در معادله‌ی بالا، جمله‌ی اول، همان جمله‌ی آمیختگی جنبشی بوزون‌های پیمانه‌ای بخش تاریک X_μ با بوزون‌های مدل استاندارد است. σ ماتریس پاولی، ϵ ثابت جفت‌شدگی آمیختگی جنبشی است و Λ ضریب با بعد جرمی یک است. همچنین $X^{\mu\nu}$ تانسور شدت میدان پیمانه‌ای جدید $SU_X(2)$ است که به شکل $= X_{\mu\nu}^a$ تعریف می‌شود. در این تعریف، g_D ، ثابت جفت‌شدگی گروه پیمانه‌ای بخش تاریک است. دلیل آنکه ضریب جمله‌ی آمیختگی را به این شکل در نظر گرفتیم آن است که ضریب $B_{\mu\nu} X^{\mu\nu a}$ بازبهنجارش پذیر نیست و باید به صورتی باشد تا این جمله تحت تقارن پیمانه‌ای X $SU(2)$ ناوردا باشد. جمله‌های بعدی سمت راست لاغرانژی نیز شامل جمله‌ی جنبشی میدان‌های پیمانه‌ای بخش تاریک، جملات جنبشی، جرمی و برهمکنشی هیگز تاریک و جمله‌ی آخر، جمله‌ی آمیختگی هیگز تاریک و هیگز مدل استاندارد است. مشتق هموردایی که در معادله بالا به کار برده شده نیز به شکل زیر تعریف می‌شود،

$$D_\mu S = \left(\partial_\mu - i g_D \frac{\sigma^a}{2} X_\mu^a \right) S. \quad (2)$$

جمله اول معادله (1) را بعد از شکست تقارن و با در نظر گرفتن

$$\begin{aligned} S = & \frac{1}{\sqrt{2}} \left(v_D + h_D \right), \end{aligned} \quad (3)$$

می‌توان به صورت زیر بدست آورد:

$$\begin{aligned} -\frac{\epsilon}{A^2} S^\dagger \frac{\sigma^a}{2} S X^{\mu\nu a} B_{\mu\nu} = & -\frac{\epsilon}{A^2} \frac{1}{2} (-v_D^2 + h_D^2) [X^{\mu\nu 3} B_{\mu\nu}] \\ = & -\frac{\epsilon}{A^2} \frac{1}{2} (-v_D^2 + h_D^2) [\partial_\mu X_\nu^3 B_{\mu\nu} \\ & - \partial_\nu X_\mu^3 B_{\mu\nu} + i g_D \epsilon^{312} X_\mu^1 X_\nu^2 B_{\mu\nu}] \\ = & -\frac{\epsilon}{A^2} \frac{1}{2} (-v_D^2 + h_D^2) [\partial_\mu X_\nu^3 B_{\mu\nu} \\ & - \partial_\nu X_\mu^3 B_{\mu\nu} + i g_D (X_\mu^1 X_\nu^2 - X_\mu^2 X_\nu^1) B_{\mu\nu}]. \end{aligned} \quad (4)$$

در تساوی اول در عبارت بالا، جملات مولفه اول و دوم تانسور شدت میدان پیمانه‌ای وجود ندارد، بدلیل آنکه با جایگذاری ماتریس‌های پاولی، ضریب جملات مولفه اول و دوم صفر می‌شوند. می‌توان با بازتعريف $X_\mu^\pm = (X_\mu^1 \mp i X_\mu^2)/\sqrt{2}$ معادله‌ی بالا را به

شکل ساده‌تر نوشت،

آزمایش‌های انجام شده برای اندازه‌گیری جرم بوزون W ، آزمایش CDF در سال ۲۰۲۲ میلادی است. این آزمایش توسط آشکارساز تواترون در برخورده‌نهاده فرمی لب که در آن پروتون و پادپروتون با هم برخورد می‌کردند، انجام شد و مقدار اندازه‌گیری شده جرم بوزون به شکل $M_W = 80433.5 \pm 9.4 MeV$ بدست آمده است [۴]. بنابراین مقدار اندازه‌گیری شده با مقدار جرمی که مدل استاندارد پیش‌بینی می‌کند، 7σ تفاوت دارد که نشانه‌ی خوبی برای امکان وجود فیزیک جدید در این زمینه است.

تاکنون تلاش‌های زیادی برای توضیح این مغایرت به کمک مدل‌های جدید صورت گرفته است. از جمله این مدل‌ها، توضیح این مغایرت به کمک فوتون تاریک و اضافه کردن X به مدل استاندارد است [۵]. در این پژوهش سعی داریم تا مغایرت جرم بوزون W مشاهده شده در آزمایش‌ها، با مقدار پیش‌بینی شده مدل استاندارد را با اضافه کردن گروه تقارنی پیمانه‌ای غیرآبلی $SU(2)_X$ از طریق آمیختگی جنبشی با مدل استاندارد توجیه کنیم. همچنین در ادامه برای آنکه جمله‌ی آمیختگی جنبشی پیمانه ناوردا باشد، از هیگز تاریک استفاده می‌کنیم. سپس اثرات این آمیختگی را بر روی برهمکنش ذرات مدل استاندارد از طریق ضرایب مایل محاسبه می‌کنیم و به کمک آن‌ها اختلاف جرم بوزون W را توضیح می‌دهیم.

مدل

برای توجیه اختلاف میان مقدار اندازه‌گیری شده و پیش‌بینی شده جرم بوزون W توسط مدل استاندارد، مدل‌های مختلف فرای مدل استاندارد مطرح شده‌اند. در این مقاله به بررسی مدلی می‌پردازیم که مدل استاندارد را بوسیله‌ی اضافه کردن یک گروه $SU(3)_C \times SU(2)_L \times U(1)_Y$ تقارنی پیمانه‌ای غیرآبلی به شکل $\times SU(2)_X$ تعمیم می‌دهد. در نتیجه جملات برهمکنشی جدیدی به آن اضافه می‌شود که بخش تاریک با ذرات مدل استاندارد توسط آمیختگی جنبشی برهمکنش می‌کند. همچنین در این مدل، نحوه جرم‌دار شدن ذرات بخش تاریک را با اضافه کردن هیگز تاریک S توصیف می‌کنیم و بوزون‌های پیمانه‌ای گروه جدید بخش تاریک، را با X نشان می‌دهیم. لاغرانژی بخش تاریک را می‌توان به شکل زیر نوشت:

$$\begin{aligned} \mathcal{L}_{gauge} = & -\frac{1}{4} X'''^3 \mu \nu X''^3 - \frac{1}{4} A' \mu \nu A'_\mu - \frac{1}{4} Z' \mu \nu Z'_\mu \\ & - \frac{1}{4} X^1 \mu \nu X^1_\mu - \frac{1}{4} X^2 \mu \nu X^2_\mu \\ & + j_{em}^\mu \left(A'_\mu - \frac{4B^2 s_w c_w}{CD} Z'_\mu - \frac{2B c_w}{D} X''^3 \right) \\ & + j_Z^\mu \left(\frac{D}{C} Z'_\mu \right) + j_X^\mu \left(\frac{2B s_w}{CD} Z'_\mu + \frac{1}{D} X''^3 \right) + \frac{1}{2} m_Z^2 \frac{D^2}{C^2} Z' \mu Z'_\mu \\ & + \frac{1}{2} m_X^2 \left(\frac{2B s_w}{CD} Z''^{\mu} + \frac{1}{D} X''^3 \right) \left(\frac{2B s_w}{CD} Z'_\mu + \frac{1}{D} X''^3 \right). \end{aligned} \quad (11)$$

پس از آن می توان با قطعی کردن ماتریس جرمی به کمک تعریف زاویه θ_D به شکل زیر، به پایه جرمی رفت،

$$\tan 2\theta_D = \frac{4m_X^2 B s_w C}{m_Z^2 D^4 - m_X^2 [1 - 4B^2(1 + s_w^2)]}. \quad (12)$$

بنابراین جرم بوزون پیمانه‌ای بخش تاریک و بوزون Z به شکل زیر بدست می‌آید:

$$\begin{aligned} m_Z^2 &= \frac{m_Z^2 D^4 + m_X^2 4B^2 s_w^2}{C^2 D^2} c_D^2 + \frac{m_X^2}{D^2} s_D^2 + 2s_D c_D \frac{m_X^2 4B s_w}{CD^2}, \\ m_{X^3}^2 &= \frac{m_Z^2 D^4 + m_X^2 4B^2 s_w^2}{C^2 D^2} s_D^2 + \frac{m_X^2}{D^2} c_D^2 - 2s_D c_D \frac{m_X^2 4B s_w}{CD^2}. \end{aligned} \quad (13)$$

در رابطه‌ی بالا، می‌توان جرم بوزون Z را به شکل $m_Z^2 = m_Z^2(1 + \bar{Z})$ تعریف کرد که در بخش بعد از پارامتر \bar{Z} در محاسبات استفاده خواهیم کرد.

محاسبه جرم W

می‌دانیم که جرم ذرات مدل استاندارد از برهمکنش با میدان هیگر در خلا بدست می‌آید. از طرفی دیگر، برای بررسی اثرات فیزیک جدید در آزمایش الکترووضعیف از پارامترهای مایل استفاده می‌کنیم. این پارامترها از تصحیحات تابشی نمودارهای قطبش خلا بوزون‌های پیمانه‌ای بدست می‌آیند و می‌توان آن‌ها را به شکل زیر محاسبه کرد

$$\begin{aligned} \alpha S &= 4s_w^2 c_w^2 (H - F) - 4s_w c_w (c_w^2 - s_w^2) I, \\ \alpha U &= 4s_w^2 (s_w^2 H - G + c_w^2 F - 2s_w c_w I), \\ \alpha T &= \omega - E. \end{aligned} \quad (14)$$

که ضرایب معرفی شده در تعریف پارامترهای مایل (H, F, I, G, E, ω) ، از لاغرانژی ساده شده زیر بدست می‌آید،

$$\begin{aligned} \mathcal{L} = & \frac{1}{2} (1 + E - F) m_Z^2 Z^\mu Z_\mu \\ & + (1 + \omega - G) m_w^2 W^\mu W_\mu^\dagger \\ & + \left(1 - \frac{H}{2} \right) j_{em}^\mu A_\mu + \left(1 - \frac{F}{2} \right) (j_Z^\mu + I j_{em}^\mu) Z_\mu \end{aligned}$$

$$\begin{aligned} - \frac{\epsilon}{\Lambda^2} S^\dagger \frac{\sigma^a}{2} S X^{\mu \nu a} B_{\mu \nu} = & - \frac{\epsilon}{\Lambda^2} \frac{1}{2} (-v_D^2 + h_D^2) \\ & \times [\partial_\mu X_\nu^3 B_{\mu \nu} - \partial_\nu X_\mu^3 B_{\mu \nu} \\ & + 2g_D X_\mu^+ X_\nu^- B_{\mu \nu}]. \end{aligned} \quad (5)$$

جمله آخر در لاغرانژی بالا، جمله‌ی جدیدی است که نسبت به مقاله [5]، به علت استفاده از $SU(2)_X$ در این مدل اضافه شده است که جمله‌ای بازبینی‌جارش ناپذیر است. به همین دلیل ضریب این جمله به Λ وابسته است و می‌تواند مقدار بزرگی داشته باشد و تصحیحات کوچکی را در محاسبات وارد کند. در این مقاله، برای سادگی جمله‌ی آخر را در نظر نمی‌گیریم اما در کارهای بعدی تأثیر وجود آین جمله بر برهمکنش ذرات را بررسی خواهیم کرد. در ادامه از تعریف زیر در محاسبات استفاده می‌کنیم:

$$X'^3 \mu \nu = \partial^\mu X^{3\nu} - \partial^\nu X^{3\mu}. \quad (6)$$

همچنین با توجه به شکست خودبخودی تقارن مدل استاندارد می‌توانیم میدان پیمانه‌ای $B_{\mu \nu}$ را به شکل زیر در معادلات جایگزین کنیم،

$$B_{\mu \nu} = c_w A_\mu - s_w Z_\mu. \quad (7)$$

در این معادله A_μ میدان فوتون و Z_μ میدان بوزون Z است. بنابراین لاغرانژی بخش پیمانه‌ای و برهمکنش را می‌توان به شکل زیر نوشت:

$$\begin{aligned} \mathcal{L}_{gauge} = & - \frac{1}{4} X^{\mu \nu \mu \nu} X_\mu^\mu - \frac{1}{4} A^{\mu \nu} A_{\mu \nu} - \frac{1}{4} Z^{\mu \nu} Z_{\mu \nu} \\ & - \frac{\epsilon}{\Lambda^2} \frac{1}{2} (-v_D^2 + h_D^2) [c_w X'^3 \mu \nu A_\mu - s_w X'^3 \mu \nu Z_\mu] \\ & + j_{em}^\mu A_\mu + j_Z^\mu Z_\mu + j_X^\mu X_\mu + \frac{1}{2} m_Z^2 Z_\mu Z^\mu. \end{aligned} \quad (8)$$

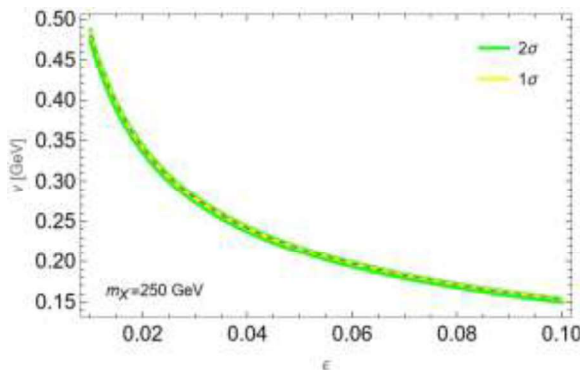
حال برای ساده‌تر شدن محاسبات، ضریب جمله آمیختگی جنبشی را می‌توان به شکل زیر تعریف کرد:

$$B = -\frac{\epsilon}{2\Lambda^2} v_D^2. \quad (9)$$

و ضرایب دیگری را که در ادامه برای ساده‌تر شدن محاسبات به کار می‌بریم را به شکل زیر تعریف می‌کنیم:

$$C = \sqrt{1 - 4B^2}, D = \sqrt{1 - 4B^2 c_w^2}. \quad (10)$$

با فرض آنکه فوتون با جریان بخش تاریک برهمکنش نداشته باشد، می‌توانیم باز تعریف میدان‌های پیمانه‌ای، جملات بخش جنبشی را به صورت کانونیک بر حسب A' , Z' و X'''^3 بنویسیم. بنابراین جملات لاغرانژی بخش پیمانه‌ای به شکل زیر بدست می‌آید:



شکل ۱ : مقدار چشم‌داشتی خلا بر حسب ضریب آمیختگی، برای بوزون پیمانه‌ای بخش تاریک با جرم 250GeV .

نتیجه‌گیری

در این پژوهش، ابتدا ناهنجاری جرم بوزون W را بررسی کردیم. سپس مدلی برای بخش تاریک معرفی کردیم. در این مدل، مدل استاندارد را با اضافه کردن گروه پیمانه‌ای غیرآبلی (2) از طریق آمیختگی جنبشی تعمیم دادیم. پس از آن با بررسی لاگرانژی بخش تاریک و مدل استاندارد، پارامترهای مایل را بر حسب ضریب آمیختگی جنبشی و جرم بوزون پیمانه‌ای بخش تاریک محاسبه کردیم. با بدست آوردن این پارامترها اختلاف جرم بوزون W را بر حسب آنها محاسبه کردیم. در نهایت با جایگذاری مقادیر معلوم و اختلاف جرم مشاهده شده، نشان دادیم که به ازای مقادیر مشخص شده در شکل ۱ برای ضریب جنبشی بر حسب ویژه مقدار خلا تاریک می‌توان مغایرت جرم بوزون W را توجیه کرد.

مرجع‌ها

- [۱] Zyla, P. A. et al. Review of Particle Physics. *PTEP*, 2020(8):083C01, 2020
- [۲] M. Awramik, M. Czakon, A. Freitas, and G. Weiglein, “Precise prediction for the W boson mass in the standard model,” *Phys. Rev. D* **69** (2004) 053006, [hep-ph/0311148].
- [۳] G. Degrassi, P. Gambino, and P. P. Giardino, “The $m_W - m_Z$ interdependence in the Standard Model: a new scrutiny,” *JHEP* **05** (2015) 154, [1411.7040].
- [۴] Aaltonen, T. et al. High-precision measurement of the W boson mass with the CDF II detector. *Science*, **376**(6589):170–176, 2022.
- [۵] Cheng, Yu, He, Xiao-Gang, Huang, Fei, Sun, Jin, and Xing, Zhi-Peng. Dark photon kinetic mixing effects for the CDF W -mass measurement. *Phys. Rev. D*, **106**(5):055011, 2022.
- [۶] Burgess, C. P., Godfrey, Stephen, Konig, Heinz, London, David, and Maksymyk, Ivan. Model independent global constraints on new physics. *Phys. Rev. D*, **49**:6115–6147, 1994.
- [۷] Lu, Chih-Ting, Wu, Lei, Wu, Yongcheng, and Zhu, Bin. Elec-troweak precision fit and new physics in light of the W boson mass. *Phys. Rev. D*, **106**(3):035034, 2022

$$+ \left(\left(1 - \frac{G}{2} \right) j_W^\mu W_\mu^\dagger + h.c. \right). \quad (15)$$

درنتیجه این ضرایب، با مقایسه معادله (15) و (11) به شکل زیر بدست می‌آیند:

$$\begin{aligned} H, G, \omega = 0 \\ F &= 2 \left(1 - \frac{D}{C} c_D \right), \\ E &= F + \bar{Z}, \\ I &= \frac{-4B^2 s_w c_w c_D + 2B c_w s_D C}{D^2} \end{aligned} \quad (16)$$

در نتیجه پارامترهای مایل را می‌توان تا مرتبه B^2 ، به علت کوچک بودن ضریب آمیختگی، به شکل زیر بدست آورد،

$$\begin{aligned} \alpha S &= \frac{4s_w^2 c_w^2 B^2}{1 - m_X^2/m_Z^2} \left(1 - \frac{s_w^2}{1 - m_X^2/m_Z^2} \right), \\ \alpha T &= -B^2 s_w^2 \frac{m_X^2/m_Z^2}{(1 - m_X^2/m_Z^2)^2}, \\ \alpha U &= 4s_w^4 c_w^2 B^2 \left(-\frac{1 - 2m_X^2/m_Z^2}{(1 - m_X^2/m_Z^2)^2} + \frac{2}{1 - m_X^2/m_Z^2} \right). \end{aligned} \quad (17)$$

درنهایت اختلاف جرم بوزون W را می‌توانیم به کمک رابطه زیر بر حسب پارامترهای مایل محاسبه کنیم،

$$\Delta m_W^2 = m_Z^2 c_w^2 \left(-\frac{\alpha S}{2(c_w^2 - s_w^2)} + \frac{c_w^2 \alpha T}{c_w^2 - s_w^2} + \frac{\alpha U}{4s_w^2} \right). \quad (18)$$

نتایج عددی

با جایگذاری معادله (17) در معادله (18) و در نظر گرفتن مقادیر اندازه گیری شده در آزمایش های الکترووضعیف مانند جرم بوزون Z و s_w و α از مقاله [۷]، می‌توان شکل نحوه تغییرات ضریب آمیختگی بر حسب مقدار چشم‌داشتی خلا هیگر بخش تاریک را بدست آورد. در شکل ۱ با جایگذاری اختلاف جرم آزمایش تواترون و مقدار پیش‌بینی شده از مدل استاندارد در معادله (18)، مقادیری که مقدار چشم‌داشتی خلا بر حسب ضریب آمیختگی جنبشی ϵ می‌تواند داشته باشد، برای بوزون پیمانه‌ای بخش تاریک با جرم 250GeV بدست آمده است. درنتیجه نشان دادیم که به ازای مقادیر مشخص شده در شکل ۱ برای ضریب آمیختگی جنبشی و مقدار چشم‌داشتی خلا هیگر، می‌توان این مغایرت را به کمک این مدل توجیه کرد.

پتانسیل موثر در پیچیدگی معادل همه چیز برای سیاه چاله های با میدان اکسیونی

فرضی زاده عاقل، خدیجه؛ بابایی آبلاغ، حسین؛ اسماعیلی، حبیب؛ محمدزاده، حسین

دانشکده علوم پایه دانشگاه محقق اردبیلی، خیابان دانشگاه، اردبیل

چکیده

در این مقاله پتانسیل موثر مربوط به پیچیدگی معادل همه چیز را در مورد سیاه چاله های جفت شده به میدان اکسیونی مطالعه خواهیم کرد. نشان می دهیم این پتانسیل به شدت میدان اکسیونی بستگی دارد و با افزایش شدت میدان اکسیونی، مقدار پتانسیل موثر در نقطه بیشینه کاهش می یابد به طوری که این نقطه بیشینه همواره در فاصله بین افق رویاگر و نقطه تکینگی سیاه چاله قرار دارد. وجود این نقطه بیشینه در این حد فاصل تضمین می کند که رفتار نرخ رشد پیچیدگی معادل همه چیز، خطی است. همچنین نشان می دهیم اگر شدت میدان اکسیونی از یک مقدار خاص بزرگتر باشد، کمینه پتانسیل موثر منفی می شود.

واژه های کلیدی: پیچیدگی- سیاه چاله- میدان اکسیونی

Effective potential in complexity equals anything for black holes with the axion field

Farzizadeh Agel, Khadijeh; Babaei-Aghbolagh, Hossein; Esmaeili , Habib; Mohammadzadeh, Hosein;

Department of Physics, University of Mohaghegh Ardabili

Abstract

In this paper, the effective potential of the anything complexity of black holes coupled to the axion field is investigated. We show that the potential strongly depends on the strength of axion field. By increasing the strength of the axion field, the value of the effective potential at the maximum point decreases so that this maximum point is always located at a distance between the event horizon and the singularity of the black hole. The existence of this maximum point in this interval guarantees that the behavior of the anything complexity growth rate is linear. We also show that if the intensity of the axion field is greater than a specific value, the minimum of the effective potential becomes negative.

Keywords: complexity- black hole- axion field

PACS No.

در هم تنیدگی کافی نیست و باید از مفهوم دیگری با عنوان پیچیدگی هولوگرافی استفاده کرد. طبق تعریف حداقل عملگرهای لازم برای رسیدن از یک حالت اولیه به حالت نهایی به عنوان پیچیدگی آن سیستم شناخته می شود. دو پیشنهاد مهم مربوط به پیچیدگی هولوگرافی عبارتند از پیچیدگی معادل حجم(CV) و پیچیدگی معادل کنش(CA)[1]. در حدس پیچیدگی معادل حجم نشان داده شده است که تغییر نرخ پیچیدگی بر حسب زمان یک تابع افزایشی یکنواخت است و همچنین با استفاده از حدس پیچیدگی معادل کنش برای سیاه چاله های بدون بار نشان داده شده است که

مقدمه

نظریه پیچیدگی تعیین میزان دشواری انجام یک کار انتخاب شده با استفاده از یک مجموعه عملیات ساده است. در نظریه پیچیدگی کواتنومی، پیچیدگی یک حالت کواتنومی را با شمارش تعداد عملیات مورد نیاز برای ساخت آن از یک حالت پایه توصیف می کنند. اخیراً در نظریه پیچیدگی تلاش هایی در زمینه هولوگرافی انجام شده تا نظریه اطلاعات کواتنومی را به گرانش کواتنومی ارتباط دهد. در واقع چون برای توصیف برخی از رفتارهای دینامیکی که در آنسوی افق سیاه چاله رخ می دهد، آنtrapی

$$\lim_{\tau \rightarrow \infty} O_{F_1, \Sigma_{F_2}}(\tau) \sim P_\infty \tau \quad (2)$$

زمان CFT را با τ نمایش می دهیم و P_∞ که تکانه‌ی همیوگ است در دماهای زیاد ثابت و متناسب با جرم سیاه‌چاله است.

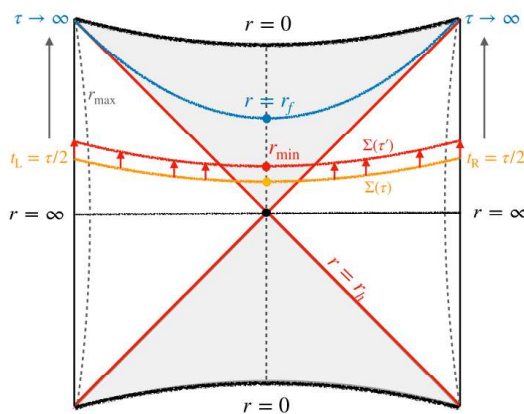
برای محاسبه‌ی پتانسیل موثر پیچیدگی معادل همه چیز در سیاه‌چاله بدون بار، ابتدا باید متریک سیاه‌چاله را در مختصات ادینگتون-فینکلشتاین به صورت زیر نوشت [4]:

$$ds^2 = -f(r)dv^2 + 2dvdv + \frac{r^2}{L^2} dX^2 \quad (3)$$

که در آن :

$$f(r) = \frac{r^2}{L^2} \left(1 - \frac{r_h^d}{r^d}\right) \quad (4)$$

که از مختصات بالا برای توصیف فضای داخلی سیاه‌چاله استفاده می‌کنیم. شکل (1) نمودار فضا زمان تکامل زمانی حالت CFT را که در زمان $t_L = t_R = \frac{\tau}{2}$ زندگی می‌کند، توصیف می‌کند.



شکل 1: تکامل زمانی ابر-سطح‌های قرینه از Σ به یک ابر-سطح قرینه نزدیک Σ' . در زمان نامتناهی $\lim_{\tau \rightarrow \infty} \Sigma$ سطح بیرونی به یک ابر-سطح ثابت $r = r_f$ در $r = r_f$ نزدیک می‌شود که در آن پتانسیل موثر به حداقل مقدار خود می‌رسد.

پیچیدگی به صورت کلی برابر است با :

$$C_{gen}(\tau) = \max \left[\frac{1}{G_N L} \int_{\Sigma} d^d \sigma \sqrt{h} F_1(g_{\mu\nu}; X^\mu(\sigma)) \right] \quad (5)$$

نرخ رشد پیچیدگی هولوگرافی در زمان‌های بینهاست به حد لوید می‌رسد که حد لوید در این نوع سیاه‌چاله‌ها متناسب با دو برابر جرم سیاه‌چاله است [2]. اخیر در مرجع [2] فرم عمومی برای پیچیدگی معادل حجم معرفی شده که وابسته به یک پتانسیل موثر می‌باشد و به پیچیدگی معادل همه چیز معروف است. این پتانسیل موثر در حضور یک جفت‌شدگی ضعیف تعریف می‌شود که وقتی این جفت‌شدگی به صفر میل کند، پیچیدگی عمومی معادل حجم به پیچیدگی معادل حجم رایج کاهش پیدا می‌کند. در این مقاله این پتانسیل موثر را برای سیاه‌چاله‌های جفت شده به میدان اکسیونی در پس‌زمینه‌ی آنتی دوسیته در بعد دلخواه مطالعه خواهیم کرد.

پتانسیل موثر در پیچیدگی معادل همه چیز برای سیاه‌چاله بدون بار

به صورت کلی، نظریه‌های پیچیدگی یک خاصیت جهان شمولی دارند که عبارت است از این که نسبت به زمان، نرخ رشد پیچیدگی به صورت خطی خواهد بود. یک کلاس نامتناهی از مشاهده‌پذیرهای گرانشی را در نظر می‌گیریم که این ویژگی جهان شمولی را از خود نشان می‌دهند. بنابراین جایگزین مناسی برای پیچیدگی هولوگرافی حجم یا کنش هستند. این مشاهده‌گرها برروی ابعاد یک ناحیه از هندسه به صورت زیر تعریف می‌شود:

$$O_{F_1, \Sigma_{F_2}}(\Sigma_{CFT}) = \frac{1}{G_N L} \int_{\Sigma_{F_2}} d^d \sigma \sqrt{h} F_1(g_{\mu\nu}; X^\mu) \quad (1)$$

که در آن X^μ یک نگاشت روی سطح Σ_{F_2} است و F_1 متریک $g_{\mu\nu}$ و \sqrt{h} جذر دترمینال متریک القایی روی مرز است و L یک تابع اسکالار از متریک و شعاع آنتی دوسیته است.

به طور مجانی Σ_{F_2} با شرایط مرزی $\Sigma_{CFT} = \partial \Sigma_{F_2}$ مطالعه می‌شود. در حدس پیچیدگی معادل همه چیز برای حالت $F_2 = F_1 = 1$ رابطه (1) منجر به یک حجم حداکنتری می‌شود که دقیقاً نتایج در حدس CV را باز تولید خواهد کرد. حدس پیچیدگی معادل همه چیز یک خاصیت جهان شمولی دارد که عبارت است از این که مشاهده‌گرها با گذشت زمان به صورت خطی رشد می‌کنند:

$$\dot{r}^2 + U(r) = P_v^2 \quad (10)$$

بنابراین پتانسیل موثر در حدس پیچیدگی معادل همه چیز را به صورت زیر خواهیم داشت:

$$U(r) = -f(r)a(r)^2\left(\frac{r}{L}\right)^{2(d-1)} \quad (11)$$

که با جای گذاری رابطه (9) و (4) در پتانسیل موثر (11) خواهیم داشت:

$$U(r) = -\left(\frac{r}{L}\right)^{2(d-1)}\left(\frac{r^2}{L^2} - \frac{r_h^d}{L^2 r^{d-2}}\right)\left(1 + \tilde{\lambda}\frac{r_h^{2d}}{r^{2d}}\right)^2 \quad (12)$$

این پتانسیل موثر به ازای $\tilde{\lambda}$ های خیلی کوچک دارای یک نقطه بیشینه و یک نقطه کمینه در حد فاصل بین نقطه تکینه و شعاع افق رویداد سیاه‌چاله می‌باشد. در مرجع [2] نشان داده شده است که وجود این نقطه بیشینه در داخل سیاه‌چاله تضمین می‌کند که نرخ رشد پیچیدگی معادل همه چیز سیاه‌چاله، یک رشد خطی نسبت به زمان دارد. برای حالت حدی $0 \rightarrow \tilde{\lambda}$ نرخ رشد پیچیدگی معادل همه چیز به نرخ رشد پیچیدگی معادل حجم کاهش می‌باشد.

پتانسیل موثر پیچیدگی معادل همه چیز برای سیاه چاله در حضور میدان اکسیونی

مدل‌های هولوگرافیک با شکست تقارن انتقالی، نظریه‌هایی را با آرامش لحظه‌ایی ارائه می‌دهند. سیاه‌چاله‌های در حضور میدان اکسیونی در نظر می‌گیریم که شدت میدان را با پارامتر (β) در محورهای غیر از محور زمان و محور شعاعی اعمال می‌کند که تکانه آرامشی نامیده می‌شود. این نوع سیاه‌چاله‌ها دارای یک کمینه برای دما و جرم هستند. در دمای صفر، کمینه جرم را خواهیم داشت. برای این سیاه‌چاله‌ها، پیچیدگی معادل حجم و پیچیدگی معادل کنش به ترتیب در حداقل جرم و حداقل دما صفر است [3]. کنش سیاه‌چاله‌های جفت‌شده به میدان اکسیونی به صورت زیر است:

$$S = \frac{1}{16\pi} \int \sqrt{g}(R - 2\Lambda - \frac{1}{2} \sum_{l=1}^{d-1} (\partial\psi_l)^2) d^{d+1}x \quad (13)$$

از حل معادلات حرکت، متريک اين کنش را به صورت زير بدست می‌آوریم:

مشتق زمانی C_{gen} که بروی سطح بیشینه مورد مطالعه قرار می‌گيرد و نرخ رشد خطی پیچیدگی متناسب با تکانه در نقطه‌ی پایانی مسیر است:

$$\frac{dC_{gen}}{dt} = \frac{1}{2} P_t = \frac{1}{2} \frac{\partial \mathcal{L}}{\partial t} \quad (6)$$

P_t شتاب در مختصه زمانی t است. با توجه به تقارن سیاه‌چاله مسطح، می‌توانیم ابر سطح فضای خالی Σ را به سادگی با $v(\sigma), r(\sigma), X$ پارامتریندی کنیم. در اینجا روی مشاهده‌گرهایی که از تابع $F_1(g_{\mu\nu}, R_{\mu\nu\rho\sigma}, \nabla_\mu)$ هستند و تنها از توابع اسکالار انحنای ریمن در $d+1$ بعد ساخته شدند و به مقدار حداقلی Σ بستگی دارند تمرکز می‌کنیم. با دو بار مشتق گرفتن از متريک Σ نسبت به σ و با استفاده از رابطه‌ی بالا می‌توانیم پیچیدگی را به صورت زیر بنویسیم. برای چنین مشاهده‌گرهایی می‌توانیم حجم تعمیم یافته را در پارامتر بندی خود بازنویسی کنیم:

$$C_{gen} = \frac{V_x}{G_N L} \int_{\Sigma} d\sigma \left(\frac{r}{L}\right)^{d-1} \sqrt{-f(r)\dot{v}^2 + 2\dot{v}\dot{r}} a(r) \quad (7)$$

که در آن V_x نشان دهنده حجم منظم جهات مرزی فضای X است و $a(r)$ تابعی از انحنای ریچی یا مراتب بالاتری از آن است. مثال ساده‌ای از حجم تعمیم یافته را می‌توانیم با اضافه کردن تansور وايل روی یک سطح هم بعد در نظر گرفت که $F_1 = 1 + \lambda L^4 C^2$ و $C^2 = C_{\mu\nu\rho\sigma} C^{\mu\nu\rho\sigma}$ است و بر حسب تانسورهای ریمن و ریچی C^2 به صورت زیر در می‌باشد:

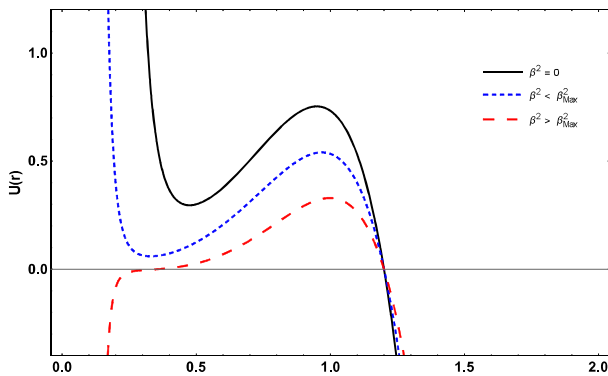
$$C^2 = R_{\mu\nu\rho\sigma} R^{\mu\nu\rho\sigma} - \frac{4}{d-1} R_{\mu\nu} R^{\mu\nu} + \frac{2}{d(d-1)} R^2 \quad (8)$$

$a(r)$ را می‌توانیم از رابطه بالا و متريک (4) به صورت زیر محاسبه کنیم:

$$a(r) = 1 + \tilde{\lambda} \left(\frac{r_h}{r}\right)^{2d} \quad (9)$$

که $\tilde{\lambda} = d(d-1)^2(d-2)\lambda$ است.

حال پتانسیل موثر $U(r)$ برای سیاه چاله بدون بار در رابطه زیر صدق می‌کند: [2]



شکل 2: نمودار $U(r)$ وقتی $\beta^2 = 0$ باشد به رنگ سیاه (خط پر)، وقتی $\beta^2 < \beta_{Max}^2$ باشد به رنگ آبی (نقطه چین) و وقتی $\beta^2 > \beta_{Max}^2$ به رنگ قرمز(خط چین) رسم شده است.

نتیجه گیری

در این مقاله ، نظریه گرانشی جفت شده به میدان اکسیونی را در نظر گرفتیم و پتانسیل موثر را برای پیچیدگی معادل همه چیز به دست آوردیم. نشان دادیم که در حد جفت شدگی های ضعیف پتانسیل موثر دارای یک نقطه بیشینه در حد فاصل واگرای سیاه چاله و افق رویداد آن می باشد. وجود این نقطه بیشینه تضمین می کند که نرخ رشد پیچیدگی معادل همه چیز یک رشد خطی متناسب با زمان است. این رفتار یک رفتار جهانشمول برای پیچیدگی سیاه چاله ها می باشد.

سپاسگزاری

ما از آقای دکتر فرزاد امیدی برای بحث های مفید ایشان تشکر می کنیم.

مرجع ها

- [1] Dean Carmi, Shira Chapman,Hugo Marrochio, Robert C. Myers and Sotaro Sugishita "On the Time Dependence of Holographic Complexity"
- [2] Alexandre Belin, Robert C. Myers, Shan-Ming Ruan, G'abor S'arosi, and Antony J. Speranza "Does Complexity Equal Anything?" (2022)
- [3] H.Babaei-Aghbolagh,Hosein Mohammadzadeh,Davood Mahdavian Yekta, and Komeil Babaei Velni "Thermodynamic geometry and complexity of black holes in theories with broken translational invariance" (2022)
- [4] L. Susskind, "Computational Complexity and Black Hole Horizons," Fortsch. Phys. 64, 24 (2016) hep-th/1402.5674

$$ds^2 = -f(r)dt^2 + \frac{1}{f(r)}dr^2 + r^2dx^adx^a \quad (14)$$

که آن در $d+1$ بعد به این صورت می باشد:

$$f(r) = -\frac{r^2}{l^2} - \frac{\beta^2}{2(d-2)} - \frac{m_0}{r^{d-2}} \quad (15)$$

که در آن β تکانه آرامشی و m_0 پارامتر جرم سیاه چاله است که به صورت زیر است:

$$m_0 = \frac{r_h^d}{l^2} - \frac{\beta^2 r_h^{d-2}}{2(d-2)} \quad (16)$$

که فشار و آنتروپی آن به صورت زیر تعریف می شود:

$$P = -\frac{\Lambda}{8\pi} = \frac{d(d-1)}{16\pi l^2}; \quad S = \frac{v_{d-1}}{4} r_h^{d-1} \quad (17)$$

برای حالت $m_0 = 0$ می توانیم یک کران بالا برای β^2 در نظر بگیریم که در مقادیر بزرگتر از این کران جرم سیاه چاله منفی می شود که غیر فیزیکی است. این کران بالا به صورت زیر معرفی می شود که غیر

$$\beta_{Max}^2 = 2(d-2)r_h^2 \quad \text{و} \quad C^2 = F_1 = 1 + \lambda L^4 C^2 \quad (8)$$

$C_{\mu\nu\rho\sigma} C^{\mu\nu\rho\sigma}$ می توانیم $a(r)$ را با استفاده از رابطه (8) و متريک (15) به صورت زیر بدست بیاوریم:

$$a(r) = \left(1 + \frac{r^{-2(d+2)}(2L^2 r^d r_h^2 \beta^2 + (d-1)dr^2 r_h^d (2(d-2)r_h^2 - L^2 \beta^2)^2 \tilde{\lambda})}{4(d-2)dr_h^4} \right) \quad (18)$$

باجای گذاری رابطه بالا در رابطه (11) می توانیم پتانسیل موثر

$U(r)$ را برای سیاه چاله های جفت شده به میدان اکسیونی بدست

بیاوریم. حد $U(r)$ وقتی $\beta^2 \rightarrow \beta_{Max}^2$ به صورت زیر می شود:

$$U(r) = -\frac{L^{-2d} r^{2(d-5)} (r-r_h)(r+r_h)(dr^4 + 4(d-2)r_h^4 \tilde{\lambda})^2}{d^2} \quad (19)$$

در شکل (2) نمودار انحنای پتانسیل موثر $U(r)$ برای

سیاه چاله های جفت شده به میدان اکسیونی به ازای جفت شدگی

$\beta^2 = 0.00009$ رسم شده است. این نمودار برای مقایر

$\lambda = 0.00009$ ، مقدار $\beta^2 > \beta_{Max}^2$ و $\beta^2 < \beta_{Max}^2$ رسم شده است. طبق

این نمودار مشخص است که مقدار پتانسیل موثر در نقطه بیشینه

کاهش می یابد.

توابع توزیع پارتونی انتگرال گیری نشده و سطح مقطع کاهش یافته

بدیعیان باغ سیاهی، زهرا؛ مدرس، مجید

دانشکده فیزیک دانشگاه تهران، انتهای خیابان کارگر شمالی، تهران

چکیده

در این گزارش، (۱) توابع توزیع پارتونی انتگرال گیری نشده (بی.بی.دی.اف) را با استفاده از روش کیمبر-مارتین-ریسکین-وات (ام.آر.دبیلیو) و پارتون برنجیبگ به دست آورده، بر حسب مربع تکانه عرضی رسم کرده و با هم مقایسه می‌کنیم. مشاهده می‌شود که در تکانه عرضی‌های کوچکتر رفتار مشابهی دارند و با افزایش تکانه عرضی توابع توزیع پارتونی انتگرال گیری نشده پارتون برنجیبگ سریع‌تر به صفر میل می‌کنند. (۲) سطح مقطع کاهش یافته را با استفاده از بی.بی.دی.اف‌های روش کی.ام.آر.دبیلیو محاسبه کرده و با نتایج گزارش شده توسط گروه پارتون برنجیبگ مقایسه می‌کنیم. واژه‌های کلیدی: توابع توزیع پارتونی انتگرال گیری نشده، تکانه عرضی، سطح مقطع کاهش یافته

The unintegrated parton distribution functions and the reduced cross section

Badieian baghsiyahi, Zahra; Modarres, Majid

Department of Physics, University of Tehran, Tehran,

Abstract

In this work, (1) we obtain the unintegrated parton distribution functions (UPDFs) by Kimber-Martin-Ryskin (KMR), Martin-Ryskin-Watt (MRW) and parton branching (PB) methods versus square of the transverse momentum and then compare them with each other. It is shown that in small transverse momentum they have similar behavior and with the increase of the transverse momentum, the UPDFs of the PB tend to zero faster. (2) The reduced cross section is calculate by KMR and MRW methods and they are compare with results that are reported by PB group.

Keywords: unintegrated parton distribution functions, transverse momentum, reduced cross section

PACS No. 10,13

مقدمه

می‌کنیم. این توابع بر پایه معادلات دی-گلب^۱ هستند و از بی.دی.اف‌ها به عنوان ورودی استفاده می‌کنند. هدف از این گزارش بررسی و مقایسه رفتار توابع توزیع پارتونی انتگرال گیری نشده با استفاده از سه روش کیمبر-مارتین-ریسکین^۲ (کی.ام.آر)، مارتین-ریسکین-وات^۳ (ام.آر.دبیلیو) و پارتون برنجیبگ^۴ است. به همین دلیل پس از محاسبه توابع توزیع پارتونی انتگرال گیری نشده با استفاده

یکی از عناصر اصلی در درک ساختار هادرون‌ها، توابع توزیع پارتونی (بی.دی.اف) است. این توابع با برآذش دادن به داده‌های تجربی در چارچوب هم راستا به دست می‌آیند. در این چارچوب، تکانه عرضی پارتون درنظر گرفته نمی‌شود. اما در انرژی‌های بالا و X کوچک (کسر تکانه طولی پروتون که توسط پارتون حمل می‌شود)، تکانه عرضی پارتون قابل چشم‌پوشی نمی‌باشد. به همین منظور از توابع توزیع پارتونی انتگرال گیری نشده (بی.بی.دی.اف) استفاده

$$\begin{aligned} f_g(x, k_t^2, \mu^2) \\ = T_g(k_t, \mu) \frac{\alpha_s(k_t^2)}{2\pi} \int_x^{1-\Delta} dz [P_{gq}(z) \frac{x}{z} q\left(\frac{x}{z}, k_t^2\right) \\ + P_{gg}(z) \frac{x}{z} g\left(\frac{x}{z}, k_t^2\right) \theta\left(\frac{\mu}{\mu+k_t} - z\right)] \end{aligned}$$

برای محاسبه توابع توزیع پارتونی انتگرال گیری نشده به روش پارتون برنجینگ از تی.ام.دی لایب^۷ استفاده می‌کیم. برای محاسبه سطح مقطع کاهاش یافته از رابطه زیر استفاده می‌کنیم:

$$\sigma_{red} = F_2 - \frac{y^2}{1 + (1-y)^2} F_L$$

که F_2 تابع ساختار پروتون است و نحوه محاسبه آن در مقاله^۸ آمده است و F_L تابع ساختار طولی پروتون است که آن برای $y > 0.5$ قابل ملاحظه است.

پارامتر ناکشسانی است و از رابطه زیر به دست می‌آید:

$$y = \frac{Q^2}{xs}$$

$Q^2 = -\mathbf{q}^2$ مربع تکانه منتقل شده به پروتون و s انرژی

مرکز جرم دو ذره برخورده (الکترون و پروتون) است که در آزمایش ZEUS و HI^۹ داریم:

$$\sqrt{s} = 318 \text{ GeV}$$

نتایج

ابتدا توابع توزیع پارتونی انتگرال گیری نشده را با استفاده از سه روش کی.ام.آر و ام.آر.دبیلیو برای کوارک بالا و مقادیر $x=0.01$, $x=0.001$, $x=0.0001$ در مقیاس

$$\mu^2 = 1000 \text{ GeV}^2$$

رسم می‌کنیم. سپس با نتایج ارائه شده در مقاله^{۱۰} برای ام.آر.دبیلیو و پارتون برنجینگ مقایسه می‌کنیم. در هنگام محاسبه یو.پی.دی.اف‌ها از مجموعه یو.پی.دی.اف

ام.اس.اج.تی^{۱۱} به عنوان ورودی استفاده می‌کنیم که از کتابخانه ال.اج.ای.بی.دی.اف^{۱۱} انتخاب شده است. درنهایت سطح مقطع کاهاش یافته را برای دو مقیاس انرژی $Q^2 = 12 \text{ GeV}^2$ و $Q^2 = 4.5 \text{ GeV}^2$ با استفاده از یو.پی.دی.اف‌های کی.ام.آر و ام.آر.دبیلیو به دست می‌آوریم

از این سه روش، به محاسبه سطح مقطع کاهاش یافته پرداخته و نتایج را با هم مقایسه می‌کنیم.^۱

ساختار مقاله به این صورت است که ابتدا به تئوری کار پرداخته، سپس نمودارها را آورده و درنهایت نتیجه گیری می‌کنیم.

تئوری

در روش ارائه شده توسط کیمپر-مارتین-ریسکین، سهم‌های حقیقی و مجازی در معادلات دی-گلب را از هم جدا کرده و با استفاده از شرط ترتیب بندی زاویه‌ای (AOC) برای یو.پی.دی.اف‌های کوارکی و گلوئونی داریم:

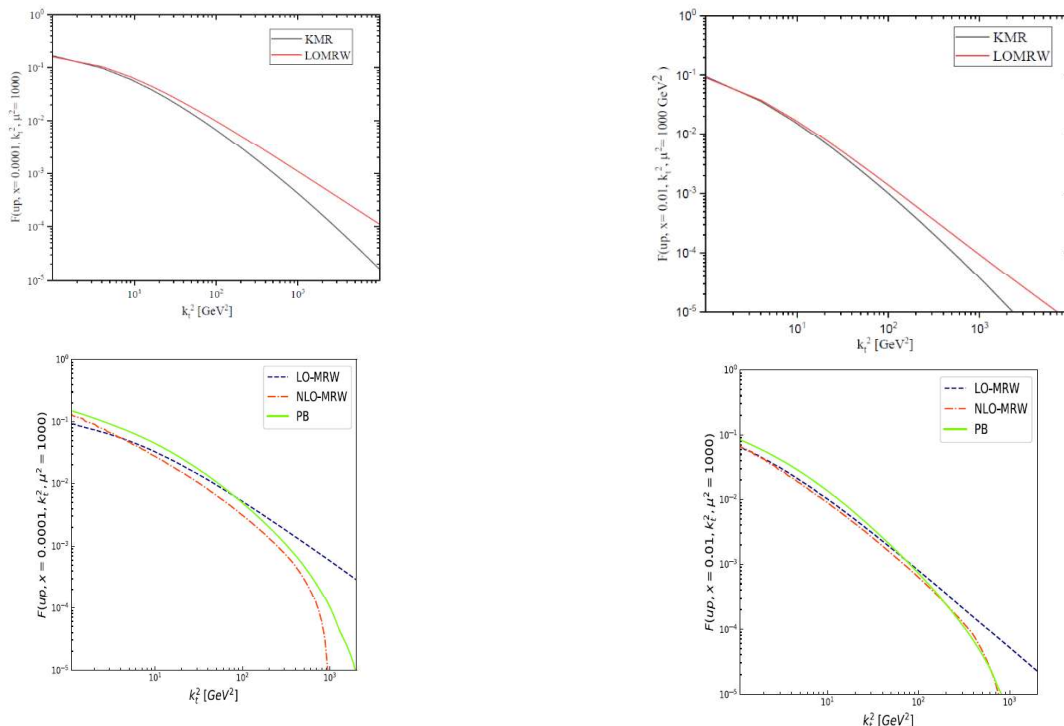
$$\begin{aligned} f_q(x, k_t^2, \mu^2) \\ = T_q(k_t, \mu) \frac{\alpha_s(k_t^2)}{2\pi} \int_x^{1-\Delta} dz [P_{qq}(z) \frac{x}{z} q\left(\frac{x}{z}, k_t^2\right) \\ + P_{gg}(z) \frac{x}{z} g\left(\frac{x}{z}, k_t^2\right)] \end{aligned}$$

$$\begin{aligned} f_g(x, k_t^2, \mu^2) \\ = T_g(k_t, \mu) \frac{\alpha_s(k_t^2)}{2\pi} \int_x^{1-\Delta} dz [P_{gq}(z) \frac{x}{z} q\left(\frac{x}{z}, k_t^2\right) \\ + P_{gg}(z) \frac{x}{z} g\left(\frac{x}{z}, k_t^2\right)] \end{aligned}$$

که $P_{ab}(z)$ تابع شکاف، $a\left(\frac{x}{z}, k_t^2\right)$ تابع توزیع پارتونی و $T_a(k_t, \mu)$ سوداکوف فرم فاکتور هستند. در ضمن a و b کوارک و گلوئون و $z_{max} = \frac{\mu}{\mu+k_t} = 1 - \Delta$ می‌باشند.

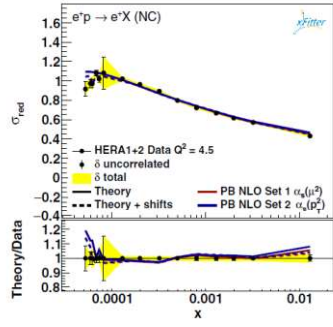
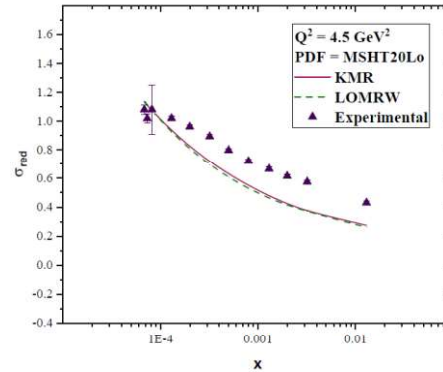
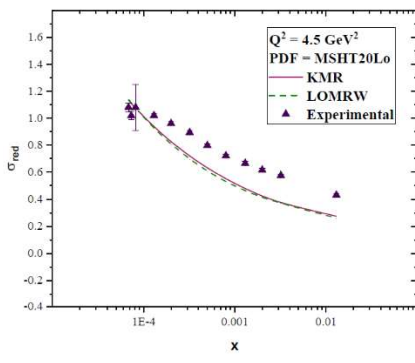
روش مارتین-ریسکین-وات در اولین مرتبه تقریب (ال.آ.ام.آر.دبیلیو) مشابه روش کی.ام.آر است با این تفاوت $P_{gg}(z)_{max}$ فقط بر روی تابع شکاف $P_{qq}(z)$ و $P_{gq}(z)$ اعمال می‌شود. بنابراین یو.پی.دی.اف‌های کوارکی و گلوئونی در این روش به صورت زیر است:

$$\begin{aligned} f_q^{Lo}(x, k_t^2, \mu^2) = T_q(k_t, \mu) \frac{\alpha_s(k_t^2)}{2\pi} \\ \times \int_x^1 dz [P_{qq}(z) \frac{x}{z} q\left(\frac{x}{z}, k_t^2\right) \theta\left(\frac{\mu}{\mu+k_t} - z\right) \\ + P_{gq}(z) \frac{x}{z} g\left(\frac{x}{z}, k_t^2\right)] \end{aligned}$$

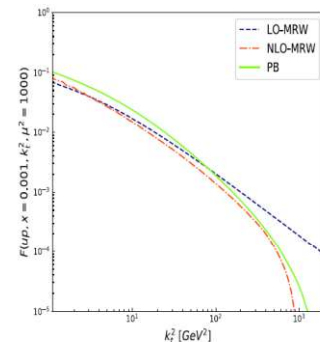


شکل ۳- توابع توزیع پارتونی انتگرال گیری نشده روش کی.ام.آر و ام.آر.دیبلیو
(بالا) و ام.آر.دیبلیو و پارتون برنجینگ (پایین) برای $x=0.0001$

شکل ۱- توابع توزیع پارتونی انتگرال گیری نشده روش کی.ام.آر و ام.آر.دیبلیو
(بالا) و ام.آر.دیبلیو و پارتون برنجینگ (پایین) برای $x=0.01$



شکل ۴- سطح مقطع کاهش یافته به ازای $Q^2 = 4.5 \text{ GeV}^2$ با استفاده از روش
کی.ام.آر و ام.آر.دیبلیو (بالا) و پارتون برنجینگ (پایین)

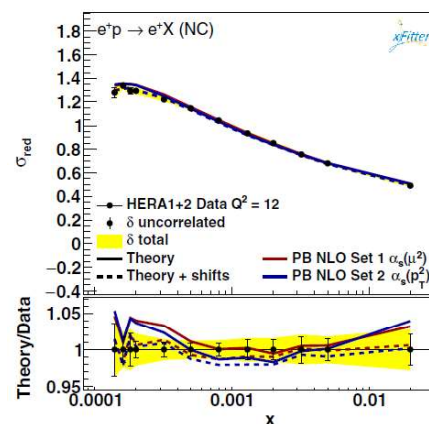
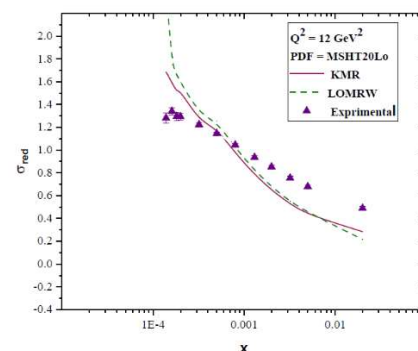


شکل ۲- توابع توزیع پارتونی انتگرال گیری نشده روش کی.ام.آر و
ام.آر.دیبلیو (بالا) و ام.آر.دیبلیو و پارتون برنجینگ (پایین) برای $x=0.00$

مشاهده می شود در مقیاس $Q^2 = 12 \text{ GeV}^2$ برای مقادیر $x < 0.00025$ به علت افزایش y جمله تابع ساختار طولی قابل ملاحظه می شود در صورتی که ما تابع ساختار طولی را در کل محاسبات نادیده گرفتیم. اما روش پارتون برنجینگ به ازای تمام مقادیر x و Q^2 با داده های آزمایشگاهی تطابق دارد (شکل های ۴ و ۵).

مراجع

- 1-V.N. Gribov, L.N. Lipatov, *Yad. Fiz.* **15**, 781 (1972).
- 2-G. Altarelli, G. Parisi, *Nucl. Phys. B* **126**, 298 (1977).
- 3-M. A. Kimber, A. D. Martin, M. G. Ryskin, *Phys. Rev. D* **63** (2001).
- 4-A. D. Martin, M. G. Ryskin, and G. Watt, *Eur. Phys. J. C* **66**, 163 (2010).
- 5- A. Bermudez Martinez, P. Connor, H. Jung, A. Lelek, and R. Žlebčík, *Phys. Rev. D* **99** (2019), 074008.
- 6-Z. Badieian baghsiyahi, M. Modarres, *Eur. Phys. J. C*, to be published
- 7-F. Hautmann, H. Jung, M. Krämer, P.J. Mulders, E.R. Nocera, T.C. Rogers, A. Signori, *Eur. Phys. J. C* **74**, 3220 (2014).
- 8-Z. Badieian Baghsiyahi, M. Modarres, R. Kord Valeshabadi, *Eur. Phys. J. C* **82** (2022).
- 9-H. Abramowicz, and et.all, *Eur.Phys.J.C* **75** (2015).
- 10-Ramin Kord Valeshabadi, Majid Modarres, Somayeh Rezaie, *Eur. Phys. J. C* **81** (2021).
- 11-A. Buckley, J. Ferrando and et al., *Eur. Phys. J. C* **75** (2015), 132.



شکل ۵- سطح مقطع کاهش یافته به ازای $Q^2 = 12 \text{ GeV}^2$ با استفاده از روش کی.ام.آر و کی.آر.دیلیو (پلا) و پارتون برنجینگ (پایین)

بر حسب x در شکل های ۴ و ۵ رسم می کنیم و با نتایج ارائه شده توسط گروه پارتون برنجینگ در مقاله^۷ مقایسه می کنیم.

نتیجه گیری

همانطور که مشاهده می شود در تکانه عرضی کم هر سه روش رفتار مشابهی دارند اما با افزایش تکله عرضی تا مقیاس انرژی، تفاوت ها آشکارتر می شوند و یو.پی.دی.اف های پارتون برنجینگ سریعتر به صفر میل می کنند(شکل های ۱-۳). در ضمن، در هنگام مقایسه سطح مقطع کاهش یافته با استفاده از یو.پی.دی.اف های کی.ام.آر و کی.آر.دیلیو، مشاهده می شود که به ازای مقادیر کوچک x نتایج حاصل از هر دو روش با داده های آزمایشگاهی تطابق بهتری دارد. در ضمیمن با افزایش مقیاس انرژی از $Q^2 = 12 \text{ GeV}^2$ به $Q^2 = 4.5 \text{ GeV}^2$ نتایج بهتری به دست می آوریم(شکل های ۴ و ۵). اما همانطور که در شکل ۵

چگالی بازمانده ماده تاریک نوترینوی استریل

حیدری سیچانی، فاطمه: شاکری، سروش^۱

^۱ گروه فیزیک، دانشگاه فیزیک دانشگاه صنعتی اصفهان، اصفهان

چکیده

در این مقاله، ما به بررسی چگالی بازمانده کیهانی ماده تاریک نوترینوی استریل پرداختیم بر اساس یک مدل موثر که از تقارن های مدل استاندارد پیروی می کند. در این مدل فرض کردیم که سه نوع نوترینوی استریل وجود دارد و برهم کشش های موثر و اپاپلشی نوترینوهای استریل به نوترینوهای مدل استاندارد و فوتون ها را مجاز می داند. در سناریوی ارائه شده، چگالی فراوان نوترینوهای استریل نوع الکترون در اثر آنتروپی تولید شده از واپاشی نوترینوهای میوئون رقیق خواهد شد. ما فضای پارامتری از مدل را به دست آوردیم که در چگالی صحیح ماده تاریک به صورت سازگاری با آخرين مقادير اندازه گيري شده از مشاهدات تابش زمینه کیهانی به دست می آيد.

واژه های کلیدی: ماده تاریک، نوترینوی استریل، جهان اولیه، تولید آنتروپی، چگالی بازمانده

The Relic Density of Sterile Neutrino Dark Matter

Heidari Sichani, Fatemeh; Shakeri, Soroush¹

¹ Department of Physics, Isfahan University of Technology, Isfahan

Abstract

In this paper, we consider the cosmological relic density of the sterile neutrino dark matter in the light of an effective model based on the fundamental symmetries of the standard model(SM). We assume to have three types of sterile neutrinos and the effective interactions allow the decay of the sterile neutrinos to photons and SM neutrinos. In our scenario, the over density of the electron type sterile neutrinos will be diluted by the entropy production generated in decay of muon type sterile neutrinos. We find a parameter space of the model in order to produce the correct dark matter density to be consistent with the latest measured values obtained from CMB observations.

Keywords: Dark Matter, Sterile Neutrino, Early universe, Entropy production, relic density

PACS No.

ما به دنبال کاندیدی برای ماده تاریک ورای مدل استاندارد

مقدمه

ذرات هستیم. یکی از این نامزد ها نوترینوهای استریل می باشد. محاسبات و شواهد متعددی نشان می دهد که این نوترینو ها می توانند کاندیدای مناسبی برای ماده تاریک باشد.

نوترینوی استریل

نوترینوهای استریل ذراتی فرضی هستند که در ابتدا برای توضیح جرم کوچک نوترینوهای مدل استاندارد از طریق مکانیزم الکلنگی معروفی شده اند. اصطلاح نوترینو های استریل برای تمایز

وجود مقدار زیادی ماده تاریک در کیهان توسط بسیاری از مشاهدات اختفیزیکی و کیهانی تایید شده است. آخرین اندازه گیری ها نشان می دهد که تقریبا ۲۷٪ از چگالی انرژی جهان به صورت ماده تاریک است. با توجه به اینکه مدل استاندارد فیزیک ذرات بنیادی هیچ کاندید مناسبی برای توضیح آن ندارد، ماده تاریک را میتوان به عنوان یکی از شواهد فیزیک جدید ورای مدل استاندارد در نظر گرفت.

$$\Gamma(N_R^l \rightarrow v_R^l + \gamma) = \left(\frac{\alpha g_W^4}{1024\pi^4}\right) m_l^2 (M_N^l)^3 G_R^2 [(C_0 + 2C_1)^2 + (C_0 + 2C_2)(C_0 + 2C_1)] \quad (3)$$

جایی که m_l و M_N^l به ترتیب جرم لپتون و استریل نوترینو با طعم یکسانی با لپتون می باشد.

برای طول عمر نوترینوهای استریل نوع الکترون و میون با استفاده از مقیاس معینی برای جرم و جفت شدگی خواهیم داشت:

$$\tau(N_R^e \rightarrow \gamma v^e) \approx 10^{18} s \left(\frac{10^{-4}}{G_R}\right)^2 \left(\frac{511 \text{keV}}{m_e}\right)^2 \left(\frac{100 \text{keV}}{M_N^e}\right)^3 \quad (4)$$

$$\tau(N_R^\mu \rightarrow \gamma v^\mu) \approx 25.21 s \left(\frac{10^{-4}}{G_R}\right)^2 \left(\frac{106 \text{ MeV}}{m_\mu}\right)^2 \left(\frac{100 \text{ keV}}{M_N^\mu}\right)^3 \quad (5)$$

با توجه به اینکه طول عمر کیهان 10^{17} ثانیه است، با انتخاب محدوده‌ی مناسبی از پارامترهای مدل، نوترینوی استریل الکترون می تواند کاندید مناسبی برای ماده تاریک باشد که این محدودیت بر روی جفت شدگی به صورت زیر می باشد.

$$G_R < 3.8 \times 10^{-4} \left(\frac{100 \text{ keV}}{M_N^e}\right)^{\frac{3}{2}} \quad (6)$$

چگالی بازمانده نوترینوی استریل

چارچوب‌های نظری مختلفی وجود دارد که توضیح می‌دهند نوترینوهای استریل با جرم‌هایی در مقیاس کیلو الکترون ولت می‌توانند چگالی بازمانده ماده تاریک را فراهم کنند. ما چگالی بازمانده نوترینوی استریل را با استفاده از نرخ برهمنکش و ثابت هابل در دوره غلبه تابش تخمین می‌زنیم [4-8]:

$$\Gamma_N = n_N \langle \sigma v \rangle \approx G_F^2 G_R^2 T^5 \quad (7)$$

$$H = \sqrt{\frac{4\pi^3 g_*(T)}{45}} \frac{T^2}{M_{Pl}} 1.66 (g_*(T))^{\frac{1}{2}} \frac{T^2}{M_{Pl}} \quad (8)$$

هنگامی که $H \approx \Gamma_N$ باشد، نوترینوهای استریل در دمای زیر واجتیله می شوند:

$$T_{fN} \approx 21.02 \text{ GeV} \left(\frac{10^{-6}}{G_R}\right)^{\frac{2}{3}} \left(\frac{g_*(T_{fN})}{86.25}\right)^{\frac{1}{6}} \quad (9)$$

آن‌ها از نوترینوهای فعال شناخته شده معمولی در مدل استاندارد استفاده می‌شود. این اصطلاح معمولاً به نوترینوهایی با دستیدگی راست دست اشاره دارد. [1]

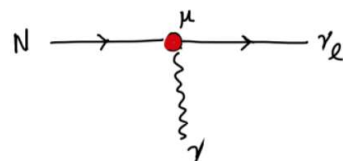
کاوش نوترینوی استریل یک حوزه فعال از فیزیک ذرات است. آن‌ها ممکن است مسئول تعدادی از بیامد های غیرقابل توضیح در کیهان شناسی و اخترفیزیک از جمله ماده تاریک باشند. مدلی که در [2] معرفی شده است شامل سه نوع نوترینوی استریل می باشد و برهم کنش‌های موثر در نظر گرفته شده واپاشی نوترینوهای استریل به نوترینوهای مدل استاندارد و فوتون هارا مجاز می‌داند. در این مدل برهم کنش نوترینوهای استریل و نوترینوی ماده تاریک را توسعه برهم کنش موثر زیر معرفی می‌کند:

$$\Lambda_{l'}^\mu = i \frac{eg_W^2 G_R m_{l'}}{16\pi^2} [(C_0 + 2C_1)p_1^\mu + (C_0 + 2C_2)k_1^\mu] \quad (1)$$

جایی که p_1 و k_1 تکانه نوترینوهای استریل و استاندارد هستند و C_0, C_1, C_2 توابع پاسارینو-ولتمان¹ می باشند و طبق [3] می‌توان به صورت زیر آن‌ها را نشان داد:

$$C_i \approx \frac{1}{m_\omega^2} \quad (2)$$

این برهمکنش منجر به واپاشی نوترینوی استریل به فوتون می‌شود که در نمودار فاینمن شکل ۱ نشان داده شده است.



شکل ۱: نمودار فاینمن واپاشی نوترینوی استریل به فوتون و نوترینوی مدل استاندارد

بر اساس [2] میتوان نشان داد که کانال واپاشی غالب نوترینوهای استریل با نرخ مربوطه‌ی زیر نشان داده می‌شود:

¹three-point Passarino-Veltman

اثر رقیق سازی برای نوتربینوهای استریل

تولید آنتروپی به دلیل واپاشی دیرهنگام نوتربینوی راست دست استریل منجر به رقیق شدن چگالی عدد نوتربینوی راست دست استریل می شود. (توجه داشته باشید که ما به رقیق کننده به عنوان N_{μ} و نوتربینوی راست دست استریل به عنوان N_e اشاره می کنیم). با فرض اینکه چنین تولید آنتروپی به خوبی پس از واجفندگی N_e اتفاق می افتد، چگالی بازمانده ماده تاریک با ضریب رقیق شدگی کاهش می یابد، $\Omega_{N_e} = \Omega_{N_e}/S \rightarrow \tilde{\Omega}_{N_e}$ ، که در آن S ضریب رقیق شدگی یا آنتروپی تولید شده از طریق واپاشی نوتربینوی استریل میوئون به صورت زیر تعریف شده است [10]:

$$S \approx 1.8 g_*(T_r)^{\frac{1}{4}} \frac{Y_N M_N \tau_N^{\frac{1}{2}}}{M_{Pl}^{\frac{1}{2}}} \quad (12)$$

که در آن T_r دمای گرمایش مجدد و

$M_{Pl} = 1.2 \times 10^{19} \text{ GeV}$ جرم پلانک است. با توجه به [1] در این صورت تولید آنتروپی ناشی از واپاشی رقیق کننده به صورت زیر است:

$$S_{N_\mu} \approx 480 \left(\frac{g_*(T_r)^{\frac{1}{4}}}{g_*(T_{fN_\mu})} \right) \left(\frac{1 \text{ GeV}}{M_N^\mu} \right)^{\frac{1}{2}} \left(\frac{10^{-4}}{g_R} \right) \quad (13)$$

ذرات رقیق کننده را نسبیتی در نظر گرفتیم. در این حالت چگالی تعداد ذرات رقیق کننده با معادله Y_N به دست می آید. با جایگزینی معادله Y_N در معادله بالا و در نظر گرفتن نوتربینوی استریل الکترون به عنوان ماده تاریک و نوتربینوی استریل میوئون به عنوان رقیق کننده، چگالی بازمانده نوتربینوی استریل الکترون به صورت زیر بدست می آید:

$$\Omega_{N_e} \approx 0.47 \left(\frac{M_N^e}{100 \text{ keV}} \right) \left(\frac{1 \text{ GeV}}{m_N^\mu} \right) \times \left(\frac{g_*(T_{fN_e})}{g_*(T_{fN_\mu})} \right) \left(\frac{10.75}{g_*(T_r)} \right)^{\frac{1}{4}} \left(\frac{1s}{\tau_{N_\mu}} \right)^{\frac{1}{2}} \quad (14)$$

در اینجا T_{fN} دمای واجفندگی نوتربینوی استریل و g تعداد درجات آزادی موثر در این دما است.

ما همچنین می دانیم که نوتربینوهای مدل استاندارد در دمایی در حدود $T_v \approx 1 \text{ MeV}$ جدا شده اند. از آنجایی که نوتربینوهای استریل ضعیفتر از نوتربینوهای مدل استاندارد برهمنش می کنند، آنها زودتر از انواع نوتربینوهای مدل استاندارد در جهان اولیه جدا شدند.

چگالی عددی در چگالی آنتروپی برای یک نوتربینوی راست دست استریل که در زمان واجفندگی، نسبیتی است تقریباً به صورت زیر بدست می آید:

$$Y_N \equiv \frac{n_N}{S} \cong \frac{135\zeta(3)}{4\pi^4 g_*(T_{fN})} = \frac{0.42}{g_*(T_{fN})} \quad (10)$$

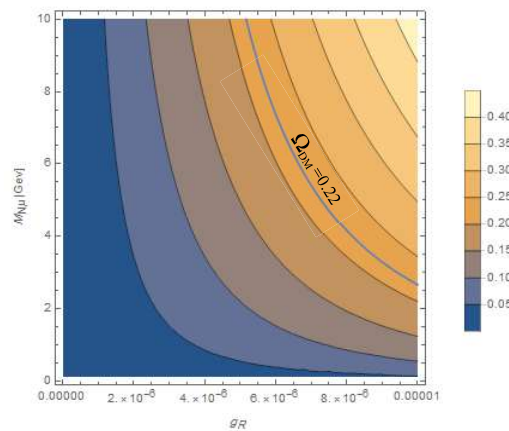
با توجه به معادله فوق، فراوانی موجود برای نوتربینوی استریل به صورت زیر بدست می آید:

$$\Omega_N = \frac{Y_N M_N S}{\rho_c} \approx 240 \left(\frac{M_N}{100 \text{ keV}} \right) \left(\frac{86.25}{g_*(T_{fN})} \right) \quad (11)$$

جایی که $s = 2889.2 \text{ cm}^{-3}$ چگالی بحرانی $h = 0.7$ و $\rho_c = 1.05368 \times 10^{-5} \times h^2 \left(\frac{\text{GeV}}{\text{cm}^3} \right)$ موضوع مهمی که باید در رابطه با نوتربینوی استریل مورد توجه قرار گیرد و از محاسبات نیز مشخص است این است که چگالی بازمانده نوتربینوی استریل به عنوان کاندید ماده تاریک دارای مقدار بیشتری نسبت به چگالی بازمانده ماده تاریک به دست آمده از مشاهدات تابش زمینه کیهانی [9] است. این یکی از مشکلات این نامزد ماده تاریک است. بنابراین، راه پیشنهادی ما برای حل این مشکل، رقیق سازی آنتروپی از طریق واپاشی نوتربینوی استریل به فتوون بعد از واجفندگی می باشد تا فراوانی را کاهش دهد و با چگالی بازمانده ماده تاریک فعلی به دست آمده از مشاهدات مطابقت داشته باشد. [2]

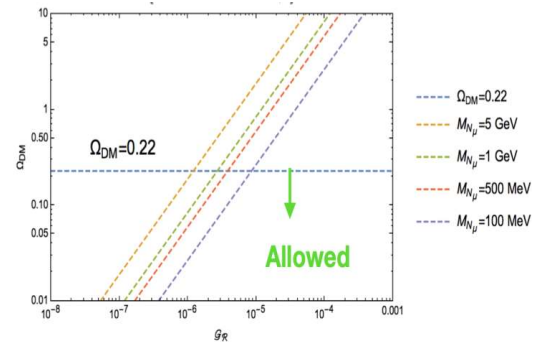
ازای هر عدد لپتوپی معرفی شد. نشان دادیم که نوتريینوی استریل الکترون با جرمی حدود ۱۰۰ الکترون ولت و بازه جفت شدگی مشخص می تواند کاندید مناسبی برای ماده تاریک باشد. با این وجود چگالی بازمانده نوتريینوی استریل الکترون بیش از چگالی مورد انتظار بازمانده ماده تاریک با توجه به آخرین شواهد اندازه گیری شده از تابش زمینه کیهانی می باشد. راه حل ارائه شده در این مقاله بر مبنای ایجاد فرایند رقیق سازی از طریق واپاشی نوتريینوی استریل میوئون به نوتريینوی استاندارد و فوتون می باشد. نشان دادیم که به ازای فضای پارامتر مشخصی از پارامتر های جفت شدگی و جرم نوتريینوهای استریل امکان اینکه چگالی بازمانده نوتريینوی استریل با مقدار مورد انتظار از چگالی بازمانده ماده تاریک مطابقت کند وجود دارد. برای بررسی دقیق تر این سناریو نیاز به حل دقیق معادله ی بولتزمن و بررسی تحول چگالی هر سه نوع نوتريینوی استریل در کیهان اولیه می باشد.

برای سازگاری با سناریویی ستر هسته ای مهیانگ ما نیاز داریم که ذره ی رقیق کننده در زمانی در حدود ۱ ثانیه یا کمتر به ذرات مدل استاندارد از جمله تابش واپاشی می کند به همین دلیل ما این مقدار را در معادله ی بالا ۱ ثانیه در نظر میگیریم. همانطور که در شکل ۲ مشاهده میکنیم؛ به منظور به دست آوردن مقدار صحیح چگالی بازمانده ماده تاریک محدودیت هایی بروی جرم و ضربی جفتیدگی برای نوتريینوی استریل رقیق کننده (میوئون) نیز خواهیم داشت.



مرجع ها

- [1] Giorgio Arcadi, Maíra Dutra, Pradipta Ghosh, Manfred Lindner, Yann Mambrini, Mathias Pierre, Stefano Profumo, Farinaldo S. Queiroz, "The waning of the WIMP? A review of models, searches, and constraints", [arXiv:1703.07364]
- [2] Soroush Shakeri, Fazlollah Hajkarim, She-Sheng Xue, "Shedding New Light on Sterile Neutrinos from XENON1T Experiment", [arXiv:2008.05029]
- [3] Edvard W.Kolb, Michael S.Turner, *The Early Universe*, 1991
- [4] G. Passarino and M. Veltman," One Loop Corrections for e+ e- Annihilation Into mu+ mu- in the Weinberg Model", Nucl. Phys. B 160 (1979) 151
- [5] K. A. Olive, TASI lectures on dark matter, in Theoretical Advanced Study Institute in Elementary Particle Physics (TASI 2002):" Particle Physics and Cosmology: The Quest for Physics Beyond the Standard Model(s)", pp. 797-851, 1, 2003, [astro-ph/0301505]
- [6] S. H. Hansen, J. Lesgourgues, S. Pastor and J. Silk, "Constraining the window on sterile neutrinos as warm dark matter", Mon. Not. Roy. Astron. Soc. 333 (2002) 544[astro-ph/0106108]
- [7] T. Lin, "Dark matter models and direct detection", PoS 333 (2019) 009 [arXiv:1904.07915]
- [8] A. Biswas, D. Borah and D. Nanda, "keV Neutrino Dark Matter in a Fast Expanding Universe", Phys. Lett. B 786 (2018) 364 [arXiv:1809.03519]
- [9] Planck collaboration, Planck 2018 results. VI. Cosmological parameters, [arXiv:1807.06209]
- [10] Miha Nemev sek., Goran Senjanovi, Yue Zhang, "Warm Dark Matter in Low Scale Left-Right Theory", [arXiv:1205.0844]



شکل ۲ : میتوان محدودیت های جرم و ضربی جفتیدگی را در شکل مشاهده کرد؛ با افزایش جرم محدوده ی مجاز به ازای ضربی جفت شدگی کمتری به دست خواهد آمد.

نتیجه گیری

در این مقاله چگالی بازمانده نوتريینوهای استریل را در مدلی موثر مورد بررسی قرار دادیم. در این مدل سه نوع نوتريینوی استریل به

رهیافت تازه‌ای به عدد چرن-سایمونز اسفیلرون بر مبنای مسئله‌ی CP قوی

اسلامبولچی مقدم، پوپک؛ سادات‌گوش، سیامک^۱

^۱دانشکاه فیزیک، دانشگاه شهید بهشتی، اوین، تهران

چکیده

پس از معرفی مدل مینیاتوری کرمودینامیک کوانتمی بدون جرم شامل کوارک‌های سیک نسل اول و مروری بر انتگرال مسیر فرمیون در میدان پس‌زمینه‌ی اینستینون، نقش اسفیلرون را در ساختار غیربدیهی خلاء بررسی می‌کنیم. سپس نشان می‌دهیم که مسئله‌ی CP قوی چکرنده به عدد چرن-سایمونز نیمه‌صحیح برای اسفیلرون منجر می‌شود.

واژه‌های کلیدی: مسئله‌ی CP قوی، اسفیلرون، اینستینون، عدد چرن-سایمونز، ساختار خلاء

A Novel Approach to the Chern-Simons Number of the Sphaleron Based on the Strong CP Problem

Eslambolchi Moghadam, Poupa; Sadat Gousheh, Siamak¹

¹ Department of Physics, Shahid Beheshti University, Evin, Tehran

Abstract

After introducing the massless QCD model containing the first-generation light quarks and reviewing the fermion path integral in the instanton field background, the role of the sphaleron in the nontrivial vacuum structure is investigated. It is also shown how the strong CP problem leads to the half-integer Chern-Simons number for the sphaleron.

Keywords: strong CP problem, sphaleron, instanton, Chern-Simons number, vacuum structure

PACS No. (11 Times New Roman, italic)

در حالی که تاکنون هیچ آزمایشی شکست تقارن CP را در QCD نشان نداده است. به طور خاص، با اندازه‌گیری دوقطبی الکتریکی نوترون، $^{10} 2 \times 10 \leq |\bar{\theta}|$ به دست می‌آید [۲، ۳]. بر مبنای این مشاهدات، مسئله‌ی CP قوی^۳ به عنوان یکی از پنج پازل بزرگ فیزیک [۴]، مطرح می‌شود: چرا $\bar{\theta}$ این قدر کوچک است؟ اگرچه ساختار خلاء QCD و به دنبال آن، مسئله‌ی CP قوی اغلب در پس‌زمینه‌ی اینستینون‌ها مطالعه شده است [۵-۷]، اینستینون‌ها تنها میدان‌های غیراختلالی موجود نیستند. یکی دیگر از پیکربندی‌های غیربدیهی این نظریه، اسفیلرون^۴ نام دارد که از واژه‌ی یونانی

مقدمه

لاگرانژی QCD در حضور برهمنکنش‌های EW، جمله‌ی مرزی $\bar{\theta} F \bar{F}$ را دربرمی‌گیرد که در آن، $\bar{\theta}$ یک پارامتر آزاد فیزیکی است. این جمله، مشتق کامل است پس در محاسبات اختلالی وارد نمی‌شود اما در فرآیندهای غیراختلالی با پیکربندی‌هایی همچون اینستینون‌ها که توپولوژی غیربدیهی دارند، نمی‌توان آن را نادیده گرفت [۱]. از سوی دیگر، وجود $\bar{\theta} F \bar{F}$ در لاگرانژی مدل استاندارد پیامدهایی به دنبال دارد؛ این جمله تحت تبدیل CP ناوردا نیست

$$K^\mu = \frac{g^2}{8\pi^2} \int d^4x \epsilon^{\mu\nu\rho\sigma} \times \text{tr} \left(A_\nu \partial_\rho A_\sigma - \frac{2}{3} ig A_\nu A_\rho A_\sigma \right), \quad (3)$$

به دست می آید [۹]. معادلات حرکت کلاسیک یانگ-میلز در فضای زمان چهار بعدی اقلیدسی یک حل غیراختلالی به نام اینستنتون دارد. عدد پیچش^{۱۰} اینستنتون برابر با یک است؛ به بیان دیگر، اینستنتون با انتشار در زمان موهومی از یک خلاء توبولوژیکی در $x_0 = -\infty$ به خلاء مجاورش در $x_0 = 0$ توغل می زند. تعبیر توغل زنی پیشنهاد می دهد که خلاء QCD را به صورت برهم نهی خطی همه n خلاء ها تعریف کنیم [۱۰]:

$$|\theta\rangle = \sum_n e^{-in\theta} |n\rangle. \quad (4)$$

می دانیم که خلاء، ویژه بردار همیلتونی است و همیلتونی تحت تبدیل پیمانه ای $U \in SU(2)$ ناوردادست؛ یعنی $U^\dagger H U = H$ یا $[H, U] = 0$. پس $|\theta\rangle$ ویژه بردار مشترک H و U است. از آن جا که ویژه مقدارهای عملگر یکانی^{۱۱} U فاز هستند، ضرایب بسط (۴) به صورت $e^{-in\theta}$ انتخاب شده اند. درنتیجه، اولاً $|\theta\rangle$ به هنگار^{۱۲} است. دوماً θ هایی که باقی مانده تقسیم آنها بر 2π یکسان باشد، باهم معادل اند.

به این ترتیب، تعریف (۴) به انتگرال مسیر زیر می انجامد:

$$\langle \theta | \theta \rangle = \sum_n \int D\Lambda^{(n)} \bar{D}\Psi D\Psi e^{in\theta} e^{-\int d^4x \mathcal{L}}. \quad (5)$$

لازم به ذکر است که θ به تهابی مشاهده پذیر نیست و برای یافتن یک پارامتر فیزیکی، باید برهمکنش های EW را نیز درنظر گرفت. این برهمکنش ها، با فرض $m_f = m_u = m_d$ جمله ای جرمی

$$\mathcal{L}_m = -m_f \phi_f \chi_f + h.c., \quad (6)$$

را به لاگرانژی می افزاید که در بخش بعد، به اهمیت حضور آن در لاگرانژی می پردازیم.

پیش از پایان این بخش، یادآوری می کنیم که اگرچه m_f به مقدار چشم داشتی خلاء هیگر ($v \neq 0$) بستگی دارد، اینستنتون یانگ-میلز با فرض $v = 0$ به دست آمده است. با این حال، می توان نشان داد که اگر اندازه ای اینستنتون (ρ) از v ^{۱/۴} خیلی کوچک تر

σφαλερος به معنی "ناپایدار" یا "آماده سقوط" برگرفته شده است. اسفیلرون ها نقاط زینی^{۱۳} معادلات حرکت در فضای زمان چهار بعدی مینکوفسکی اند. آنها ایستا، ناپایدار و دارای کشن متناهی هستند. همچنین چگالی انرژی هموار^{۱۴} و جای گزیده دارند. [۸]

در این مقاله، پس از معرفی مدل و مروری بر انتگرال مسیر فرمیون در پس زمینه ای اینستنتون به مقایسه ای نقش اسفیلرون و اینستنتون در مسئله CP قوی می پردازیم. سپس با رویکرد جدیدی بر مبنای مسئله CP قوی، عدد چرن-سایمونز نیمه صحیح اسفیلرون را بازمی یابیم.

معرفی مدل

یک مدل مینیاتوری از QCD بدون جرم با کوارک های سبک نسل اول را در نظر بگیرید ($f = u, d$):

$$\mathcal{L} = -\frac{1}{4} F^{\mu\nu a} F_{\mu\nu}^a + \bar{\Psi}_f i\gamma^\mu D_\mu \Psi_f, \quad (1)$$

که در آن، $D_\mu = \partial_\mu - \frac{i}{2} g \sigma^a A_\mu^a$ مشتق همودای $SU(2)$ تانسور شدت میدان متناظر با آن، g ثابت جفت شدگی و σ^a نماد ماتریس های پائولی است.

بخش فرمیونی این لاگرانژی در نمایش وایل^۷ به شکل زیر نوشته می شود:

$$\bar{\Psi}_f i\gamma^\mu D_\mu \Psi_f = \bar{\chi}_f i\bar{\sigma} \cdot D \chi_f + \bar{\phi}_f i\sigma \cdot D \bar{\Phi}_f, \quad (2)$$

که χ_f و $\bar{\Phi}_f$ به ترتیب مؤلفه های چپ دست و راست دست فرمیون f را نشان می دهند.

از طرفی اگر فرمیون ها را کنار بگذاریم، (۱) به لاگرانژی یانگ-میلز^۸ خالص با تقارن $SU(2)$ کاهش می یابد. در این نظریه، خلاء های توبولوژیکی با بار توبولوژیکی $N_{CS} = \int d^3x K^0$ کلاس بندی می شوند که به عدد چرن-سایمونز^۹ معروف است و از جریان توبولوژیکی

Winding Number	^{۱۰}
Unitary	^{۱۱}
Normal	^{۱۲}

Saddle-Point	^۰
Smooth	^۶
Weyl	^۷
Yang-Mills	^۸
Chern-Simons	^۹

$$\mathcal{Z} = \sum_n \int D\Lambda^{(n)} \det'(i\gamma^\mu D_\mu) |\det M| \times e^{in(\theta + \arg \det M)}. \quad (11)$$

سرانجام با تعریف

$$\bar{\theta} := \theta + \arg \det M, \quad (12)$$

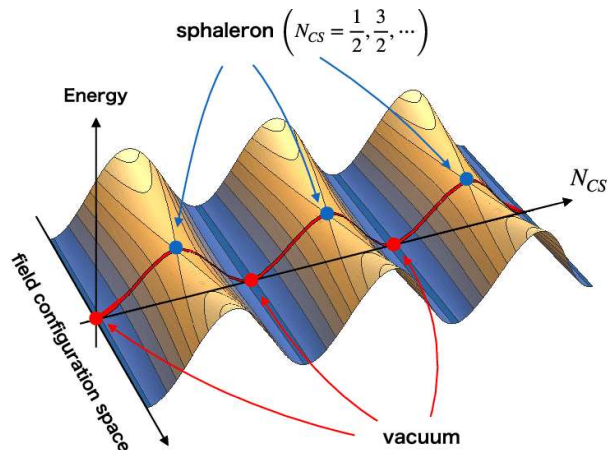
پارامتر فیزیکی مورد نظر ما به دست می آید.

میدان پس زمینه ای اسفیلرون

همان طورکه در بخش قبل اشاره شد، مُدهای صفر فرمیون در پس زمینه ای اینستتون نقش اصلی را در محاسبه انتگرال مسیر و سپس تعیین پارامتر مشاهده پذیر ایفا می کنند. مطالعه‌ی فرآیند گذار سطح^{۱۶} فرمیون‌ها در میدان پس زمینه ای اسفیلرون نشان داده است که هر اسفیلرون در نظریه‌ی یانگ-میلز-هیگز با مقابله^{۱۷} $SU(2)$ دقیقاً به یک مُد صفر فرمیونی منجر می شود [۱۱]. در واقع، اسفیلرون نه با توانل زنی بلکه با عبور از روی سد پتانسیل بین خلاء‌های توپولوژیکی متفاوت آن‌ها را به هم مرتبط می کند.

باتوجه به شکل ۱ برگرفته از [۱۲]، مقابله اینهای بین دو خلاء با $N_{CS} = n, n+1, (n \in \mathbb{Z})$ سبب می شود که عدد چرن-

سا یمونز اسفیلرون نیمه صحیح باشد:



شکل ۱: تصویر ساده‌ای از اسفیلرون در فضای پیکربندی. نقاط قرمز، خلاء‌های تهیگن و نقاط آبی که نقطه‌های زینی انرژی هستند، جواب‌های اسفیلرونی را نشان می دهند [۱۲].

باشد، نظریه‌ی یانگ-میلز-هیگز نیز یک میدان پیمانه‌ای اینستتونی با پیکربندی مشابه دارد [۹]. بنابراین، در مدل موردنظر ما تقریب $\rho v \ll 1$ مفروض است.

میدان پس زمینه ای اینستتون

با در دست داشتن کامل‌ترین لاغرانژی، آماده‌ایم تا انتگرال مسیر فرمیونی را در پس زمینه ای میدان اینستتون بنویسیم. برای این کار، ابتدا Φ_f را در پایه‌ی ویژه‌بردارهای عملگر $i\gamma^\mu D_\mu$ بسط می‌دهیم [۶]:

$$\chi = c_0 \chi_0 + c_k \chi_k, \quad \bar{\chi} = \bar{c}_k \bar{\chi}_k, \\ \phi = d_0 \phi_0 + d_k \phi_k, \quad \bar{\phi} = \bar{d}_k \bar{\phi}_k, \quad (V)$$

که در آن، c_k و \bar{c}_k مقادیر غیرصفر و d_0 تنها مُد صفر^{۱۳} فرمیون است. این ضرایب خاصیت پادجایه‌جایی را از فرمیون‌ها به ارث می‌برند. همچنین، بردارهای پایه در روابط $\bar{\chi}_k = (\sigma^2 \phi_k)^T$ و $\Phi_{k,0} = (\sigma^2 \chi_{k,0})^T$ صدق می‌کنند.

اگر جملات لاغرانژی را بر حسب (V) بازنویسی کنیم و مقیاس^{۱۴} انتگرال‌گیری را به صورت

$$D\Psi D\Psi = dc_0 \prod_k dc_k d\bar{c}_k dd_0 \prod_l dd_l d\bar{d}_l, \quad (A)$$

برگرینیم، آنگاه

$$\mathcal{Z} = \sum_n \int D\Lambda^{(n)} \det'(i\gamma^\mu D_\mu) e^{in\theta} \times \int dc_0 dd_0 e^{\int d^4x \sum_f c_0 (\chi_0 m_f \phi_0) d_0 + h.c.}, \quad (9)$$

که \det' به دترمینان مُدهای غیرصفر اشاره دارد و مُدهای صفر تنها در بسط جمله‌ی جرمی ظاهر شده‌اند. باید توجه داشت که بدون احتساب جمله‌ی جرمی ناشی از EW، انتگرال‌ده به تابعی مستقل از مُدهای صفر تبدیل می شد و انتگرال گرسمنی^{۱۵} آن برابر صفر بود؛ در حالی که

$$\int dc_0 dd_0 e^{\int d^4x \sum_f c_0 (\chi_0 m_f \phi_0) d_0 + h.c.} = \det M, \quad (10)$$

و M ماتریس جرمی قطری کوارک‌های u و d است. بنابراین،

^{۱۳}Zero-mode

^{۱۴}Measure

^{۱۵}Grassmann

قرار نمی‌گیرند. از سوی دیگر، نشان دادیم که برای تنظیم ظرفیف^{۱۸} $\bar{\theta}$ به صفر، دوره‌تناوب $e^{-in\theta}$ در $\langle \theta \rangle$ باید از 2π به π تغییر کند. درنتیجه، بین هر دو عدد صحیح اینستنتونی، عدد چرن-سایمونز نیمه‌صحیحی برای اسفیلرولون به دست آمد که با مطالعات پیشین، از جمله [۱۲] و متابع آن، سازگار است.^{۱۹}

به این ترتیب، مسئله‌ی CP قوی می‌تواند نمودی از یک ارتباط غیربدیهی بین ساختار توپولوژیکی اسفیلرولون (اینستنتون) و ساختار فضا-زمان مینکوفسکی (اقلیدسی) باشد.

مرجع‌ها

- [۱] Rajaraman, R.; "Solitons and Instantons: An Introduction to Solitons and Instantons in Quantum Field Theory"; *North-Holland personal library*; North-Holland Publishing Company (1982).
- [۲] Chadha-Day, Francesca, Ellis, John, and Marsh, David J. E.; "Axion dark matter: What is it and why now?" (2022).
- [۳] Peccei, Roberto D; "The strong CP problem and axions"; *Lecture Notes in Physics*; Springer Berlin Heidelberg (2008) pp. 3–17.
- [۴] Gupta, R.S., Khoze, V.V., Spannowsky, M.; "Small instantons and the strong CP problem in composite higgs models"; *Phys. Rev. D* **104** (2021).
- [۵] Peccei, R. D. and Quinn, Helen R.; "CP Conservation in the Presence of Instantons"; *Phys. Rev. Lett.* **38** (1977) 1440–1443.
- [۶] Tanedo, Flip; "t Hooft and 't'ail: Instantons and their applications. A review of instantons in quantum mechanics, gauge theory, and supersymmetry".
- [۷] Shuryak, E. and Schäfer, T.; "The QCD vacuum as an instanton liquid"; *Annual Review of Nuclear and Particle Science* **47**(1) (1997) 359–394.
- [۸] Manton, N. and Sutcliffe, P.; "Topological Solitons"; *Cambridge Monographs on Mathematical Physics*; Cambridge University Press (2004).
- [۹] Yang, Ke-yan; "The Process of fermion level crossing in electroweak instanton"; *Phys. Rev. D* **49** (1994) 5491–5496.
- [۱۰] Kachelriess, M.; "Quantum Fields: From the Hubble to the Planck Scale"; *Oxford graduate texts*; Oxford University Press (2018).
- [۱۱] Gousheh, Siamak S. and López-Mobilia, Rafael; "Vacuum polarization by solitons in (1+1) dimensions"; *Nuclear Physics B* **428** (1) (1994) 189–208.
- [۱۲] Yu Hamada and Kengo Kikuchi; "Obtaining the sphaleron field configurations with gradient flow"; *Phys. Rev. D* **101**, 096014 (2020).

Fine-Tuning^{۱۸}
^{۱۹} نویسنده‌گان [۱۲] بر یافتن پیکربندی اسفیلرولون بدون نیاز به تنظیم ظرفیف تأکید داشته‌اند که منظور از تنظیم ظرفیف، انتخاب شرایط اولیه‌ی خاص برای حل معادلات دیفرانسیلی بوده است و نباید با تنظیم ظرفیف $\bar{\theta}$ به صفر اشتباہ گرفت شود. به بیان دقیق‌تر، نتیجه‌ی مقاله‌ی حاضر (با تنظیم ظرفیف $\bar{\theta}$) با نتیجه‌ی [۱۲] (بدون تنظیم ظرفیف شرایط اولیه) در توافق است.

با این حال، اگر بخواهیم روابط بخش قبل را برای اسفیلرولون بازنویسی کنیم، باید کنش اقلیدسی را تحت چرخش ویک^{۲۰} به فضا-زمان مینکوفسکی ببریم. درنتیجه، طرف راست (۱۰) با

$$\det iM = -\det M = |\det M| e^{i(\arg \det M + \pi)}, \quad (13)$$

جایگزین می‌گردد و به دنبال آن،

$$\bar{\theta} = (\theta + \pi) + \arg \det M. \quad (14)$$

برای این که (۱۴) همچنان $10^{-10}|\bar{\theta}|$ را برآورده کند، دوره‌هناوب تابع نمایی در (۴) باید برابر با π شود؛ یعنی

$$e^{-in(\theta+\pi)} = e^{-in\theta}, \quad (15)$$

که تنها به‌ازای $n = 2k$ برقرار است ($k \in \mathbb{Z}$). پس اگر $n = \dots, -3, -2, -1, 0, 1, 2, 3, \dots$ باشد، آنگاه

$$k = \dots, -\frac{3}{2}, -1, -\frac{1}{2}, 0, \frac{1}{2}, 1, \frac{3}{2}, \dots \quad (16)$$

و عدد پیچش اسفیلرولون، همان‌طور که انتظار می‌رفت، به صورت نیمه‌صحیح بین اعداد صحیح اینستنتونی ظاهر می‌شود.

نتیجه‌گیری

نظريه‌ی یانگ-میلز-هیگر با تقارن $SU(2)$ در چهار بعد (حداقل) دو پیکربندی با توپولوژی غیربدیهی دارد؛ یکی اینستنتون که پاسخ غیراختلالی معادلات حرکت کلاسیک در فضا-زمان اقلیدسی است و دیگری اسفیلرولون که به عنوان نقطه‌ی زینی معادلات حرکت در فضا-زمان مینکوفسکی شناخته می‌شود. اگرچه تاکنون مطالعات بسیاری درباره‌ی نقش اینستنتون‌ها در ساختار خلاء QCD و پیدایش مسئله‌ی CP قوی انجام شده، ارتباط اسفیلرولون با این مسئله کمتر مورد توجه قرار گرفته است.

در این مقاله، پس از مروری بر انتگرال مسیر فرمیون در پس‌زمینه‌ی اینستنتون، به پارامتر مشاهده‌پذیر $\bar{\theta}$ در فضا-زمان اقلیدسی رسیدیم. سپس نتایج حاصل را با حالتی که اسفیلرولون میدان پس‌زمینه باشد، در فضا-زمان مینکوفسکی، مقایسه کردیم. می‌دانیم که تعاریف کنش در این دو حالت، بر اثر چرخش ویک، در یک ضربی^{۲۱} اختلاف دارند اما با توجه به (۴) و توضیحاتی که به دنبال آن آمده است، ضرایب فاز در بسط $\langle \theta \rangle$ تحت تأثیر این چرخش

اثر هسته‌ای و تابع ساختار نوکلئونی غیریکتا در پراکندگی نوترینو-نوکلئون

اکبری احمد محمودی ، مرضیه ؛ میرجلیلی، ابوالفضل

دانشکده فیزیک دانشگاه یزد، یزد

چکیده

در اینجا تحلیلی QCD از تابع ساختار غیریکتا نوکلئونی در تقریب مرتبه NLO ارائه می‌دهیم. بر این اساس ممان تابع ساختار $xF3$ با استفاده از حل معادله گروه بازیهنجارش بست خواهد آمد. با استفاده از تبدیل معکوس ملین، از فضای ممان به فضای بیورکن رفته و نتایج را برای تابع ساختار برحسب متغیر x بست می‌آوریم. در ادامه با استفاده از رابطه تحلیلی که برای ممان تابع ساختار نوکلئونی با لحاظ نمودن اثر هسته‌ای وجود دارد به محاسبه تابع ساختار $xF3$ برای هسته آهن می‌پردازیم. نتایج در تطابق خوبی با داده‌های موجود آزمایشگاهی می‌باشد. بهمنظور تایید بیشتر بر صحت روش نظری بکار رفته، نسبت قاعده جمع GLS برای تابع ساختار مقید به هسته‌های دوتریم و آهن به نوکلئون آزاد را محاسبه می‌نماییم. نتایج رفتار مورد انتظار را نشان می‌دهد. در روش تحلیلی بکار رفته برای محاسبه تابع ساختار نوکلئون هسته‌ای از هیچ برآرشی روی داده‌های آزمایشگاهی استفاده نشده است که می‌تواند بعنوان مزیت روش بکار رفته، تلقی شود.

واژه‌های کلیدی: پراکندگی نوترینو-نوکلئون ، تابع ساختار $xF3$ ، اثر هسته‌ای

Nuclear effect and the non-singlet nucleon structure functions in neutrino - nucleon scattering

Akbari Ahmad Mahmodi, Marzieh; Merjalili, Abolfazl

Department of Physics, Yazd University, Yazd

Abstract

Here we perform an QCD analysis for nucleon structure function in non-singlet at NLO accuracy. On this base the moment of $xF3$ structure function, using the renormalization group equation will be obtained. Employing the inverse Mellin transformation, we convert the moment space to Bjorken space and extract the results for structure function in terms of x -Bjorken variable. In continuation, using the nuclear analytical relation, which exists for moment of nucleon structure function, we calculate $xF3$ structure function in Iron nucleus. The result is in good agreement with the available experimental data. For more confirmation to validate the utilized theoretical method, we calculate the ratio of GLS sum rule for bounded nucleon structure function in Deuteron and Iron to free nucleon. The results are indicating the acceptable behaviors. The advantage of the used analytical method is that we do not need to use any fitting over the experimental data.

Keywords : Neutrino nucleon scattering, $xF3$ structure function , Nuclear effect.

PACS No. 13

تابع ساختارها از جمله تابع ساختار مربوط به پراکندگی نوترینو براساس نتایج بدست آمده در اولین آزمایش‌های انجام شده در حد انرژی‌های پایین، دارای رفتار مقياس پذیری بیورکن می‌باشد. مطالعه‌ی توابع ساختار نوکلئونی اطلاعات مهمی در مورد ساختار ذره هدف ارائه می‌دهد و فرصتی برای پیش‌بینی‌های نظری کرومودینامیک کوانتومی اختلالی فراهم می‌کند که با نتایج آزمایشگاهی قابل مقایسه است. تابع ساختار نوکلئونی نهایتاً

مقدمه

اواخر دهه هفتاد میلادی دوران شکوفایی فیزیک ذرات بنیادی شناخته می‌شود زمانی که اولین نتایج آزمایش‌های پراکندگی ناکشسان SLAC توسط پرتونی الکترونی 20 GeV در شتابدهنده خطی انجام گردید. با استفاده از مدل پارتونی که در آن از تابش گلئونی صرفنظر شده باشد می‌توان دید که تابع ساختار ناکشسان نوکلئونی وابستگی کمی به مقیاس انرژی Q^2 دارد. از این رو می‌توان گفت

پارتونی اولیه ظاهر می شوند اندازه گیری های گروه CCFR [3] بعنوان یکی از دقیق ترین نتایج تجربی برای توابع ساختار نوکلئونی ناشی از پراکندگی ناکشسان ژرف (DIS) از نوتريینوها و پاد نوتريینوها مورد استفاده قرار می گیرد.

تحلیل QCD در مرتبه NLO برای تابع ساختارهای نوکلئونی می تواند از داده های گروه NuTeV [4] نیز بدست آید. یادآوری آنکه این مرتبه اختلال از طریق نمایان شدن حلقه ها در انتشارگر دامنه پراکندگی بدست می آیند که خود شامل حلقه های فرمیونی (کوارکی) و گلئونی است. حلقه ی گلئونی از آن جهت ظاهر می شود که گلئون ها حامل بار های رنگی می باشند بطوریکه جفت شدگی مستقیم گلئونی امکان پذیر می باشد.

معادله گروه باز بهنجارش و ممان تابع ساختار

بمنظور دست یابی به تابع ساختار تحول یافته در مقیاس انرژی بالا دو روش متداول است. در اولین روش توزیع های پارتونی را با کمک معادلات آلتالی پاریسی تحول می دهند و آنگاه تابع ساختار نوکلئونی تحول یافته را بر حسب توزیع های پارتونی که در مقیاس انرژی بالا بدست آمدند، محاسبه می نمایند [5]. در روش دوم، مستقیم به سراغ تابع ساختار نوکلئونی در مقیاس انرژی اولیه رفته و با کمک معادله گروه بازبهنجارش، تابع ساختار تحول یافته را بدست می آورند. در این مقاله از روش دوم بهره می جوئیم.

معادله گروه بازبهنجارش با رابطه زیر داده می شود [6]:

$$(\mu^2 \frac{\partial}{\partial \mu^2} + \beta(A_S) \frac{\partial}{\partial A_S} + \gamma_{NS}^{(n)}(A_S)) M_n^{NS}(Q^2 / \mu^2, A_S(\mu^2)) = 0 \quad (2)$$

در این رابطه M_n^{NS} ممان تابع ساختار غیر یکتای xF3 می باشد که با استفاده از تبدیل ملین بر روی این تابع بدست می آید:

$$M_n^{NS}(Q^2) = \int_0^1 x^{n-1} F_3(x, Q^2) dx$$

جائیکه n معرف مرتبه ممان می باشد و از عدد ۲ شروع می شود. حل معادله (1) منجر به رابطه زیر برای ممان تابع ساختار در مقیاس انرژی Q^2 می شود

$$\frac{M_n^{NS}(Q^2)}{M_n^{NS}(Q_0^2)} = \exp \left[- \int_{A_S(Q_0^2)}^{A_S(Q^2)} \frac{\gamma_{NS}^{(n)}(x)}{\beta(x)} dx \right] \frac{C_{NS}^{(n)}(A_S(Q^2))}{C_{NS}^{(n)}(A_S(Q_0^2))} \quad (3)$$

خرج کسر در سمت راست رابطه بالامعرف ممان تابع ساختار در مقیاس انرژی اولیه می باشد که بعنوان ورودی محاسبات در

می تواند اطلاعات مهمی را در مورد توزیع های پارتونی در ناحیه غیراختلالی که بعنوان ورودی مسئله در نظر گرفته می شود، ارائه دهد.

تابع ساختار xF3 در پراکندگی نوتريینو-نوکلئون

پراکندگی (پاد) نوتريینو بر روی یک هدف نوکلئونی آزاد بصورت زیر نمایش داده می شود:

$$v_i(k) / \bar{v}_i(k) + N(p) \rightarrow l^-(k') / l^+(k') + X(p'); \\ l = e / \mu / \tau, \quad N = n, p \quad (1)$$

در رابطه بالا k و k' بترتیب چار بردار تکانه لپتون ورودی و خروجی هستند، p و p' به ترتیب چار بردار تکانه نوکلئون هدف و جت هادرон تولید شده در حالت نهایی هستند. این فرآیند توسط بوزون واسطه W انجام می شود و عنصر ماتریسی مربوط به فرآیند نشان داده شده در رابطه (1) به صوت زیر می باشد:

$$-iM = \frac{iG_F}{\sqrt{2}} I_\mu \left(\frac{M_W^2}{q^2 - M_W^2} \right) \langle X | J^\mu | N \rangle$$

سطح مقطع پراکندگی دیفرانسیلی دوگانه مربوط به فرآیند رابطه (1) متناسب با مریع دامنه معرفی شده در رابطه بالا می باشد که در چارچوب آزمایشگاهی به صورت زیر بدست می آید [1]:

$$\frac{d^2\sigma}{dx dy} = \frac{y M_N}{\pi} \frac{E_\nu}{E_\ell} \frac{|\mathbf{k}'|}{|\mathbf{k}|} \frac{G_F^2}{2} \left(\frac{M_W^2}{Q^2 + M_W^2} \right)^2 L_{\mu\nu} W_N^{\mu\nu}$$

در اینجا $L_{\mu\nu}$ و $W_{\mu\nu}$ به ترتیب معرف تانسورهای لپتونی و هادرونی می باشند. چنانچه تانسور لپتونی را بر حسب تابع ساختارهای F_1 ، F_2 و F_3 فرمول بندی کنیم و نتیجه مربوط به سطح مقطع پراکندگی را با آنچه از مدل پارتونی فاینم من بدست می آید، مقایسه کنیم به روابط زیر برای تابع ساختارهای نوکلئونی بر حسب تابع توزیع های پارتونی خواهیم رسید [2]:

$$xF_3 = \sum_i x[q_i(x) - \bar{q}_i(x)]$$

$$F_2 = \sum_i x[q_i(x) + \bar{q}_i(x)]$$

گنجاندن اثرات اختلالی و غیراختلالی از طریق توزیع های کوارکی q و \bar{q} در ارزیابی تابع ساختار نوکلئون حائز اهمیت است. این اثرات هر دو وابسته به X و Q^2 هستند. برای دست یابی به ورودی محاسبات که به عنوان اثر غیراختلالی و از طریق توزیع های

ساختر نوکلئون مقید هسته‌ای خواهد بود.

اثر هسته ایی و تاثیر آن بر تابع ساختار نوکلئونی
برای در نظر گرفتن اثر هسته‌ای بر روی تابع‌های ساختار نوکلئونی، مرسوم است که متولّس به روش‌های پدیده‌شناسی می‌شوند و از طریق معرفی یک تابع وزن که شامل چندین پارامتر آزاد می‌باشد اثر هسته‌ای را بر تابع ساختار نوکلئونی اعمال می‌کنند. برای تعیین پارامترهای آزاد در تابع وزن ناچار از برآذش داده‌های موجود آزمایشگاهی که برای نسبت تابع ساختار نوکلئون مقید در هسته‌های مختلف به تابع ساختار نوکلئون آزاد وجود دارد، استفاده می‌کنند[8]. در این مقاله روش دیگری برای بکار گیری اثرهسته‌ای در تابع ساختار نوکلئونی $\chi F3$ بکار گرفته می‌شود که یک روش کاملاً نظری است بطوریکه از هیچ برآذشی روری داده‌های آزمایشگاهی استفاده نمی‌شود. اساس این روش مبتنی بر رابطه زیر است که در مرجع [9] آمده است:

$$\begin{aligned} M_n^A(Q^2) / A &= \left(1 + \frac{\epsilon}{M}(n-1) + \frac{<\mathbf{p}^2>}{6M^2} n(n-1) + O(\frac{1}{M^3})\right) M_n^{NS}(Q^2) + \\ &<\Delta p^2> \partial_{p^2} M_n^{NS}(Q^2) + \frac{2 <\mathbf{p}^2>}{3Q^2} n(n+1) M_{n+2}^{NS}(Q^2) \end{aligned} \quad (4)$$

در این رابطه $M_n^{NS}(Q^2)$ معنای تابع ساختار نوکلئون آزاد می‌یاشد که با استفاده رابطه (3) قابل محاسبه است. در این رابطه M جرم نوکلئون می‌باشد و مطابق مدل معرفی شده در [9] کمیات بکار رفته در رابطه (4) برای هسته آهن دارای مقادیر عددی زیر می‌باشند:

$$<\epsilon> \approx -0.056, <\mathbf{p}^2>/(2M) \approx 0.035, <\Delta p^2>_{Fe} \approx -0.17 GeV.$$

برای مشتقی که در رابطه (4) آمده است داریم [9] :

$$\partial_{p^2} M_n(Q^2) = \partial_{p^2} M_n^{as} + \frac{n}{Q^2} (M_n^{NS} + M^2 \partial_{p^2} M_n^{as})$$

برای محاسبه عبارت بالا به ازاء مرتبه های مختلف n ، نیاز به مقادیر عددی $\partial_{p^2} M_n^{as}$ می‌باشد که در مرجع [9] آمده است. اکنون با استفاده از رابطه (4) قادر هستیم ممان تابع ساختار نوکلئونی $\chi F3$ را برای هسته آهن محاسبه نمائیم. آنگاه با استفاده از تبدیل معکوس ملین این تابع ساختار را در فضای بیورکن X بدست آوریم.

نظر گرفته می‌شود و از برآذش بر روی داده‌های آزمایشگاهی در انرژی اولیه مفروض، در دسترس می‌باشد. در رابطه (3) تابع‌های $C_{NS}^{(n)}(A_s(Q^2))$ و $\beta(x)$ به ترتیب تابع ابعاد غیر عادی، تابع بتای QCD و تابع ضربی ویلسون می‌باشد که هریک دارای بسط اختلالی زیر می‌باشد[6] :

$$C_{NS}^{(n)}(A_s) = \sum_{i \geq 0} \gamma_{NS}^{(i)}(n) A_s^{i+1}, \quad \beta(A_s) = -2 \sum_{i \geq 0} \beta_i A_s^{i+2},$$

$$C_{NS}^{(n)}(A_s) = 1 + C^{(1)}(n) A_s + C^{(2)}(n) A_s^2 + \dots$$

ثابت جفت شدگی $(Q^2) A_s$ تا مرتبه NLO بصورت زیر می‌باشد:

$$A_s(Q^2) = \frac{1}{\beta_0 \ln(Q^2/\Lambda_{MS}^2)} - \frac{\beta_1 \ln \ln(Q^2/\Lambda_{MS}^2)}{\beta_0^3 \ln^2(Q^2/\Lambda_{MS}^2)}$$

با جانشینی بسط های مربوط به تابع‌های $\gamma_{NS}^{(n)}(A_s)$ و $\beta(A_s)$ در رابطه (3) و انجام انتگرال‌گیری مربوط، خواهیم داشت:

$$\frac{M_n^{NS}(Q^2)}{M_n^{NS}(Q_0^2)} = \left[\frac{A_s(Q^2)}{A_s(Q_0^2)} \right]^{\gamma_{NS}^{(0)}(n)/2\beta_0} \times \quad (3)$$

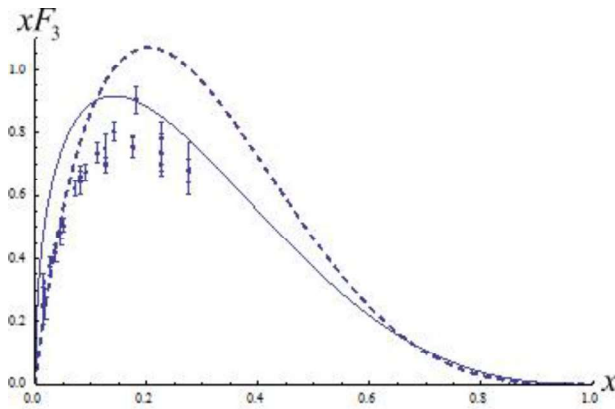
$$\frac{[1 + p(n) A_s(Q^2) + q(n)(A_s(Q^2))^2]}{[1 + p(n) A_s(Q_0^2) + q(n)(A_s(Q_0^2))^2]} \frac{C_{NS}^{(n)}(A_s(Q^2))}{C_{NS}^{(n)}(A_s(Q_0^2))}$$

جاییکه تابع‌های $p(n)$ و $q(n)$ بصورت زیر می‌باشند:

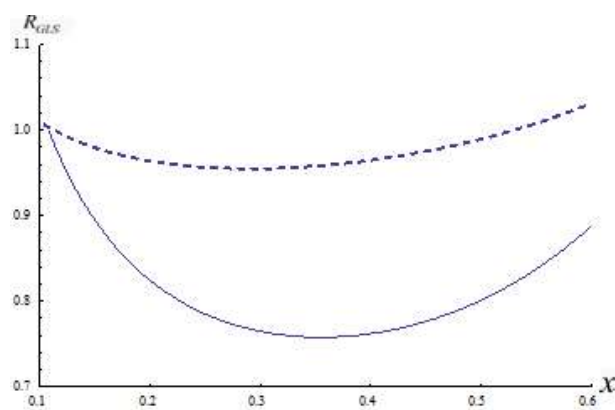
$$\begin{aligned} p(n) &= \frac{1}{2} \left[\frac{\gamma_{NS}^{(1)}(n)}{\beta_1} - \frac{\gamma_{NS}^{(0)}(n)}{\beta_0} \right] \frac{\beta_1}{\beta_0} \\ q(n) &= \frac{1}{4} [2p(n)^2 + \frac{\gamma_{NS}^{(2)}(n)}{\beta_0} + \frac{(\beta_1^2 - \beta_2 \beta_0)}{\beta_0^3} \gamma_{NS}^{(0)}(n) - \frac{\gamma_{NS}^{(1)}(n)}{\beta_0^2}] \end{aligned}$$

اکنون با در اختیار داشتن ممان تابع ساختار $\chi F3$ در مقیاس انرژی اولیه بعنوان ورودی مسئله و با استفاده از مدل های پارامتر بندی مختلف نظری MRST, CTEQ و ... قادر هستیم ممان تابع ساختار تحول یافته در هر مقیاس انرژی دیگری را بدست آوریم. برای رفتن از فضای ممان n و برگشت به فضای بیورکن می‌توان از تکنیک چند جمله‌ایهای ژاکوبی [7] و یا تبدیل معکوس ملین استفاده کرد. در این مقاله روش دوم را بکار می‌گیریم. در قسمت بعد با در اختیار قرار داشتن ممان تابع ساختار نوکلئون آزاد مبادرت به اعمال تصحیح اثر هسته‌ای بصورت کاملاً نظری می‌نماییم که بدون مراجعت به روش‌های مرسوم که مبنی بر استفاده از تابع وزن و بکارگیری برآذش داده است، می‌باشد. نتیجه حاصل معرفت تابع

نظری انجام شده برای لحاظ نمودن اثر هسته‌ای در رفتار تابع ساختار نوکلئون مقید می‌باشد. بررسی اثر هسته‌ای از جنبه پدیده‌شناسی و یا حتی نظری برای آشکار نمودن رقتار نسبت تابع ساختار نوکلئون مقید به نوکلئون آزاد در قالب اثر EMC بعنوان یک تلاش پژوهشی جدید می‌تواند در آینده دنبال شود.



شکل ۱: تابع ساختار xF_3 برای نوکلئون آزاد (منحنی منقطع) و نوکلئون مقید به هسته آهن (منحنی توپر). داده ها از گروه NuTeV [4] و مربوط به پراکندگی نوتريینو از هسته آهن می‌باشد.



شکل ۲: نسبت های قاعده جمع GLS هسته دوتیریم به نوکلئون آزاد (منحنی منقطع) و هسته آهن به نوکلئون آزاد (منحنی توپر).

مرجع ها

- [1] Ansari *et al.* Eur.Phys.J.ST 230, 4433 (2021).
- [2] R. Devenish, A. Cooper, Deep inelastic scattering, Oxford university press (2009) .
- [3] W. G. Seligman *et al.* Phys. Rev. Lett 79 (1997).
- [4] M. Tzanov, *et al.*, Rev. D 74, 012008 (2006).
- [5] M. Markovych , A. Tandogan arXiv:2304.10458 (2023).
- [6] A.L.Kataev *et al* Nucl.Phys. B573, 405 (2000).
- [7] A.Mirjalili *et al*, Chinese Phys.C. 34, 1534 (2010).
- [8] J.Sheibani, A.Mirjalili. S.A.Tehrani. Phys. Rev.C 98, 045211 (2018).
- [9] S. Kulagin, Nucl.Phys.A 640, 435 (1998).

جهت تایید بیشتر صحت محاسبات نظری انجام شده می‌توانیم قاعده جمع Gross Llewellyn-Smith (GLS) را برای تابع ساختار نوکلئون آزاد و مقید محاسبه نمائیم. برای این قاعده جمع داریم [2]:

$$S_{GLS}(Q^2) = \int_0^1 dx F(x, Q^2) \quad (5)$$

چنانچه در انتگرال بالا از تابع ساختار مقید هسته ای استفاده کنیم که قابل دسترس می‌باشد فاعده جمع GLS برای هسته‌های مختلف می‌تواند بدست آید.

نتیجه گیری

از آنجائیکه ممان تابع ساختار نوکلئونی غیر یکتا xF_3 مقید به هسته طبق رابطه (4) در اختیار مان می‌باشد قادر هستیم با استفاده از تبدیل معکوس ملین به این تابع ساختار در فضای بیورکن X دست یابیم. برای این منظور و به جهت تسهیل در محاسبات عددی با ساختن جدول داده‌ها از ممان تابع ساختار نسبت به مرتبه های مختلف ممان و برآذش تابع پارامتری از ممان تابع ساختار بر روی داده‌های ایجاد شده، می‌توانیم پارامترهای مجهول در این تابع را تعیین نمائیم و نهایتاً تابع ساختار نوکلئونی مقید را بدست آوریم. این کار را برای هسته آهن در مقیاس انرژی $Q^2 = 5 GeV^2$ انجام دادیم و نتیجه را در شکل ۱ رسم نمودیم. داده ها از گروه NuTeV [4] که مربوط به پراکندگی نوتريینو از هسته آهن می‌باشد. همانطور که دیده می‌شود اعمال تصحیح هسته ای که صرفاً بصورت تحلیلی و بر مبانی محاسبات نظری می‌باشد، بهبود قابل توجه ای در انطباق نتایج با داده‌های تجربی ایجاد نموده است.

در ادامه مطابق رابطه (5) به محاسبه نسبت قاعده جمع GLS برای تابع ساختار مقید در هسته دوتیریم به تابع ساختار نوکلئون آزاد پرداختیم. محاسبه این نسبت را در حالیکه هسته هدف آهن می‌باشد نیز انجام دادیم. نتایج مربوط به این دو نسبت در شکل ۲ رسم شده است. از آنجائیکه نوکلئون مقید در هدف آهن بیشتر از هدف دوتیریم تحت تاثیر اثر هسته‌ای قرار می‌گیرد که بزرگی عدد جرمی آهن نسبت به دوتیریم یکی از دلایل آن می‌باشد، انتظار داریم که این افزایش اثر در نسبت های رسم شده دیده شوند که چنین نتیجه ای نیز حاصل شده است. این خود دلیل دیگری بر صحت محاسبات

بررسی ممان های توابع توزیع کوارک های ظرفیتی پایون

غفاریان عیدگاهی مقدم، اکرم؛ تقی شهربی، فاطمه؛ متقی زاده، مرضیه؛ شعبیی، سمیرا^۱

^۱دانشگاه علوم پایه، گروه فیزیک، دانشگاه فردوسی مشهد، مشهد

^۲پژوهشکاهه ذرات و شتابگرها، پژوهشگاه دانش های بنیادی (IPM)، صندوق پستی ۱۹۳۹۵۵۵۳۱، تهران

چکیده

در این مقاله ما با استفاده از مدل ولون توابع توزیع پارتونی کوارک های ظرفیتی ذره پایون را به دست آوردهیم و سپس آن را با داده های تجربی E615 مقایسه نمودیم. همچنین ممان های اول تا چهارم ذره پایون را محاسبه نموده و با مدل های دیگر مقایسه کردیم. سازگاری خوبی بین نتایج کار ما با داده های تجربی و مدل های دیگر مشاهده می شود.

Study of the moments of the valence quark distribution functions of the pion

Akram Ghaffarian Eidgahi Moghaddam¹; Fatemeh Taghavi-Shahri¹; Marzieh Mottaghizadeh¹
Samira ShoeibiMohsenabadi²

¹Department of Physics, Ferdowsi University of Mashhad, P.O.Box 1436, Mashhad, Iran

²School of Particles and Accelerators, Institute for Research in Fundamental Sciences (IPM), P.O.Box 19395-5531, Tehran, Iran

Abstract

In this article, we obtained the parton distribution functions of the valence quarks in the pion using the Valon model and then compared it with the experimental data from E615. We also calculated the first to fourth moments of the pion and compared it with other results. There is a good agreement between our results and the experimental data and other models.

پایون ناشناخته است. مطالعه‌ی ساختار پایون یک روش مهم برای

مقدمه

بررسی QCD غیراختلالی است و به پاسخ به سوالات اساسی درباره ی مبدأ و منشأ جرم هادرон ها کمک می کند.

نقش مهم پایون در برهم کنش های قوی درون هسته و تأثیرات آن در ساختار هسته از سال ۱۹۳۰ با کشف نوترون شناخته شد [۱, ۲, ۳].

از نظر تئوری روش‌های مختلفی برای محاسبه‌ی توابع توزیع پارتونی در پایون وجود دارد اما به لحاظ تجربی به دلیل طول عمر کوتاه و ناپایداری هدف های ذراتی چون پایون و کایون، ساختار داخلی، کوارک ها و گلوبون های این ذرات کمتر شناخته شده اند. در واقع داده های تجربی چندانی برای این ذرات وجود ندارد.

پیشتر از آن نظریه وجود پایون و حتی مزون ها توسط دانشمند ژاپنی به نام هیدکی یوکاوا در سال ۱۹۳۵ پایه‌گذاری شده بود. او به دنبال

ذراتی می گشت که بتواند با نیروی قوی برهم کشنند و بر اساس

محاسبات خود جرم آن را سنگین تر از الکترون و سبکتر از پروتون محاسبه نمود که به همین دلیل به آنها مزون نام داد (مزون به معنای

میانه است). یوکاوا ابتدا تصور میکرد که میون عامل چنین برهم کنش

هایی است اما بعداً عامل برهم کشنش را پایون به دست آورد و به

خاطر این مسئله در سال ۱۹۴۹ جایزه نوبل فیزیک را بدست آورد.

علی‌رغم پیشرفت های فوق العاده ای که در حوزه‌ی ذرات بنیادی حاصل شده است هنوز بسیاری از جنبه‌های پدیده شناسی ذره

های بزرگ، انرژی های پایین) تعیین کند. در این برهم کشنش نتیجه

$$\frac{dg(x, Q^2)}{d\ln Q^2} = \frac{\alpha_s(Q^2)}{2\pi} \int_x^1 \frac{dz}{z} [\sum_i (\bar{q}_i(z, Q^2) p_{qq}\left(\frac{x}{z}\right) + g(z, Q^2) p_{gg}\left(\frac{x}{z}\right)) + g(z, Q^2) p_{gg}\left(\frac{x}{z}\right)] \quad (2)$$

در این روابط α_s ثابت جفت شدگی قوی در نظریه QCD است. Z کسر تکانه کوارک اولیه نسبت به تکانه پروتون و X هم کسر تکانه خروجی نسبت به تکانه \bar{q} پروتون می باشد.

$g(x, Q^2)$ تابع توزیع احتمال گلوبنون با کسر اندازه حرکت X در انرژی Q^2 ، Q^2 و $q_i(x, Q^2)$ و $(\bar{q}_i(x, Q^2)$ به ترتیب تابع توزیع احتمال کوارک و پادکوارک نوع i با کسر اندازه حرکت X در انرژی Q^2 می باشند. توابع شکافت $P_{ij}(Z)$ احتمال یافتن پارتون j (کوارک یا گلوبنون) از پارتون i (کوارک یا گلوبنون) ام با کسر Z از تکانه پارتون اولیه است.

برای حل معادلات DGLAP به یک تابع ورودی در مقیاس اولیه انرژی نیازمندیم. گروه های پدیده شناسی هر کدام به روشهای این تابع را حدس می زنند و با برآشنتایی خود با داده های تجربی پارامترهای آزاد مدل خود را بدست می آورند. ما در این پژوهش از رهیافت مدل ولون و شرایط فیزیکی حاکم بر آن برای انتخاب تابع ورودی استفاده می کنیم. از این رو در ادامه به توضیح این مدل پدیده شناسی خواهیم پرداخت.

انجام آنالیز و استخراج توابع توزیع پایون با استفاده از مدل ولون

مدل ولون یکی از مدل های پدیده شناختی است که علی رغم ساختار فیزیکی ساده، تصویر خوبی از ساختار داخلی هادرон ها ارائه می دهد. این مدل اولین بار توسط هووا (Hwa) برای محاسبه ای توابع توزیع غیر قطبیه پارتونی معرفی شد. در این مدل به جای آن که هادرون ها را مجموعه ای از ذرات نقطه ای در نظر بگیرند، آن ها را به صورت بسته هایی شامل کوارک های ظرفیتی، کوارک های دریا و گلوبنون های وابسته به این کوارک ظرفیتی در نظر می گیرند. این بسته ها را ولون می نامند. به عبارت دیگر مزون ها حاوی دو ولون و باریون ها حاوی سه ولون هستند. به طور مثال پروتون

نابودی پارتون و آنتی پارتون، تولید بوزون Z^0 یا فوتون مجازی است که آنها نیز به یک جفت لپتون تجزیه می شوند. از جمله داده های این نوع فرایند میتوان به داده های NA10 E615 و E866 اشاره کرد. [۸,۷,۶]

برهم کش تولید نوترون های پیشرو با هدف تعیین تابع ساختار پایون در حد کسر تکانه های کوچک پایون انجام می شود. از جمله داده های مهم این آزمایش داده های ZEUS (2002) و H1(2010) می باشد [۹, ۱۰].

چارچوب نظری آنالیز

پراکندهگی ناکشسان ژرف، DIS یک مدل اولیه برای فرایندهای هادرونی سخت و یک آزمایش مهم و بسیار موفق برای بررسی QCD اختلالی است. همچنین این آزمایش یک روش مستقیم برای کشف ساختار داخلی هادرون هاست. در این نوع پراکندهگی ماهیت ذره هدف تغییر کرده و ذره ورودی میتواند تغییر ماهیت بدهد. پراکندهگی ناکشسان ژرف تنها در انرژی های بالا رخ میدهد، همانند شکل یک پرتونی پر انرژی که عموماً لپتونی است و توسط یک شتابدهنده شتاب گرفته است به هادرون هدف برخورد کرده و پس از آن دریابی از هادرون های جدید را تولید می کند.

هدف از تحلیل QCD داده های بر همکنش ناکشسان عمیق، بدست آوردن توابع توزیع پارتونی از سطح مقطع یا تابع ساختار است. در نظریه QCD اختلالی، تحول توابع توزیع با Q^2 توسط معادلات دیفرانسیلی - انتگرالی DGLAP بیان می شود که معمولاً با پارامتری کردن توابع توزیع در یک مقیاس ورودی از انرژهای کم آغاز می شود و سپس توسط حل معادلات DGLAP تا مرتبه بالاتر از اختلال گسترش می یابد.

توابع توزیع پارتونی از معادلات معروف DGLAP زیر پیروی می کنند [۱۱].

$$\frac{dq_i(\beta, Q^2)}{\partial Q^2} = \frac{\alpha_s(Q^2)}{2\pi} \int_\beta^1 \frac{dz}{z} [q_i(z, Q^2) p_{qq}\left(\frac{x}{z}\right) + g(z, Q^2) p_{gg}\left(\frac{x}{z}\right)] \quad (1)$$

$$\begin{aligned}\bar{q}_{sea}(x, Q^2) &= \int_x^1 q_{\frac{sea}{valon}}\left(z = \frac{x}{y}, Q^2\right) G_U(y) dy \\ &\quad + \int_x^1 q_{\frac{sea}{valon}}\left(z = \frac{x}{y}, Q^2\right) G_{\bar{D}}(y) dy \\ g(x, Q^2) &= \int_x^1 q_{\frac{g}{valon}}\left(z = \frac{x}{y}, Q^2\right) G_U(y) dy \\ &\quad + \int_x^1 q_{\frac{g}{valon}}\left(z = \frac{x}{y}, Q^2\right) G_{\bar{D}}(y) dy\end{aligned}$$

در روابط فوق $q_{\frac{g}{valon}}(x, Q^2)$ ، $q_{\frac{sea}{valon}}(x, Q^2)$ ، $q_{\frac{valance}{valon}}(x, Q^2)$ ، تابع توزیع پارتونهای داخل ولون هستند که با استفاده از حل معادلات تحولی DGLAP در یک ولون به دست می آیند. نکته قابل توجه اینست که $u_v = \bar{d}_v$. برای حل این معادلات نیاز به تابع توزیع پارتونی اولیه در ولون داریم. محاسبات برای $\Lambda_{QCD} = 0.33 \text{ GeV}^2$ و مقیاس انرژی اولیه $Q_0^2 = 0.283 \text{ GeV}^2$ انجام شده است. هدف از انتخاب مقدار کم انرژی اولیه Q_0^2 ، بر اساس مدل فرضیه شناسی ولون است تا مطمئن باشیم که در این مقیاس بجز کوارک های ظرفیتی هیچ چیز دیگری قابل شناسایی نیست. از این رو به دلیل اینکه در Q_0^2 ولون شبیه یک کوارک ظرفیتی بدون ساختار می باشد؛ برای برقراری پایستگی انرژی- تکانه به سادگی می توان تابع توزیع اولیه را به صورت $\delta(z - 1)$ انتخاب کرد که $z = \frac{x}{y}$ است. این انتخاب بدین معناست که در مقیاس کم انرژی Q_0^2 ، پایتون در حالت پایه از دو کوارک ظرفیتی که کل تکانه آن را حمل می کنند، تشکیل شده است. بنابراین در فضای z باید تابع توزیع پارتونی اولیه در ولون را به صورت $q^v\left(\frac{x}{y}, Q^2\right) = \delta(z - 1)$ انتخاب کنیم.

مقایسه ای ممان های اول تا چهارم کار ما با گروه های دیگر: مقایسه ممان های اول تا سوم و حتی چهارم روش مناسبی برای مقایسه نتایج روش تئوری با داده های آزمایشگاهی است. در اینجا ما به بررسی ممان تابع توزیع کوارک های ظرفیت در پایتون می پردازیم که بر اساس رابطه زیر محاسبه می شود:

$$\langle x^n \rangle_f = \int_0^1 x^n f_v^\pi(x, Q^2) dx$$

$n = 1, 2, 3, 4$

شامل دو ولون U و یک ولون D است و پایتون از یک ولون D و یک ولون \bar{U} ساخته شده است.

هدف ما استفاده از مدل پدیده شناسی ولون برای محاسبه توابع توزیع پارتونی در پایتون است. محاسبه توابع توزیع پارتونی در مدل ولون طی دو مرحله انجام می شود:

در مرحله اول با اعمال شرایط مناسب توابع توزیع پارتونی در ولون ها، $q^{valon}(x, Q^2)$ ، از حل معادلات DGLAP محاسبه می شود [۱۲]. سپس در مرحله دوم با استفاده از انتگرال پیچش بین توابع توزیع پارتونی در ولون ها و توابع توزیع ولون ها، $G_{valon}^p(y)$ ، توابع توزیع پارتونی داخل پایتون $q^p(x, Q^2)$ بدست می آید. این انتگرال پیچش عبارت است از:

$$q^p(x, Q^2) = \sum_{valon} \int_x^1 dy G_{valon}^p(y) q^{valon}\left(\frac{x}{y}, Q^2\right) \quad (3)$$

تابع توزیع ولون $G_{valon}^p(y)$ ، باید در روابط زیر صدق کنند:

$$\int_x^1 G_{valon}^p(y) dy = 1$$

$$\sum_{valon} \int_x^1 G_{valon}^p(y) dy = 1$$

تابع توزیع ولون های U و \bar{D} در پایتون مثبت به این صورت خواهد بود [۱۳]:

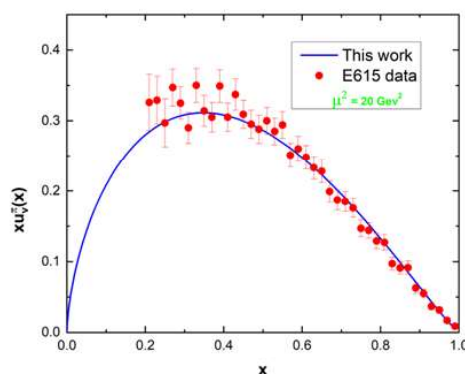
$$G_{U/p} = \frac{y^{\alpha}(1-y)^{\alpha+\beta+1}}{B(\alpha+1, \beta+1)} \quad G_{\bar{D}/p} = G_{U/p}$$

که در آن $\alpha = 0.01$ و $\beta = 0.06$ و $B(m,n)$ تابع بتا است. رابطه اول انتگرال بهنجارش این تابع است و رابطه دوم مفهوم پایستگی تکانه هادرон را بیان می کند. تابع توزیع ولون، احتمال یافتن یک ولون با کسر اندازه حرکت y از اندازه حرکت هادرон را توصیف می کنند.

با داشتن تابع توزیع ولون ها، تعیین تابع توزیع پارتون های داخل ذره مورد نظر امکان پذیر خواهد بود. این تابع توزیع به طور مثال برای پایتون مثبت عبارتند از: توزیع کوارک های ظرفیتی \bar{d}_v ، u_v ، کوارک های دریا \bar{q}_{sea} ، توزیع گلوئون g . پس رابطه i (۳) برای محاسبه ای تابع توزیع پارتونی پایتون به صورت زیر نوشته می شود:

$$u_v(x, Q^2) = \int_x^1 q_{\frac{valance}{valon}}(z = \frac{x}{y}, Q^2) G_U(y) dy$$

$$\bar{d}_v(x, Q^2) = \int_x^1 q_{\frac{valance}{valon}}(z = \frac{x}{y}, Q^2) G_{\bar{D}}(y) dy$$



شکل (۱) مقایسه تابع توزیع کوارک ظرفیت U با داده های تجربی E615

جدول (۱) مقایسه ممان های اول تا چهارم کار ما با کار گروههای دیگر در انرژی $4Gev^2$

group	$\mu^2(Gev^2)$	$\langle x \rangle$	$\langle x^2 \rangle$	$\langle x^3 \rangle$	$\langle x^4 \rangle$
Sutton (1992)	4	0.24	0.10	0.058	
Hecht (2001)	4	0.24	0.098	0.049	
Chen (2016)	4	0.24	0.11	0.052	
BSE (2018)	4	0.24			
BSE (2019)	4	0.24			
LatticeQCD (2007)	4	0.27	0.13	0.074	
DESY (2016)	4	0.44			
ETM (2018)	4	0.207	0.163		
JAM (2008)	4	0.245	0.108	0.057	0.035
This Work	4	0.234	0.106	0.060	0.038

جدول (۲) مقایسه ممان های اول تا چهارم کار ما با کار گروههای دیگر در

انرژی $27Gev^2$

group	$\mu^2(Gev^2)$	$\langle x \rangle$	$\langle x^2 \rangle$	$\langle x^3 \rangle$	$\langle x^4 \rangle$
Watanabe (2018)	27	0.23	0.094	0.048	0.054
Nam (2012)	27	0.214	0.087	0.044	0.037
Wijesooriya (2005)	27	0.217	0.087	0.043	
BLFQ-NJL	27	0.210	0.084	0.059	0.044
This Work	27	0.198	0.081	0.042	0.025

جدول (۳) مقایسه ممان های اول تا چهارم کار ما با کار گروههای دیگر انرژی $49Gev^2$

group	$\mu^2(Gev)$	$\langle x \rangle$	$\langle x^2 \rangle$	$\langle x^3 \rangle$	$\langle x^4 \rangle$
Sutton (1992)	49	0.20	0.008		
Martinell (1998) (Lattice QCD)	49	0.23	0.090		
BLFQ-NJL	49	0.202	0.079		
This Work	49	0.190	0.076	0.038	0.022

در جداول (۱)، (۲)، (۳) ممان های اول تا چهارم کوارک ظرفیتی پایون تعیین شده و با نتایج گروه های دیگر [۱۴] در انرژی های مشابه مقایسه شده است. سازگاری خوبی بین نتایج کار ما با کار گروه های دیگر مشاهده می شود.

در شکل زیر تابع توزیع کوارک های ظرفیتی در پایون محاسبه و با داده های تجربی E615 مقایسه شده است که نتایج تطابق قابل قبولی را نشان می دهند.

مرجع ها

- [1] J. Chadwick, Proc. R. Soc. A **136**, 692 (1932).
- [2] C.M.G. Lattes, G.P.S. Occhialini, and C.F. Powell, Nature (London) **160**, 453(1974).
- [3] H. Yukawa, Proc. Phys. Math. Soc. Jpn. **17**, 48 (1935)
- [4] Bourrely, Claude, and Jacques Soffer. Nuclear Physics A **981** (2019): 118-129.
- [5] arXiv preprint hep-ex/0205076 (2002).
- [6] Z. Phys. C Particles and Fields **28**, 9-14 (1985)
- [7] J.S. Conway et al., Phys. Rev. D **39**, 92 (1989).
- [8] R.S. Towell, et al. Physical Review D **64** (2001): 052002.
- [9] [H1 Collaboration], Eur. Phys. J. C **6**, 587 (1999).
- [10] [ZEUS Collaboration], Nucl. Phys. B **637**, 3 (2002).
- [11] F. A. Ceccopieri, Eur Phys J C **74**, 3029 (2014).
- [12] F. Arash, Physics Letters B **557** (2003): 38-44.
- [13] F. Arash, Physical Review D **69** (2004).
- [14] Lan, Jiangshan, et al. Physical Review D **101** (2020): 034024.

بررسی قیدهای مشاهدات غیرمستقیم ماده تاریک بر مدل دوتایی بی اثر

شهو عبدالسلام ، علیرضا ظفری

گروه فیزیک بنیادی، دانشگاه شهید بهشتی، تهران

چکیده

در این مقاله سعی داریم تا در چارچوب مدل بی اثر دوگانه، ارتباط سیگنانهای موجود در مرکز کهکشان راه شیری را با فرآیندهای نابودی ماده تاریک توضیح دهیم و با استفاده از پکیج های *MicrOmegas*، سطح مقطع فرآیندهای نابودی ماده تاریک را بررسی کنیم تا فضای پارامتری مدل بی اثر دوگانه را محدود کنیم. نتایج این مقایسه بیانگر این نتیجه هستند که ناحیه زیادی از فضای پارامتری مدل دوتایی بی اثر با فرضیه نابودی ماده تاریک و تولید سیگنانهای اضافی فوتون در مرکز کهکشان راه شیری تطبیق دارد.

واژه های کلیدی: مدل بی اثر دوگانه، نابودی ماده تاریک، ماده تاریک، مرکز کهکشان راه شیری، کهکشان های کروی کوتوله، سطح مقطع نابودی ماده تاریک

Dark matter indirect search constraint on inert doublet model

Shehu AbdusSalam, Alireza Safari

Department of Physics, Shahid Beheshti University, Tehran

Abstract

This article addresses an analysis based on the possible relation between the excess photon signals in the center of the Milky Way galaxy and dark matter annihilation processes within the context of an inert doublet model (IDM). The annihilation cross-sections within the IDM parameter space were computed using *MicrOmegas* package for computing particle dark matter candidate characteristics of beyond the standard models of particle physics. The result shows that most of the IDM parameter space regions are compatible with the hypothesis of dark matter particle annihilation as the source of the excess photon signals from the center of the Milky Way galaxy.

Keywords: Inert Doublet model, dark matter annihilation, dark matter, galactic center, milky way, dwarf spheroidal galaxy, annihilation cross section

PACS No. 12

برهمکنش، ذرات مدل استاندارد خواهند بود. باید توجه داشت که نوع ذرات حاصل از این برهمکنشها به میزان قابل توجهی به مدل برهمکنشی در نظر گرفته شده برای توصیف این سیستم بستگی دارد. در این مقاله تمرکز بر روی مدل بی اثر دوگانه می باشد. در چارچوب این مدل به دلیل در نظر گرفتن تقارن گستته $Z(2)$ ، ذرات ماده تاریک تنها قادر به واپاشی یا نابودی زوج ذره به تعداد فرد از ذرات مدل استاندارد خواهند بود، همچنین محصول واسطه در این واکنش ها، ذره هیگر و بوزون های پیمانه ای برهمکنش ضعیف خواهند بود و در نهایت با واپاشی این بوزون های پیمانه ای به فرمیون های مدل استاندارد، زنجیزه ای از برهمکنش های قابل ردیابی به وقوع می پیوندد. باید در نظر داشت که ذرات پایدار در

مقدمه

یکی از روش های شناسایی ماده تاریک در ابعاد بزرگ تر، به صورت غیرمستقیم است. در این روش با استفاده از اداده های نجومی موجود در کهکشان ها، به بررسی مدل های موجود در شاخه ذرات بنیادی پرداخته می شود تا در نهایت ماهیت این ماده ناشناخته مشخص شود. روش کار به این صورت است که از تاثیرات جانبی وجود ماده تاریک در کهکشان ها استفاده می شود تا ماهیت و ویژگی های مرتبط با آن استخراج شود. یکی از این اثرات جانبی که در چارچوب مدل بی اثر دوگانه رخ می دهد، بدین شکل است که اگر این ماده با پاد-ماده متناظر خود برهمکنشی انجام دهد، فرایند نابودی زوج ذره اتفاق می افتد و محصولات حاصل از این

تحت تقارن Z_2 , به محتوای ذرات مدل استاندارد اضافه می شود. در دومین دوتایی هیگز، سبک ترین ذره خشی \mathbf{S} پایدار است و بنابراین کاندید مناسبی برای ماده تاریک است همانطور که قبلاً بیان کردیم، از آنجایی که انتظار داریم ماده تاریک موردنظر با فوتون برهمکنش نداشته باشد، لازمه ای این فرض این است که کاندیدای مدنظر به عنوان ماده تاریک از لحاظ الکتریکی خشی باشد، یعنی بار الکتریکی Q_{EM} برابر با:

$$Q_{EM} = 0 \rightarrow T_3 + \frac{Y}{2} = 0 \quad (1)$$

$$T_3 \begin{pmatrix} 0 \\ S \end{pmatrix} = \frac{-1}{2} \rightarrow |Y| = 2 * \left(\frac{1}{2} \right) = 1 \quad (2)$$

کلی ترین شکل پتانسیلی که می توانیم برای مدل بی اثر دوگانه بنویسیم به شکل زیر است {1}:

$$\begin{aligned} V &= \mu_h^2 |H|^2 + \lambda_h |H|^4 + \mu_Q^2 Q^\dagger Q + \\ &\lambda_l [(QQ)_l (\bar{Q}\bar{Q})_l]_0 + \alpha (H^\dagger H)(Q^\dagger Q) \\ &+ \beta [(\bar{H}H)_l (\bar{Q}Q)_l]_0 + \{\kappa_l [(HH)_l (\bar{Q}\bar{Q})_l]_0 + H.c.\} \end{aligned} \quad (3)$$

که در این رابطه:

$$H = \begin{pmatrix} H^+ \\ H^0 \end{pmatrix} = \frac{1}{\sqrt{2}} \begin{pmatrix} x_1 + ix_2 \\ h + ix_3 \end{pmatrix} \& Q = \frac{1}{\sqrt{2}} \begin{pmatrix} y_1 + iy_2 \\ S + iR \end{pmatrix} \quad (4)$$

$$\bar{H} = VH^* = \frac{1}{\sqrt{2}} \begin{pmatrix} h - ix_3 \\ -x_1 + ix_2 \end{pmatrix} \& \bar{Q} = VQ^* = \frac{1}{\sqrt{2}} \begin{pmatrix} S - iR \\ -y_1 + iy_2 \end{pmatrix} \quad (5)$$

در رابطه پتانسیل، $\beta \equiv K$ نمایشگر پارامترهای آزاد مدل بی اثر دوگانه هستند. h همان میدان هیگز خشی در مدل استاندارد ذرات بنیادی است که مقدار چشمداشتی خلا آن برابر است با $v \approx 246 \text{ GeV}$ و x_1, x_2 و x_3 بوزون های گلدرسون الکتروضعیف هستند. عبارت جرمی برای میدان خشی اسکالار ماده تاریک S ، میدان شبه اسکالار R و میدان اسکالار باردار Y^\pm پس از شکست تقارن الکتروضعیف به صورت زیر خواهد بود:

$$\begin{aligned} M_S^2 &= \mu_Q^2 + \left(\frac{\alpha}{2} + \frac{\sqrt{3}}{3} K - \frac{\sqrt{3}}{12} \beta \right) v^2, \\ M_R^2 &= \mu_Q^2 + \left(\frac{\alpha}{2} - \frac{\sqrt{3}}{3} K - \frac{\sqrt{3}}{12} \beta \right) v^2, \\ M_{Y^\pm}^2 &= \mu_Q^2 + \left(\frac{\alpha}{2} + \frac{\sqrt{3}}{12} \beta \right) v^2 \end{aligned} \quad (6)$$

برای اینکه بتوانیم میدان S را نامزدی از ماده تاریک بدانیم که پایدار است، شرط $M_S < M_R, M_{Y^\pm}$ باید برقرار باشد. براین اساس،

مدل استاندارد شامل الکترون، پوزیترون، پروتون، پاد پروتون، فوتون و نوتريونها هستند. پس به نوعی می توان انتظار داشت که در مکانهایی از کیهان که ذرات ماده تاریک دچار نابودی زوج می شوند، این ذرات پایدار نیز باید به نوعی حضور داشته باشند. در نتیجه ماموریت اصلی در روش شناسایی غیر مستقیم ماده تاریک، یافتن مکانهای تجمع بیش از حد و غیر قابل انتظار این ذرات پایدار است.

مشکلات روش غیرمستقیم شناسایی ماده تاریک:

برای شناسایی نقاطی از کیهان که در آن ذرات پایدار مدل استاندار بیش از مقدار معمول انباسته شده اند نیاز به تلسکوپ های بسیار قدرتمند با دقت بسیار بالا داریم تا این نقاط را با دقیق قابل قبول پیدا کنیم، اما به دلیل وسعت کیهان و وجود بسیاری از اثرات جانبی مانند برهمکنش ذرات پایدار با غبارهای کیهانی یا دیگر منابعی که این ذرات را تولید می کنند و با آنها برهمکنش ایجاد می کنند، انجام این ماموریت بسیار دشوار خواهد بود. از دیگر مشکلات این ذرات پایدار، برهمکنش آنها با دیگر ذرات باردار یا میدان های الکترومغناطیسی موجود در مسیر حرکت آنها می باشد. از این رو برای ساده سازی محاسبات و دقت آزمایش ها می توانیم از ذرات پایدار خشی مانند فوتون یا نوتريونها استفاده کنیم. اما به دلیل وجود دیگر منابع فوتون در کیهان مانند تابش پس زمینه کیهانی، ستاره های نوترونی، کهکشان های فعال، تپ اخترها، سیاه چاله ها و ... عملای شناسایی فوتون های مورد نظر بسیار دشوار می شود. همچنین نوتريونها هم به دلیل وجود مشکلات مشابه با فوتون ها و نوسانات موجود در طیف خود و برهمکنش بسیار ضعیف به منظور شناسایی در دستگاه های رهیابی زمینی، انتخاب مناسبی برای روش شناسایی غیر مستقیم به حساب نمی آیند.

مدل دوتایی بی اثر:

مدل دوتایی بی اثر از ساده ترین بسطهای مدل استاندارد، توسط دوتایی هیگز دوم بدون اتصال مستقیم به فرمیون ها است. یکی از ساده ترین سناریوهایی که می تواند انتقال فاز ضعیف و ماده تاریک را توضیح دهد همین سازوکار است. در IDM، دوتایی هیگز دوم،

کهکشان های کروی کوتوله:

با در نظر گرفتن آمار هاله های ماده تاریک و مشاهدات نجومی مرتبط به کهکشان های کروی کوتوله در می باییم که مرکز این کهکشان ها، کانون تجمع ماده تاریک هستند {۳۲و۳}. پس برای آزمایش این نظریه باید به دنبال سیگنال هایی از ذرات پایدار مدل استاندارد باشیم که بیشتر از حد معمول در این مکان قرار دارند. با بررسی این کانون ها و طفف فوتون های دریافتی از آن ها، می توانیم ضرایب مجهول مدل خود را که از قبل برای توصیف ماده تاریک آماده کرده بودیم، بیابیم. پس از پیدا کردن این ضرایب می توانیم به مدلی غنی برای توصیف ذرات ماده تاریک دست یابیم که از برآش داده های کهکشان های کروی کوتوله به دست آمده است. سپس برای آزمون مدل خود می توانیم از دیگر کهکشان های کروی کوتوله استفاده کنیم و نتایج تئوری و نظری خود را با هم مقایسه کنیم. نتایج حاصل از آزمایش هایی که در طول سال های ۲۰۰۷-۲۰۱۷ انجام شده شده است {۴}، گویای این است که مدل IDM به درستی می تواند توزیع شار فوتون های ناشی از نابودی زوج ذره ماده تاریک را توصیف کند.

کهکشان راه شیری:

پس از استخراج داده ها از مرکز کهکشان و حذف منابع شناخته شده فوتون از آن ها، می توانیم مقادیر بیش بینی شده شار فوتون ها از مدل IDM را با مقادیر تجربی آن مقایسه کنیم. برای محاسبه شار فوتون پیش بینی شده از مدل IDM از پکیج MicrOmegas {۵و۶} استفاده خواهیم کرد. در واقع ابتدا مدل مورد نظر خود را در این پکیج تعریف می کنیم و سپس با استفاده از قابلیت های موجود در این پکیج، شار فوتون ها و سطح مقطع فرآیندی نابودی زوج را برای مقیاس انرژی مورد نظر خود به دست می آورديم. لازم به ذکر است که در ابتدا داده های بسیاری زیادی از فضای پارامتری مدل IDM تهیه کردیم که در هر حالت جرم ماده تاریک، ضرایب جفت شدگی و دیگر ذرات جدیدی که در دوتایی اولیه به ذره هیگز اضافه شده است، متفاوت هستند. در واقع تمام حالت های مجاز برای توصیف مدل IDM را در نظر می گیریم و با مقایسه این حالت ها با داده های تجربی سعی در یافتن بهترین فضای پارامتری ممکن برای

برای برقراری این شرط باید $0 < K + \frac{\sqrt{3}}{3}\beta < 0$ نیز

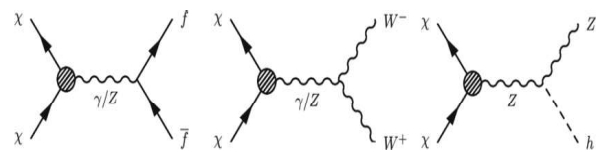
باید برقرار باشد. حال اگر از نمادگذاری پورتال هیگز استفاده کنیم:

$$\Lambda_1 = \frac{\alpha}{2} + \frac{\sqrt{3}}{3}K - \frac{\sqrt{3}}{12}\beta \quad \bar{\Lambda}_1 = \frac{\alpha}{2} - \frac{\sqrt{3}}{3}K - \frac{\sqrt{3}}{12}\beta \quad (7)$$

این ضرایب مرتبط با ضرایب جفت شدگی درجه سه و درجه چهار بین ذره هیگز مدل استاندارد و نامزد ماده تاریک S یا میدان شبه اسکالر R می باشد. پارامترهای α و β مشخص کننده عبارت جرمی و توصیف گر برهمکنش میان h و میدان اسکالر باردار Y می باشند.

$$\begin{aligned} \alpha &= 2\Lambda_1 - \frac{1}{2v^2}(3M_S^2 - 2M_{Y^\pm}^2 - M_R^2), \\ \beta &= -\frac{\sqrt{3}}{v^2}(M_S^2 + M_R^2 - 2M_{Y^\pm}^2), \\ K &= \frac{\sqrt{3}}{2v^2}(M_S^2 - M_R^2) \end{aligned} \quad (8)$$

در مجموع، مدل دوتایی بی اثر پنج پارامتر آزاد دارد که شامل $M_S, M_R, M_{Y^\pm}, \lambda_1, \Lambda_1$ می باشد. در این مدل برای برآش داده ها، بازه پارامترهای جرمی را $I-1000 GeV$ ، پارامتر Λ_1 از $[1, -1]$ و λ_1 را 0.1 در نظر گرفتیم.



شکل ۱: نمودارهای فایمن برای فرآیندهای نابودی ماده تاریک در مرکز کهکشان راه شیری که منجر به تولید سیگنال های اضافی قابل توجه می شوند.

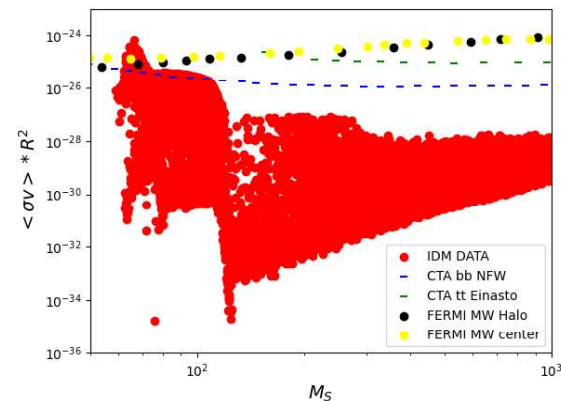
مطابق چگالی لاگرانژی مدل دوگانه بی اثر که به صورت کامل به آن اشاره شد، پس از شکست خود به خودی تقارن، می توانیم انواع متعددی از جفت شدگی نامزد ماده تاریک با ذرات دیگر را استخراج کنیم. در شکل ۱، به صورت شماتیک به مثال هایی از این فرآیندها که به تولید فوتون های اضافی در مرکز کهکشان به واسطه نابودی ماده تاریک χ منجر می شوند، اشاره شده است. راس حبابی شکل، اشاره به جفت شدگی غیرمستقیم ماده تاریک با بوزن ها به ویژه بووزن هیگز دارد.

کنیم و در نهایت به مدلی دست یابیم که به خوبی می‌تواند وجود سیگنال‌های اضافی در مرکز کهکشان‌ها را توضیح دهد و سهم قابل توجهی از ماده تاریک موجود در جهان را به واسطه این مدل توصیف کنیم. لازم به ذکر است محاسباتی که برای نمونه نقاط مدل از تحلیل مدل بی اثر دوگانه‌ای می‌باشد که در مقاله‌های {۹۴} و {۹۵} به آن پرداخته شده است. نمونه‌های مورد بررسی در این مقاله از برازش عام آمار بیزی مدل با در نظر گرفتن قیدهای برخورد دهنده‌ها و جست و جوهای ماده تاریک و نیاز به تغییر فاز الکترووضعیت قوی مرتبه اول که در مقاله {۱۱} به آن اشاره شده است، به دست آمده‌اند. برای مقایسه، به عنوان مثال نتایجی که در مقاله {۹۶} ارائه شده است، نیاز به وجود تغییر فاز الکترووضعیت قوی مرتبه اول در نظر گرفته نشده است و به همین دلیل انتظار می‌رود که بازه جرمی به دست آمده در این مقاله و مقاله {۹۷} یکسان نباشد اما نتایجی که در شکل ۲ ارائه شده است، کلی تر بوده زیرا شامل نواحی قابل قبولی می‌شود که در مقاله {۸۸} به آن اشاره شده است.

مرجع‌ها:

- Shehu AbdusSalam, Leila Kalhor, and Mohammad Mohammadidoust Eur.Phys.J.C 82 (2022) 10, 892, arXiv:2208.13705
- Fermi-LAT Collaboration, Phys. Rev. Lett. 115(23), 231301 (2015).
- Albert, Andrea, et al. *The Astrophysical Journal* 834.2 (2017): 110. arXiv:1402.0787
- Eiteneuer, Benedikt, Andreas Goudelis, and Jan Heisig. *The European Physical Journal C* 77 (2017): 1-17. arXiv:1705.01458
- Belanger, G., F. Boudjema, and A. Pukhov. *arXiv preprint arXiv:1402.0787* (2014).
- G. Belanger, F. Boudjema, A. Pukhov, A. Semenov, *Comput.Phys.Commun.* 185 (2014) 960-985, arXiv:1305.0237
- Silverwood, Hamish, et al. *Journal of Cosmology and Astroparticle Physics* 2015.03 (2015): 055. arXiv:1408.4131
- Charles, Eric, et al. *Physics Reports* 636 (2016): 1-46. arXiv:1605.02016
- Cheng-Rui Zhu, Ming-Yang Cui, Zi-Qing Xia, Zhao-Huan Yu, Xiaoyuan Huang, Qiang Yuan, and Yi-Zhong Fan, *Phys.Rev.Lett.* 129 (2022) 23, 231101, arXiv:2204.03767

توصیف ماده تاریک موجود در مرکز کهکشان داریم. در نهایت اگر به درستی بتوانیم فضای پارامتری موجود برای این مدل را تشخیص دهیم به سراغ توصیف ماده تاریک موجود در کل عالم خواهیم رفت. با استفاده از داده‌ها نظری پکیج مورد استفاده و مشاهدات تجربی به دست آمده از سطح مقطع نابودی زوج ماده تاریک به نموادر زیر دست می‌یابیم. در شکل ۲، نقاط قرمز رنگ داده‌های موجود در فضای پارامتری مدل می‌باشند. خطهای رنگی مربوط به داده‌های CTA تجربی فوتون‌های اضافی در مرکز کهکشان هستند که توسط {۷} جمع آوری شده‌اند و برای دو آمار هاله‌ای مطرح توصیف ماده تاریک رسم شده‌اند.



شکل ۲: مقایسه داده‌های نظری مدل دوتایی بی اثر و داده‌های مشاهداتی سطح مقطع فرآیندهای نابودی ماده تاریک در مرکز کهکشان راه شیری

داده‌های زرد و مشکی هم مربوط به فوتون‌های موجود در مرکز کهکشان‌های کروی کوتوله است که در طول ۱۵ سال و توسط تلسکوپ FERMI {۸} جمع آوری شده است. لازم به ذکر است که این داده‌ها برای فرایندهای مشخصی در نظر گرفته شده‌اند. از مقایسه این داده‌ها که حد بالای سطح مقطع مجاز برای نابودی ماده تاریک هستند، می‌توانیم قسمتی از فضای پارامتری مدل بی اثر دوگانه را حذف کنیم و سپس به سراغ دیگر موارد قابل آزمایش برویم که مربوط به ذره‌های پایدار دیگر مانند نوتريون، پروتون، الکترون و پوزیترون می‌باشد.

نتیجه‌گیری:

با استفاده از مدل دوتایی بی اثر در مرکز کهکشان‌های کروی می‌توانیم فضای پارامتری موجود در این مدل را محدود و محدودتر

تخمین نسبت شاخه‌ای واپاشی $B_s^0 \rightarrow D^*-D_s^+$

خداداد، سمية^۱; محمدی، بهنام^۲; لطفی‌زاده، مهدی^۳

^{۱,۲,۳}دانشکده فیزیک دانشگاه ارومیه، کیلووتمر ۵ جاده نازلور، ارومیه

چکیده

هدف اصلی این مقاله محاسبه نسبت انشعاب دو واپاشی می‌باشد، که نخستین بار توسط $LHCb$ و همکاران در سال ۲۰۲۱ ارائه گردید. اولین واپاشی مورد بررسی $B_s^0 \rightarrow D^*-D_s^+$ که در آن مزون‌های خروجی یکی شبه اسکالر و دیگری برداری می‌باشد مقدار تجربی اندازه‌گیری شده برابر $(3.9 \pm 0.8) \times 10^{-4}$ است و در این مقاله با استفاده از روش QCD و تقریب (NLO) مقدار محاسبه شده برابر $(3.228 \pm 0.5) \times 10^{-4}$ می‌باشد. دومین واپاشی مورد بررسی می‌باشد که نخستین بار توسط $Belle$ و همکاران ارائه گردید مقدار تجربی گزارش شده $(8.0 \pm 1.1) \times 10^{-3}$ و مقدار محاسبه شده در این مقاله $(8.0 \pm 0.6) \times 10^{-3}$ می‌باشد در قسمت پایانی مقاله مقدار نسبت انشعاب این دو واپاشی مقدار (0.04 ± 0.008) گزارش شده که دارای تقریب بسیار نزدیک به مقدار تجربی ارائه شده در گزارش $LHCb$ (0.049 ± 0.002) می‌باشد.

واژه‌های کلیدی: نسبت شاخه‌ای، مزون شبه اسکالر، مزون برداری.

Estimating the branching fraction of the $B_s^0 \rightarrow D^*-D_s^+$

Khodadad, Somayyeh¹; Mohammadi, Behnam²; Lotfizadeh, Mehdi³

^{1,2,3}Department of Physics, University of Urmia, Urmia

Abstract

In this paper we have studied about the branching ratio of the decays that has been reported by the $LHCb$ collaboration for the first time. According to this branching ratio we have investigated two different decays, individually. First decay is related to the $BR(B_s^0 \rightarrow D^*-D_s^{*+})$. It has a vector meson and a pseudoscalar meson. We calculated the branching fraction of the $BR(B_s^0 \rightarrow D^*-D_s^{*+})$ by QCD approach and (NLO) . Experimental value and our results for this decay are $(3.9 \pm 0.8) \times 10^{-4}$ and $(3.228 \pm 0.5) \times 10^{-4}$, respectively. The second decay is $BR(B^0 \rightarrow D^*-D_s^+)$. It has a vector meson and a pseudoscalar meson, too. Where that has been measured for the first time by $BeLLe$ collaboration. The experimental value and our calculation are $(8.0 \pm 1.1) \times 10^{-3}$ and $(7.268 \pm 0.6) \times 10^{-3}$, respectively. In the last part of the article we estimated the value of the branching ratio of the $\frac{BR(B_s^0 \rightarrow D^*-D_s^{*+})}{BR(B^0 \rightarrow D^*-D_s^+)} = 0.04 \pm 0.008$ and the experimental value of it that reported by $LHCb$ in the 2021 is $0.049 \pm 0.006 \pm 0.003 \pm 0.002$.

Keywords: Branching ratio, vector meson, pseudoscalar meson.

PACS No. 13

D می‌توان برای بررسی عناصر ماتریس CKM استفاده کرد[۱].

مقدمه

هدف اصلی این مقاله بیشتر تاکید بر محاسبه نسبت شاخه‌ای دو واپاشی $B_s^0 \rightarrow D^*-D_s^+$ و $B^0 \rightarrow D^*-D_s^+$ می‌باشد. برای بررسی این نسبت، نسبت شاخه‌ای دو واپاشی $BR(B_s^0 \rightarrow D^*-D_s^+)$ و

مزون B_s^0 دارای دو کوارک s و b می‌باشد. واپاشی‌های ضعیف مزون B_s^0 اطلاعات ارزشمندی برای کشف مدل استاندارد ارائه می‌دهد. همچنین از واپاشی‌های مزون B به دو مزون سنگین

ضرایب ξ به عنوان پارامتر فاکتورگیری می‌باشد و در اپراتورهای $Q_5 \dots Q_8$ ظاهر می‌شود و از رابطه زیر بدست می‌آید،

$$\xi = \frac{2m_{D_s^*}^2}{m_b} \cdot \frac{f_{D_s}}{f_{D^*}} \quad (2)$$

در نهایت دامنه واپاشی $B_s^0 \rightarrow D^* D_s^+$ به شکل زیر در می‌آید،

$$A(B_s^0 \rightarrow D^* D_s^+) = \frac{G_f}{\sqrt{2}} [V_{cb} V_{cd}^* a_i - V_{tb} V_{td}^* (a_4 + a_{10} + \xi(a_6 + a_8))] \times \langle B_s^0 \rightarrow D^* \rangle \langle 0 \rightarrow D_s^+ \rangle. \quad (3)$$

که ضرایب a_n از رابطه زیر بدست می‌آید:

$$a_n = C_n + \frac{C_{n+1}}{3} \quad (4)$$

مقدار ماتریس انتقال $\langle B_s^0 \rightarrow D_s^+ \rangle$ باتوجه به این که ذره موجود در قسمت عامل شکل برداری است از رابطه زیر حاصل می‌شود[۶]:

$$\langle B_s^0(p_{B_s}) \rightarrow D_s(p_l) \rangle = [(p_l + p_{B_s})_\mu - \frac{m_{B_s}^2 - m_{D_s}^2}{P_2^2} p_{2\mu}] \times F_l^{B_s^0 \rightarrow D_s^+}(m_{D_s^*}^2) + \frac{m_{B_s}^2 - m_{D_s}^2}{P_2^2} p_{2\mu} F_0^{B_s^0 \rightarrow D_s^+}(m_{D_s^*}^2). \quad (5)$$

پارامترهای F_0 , F_l هر دو مربوط به عامل شکل هستند که از رابطه های موجود در $[8,7]$ بدست می‌آیند.

ماتریس عناصر مربوط به برآکت ثابت واپاشی $\langle 0 \rightarrow D^* \rangle$ از رابطه زیر بدست می‌آید[۶]،

$$\langle 0 \rightarrow D^* \rangle = i f_{D^*} m_{D^*} \epsilon_\mu. \quad (6)$$

در نهایت از حاصل ضرب دو برآکت عامل شکل و ثابت واپاشی رابطه مربوط به ماتریس عناصر انتقال دامنه واپاشی مورد نظر به فرم زیر در می‌آید،

$$\langle B_s^0(p_{B_s}) \rightarrow D_s(p_l) \rangle \langle 0 \rightarrow D^* \rangle = - f_{D_s} m_{B_s} |p_c| \times F_l^{B_s^0 \rightarrow D_s^+}(m_{D_s^*}^2) \quad (7)$$

تکانه سه بردار می‌باشد و از رابطه زیر بدست می‌آید،

$$p_c = \sqrt{(p^0)^2 - m_{D_s}^2}, \quad p^0 = \frac{m_{B_s}^2 + m_{D_s}^2 - m_{D_s^*}^2}{2m_{B_s}}. \quad (8)$$

p^0 جزء صفرم چهار بردار انرژی-تکانه می‌باشد. با جایگذاری رابطه (۷) در رابطه (۳) دامنه واپاشی کل به صورت زیر بدست می‌آید،

QCDF $BR(B^0 \rightarrow D^* D_s^+)$ از روش فاکتورگیری برای انجام محاسبات استفاده شده است. اولین مشاهدات مربوط به واپاشی $B_s^0 \rightarrow D^* D_s^+$ توسط گروه LHCb گزارش شده[۲] و مقدار تجربی نسبت شاخه‌ای اندازه‌گیری شده برای واپاشی $BR(B_s^0 \rightarrow D^* D_s^+)$ برابر $10^{-4} \times 3,9 \pm 0,8$ می‌باشد[۳] و مقداری که ما در این مقاله محاسبه کردہ‌ایم برابر $10^{-4} \times 3,228 \pm 0,5$ می‌باشد. در این واپاشی با توجه به این که کوارک تماشگر وجود ندارد شکل گراف‌های فاینمن با شکل‌های رایج فرق می‌کند و به صورت شکسته می‌باشد، شکل شماره ۱(a,b) گذار به صورت $\bar{b} \rightarrow \bar{c} c \bar{d}$ می‌باشد. با توجه به شکل شماره ۱(a,b) ذره‌ای که به خلا می‌رود برآکت ثابت واپاشی به صورت $\langle 0 \rightarrow D^* \rangle$ و عنصر ماتریس CKM آن V_{cd} می‌باشد. برآکت عامل شکل $\langle B_s^0 \rightarrow D_s^+ \rangle$ و عنصر ماتریس CKM مربوط به آن V_{cb}^* می‌باشد.

نخستین اندازه‌گیری‌های مربوط به واپاشی توسط گروه BaBar و Belle ارائه شد[۴]، که مقدار تجربی آن برابر $10^{-3} \times 8,0 \pm 1,1$ می‌باشد. در این واپاشی با توجه به شکل ۱(c,d) گراف‌های فاینمن دارای دو سهم a_1 درختی و a_4 پنگوئنی است و گذار از $\bar{b} \rightarrow \bar{c} c \bar{s}$ و d به عنوان کوارک تماشگر می‌باشد. عناصر ماتریس CKM آن به صورت $V_{cb} V_{cs}^*$ می‌باشد.

واپاشی $B_s^0 \rightarrow D^* D_s^+$

در مدل استاندارد هامیلتونی موثر در مقیاس $\mu = m_b$ به صورت زیر محاسبه می‌گردد[۵]،

$$H_{eff} = \frac{G_f}{\sqrt{2}} [V_{cb} V_{cd}^* C_1 Q_1 - V_{tb} V_{td}^* \times (C_4 Q_4 + C_{10} Q_{10} + \xi(C_6 Q_6 + C_8 Q_8))]. \quad (1)$$

ضرایب $C_1 \dots C_{10}$ ضرایب موثر ویلسون می‌باشند[۵] که از روش NLO در مقیاس $\mu = m_b$ محاسبه شده و اپراتور جریان-جریان می‌باشد که از تبادل بوزون W ناشی می‌شود، $Q_4 \dots Q_{10}$ اپراتورهای پنگوئنی QCD و الکتروضعیف می‌باشند[۵]. همچنین

$$A(B^0 \rightarrow D^{*-} D_s^+) = -\frac{2G_f}{\sqrt{2}} f_{D_s} m_{B_s} |p_c| [V_{cb} V_{cs}^* a_I - V_{tb} V_{ts}^* (a_4 + a_{10} + \xi(a_6 + a_8))] A_0^{B^0 \rightarrow D^*} (m_{D_s}^2). \quad (15)$$

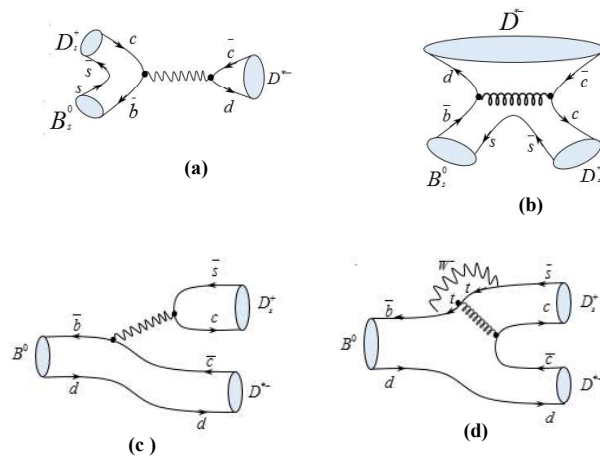
با جایگذاری رابطه (15) در رابطه (۱۰) نسبت شاخه ای و اپاشی $BR(B^0 \rightarrow D^{*-} D_s^+)$ بصورت زیر و به مقدار $\times 10^{-3}$ بدلست می آید،

$$Br(B^0 \rightarrow D^{*-} D_s^+) = \frac{\Gamma(B^0 \rightarrow D^{*-} D_s^+)}{(\Gamma_{\text{tot}})_{B^0}}. \quad (16)$$

اصلی ترین قسمت این مقاله محاسبه نسبت انشعاب دو و اپاشی

می باشد، که نخستین بار توسط گروه LHCb در سال ۲۰۲۱ به مقدار $0,049 \pm 0,006 \pm 0,003 \pm 0,002$ اندازه گیری شد، در این مقاله مقدار محاسبه شده بصورت زیر است،

$$\frac{BR(B_s^0 \rightarrow D^{*-} D_s^+)}{BR(B^0 \rightarrow D^{*-} D_s^+)} = 0,04 \pm 0,008 \quad (9)$$



شکل ۶ : (a,b) گراف های فاینمن مربوط به و اپاشی $B_s^0 \rightarrow D^{*-} D_s^+$
(c,d) گراف های فاینمن مربوط به و اپاشی $B^0 \rightarrow D^{*-} D_s^+$

مقادیر عددی

جدول شماره ۱: مقادیر عددی استفاده شده در محاسبات [۱۱]

$a_I = 1, 01767$	$G_f = 1,166 \times 10^{-6}$ [۱۰]
$a_4 = -0, 02200$	$m_{B^0} = 5279,66 \pm 0,12$ Mev [۳]
$a_6 = -0, 02467$	$m_{D^*} = 2010,26 \pm 0,05$ Mev [۳]
$a_8 = 0, 00022$	$m_{D_s} = 1968,35 \pm 0,07$ Mev [۳]

$$A(B_s^0 \rightarrow D^{*-} D_s^+) = -\frac{G_f}{\sqrt{2}} f_{D_s} m_{B_s} |p_c| [V_{cb} V_{cd}^* a_I - V_{tb} V_{td}^* (a_4 + a_{10} + \xi(a_6 + a_8))] A_1^{B_s^0 \rightarrow D^*} (m_{D_s}^2). \quad (9)$$

برای بدست آوردن نسبت شاخه ای و اپاشی مورد نظر از رابطه کلی زیر استفاده می شود،

$$\Gamma(B_s^0 \rightarrow D^{*-} D_s^+) \rightarrow \frac{|A|^2}{8\pi m_{B_s}^2} p_c, \quad (10)$$

$$Br(B_s^0 \rightarrow D^{*-} D_s^+) = \frac{\Gamma(B_s^0 \rightarrow D^{*-} D_s^+)}{(\Gamma_{\text{tot}})_{B_s^0}}.$$

با جایگذاری مقادیر عددی که در جدول شماره ۱ آورده شده اند نسبت شاخه ای و اپاشی $B_s^0 \rightarrow D^{*-} D_s^+$ مقدار $\times 10^{-4}$ بدلست آمد که با مقدار تجربی ارائه شده $\times 10^{-4}$ دارای تقریب بسیار عالی می باشد.

واپاشی $B^0 \rightarrow D^{*-} D_s^+$

واپاشی $B^0 \rightarrow D^{*-} D_s^+$ دقیقاً شبیه واپاشی محاسبه شده در قسمت قبل است با این تفاوت که ذرات موجود در ثابت واپاشی و عامل شکل جابجا شده اند چون گذارهای دو واپاشی فرق می کند، بنابراین ذره ای که به خلا می رود شبه اسکالار است و ذره ای که در عامل شکل است برداری است و این باعث می شود روابط (۵) و (۶) فرق کند و به صورت زیر نوشته شوند،

$$\langle B^0(p_{B_s}) \rightarrow D^{*-}(\epsilon_{D^*}, p_l) \rangle = \frac{2}{m_{B_s} + m_{D^*}} i \epsilon_{\mu\nu\rho\beta} \epsilon^{*\nu} p_{B_s}^\alpha p_l^\beta V^{B^0 \rightarrow D^*} (m_{D_s}^2) - (m_{B_s} + m_{D^*}) [(\epsilon_{D^*}^*)_\mu - \frac{\epsilon_{D^*}^* \cdot p_2}{p_2^2} p_{2\mu}] A_l^{B^0 \rightarrow D^*} (m_{D_s}^2) + \frac{\epsilon_{D^*}^* \cdot p_2}{m_{B_s} + m_{D^*}} [(p_{B_s} + p_l)_\mu - \frac{m_{B_s}^2 - m_{D^*}^2}{p_2^2} p_{2\mu}] A_2^{B^0 \rightarrow D^*} (m_{D_s}^2) - (\epsilon_{D^*}^* \cdot p_2) \frac{2m_{D^*}}{p_2^2} p_{2\mu} A_0^{B^0 \rightarrow D^*} (m_{D_s}^2). \quad (11)$$

$$\langle 0 \rightarrow D_s^+ \rangle = if_{D_s} p_\mu. \quad (12)$$

با ضرب این دو براکت رابطه زیر بدست می آید

$$\langle B^0(p_{B_s}) \rightarrow D^{*-}(\epsilon_{D^*}, p_l) \rangle \langle 0 \rightarrow D_s^+ \rangle = -2 f_{D_s} m_B \times |p_c| A_0^{B^0 \rightarrow D^*} (m_{D_s}^2). \quad (13)$$

با جایگذاری رابطه بالا در رابطه شماره (۳) دامنه مربوط به واپاشی $B^0 \rightarrow D^{*-} D_s^+$ به شکل زیر نوشته می شود،

- [۱] LHCb collaboration; “*Observation of the $BR(B_s^0 \rightarrow D^{*+}D^{*-})$* ”; *JHEP* **07**, 119 (2023).
- [۲] LHCb collaboration; “*Angular analysis of $B^0 \rightarrow D^{*-}D_s^{*+}$ with $D_s^{*+} \rightarrow D_s^{*+}\gamma$ decay*”; *Journal of High Energy Physics* **06**, (2021) 177.
- [۳] R. L. Workman et al; “*Particle data group*”; *Prog. Theor. Exp. Phys.* **2022**, 083C01 (2022).
- [۴] C. S. Kim, R. M. Wang and Y. D. Yang; “*Studying double charm decays of $B_{u,d}$ and B_s mesons in the MSSM with R-parity violation*”; *Phys. Rev. D* **79**, 055004 (2009).
- [۵] M. Beneke, G. Buchalla, M. Neubert and C.T. Sachrajda; “*QCD factorization in $B \rightarrow \pi K, \pi\pi$ decays and extraction of wolfenstein parameters*”; *Nucl. Phys. B* **606**, 245-321, (2001).
- [۶] A. Ali and C. Groub; “*An analysis of two body non leptonic B decays involving light mesons in the standard model*”; *Phys. Rev. D* **58**, 094009 (1998).
- [۷] D. Melikhov and B. Stech; “*Weak form factors for heavy meson decays: an update*”; *Phys. Rev. D* **62**, 014006 (2000).
- [۸] R. N. Faustov and V. O. Galkin; “*Weak decays of B_s mesons to D_s mesons in the relativistic quark model*”; *Phys. Rev. D* **87**, 034033 (2013).
- [۹] C. Aubin, C. Bernard, C. DeTar, M. Di Pierro, E. D. Freeland, Steven Gottlieb, U. M. Heller, J. E. Hetrick, A. X. El-Khadra, A. S. Kronfeld, L. Levkova, P. B. Mackenzie, D. Menscher, F. Maresca, M. Nobes, M. Okamoto, D. Renner, J. Simone, R. Sugar, D. Toussaint, H. D. Trottier; “*Charmed-meson decay constants in three-flavor lattice QCD*”; *Phys. Rev. Lett.* **95**, 122002 (2005).
- [۱۰] B. Mohammadi, H. Mehraban; “*Final state interaction effects on the $B^+ \rightarrow J/\psi \rho^+$ decay*”; *IJPR* **3**, (2014).
- [۱۱] R. L. Workman et al; “*Particle data group*”; *Prog. Theor. Exp. Phys.* **2022** **8**, 083C01 (2020).

$a_{l_0} = 0.00197$	$m_c = (1.27 \pm 0.02) \text{ GeV}$
$F_l^{B_s^0 \rightarrow D_s^+} = 0.843$	$m_s = (93,6^{+8.7}_{-8.5}) \text{ MeV}$
$A_0^{B^0 \rightarrow D^*} = 0.809$	$m_b = (4.18^{+0.07}_{-0.07}) \text{ GeV}$
$f_{D_s} = 249 \pm 2 \text{ MeV}$	$f_{D^*} = 230 \pm 3 \text{ MeV}$
$(\Gamma_{\text{tot}})_{B_s^0} = (4,34 \times 10^{-3}) \text{ GeV}$	$(\Gamma_{\text{tot}})_{B^0} = (4,32 \times 10^{-3}) \text{ GeV}$
$V_{cb} = (41,0 \pm 1.4) \times 10^{-3}$	$V_{ts} = (28,8 \pm 1.1) \times 10^{-3}$
$V_{cd} = 0.221 \pm 0.004$	$V_{tb} = 1.012 \pm 0.030$
$V_{td} = (8,0 \pm 0.3) \times 10^{-3}$	$V_{cs} = 0.987 \pm 0.011$

جدول ۲: مقادیر تجربی و تئوری واپاشی‌های

 $\mu = m_b$ در مقایس $B^0 \rightarrow D^* - D_s^+$

نوع واپاشی	مقدار تجربی نسبت واپاشی	مقدار تئوری نسبت واپاشی
$B_s^0 \rightarrow D^* - D_s^+$	$(3.9 \pm 0.8) \times 10^{-4}$	$(3.228 \pm 0.5) \times 10^{-4}$
$B^0 \rightarrow D^* - D_s^+$	$(8.0 \pm 1.1) \times 10^{-3}$	$(7.268 \pm 0.7) \times 10^{-3}$

نتیجه گیری

در این مقاله دو واپاشی $B_s^0 \rightarrow D^* - D_s^+$ و $B^0 \rightarrow D^* - D_s^+$ مورد بررسی قرار گرفتند. واپاشی $B_s^0 \rightarrow D^* - D_s^+$ برای اولین بار توسط LHCb و همکاران در سال ۲۰۲۱ مقدار $(3.9 \pm 0.8) \times 10^{-4}$ اندازه‌گیری شد و در این مقاله مقدار $(8.0 \pm 1.1) \times 10^{-3}$ بدست آمد که تقریب بسیار خوبی با مقدار تجربی داشت. واپاشی $B^0 \rightarrow D^* - D_s^+$ که نخستین بار توسط گروه BeLLe به مقدار $(7.268 \pm 0.7) \times 10^{-3}$ بدست آمد و مقدار محاسبه شده در این مقاله $(3.228 \pm 0.5) \times 10^{-4}$ می‌باشد. پس از محاسبه نسبت شاخه‌ای دو واپاشی نسبت انشعاب آن دو که نخستین بار توسط LHCb و همکاران اندازه‌گیری شده بود محاسبه گردید و مقدار 0.04 ± 0.008 بدست آمد که دارای تقریب بسیار نزدیک به مقدار تجربی دارد.

مرجع‌ها

مطالعه نظریه تابعی چگالی نسبیتی با تأکید بر مدل جفت شدگی نقطه‌ای

آقایی، سهراب^۱; چناغلو، علیرضا^۲

^۱دانشکده علوم پایه، دانشگاه فرهنگیان، تهران، ایران

^۲گروه فیزیک، دانشکده علوم پایه، دانشگاه صنعتی سهند، تبریز، ایران

چکیده

نظریه تابعی چگالی نسبیتی روشی برای مطالعه چگالی الکترونی اتم‌های سنتگین که دارای اثرات نسبیتی هستند مورد استفاده قرار می‌گیرد. در این مقاله با ارائه توضیحاتی در مورد اهمیت نظریه و کاربرد آن در بخش‌های مختلف فیزیک هسته‌ای، مدل جفت شدگی نقطه‌ای نسبیتی را در نظر گرفته و روش محاسبه چگالی تابعی انرژی را شرح داده‌ایم.

واژه‌های کلیدی: نظریه تابعی چگالی نسبیتی، مدل جفت شدگی نقطه‌ای، میدان نوکلنون

Studying the Relativistic Density Functional Theory with Emphasis on the Point-Coupling Model

Aghaei, Sohrab¹; Chenaghlu, Alireza

¹ Department of Sciences, Farhangian University, Tehran, Iran

² Department of Physics, Faculty of Sciences, Sahand University of Technology, Tabriz, Iran

Abstract

The theory of relativistic density functional is a method which is employed for studying the electron density of heavy atoms that exhibit relativistic effects. In this article, we consider the relativistic point-coupling model, providing insights into the significance of the theory and its applications in various branches of physics, including nuclear physics. We present an explanation of the relativistic point-coupling model and describe the method for calculating the energy density functional.

Keywords: Relativistic Density Functional Theory, Point-Coupling Model, Nucleon Field

PACS No. 2, 3, 12

چگالی با نمایش مقدار چگالی الکترون در هر نقطه در فضای به جای توزیع دقیق الکترون‌ها، سعی در تقریب ویژگی‌های الکترونی سیستم دارد. یکی از مهم‌ترین مفاهیم در این نظریه، مفهوم تابعی چگالی انرژی^۱ است. این تابع، انرژی کل سیستم را به چگالی الکترونی مرتبط می‌کند. اصل کار DFT بر مبنای تعیین توزیع چگالی الکترونی است به نحوی که انرژی کل سیستم به چگالی الکترونی وابسته باشد. از مزایای DFT می‌توان به کارایی

مقدمه

نظریه تابعی چگالی^۱ (DFT) یک روش قادرمند در فیزیک ذرات و شیمی کوانتومی است که برای بررسی ویژگی‌های الکترونی سیستم‌های مولکولی و جامدات استفاده می‌شود. در DFT، به جای مدل کردن توزیع دقیق الکترون‌ها، از تابعی استفاده می‌شود که به چگالی الکترونی نسبت داده می‌شود. در این نظریه هدف اصلی تعیین اندازه و توزیع چگالی الکترونی است. این تابع

^۱ Energy Density Functional

^۱ Density Functional Theory (DFT)

استفاده از این نظریه می‌توان محاسبات دقیق‌تری در پیش‌بینی اندازه هسته و خصوصیات آن داشته باشیم. به عبارت دیگر، RDFT به ما این امکان را می‌دهد که با در نظر گرفتن پارامترهای نسبیتی در محاسبات، به توصیف دقیق‌تر و کامل‌تری از ویژگی‌های هسته‌های سنگین پردازیم.

برای انجام محاسبات RDFT، ابتدا باید یک مدل تابعی چگالی نسبیتی مناسب را انتخاب می‌کنیم. این مدل تابعی چگالی نسبیتی شامل اثرات نسبیتی و یا تصحیح‌های دیگری برای ذرات مورد مطالعه در سیستم است. معادلات حاکم بر دینامیک ذرات با اثرات نسبیتی را که شامل هامیلتونی نسبیتی است، بدست می‌آوریم. لازم به ذکر است که معمولاً این هامیلتونی شامل جملات اصلاحی نسبت به هامیلتونی غیرنسبیتی معمولی است. با داشتن معادلات حاکم، توابع موج نسبیتی و انرژی‌های مرتبط با آنها را محاسبه می‌کنیم. از توابع موج به دست آمده برای محاسبه تابع چگالی نسبیتی استفاده می‌شود. تابع چگالی نسبیتی مشخص می‌کند که در هر نقطه از فضای چگالی احتمال وجود ذرات چقدر است. با توابع چگالی و انرژی‌های به دست آمده، می‌توان خصوصیات فیزیکی مانند انرژی‌های حالت اولیه، ساختار توضیع ذرات و سایر ویژگی‌های سیستم را محاسبه کرد.

همانگونه که گفته شد، اولین مرحله در انجام محاسبات RDFT، در نظر گرفتن یک مدل تابعی چگالی نسبیتی است. یکی از مهمترین مدل‌ها، مدل جفت شدگی نقطه‌ای نسبیتی آست که در فیزیک هسته‌ای برای توصیف تعاملات هسته‌ای به کار می‌رود که یکی از مدل‌های پیچیده و دقیق در این حوزه است. در مدل جفت شدگی نقطه‌ای نسبیتی، برهم‌کنش‌های هسته‌ای با استفاده از اصول تقارن و تبدیل‌های لورنتسی توصیف می‌شوند. این مدل از توابع موج نقطه‌ای برای الکترون‌ها و پروتون‌ها استفاده می‌کند. به عبارت دیگر، به جای توابع موج پیوسته، از توابع موجی که تنها در یک نقطه فضای غیرصفرند، استفاده می‌شود. در ادامه به صورت خلاصه به مطالعه و فرمولبندی این مدل می‌پردازیم [۹].

محاسباتی بالا و استفاده از مدل‌های تقریبی مناسب اشاره کرد. با این حال، DFT همچنان مستلزم استفاده از تقریب‌ها و فرضیاتی است و برخی سیستم‌ها، به خصوص در مورد مواد سنگین با عدد اتمی بزرگ، نیاز به روش‌های دقیق‌تر دارد. معمولاً برای مطالعه ساختار الکترونی مواد چگال، یا سیستم‌هایی با اجزای سنگین و همچنین فیزیک هسته‌ای از نظریه تابعی چگالی نسبیتی^۱ استفاده می‌شود. در این حالتها، اثرات نسبیتی (نظیر افزایش سرعت و جرم الکترون‌ها) به شدت ممکن است تأثیر گذار باشند [۷-۱]. محاسبات RDFT نسبت به محاسبات DFT معمولی پیچیده‌تر هستند، زیرا نیاز به در نظر گرفتن اثرات نسبیتی اضافی دارند. استفاده از روش‌های عددی پیشرفته و محاسبات با دقت بالا معمولاً در این زمینه‌ها اساسی است [۸]. همچنین، نیاز به استفاده از سرورها و رایانه‌های قوی نیز ممکن است وجود داشته باشد.

کاربرد نظریه تابعی چگالی نسبیتی در فیزیک هسته‌ای و نحوه انجام محاسبات

نظریه تابعی چگالی نسبیتی که نظریه تابعی چگالی هم‌ورا^۲ نیز گفته می‌شود، در فیزیک هسته‌ای برای مطالعه ساختار و ویژگی‌های هسته‌ها به کار می‌رود. این نظریه به دلیل در نظر گرفتن اثرات نسبیتی در هسته‌ها اهمیت دارد. نظریه RDFT می‌تواند در مطالعه پدیده‌هایی که مستلزم در نظر گرفتن اثرات نسبیتی هستند، مانند اسپین و جابجایی سورنس مؤثر باشد. همچنین از این نظریه در تحلیل واکنش‌های هسته‌ای می‌توان کمک گرفت. تحقیقات RDFT در حوزه فیزیک هسته‌ای به دلیل دقت بیشتری که این روش با در نظر گرفتن اثرات نسبیتی ارائه می‌دهد، به ویژه در حوزه هسته‌های سنگین و در شرایطی که سرعت‌های الکترون‌های اطراف هسته بسیار نزدیک به سرعت نور باشد، مورد توجه زیادی قرار گرفته است. به عنوان مثال فرض کنید که می‌خواهیم اندازه یک هسته سنگین مانند اورانیوم-۲۳۵ را بررسی کنید. در این حالت، اثرات نسبیتی می‌توانند تأثیر گذار باشند. با

^۱ Relativistic Density Functional Theory (RDFT)

^۲ Covariant Density Functional Theory

^{*} Relativistic point coupling model

چهار بردار پتانسیل و $F_{\mu\nu}$ تانسور میدان الکترومغناطیسی است. برای سیستم هسته‌ای داده شده در لاگرانژین (۱)، عملگر هامیلتونی با استفاده از تبدیلات لزاندر بدست می‌آید که شامل چهار بخش زیر می‌باشد

$$H = H_{free} + H_{4f} + H_{der} + H_{em} \quad (6)$$

که پس از انجام محاسبات مربوطه، هر کدام از بخش‌ها به صورت زیر بدست می‌آیند. هامیلتونی مربوط به نوکلئون آزاد عبارت است از:

$$H_{free} = \int d^3r \bar{\psi} (-i\gamma \cdot \nabla + M) \psi \quad (7)$$

هامیلتونی مربوط به چهار‌فرمیون جفت شده نقطه‌ای عبارت است از:

$$\begin{aligned} H_{4f} = & \frac{1}{2} \int d^3r [\alpha_1 (\bar{\psi} \psi) (\bar{\psi} \psi) + \alpha_2 (\bar{\psi} \tau \psi) (\bar{\psi} \tau \psi) \\ & + \alpha_3 (\bar{\psi} \gamma_\mu \psi) (\bar{\psi} \gamma^\mu \psi) + \alpha_4 (\bar{\psi} \gamma_\mu \tau \psi) (\bar{\psi} \gamma^\mu \tau \psi) \\ & + \alpha_5 (\bar{\psi} \sigma_{\mu\nu} \psi) (\bar{\psi} \sigma^{\mu\nu} \psi) + \alpha_6 (\bar{\psi} \sigma_{\mu\nu} \tau \psi) (\bar{\psi} \sigma^{\mu\nu} \tau \psi) \\ & + \alpha_7 (\bar{\psi} \gamma_5 \psi) (\bar{\psi} \gamma_5 \psi) + \alpha_8 (\bar{\psi} \gamma_5 \tau \psi) (\bar{\psi} \gamma_5 \tau \psi) \\ & + \alpha_9 (\bar{\psi} \gamma_5 \gamma_\mu \psi) (\bar{\psi} \gamma_5 \gamma^\mu \psi) + \alpha_{10} (\bar{\psi} \gamma_5 \gamma_\mu \tau \psi) (\bar{\psi} \gamma_5 \gamma^\mu \tau \psi)] \end{aligned} \quad (8)$$

برای محاسبه هامیلتونی فوق از تبدیلات فیرز^۳ استفاده شده است [۱۰ و ۱۱] و ضرایب بر حسب ماتریس تبدیلات فیرز Λ به صورت زیر داده می‌شود:

$$\alpha_i = \sum_j C_{ij} \alpha_j, \quad (9)$$

که در آن C_{ij} عناصر ماتریس زیر هستند:

$$\begin{aligned} C = 1 - \Lambda^T = & \begin{pmatrix} 14 & -6 & -8 & -24 & -24 & -72 & -2 & -6 & 8 & 24 \\ -2 & 18 & -8 & 8 & -24 & 24 & -2 & 2 & 8 & -8 \\ -2 & -6 & 20 & 12 & 0 & 0 & 2 & 6 & 4 & 12 \\ -2 & 2 & 4 & 12 & 0 & 0 & 2 & -2 & 4 & -4 \\ -1 & -3 & 0 & 0 & 20 & 12 & -1 & -3 & 0 & 0 \\ -1 & 1 & 0 & 0 & 4 & 12 & -1 & 1 & 0 & 0 \\ -2 & -6 & 8 & 24 & -24 & -72 & 12 & -6 & -8 & -24 \\ -2 & 2 & 8 & -8 & -24 & 24 & -2 & 18 & -8 & 8 \\ 2 & 6 & 4 & 12 & 0 & 0 & -2 & -6 & 20 & 12 \\ 2 & -2 & 4 & -4 & 0 & 0 & -2 & 2 & 4 & 12 \end{pmatrix} \end{aligned} \quad (10)$$

فرمول‌بندی مدل جفت شدگی نقطه‌ای نسبیتی

دومین مرحله در انجام محاسبات مربوط به RDFT بدست آوردن معادلات حاکم بر دینامیک ذرات است که در نهایت باید هامیلتونی نسبیتی مربوطه محاسبه گردد. برای این منظور ابتدا چگالی لاگرانژین را به صورت حاصل‌جمع چهار لاگرانژین در نظر می‌گیریم:

$$\mathcal{L} = \mathcal{L}^{free} + \mathcal{L}^{4f} + \mathcal{L}^{der} + \mathcal{L}^{em} \quad (1)$$

که در آن جمله \mathcal{L}^{free} لاگرانژین مربوط به نوکلئون آزاد است و به صورت زیر تعریف می‌شود:

$$\mathcal{L}^{free} = \bar{\psi} (i\gamma_\mu \partial^\mu - M) \psi \quad (2)$$

در رابطه فوق M جرم نوکلئون، $\gamma_\mu = (\beta, \beta \alpha_i)$ ماتریس‌های دیراک و ψ میدان نوکلئون است. \mathcal{L}^{4f} مربوط به چهار‌فرمیون جفت شده نقطه‌ای است که به صورت زیر داده می‌شود:

$$\begin{aligned} \mathcal{L}^{4f} = & -\frac{1}{2} \alpha_s (\bar{\psi} \psi) (\bar{\psi} \psi) - \frac{1}{2} \alpha_{sS} (\bar{\psi} \tau \psi) (\bar{\psi} \tau \psi) \\ & - \frac{1}{2} \alpha_V (\bar{\psi} \gamma_\mu \psi) (\bar{\psi} \gamma^\mu \psi) - \frac{1}{2} \alpha_{Vv} (\bar{\psi} \gamma_\mu \tau \psi) (\bar{\psi} \gamma^\mu \tau \psi) \\ & - \frac{1}{2} \alpha_T (\bar{\psi} \sigma_{\mu\nu} \psi) (\bar{\psi} \sigma^{\mu\nu} \psi) - \frac{1}{2} \alpha_{Tv} (\bar{\psi} \sigma_{\mu\nu} \tau \psi) (\bar{\psi} \sigma^{\mu\nu} \tau \psi) \\ & - \frac{1}{2} \alpha_{PS} (\bar{\psi} \gamma_5 \psi) (\bar{\psi} \gamma_5 \psi) - \frac{1}{2} \alpha_{Pv} (\bar{\psi} \gamma_5 \tau \psi) (\bar{\psi} \gamma_5 \tau \psi) \\ & - \frac{1}{2} \alpha_{PV} (\bar{\psi} \gamma_5 \gamma_\mu \psi) (\bar{\psi} \gamma_5 \gamma^\mu \psi) - \frac{1}{2} \alpha_{Pv} (\bar{\psi} \gamma_5 \gamma_\mu \tau \psi) (\bar{\psi} \gamma_5 \gamma^\mu \tau \psi) \end{aligned} \quad (3)$$

α ها ثابت‌های جفت شدگی می‌باشند که اندیس‌های S, V, PS و PV به ترتیب نشان‌دهنده اسکالر، بردار، تانسور، شبه اسکالر و شبه بردار هستند همچنین اندیس t به کانال‌های شبه برداری متناظر اشاره دارد. به جمله سوم \mathcal{L}^{der} جمله مشتق^۴ گفته می‌شود که عبارت است از

$$\mathcal{L}^{der} = -\frac{1}{2} \delta_S \partial_\mu (\bar{\psi} \psi) \partial^\mu (\bar{\psi} \psi), \quad (4)$$

و فقط در کانال اسکالر–شبه اسکالر در نظر گرفته شده است. جمله چهارم نیز مربوط به اندرکنش الکترومغناطیسی است

$$\mathcal{L}^{em} = -e \frac{1-\tau_3}{2} \bar{\psi} \gamma_\mu \psi A^\mu - \frac{1}{4} F_{\mu\nu} F^{\mu\nu} \quad (5)$$

^۱ Four-fermion point coupling

^۲ Derivative term

^۳ Fierz transformation

ارتباط میان انرژی کل سیستم و چگالی الکترونی را بقرار می‌کند. همچنین کاربرد نظریه تابعی چگالی نسبیتی در فیزیک هسته‌ای مورد بررسی قرار گرفت. این نظریه با در نظر گرفتن اثرات نسبیتی، به تحلیل ساختار و ویژگی‌های هسته‌ها می‌پردازد. معمولاً در مطالعه هسته‌های سنگین و در شرایطی که سرعت الکترون‌ها نزدیک به سرعت نور باشد، این نظریه به دلیل دقت بیشتر خود با استفاده از تقریب‌ها و روش‌های پیشرفته مورد توجه قرار می‌گیرد. لازم به ذکر است که با توجه به مطالعاتی که اخیراً در مقاله [۱۲] صورت گرفته است، محاسبه دقیق تر تبادل انرژی بین هسته‌ای را ممکن می‌سازد. در نهایت با بررسی مدل جفت شدگی نقطه‌ای نسبیتی، نحوه محاسبه چگالی تابعی انرژی نشان داده شد.

مرجع‌ها

- [۱] Casida, Mark E. "Time-dependent density functional response theory for molecules." *Recent Advances In Density Functional Method (Part I)*. 1995. 155-192.
- [۲] Bast, Radovan, et al. "Static and Frequency-Dependent Dipole-Dipole Polarizabilities of All Closed-Shell Atoms up to Radium: A Four-Component Relativistic DFT Study." *ChemPhysChem* 9.3 (2008): 445-453.
- [۳] Hohenberg, Pierre, and Walter Kohn. "Inhomogeneous electron gas." *Physical review* 136.3B (1964): B864.
- [۴] Rehn, Daniel Adam, et al. Relativistic density functional theory in the full potential linear muffin tin orbital method. No. LA-UR-19-32606. Los Alamos National Lab.(LANL), Los Alamos, NM (United States), 2020.
- [۵] Tian, Yuan, Zhong-yu Ma, and P. Ring. "A finite range pairing force for density functional theory in superfluid nuclei." *Physics Letters B* 676.1-3 (2009): 44-50.
- [۶] Kullie, Ossama. "Relativistic time-dependent density functional theory and excited states calculations for the zinc dimer." *Journal of Atomic and Molecular Physics* 2012 (2012).
- [۷] Saue, Trond, and Trygve Helgaker. "Four-component relativistic Kohn-Sham theory." *Journal of computational chemistry* 23.8 (2002): 814-823.
- [۸] Aghaei, Sohrab, Alireza Chenaghloou, and Niloofar Azadi. "Dirac equation in relativistic density functional theory and mapped Fourier grid method." *Modern Physics Letters B* (2023): 2350087.
- [۹] Zhao, Qiang, et al. "Covariant density functional theory with localized exchange terms." *Physical Review C* 106.3 (2022): 034315.
- [۱۰] Greiner, Walter, et al. "Unified Gauge Theories." *Gauge Theory of Weak Interactions* (2009): 305-388.
- [۱۱] Sulaksono, A., et al. "Mapping exchange in relativistic Hartree-Fock." *Annals of Physics* 306.1 (2003): 36-57.
- [۱۲] Zhao, Qiang, et al. "Accurate relativistic density functional for exchange energy of atomic nuclei." *Physics Letters B* 841 (2023): 137913.

هامیلتونی مربوط به جمله مشتق و اندرکش الکترومغناطیسی به ترتیب به صورت زیر بدست می‌آیند:

$$\begin{aligned} H_{der} &= -\frac{1}{2} \int d^3r \delta_S \nabla(\bar{\psi}\psi) \nabla(\bar{\psi}\psi) \\ H_{em} &= \frac{e^2}{8\pi} \iint d^3rd^3r' [\bar{\psi}(r)\gamma_\mu \frac{1-\tau_3}{2}\psi(r)] \frac{1}{|\mathbf{r}-\mathbf{r}'|} \\ &\quad [\bar{\psi}(r')\gamma_\mu \frac{1-\tau_3}{2}\psi(r')] \end{aligned} \quad (11)$$

اینک با در دست داشتن هامیلتونی کل سیستم، توابع موج نسبیتی و انرژی‌های مرتبط با آنها را می‌توانیم محاسبه می‌کنیم. برای این منظور، میدان نوکلئون ψ را بر حسب عملگرهای خلق و فنای $\{c_\alpha, c_\alpha^+\}$ که توسط مجموعه‌ای کامل از اسپینورهای دیراک تعریف می‌شوند، بسط می‌دهیم:

$$\psi = \sum_\alpha \varphi_\alpha c_\alpha, \quad \psi^+ = \sum_\alpha \varphi_\alpha^+ c_\alpha^+ \quad (12)$$

همچنین حالت پایه تابع موج $|\varphi_0\rangle$ را با استفاده از دترمینان اسلاماتر به صورت تقریبی زیر در نظر می‌گیریم:

$$|\varphi_0\rangle = \prod_{\alpha=1}^A c_\alpha^+ |-\rangle \quad (13)$$

که در آن A تعداد نوکلئونهایی است که در سیستم در نظر گرفته‌ایم. چگالی انرژی تابعی سیستم مقدار چشم داشتی هامیلتونی در حالت پایه دترمینان اسلاماتر است:

$$E = \langle \varphi_0 | H | \varphi_0 \rangle \quad (14)$$

لازم به ذکر است که در هسته‌هایی که دارای اسپین نصف صحیح هستند باید انرژی جفت شدگی را نیز در نظر بگیریم.

نتیجه گیری

در این مقاله، به معرفی نظریه تابعی چگالی (DFT) و نظریه تابعی چگالی نسبیتی (RDFT) به عنوان روشی قدرتمند در فیزیک ذرات و شیمی کوانتومی پرداخته شد. این نظریه‌ها، با جایگزینی توزیع دقیق الکترون‌ها با یک تابع چگالی الکترونی، به بررسی ویژگی‌های الکترونی سیستم‌های مولکولی و جامدات می‌پردازند. هدف اصلی این نظریه‌ها تعیین اندازه و توزیع چگالی الکترونی است و یکی از مفاهیم کلیدی آن تابع انرژی چگالی است که

^۱ Slater determinant

محاسبه ثابت پیوندی با استفاده از متغیر شکل رویداد

خاکشور، هانیه^۱؛ صالح مقدم، ریحانه^۱؛ زمودیان، محمد ابراهیم^۱

^۱دانشکده فیزیک دانشگاه فردوسی مشهد، میان آزادی، ۹۱۷۷۵-۱۴۳۶، مشهد

چکیده

در این مقاله با استفاده از داده های شبیه سازی شده مونت کارلو در برهمکنش های الکترون پروتون و پروتون پروتون به محاسبه مقادیر ثابت پیوندی می پردازیم. بدین منظور، در ابتدا با استفاده فراوانی پارامتر C در انرژی های مرکز جرم مختلف، مقادیر میانگین این پارامتر محاسبه می شود. سپس با برآش روابط موجود در مدل پراکندگی روی نمودار توزیع میانگین متغیر شکل رویداد C بر حسب انرژی مرکز جرم، مقادیر ثابت پیوندی بدست می آید. با مقایسه نتایج حاصل مشاهده می شود که بین این مقادیر در دو برهمکنش و همچنین با مقادیر پیش بینی شده در نظریه دینامیک کوانتمویی ریگ سازگاری وجود دارد. جزئیات بیشتر در مورد این تحقیقات در متن مقاله به طور کامل توضیح داده شده است.

Calculation of coupling constant using the event shape variable

Khajshoor, Hanieh¹; Saleh Moghaddam, Reihaneh¹; Zomorodian, Mohammad Ebrahim¹

¹Department of Physics, Ferdowsi University of Mashhad, 91775-1436, Mashhad, Iran

Abstract

In this article, we calculate the value of the coupling constant using Monte Carlo simulation data in electron-proton and proton-proton interactions. For this purpose, at first, using the multiplicity of C parameter in different center of mass energies, the average value of this parameter is calculated. Then, we obtained the value of the coupling constant, by fitting the relationships in the Dispersion model on the average distribution diagram of the event shape variable C in terms of the energy of the center of mass. By comparing our results, it can be observed that there is consistency between these values in two interactions and also with the predicted values in the QCD. More details about this research are fully explained in the text of the article.

PACS No. 12.38.t; 13.66. Bc; 13.30. Eg

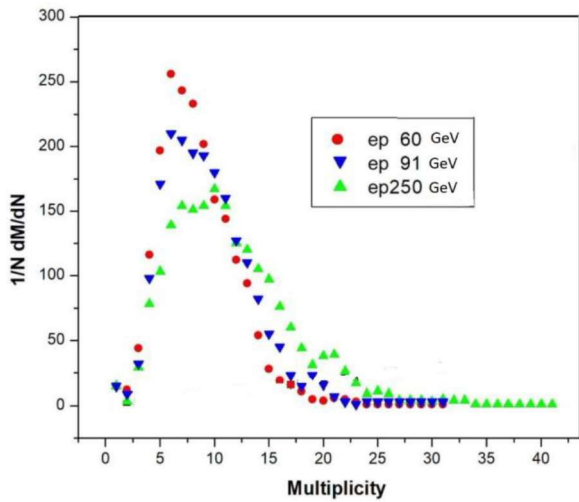
مقدمه

به منظور محاسبه ثابت پیوندی نیز از روابط موجود در مدل پراکندگی که شامل ناحیه اختلالی است و همچنین از رویدادهای شبیه سازی شده مونت کارلو (PYTHIA) در دو نوع برهمکنش الکترون پروتون و پروتون پروتون استفاده می شود.

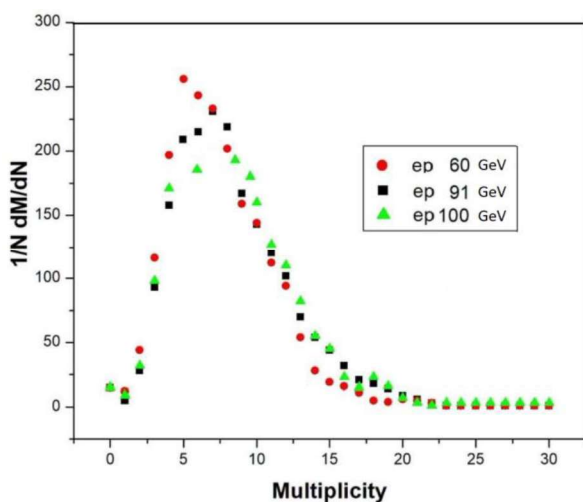
متغیر شکل رویداد

یکی از انواع متغیرهای شکل رویداد، پارامتر C است. این متغیرها، حالت های فیزیکی ذرات تولید شده در برهمکنش ها را توصیف می کنند، لذا می توان در بررسی آشکارسازی ذرات از آن ها

امروزه بررسی روی داده های بدست آمده از برهمکنش های الکترون پروتون و پروتون پروتون، به دلیل وجود ساختار داخلی پروتون، بسیار مورد توجه قرار دارد. بدین منظور، در این مقاله نیز آشکارسازی هادرون ها در این برهمکنش ها و محاسبه مقادیر ثابت پیوندی (α_s) در ناحیه اختلالی را بررسی قرار می دهیم [۱]. برای دستیابی به این هدف، از یکی از انواع متغیرهای شکل رویداد بهره می گیریم که در بخش بعد توضیحات کامل در مورد آن پارامتر (C) ارائه می گردد.



شکل ۱ : توزیع چندگانگی تعداد ذرات باردار برهمکنش الکترون-پروتون در انرژی‌های مرکز جرم مختلف.



شکل ۲ : توزیع چندگانگی تعداد ذرات باردار برهمکنش پروتون-پروتون در انرژی‌های مرکز جرم مختلف.

سپس چندگانگی رویدادها در انرژی‌های مرکز جرم متفاوت را برای پارامتر- C مورد بررسی قرار دادیم. از شکل ۳ که برای انرژی مرکز جرم 20 GeV مشخص است که چندگانگی این متغیر در برهمکنش الکترون-پروتون دارای روندی نزولی است.

استفاده نمود. پارامتر- C با استفاده از ویژه مقادیر λ_i تانسور خطی تکانه θ_{jk} بدست می‌آید [۲] که با بهنجار نمودن ویژه مقادیر تکانه $\lambda_1 + \lambda_2 + \lambda_3 = 1$ و جمع‌بندی روی تمام حالت‌های نهایی ذرات، پارامتر- C تعریف می‌شود. تانسور تکانه با رابطه

$$\theta_{jk} = \frac{1}{\sum_i |p_i|} \sum_i \frac{p_j^i p_k^i}{|p_i|} \quad (1)$$

تعیین می‌گردد که در آن، P^i مولفه i ام تکانه ذره در چارچوب مرکز جرم است.

رابطه زیر، نحوه محاسبه پارامتر- C را مشخص می‌کند:

$$C = 3(\lambda_1\lambda_2 + \lambda_2\lambda_3 + \lambda_3\lambda_1) \quad (2)$$

با توجه به آنکه بین ویژه مقادیر تانسور تکانه، رابطه

$$0 \leq \lambda_3 \leq \lambda_2 \leq \lambda_1 \leq 1 \quad (3)$$

وجود دارد، مقدار C در محدوده $0 \leq C \leq 1$ تغییر می‌کند.

در یک رویداد دو جتی ایده‌آل $C=0$ است، در حالی که $C=1$ یک رویداد کروی را نشان می‌دهد. از طرف دیگر برای رویدادهای همسطح مقدار C در محدوده

$$0 \leq C \leq 3/4 \quad (4)$$

قرار می‌گیرد.

چندگانگی در انرژی‌های مختلف

همانطور که در مقدمه ذکر شد، در این مقاله از داده‌های شبیه-سازی مونت‌کارلو استفاده می‌کنیم. بهمنظور راستی آزمایی این داده‌ها، ابتدا نمودار چندگانگی تعداد ذرات باردار را در دو برهمکنش الکترون-پرتون (شکل ۱) و برهمکنش پروتون-پروتون (شکل ۲) رسم نمودیم. در این نمودارها مشخص است که با افزایش انرژی قله منحنی چندگانگی پایین‌تر قرار می‌گیرد، اما نمودار پهن‌تر می‌شود. این ویژگی که نشان‌دهنده ثابت ماندن فراوانی در انرژی‌های مختلف است، تاییدکننده درستی داده‌های شبیه‌سازی است.

هدف محاسبه ثابت پیوندی در رئوس این پیوند این هادرتون هاست. این مقدار با استفاده از میانگین متغیرهای شکل رویداد (y) از جمله پارامتر C قابل محاسبه است [۳].

$$\langle y \rangle = \int y \frac{1}{\sigma} \frac{d\sigma}{dy} dy \quad (5)$$

این مقدار میانگین از رابطه ۶ قابل بررسی است:

$$\langle y \rangle = \bar{A}_y \left(\frac{\alpha_s(\mu)}{2\pi} \right) + \left(\bar{B}_y + \bar{A}_y \beta_0 \log \left(\frac{\mu^2}{E_{cm}^2} \right) \right) \left(\frac{\alpha_s(\mu)}{2\pi} \right)^2 \quad (6)$$

در این رابطه، برای پارامتر C -خواهیم داشت:

$$\bar{A}_y = 8.6374 \quad (7)$$

$$\bar{B}_y = 172.778 - \left(\frac{3}{2} \right) C_F (8.6374) \quad (8)$$

$$Q/2 \leq \mu \leq 2Q \quad (9)$$

$$\beta_0 = (33 - 2N_F)/12\pi \quad (10)$$

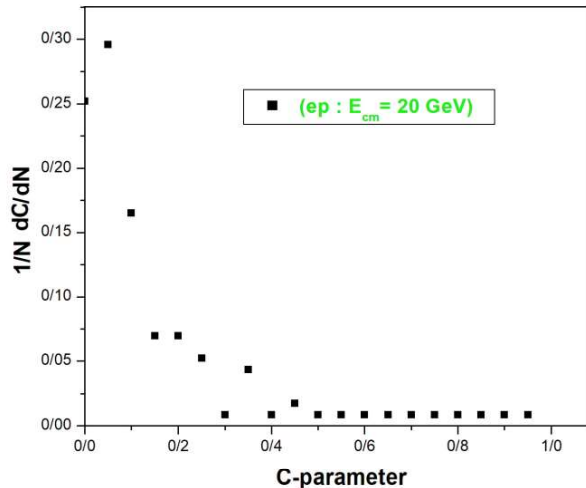
$$C_F = \frac{N^2 - 1}{2N} = \frac{4}{3} \quad (11)$$

که در این روابط N تعداد رنگ های کوارک و N_F طعم های کوارک در نظر گرفته شده است.

با توجه به رابطه ۶، می توان با استفاده از برآذش این رابطه روی نمودار میانگین پارامتر C بر حسب انرژی مرکز جرم، مقدار ثابت پیوندی (α_s) را بدست آورد.

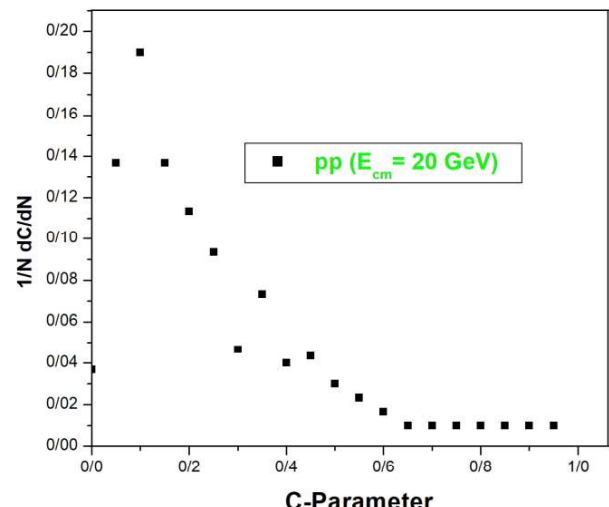
نتایج فیزیکی

به منظور یافتن مقدار ثابت پیوندی، ابتدا مقدار میانگین پارامتر C را در هر انرژی مرکز جرم بدست آورده ایم و سپس نمودار این داده ها را بر حسب انرژی مرکز ترسیم نمودیم. از این نمودارها که برای هر دو نوع برهمکنش (شکل ۵ و شکل ۶) رسم شده اند، مشاهده می شود که با افزایش انرژی، میانگین مقدار این پارامتر کاهش پیدا می کند.



شکل ۳: توزیع چندگانگی پارامتر C برهمکنش الکترون-پروتون.

این روند نزولی در انرژی 20 GeV برهمکنش پروتون-پروتون نیز مشاهده می گردد (شکل ۴).



شکل ۴: توزیع چندگانگی پارامتر C برهمکنش پروتون-پروتون.

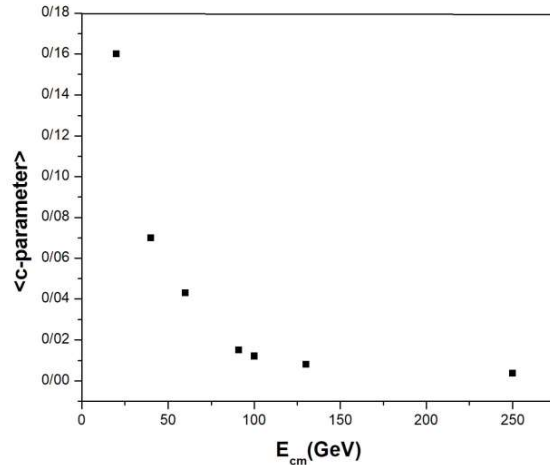
هادرونی شدن برهمکنش ها

پروتون، هادرон (فرمیونی) است که از ترکیب سه کوارک uud تشکیل شده است. بنابراین در برهمکنش های الکترون-پروتون و پروتون-پروتون، پس از برهمکنش قابلیت هادرونی شدن وجود دارد. ناحیه ای که در آن ذرات پس از واپاشی با یکدیگر ترکیب و هادرون ها را تشکیل می دهند، ناحیه اختلالی می نامند. در اینجا

جدول ۱: مقادیر ثابت پیوندی بدست آمده از برآش روابط روی نمودار

برهمکنش	$\alpha_s(M_{Z^0})$
ep	0.1153 ± 0.0005
pp	0.1215 ± 0.0042

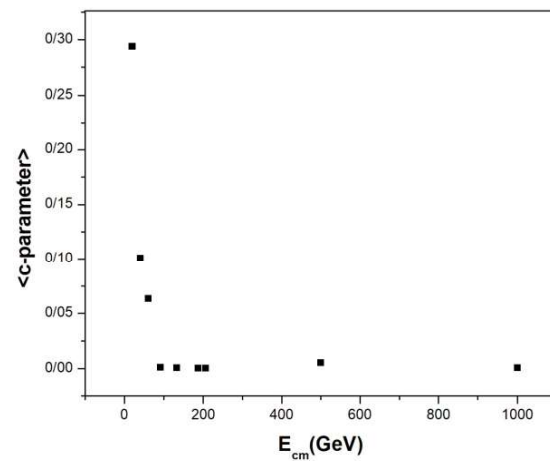
با مشاهده این مقادیر می توان نتیجه گرفت که مقادیر ثابت پیوندی در ناحیه اختلالی (هادرونی شدن) از محدوده 0.1 می باشند. این مقادیر با یکدیگر و با مقدار پیش بینی شده در نظریه دینامیک کوانتومی رنگ [۴] نیز همخوانی دارند.



شکل ۵: توزیع میانگین پارامتر- C در برهمکنش الکترون-پروتون
بر حسب انرژی مرکز جرم.

نتیجه گیری

در این تحقیق، به بررسی و محاسبه مقدار یکی از کمیت های اساسی در دینامیک کوانتومی رنگ، یعنی ثابت پیوندی در ناحیه اختلالی رویدادهای هادرونی واپاشی شده از برهمکنش های الکترون-پروتون و پروتون-پروتون می پردازیم. ابتدا چند گانگی متغیر شکل رویداد مورد بررسی (پارامتر- C) را برای رویدادهای سه جتی (شامل جت های کوارک، پادکوارک و گلوئون) مورد مطالعه قرار دادیم. سپس با برآش روابط موجود در مدل هادرонی با نمودار توزیع میانگین پارامتر- C بر حسب انرژی مرکز جرم، مقدار ثابت پیوندی را در هر دو برهمکنش بدست آورديم. با بررسی نتایج مشاهده می گردد که مقدار ثابت پیوندی در ناحیه اختلالی از مرتبه 1.0 است که با مقدار پیش بینی نظریه QCD نیز سازگار است.



شکل ۶: توزیع میانگین پارامتر- C در برهمکنش پروتون-پروتون
بر حسب انرژی مرکز جرم.

مرجع ها

- [۱] C. Pahl, S. Bethke, O. Biebel, S. Kluth, J. Schieck; “Eur. Phys. J.C”; **64** (2009) 533-547.
- [۲] R. Saleh Moghaddam and M. E. Zomorodian; “Pramana Journal of physics”; **88** (2017) 5.
- [۳] R. Saleh Moghaddam and M. E. Zomorodian; “Can. J. Phys”; **98** (2020) 900.
- [۴] Particle Data Group; “Chinese Phys C”, **38** (2014) 090001.

همگی این نمودارها را با استفاده از نرم افزار ORIGIN رسم کردہ ایم. از قسمت آنالیز این نرم افزار نیز برای برآش رابطه $\langle C - \text{Parameter} \rangle$ برای محور قائم (محور z) و برای محور افقی (محور x) برآش روی نمودار را انجام می دهیم. با برآش انجام شده روی نمودارهای هر دو نوع برهمکنش مقدار ثابت پیوندی ($\alpha_s(M_{Z^0})$) همراه با خطای سیستماتیک آن بدست می آید. این مقادیر در جدول ۱ قرار داده شده اند.